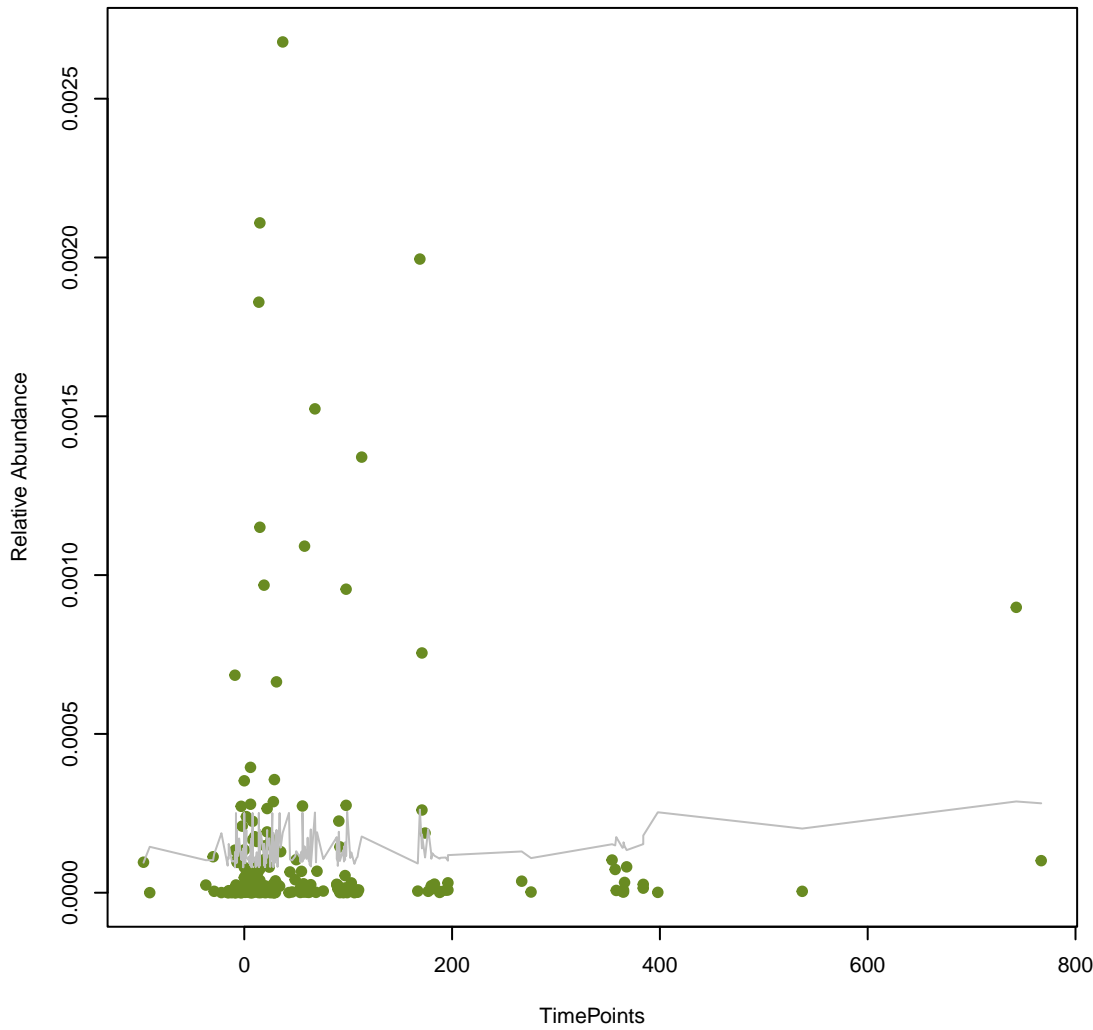
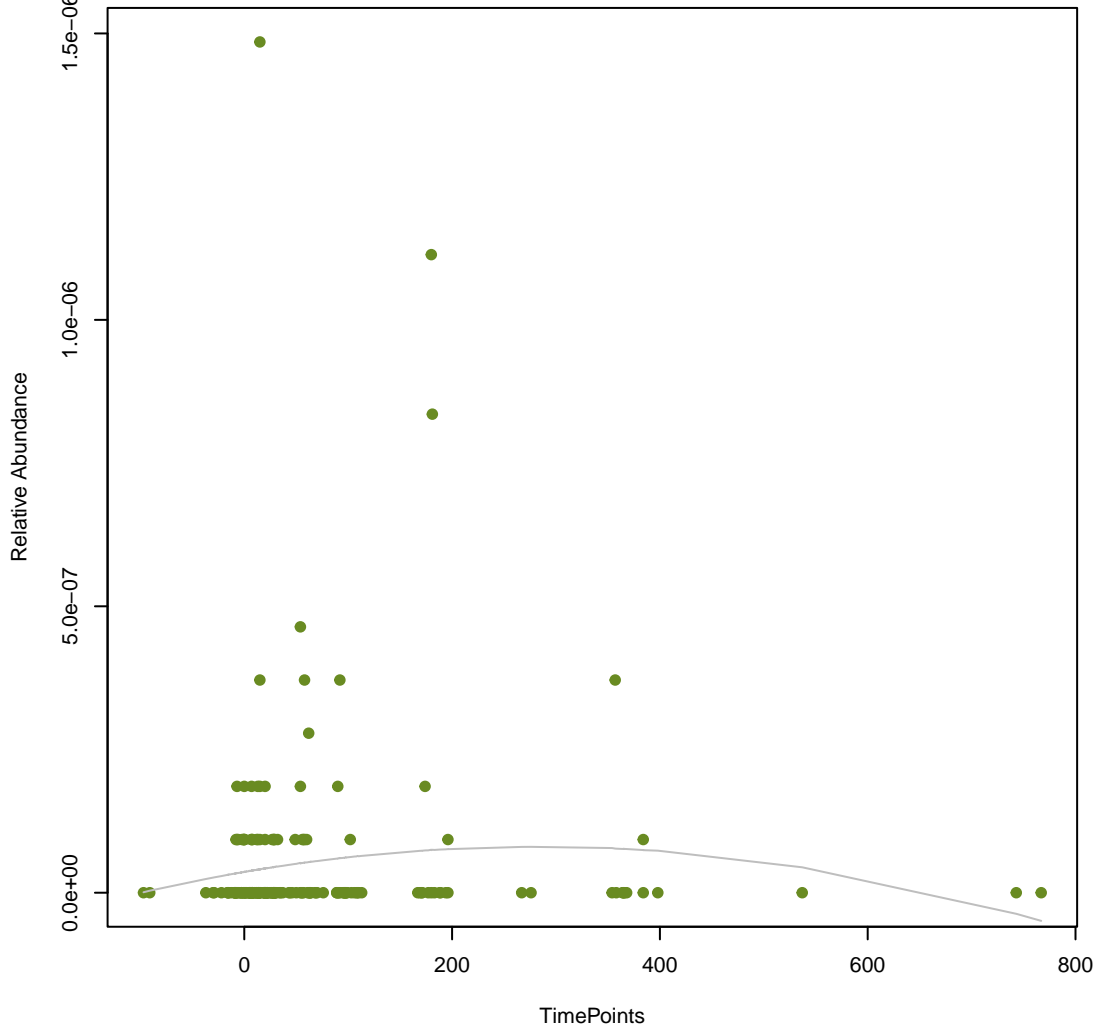


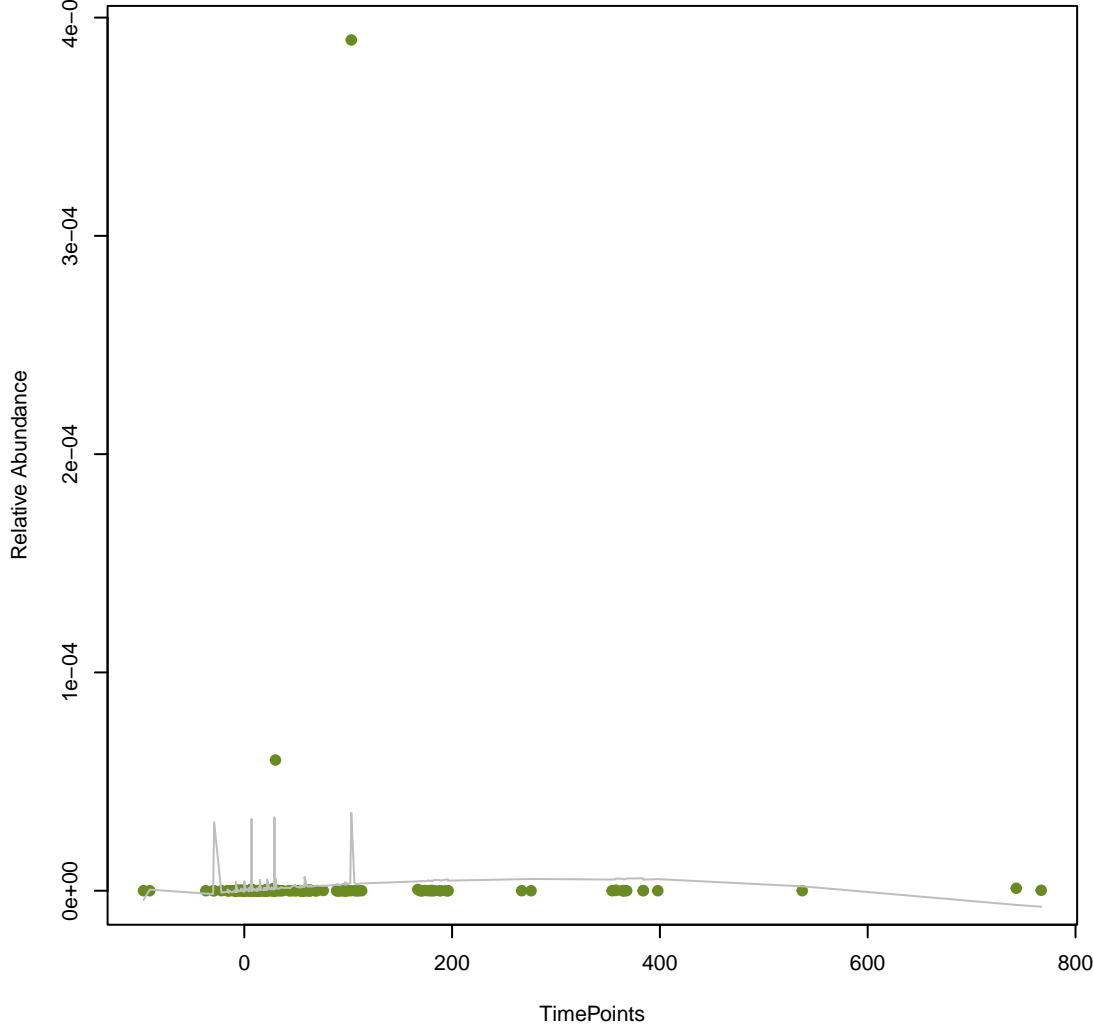
**vsearch
tetM**
ANOVA Pval: 0.678



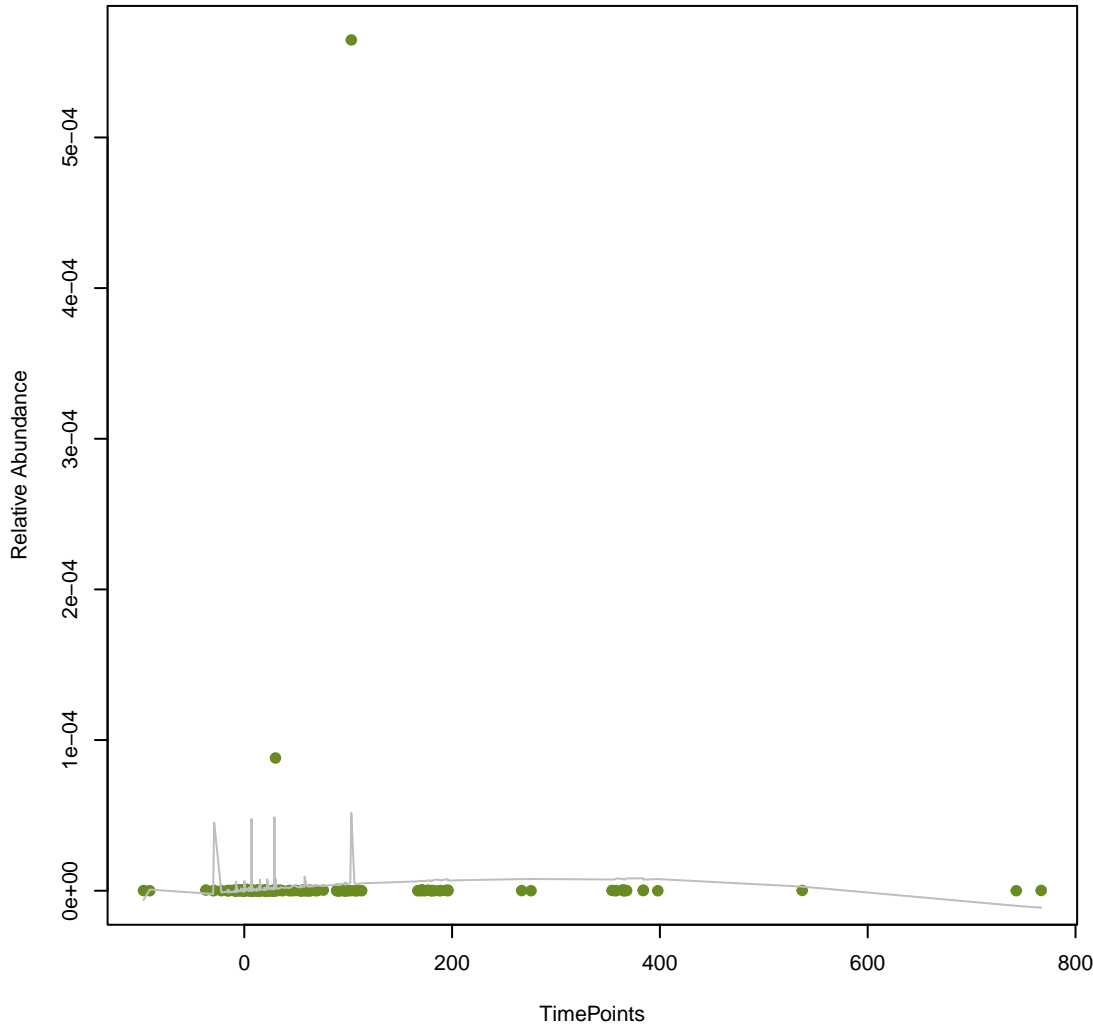
**vsearch
mtrC**
ANOVA Pval: 0.292



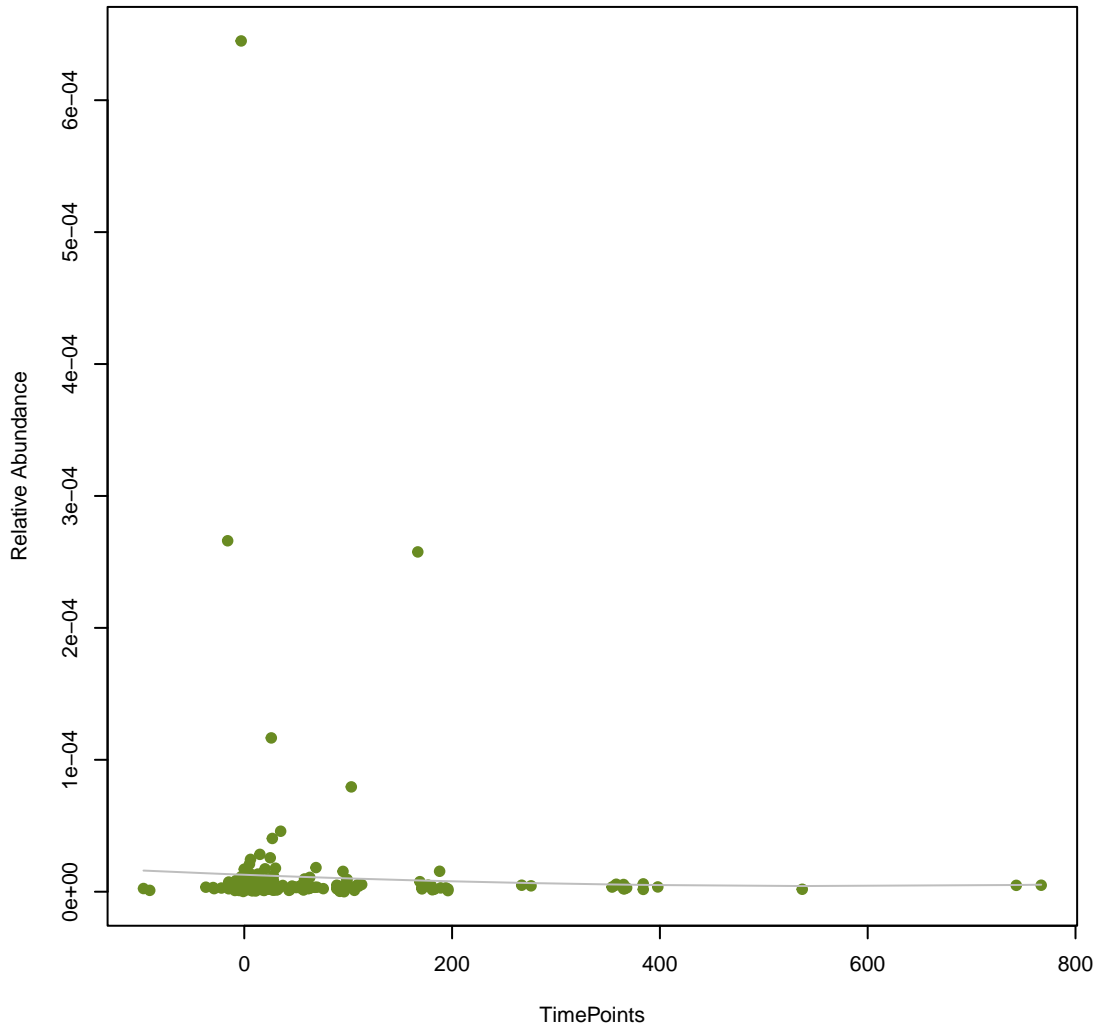
**vsearch
arnA**
ANOVA Pval: 0.549



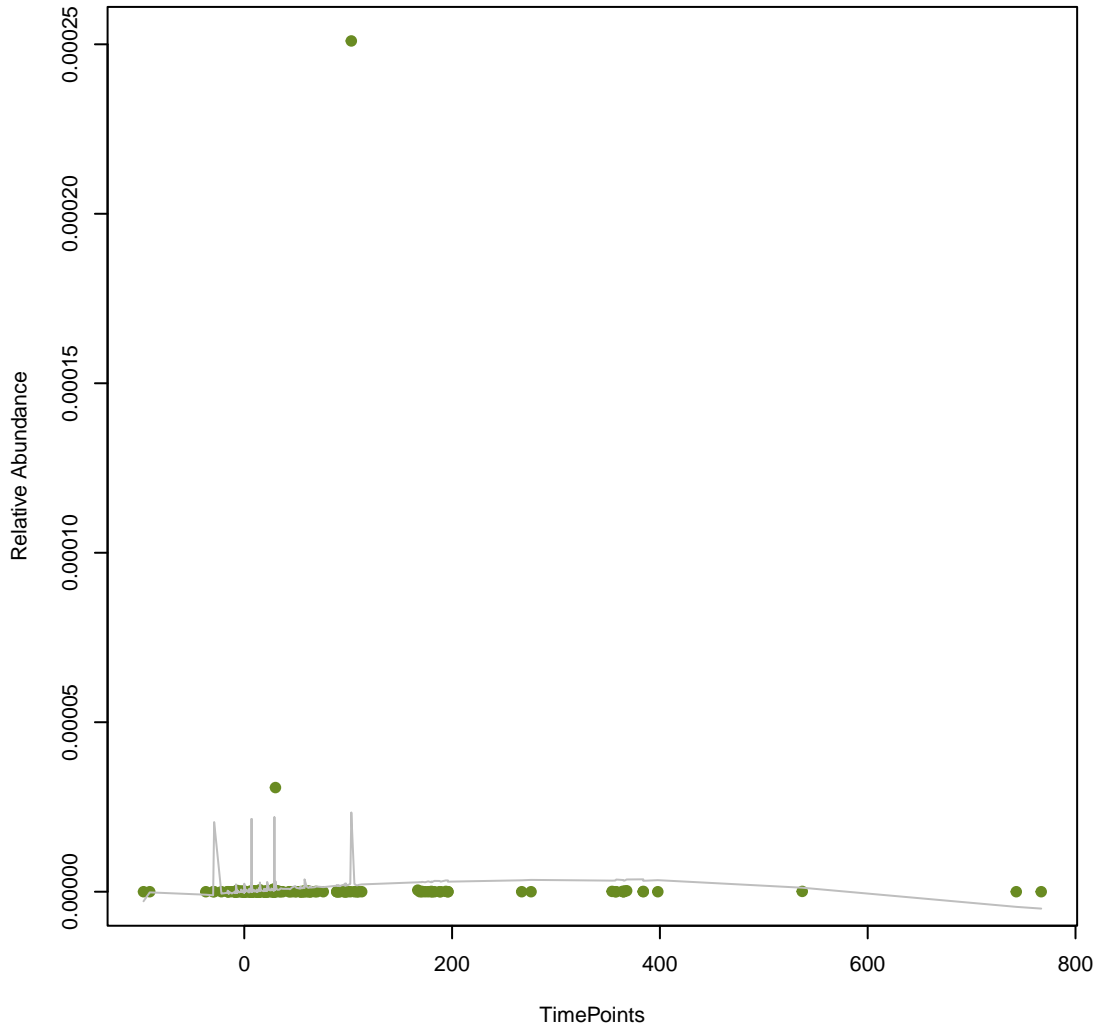
**vsearch
MexI**
ANOVA Pval: 0.542



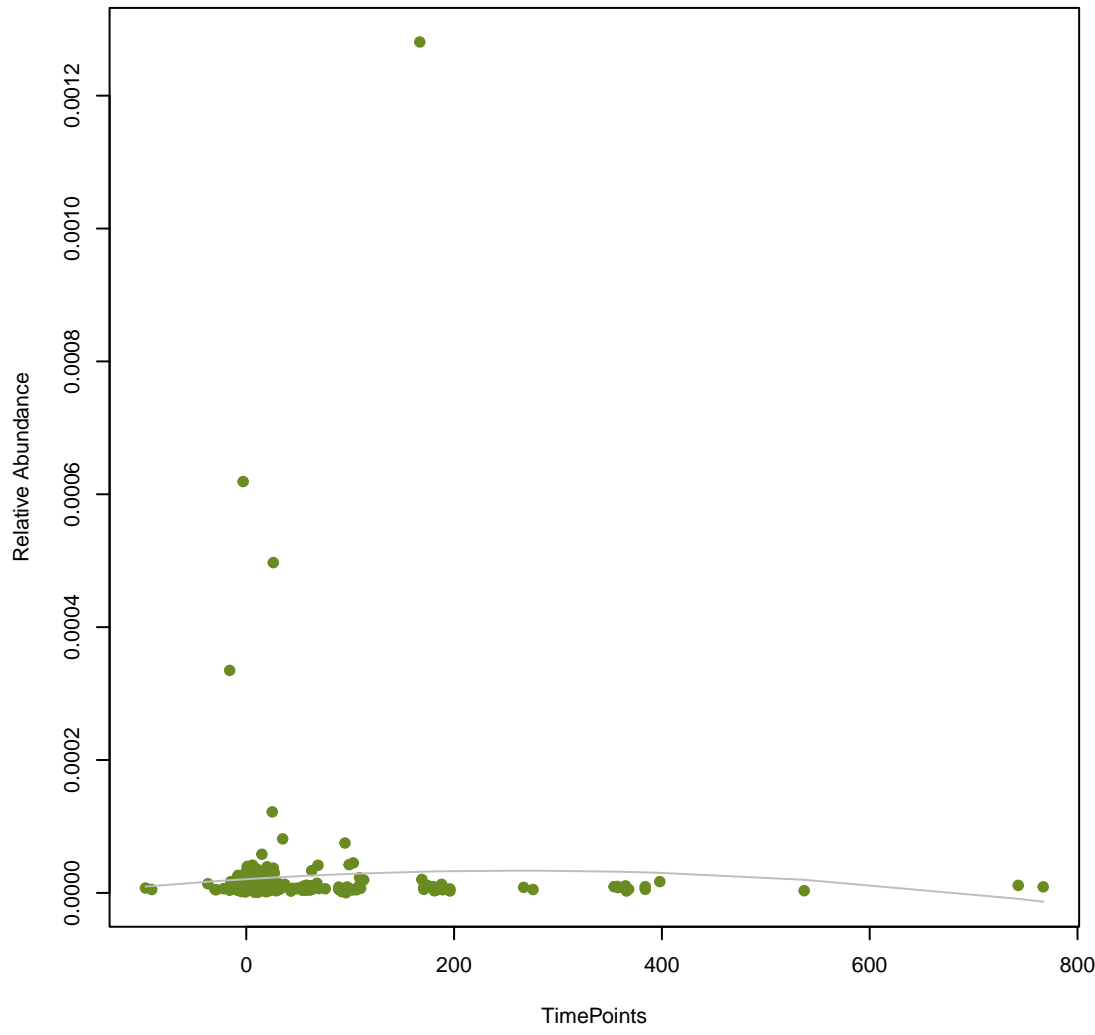
**vsearch
Paer_emrE**
ANOVA Pval: 0.828



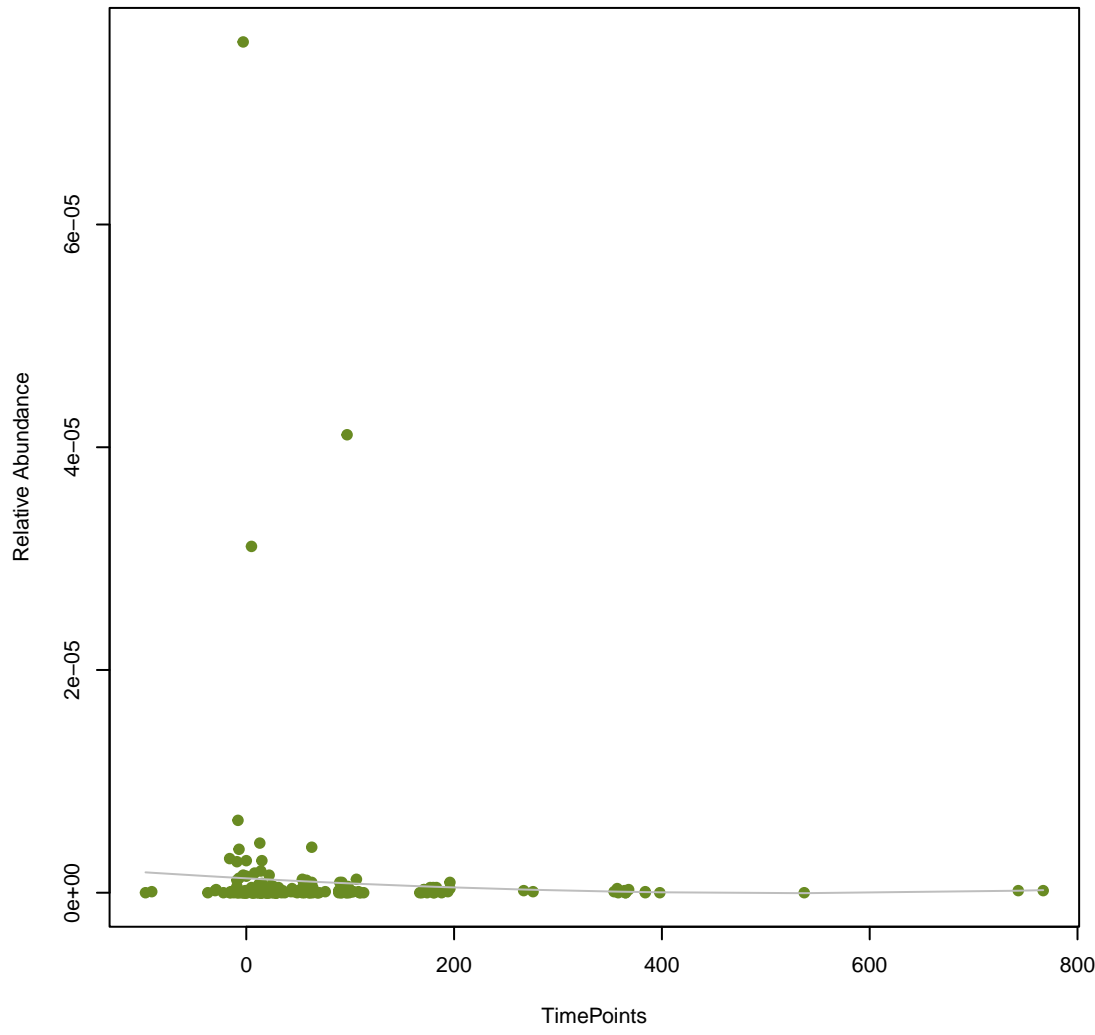
**vsearch
ParS**
ANOVA Pval: 0.537



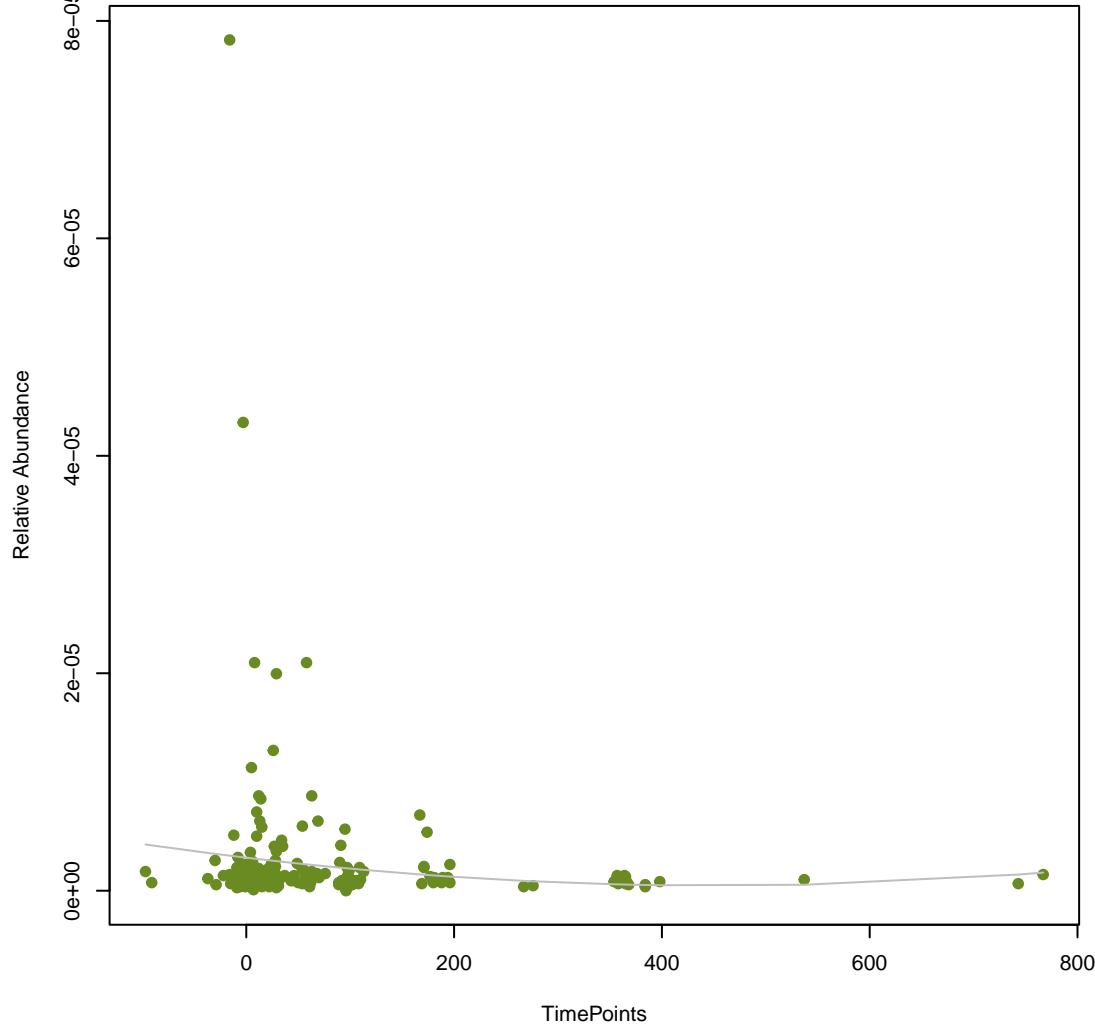
vsearch
ArmR
ANOVA Pval: 0.755



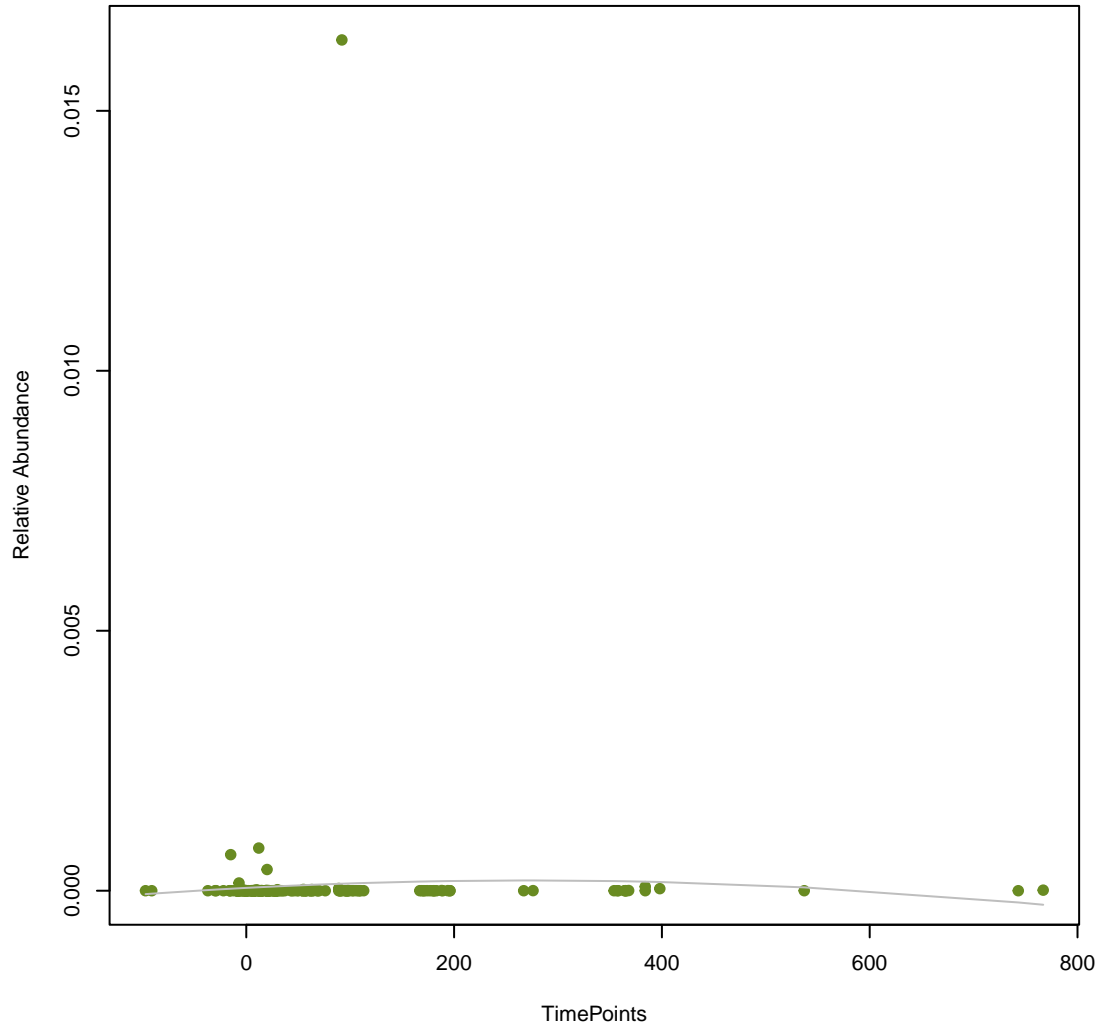
vsearch
patB
ANOVA Pval: 0.723



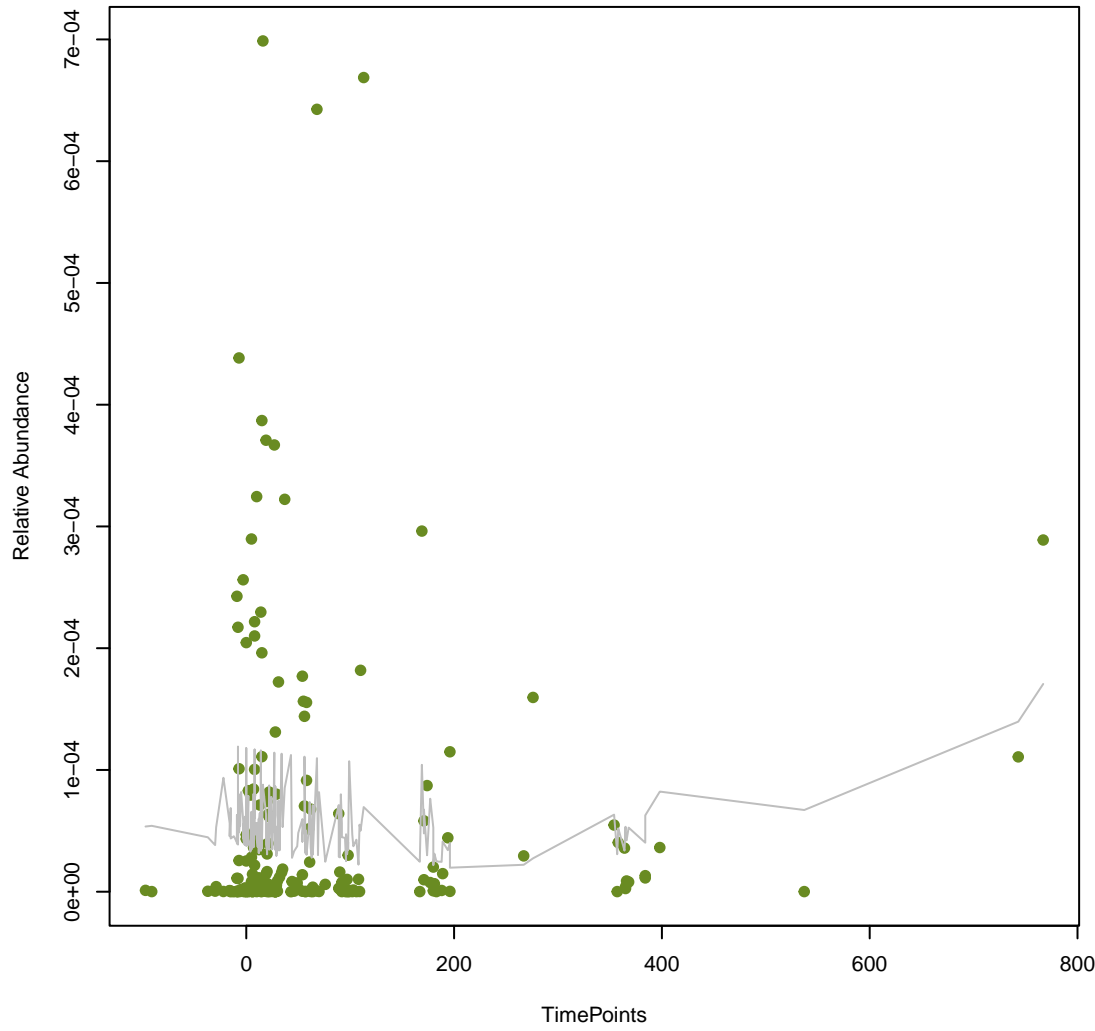
vsearch
vanV_in_vanB_cl
ANOVA Pval: 0.288



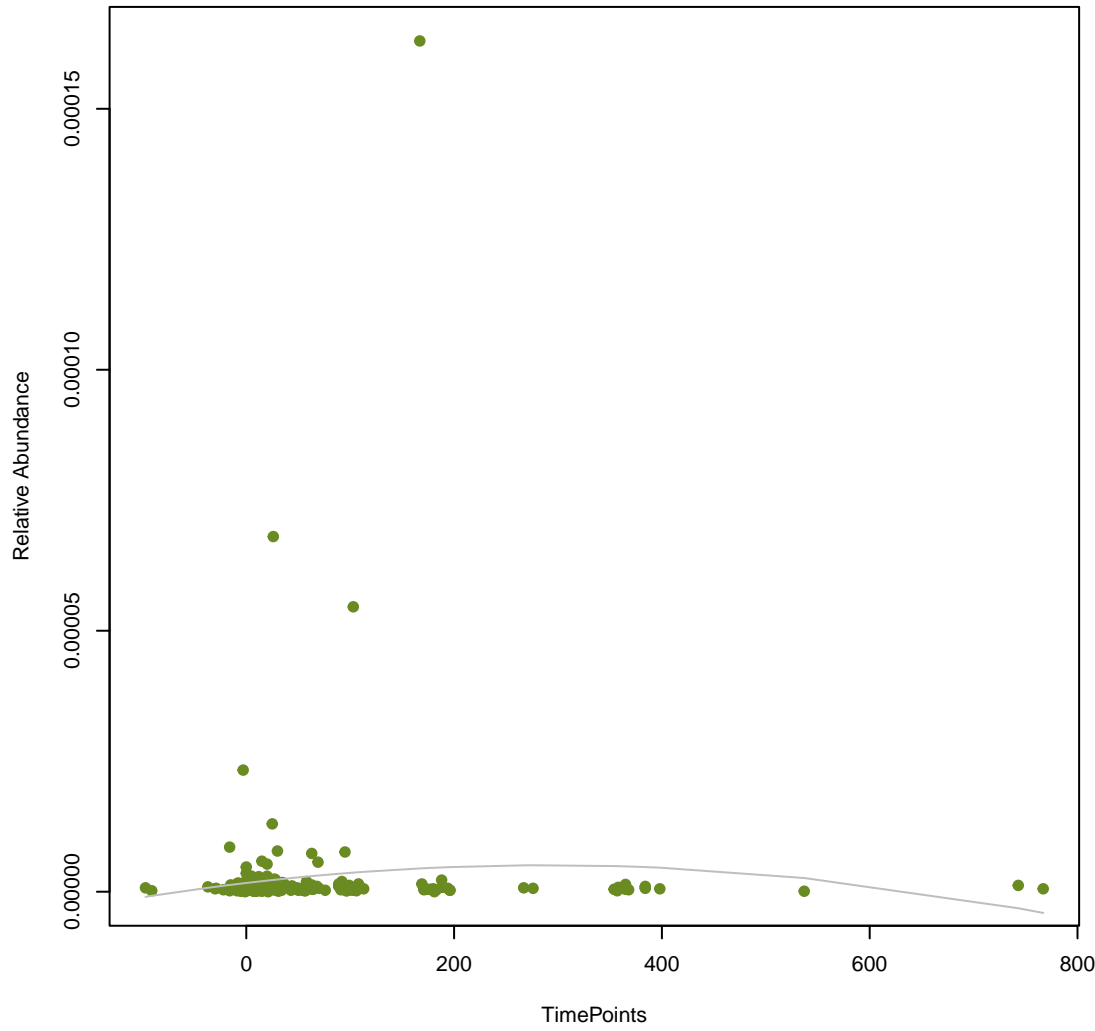
vsearch
APH(6)-Id
ANOVA Pval: 0.762

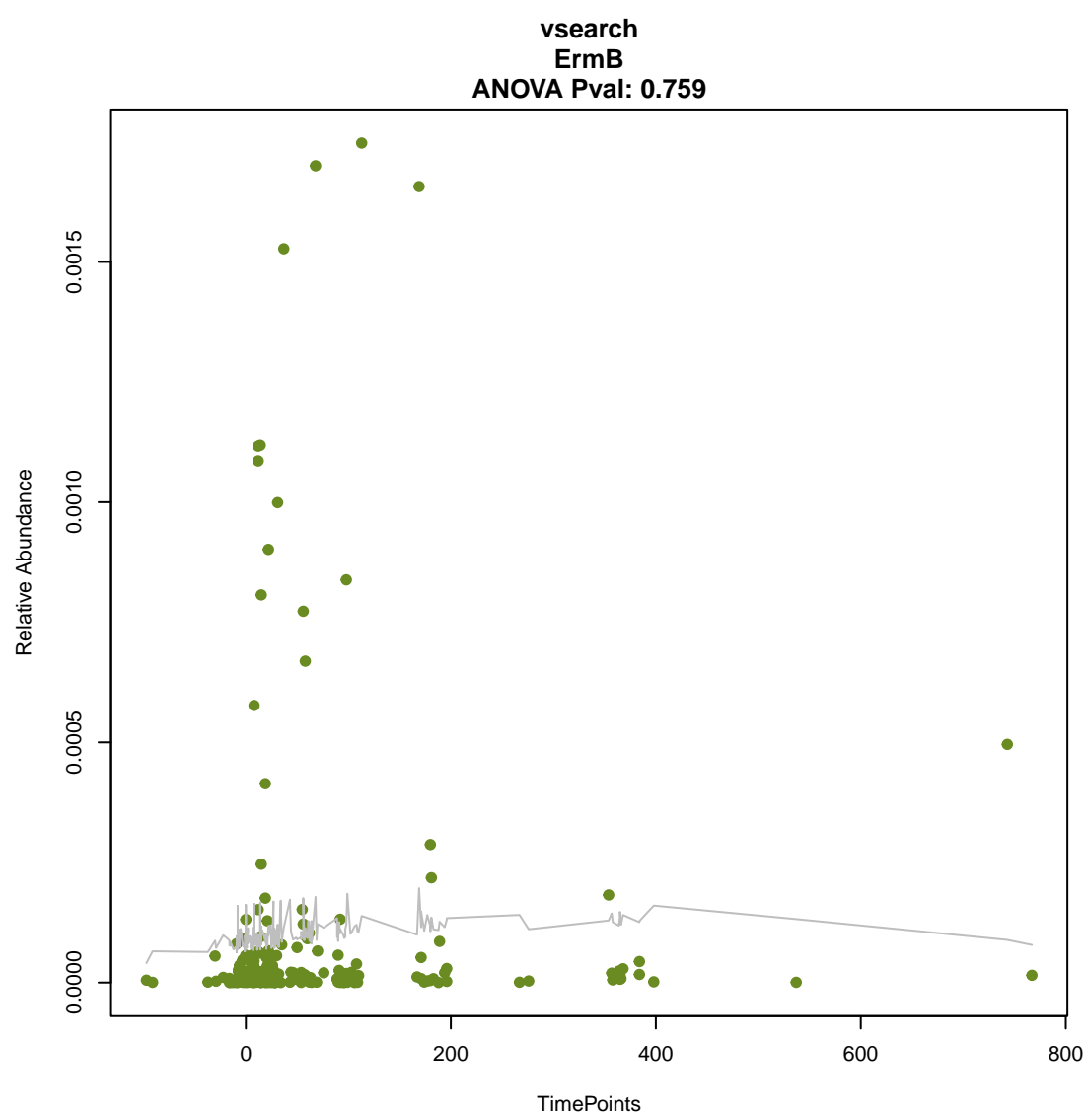
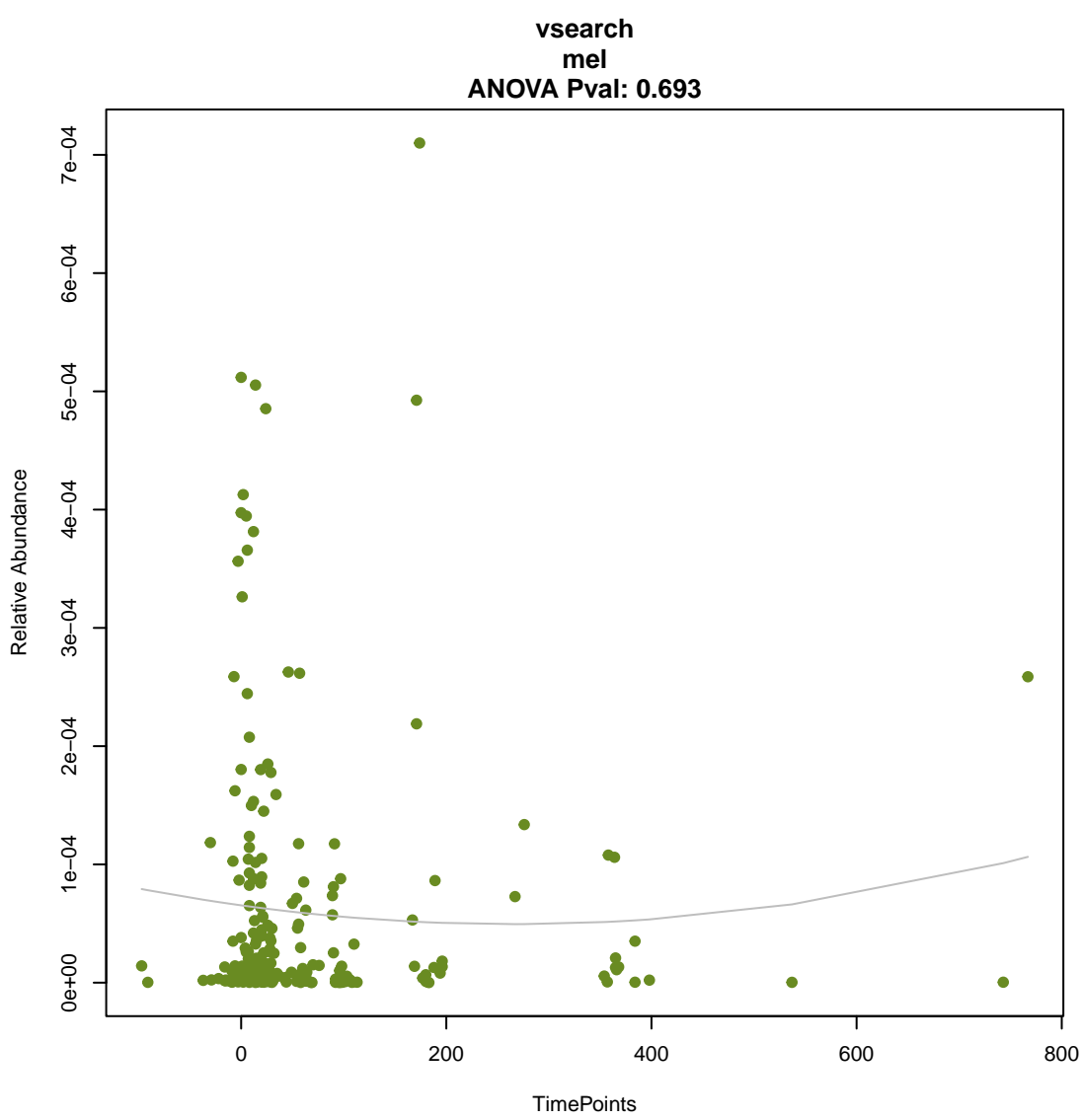
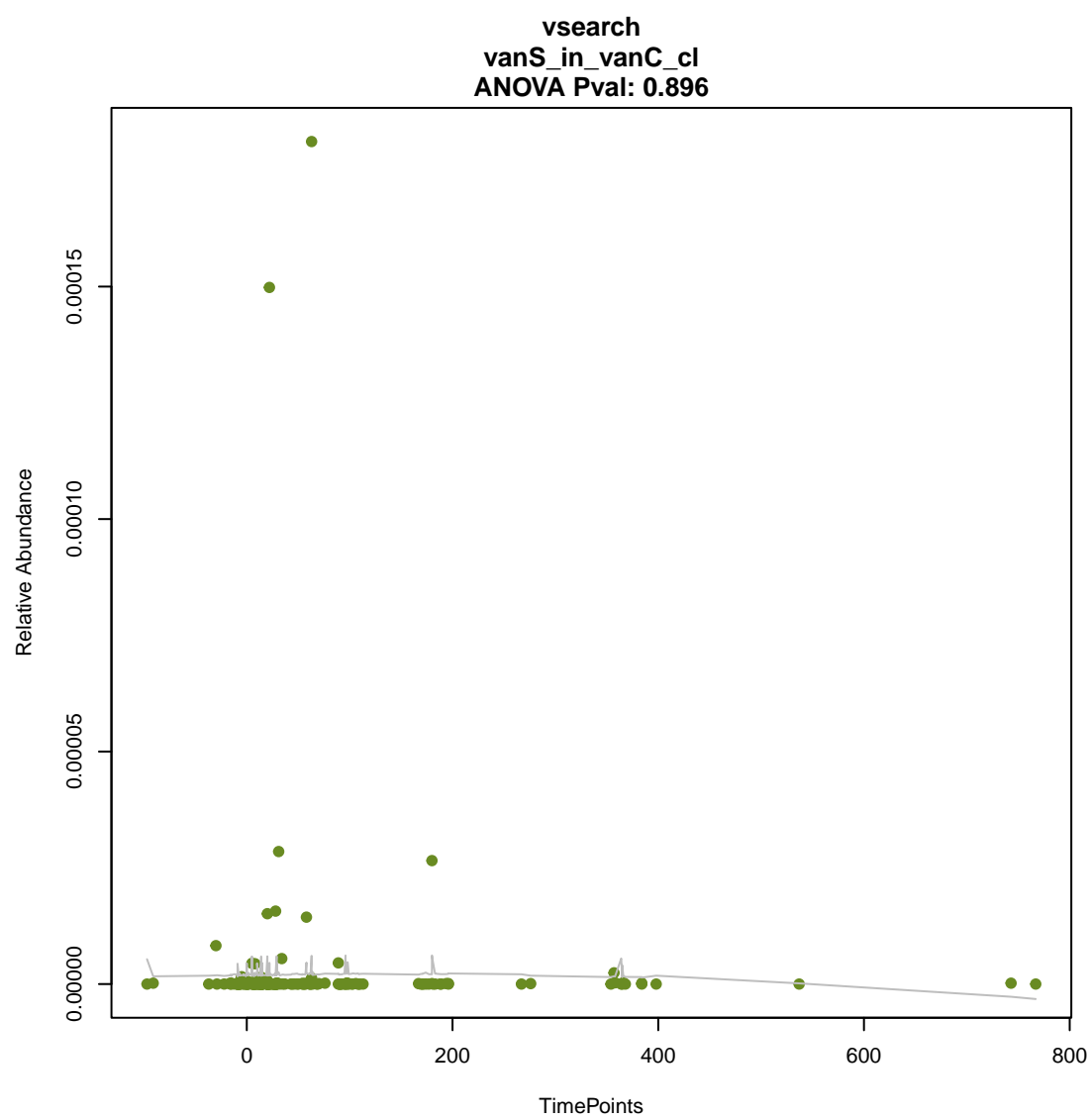
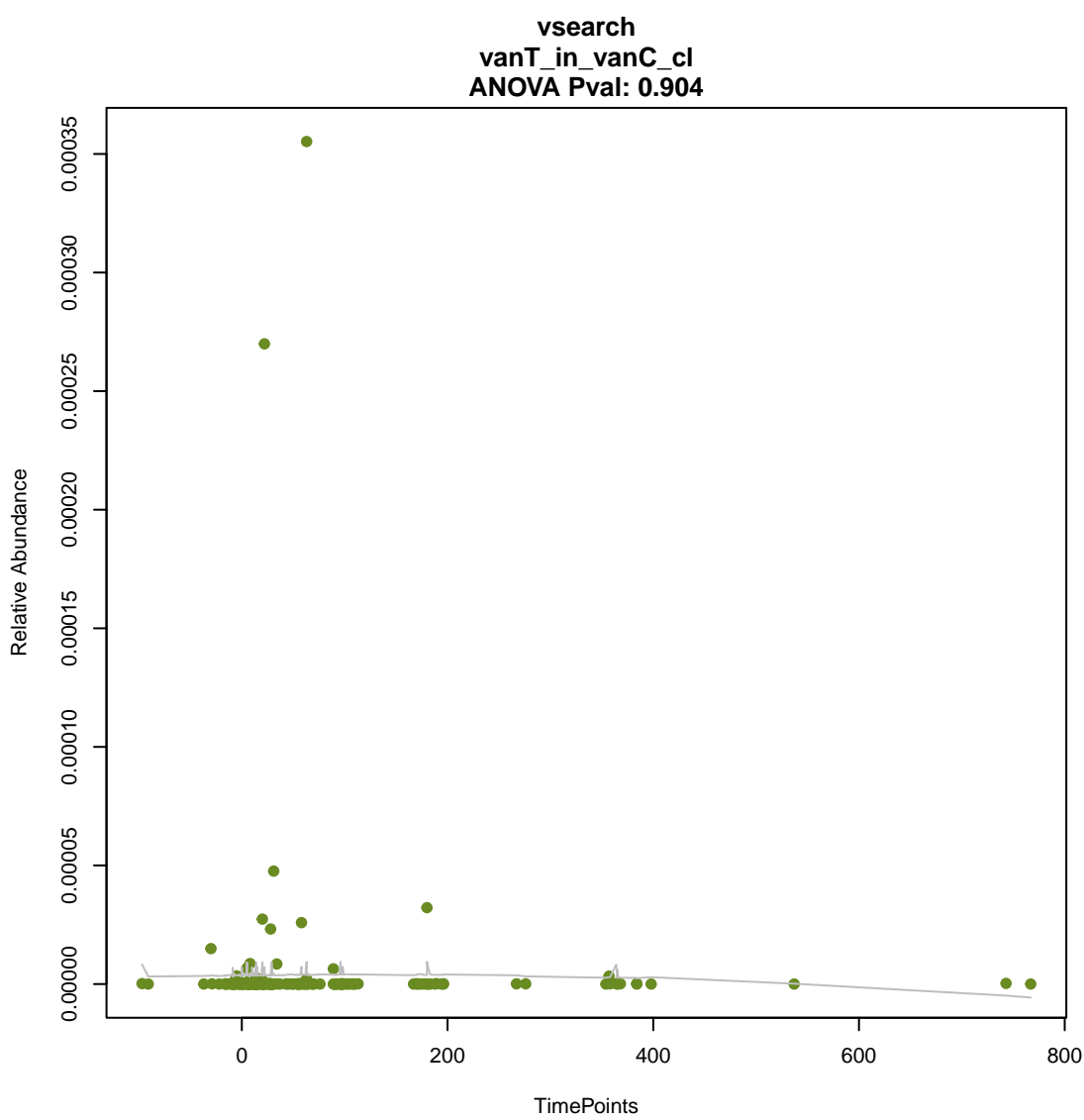
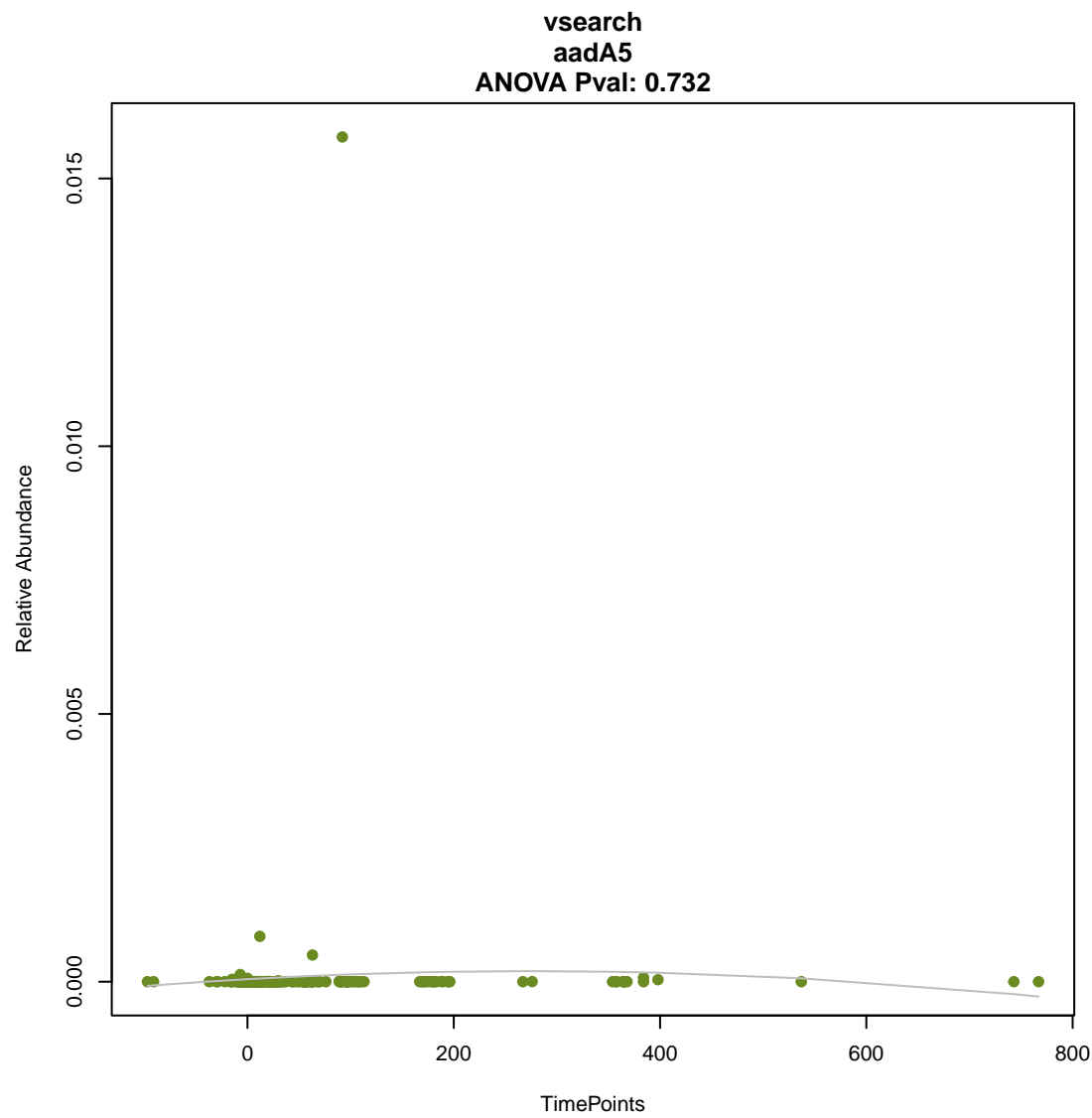
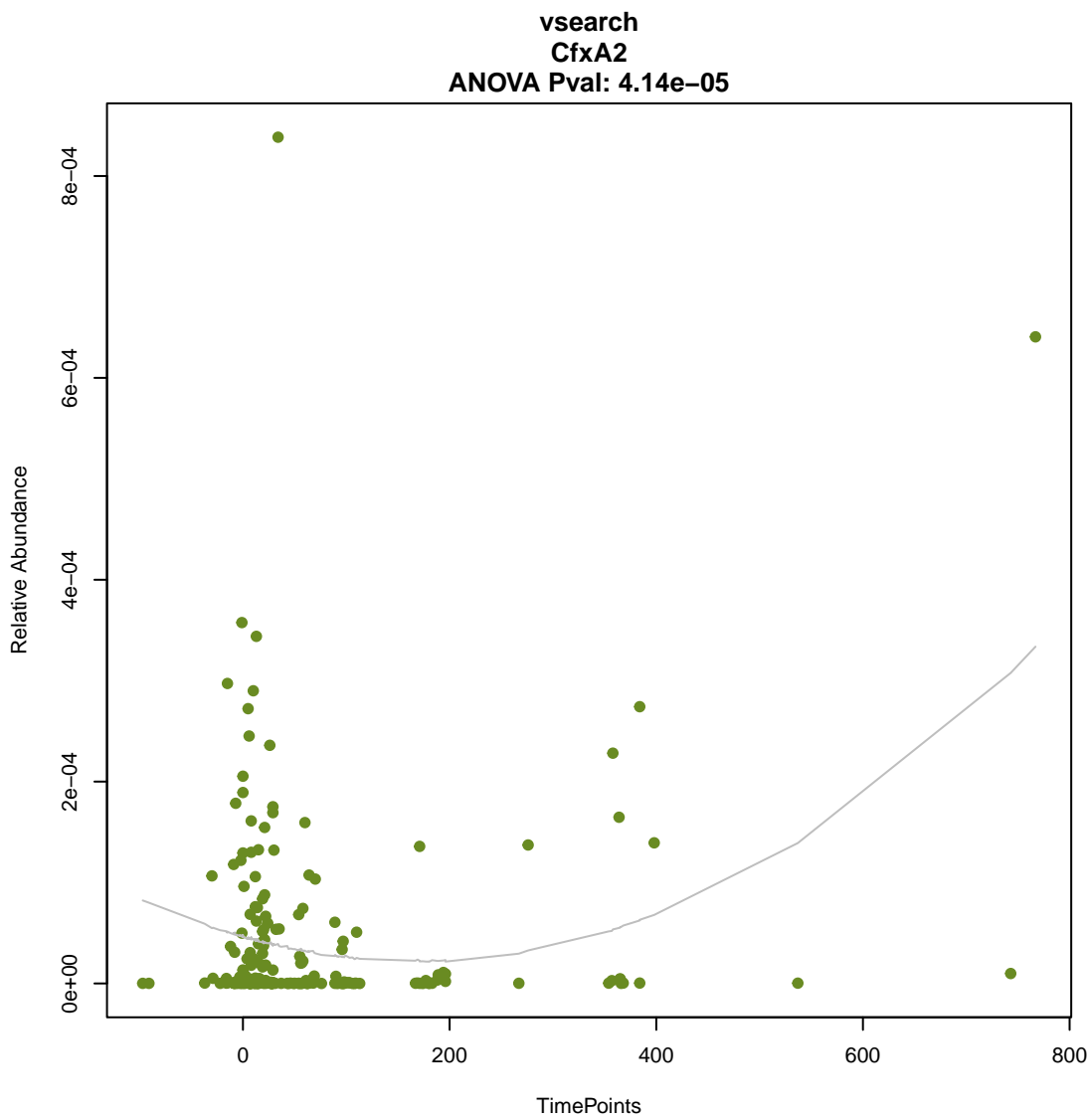


vsearch
dfrF
ANOVA Pval: 0.254

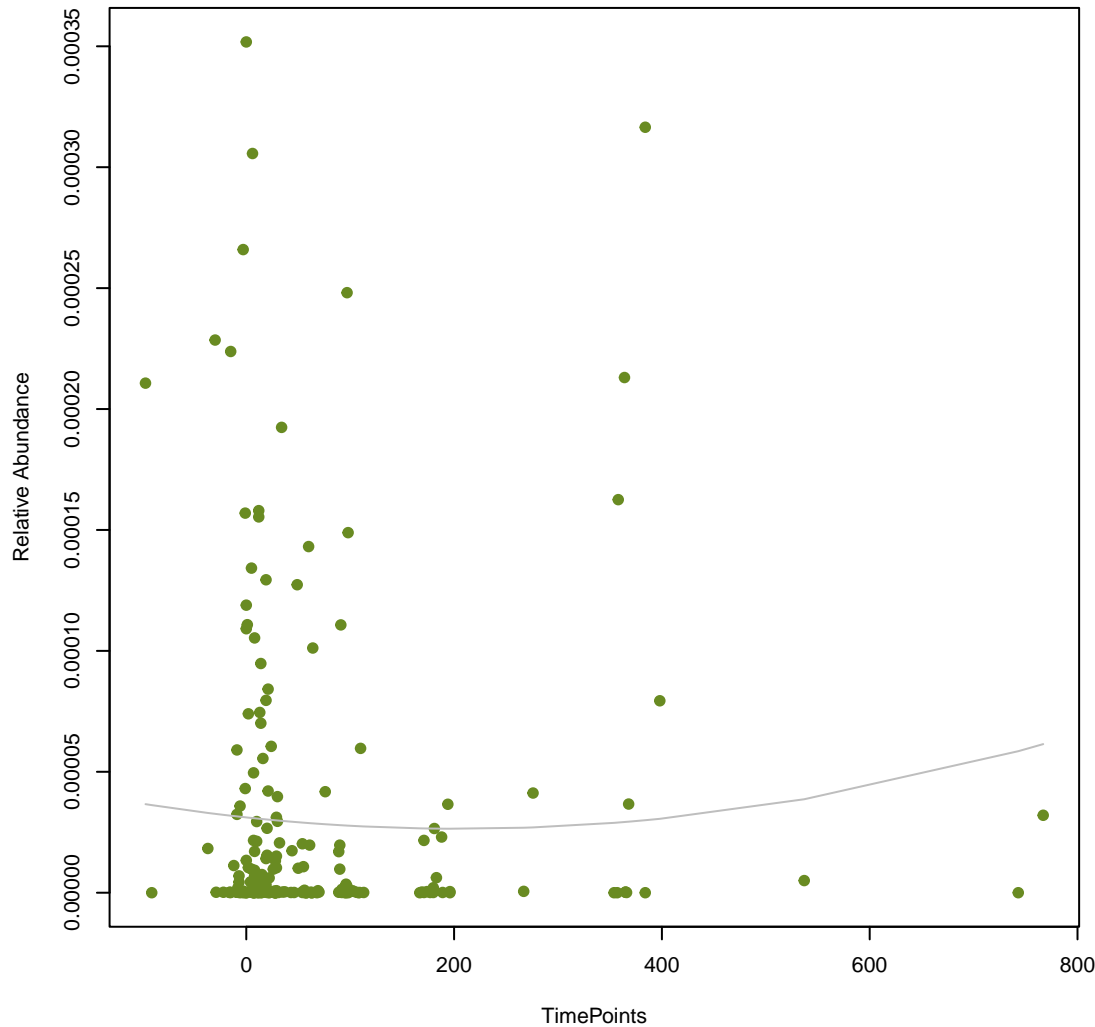


vsearch
rsmA
ANOVA Pval: 0.362

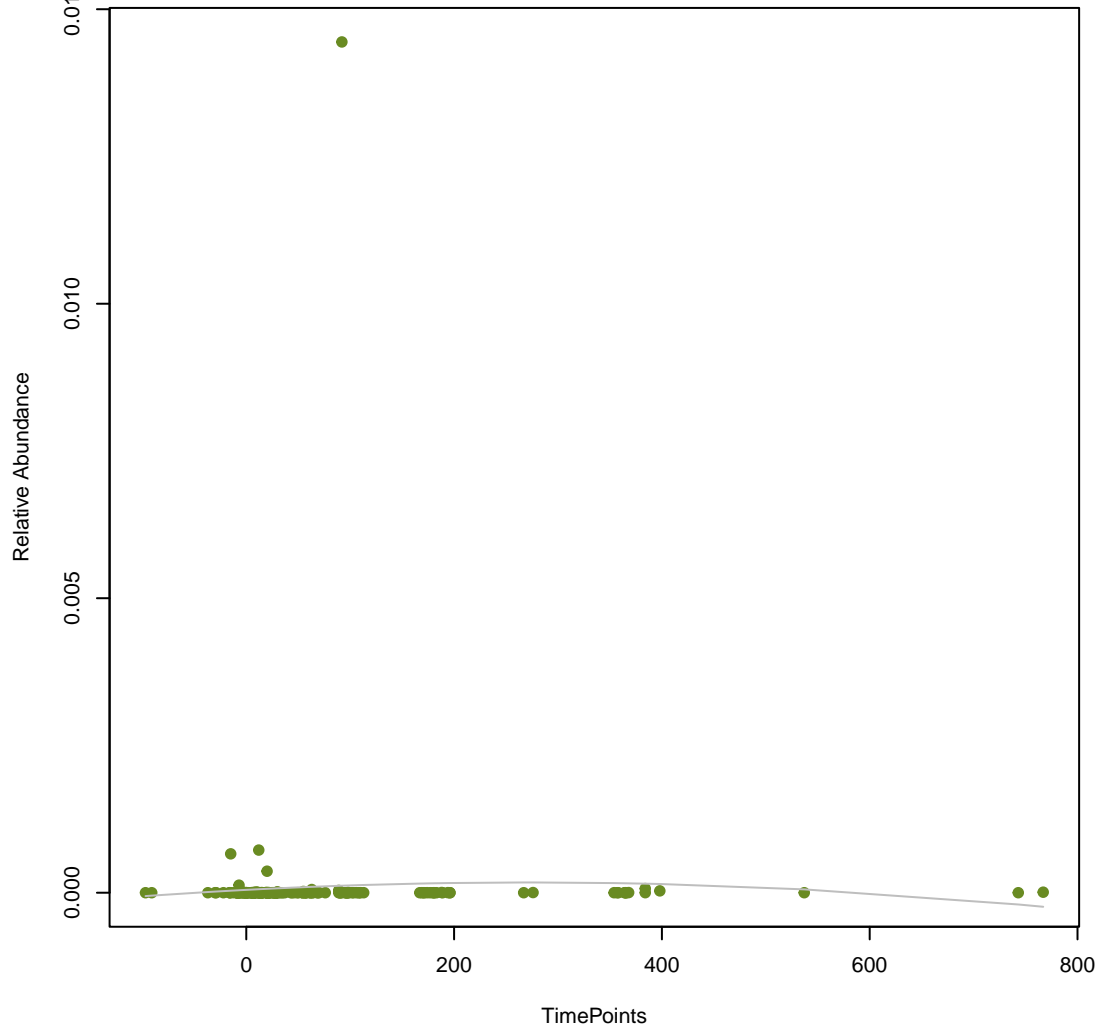




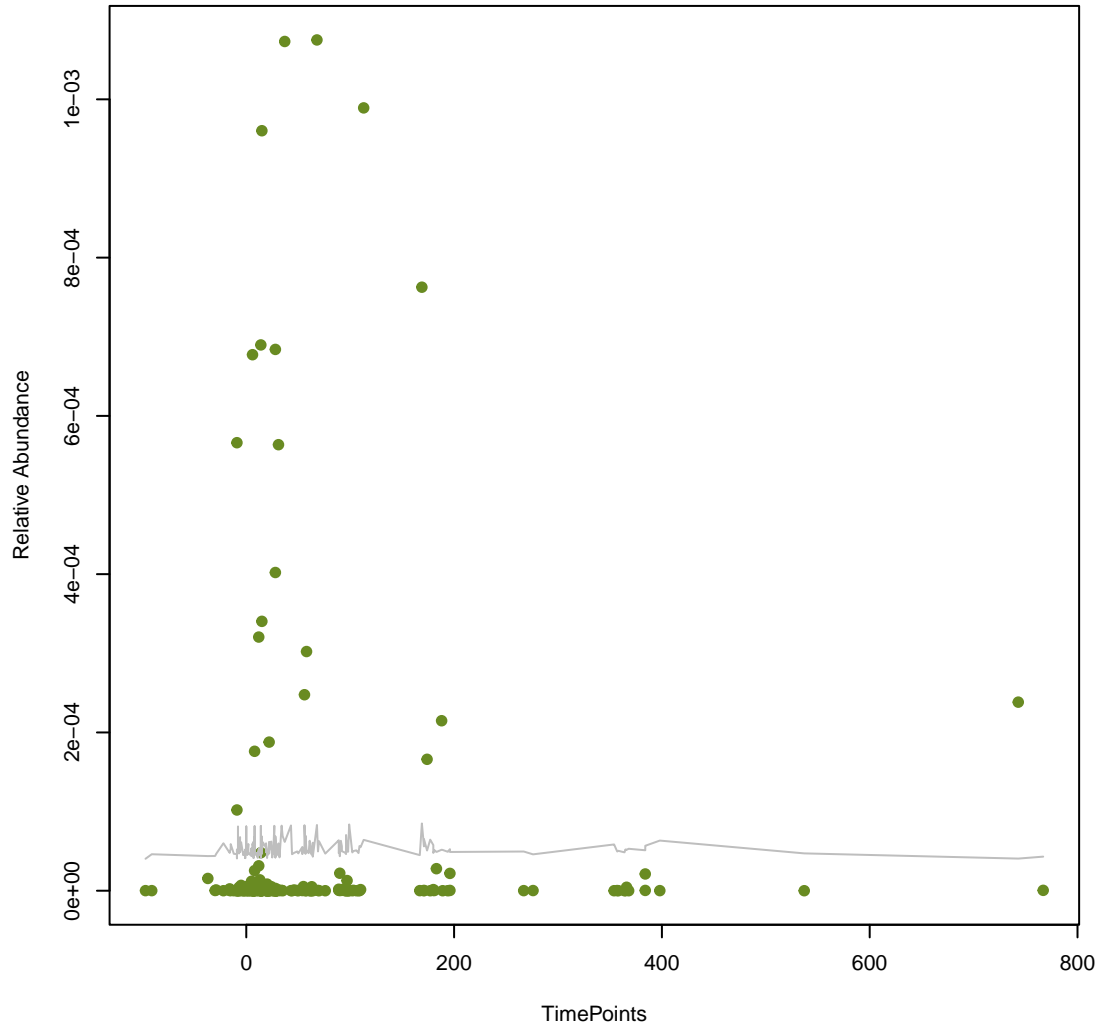
vsearch
Mef(En2)
ANOVA Pval: 0.738



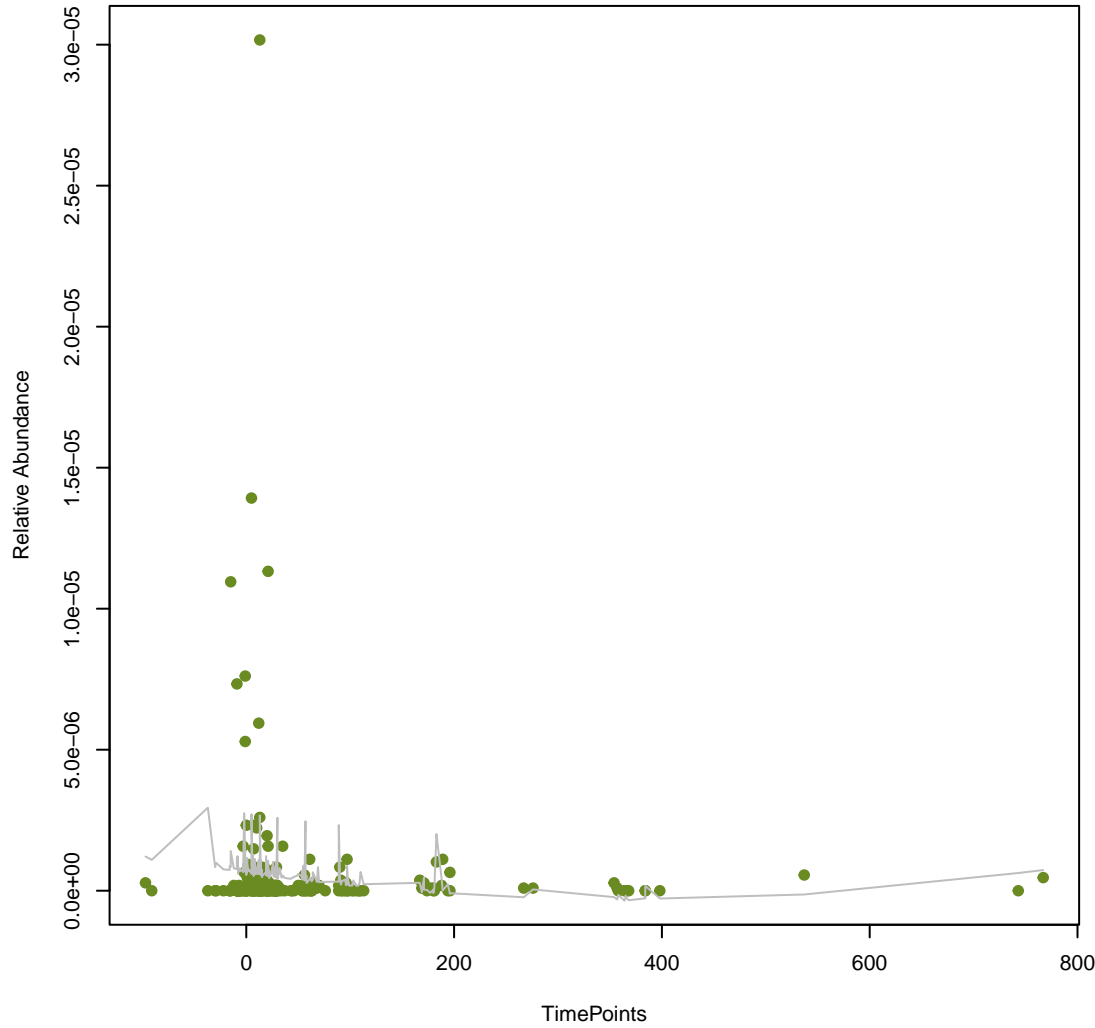
vsearch
APH(3'')-Ib
ANOVA Pval: 0.763



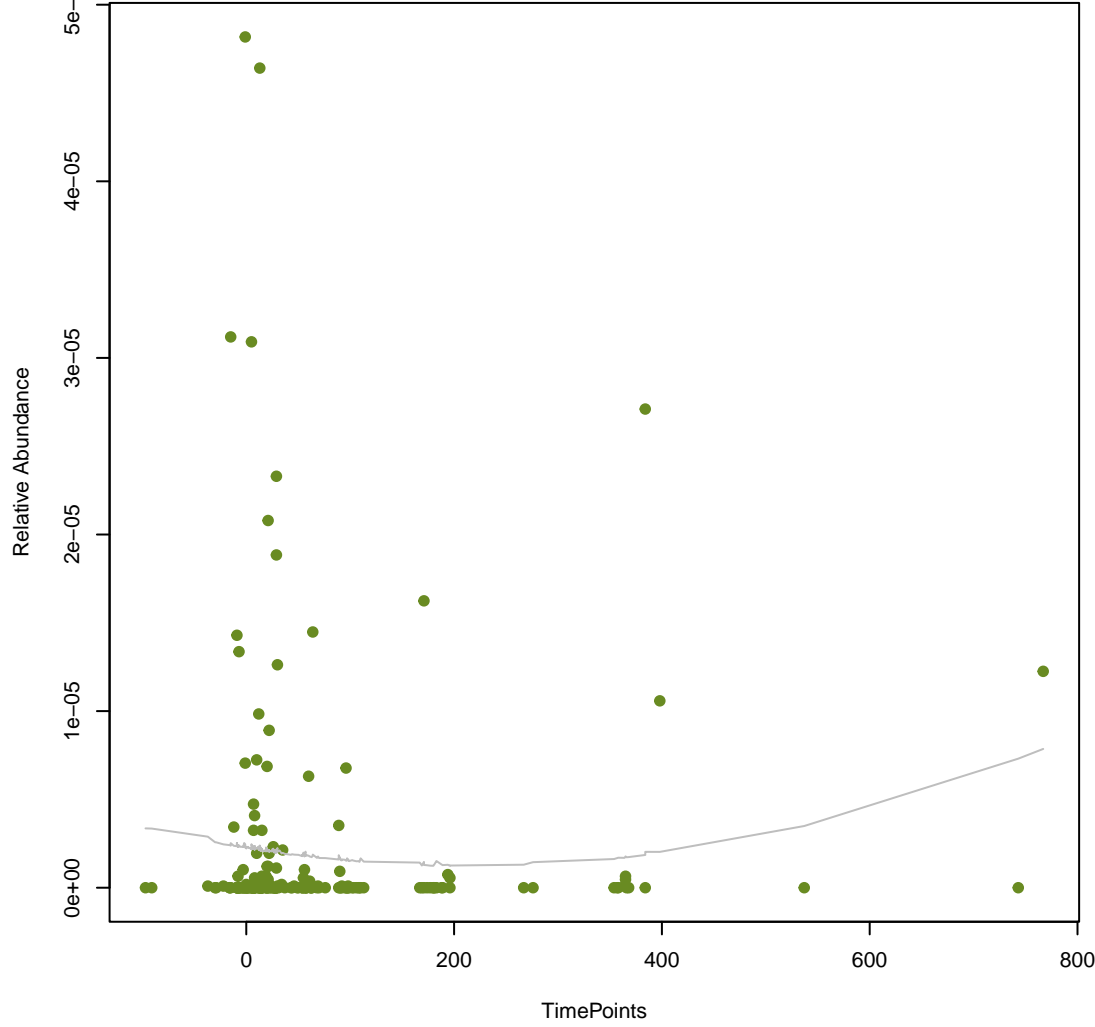
vsearch
msrC
ANOVA Pval: 0.992



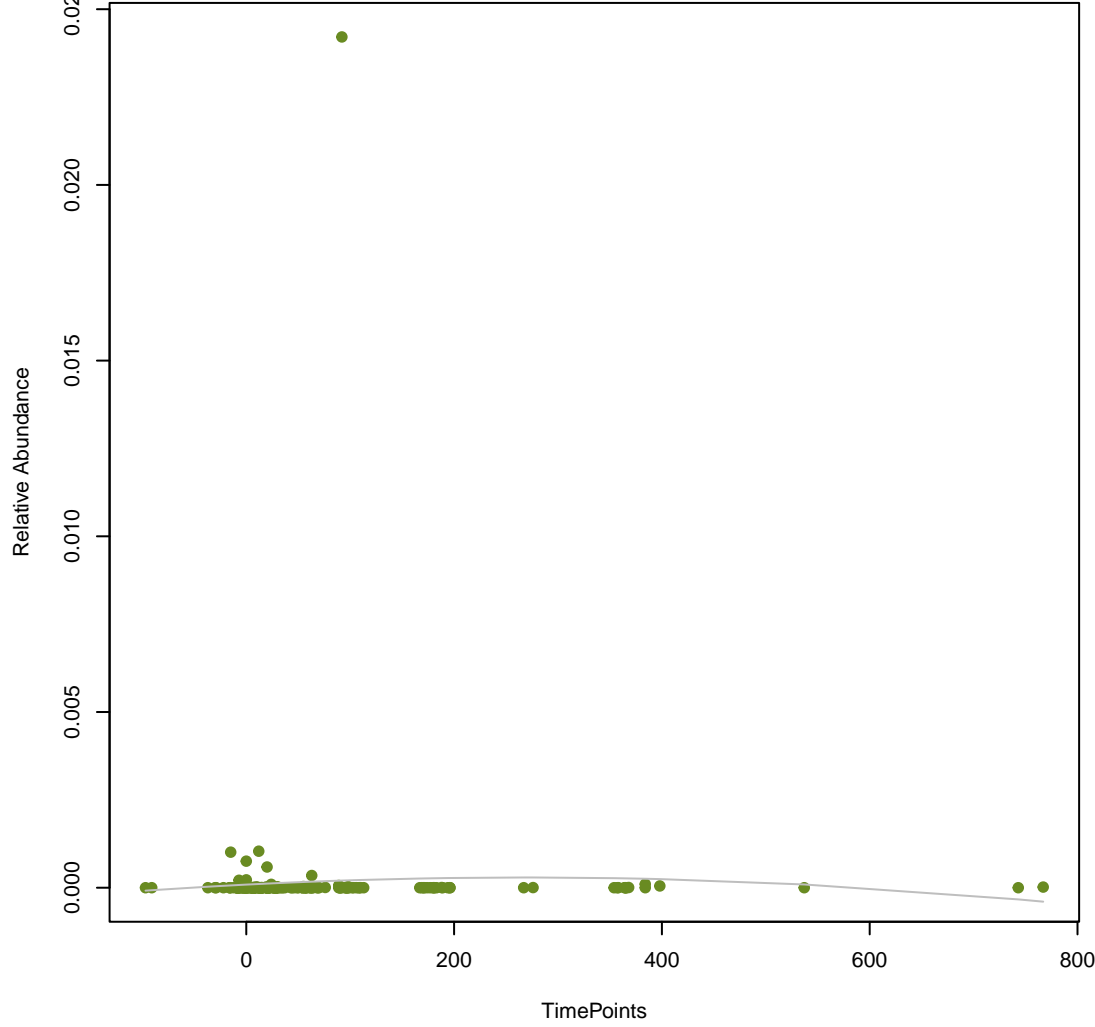
vsearch
Erm(35)
ANOVA Pval: 0.253



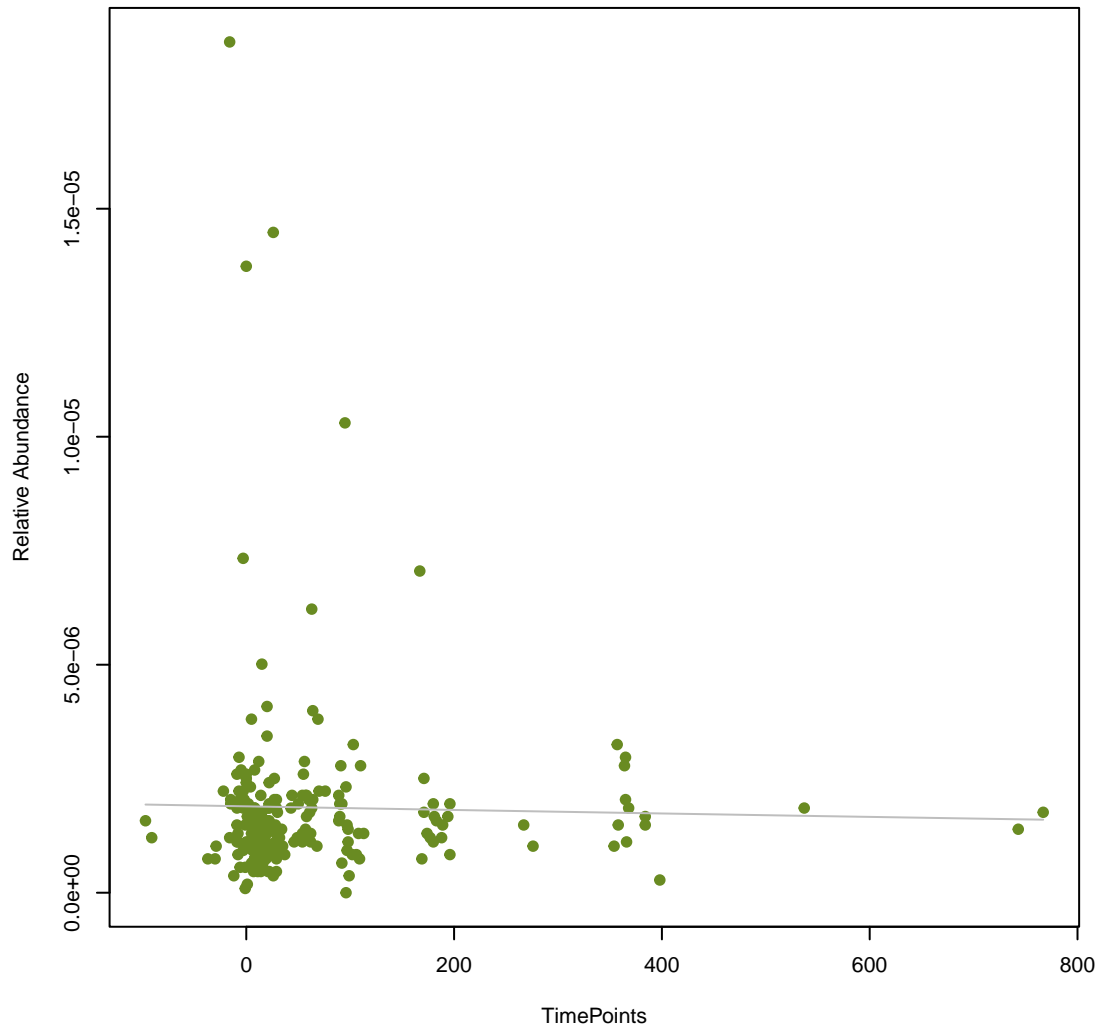
vsearch
CfxA3
ANOVA Pval: 0.363



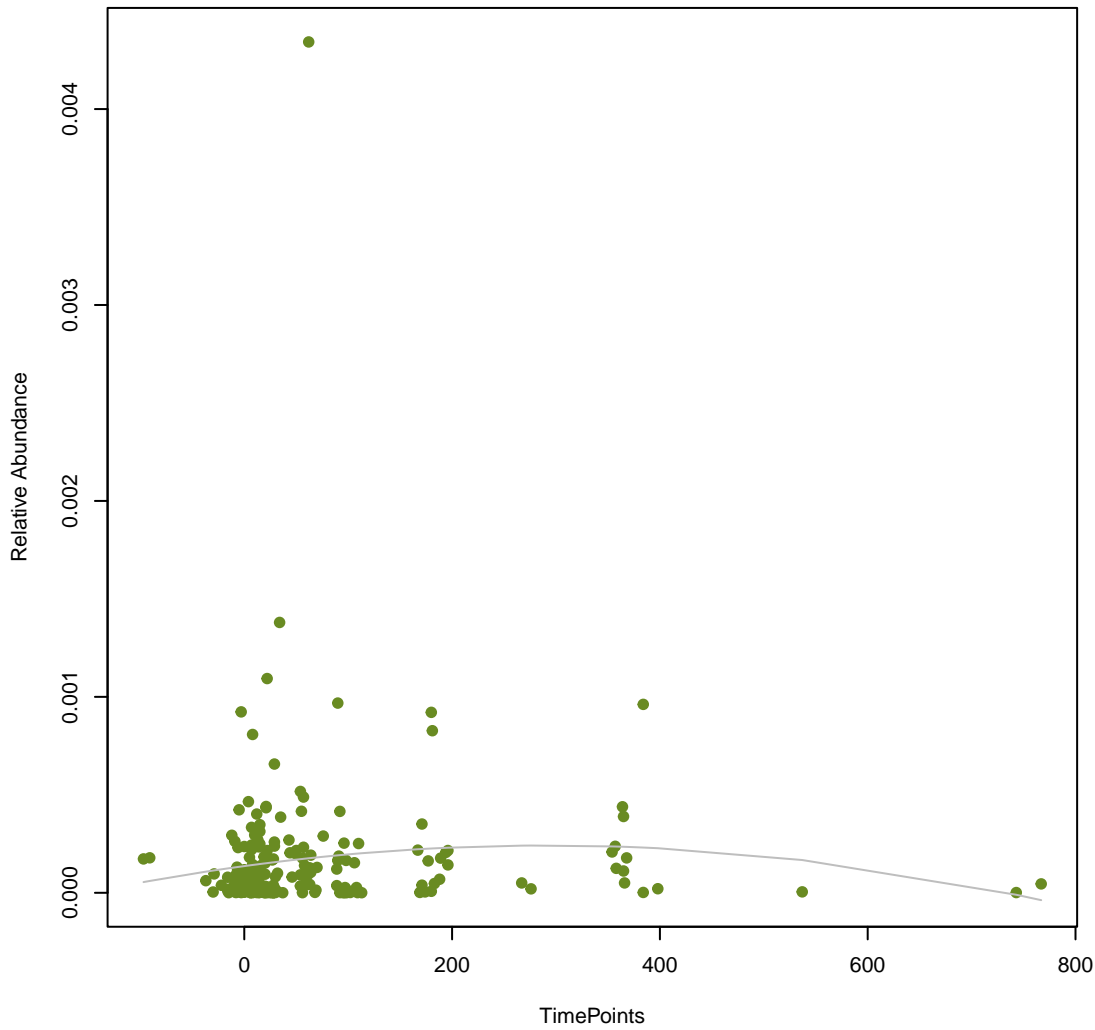
vsearch
tet(A)
ANOVA Pval: 0.773



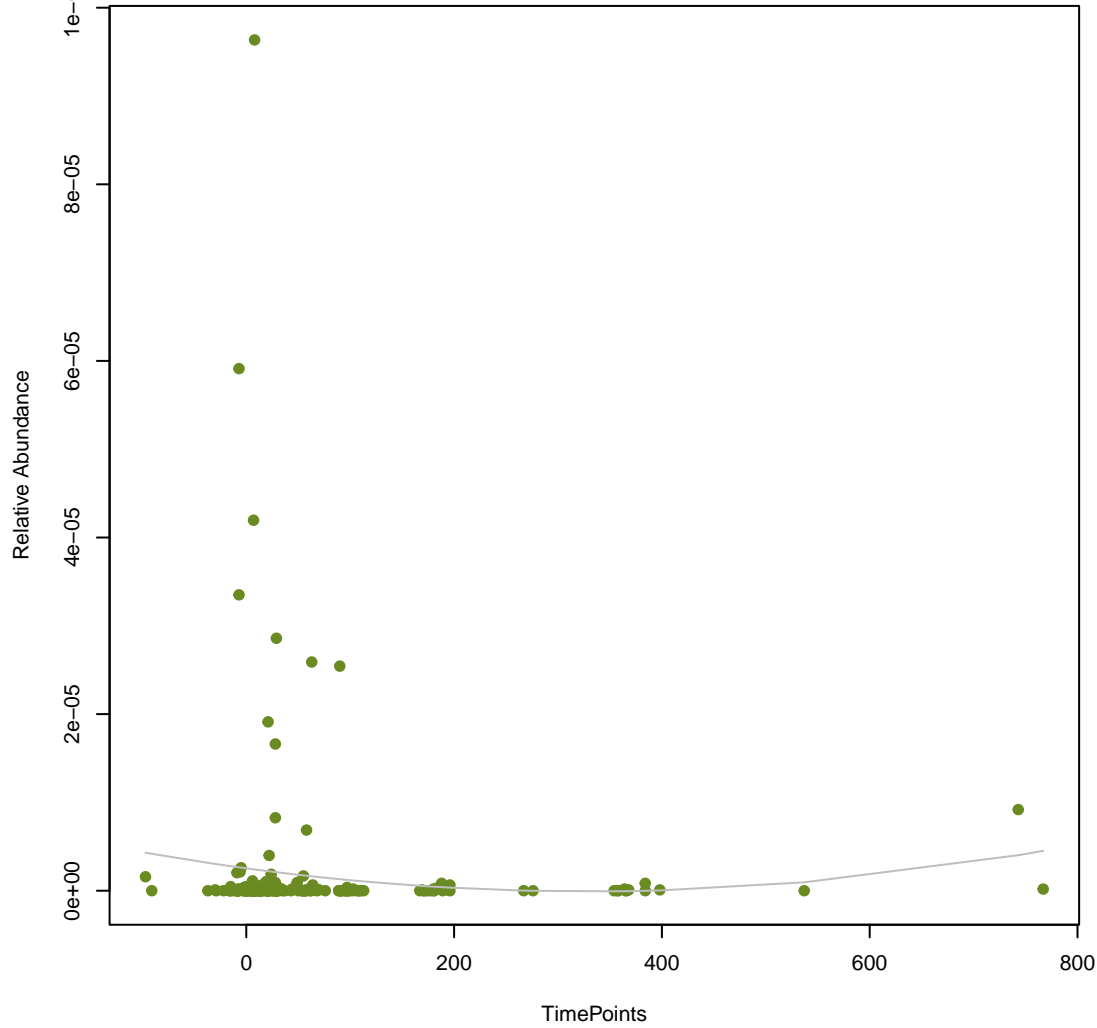
**vsearch
tet37**
ANOVA Pval: 0.947



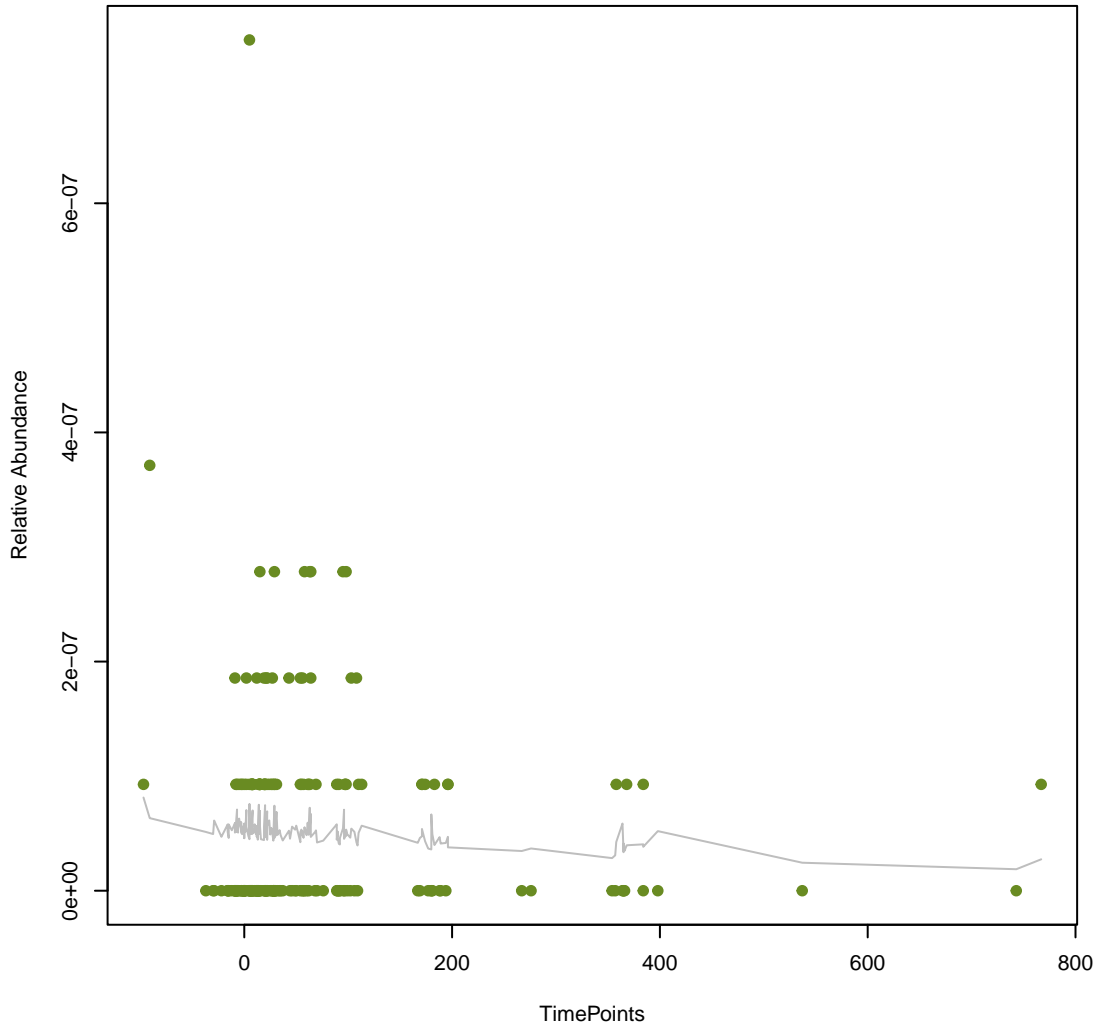
**vsearch
tetW**
ANOVA Pval: 0.296



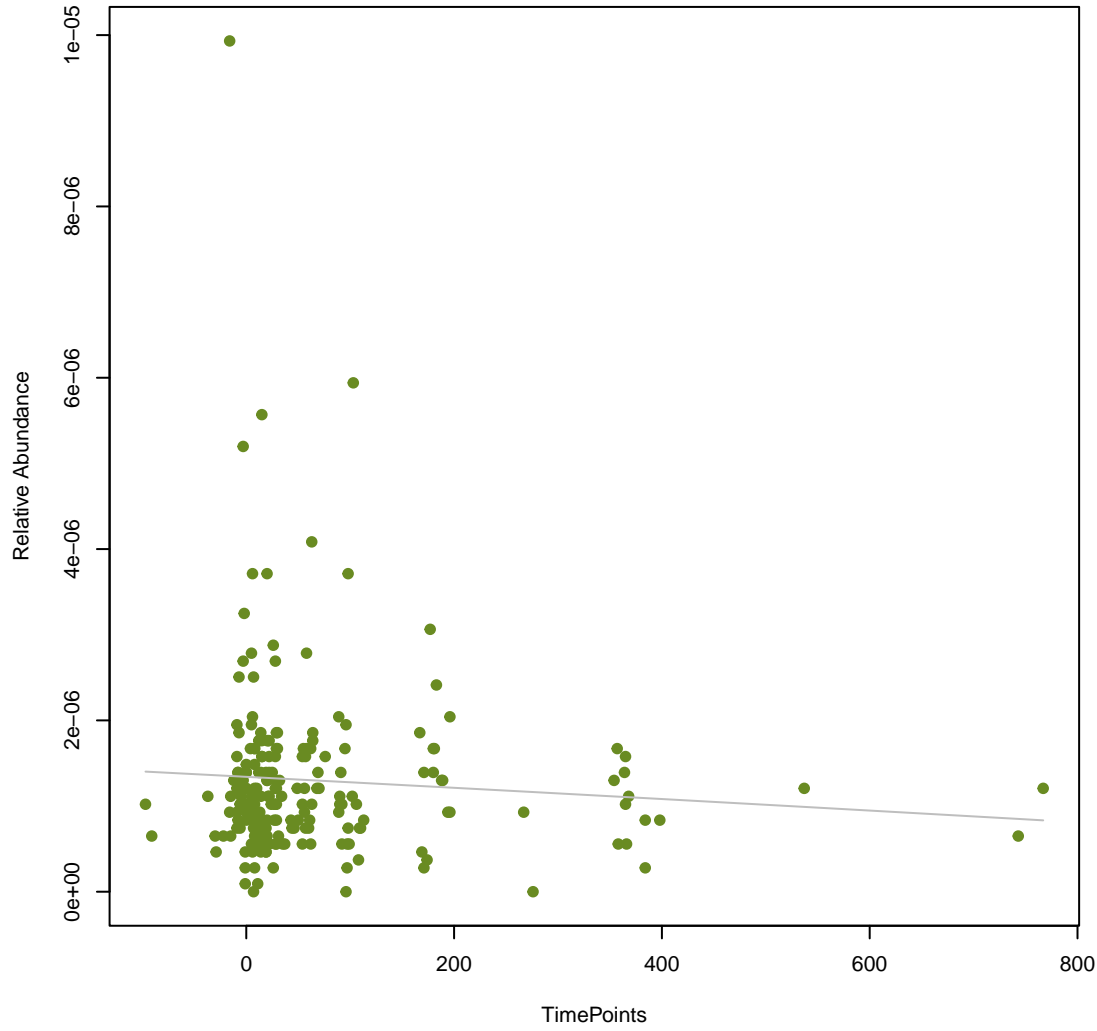
**vsearch
Kpne_acrA**
ANOVA Pval: 0.407



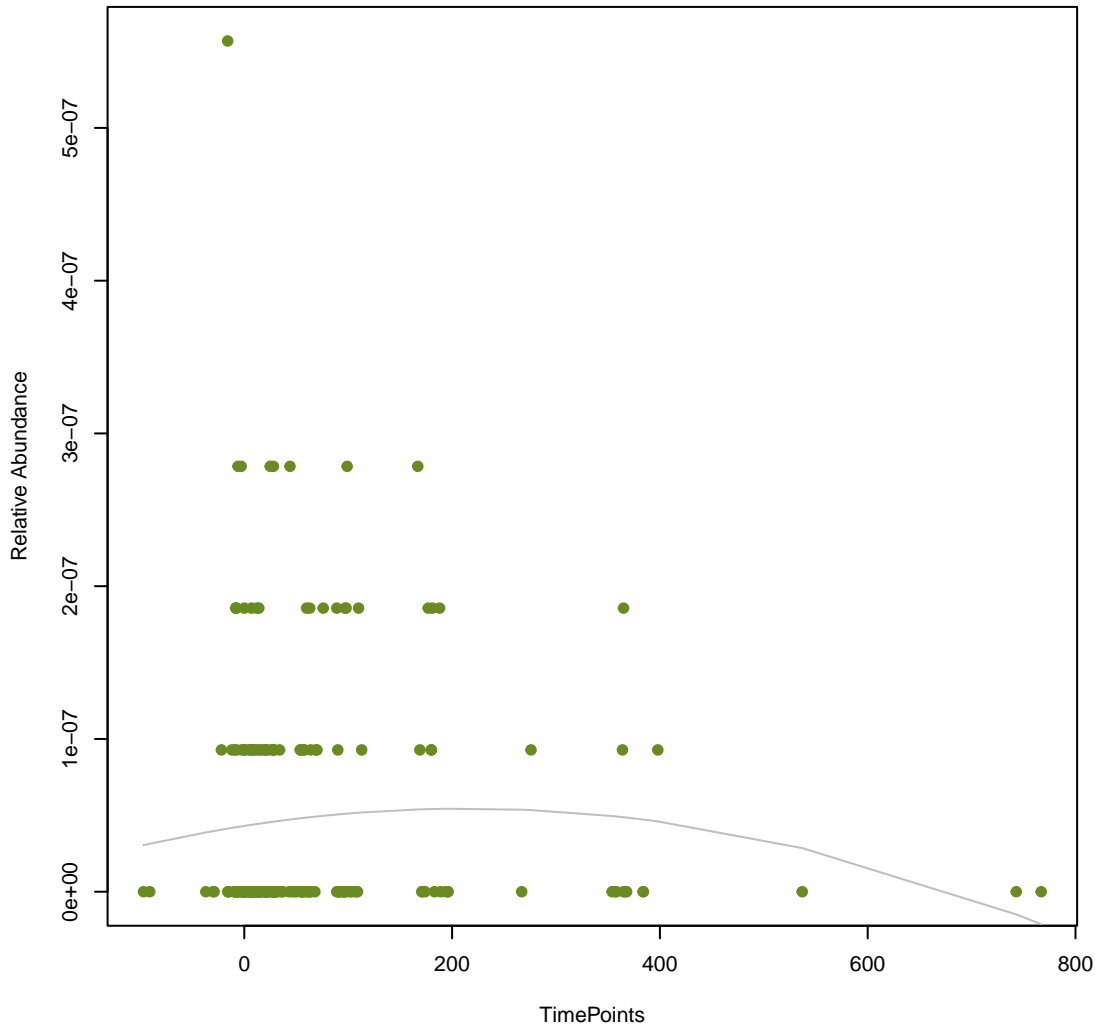
**vsearch
OCH-1**
ANOVA Pval: 0.679



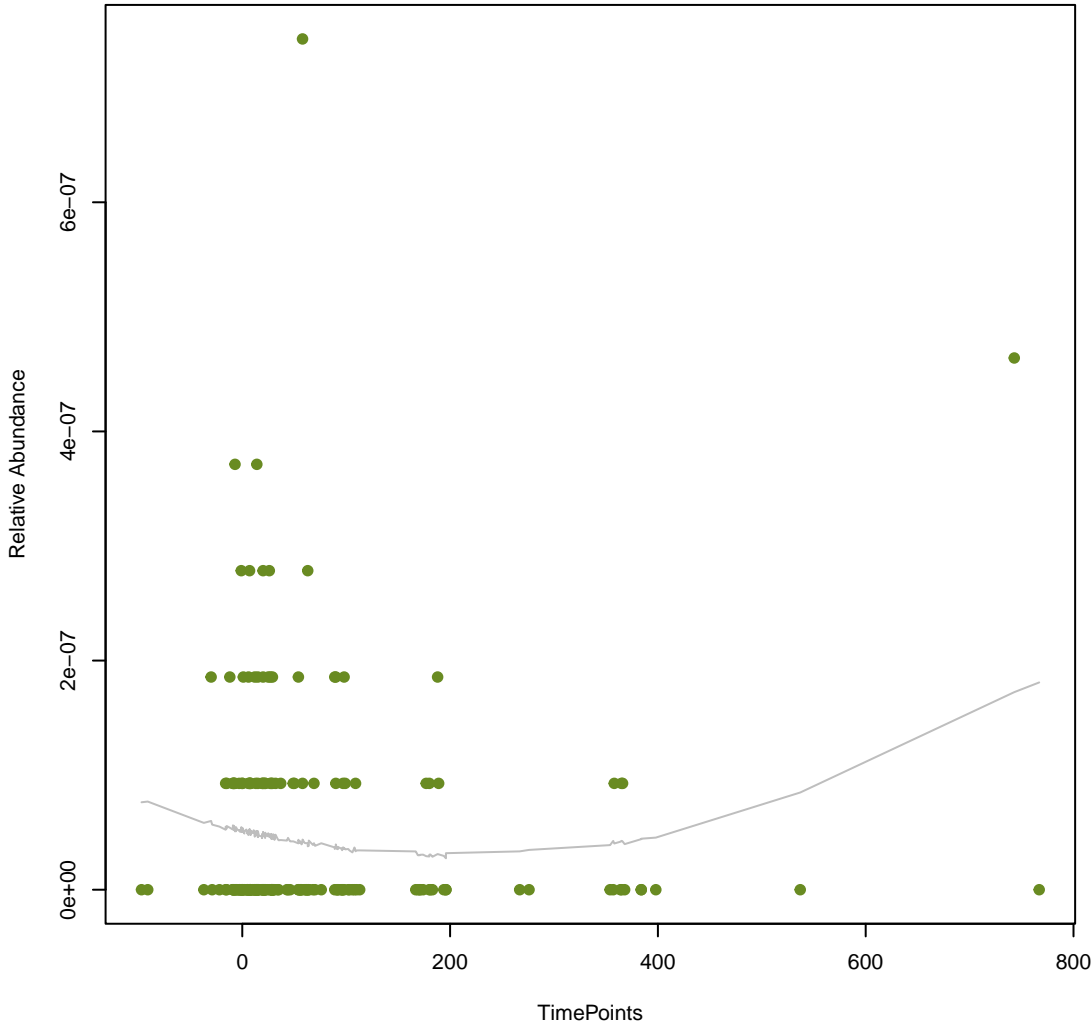
**vsearch
qacJ**
ANOVA Pval: 0.561



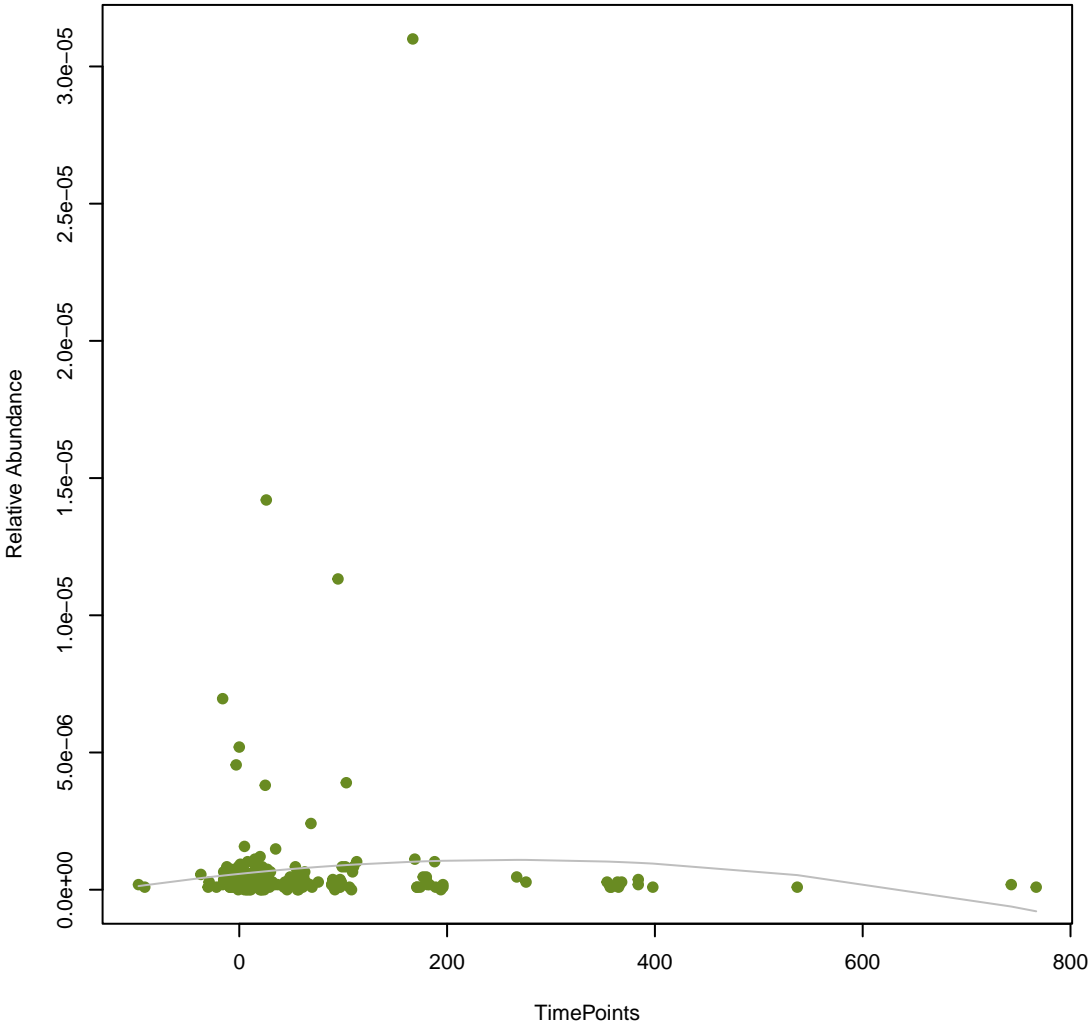
**vsearch
OKP-B-12**
ANOVA Pval: 0.414



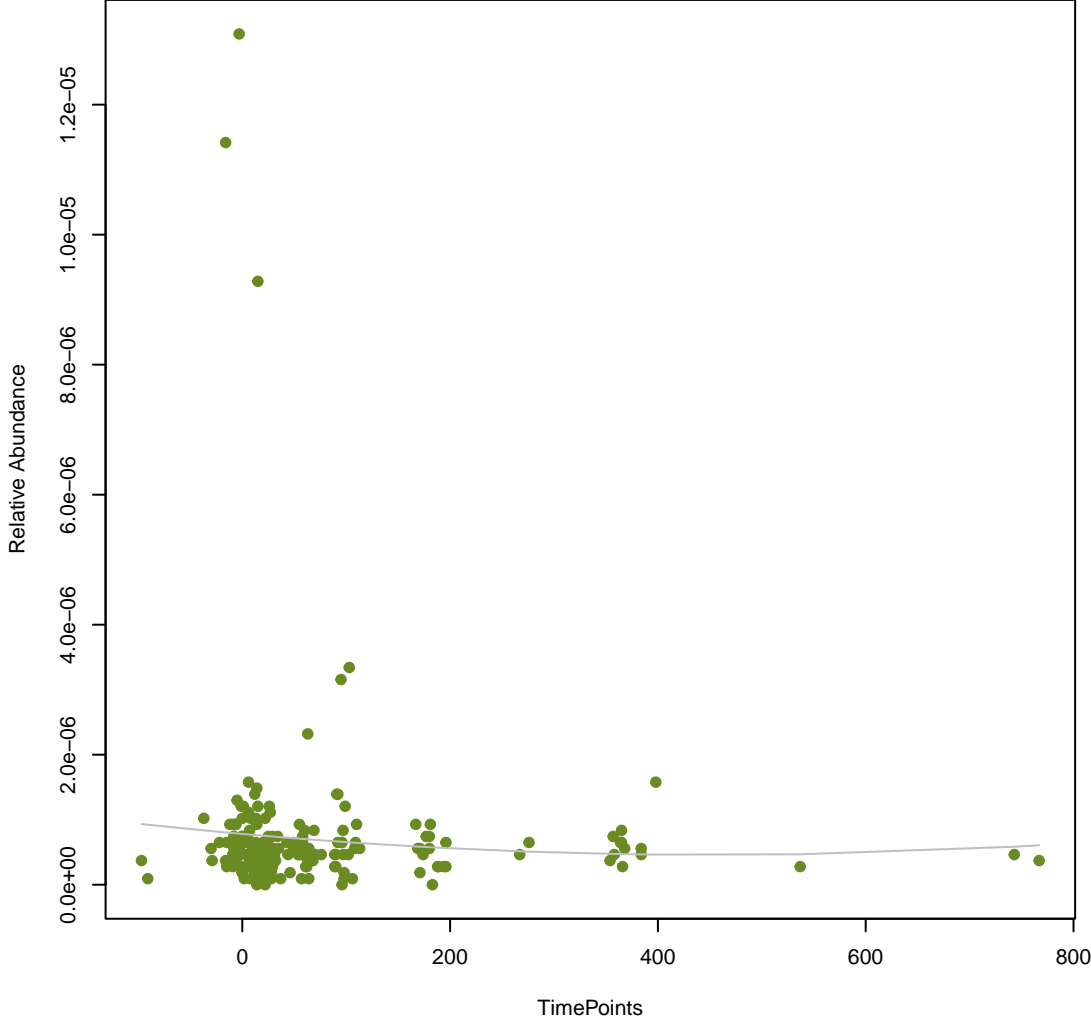
vsearch
SHV-12
ANOVA Pval: 0.0653



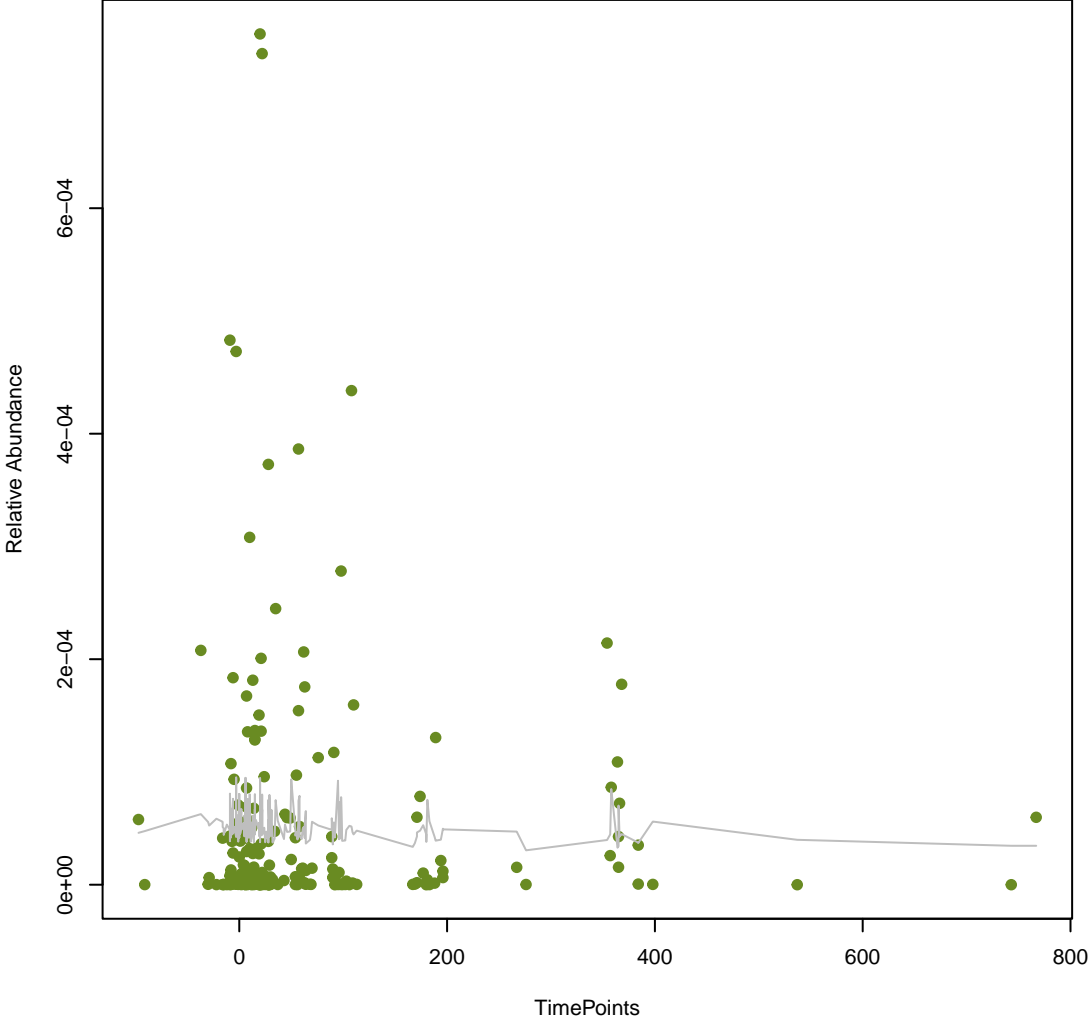
vsearch
ykkC
ANOVA Pval: 0.463



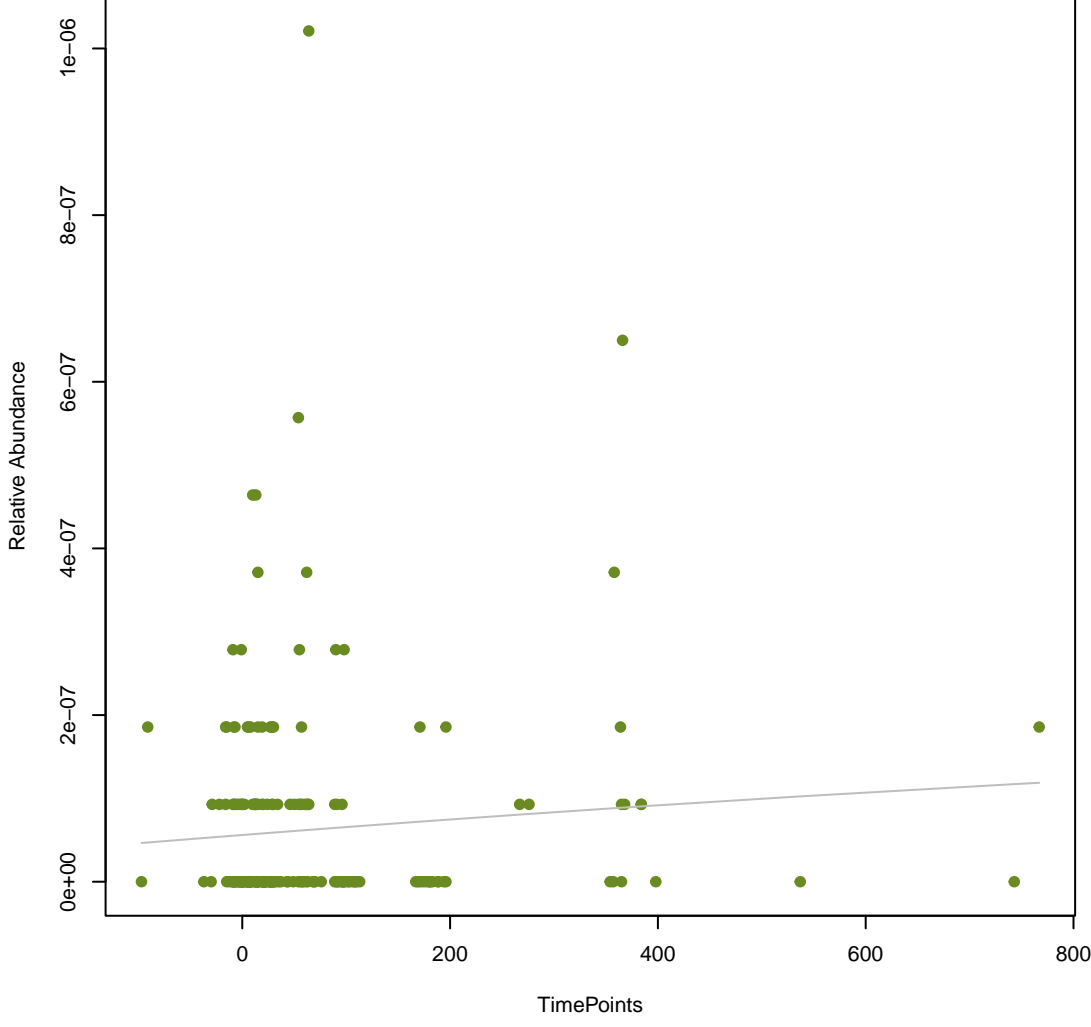
vsearch
ykkD
ANOVA Pval: 0.626



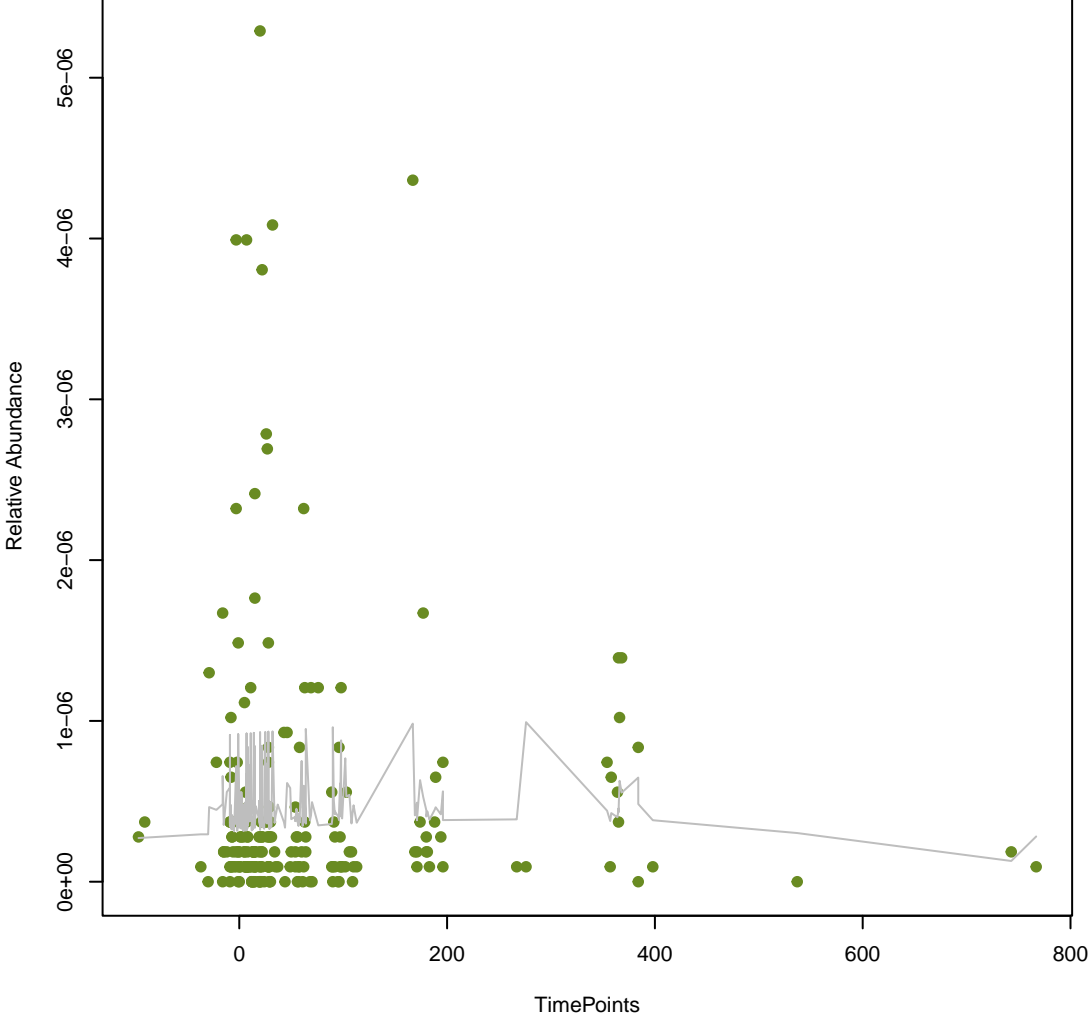
vsearch
tet(40)
ANOVA Pval: 0.905



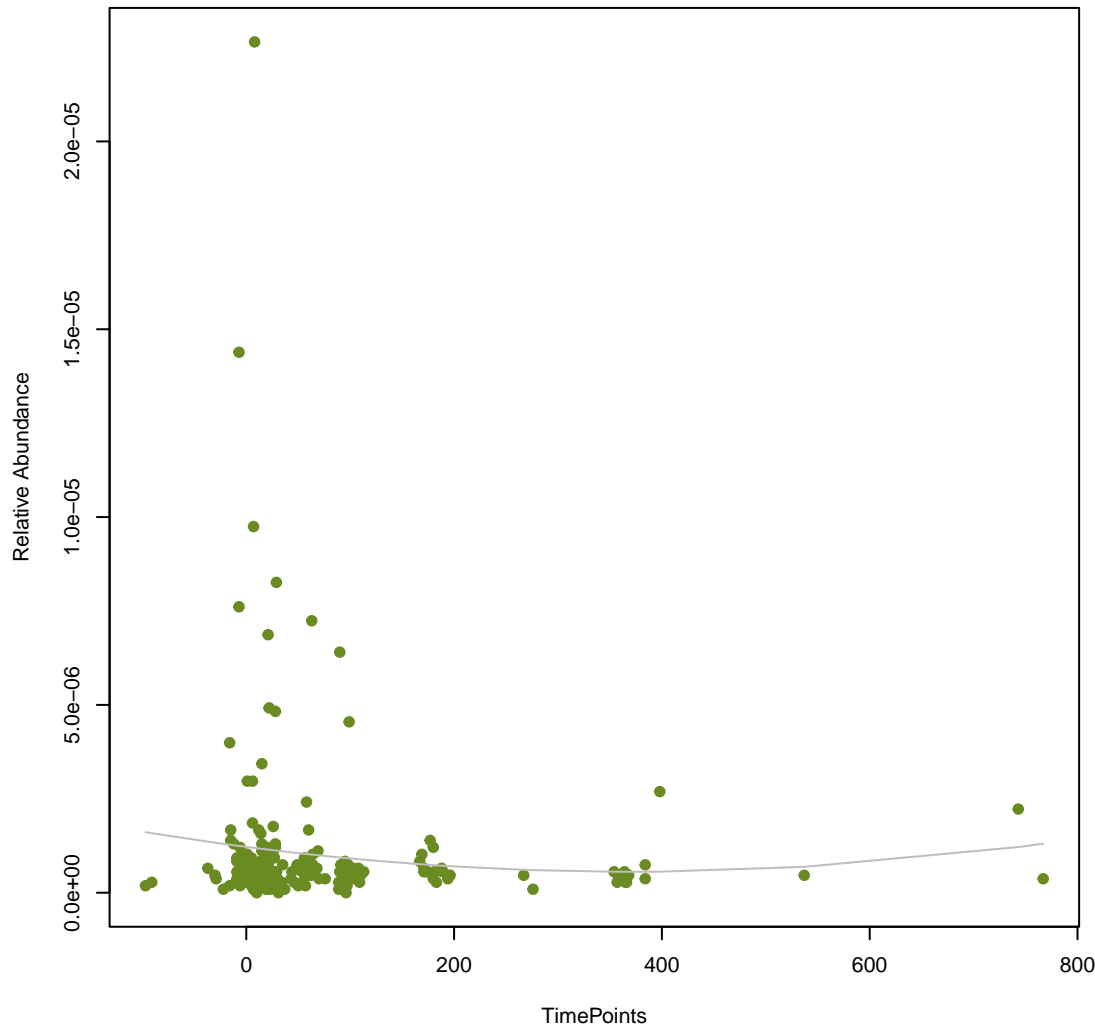
vsearch
rmtB
ANOVA Pval: 0.475



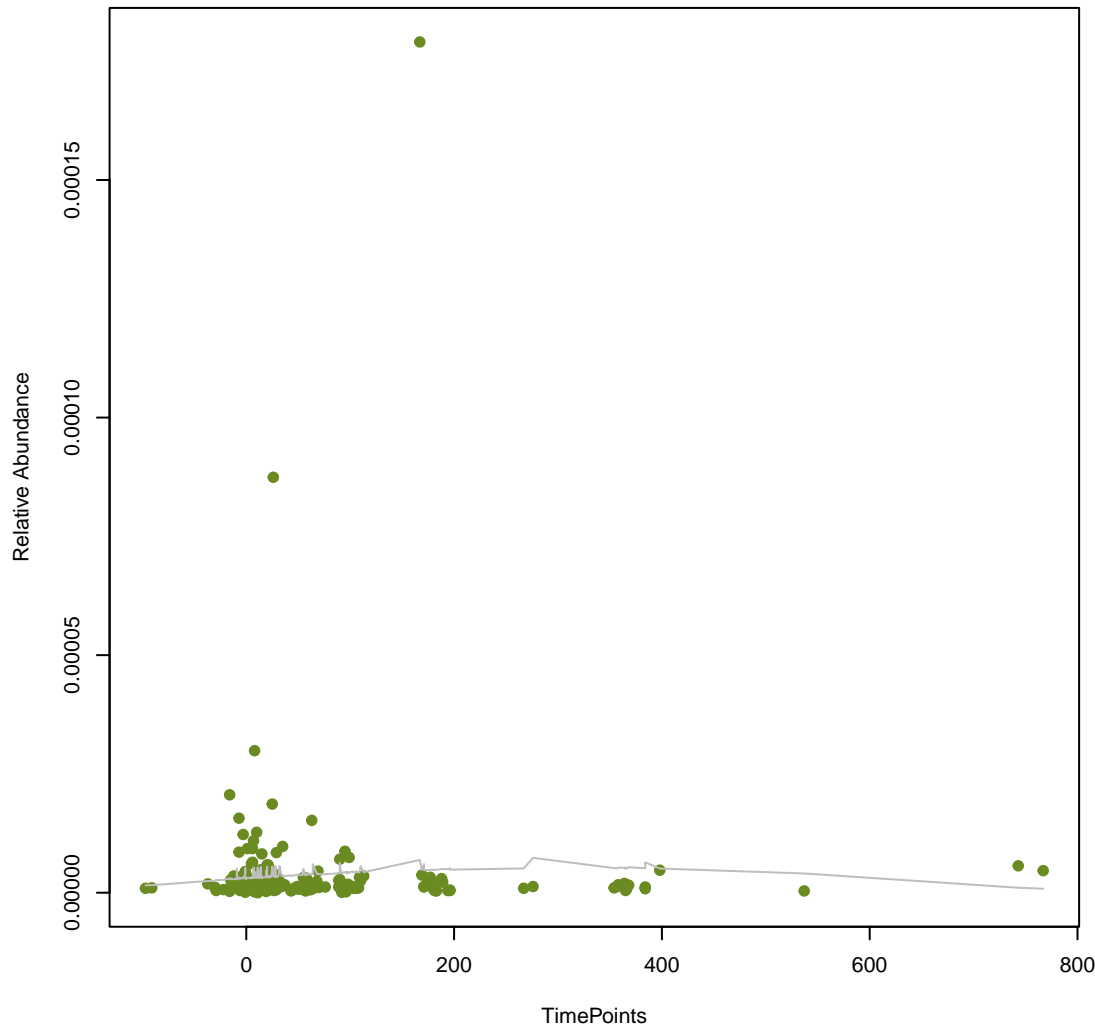
vsearch
rpoB2
ANOVA Pval: 0.838



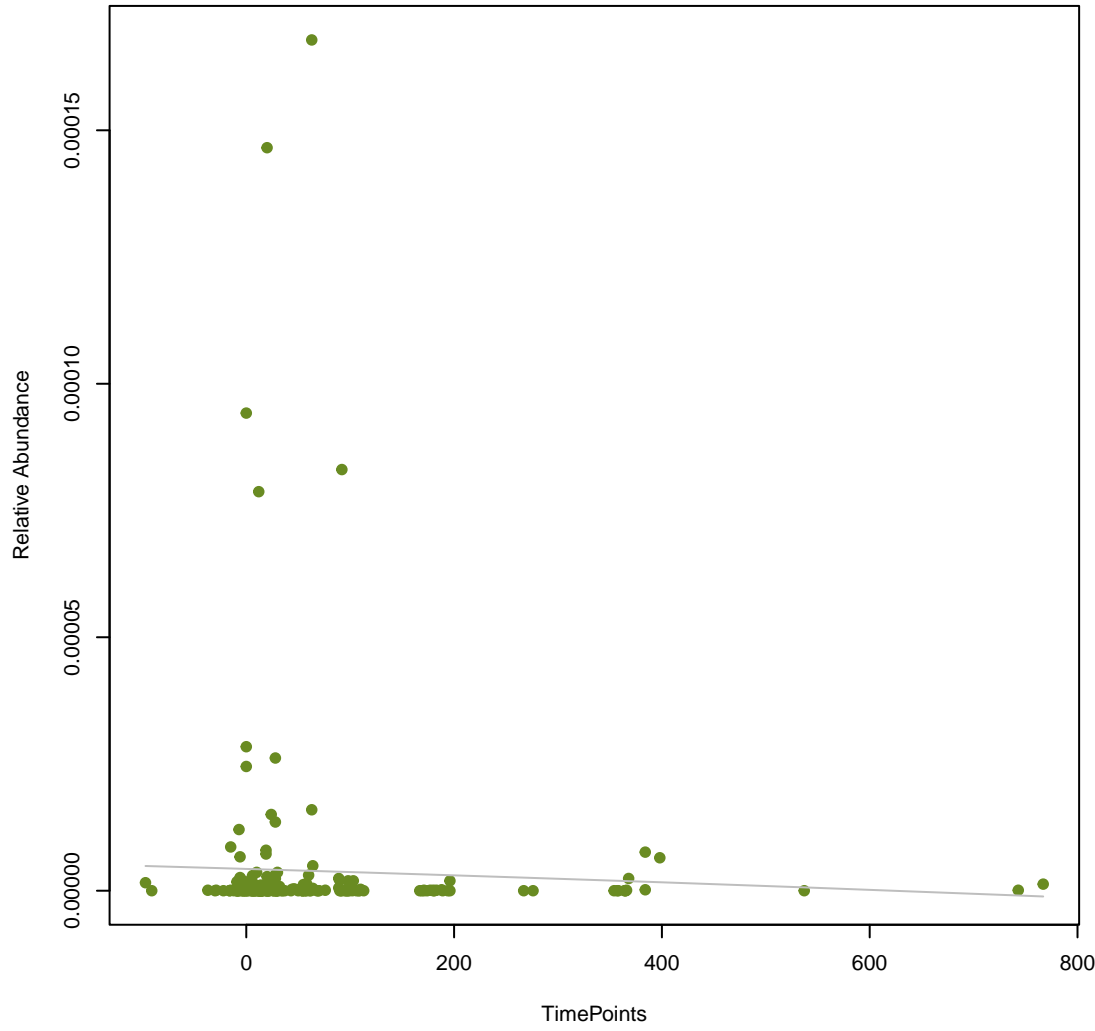
vsearch
Kpne_KpnE
ANOVA Pval: 0.428



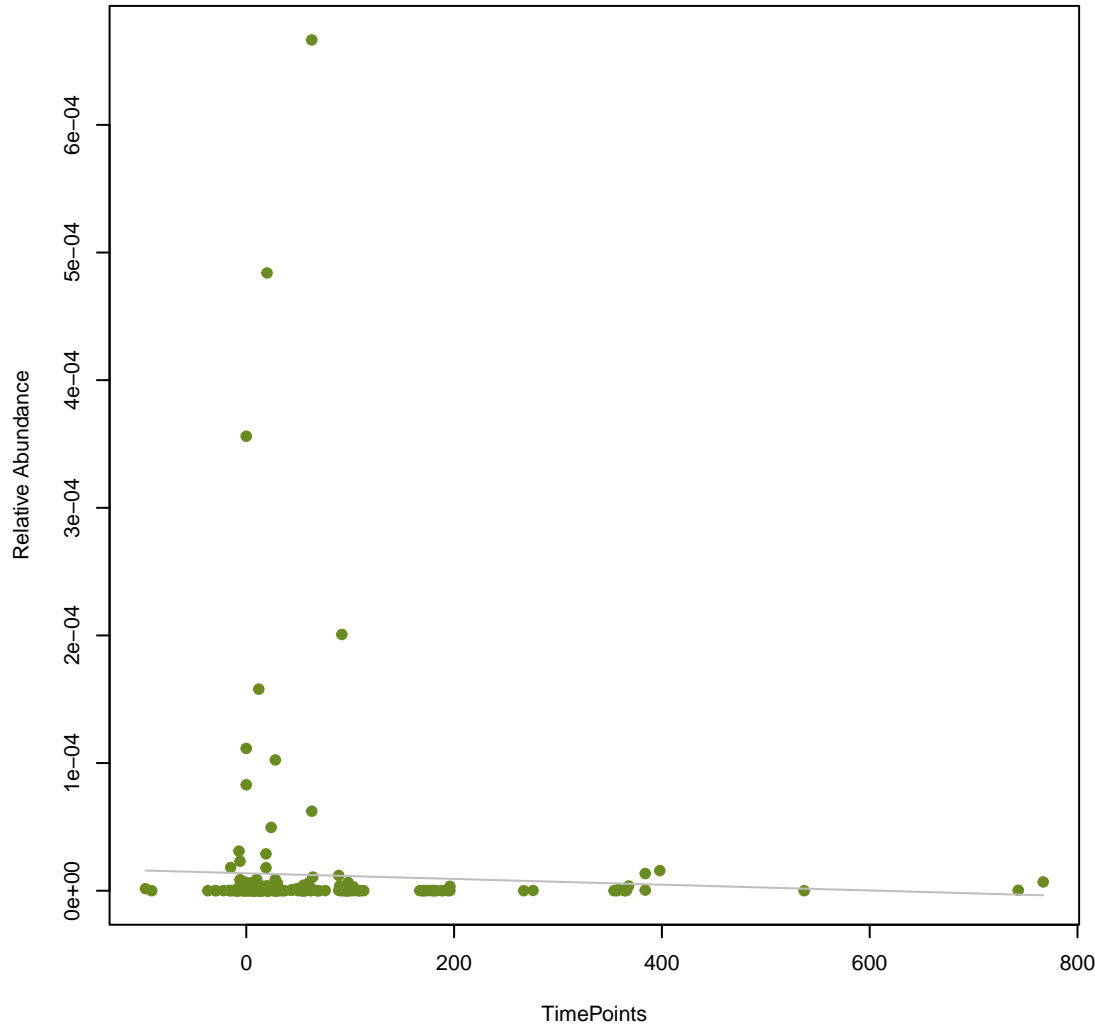
vsearch
Kpne_KpnF
ANOVA Pval: 0.739



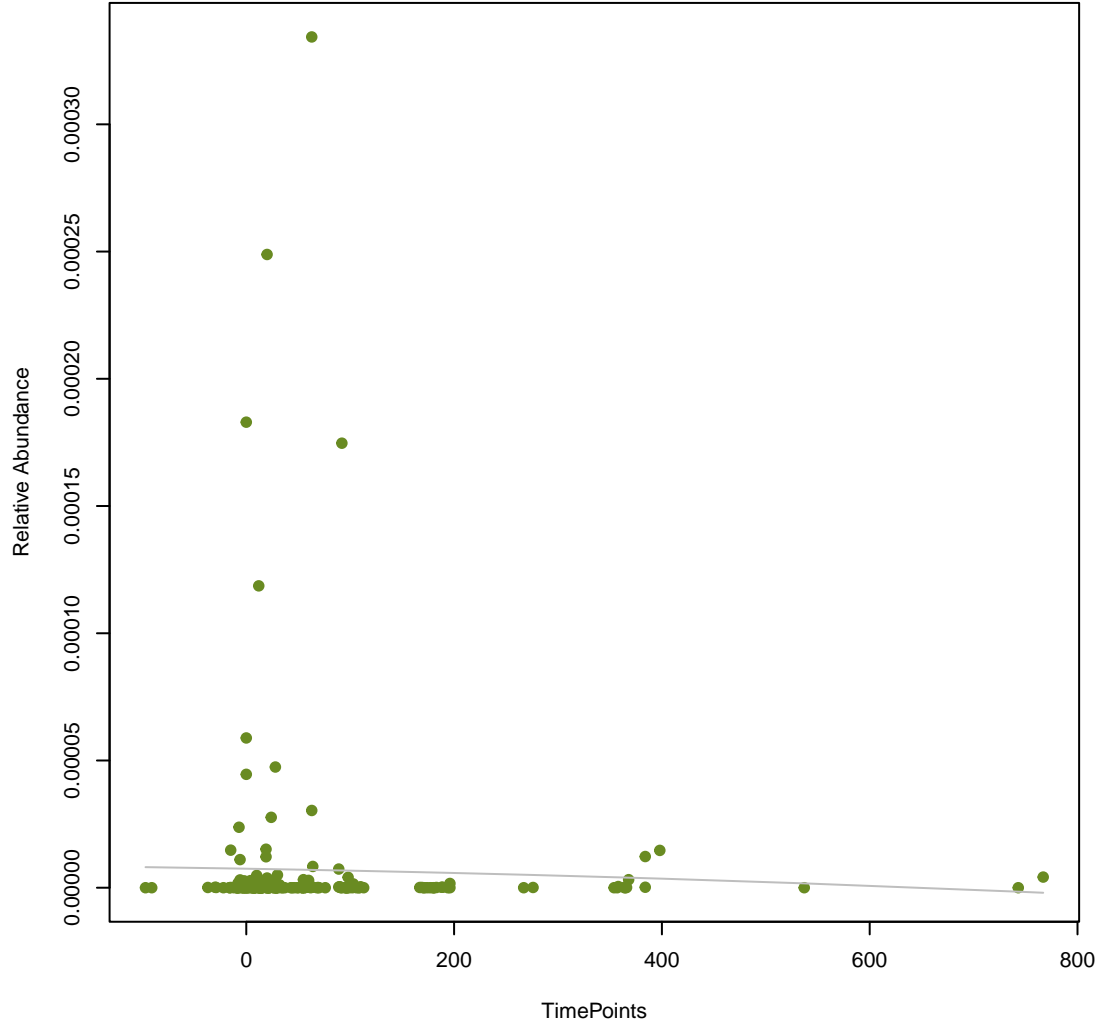
vsearch
marA
ANOVA Pval: 0.821



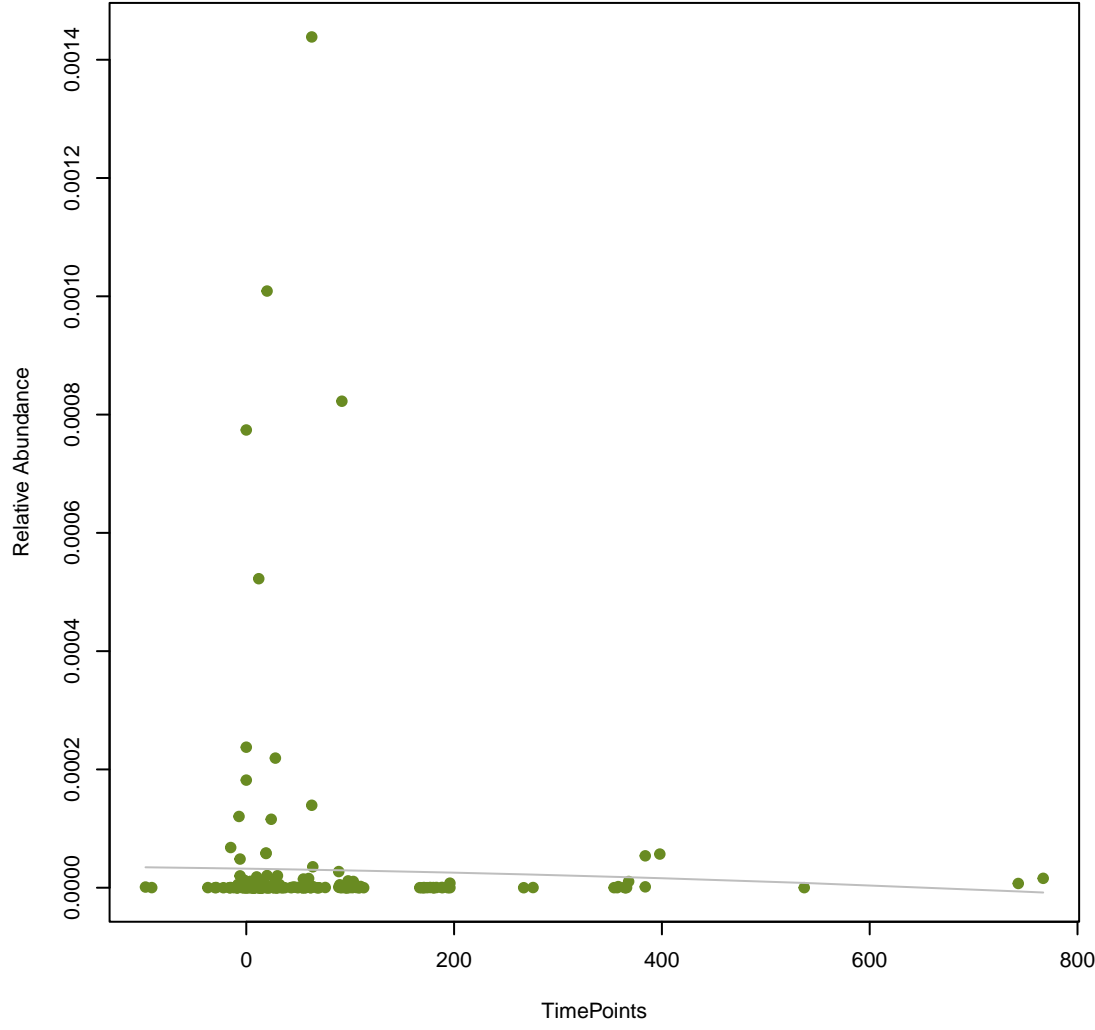
vsearch
baeS
ANOVA Pval: 0.837



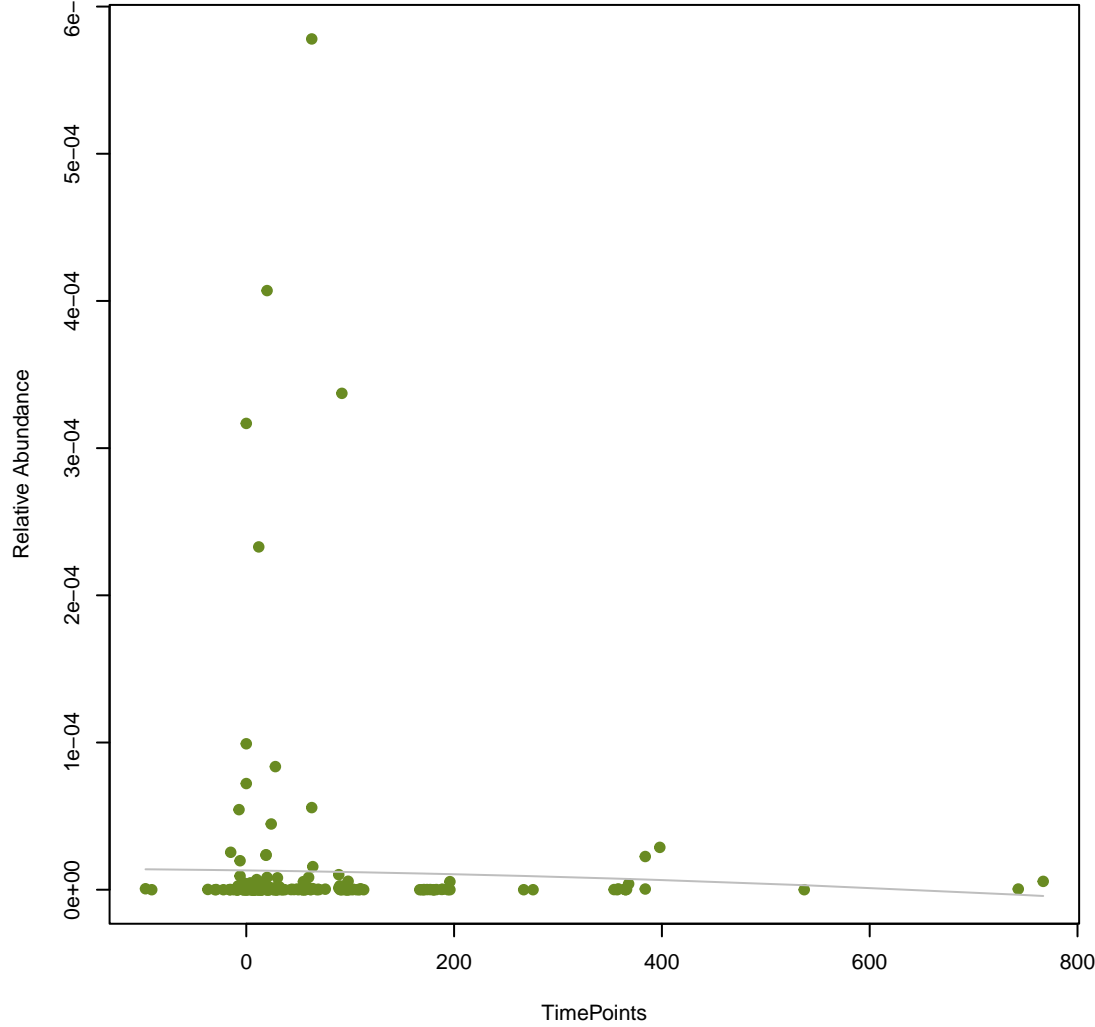
vsearch
baeR
ANOVA Pval: 0.872



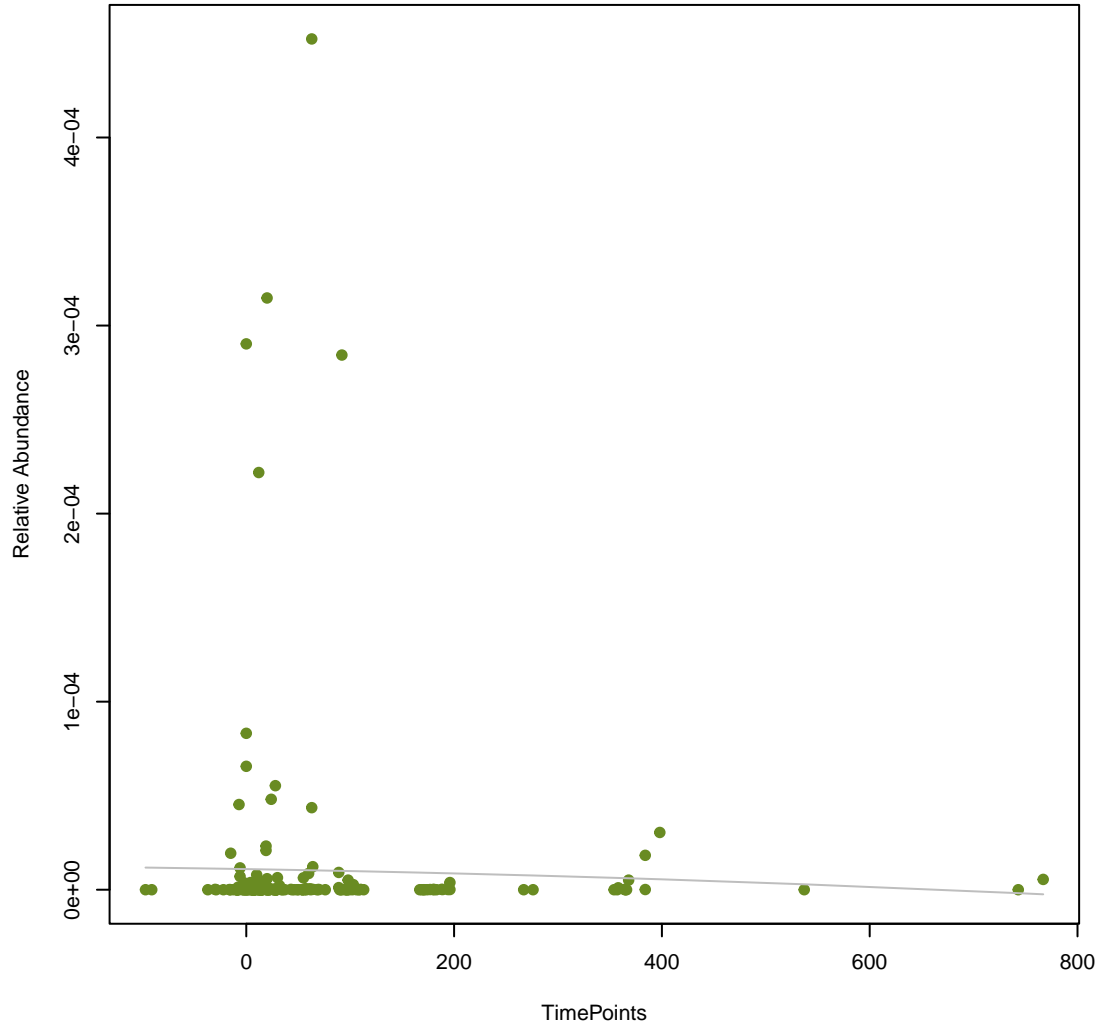
vsearch
acrD
ANOVA Pval: 0.877



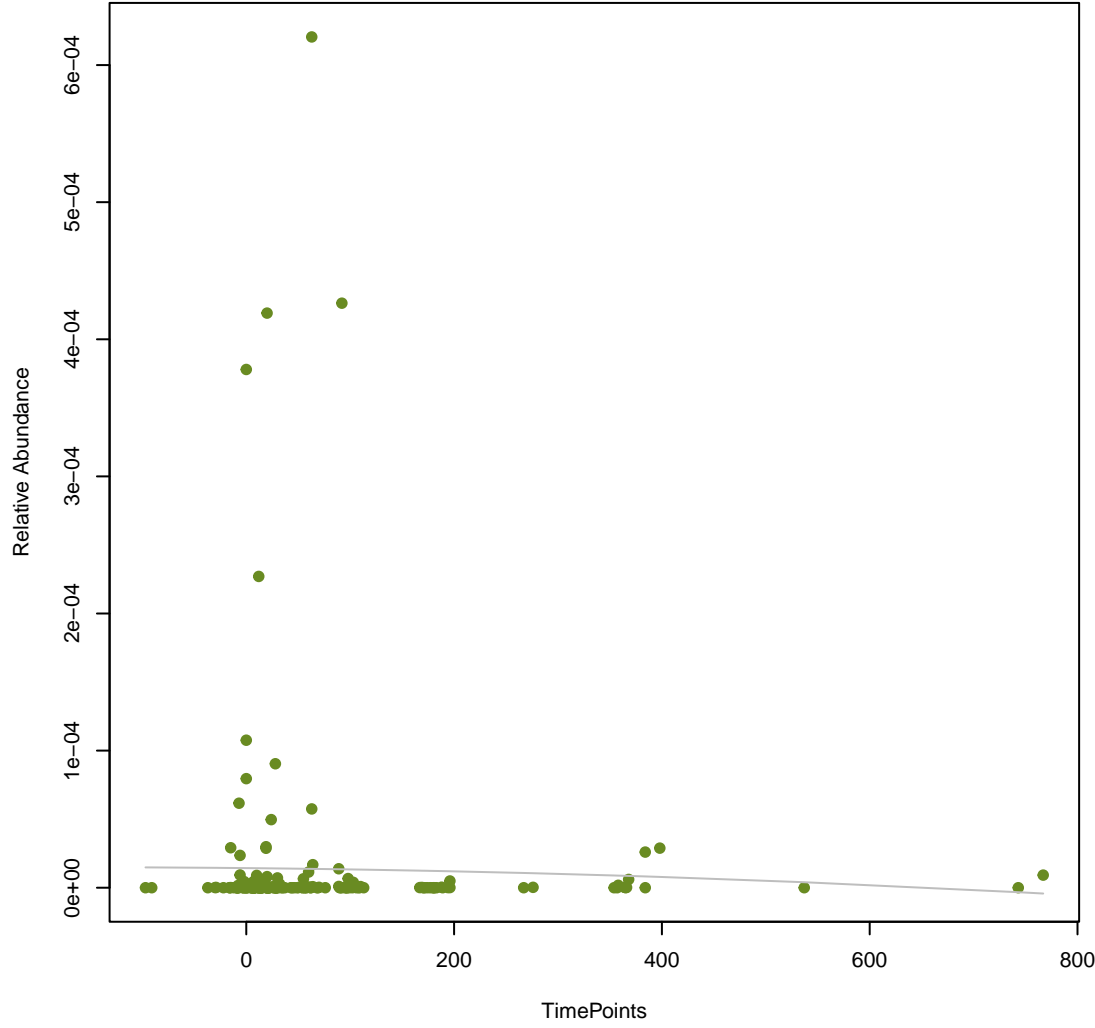
**vsearch
emrA**
ANOVA Pval: 0.872



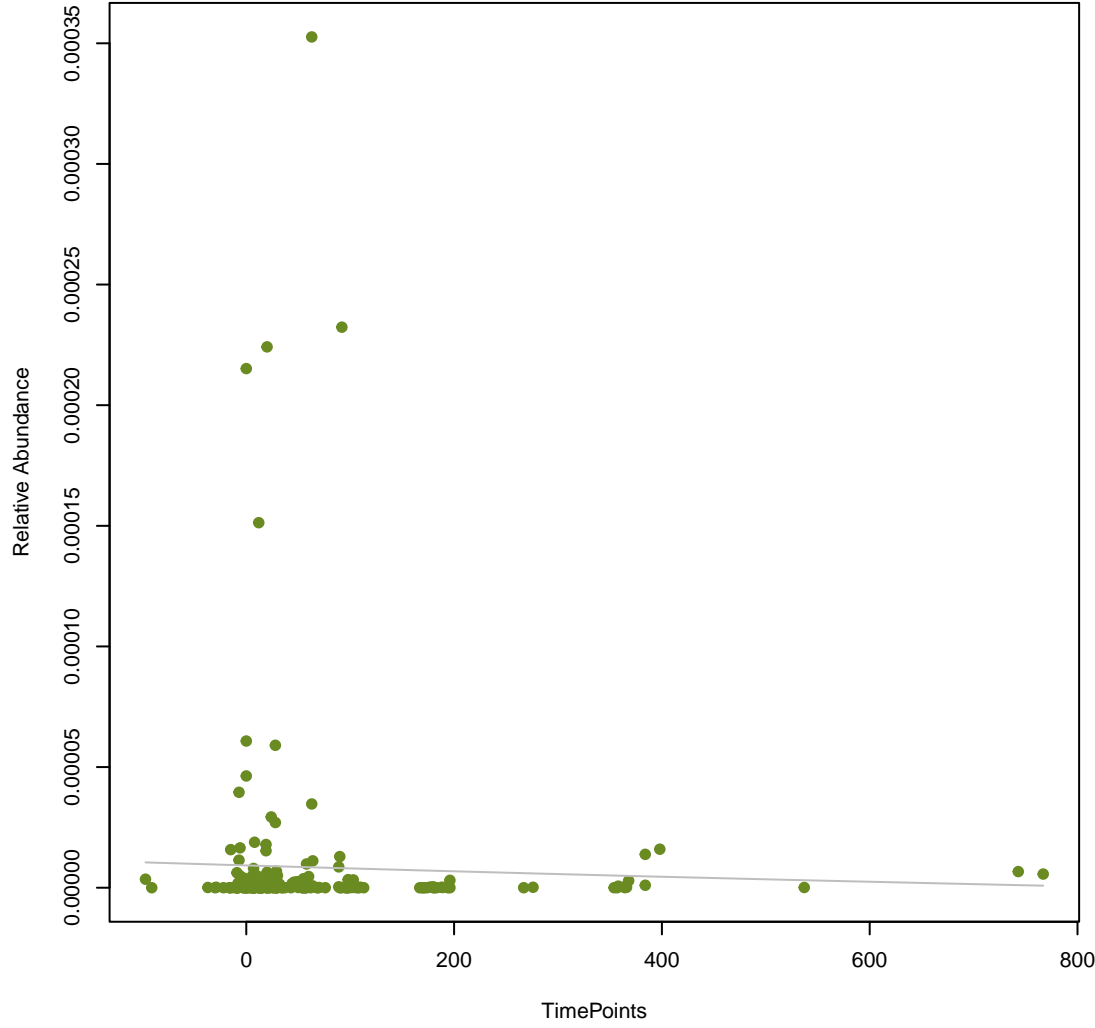
**vsearch
gadX**
ANOVA Pval: 0.877



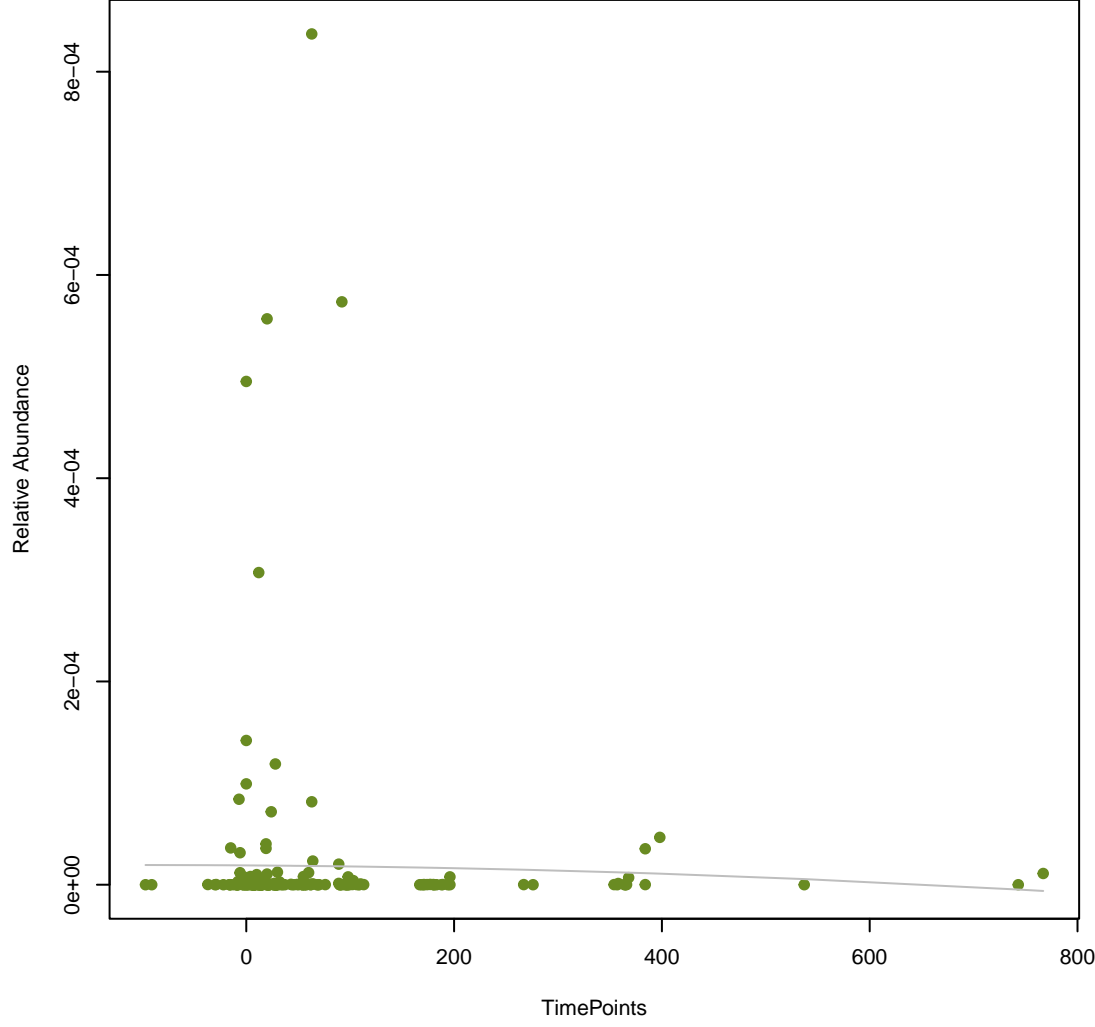
**vsearch
mdtE**
ANOVA Pval: 0.888



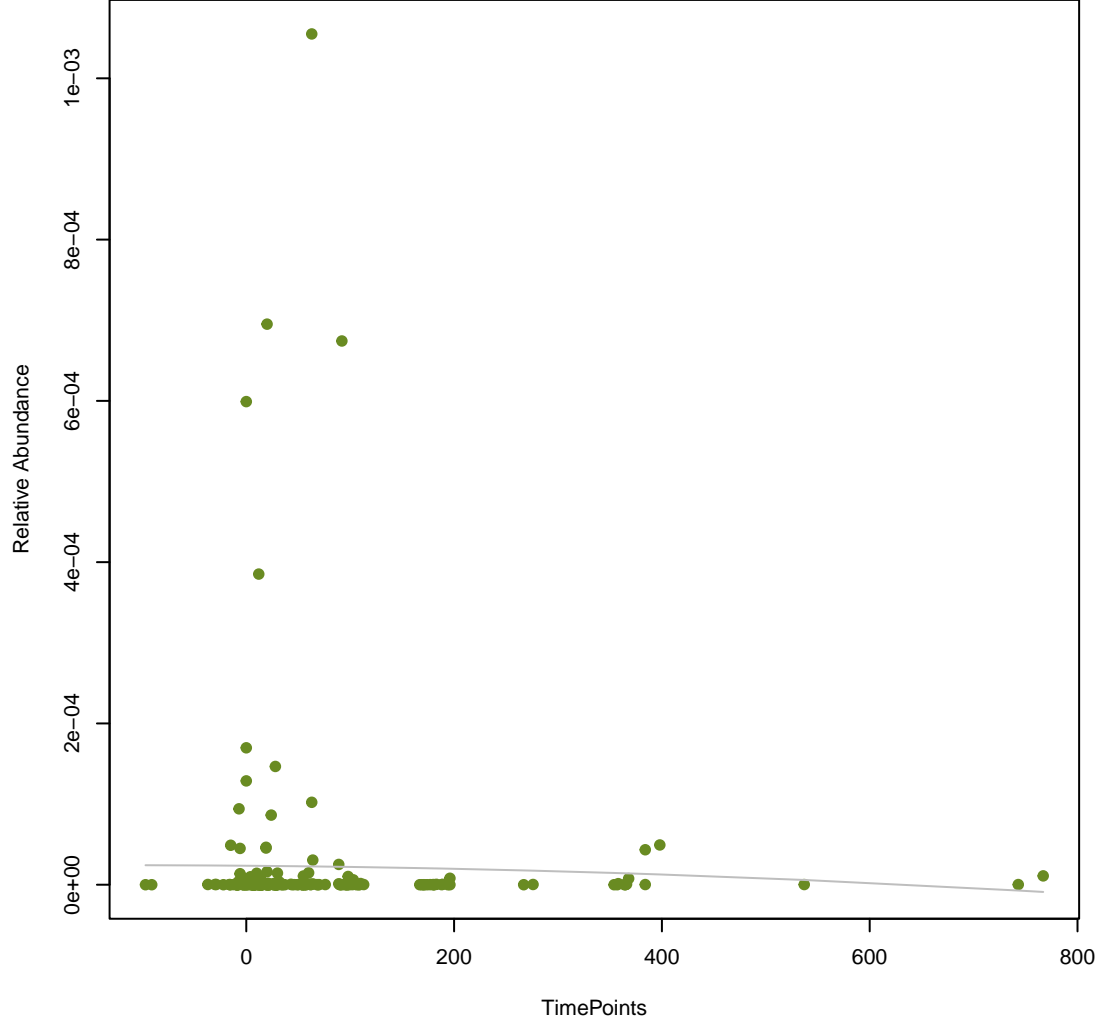
**vsearch
CRP**
ANOVA Pval: 0.87



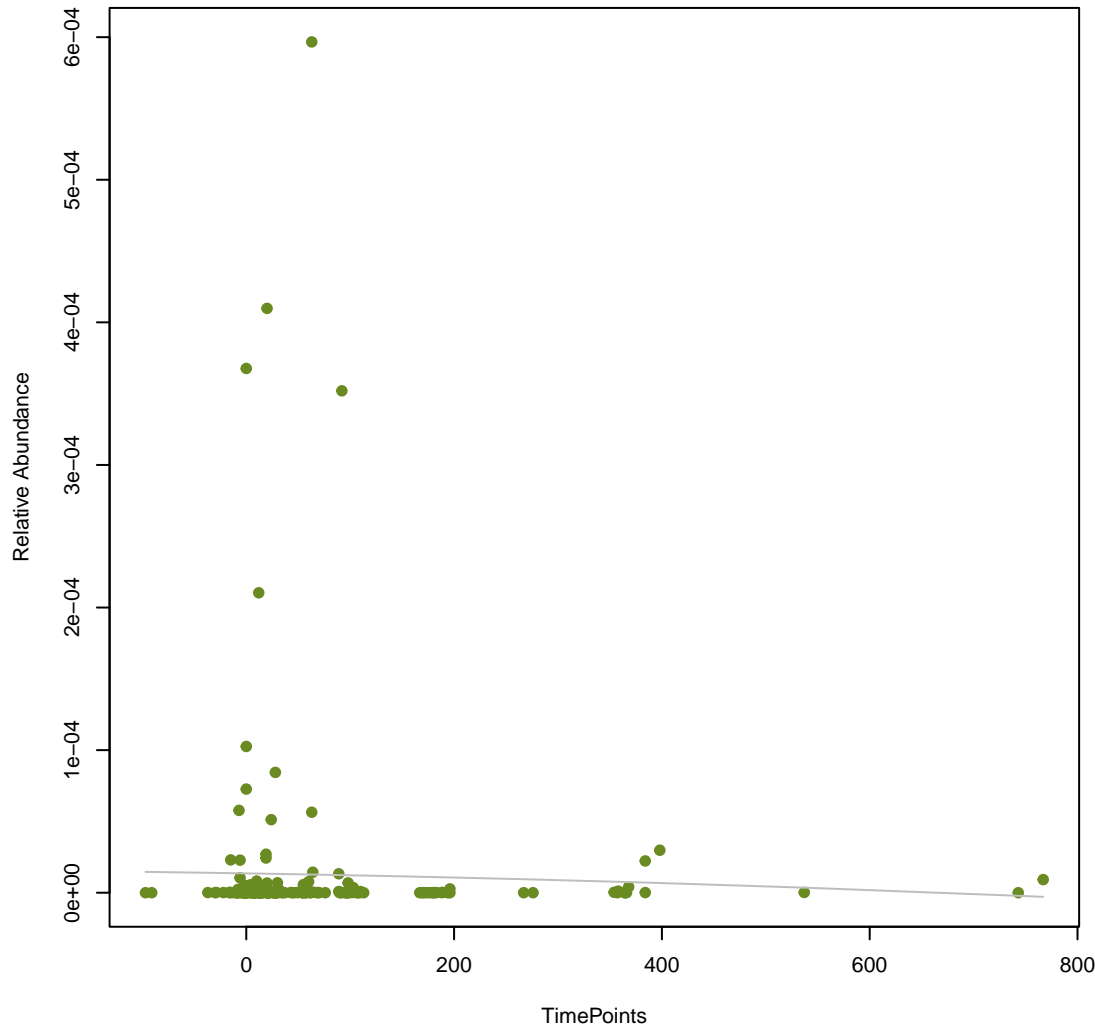
**vsearch
mdtP**
ANOVA Pval: 0.891



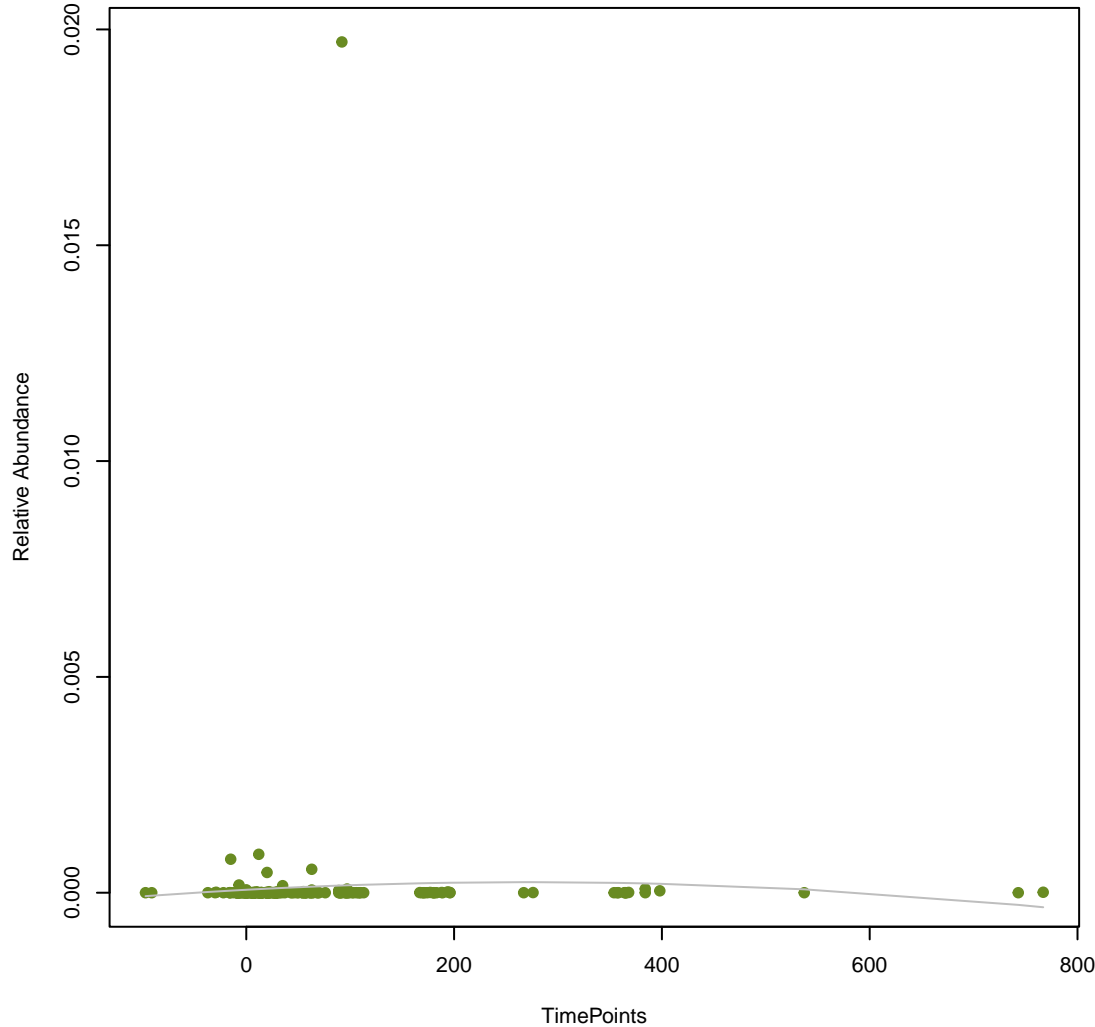
**vsearch
mdtO**
ANOVA Pval: 0.879



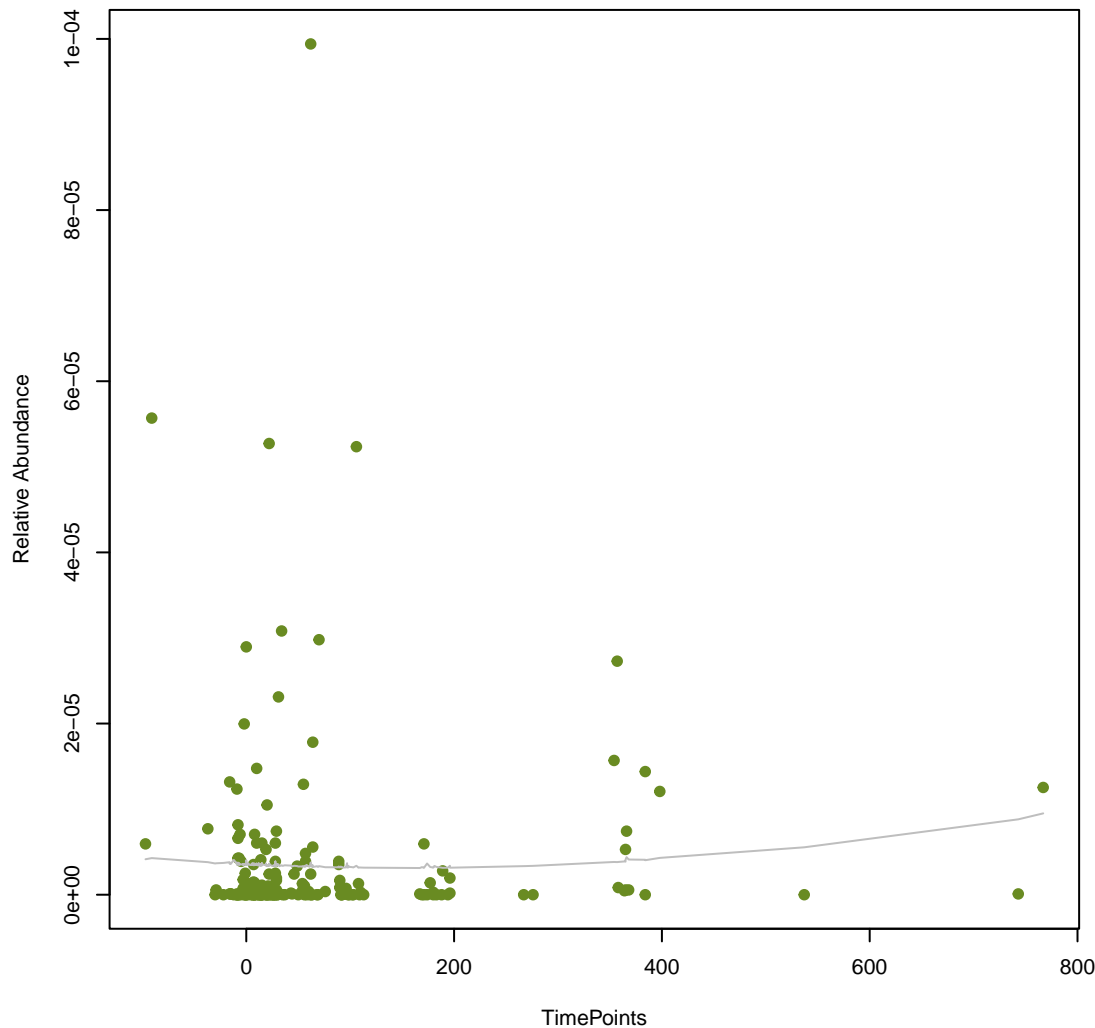
vsearch
mdtN
ANOVA Pval: 0.882



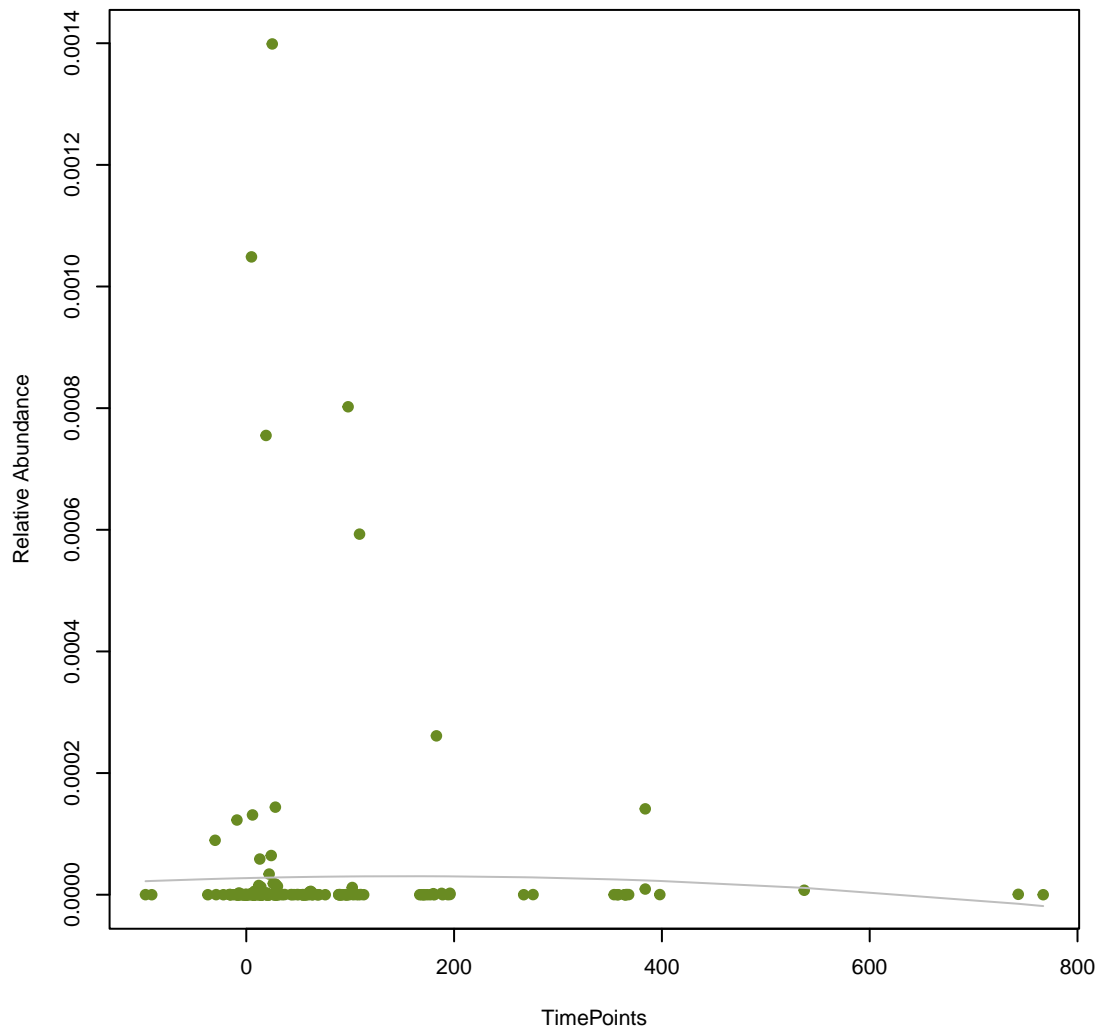
vsearch
sul2
ANOVA Pval: 0.751



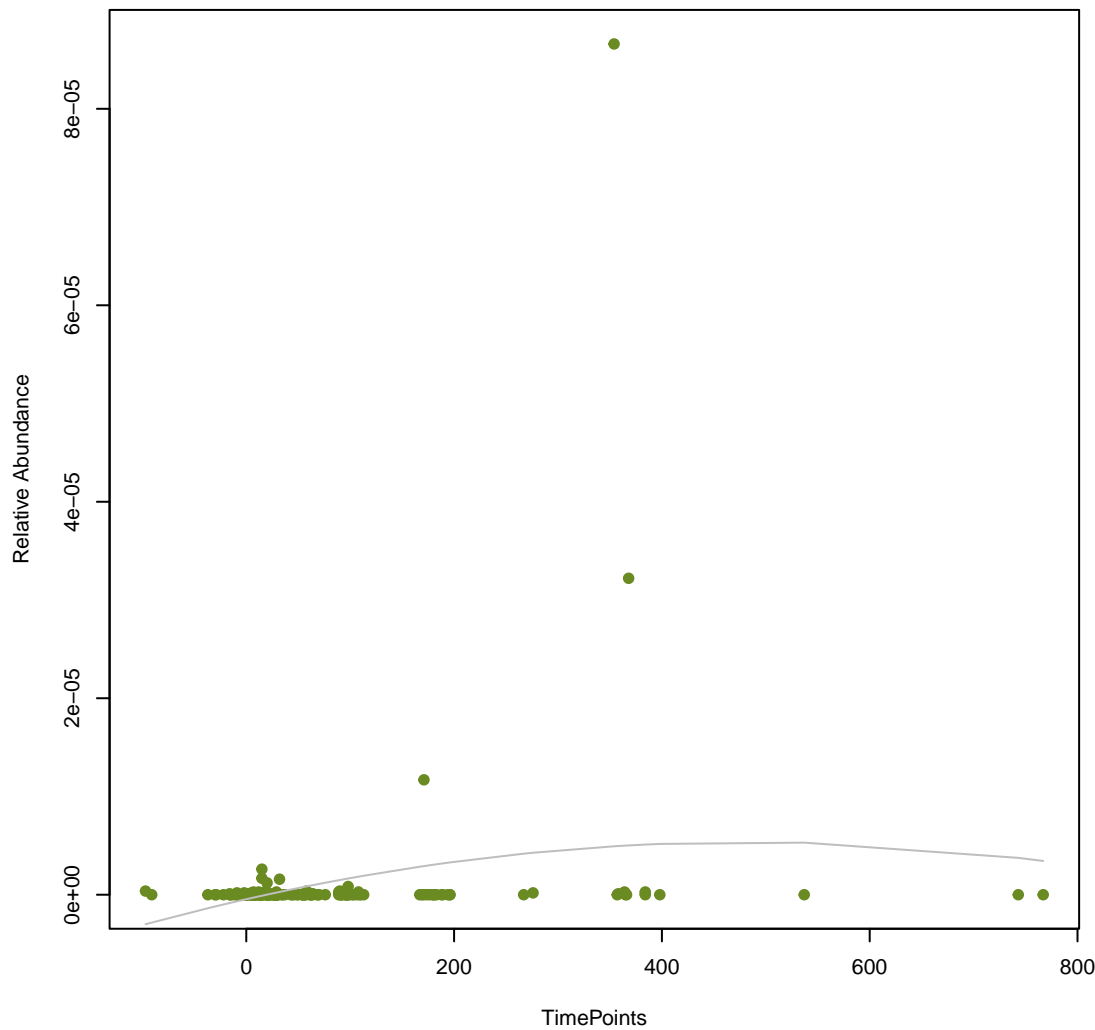
vsearch
vanR_in_vanD_cl
ANOVA Pval: 0.711



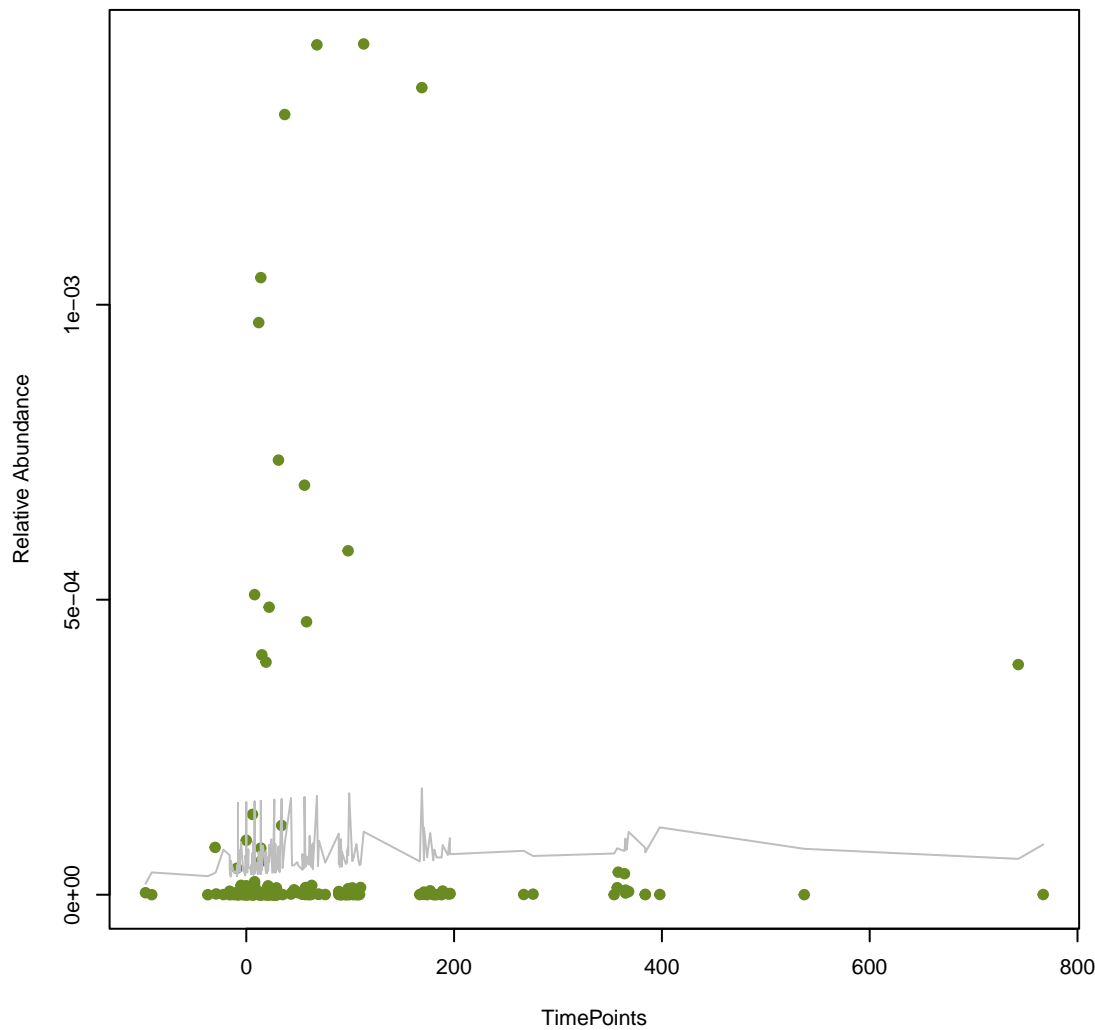
vsearch
IsaA
ANOVA Pval: 0.898



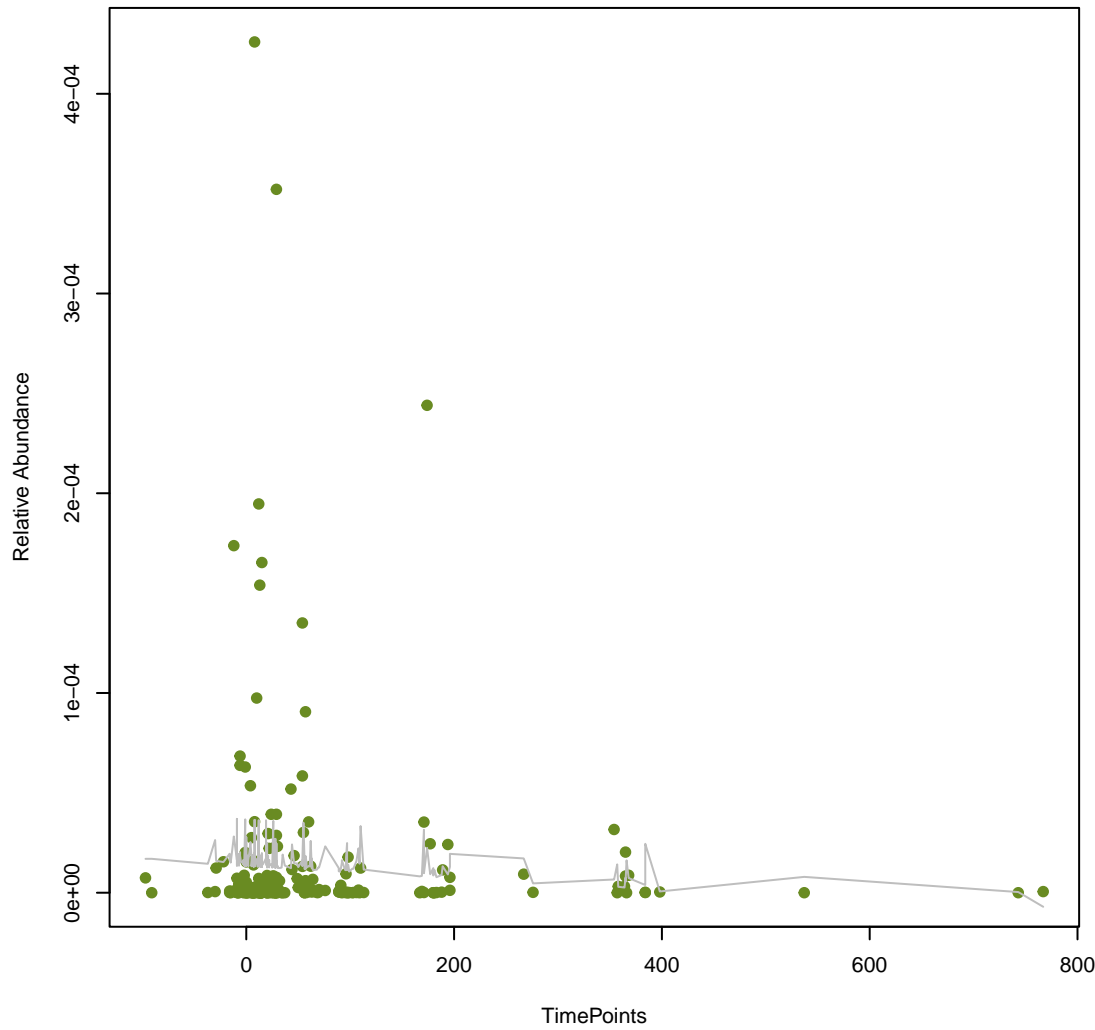
vsearch
APH(2'')-If
ANOVA Pval: 0.00133



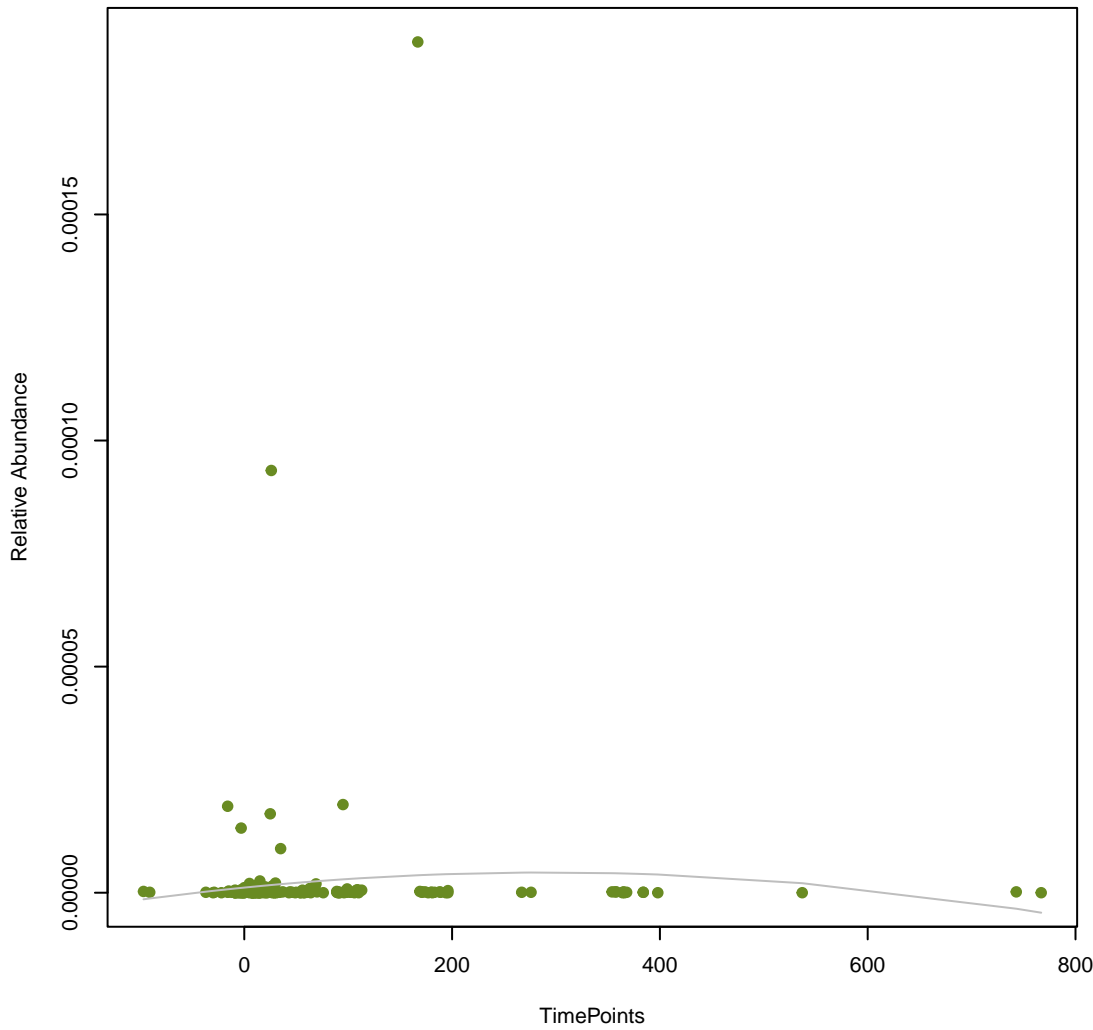
vsearch
aad(6)
ANOVA Pval: 0.8



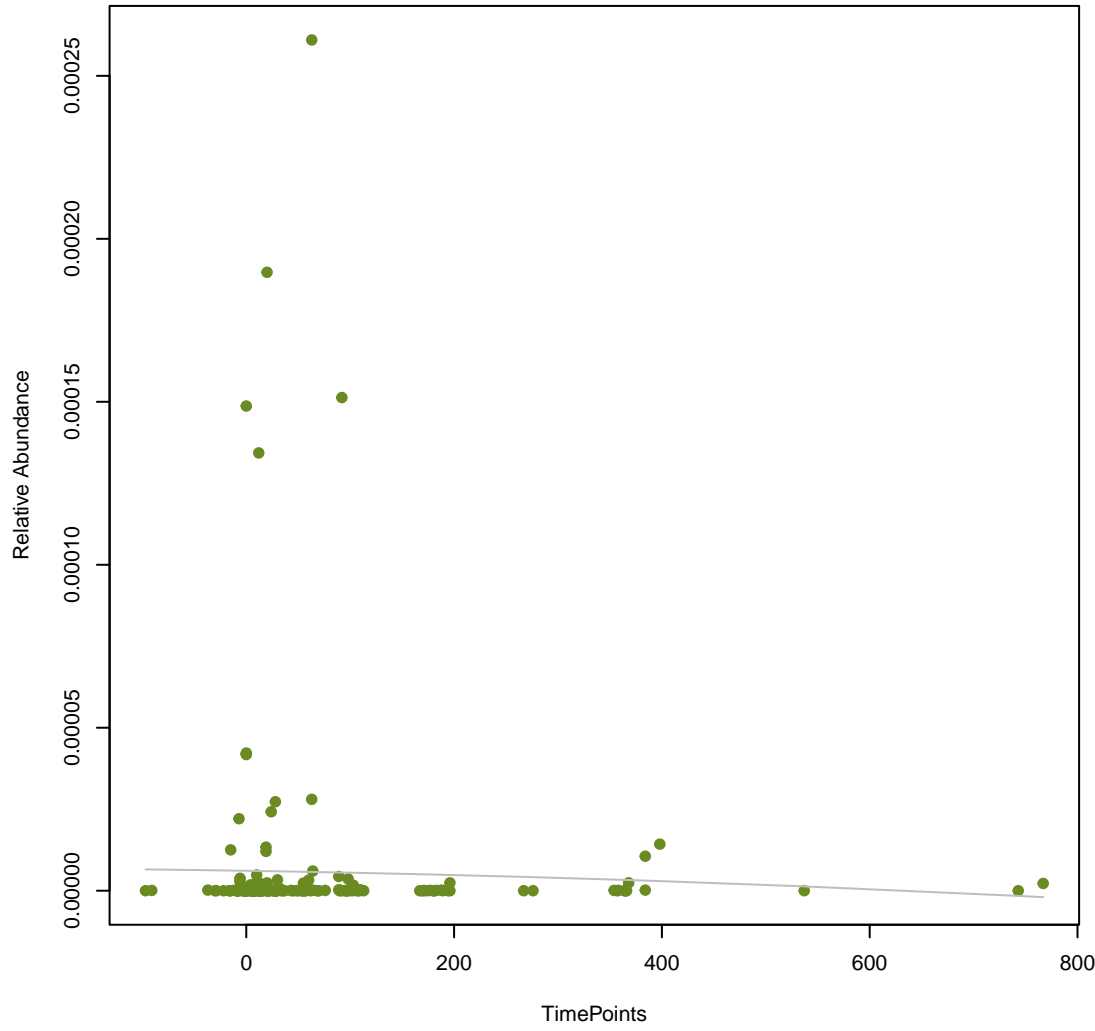
vsearch
InuC
ANOVA Pval: 0.523



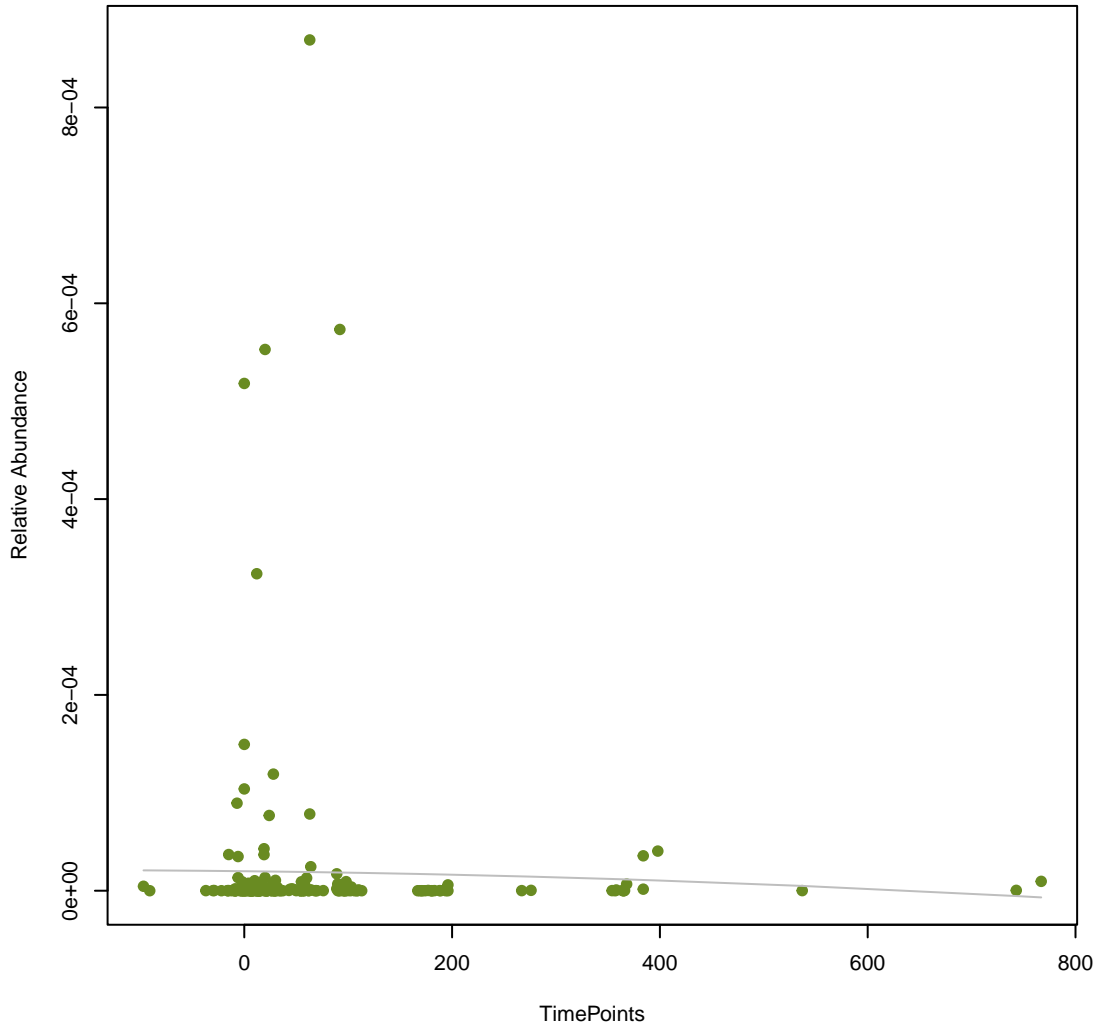
vsearch
dfrB5
ANOVA Pval: 0.476



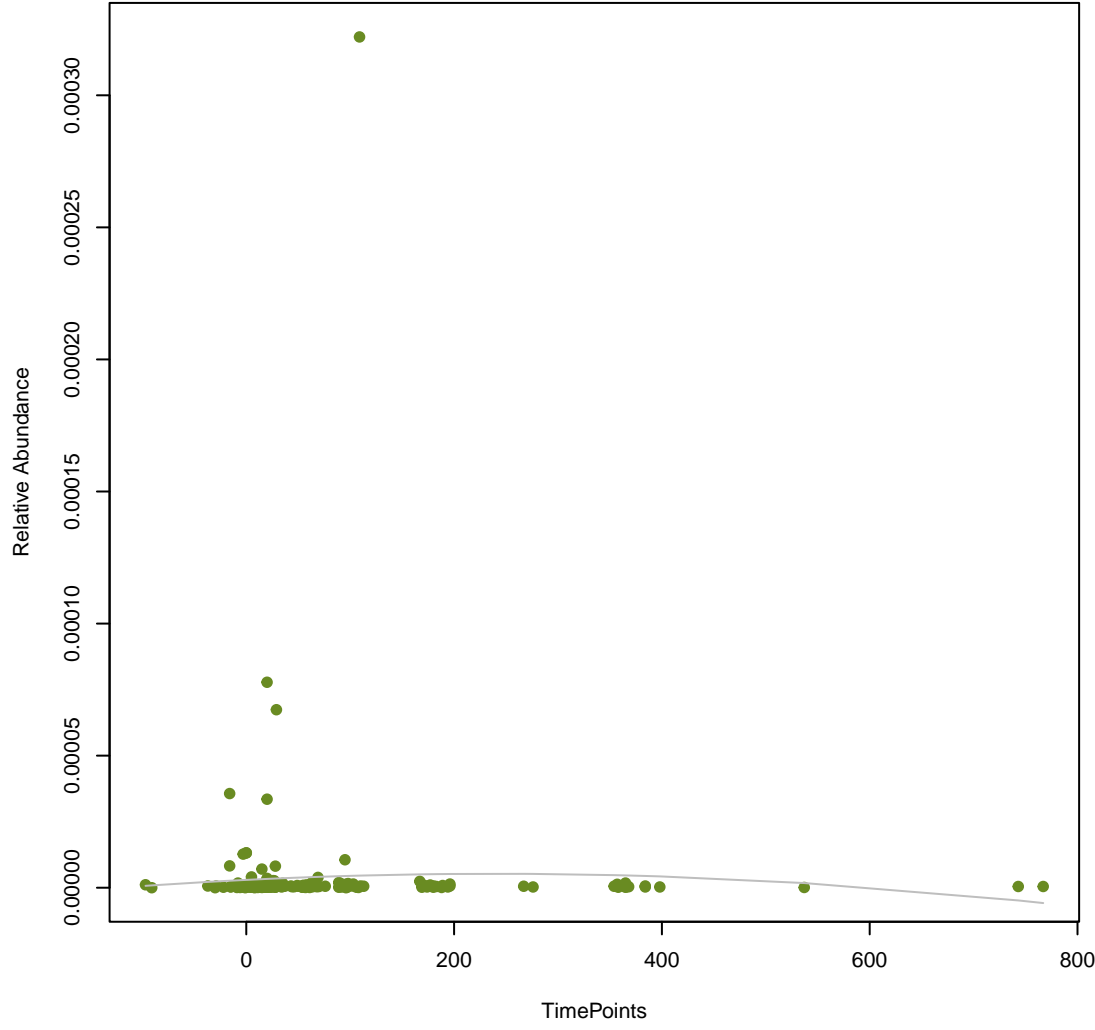
vsearch
evgA
ANOVA Pval: 0.867



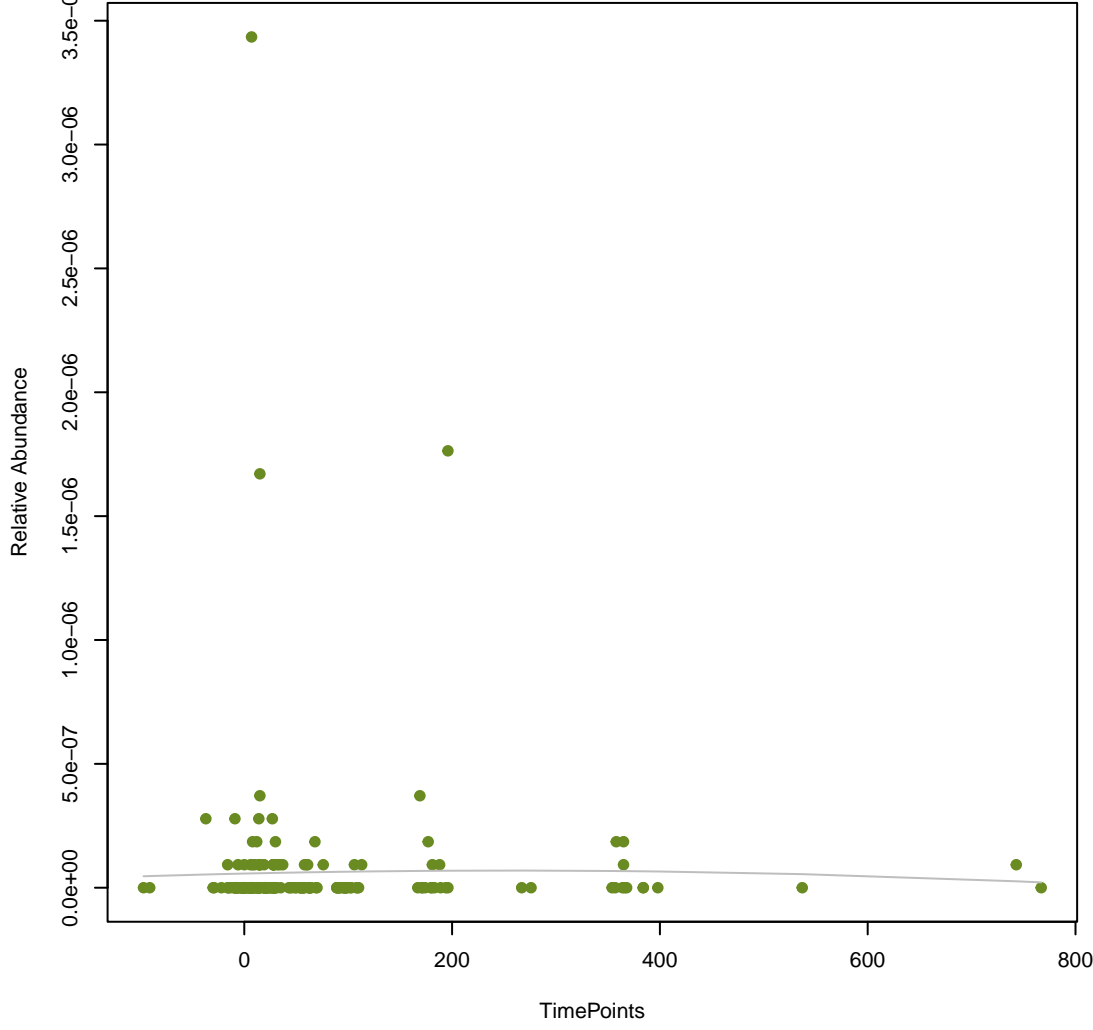
vsearch
cpxA
ANOVA Pval: 0.874



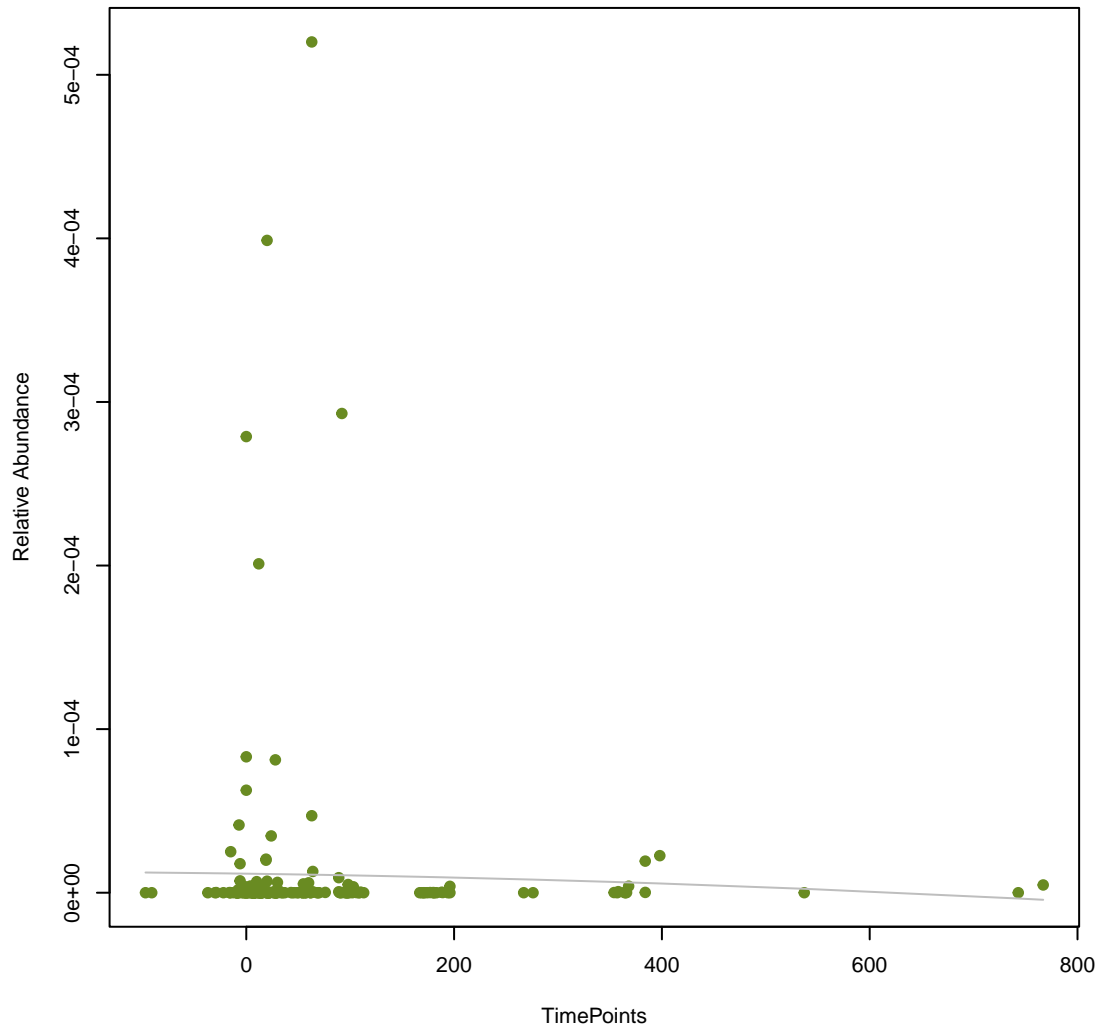
vsearch
mecl
ANOVA Pval: 0.771



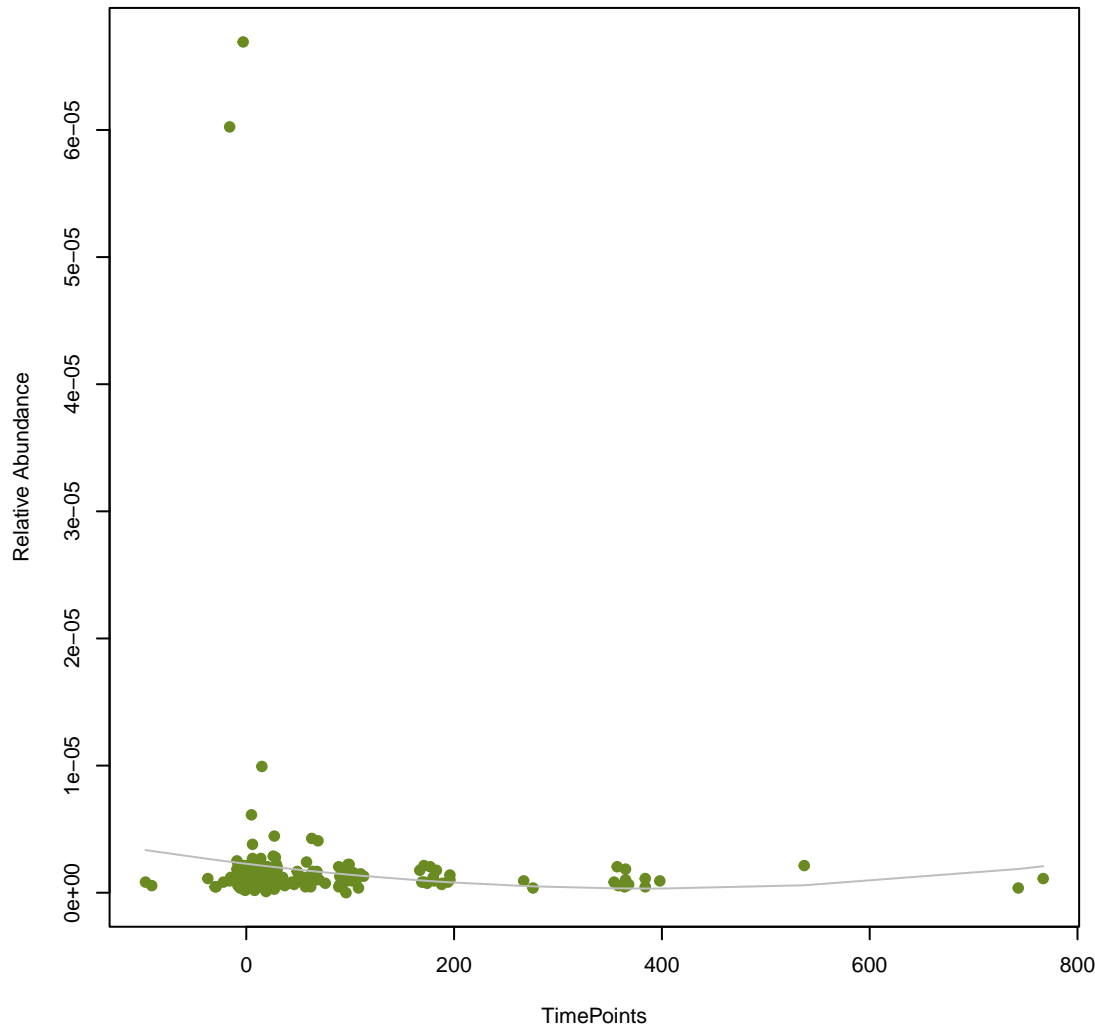
vsearch
Cper_mprF
ANOVA Pval: 0.965



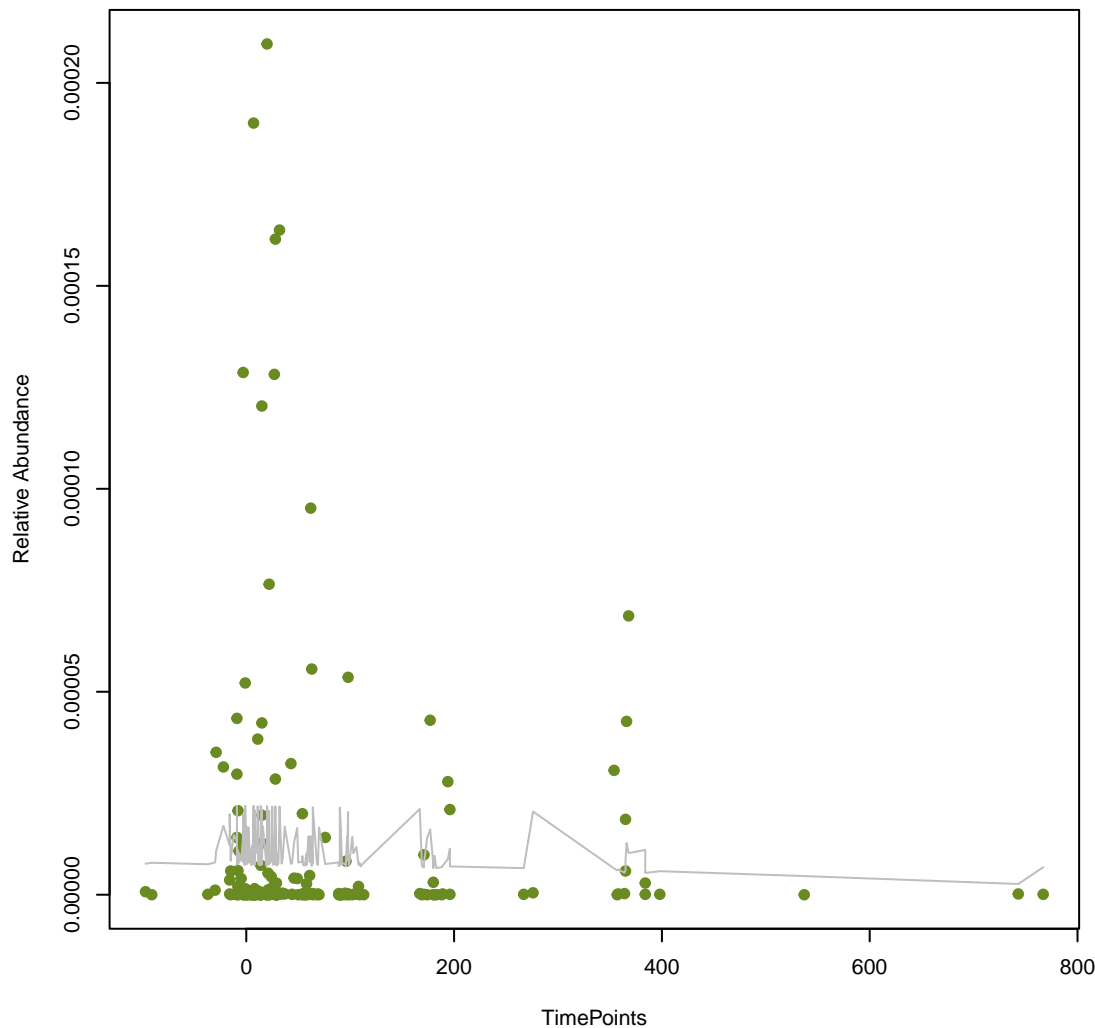
vsearch
mdtG
ANOVA Pval: 0.869



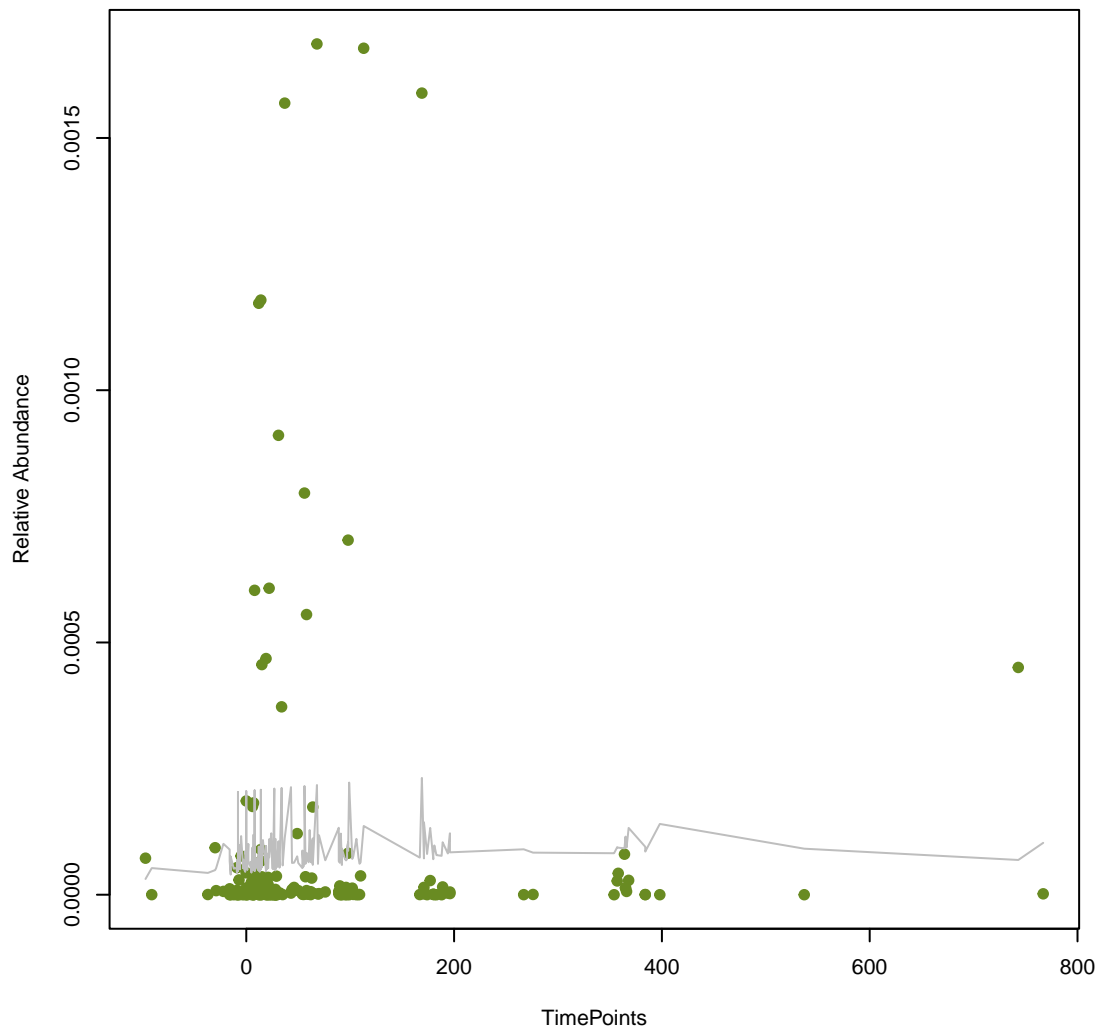
vsearch
abeS
ANOVA Pval: 0.394



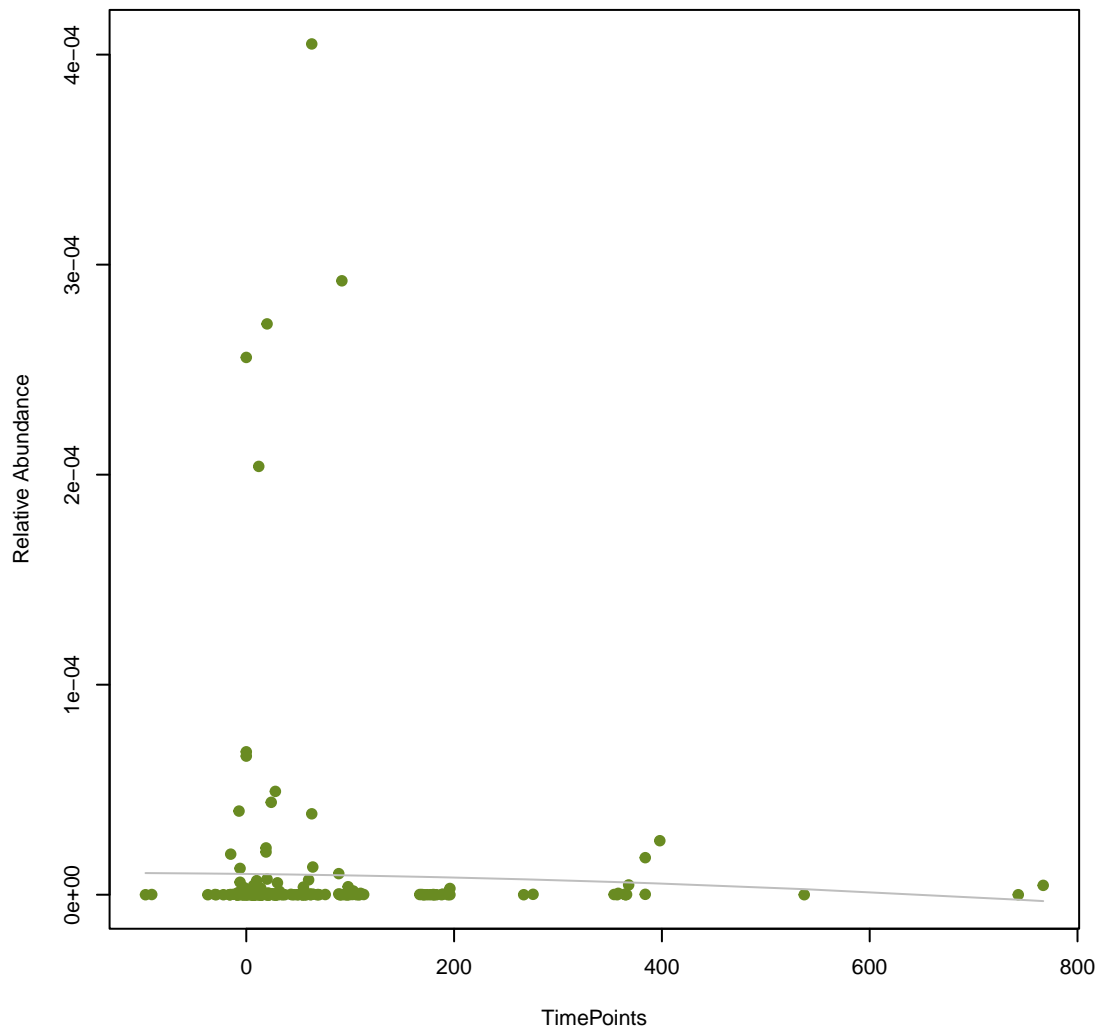
vsearch
Bbif_ileS_MUP
ANOVA Pval: 0.947



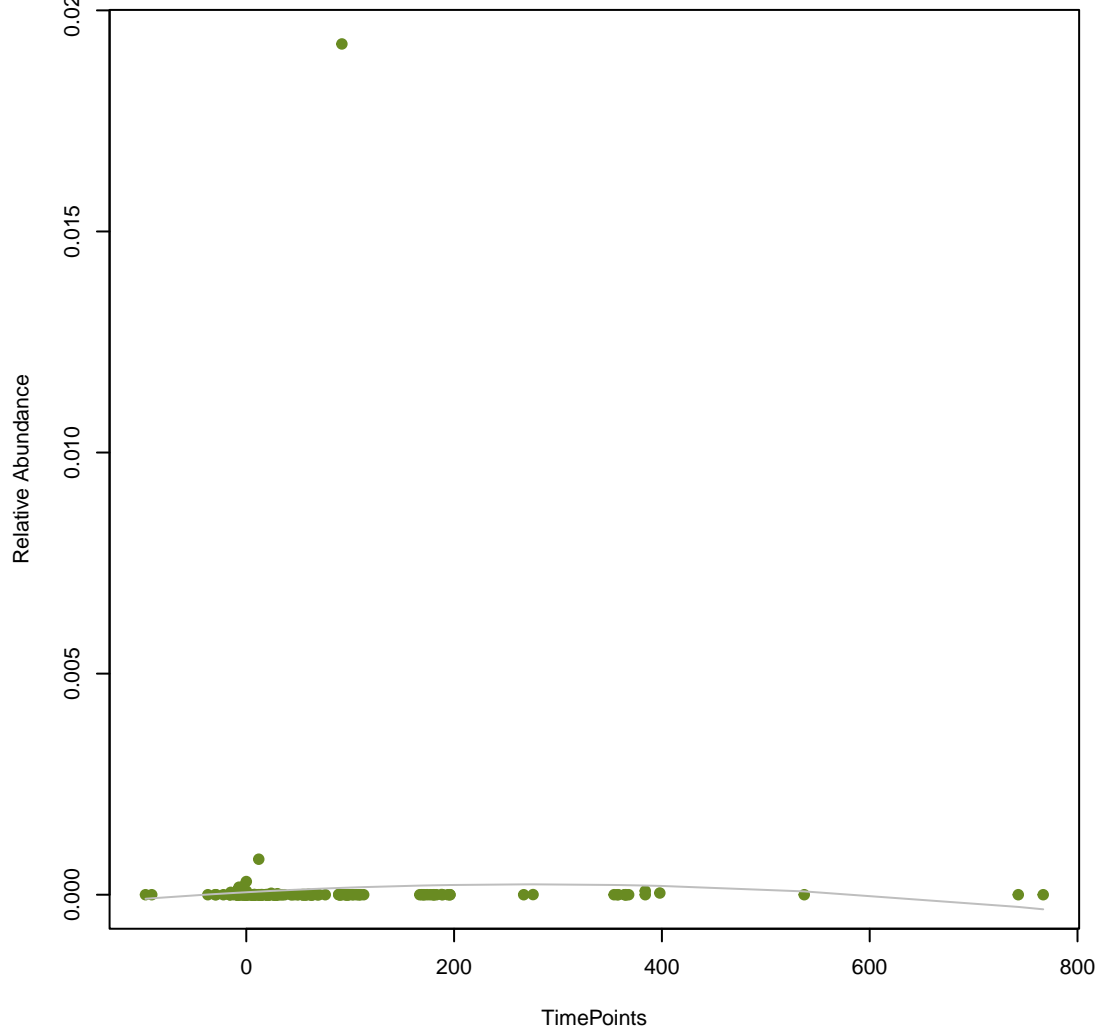
vsearch
APH(3')-IIIa
ANOVA Pval: 0.825



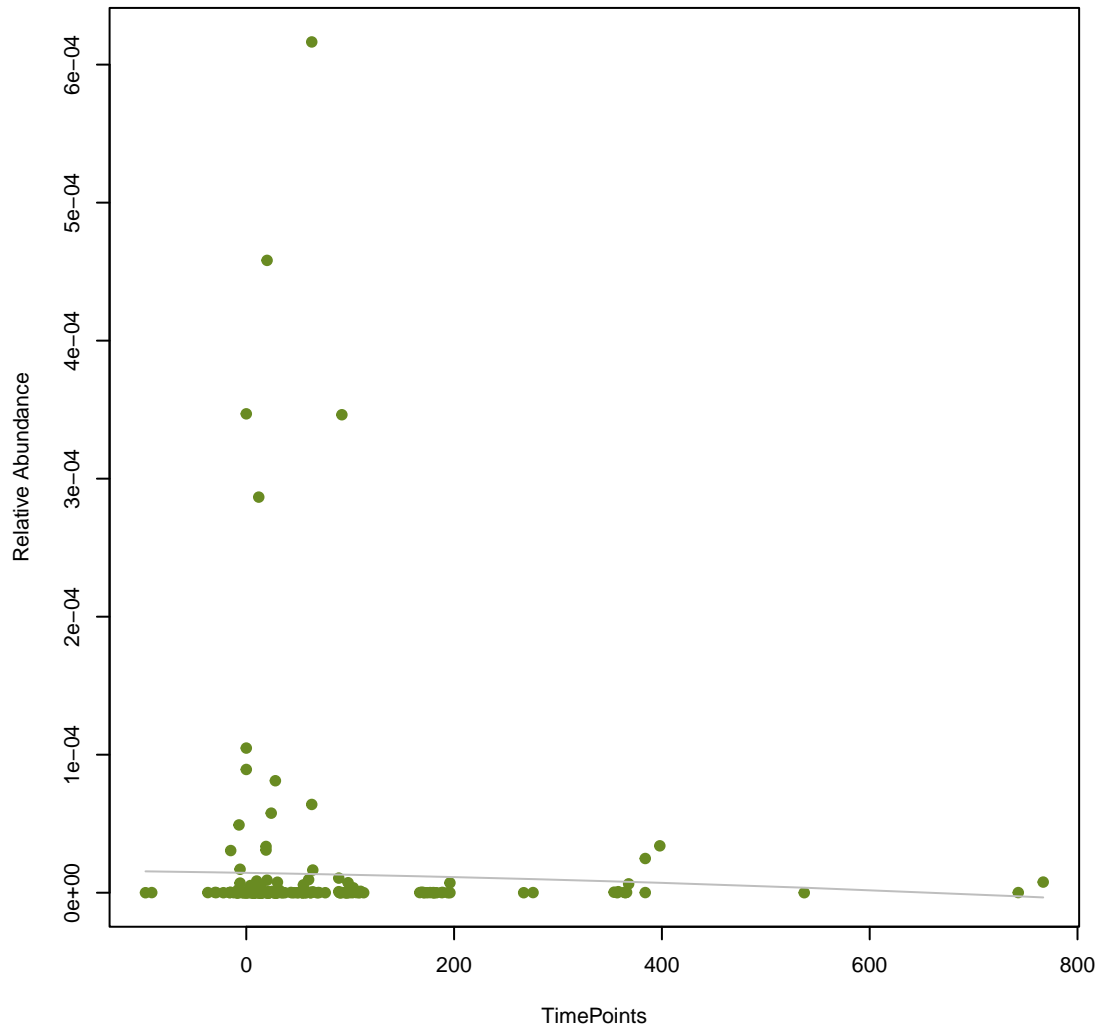
vsearch
gadW
ANOVA Pval: 0.88



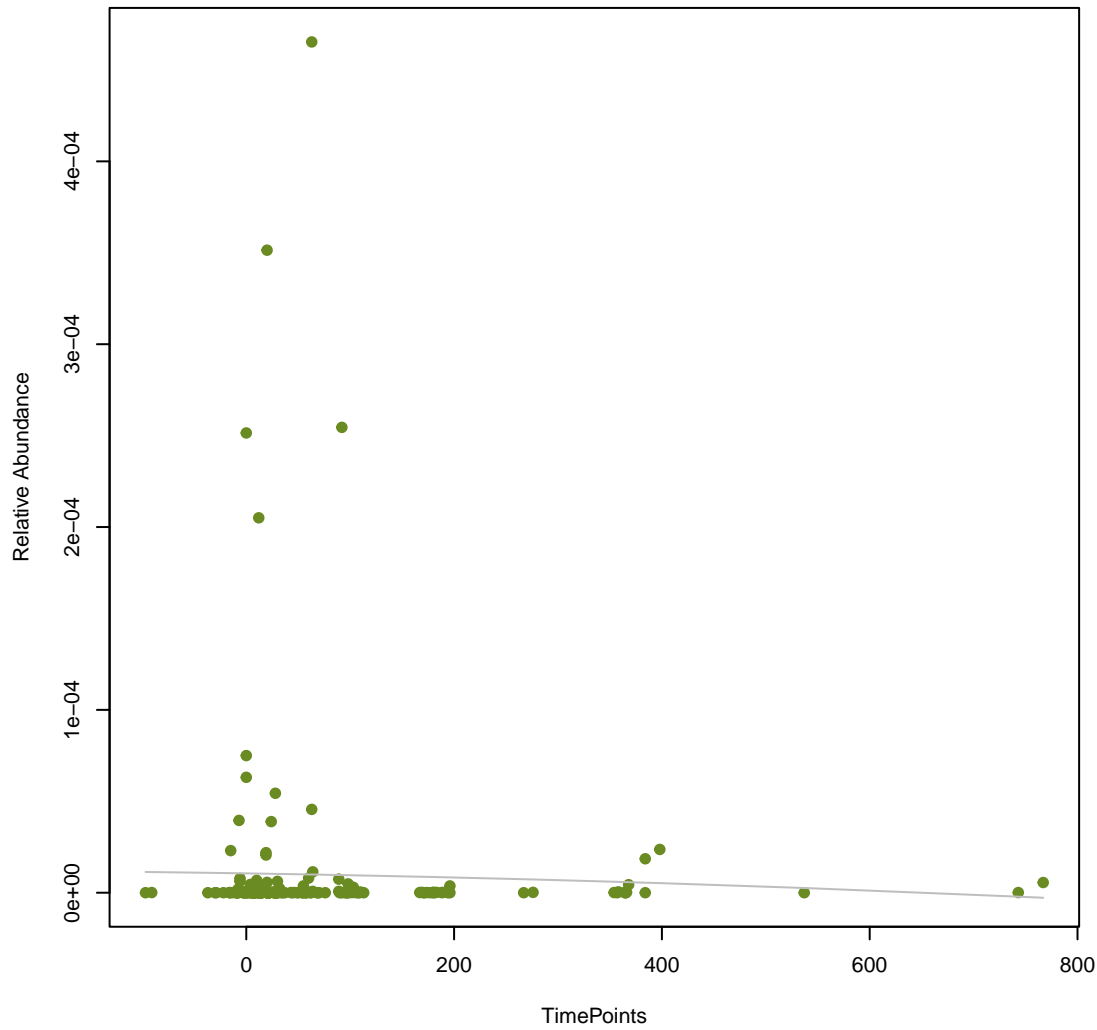
vsearch
mphA
ANOVA Pval: 0.743



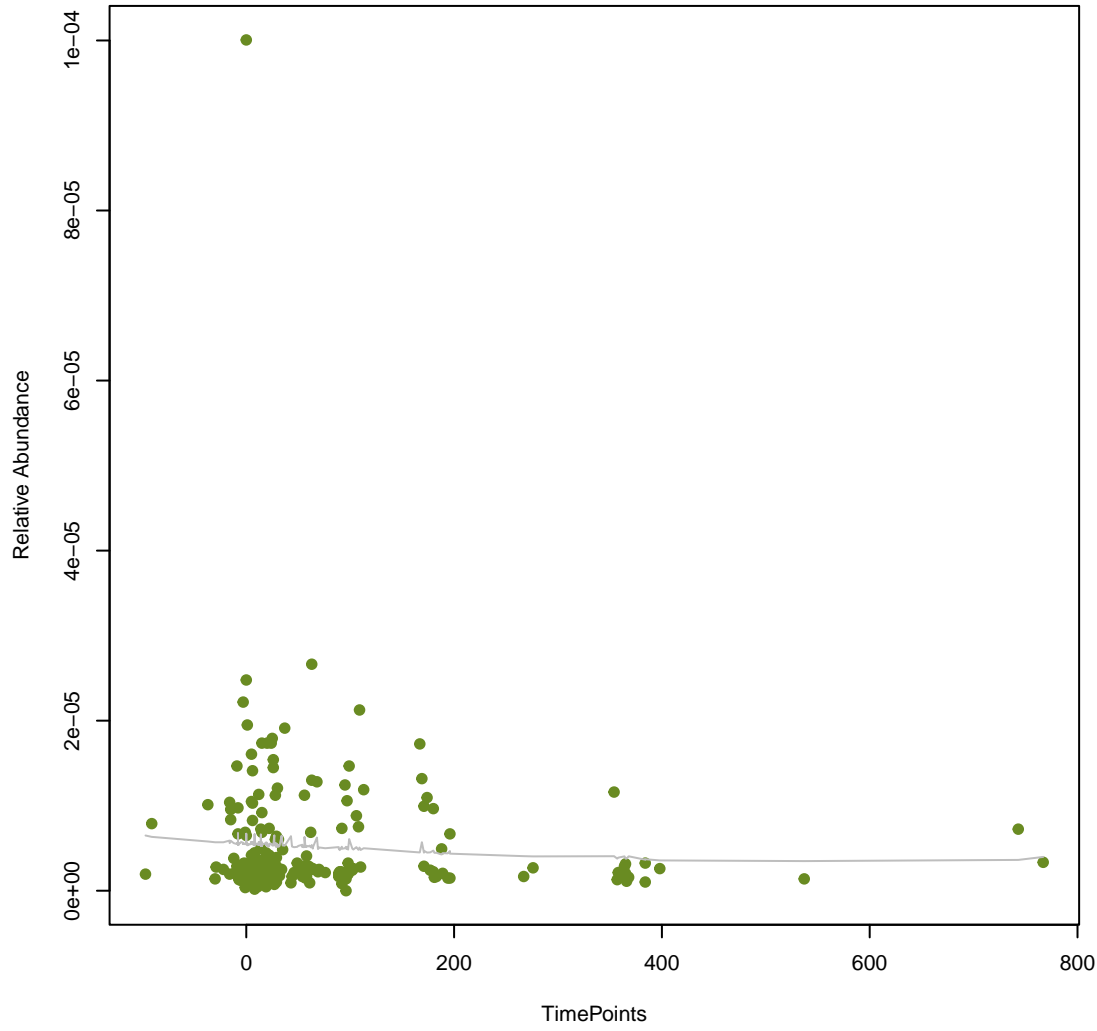
**vsearch
emrY**
ANOVA Pval: 0.876



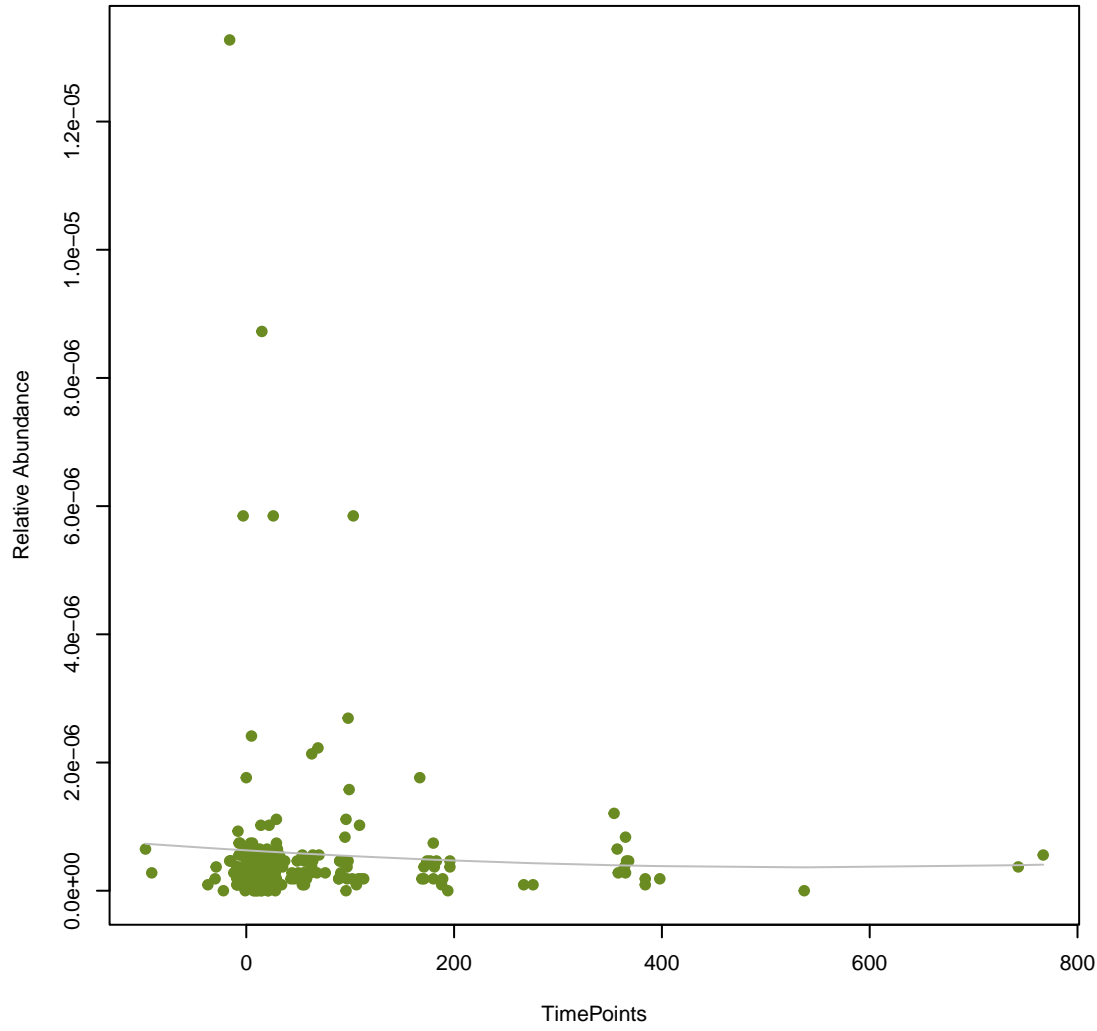
**vsearch
emrK**
ANOVA Pval: 0.877



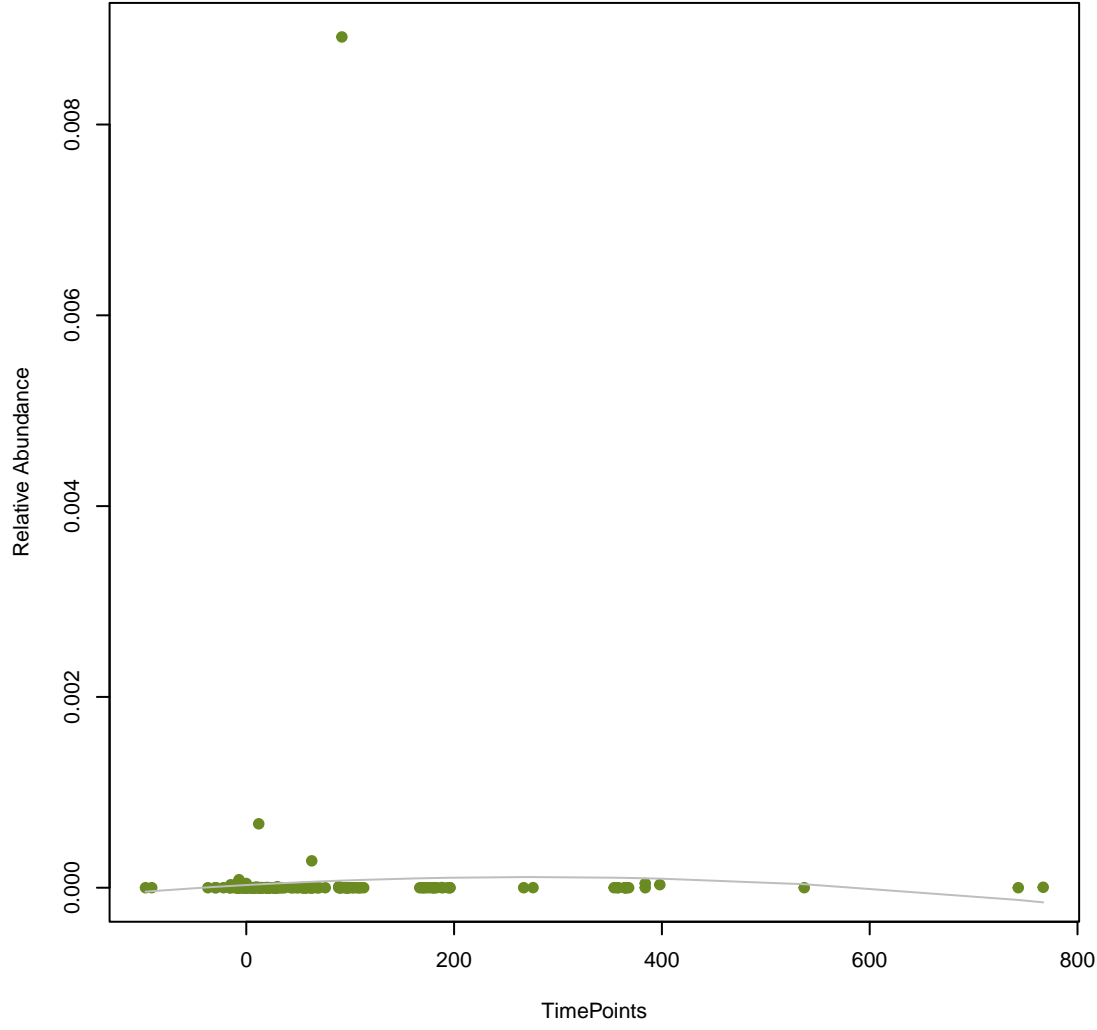
**vsearch
qacL**
ANOVA Pval: 0.675



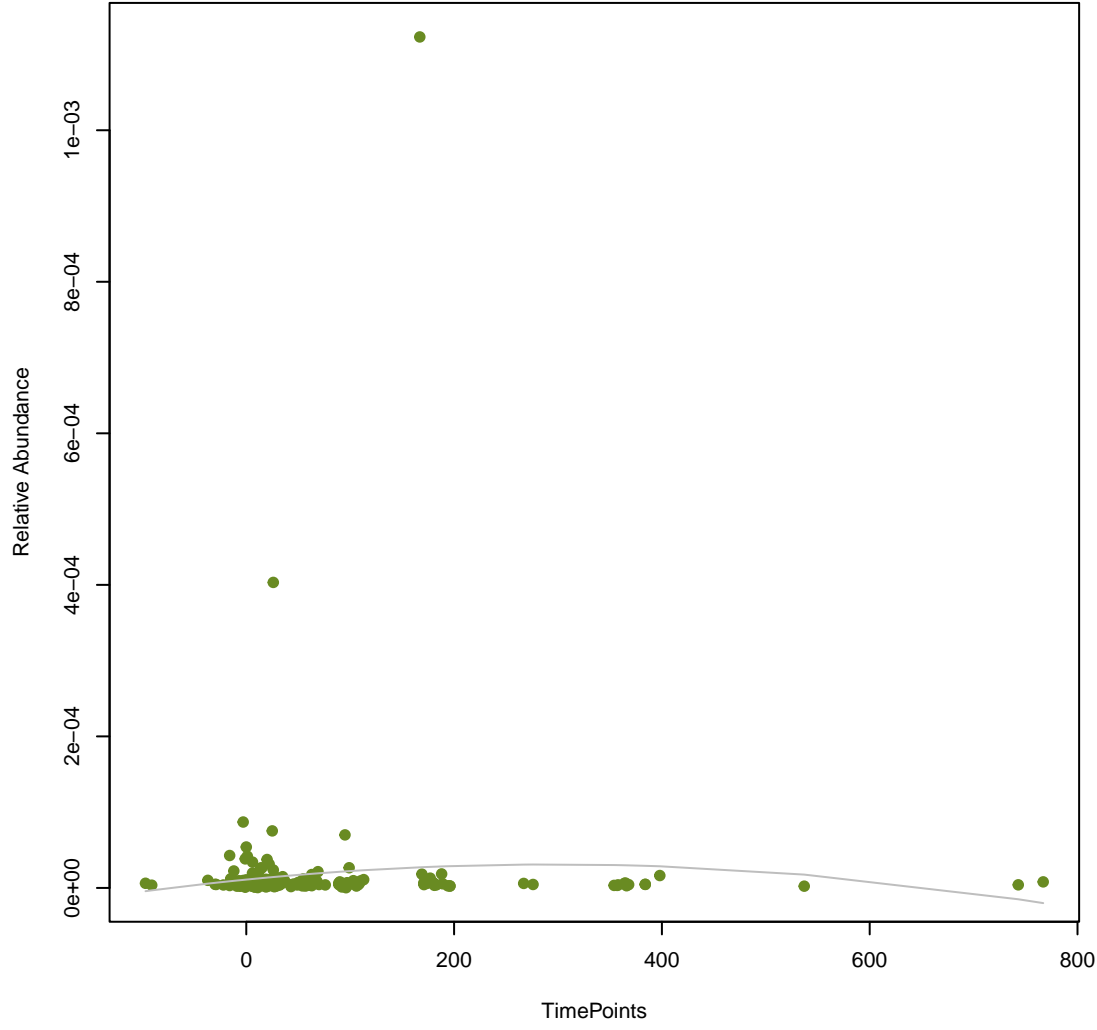
**vsearch
vanU_in_vanG_cl**
ANOVA Pval: 0.741

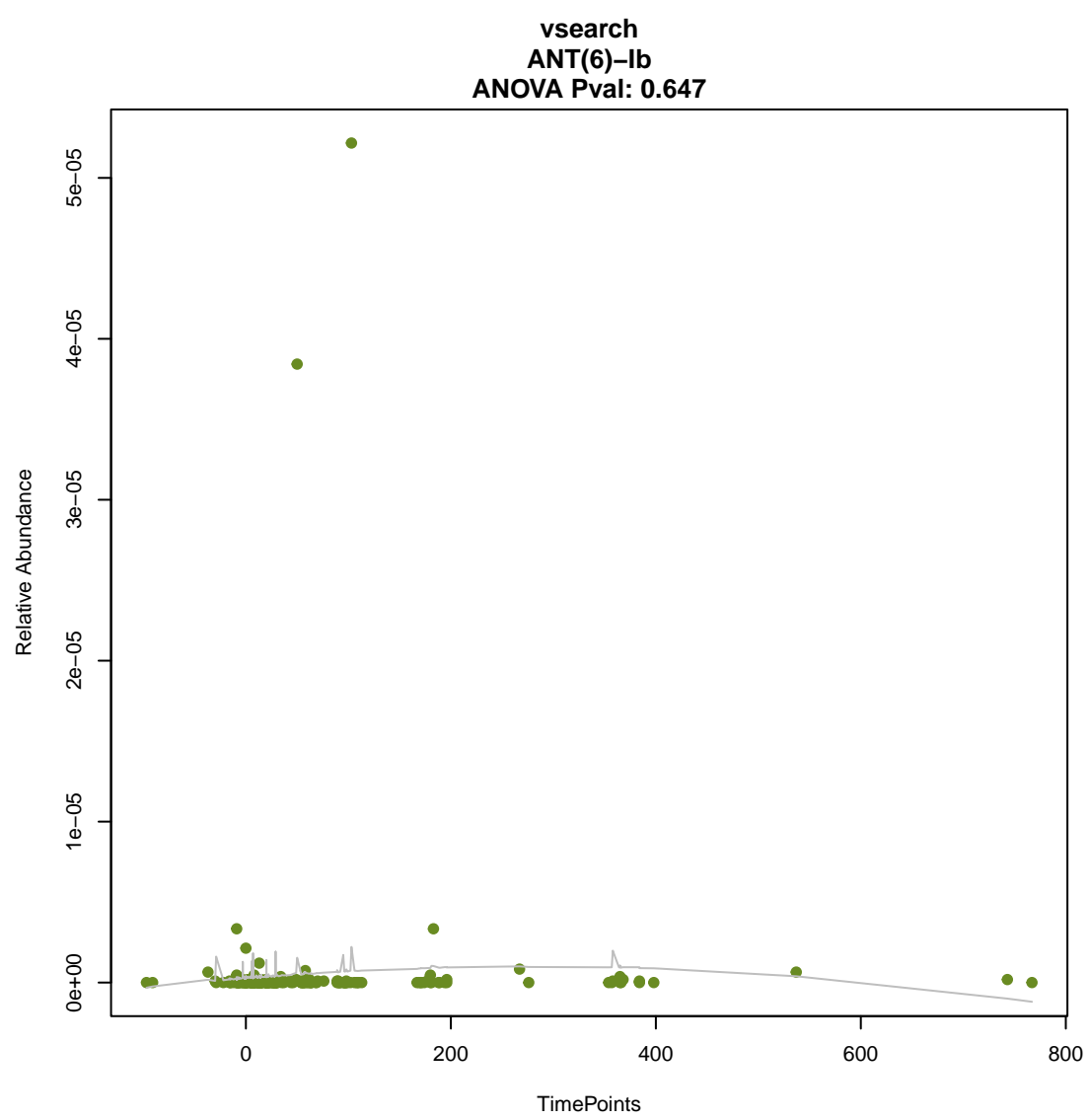
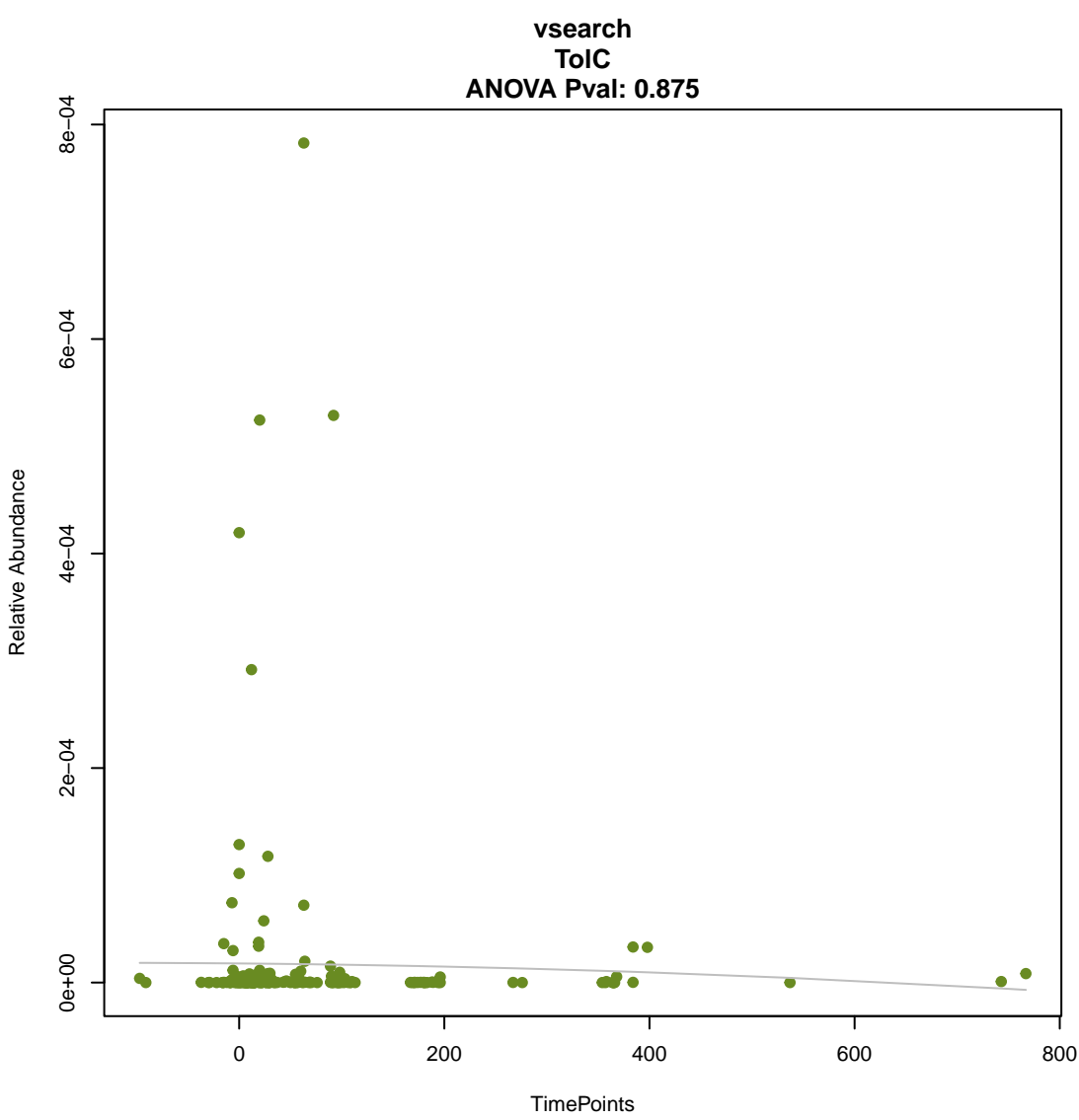
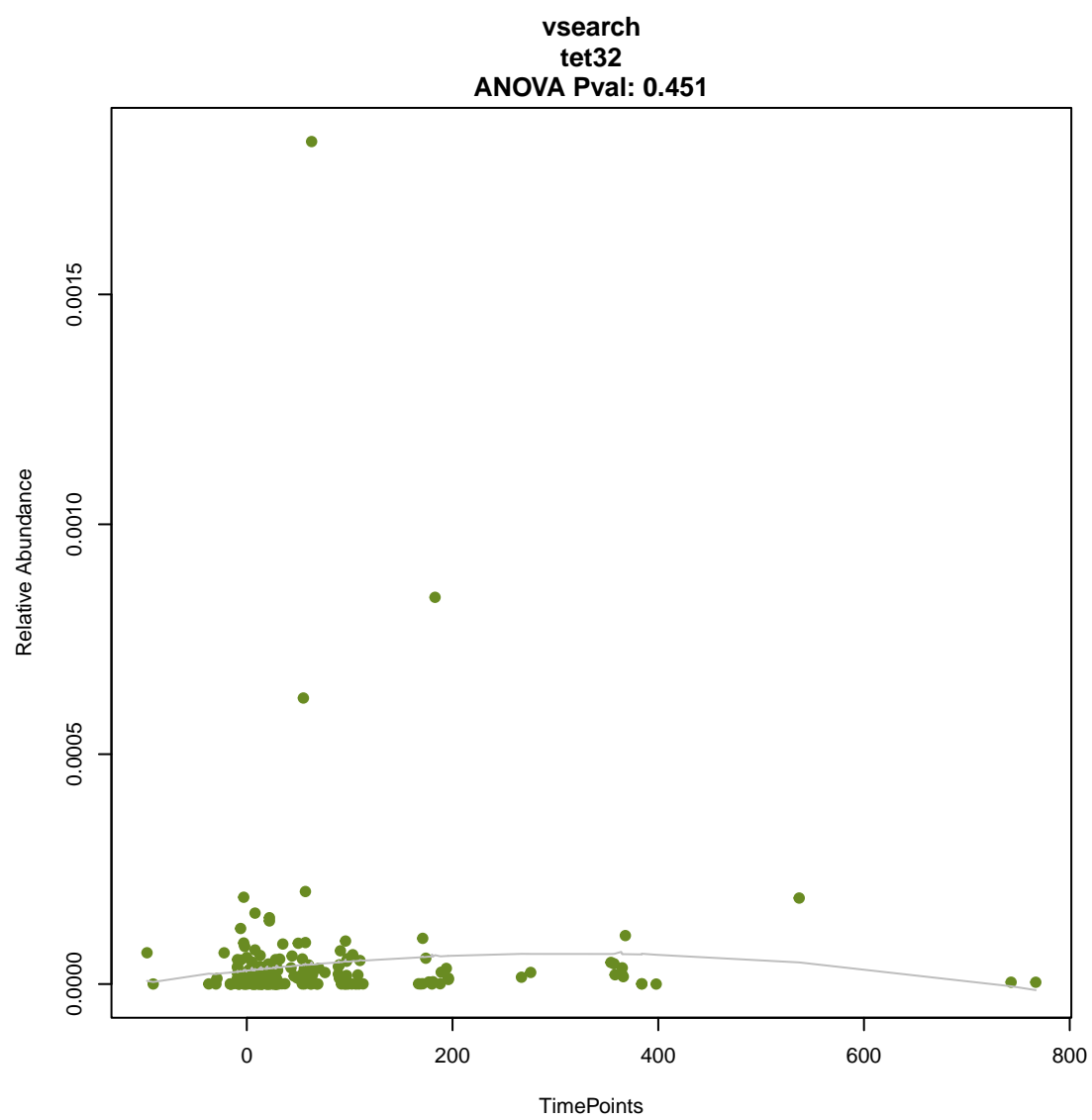
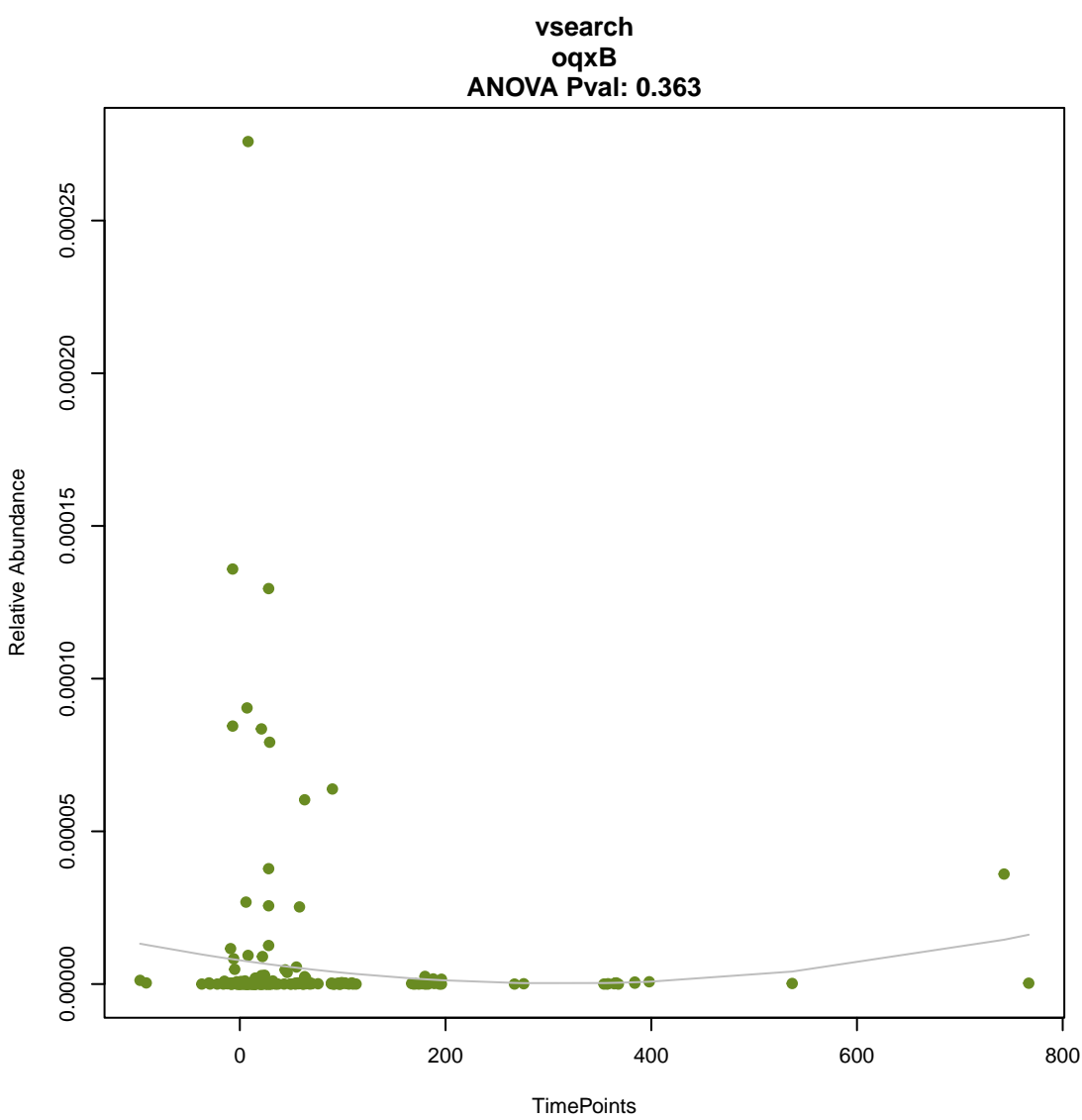
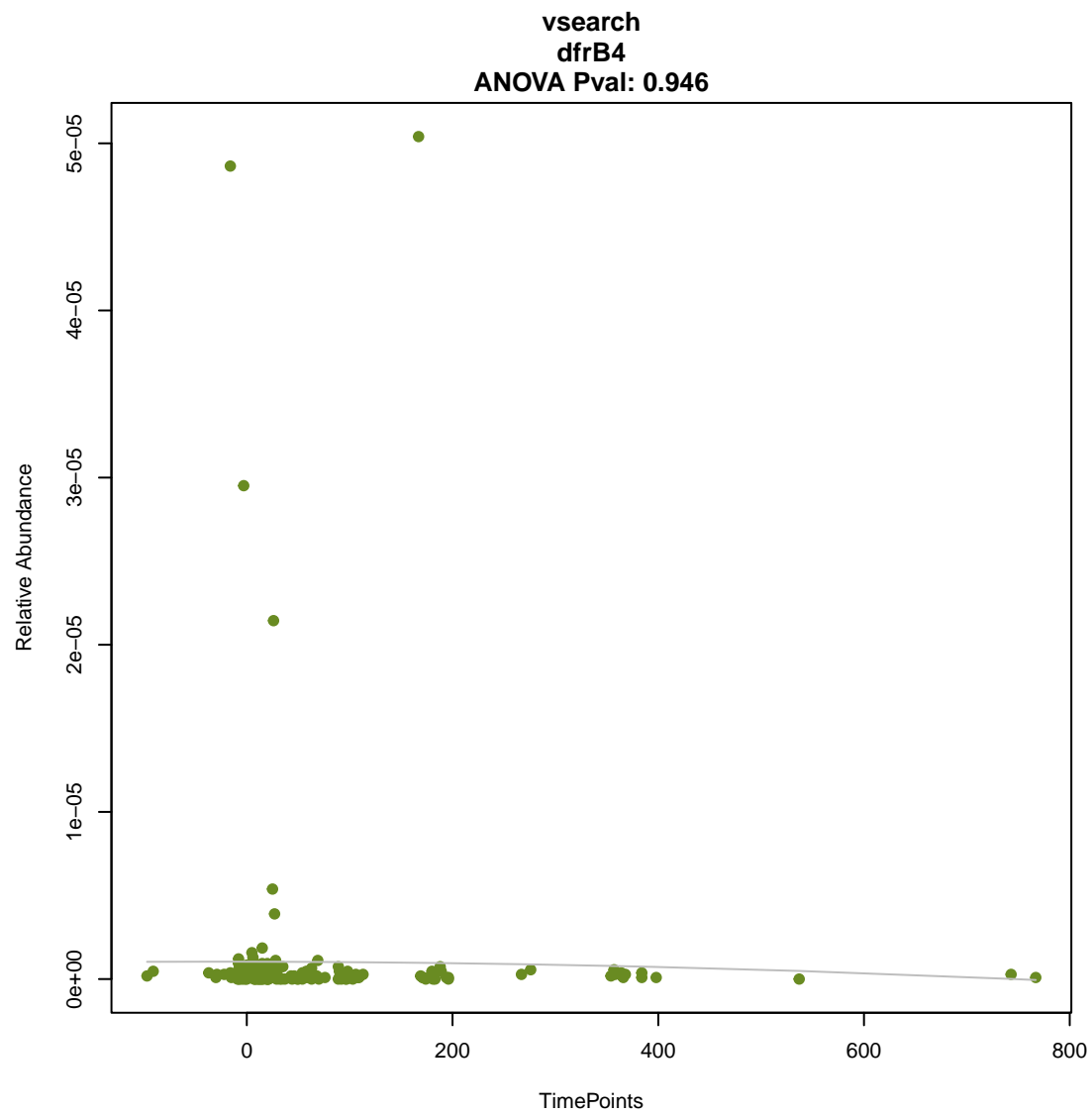
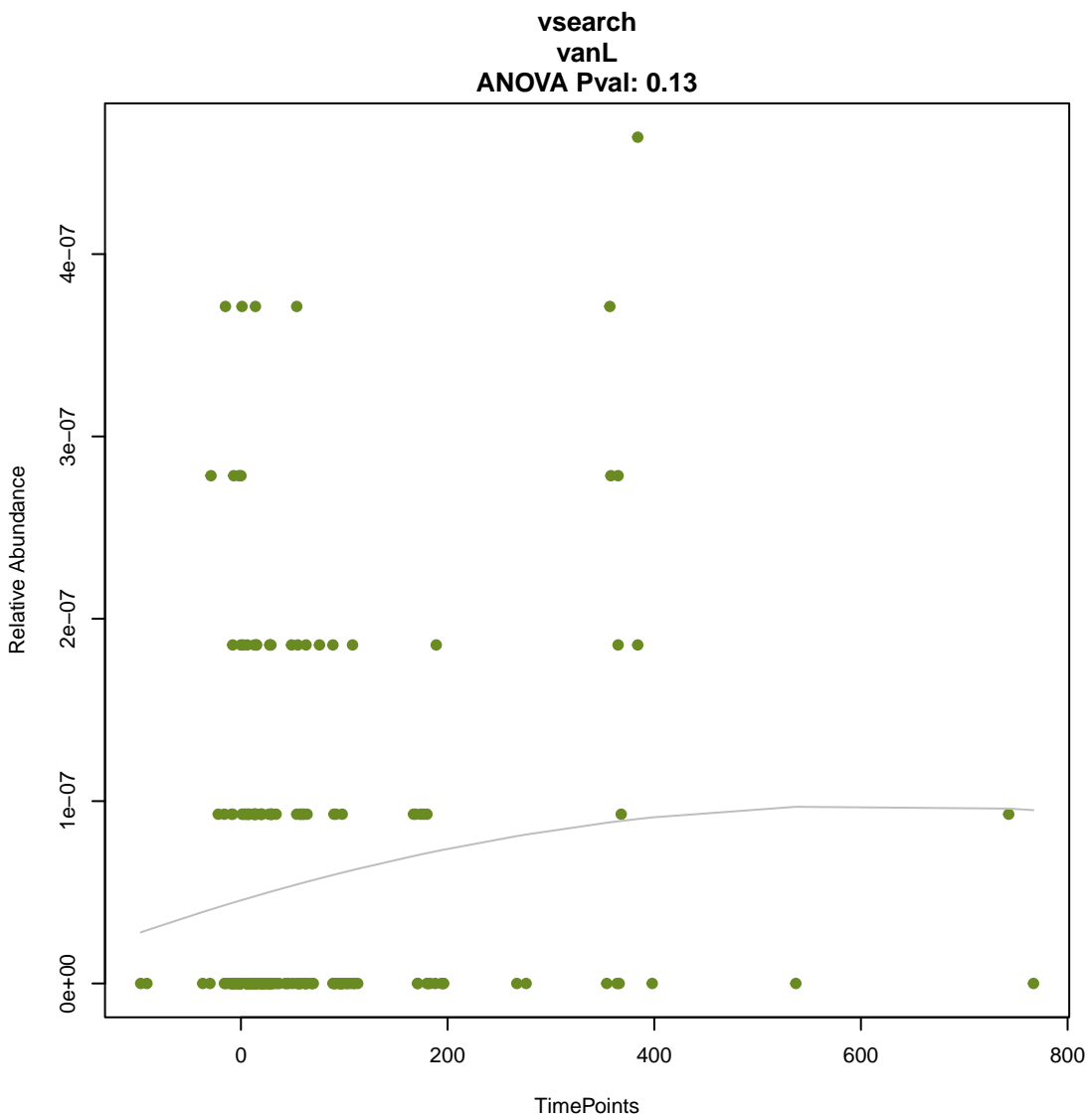


**vsearch
dfrA17**
ANOVA Pval: 0.739

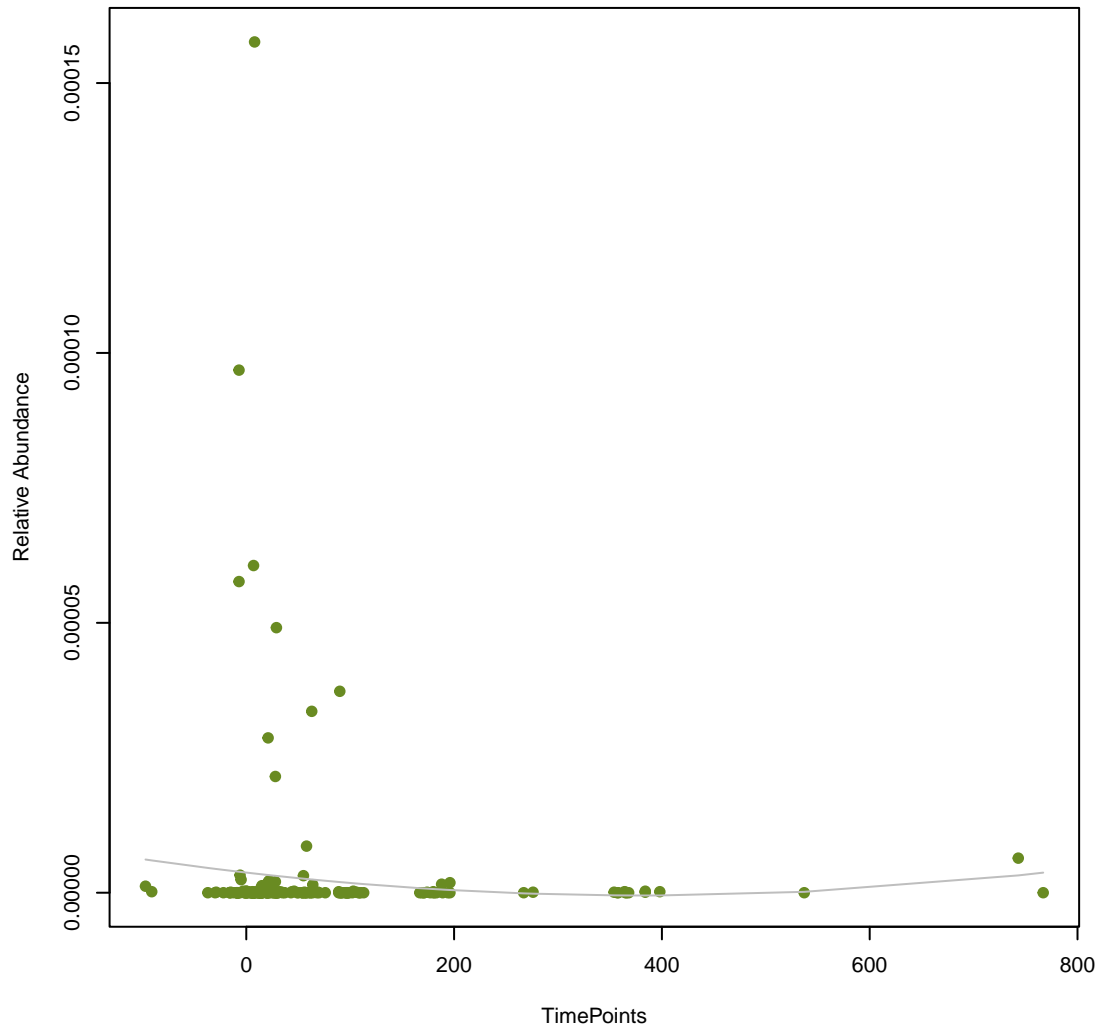


**vsearch
dfrB2**
ANOVA Pval: 0.442

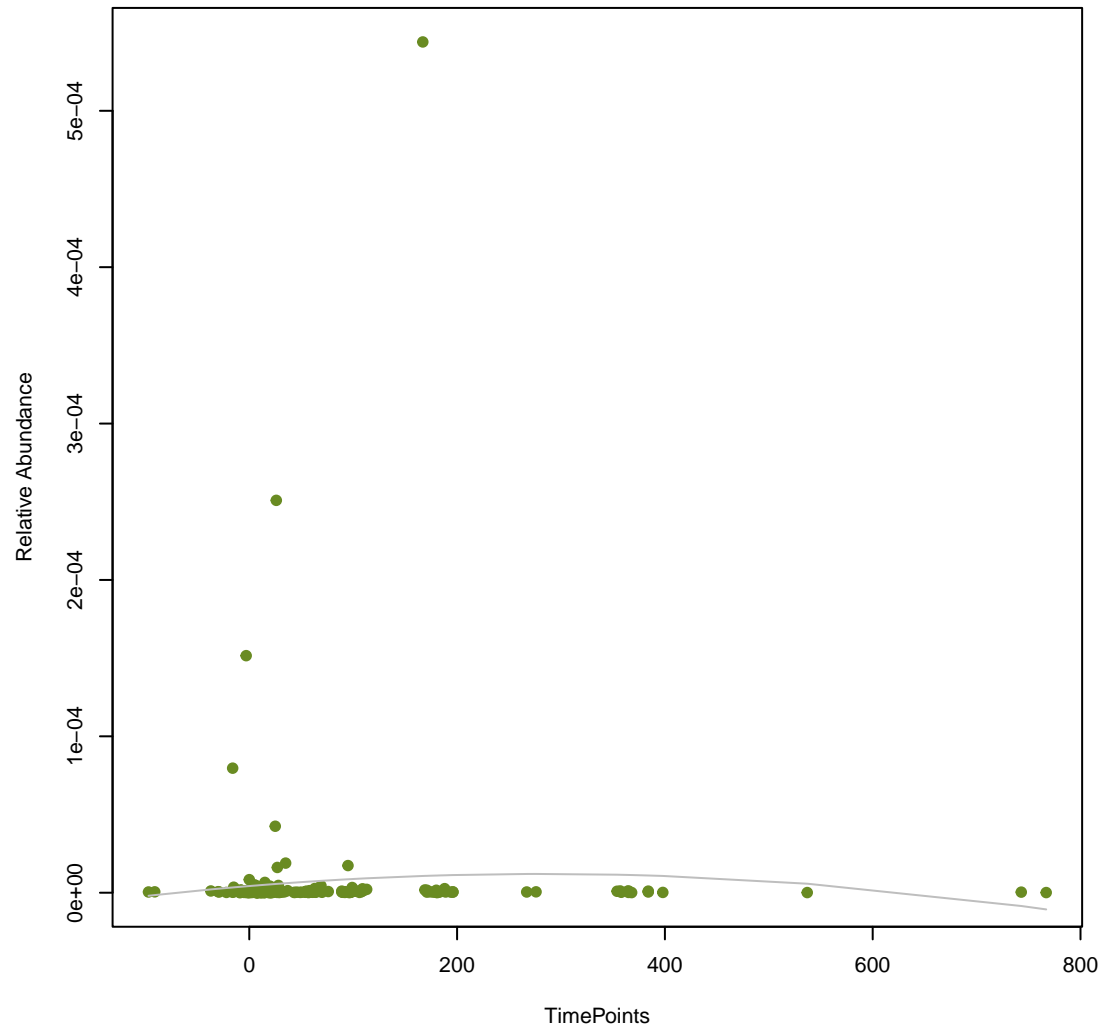




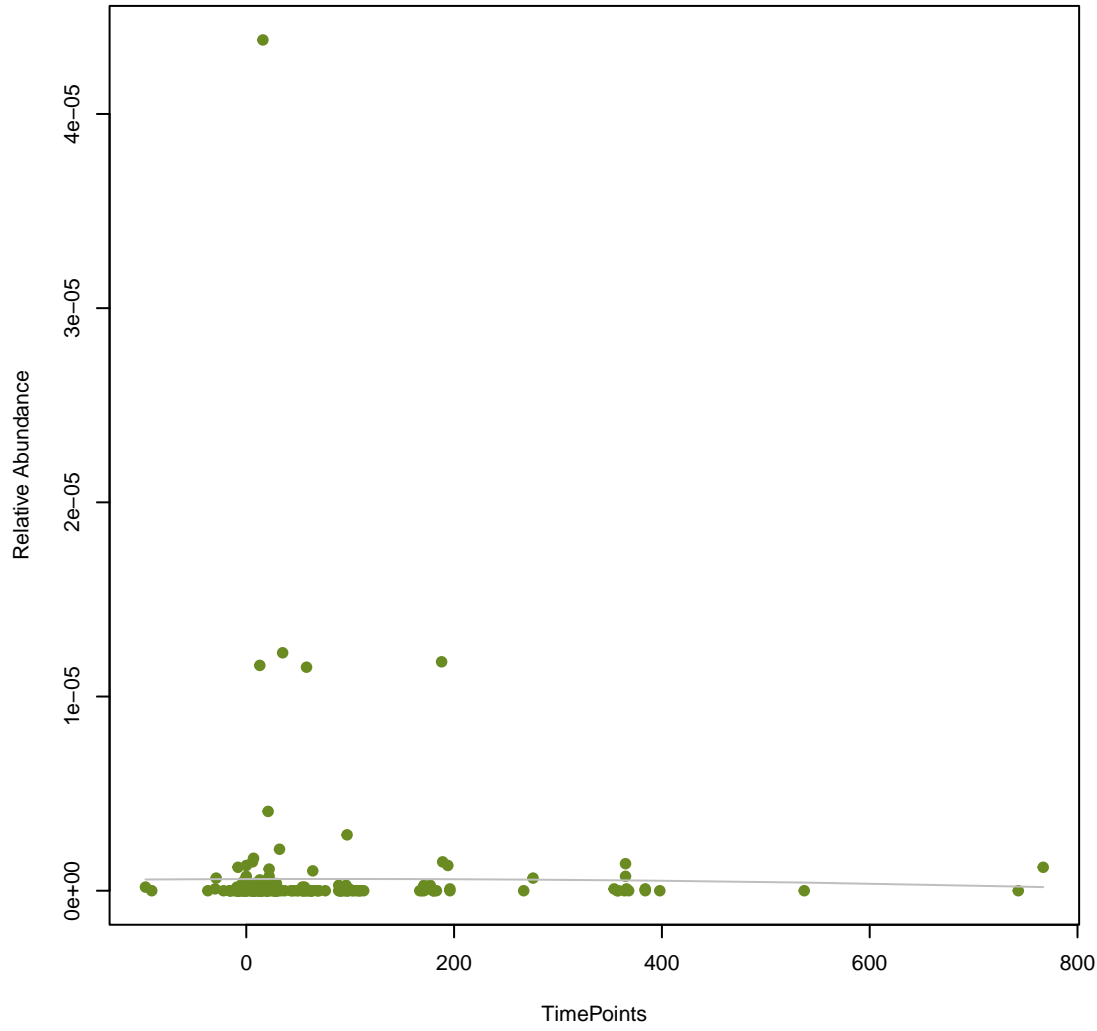
vsearch
ArnT
ANOVA Pval: 0.46



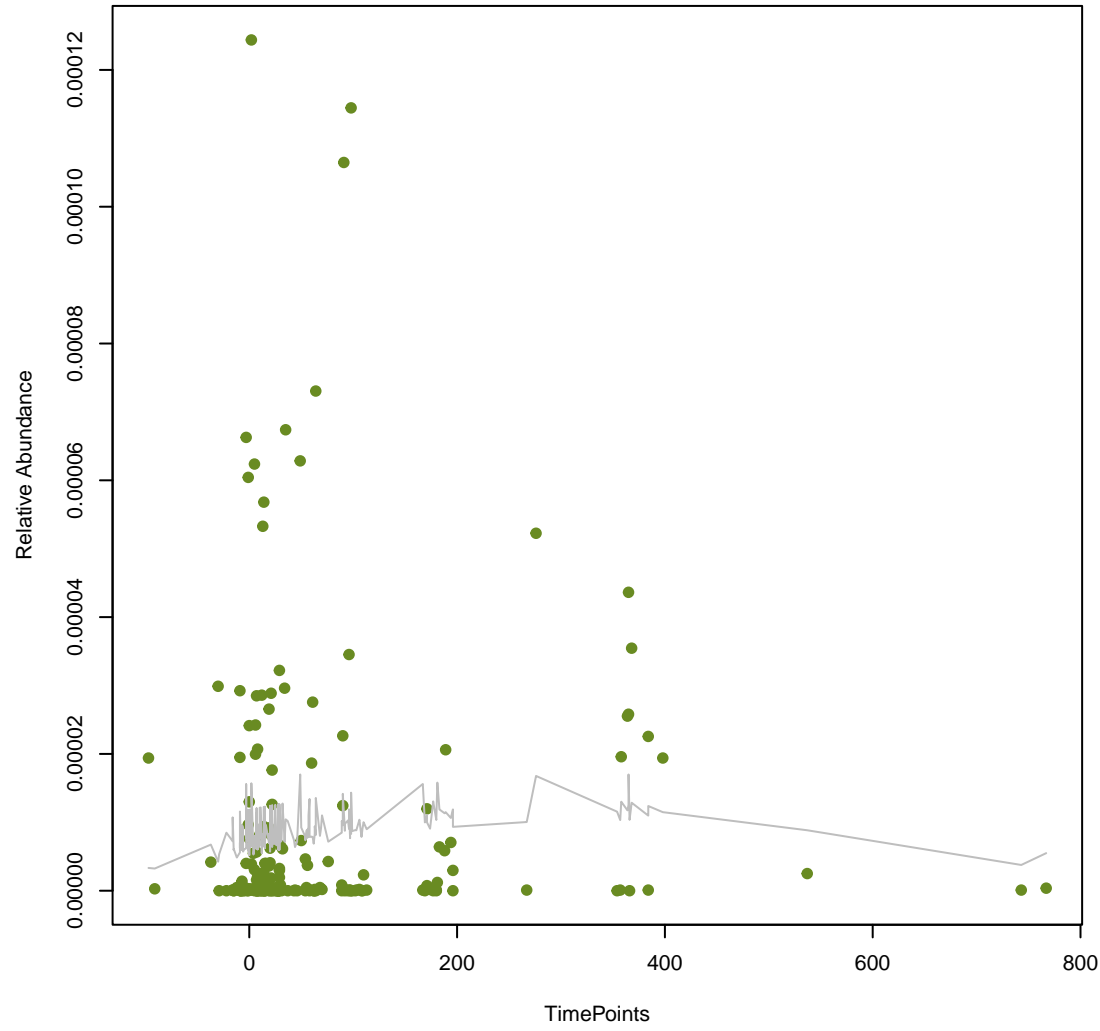
vsearch
dfrB3
ANOVA Pval: 0.605



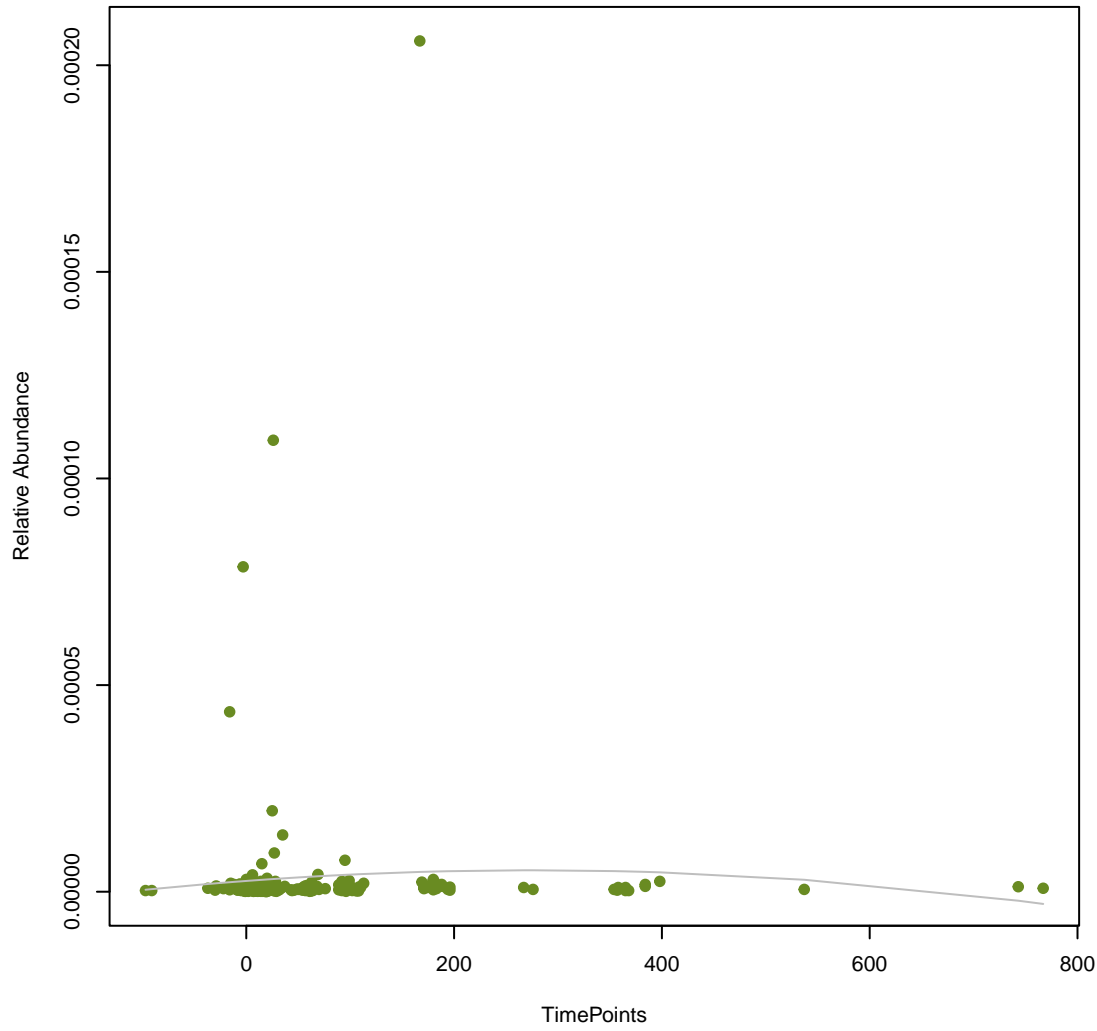
vsearch
CfxA6
ANOVA Pval: 0.983



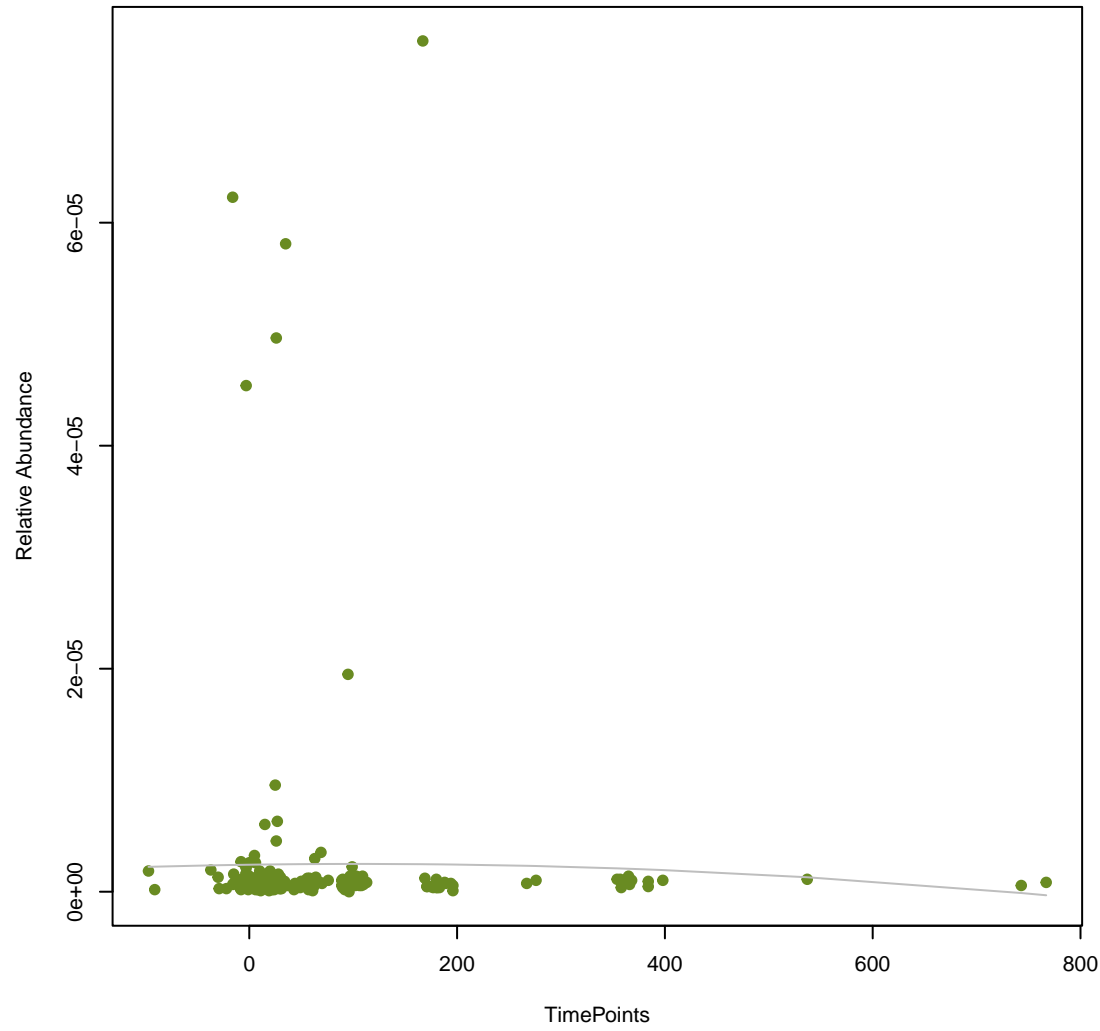
vsearch
CblA-1
ANOVA Pval: 0.471

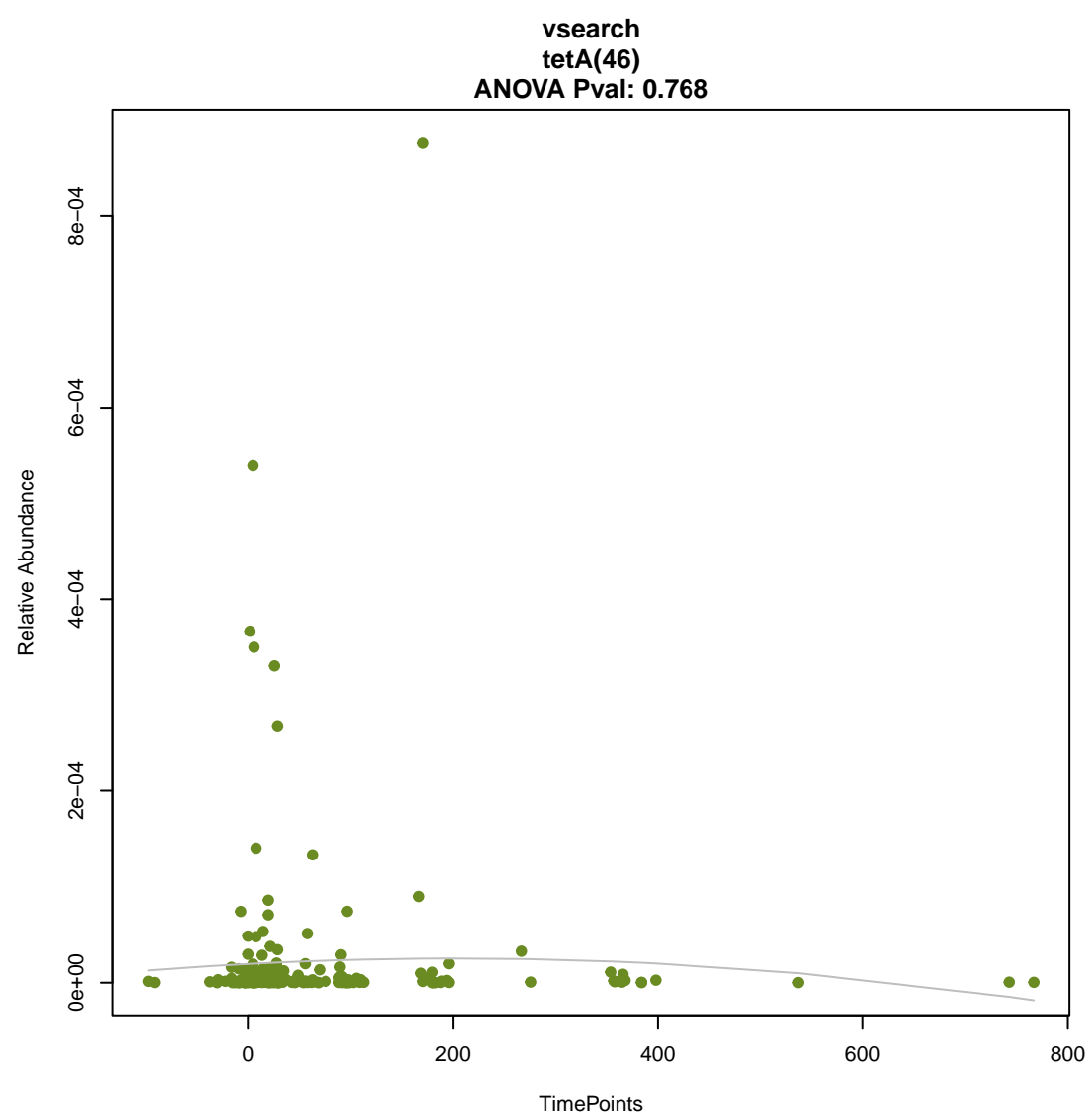
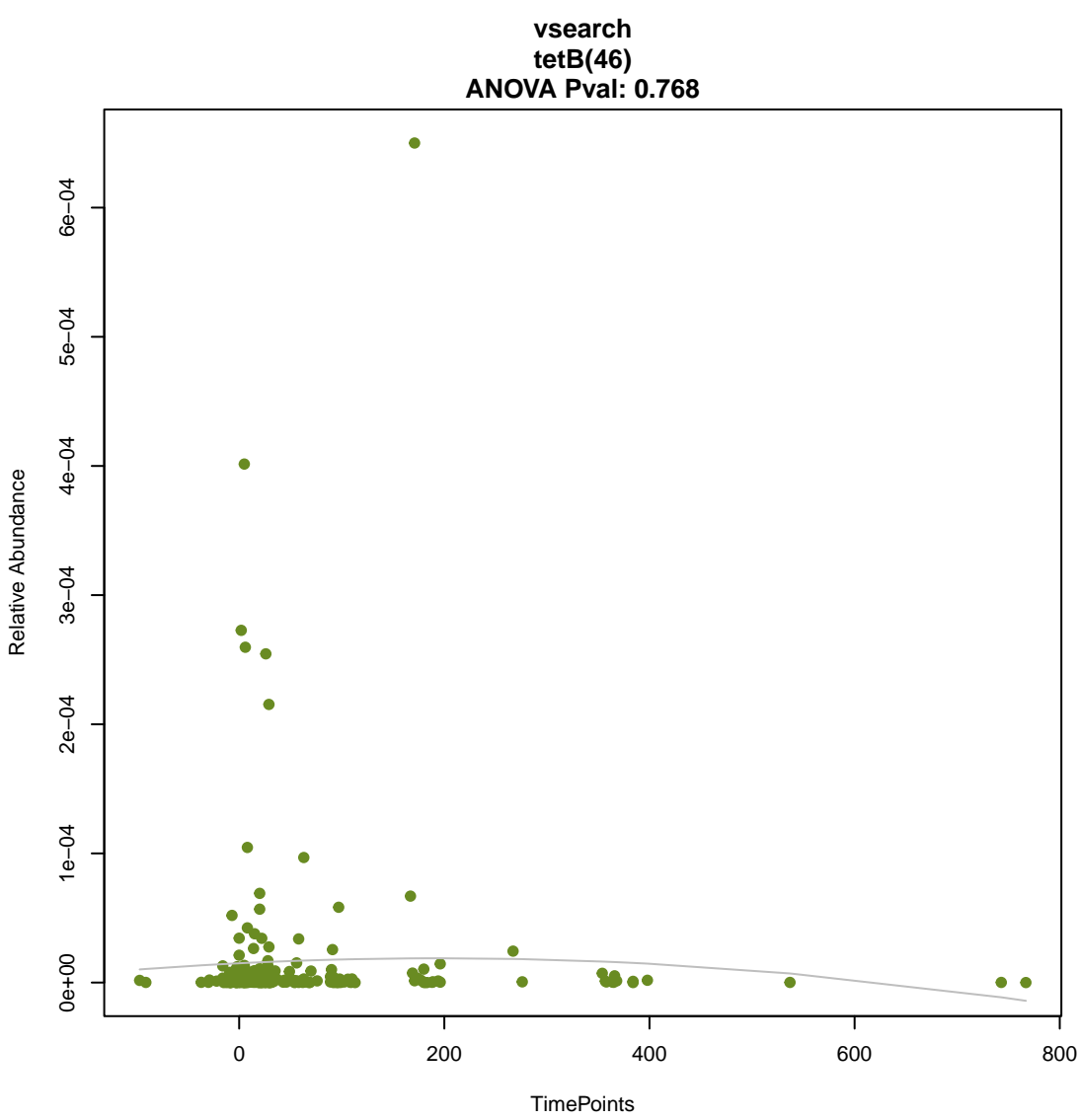
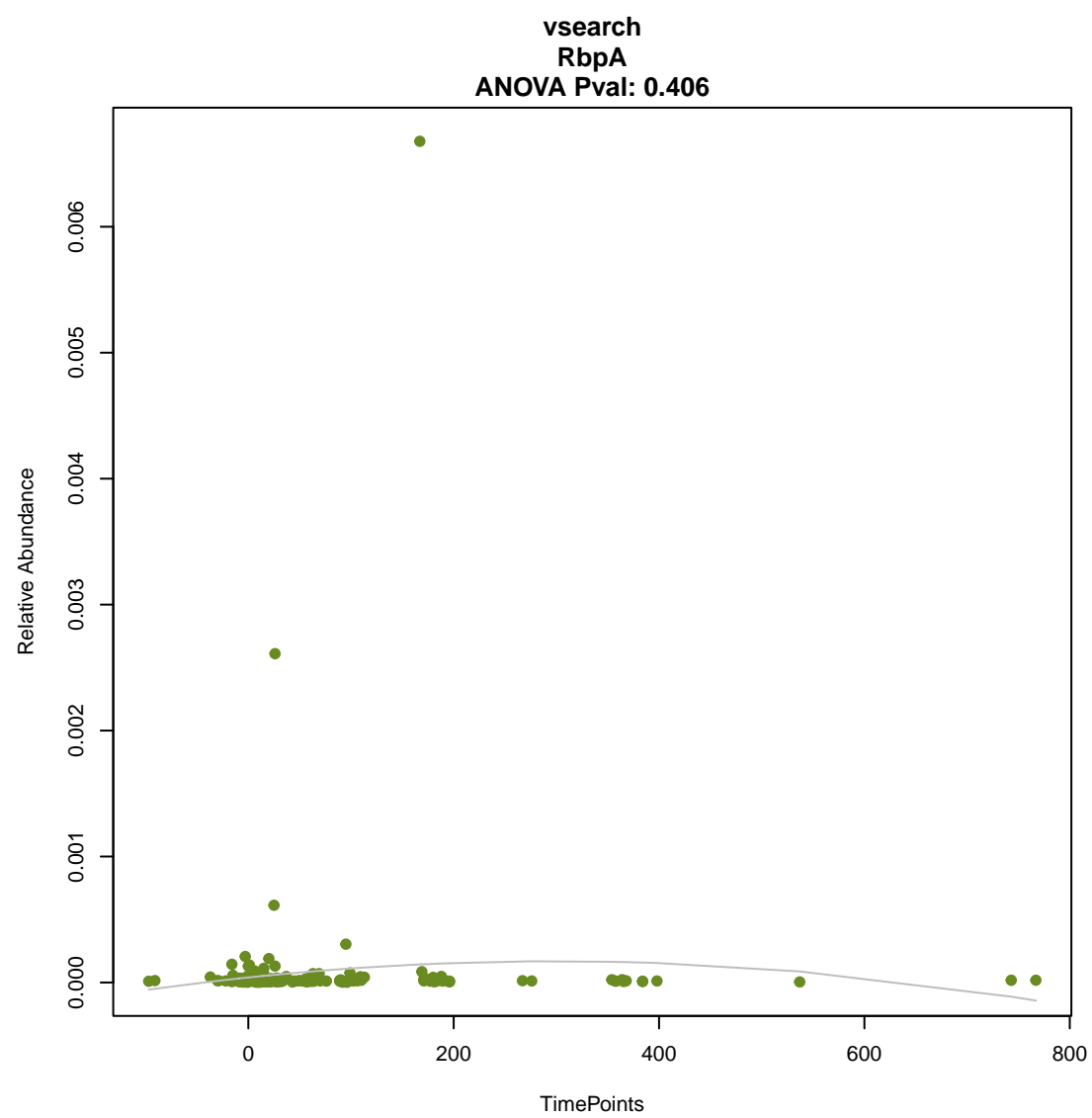
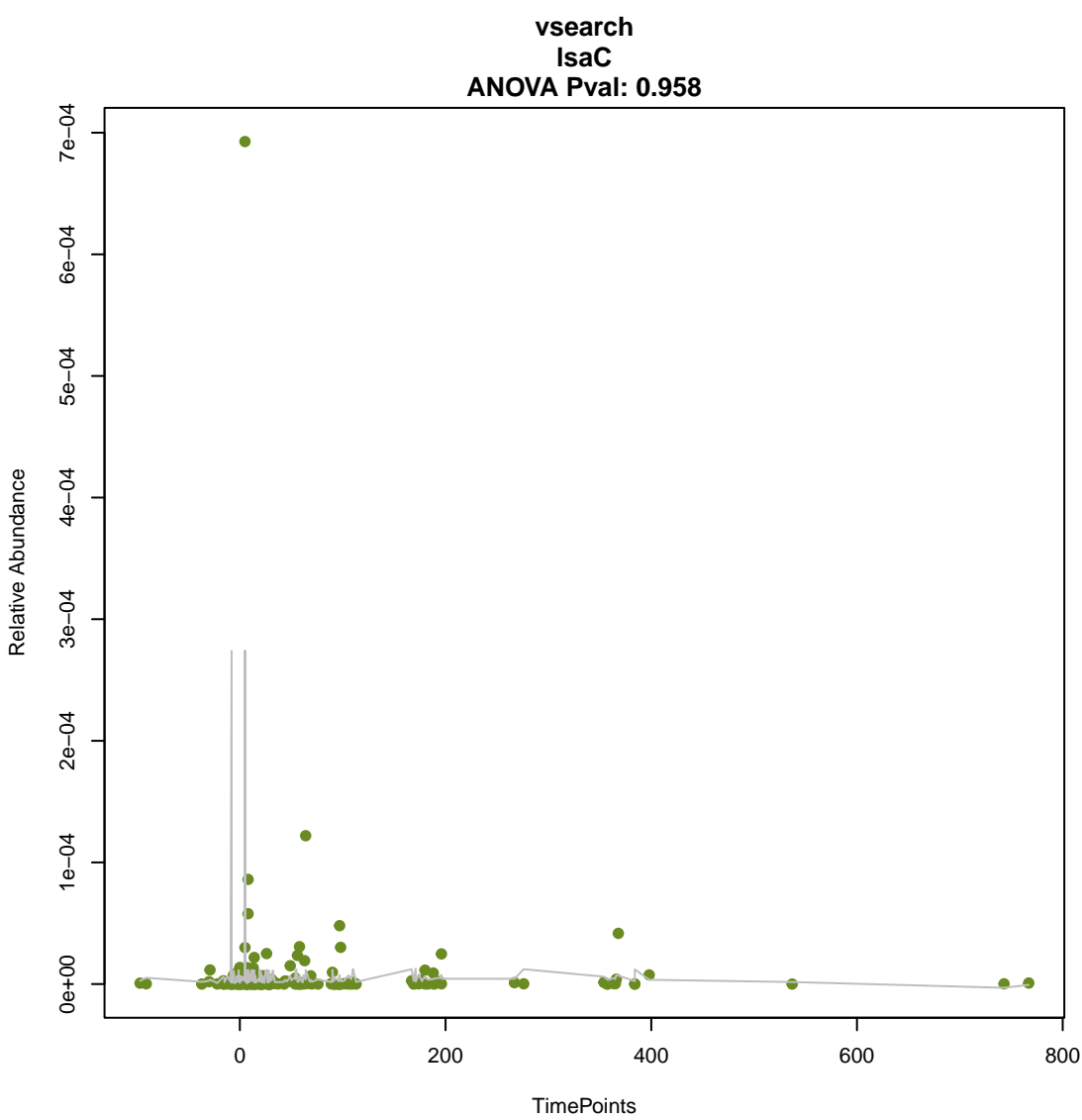
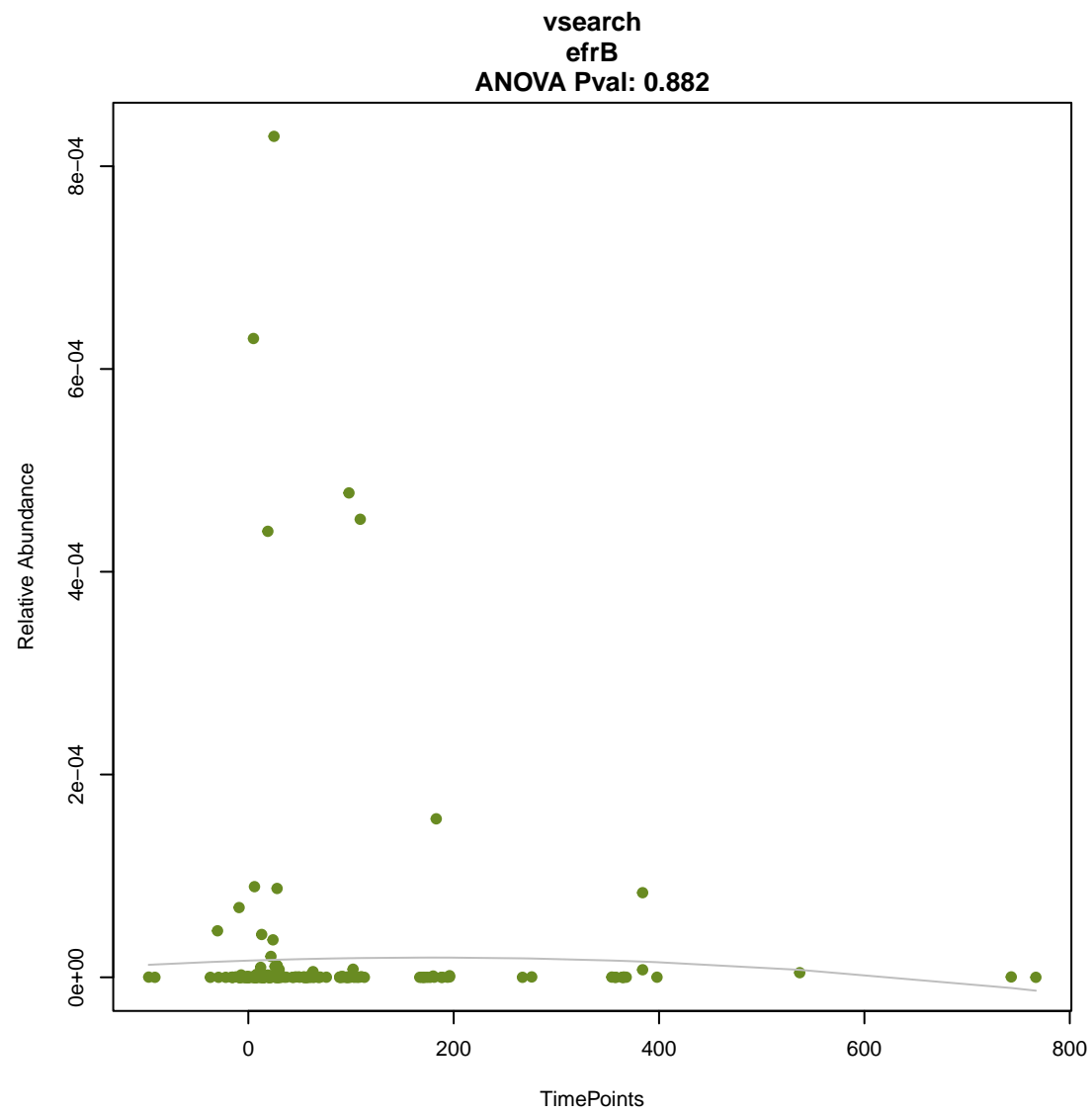
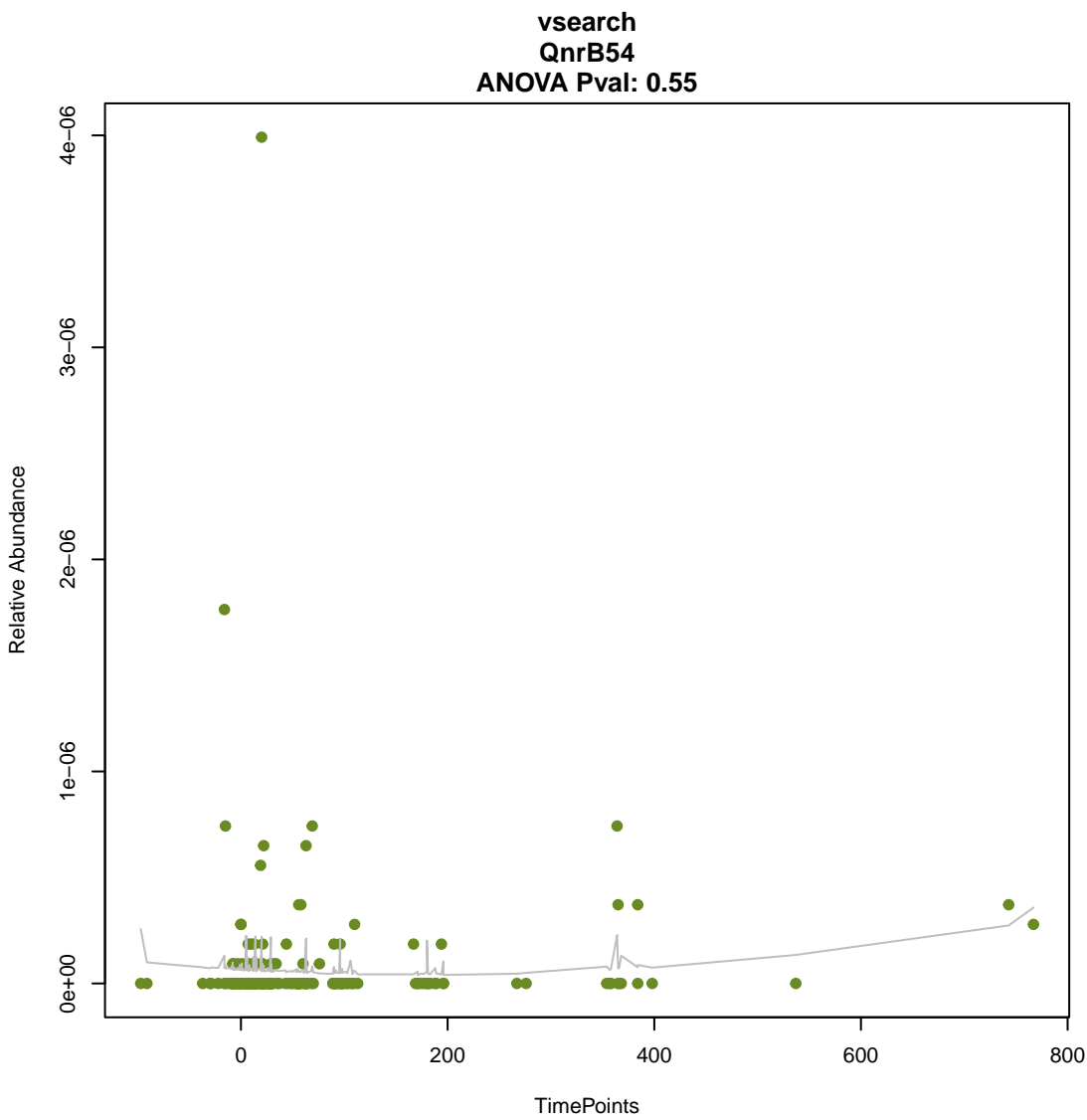


vsearch
dfrB6
ANOVA Pval: 0.689

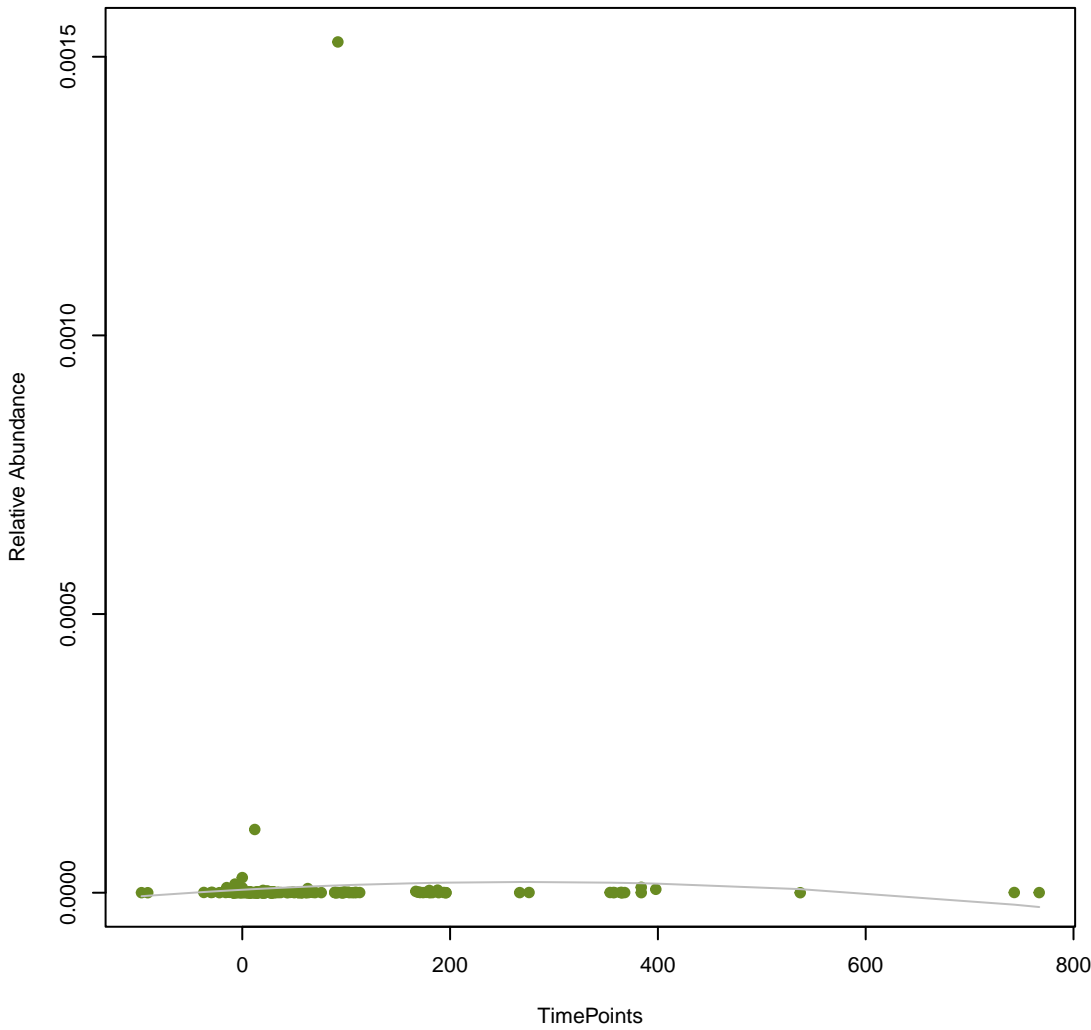


vsearch
dfrB7
ANOVA Pval: 0.902

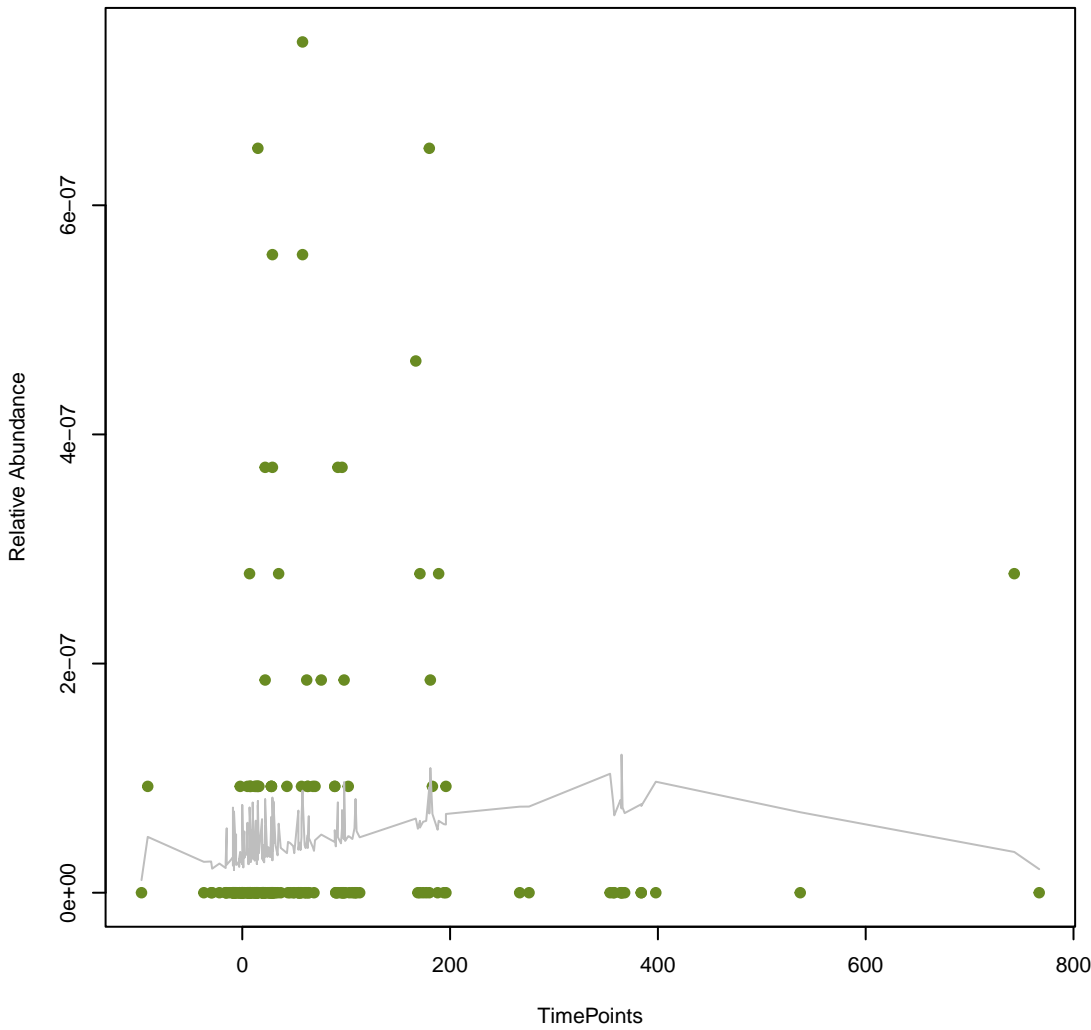




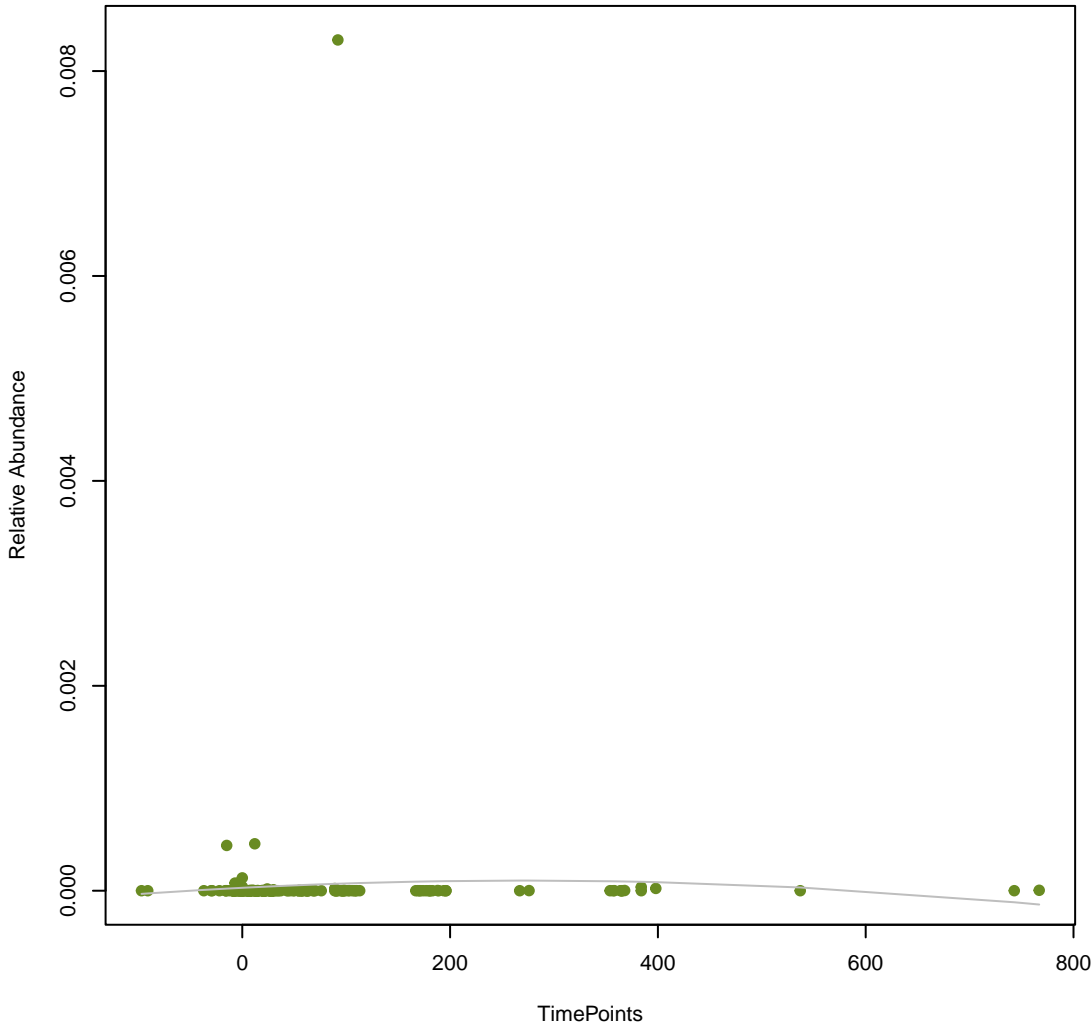
vsearch
qacE
ANOVA Pval: 0.748



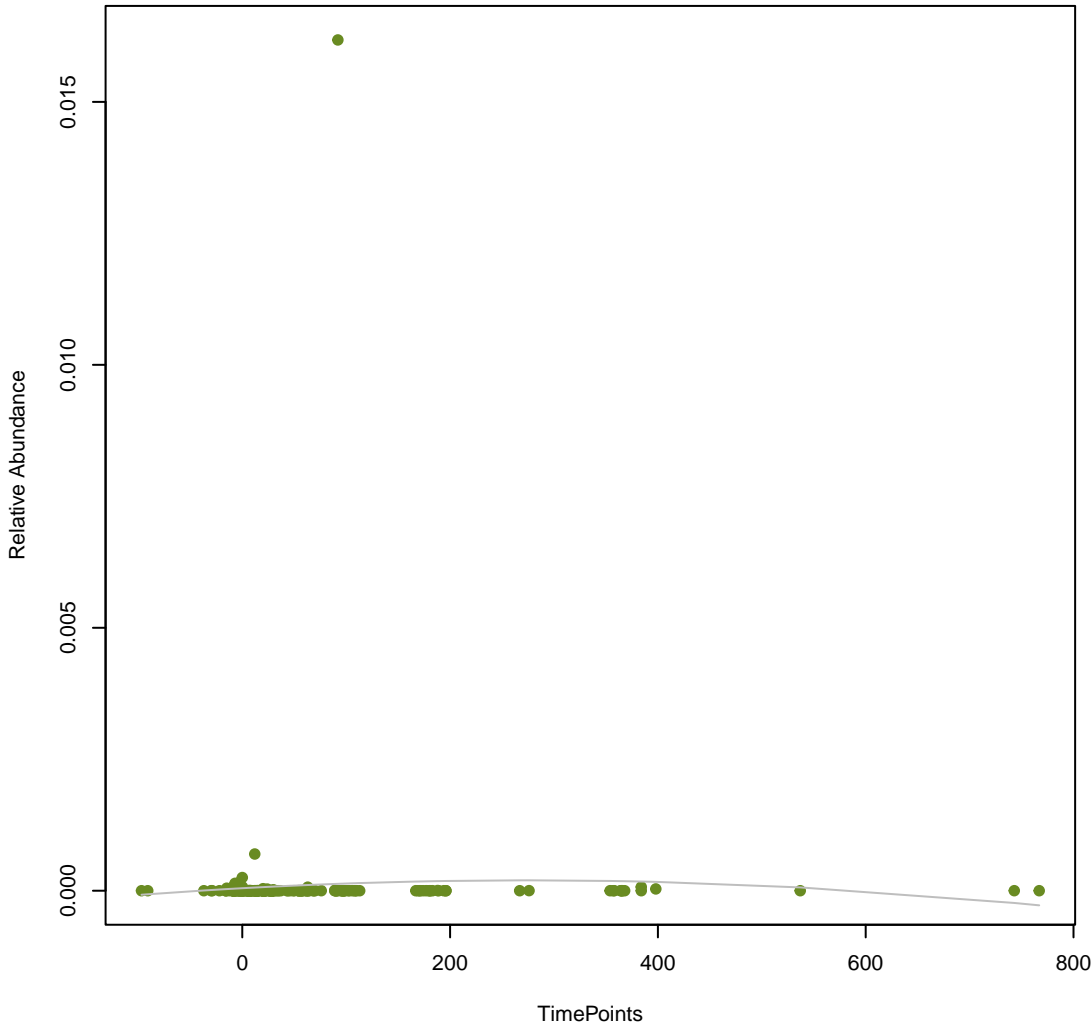
vsearch
OXA-209
ANOVA Pval: 0.272



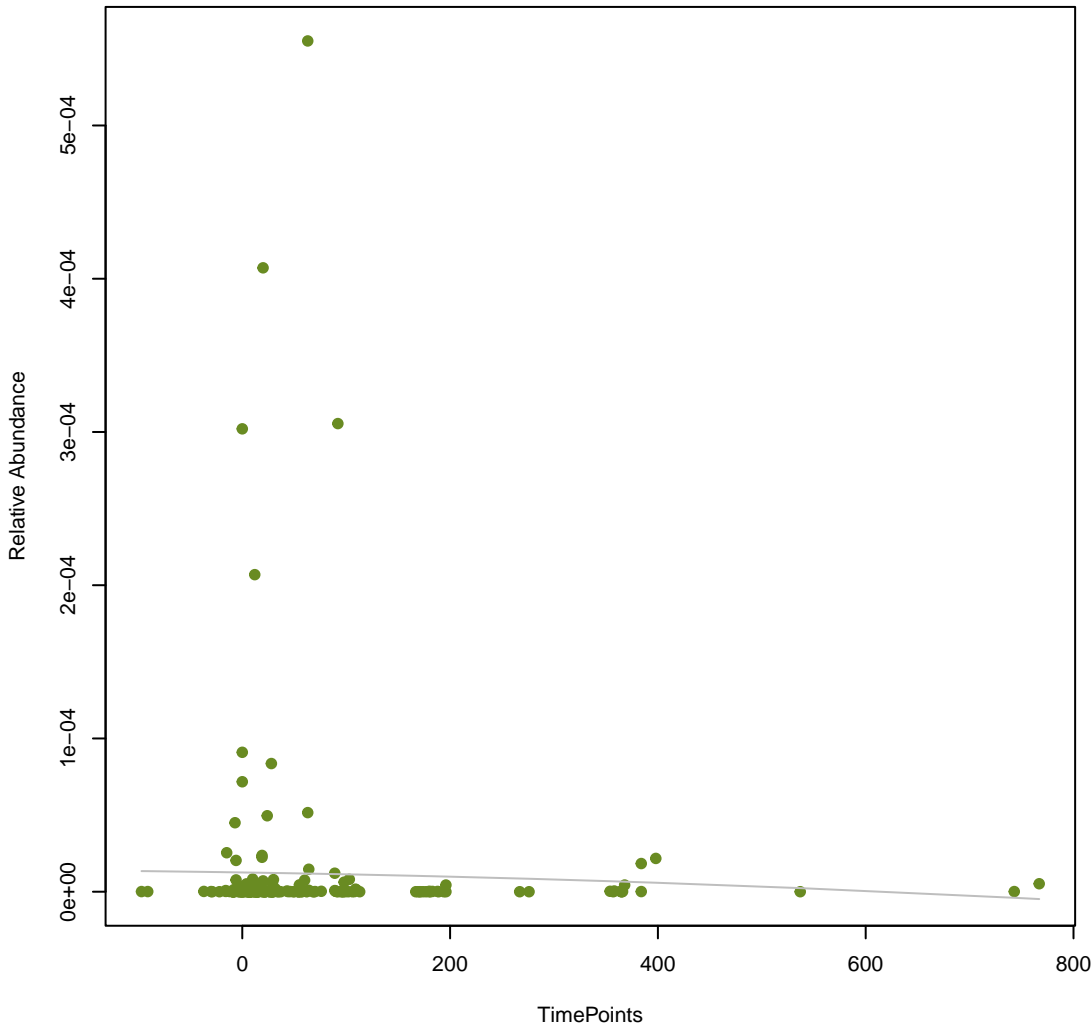
vsearch
TEM-192
ANOVA Pval: 0.772



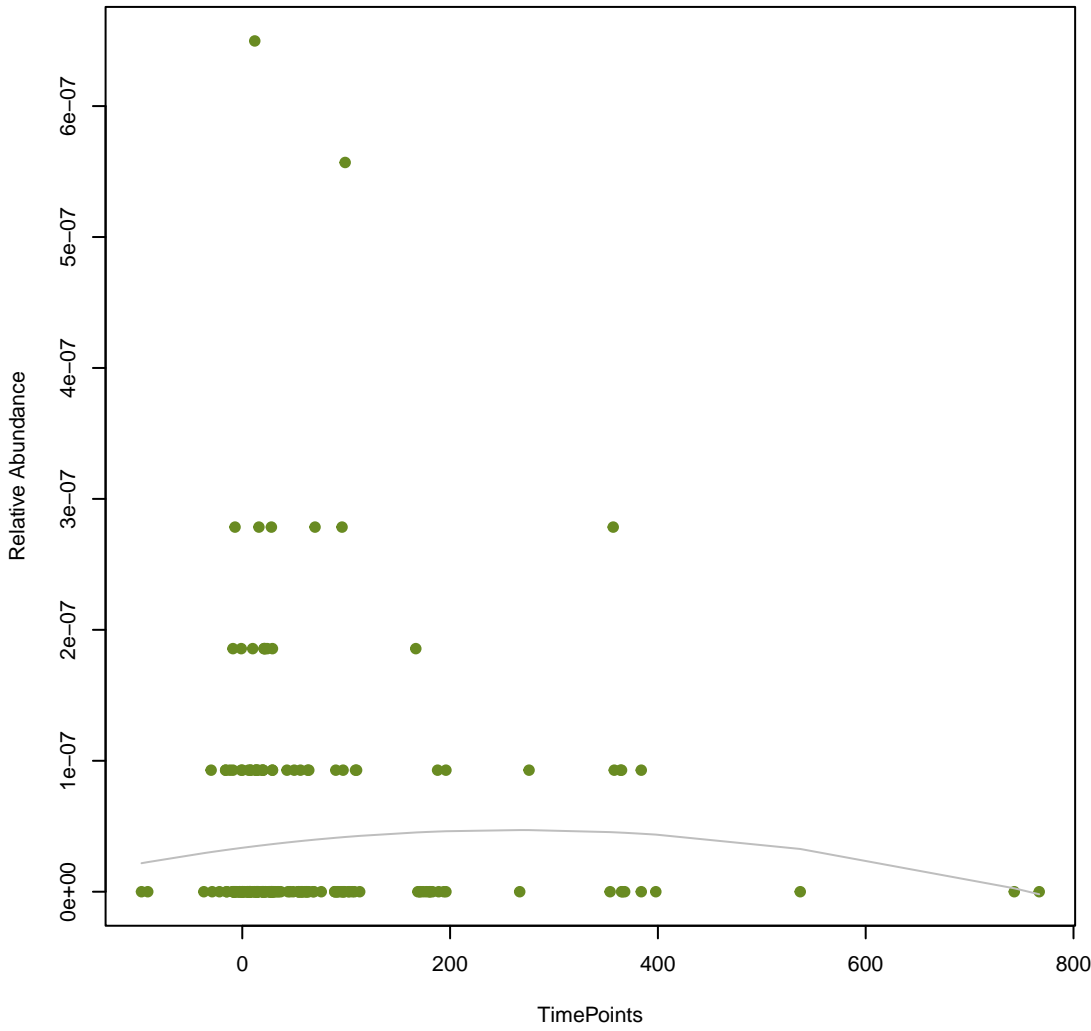
vsearch
sul1
ANOVA Pval: 0.743

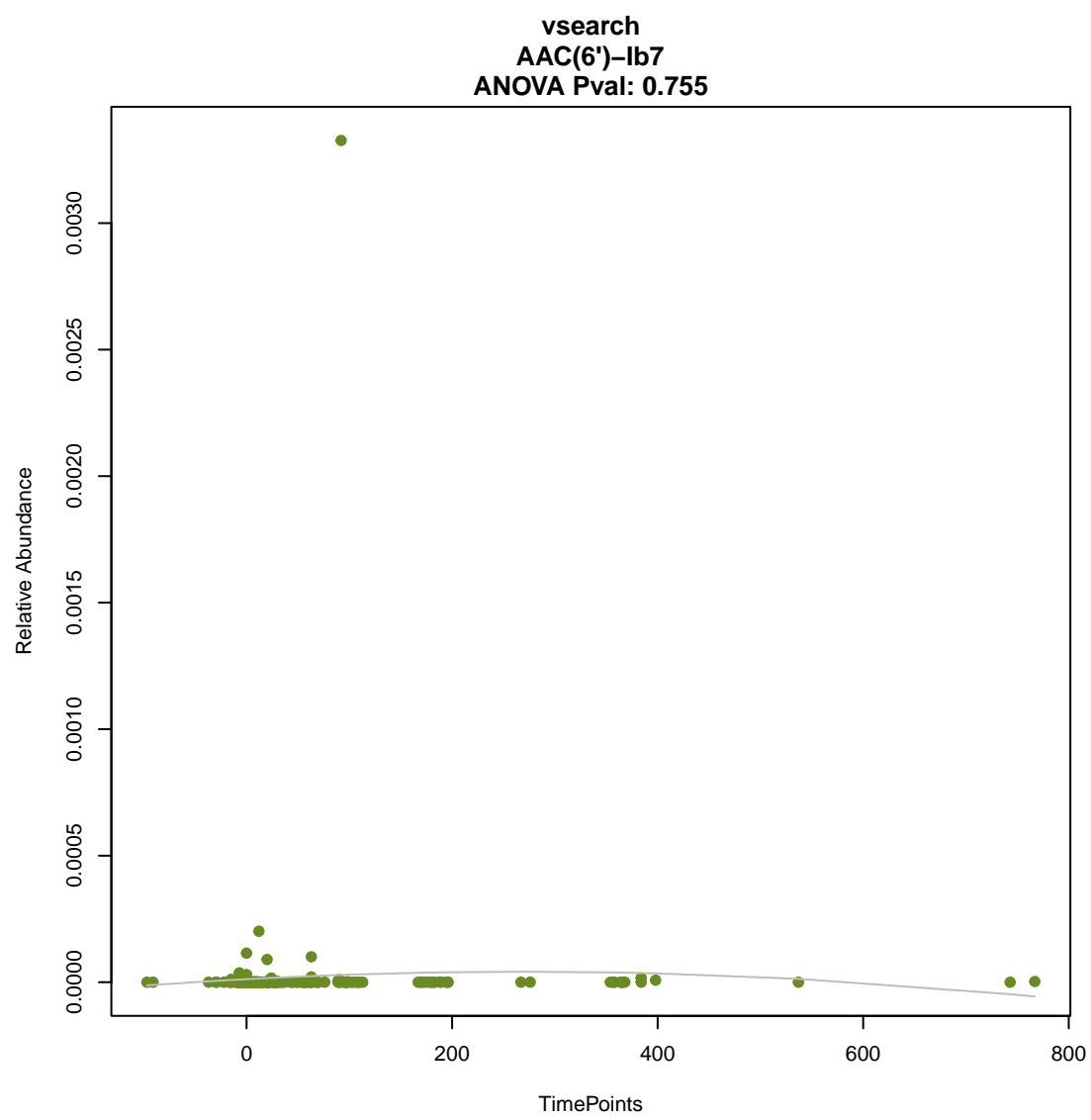
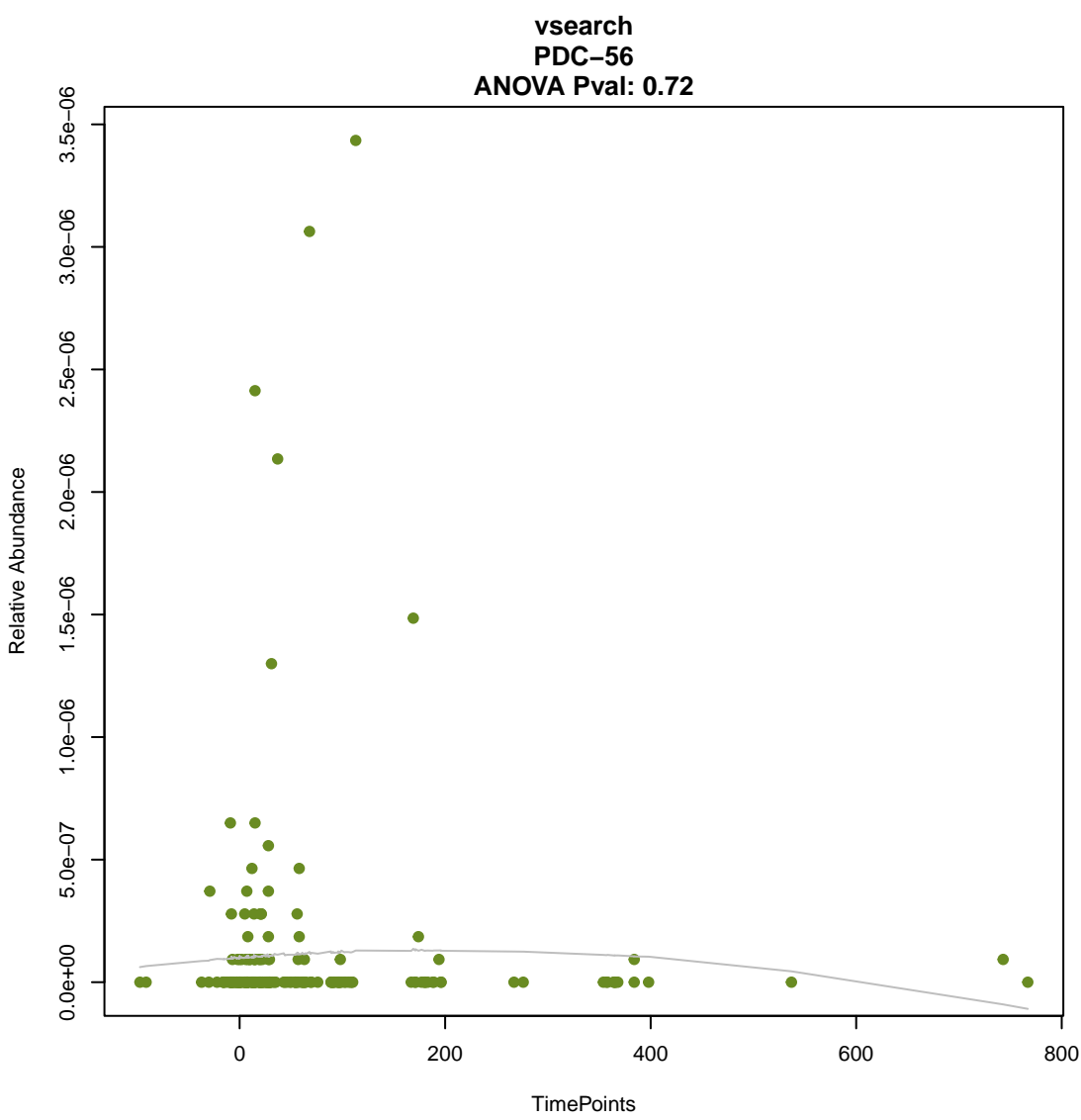
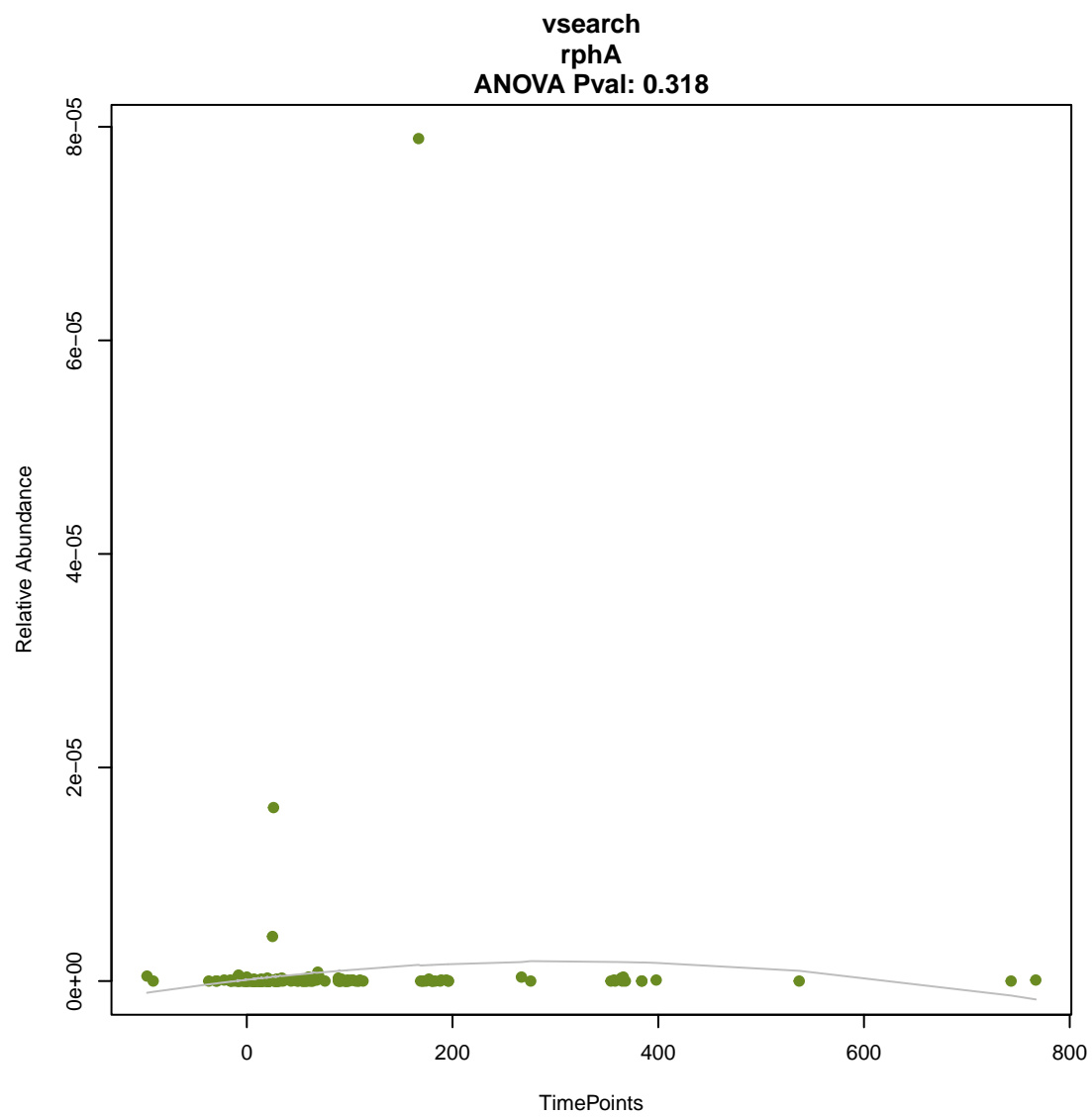
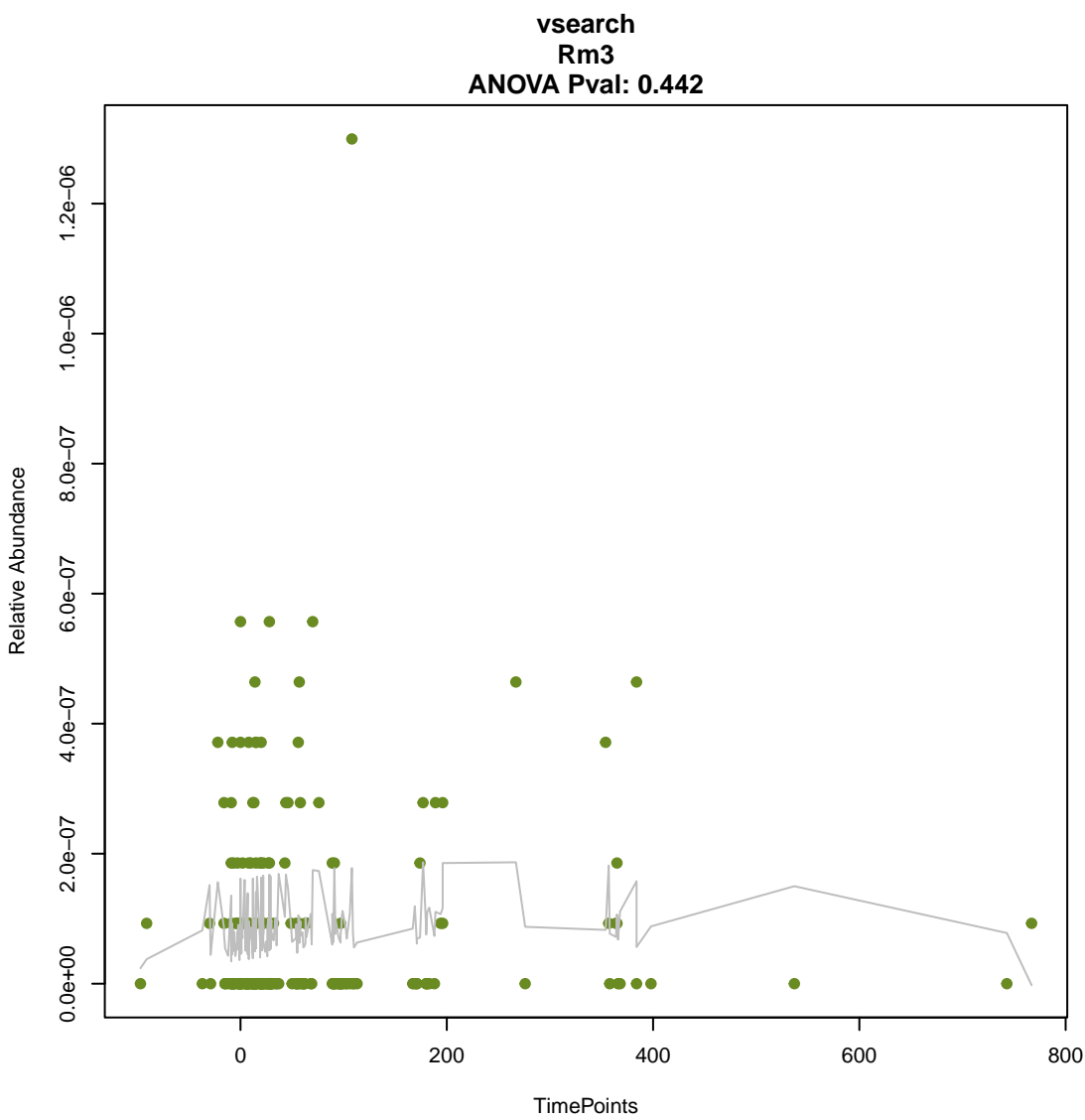
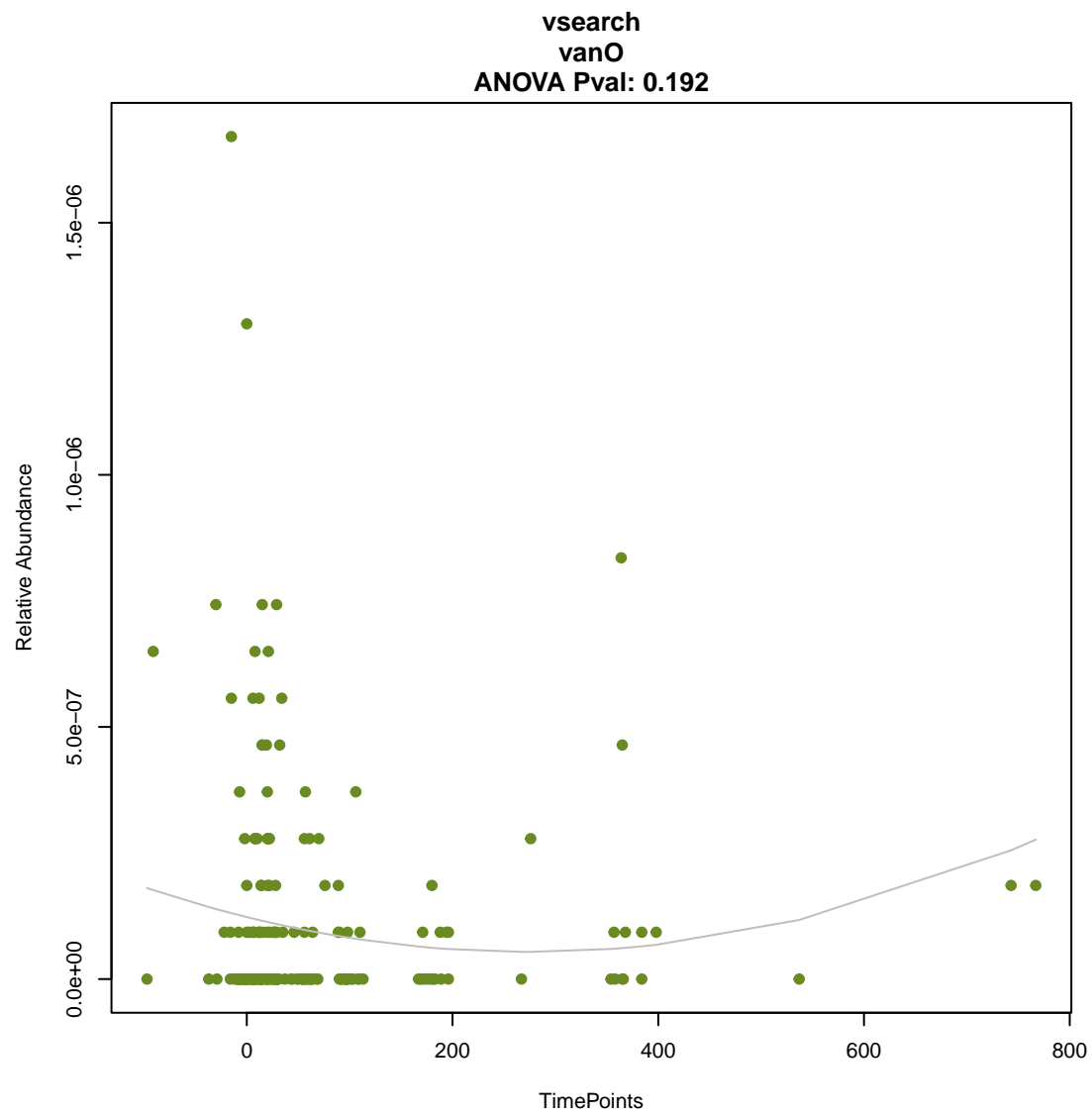
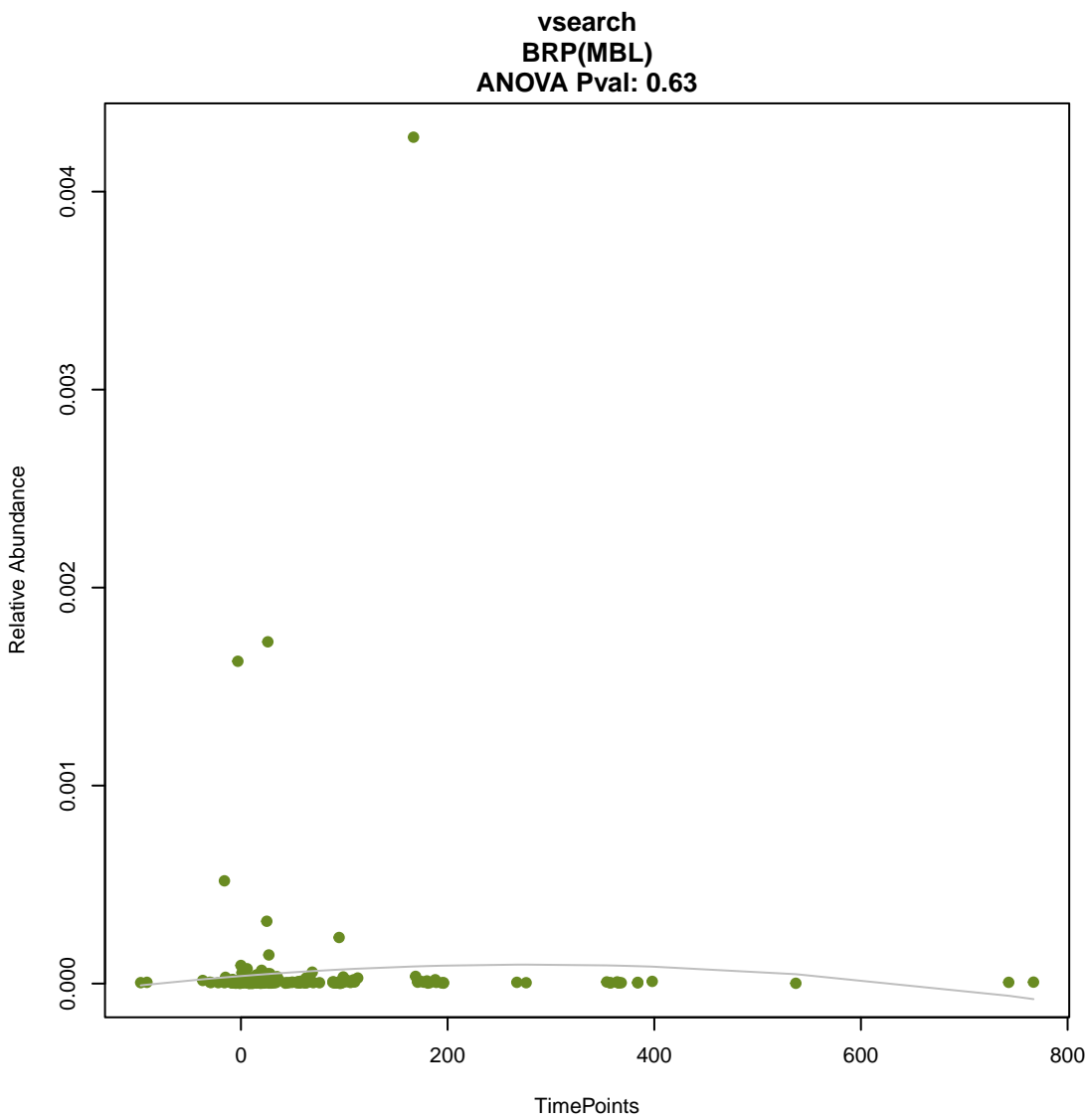


vsearch
Ecol_mdfA
ANOVA Pval: 0.856

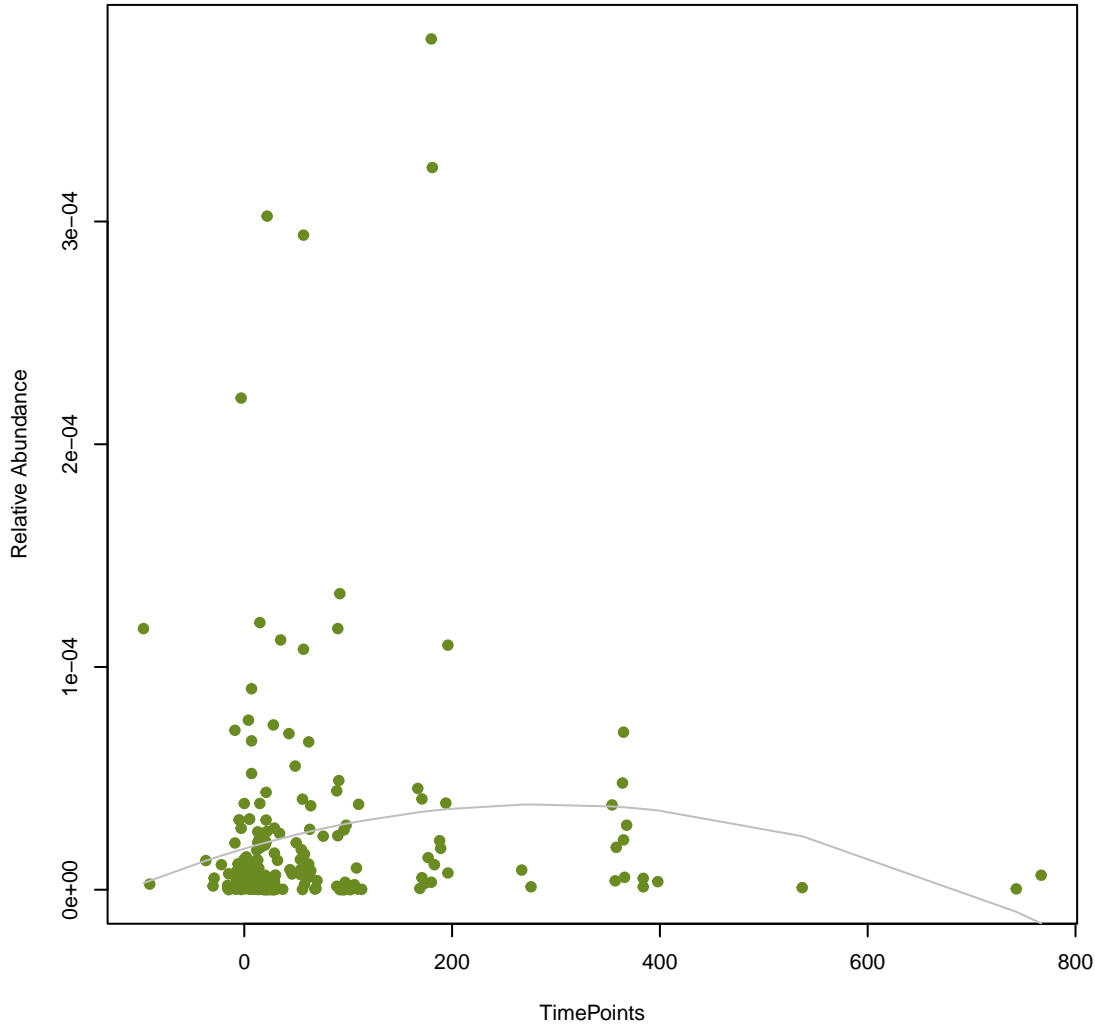


vsearch
facT
ANOVA Pval: 0.622

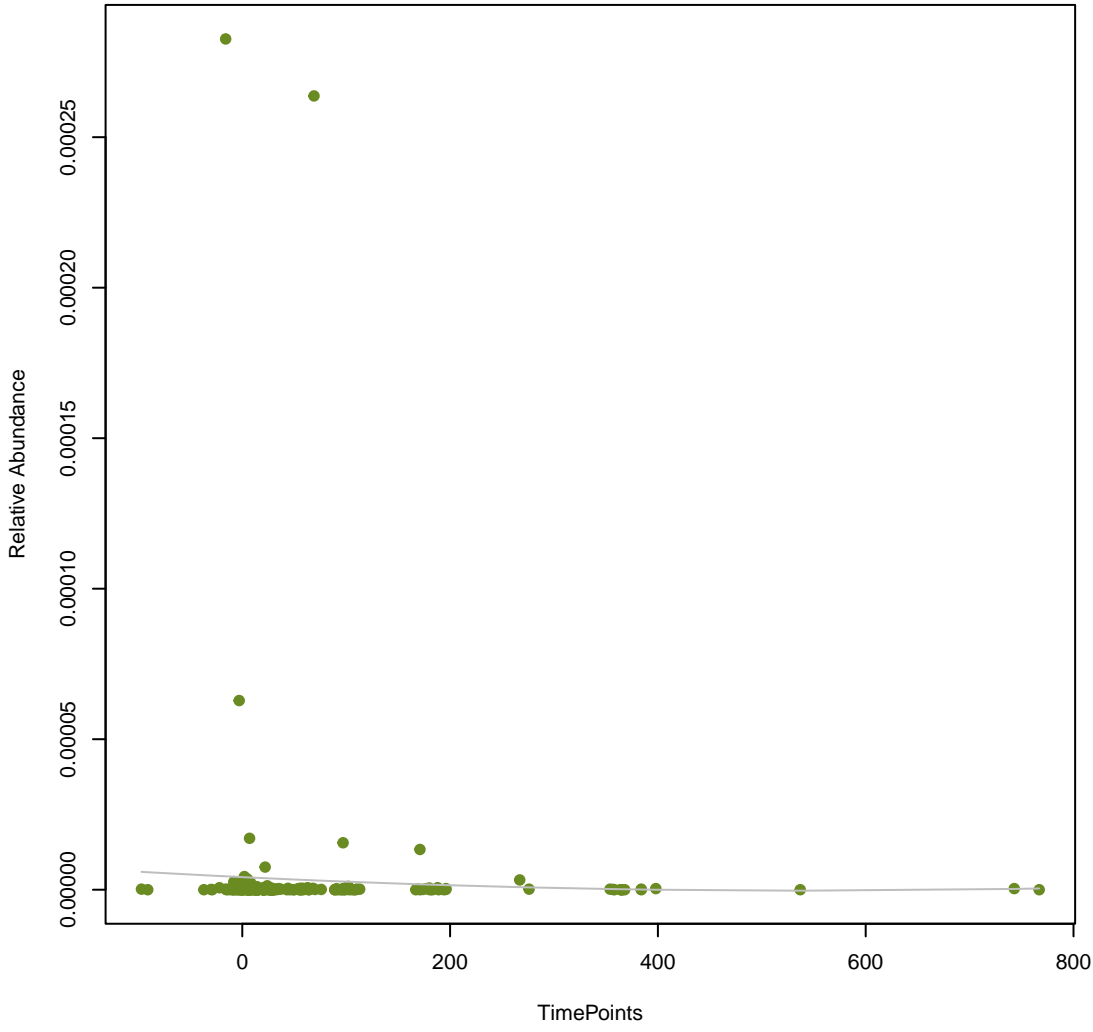




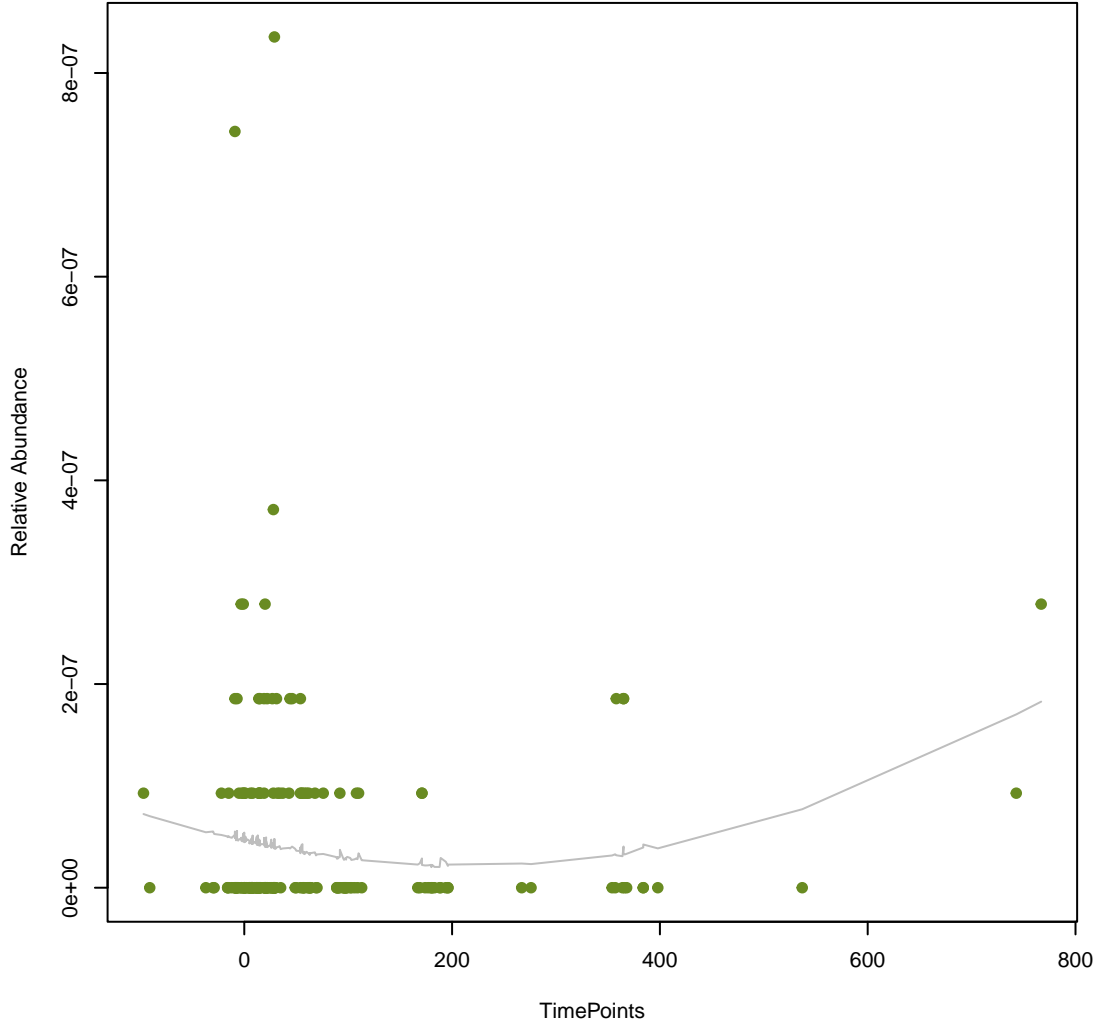
**vsearch
tet(W/N/W)
ANOVA Pval: 0.116**



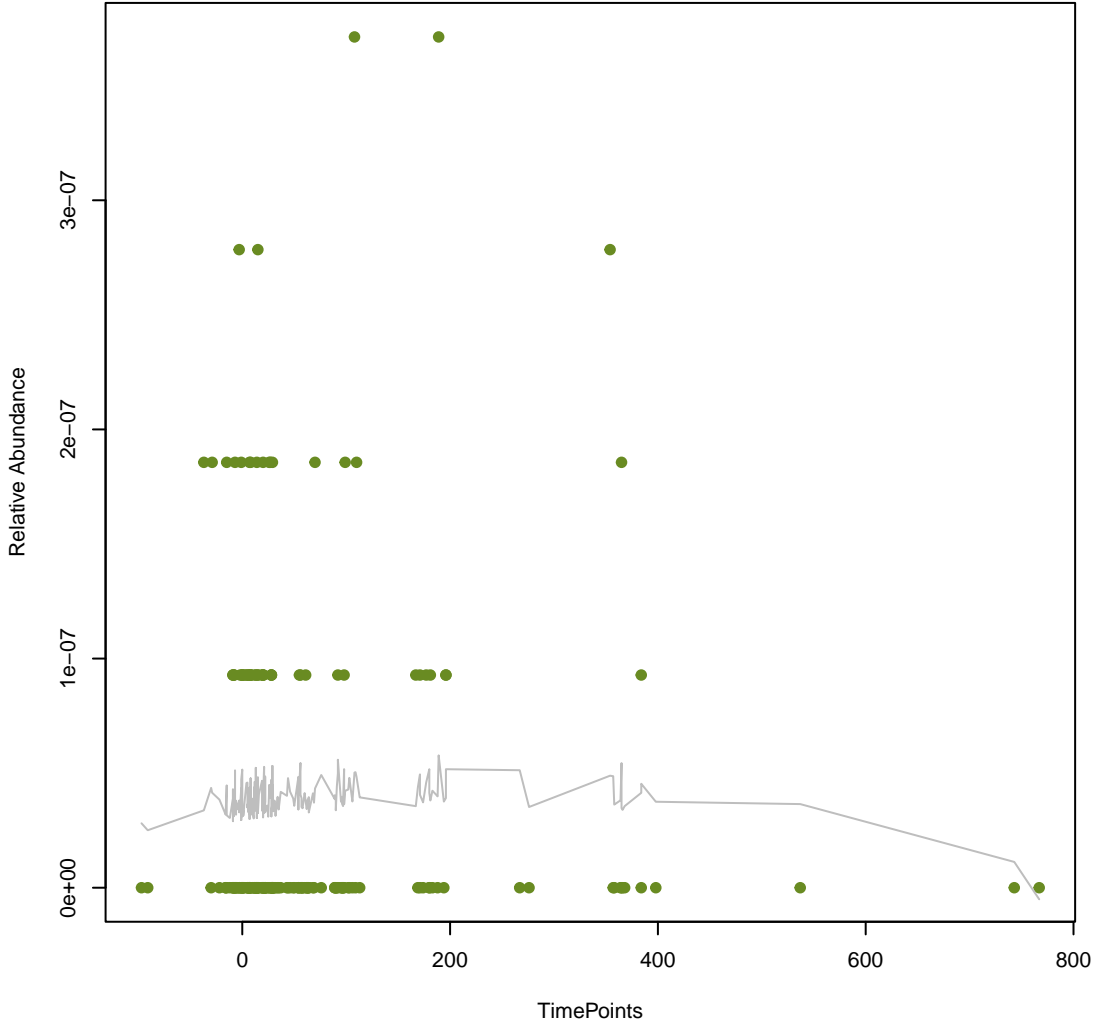
**vsearch
tetA(60)
ANOVA Pval: 0.819**



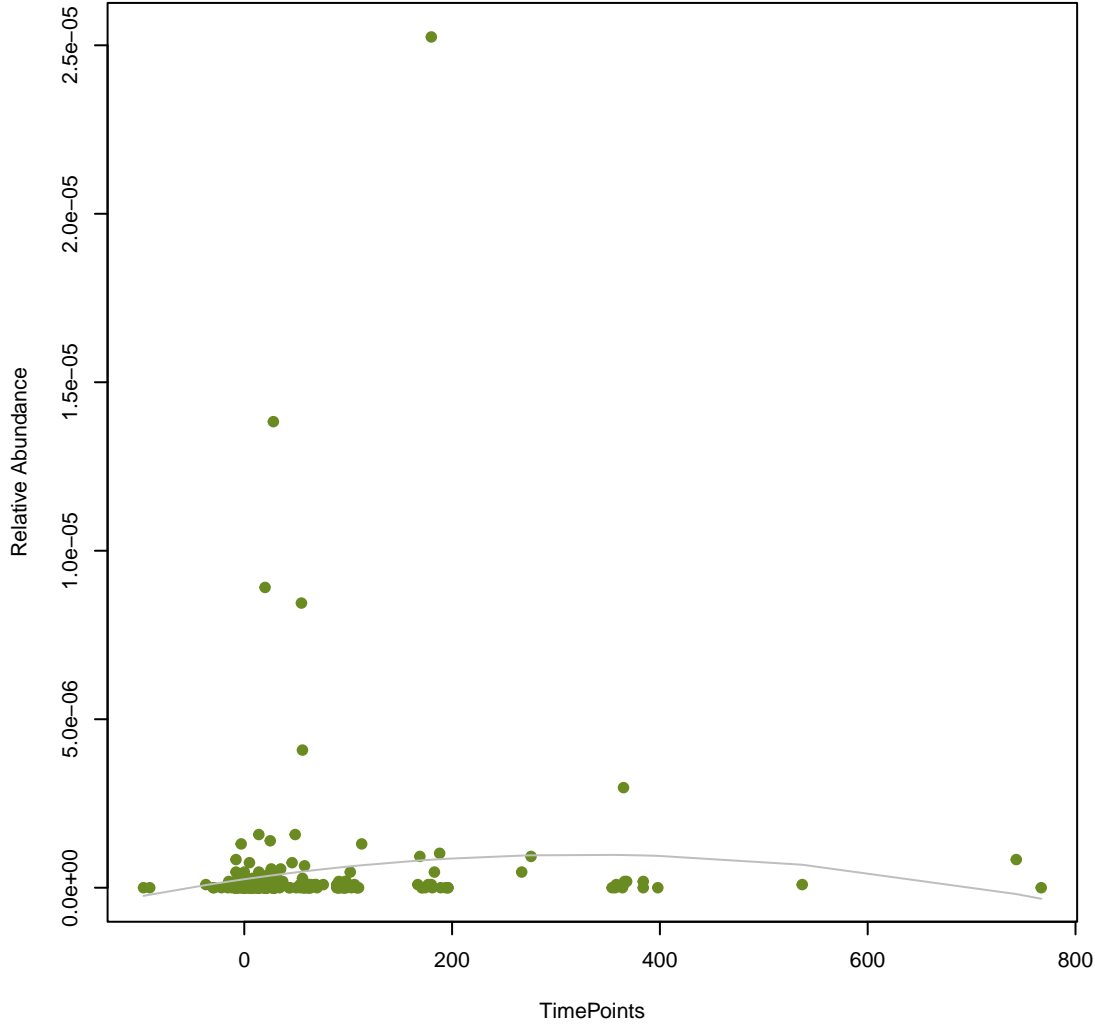
**vsearch
BahA
ANOVA Pval: 0.0667**



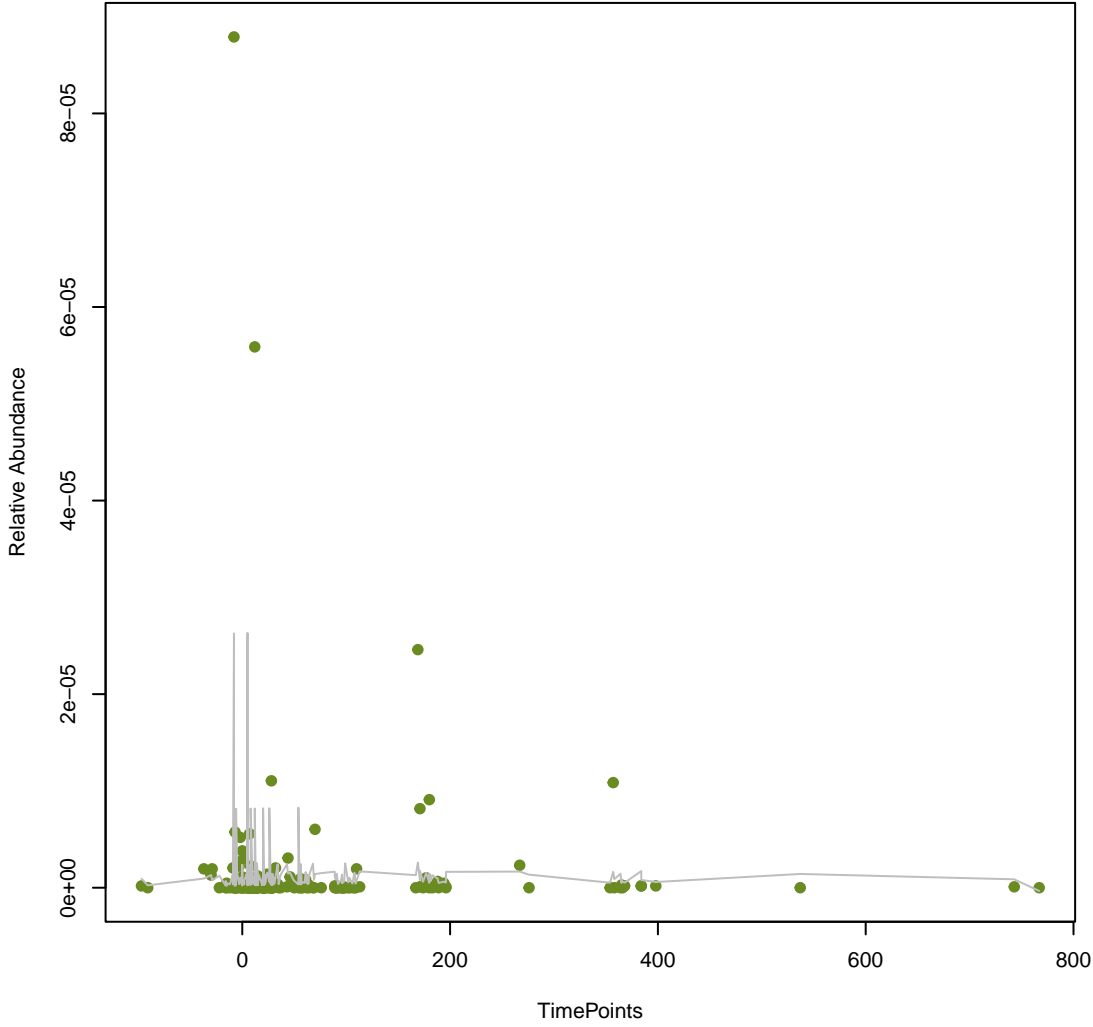
**vsearch
TaeA
ANOVA Pval: 0.68**



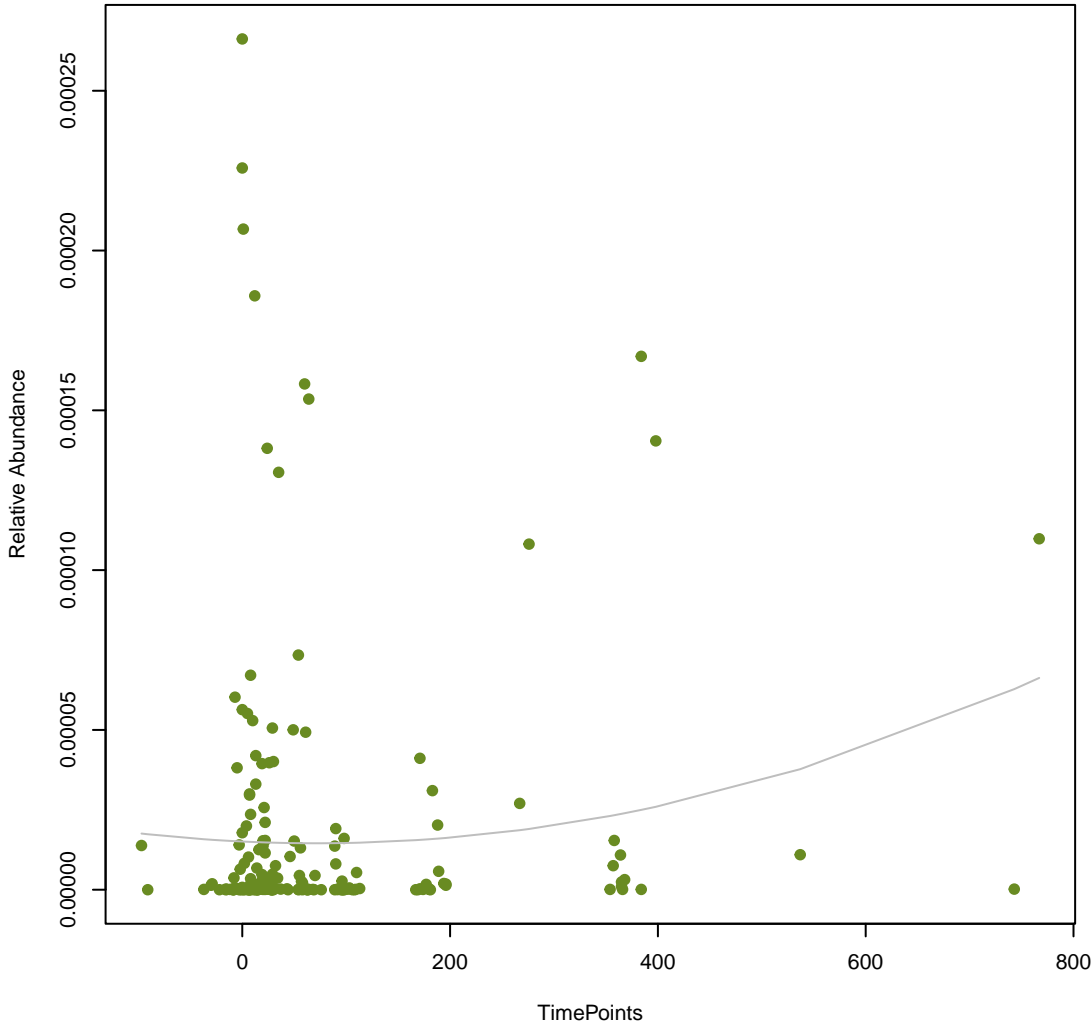
**vsearch
tetS
ANOVA Pval: 0.28**



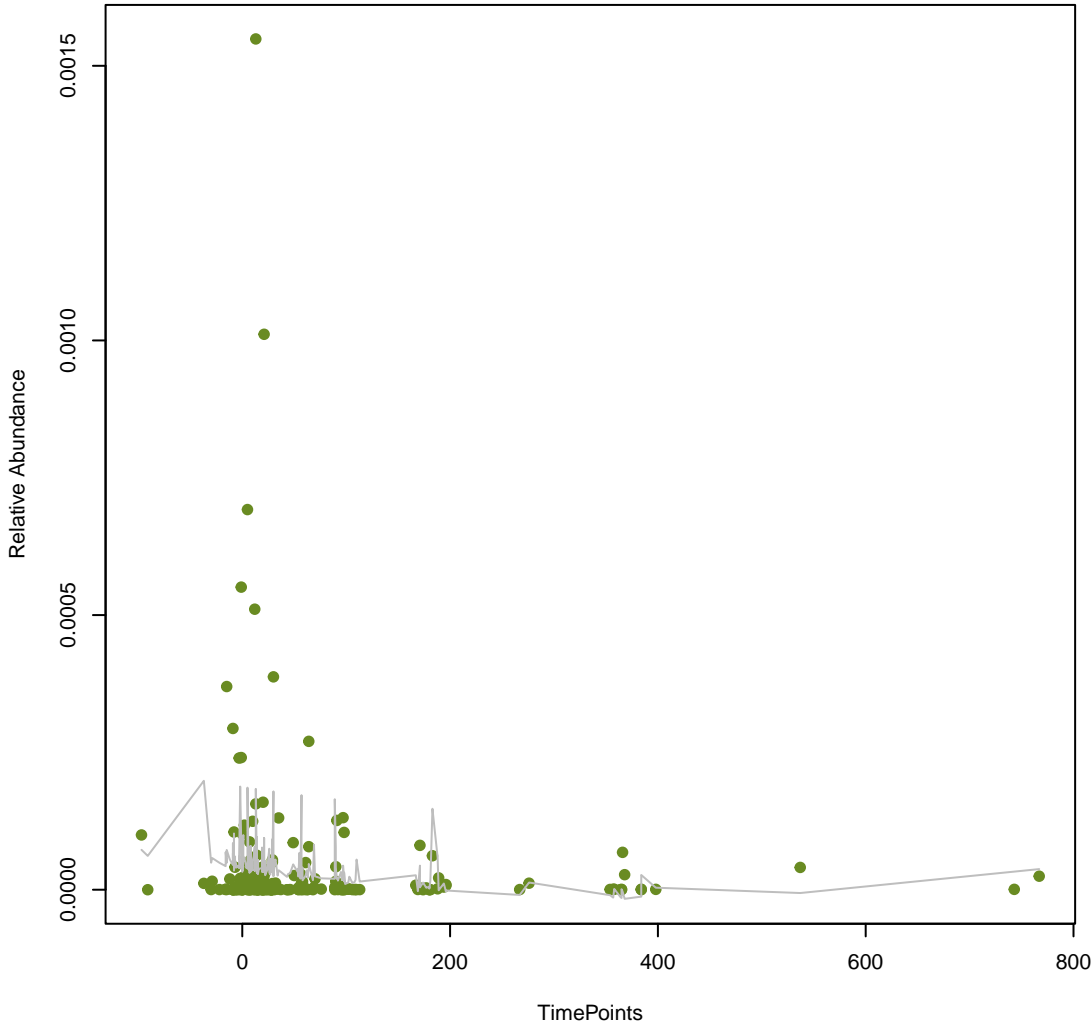
**vsearch
tetA(P)
ANOVA Pval: 0.971**



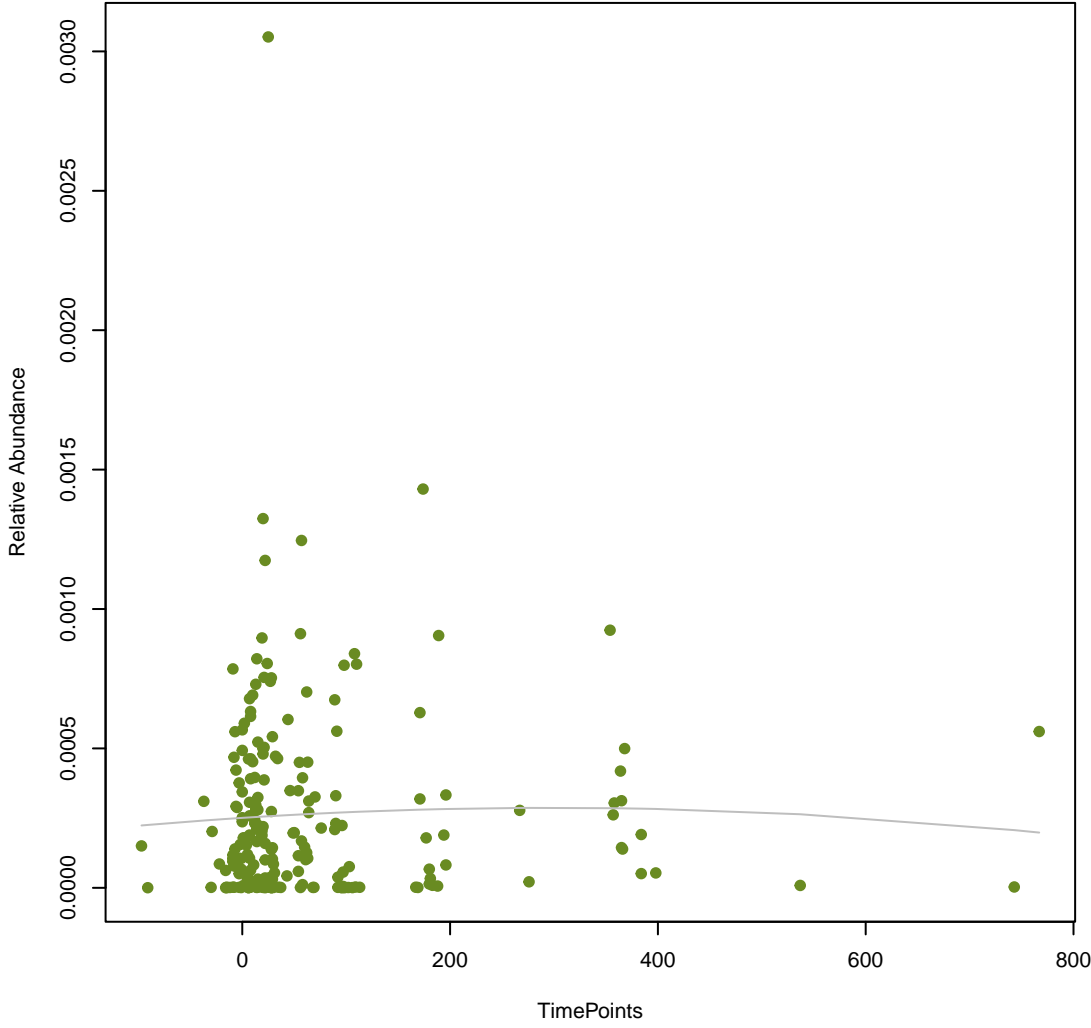
**vsearch
ErmG**
ANOVA Pval: 0.158



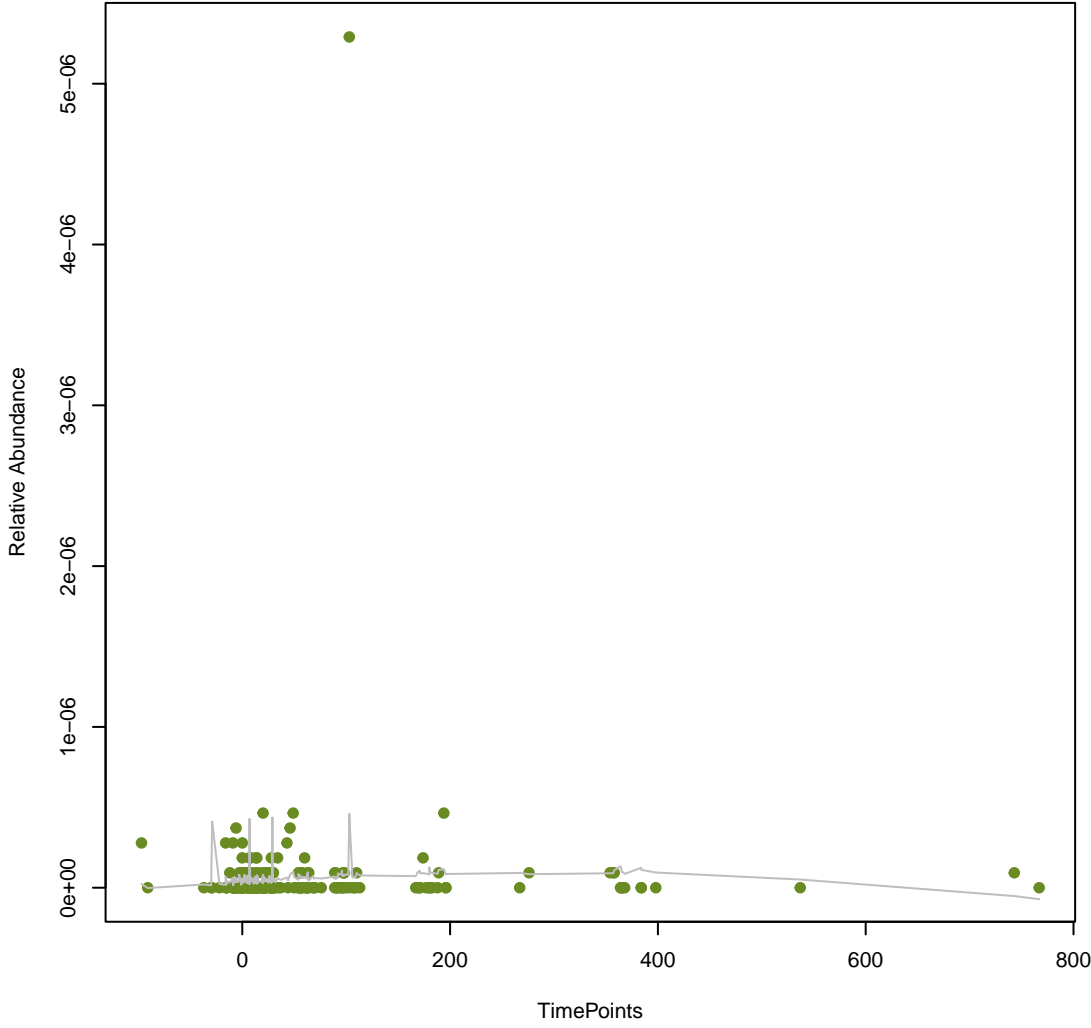
**vsearch
ErmF**
ANOVA Pval: 0.275



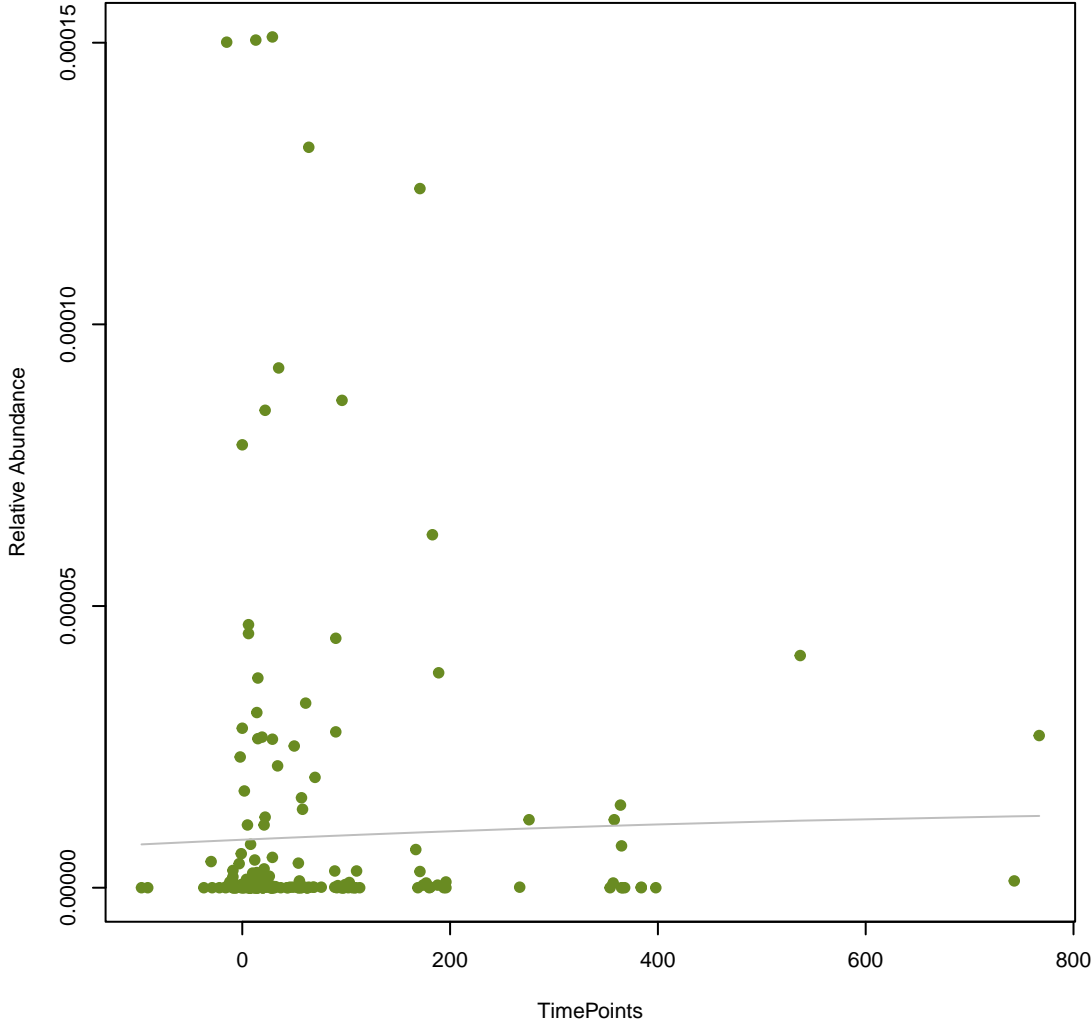
**vsearch
tetO**
ANOVA Pval: 0.863



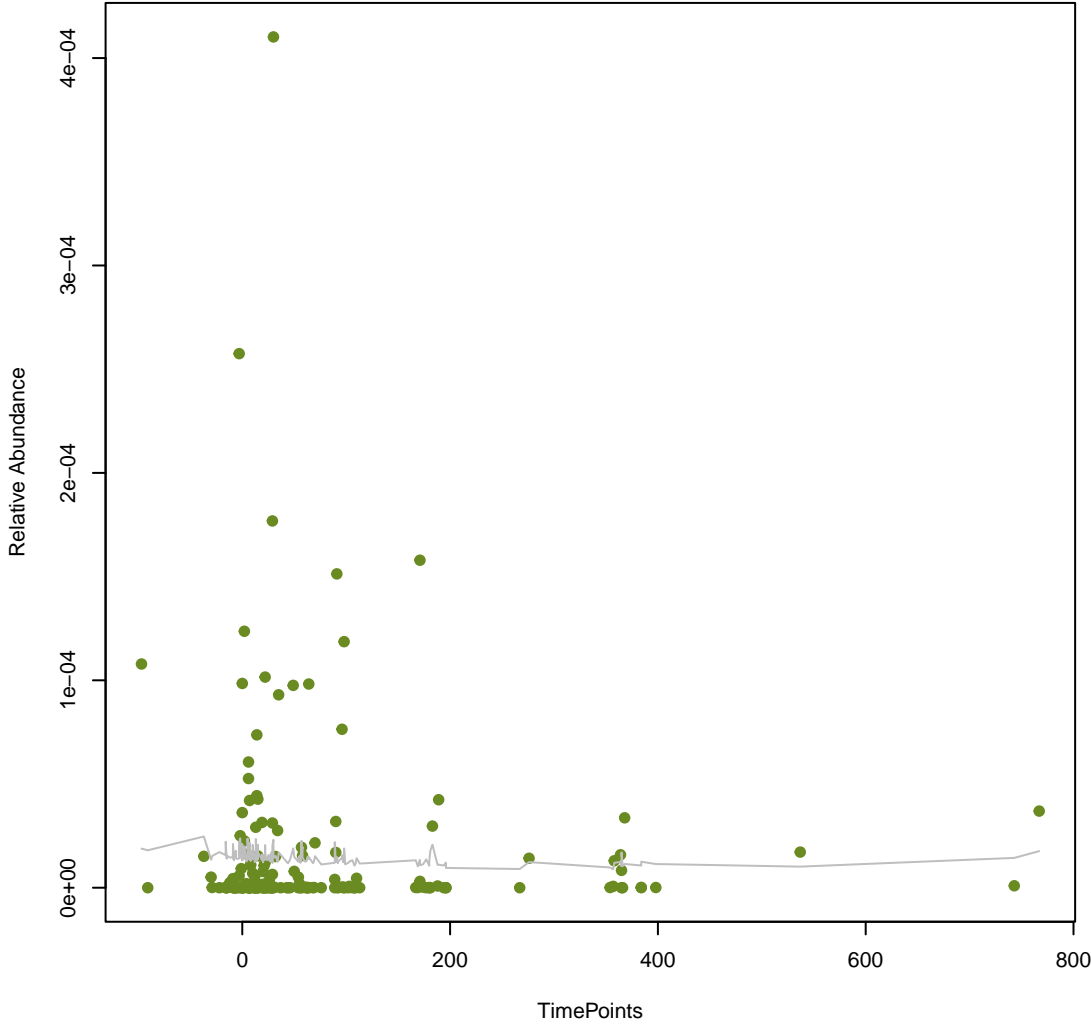
**vsearch
bmr**
ANOVA Pval: 0.655



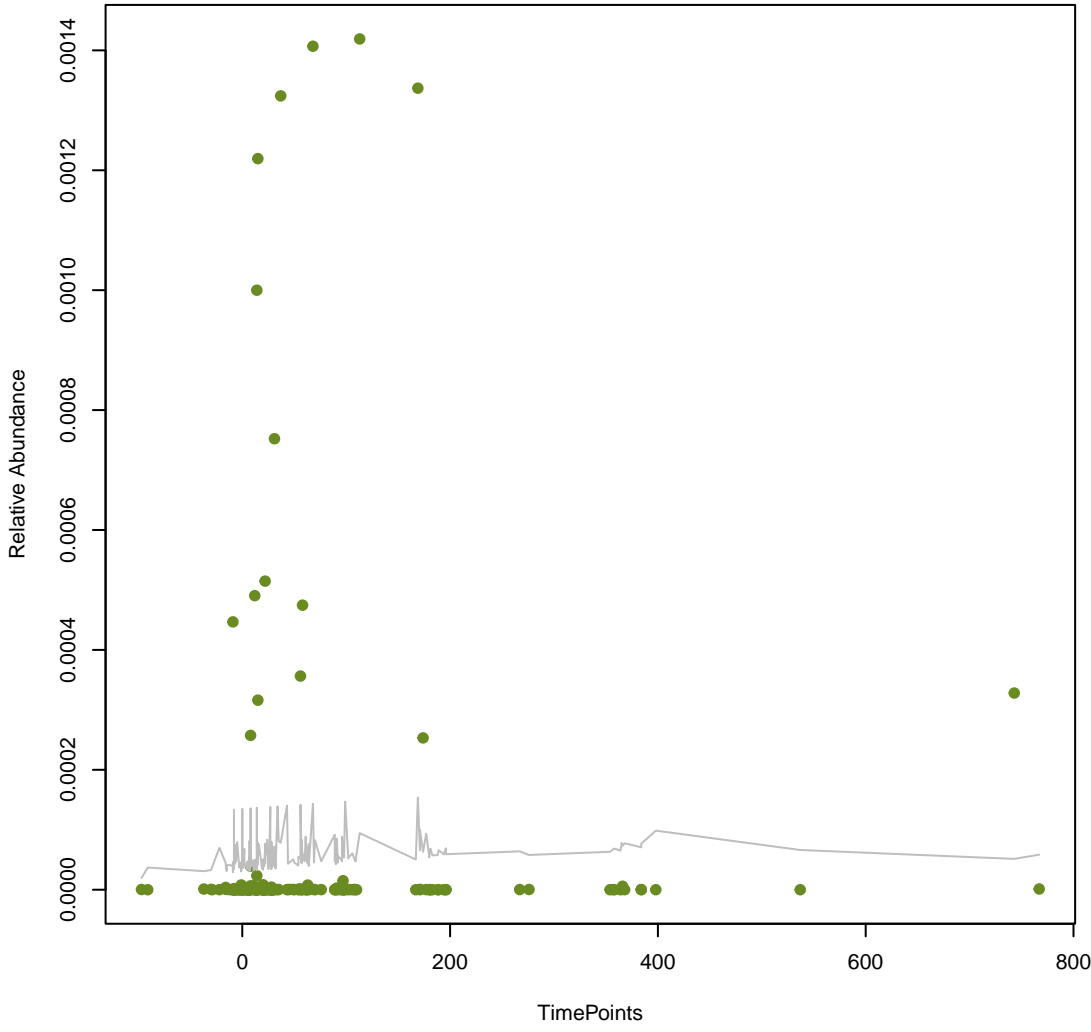
**vsearch
tetX**
ANOVA Pval: 0.908



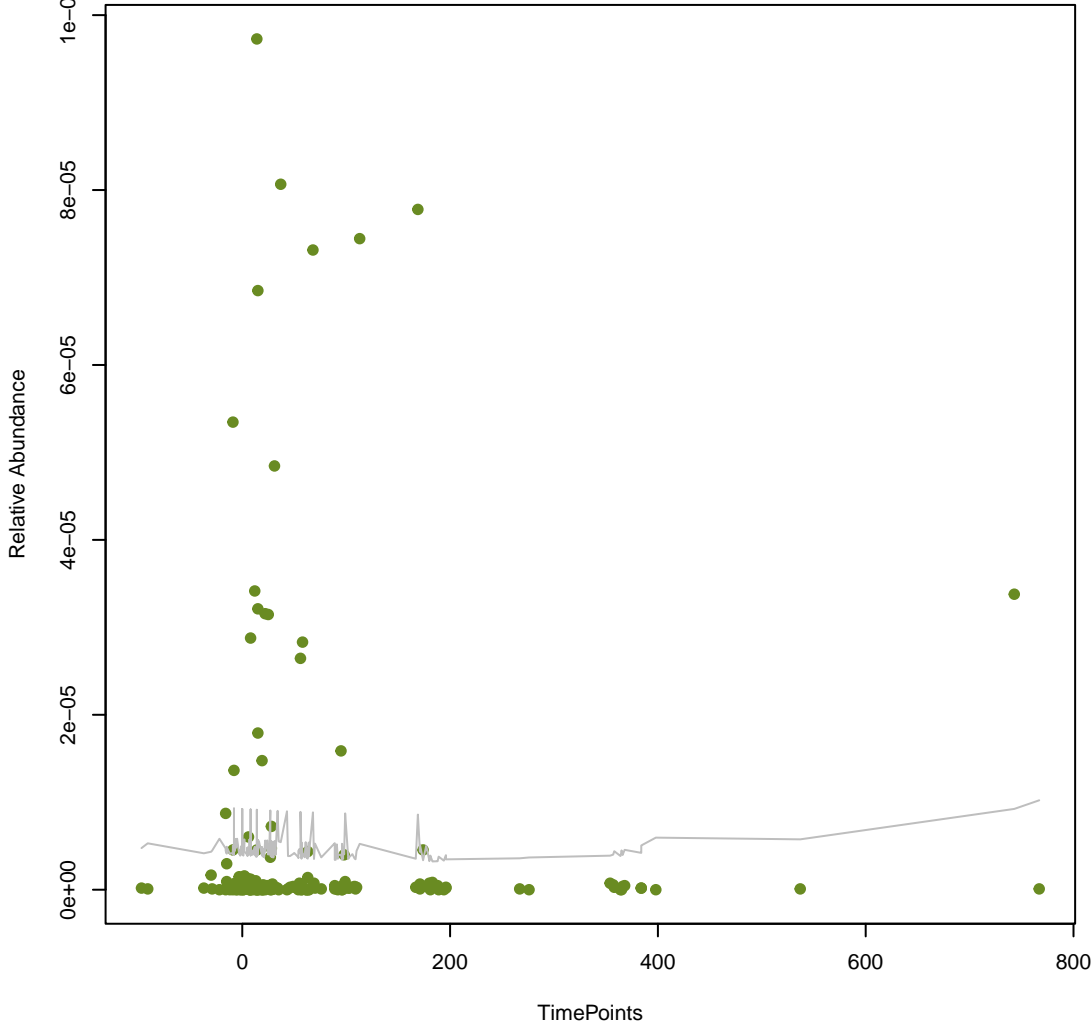
**vsearch
aadS**
ANOVA Pval: 0.916



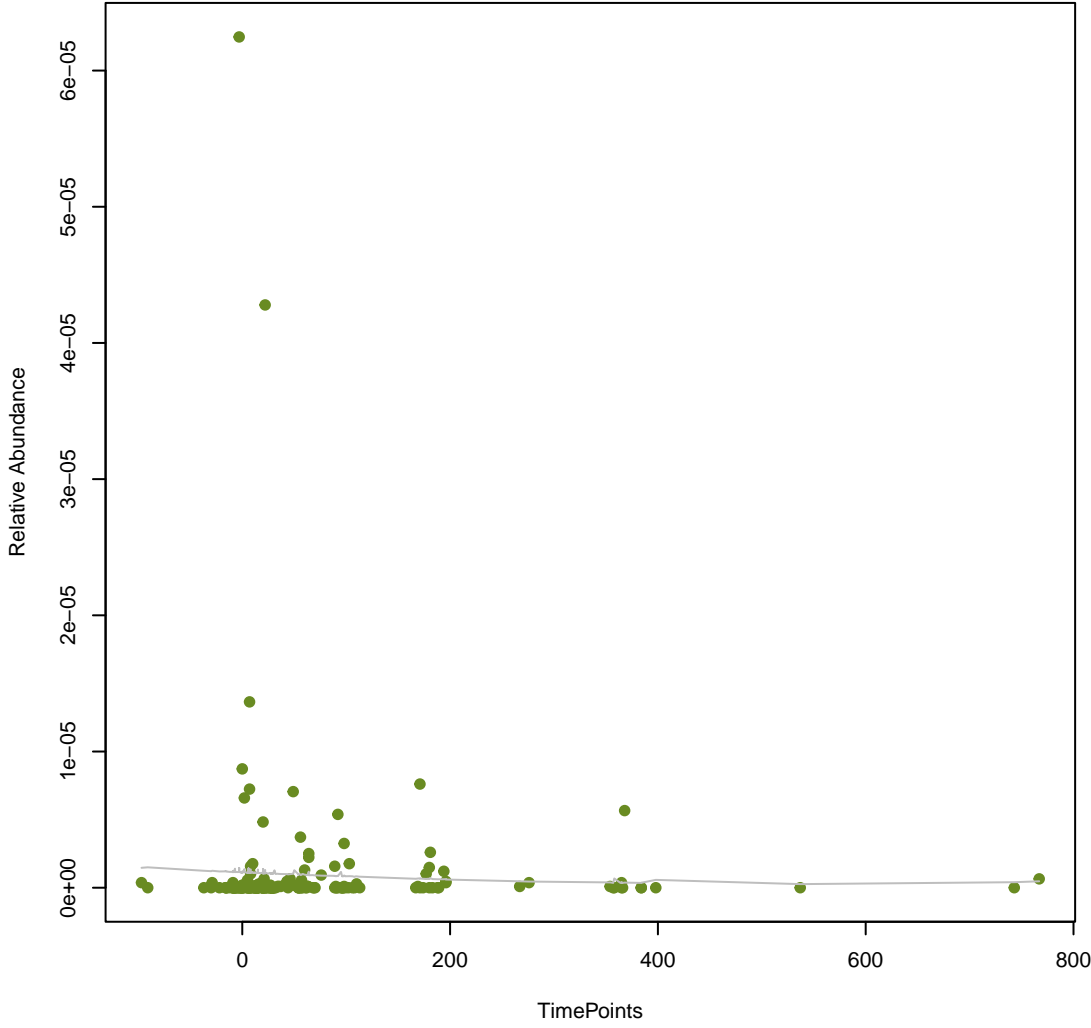
vsearch
vanR_in_vanA_cl
ANOVA Pval: 0.856



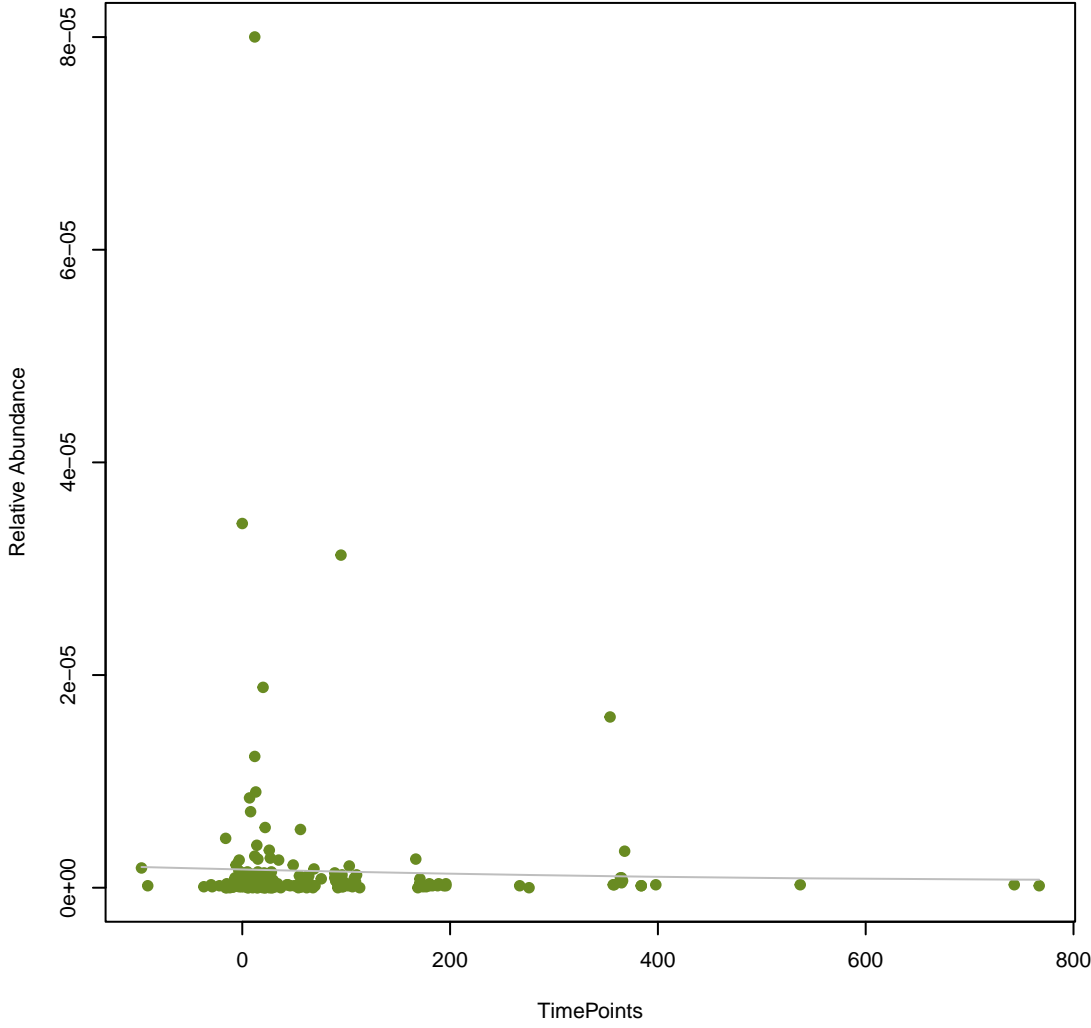
vsearch
poxtA
ANOVA Pval: 0.843



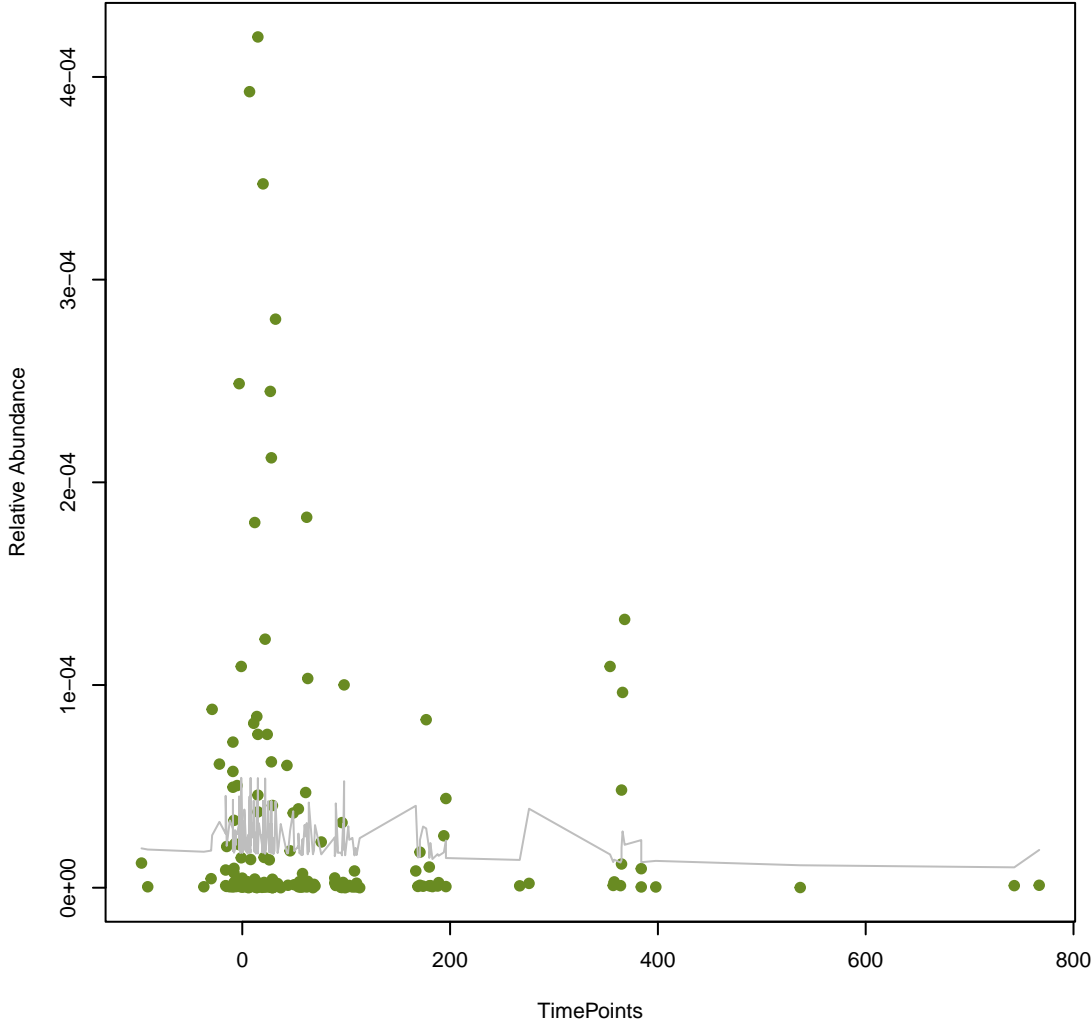
vsearch
Erm(52)
ANOVA Pval: 0.835



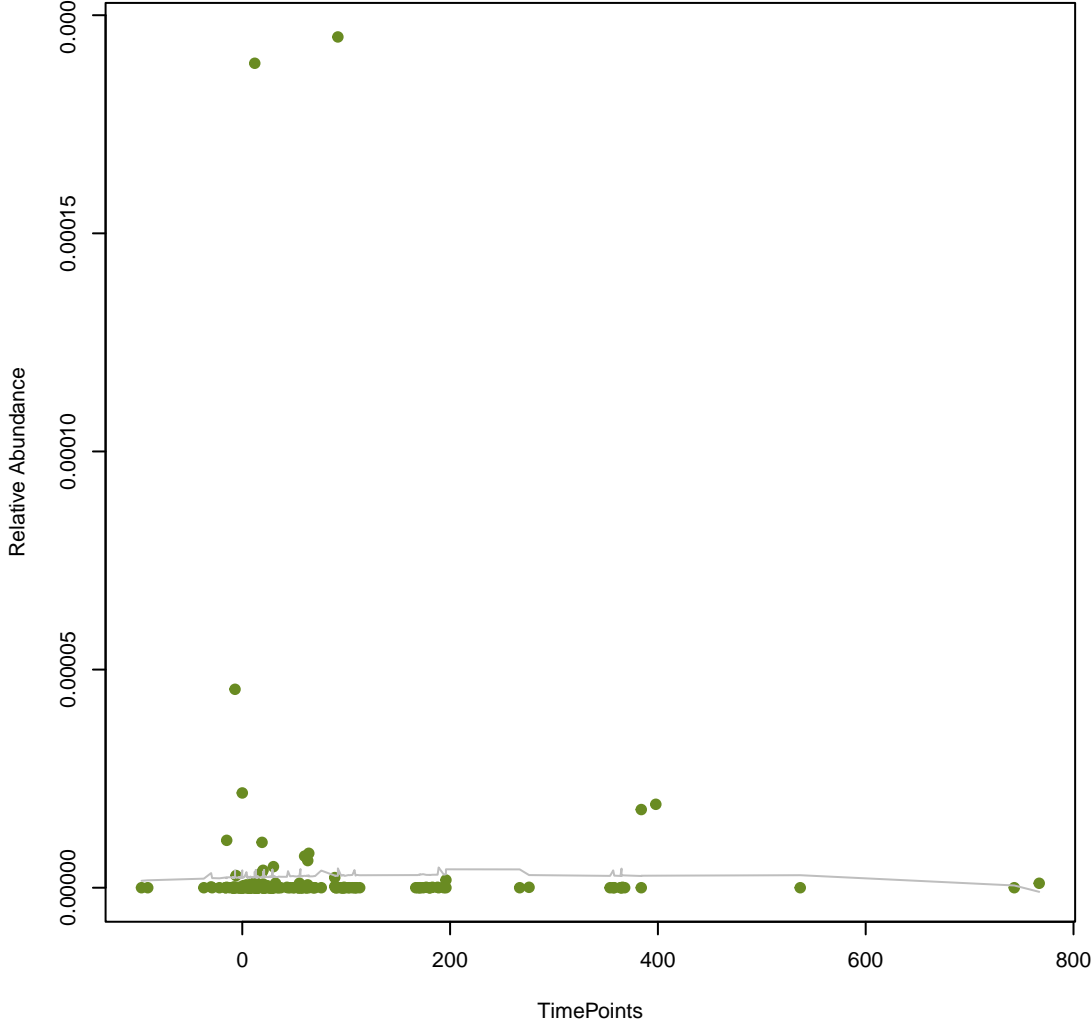
vsearch
mefH
ANOVA Pval: 0.913



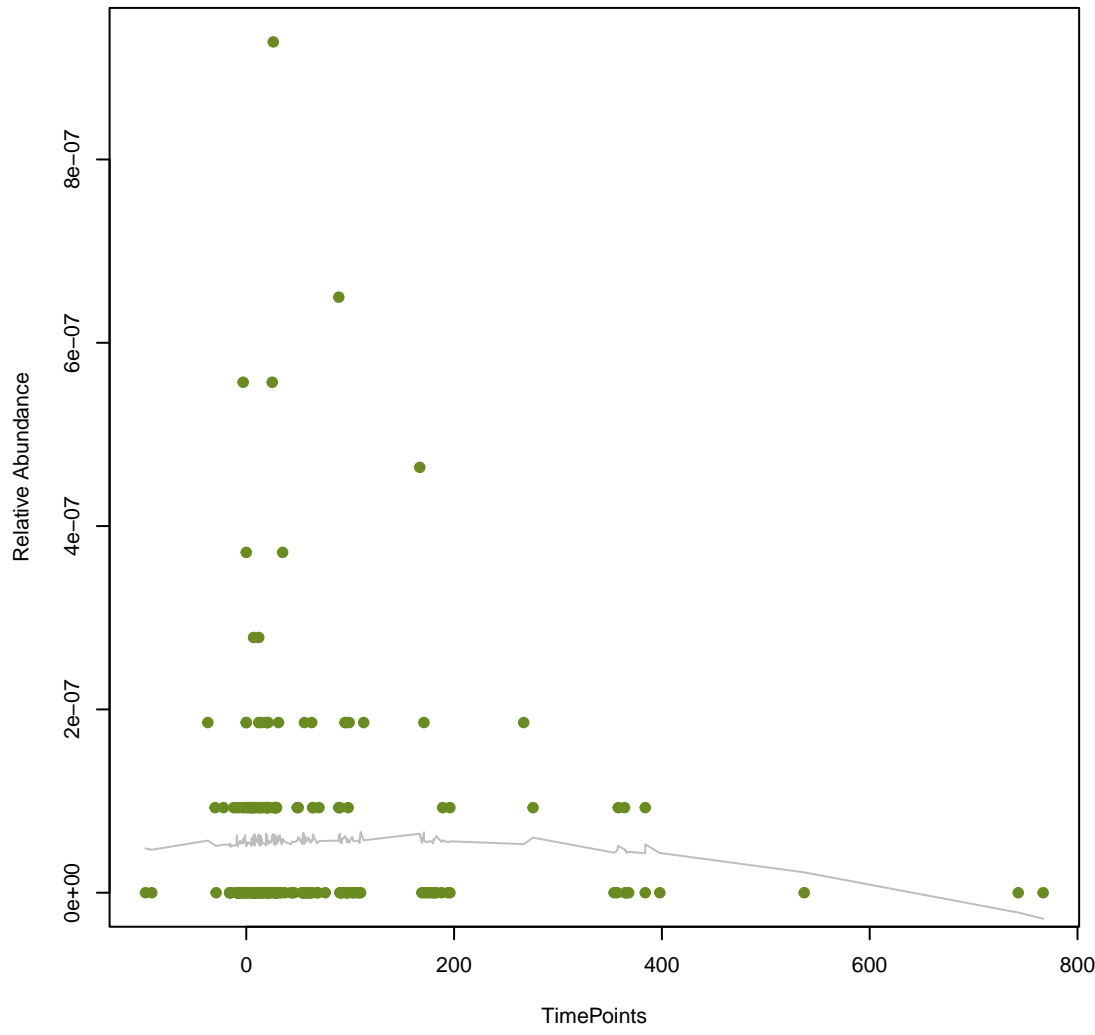
vsearch
Bado_rpoB_RIF
ANOVA Pval: 0.935



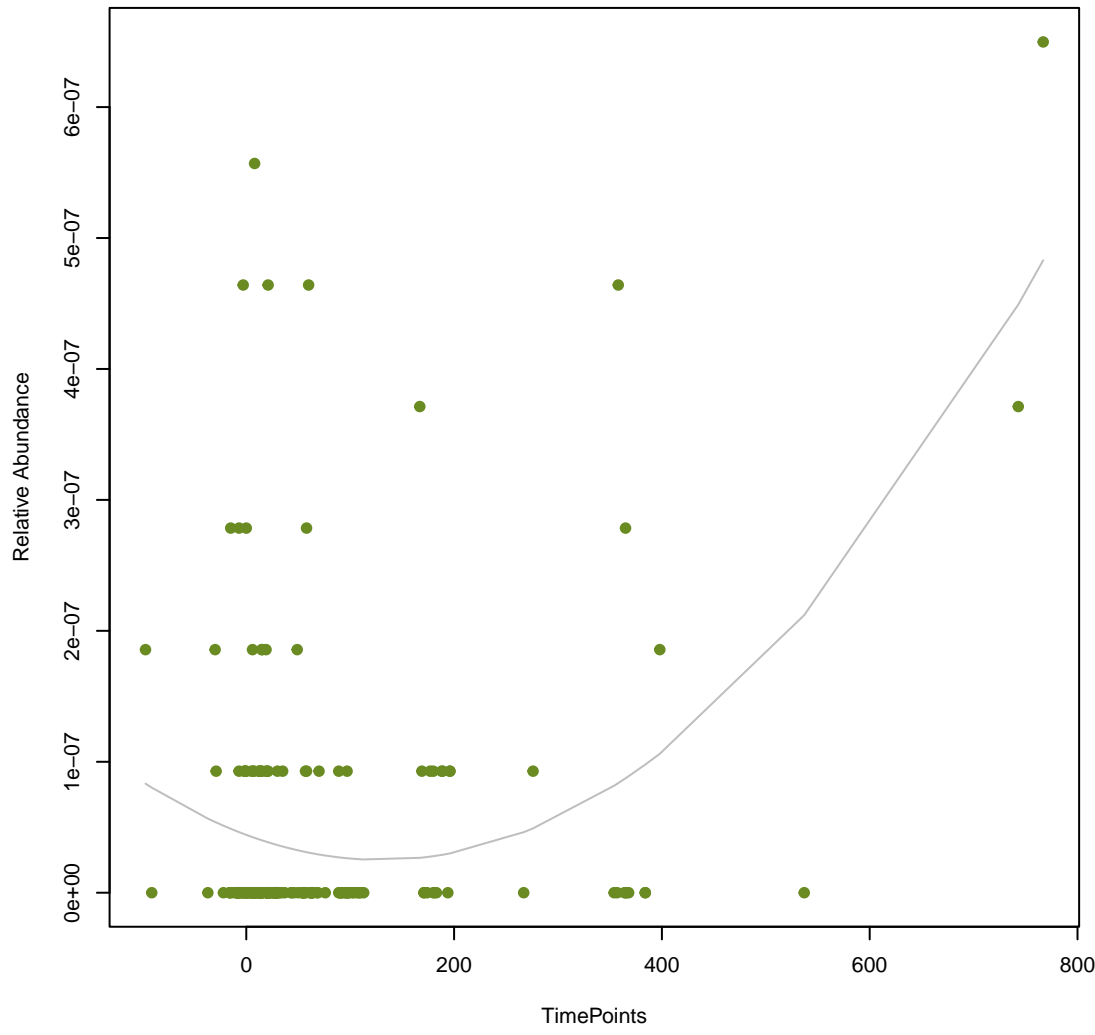
vsearch
EC-19
ANOVA Pval: 0.953



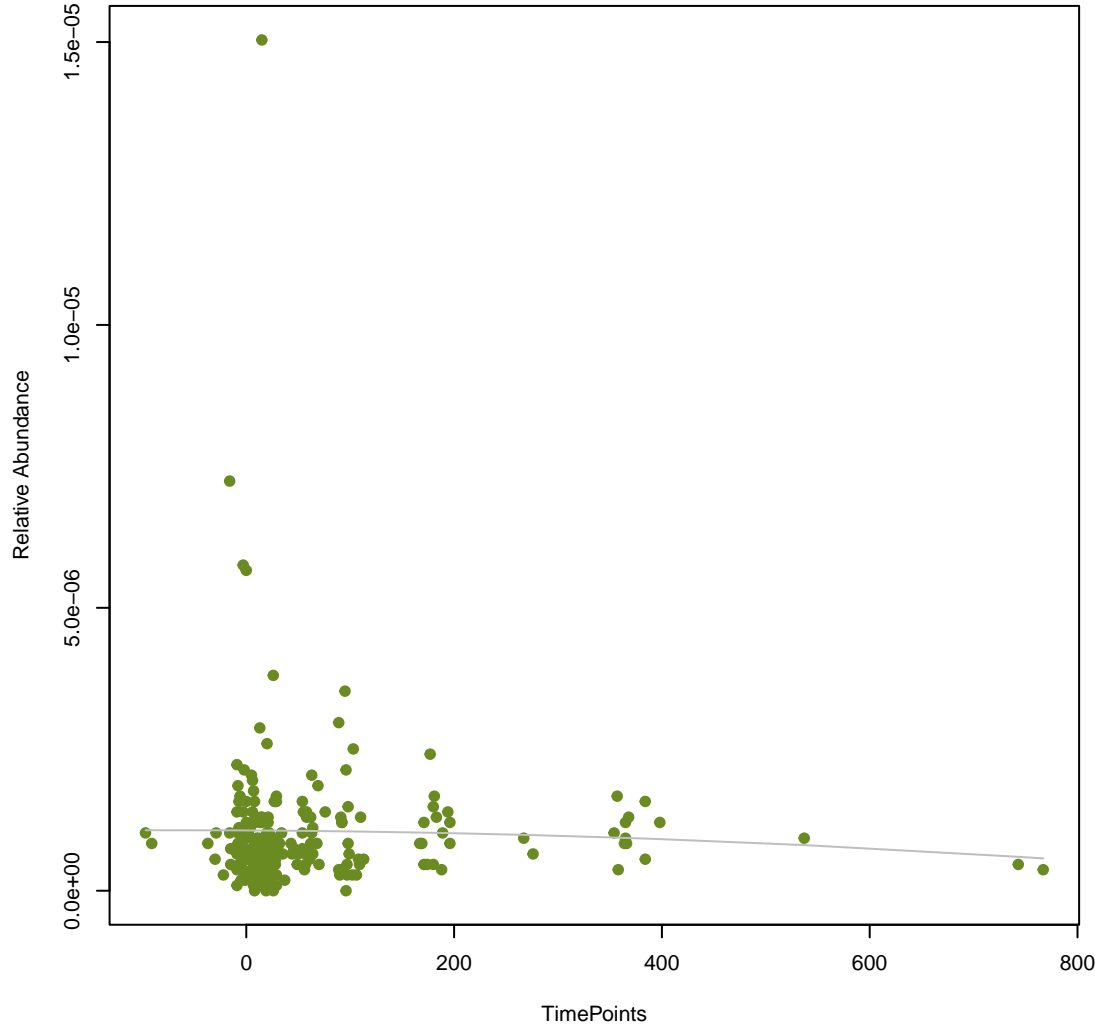
vsearch
SGM-4
ANOVA Pval: 0.582



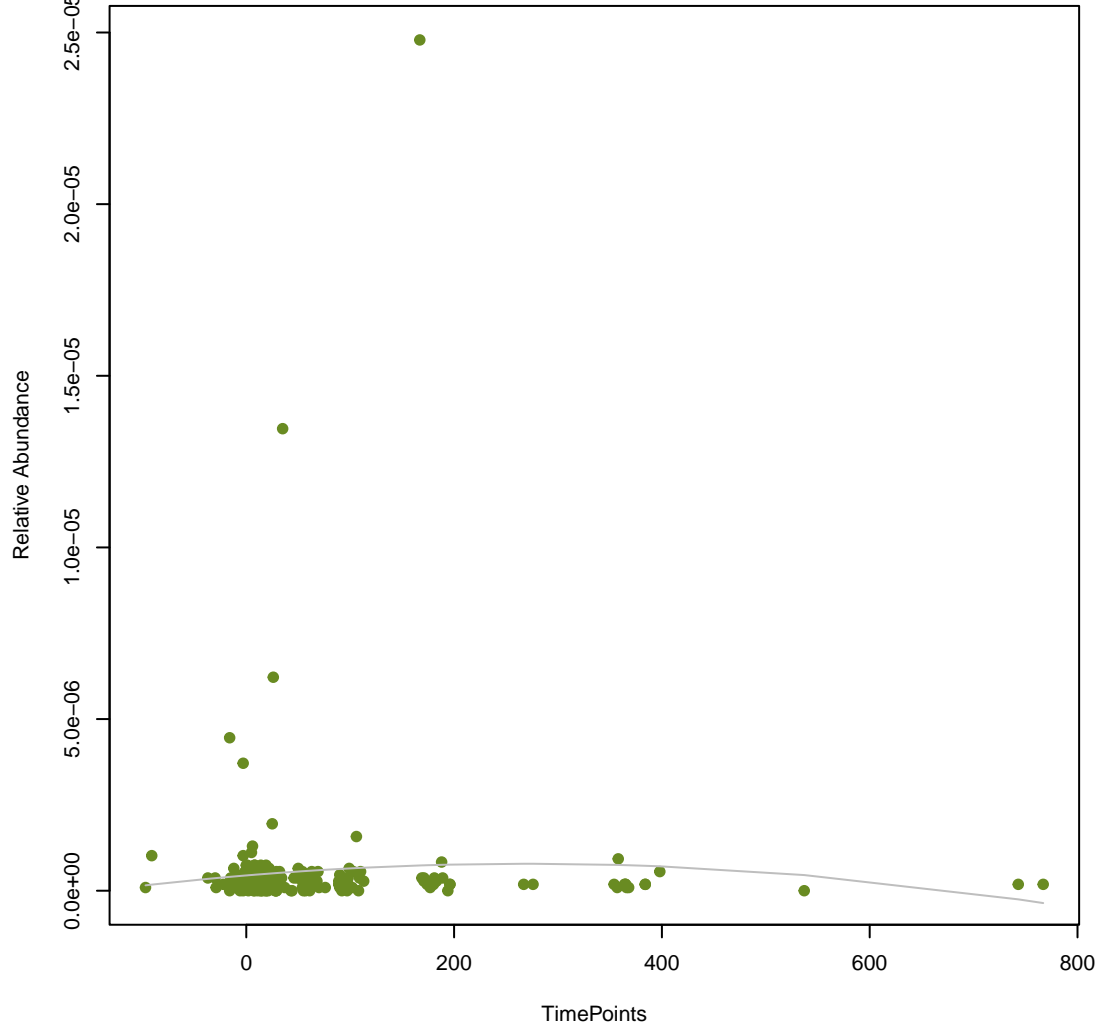
vsearch
kamB
ANOVA Pval: 1.13e-09



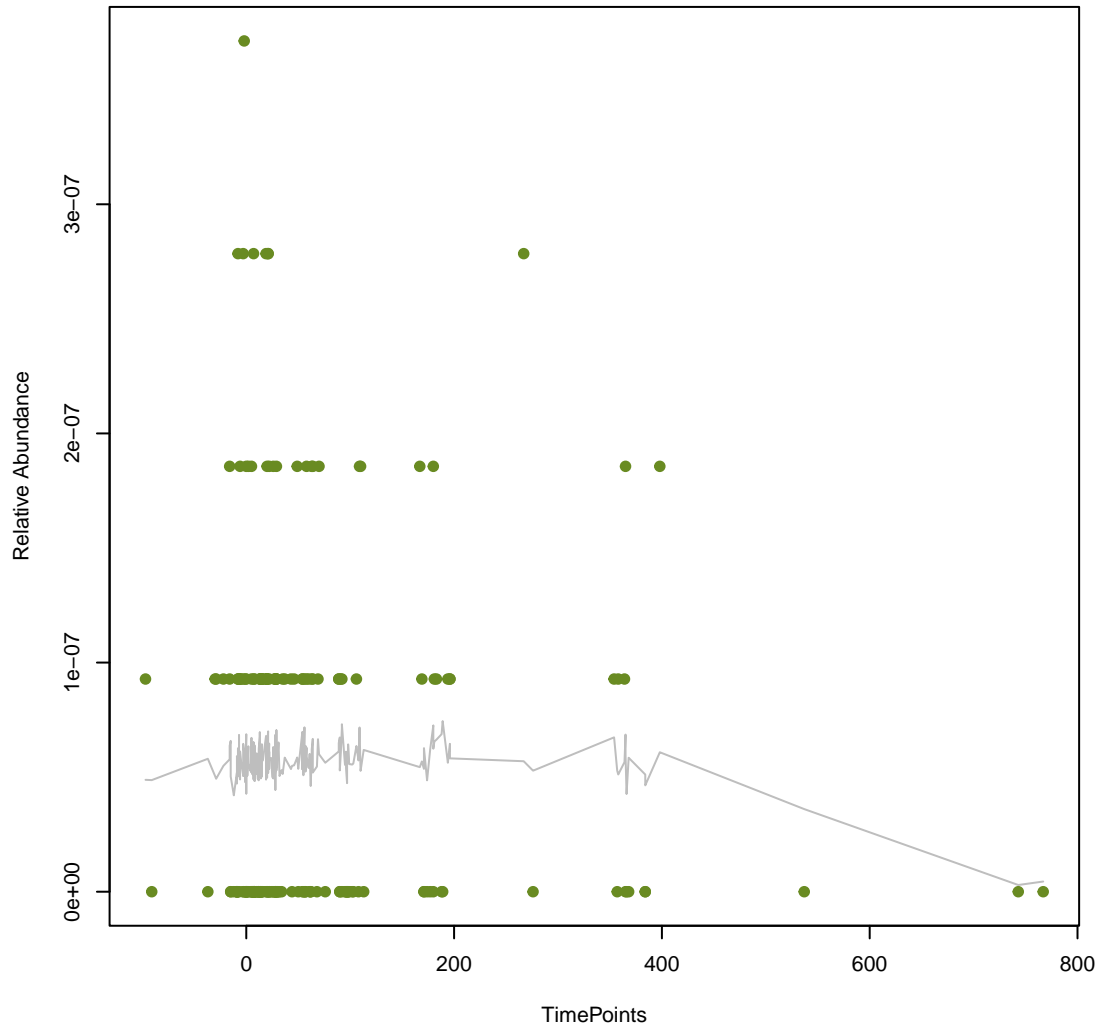
vsearch
qacG
ANOVA Pval: 0.818



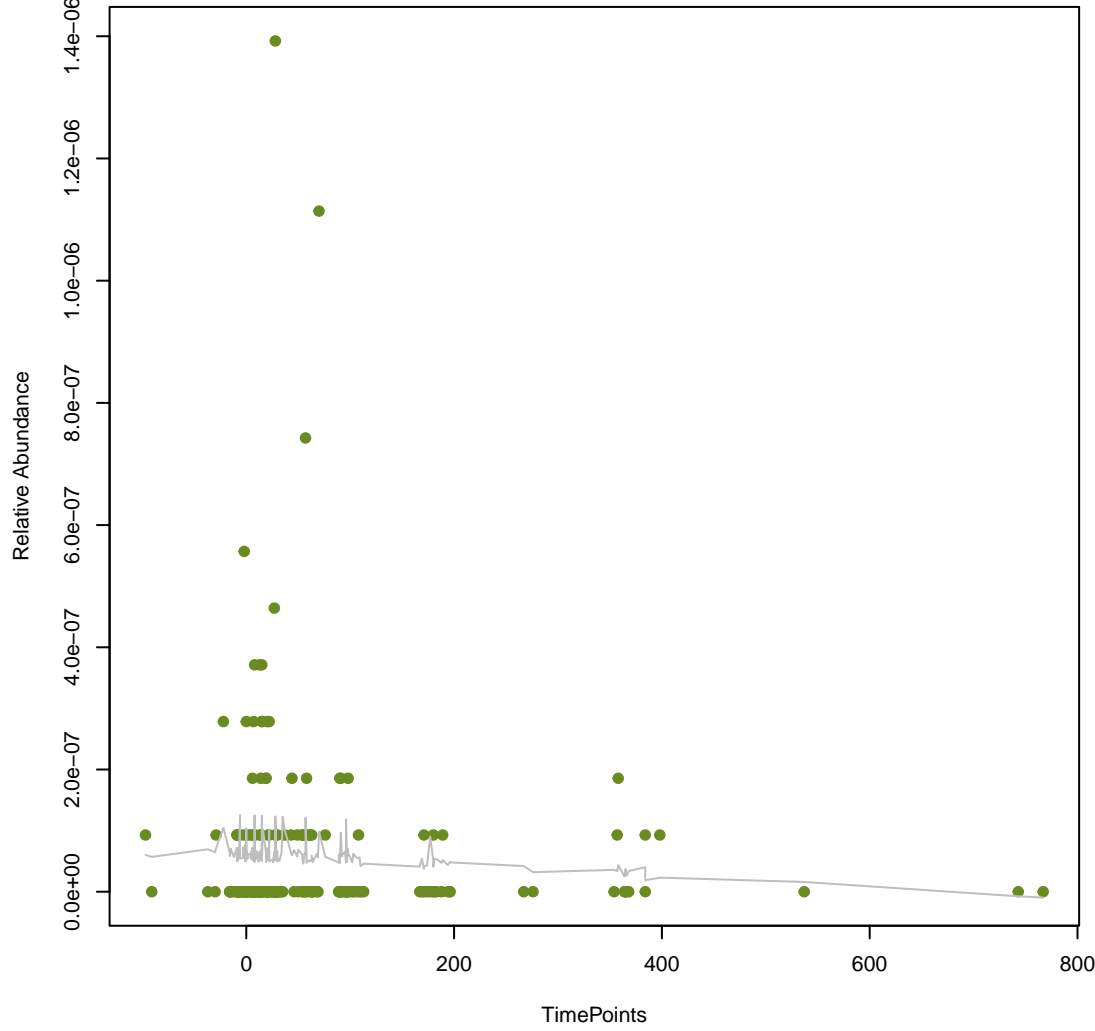
vsearch
DfrB9
ANOVA Pval: 0.605



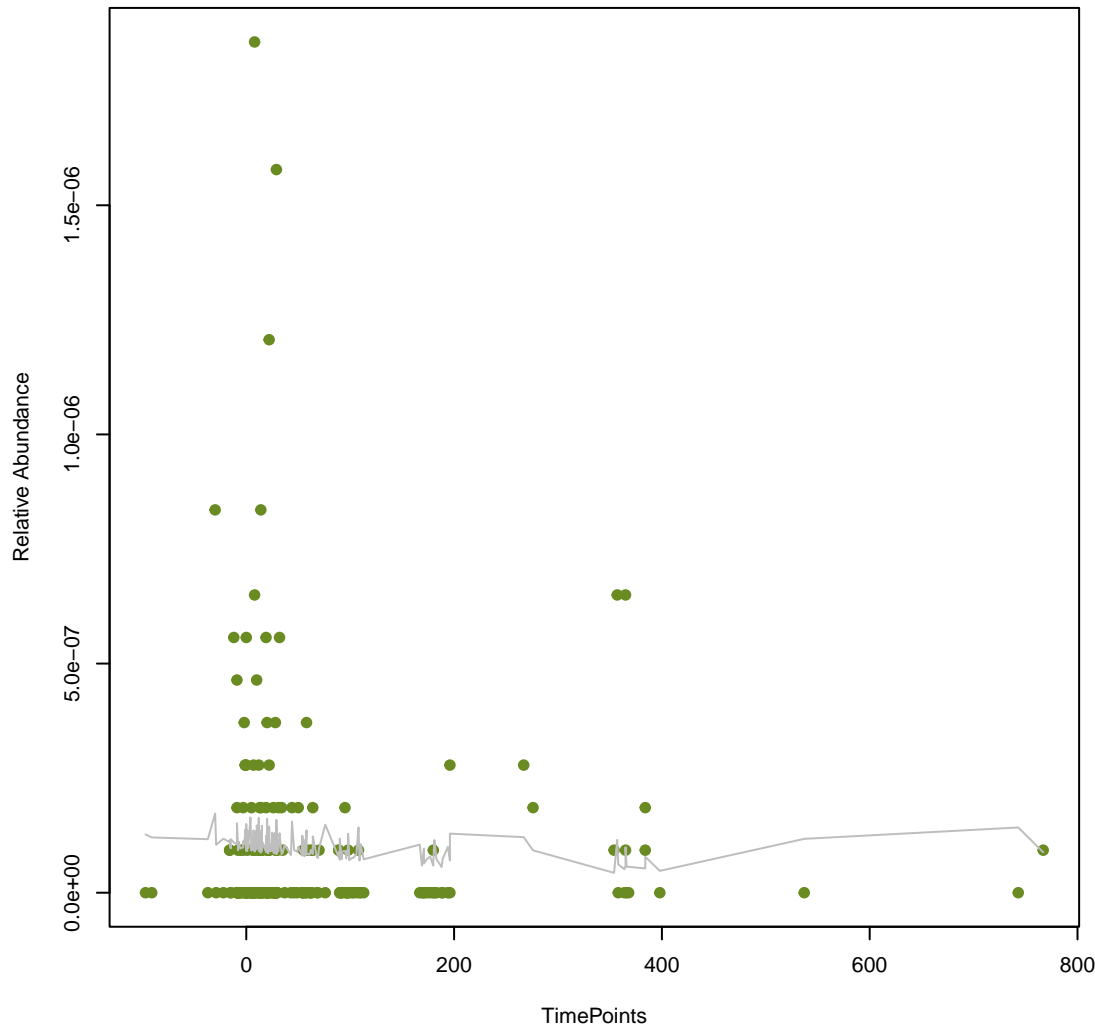
vsearch
LHK-2
ANOVA Pval: 0.552



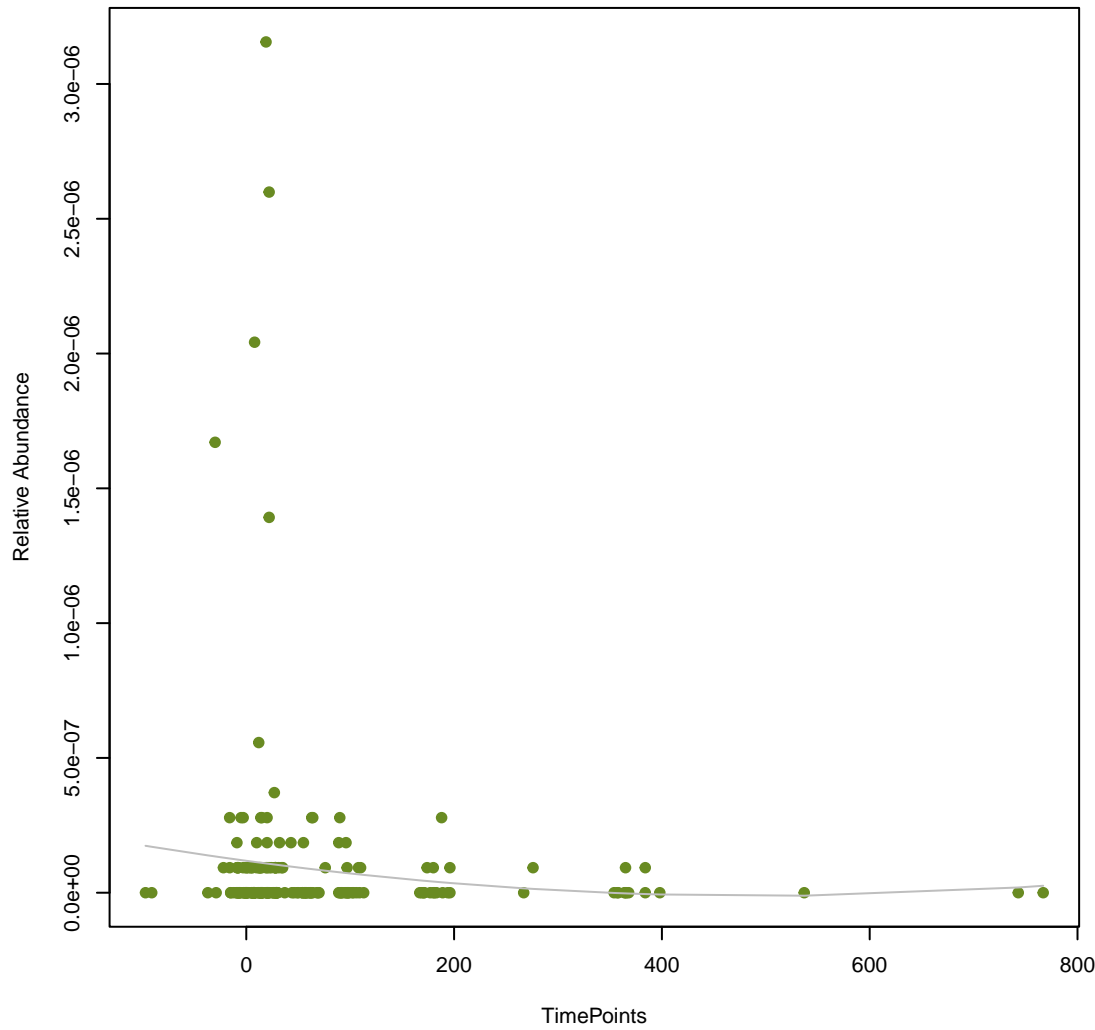
vsearch
DHA-28
ANOVA Pval: 0.64



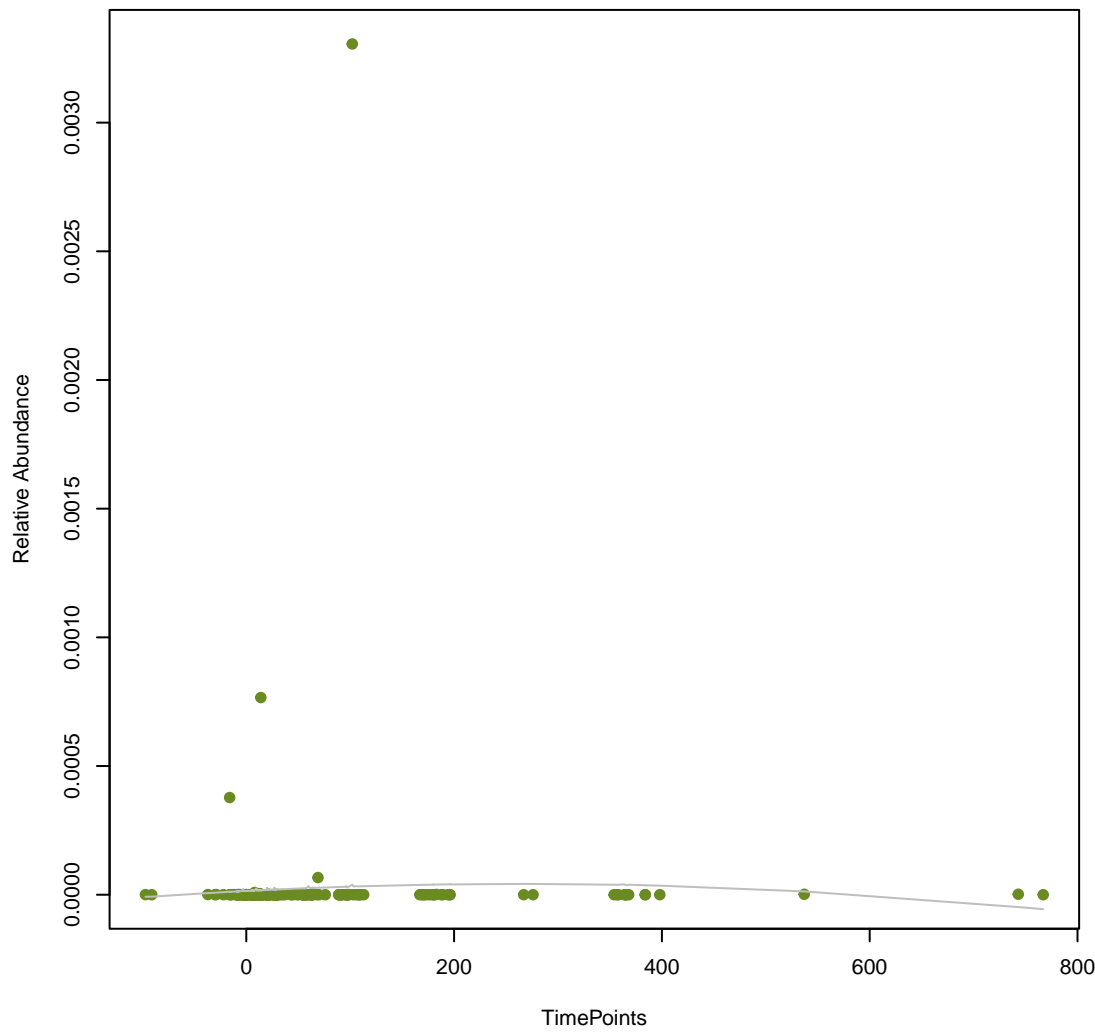
vsearch
CDD-1
ANOVA Pval: 0.661



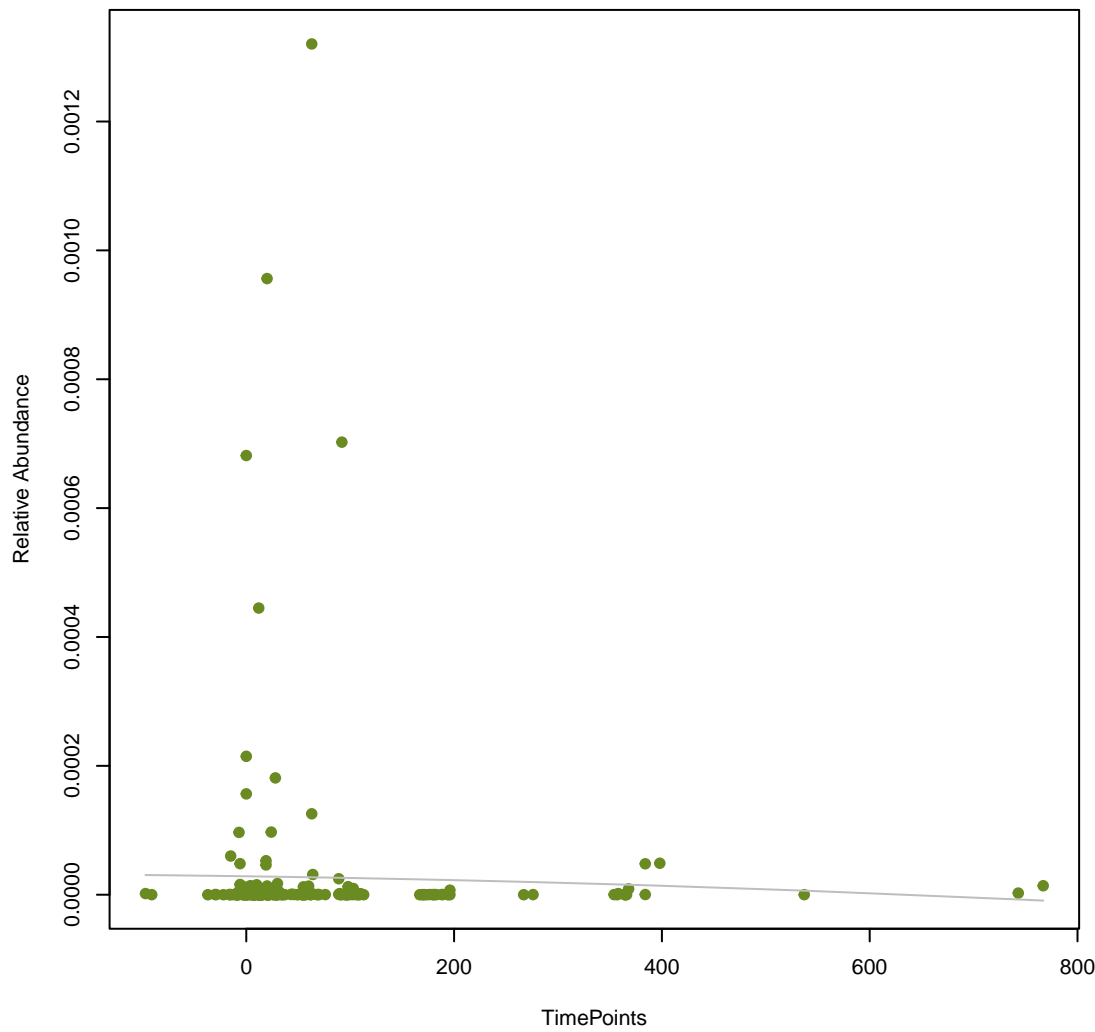
vsearch
CDD-2
ANOVA Pval: 0.344



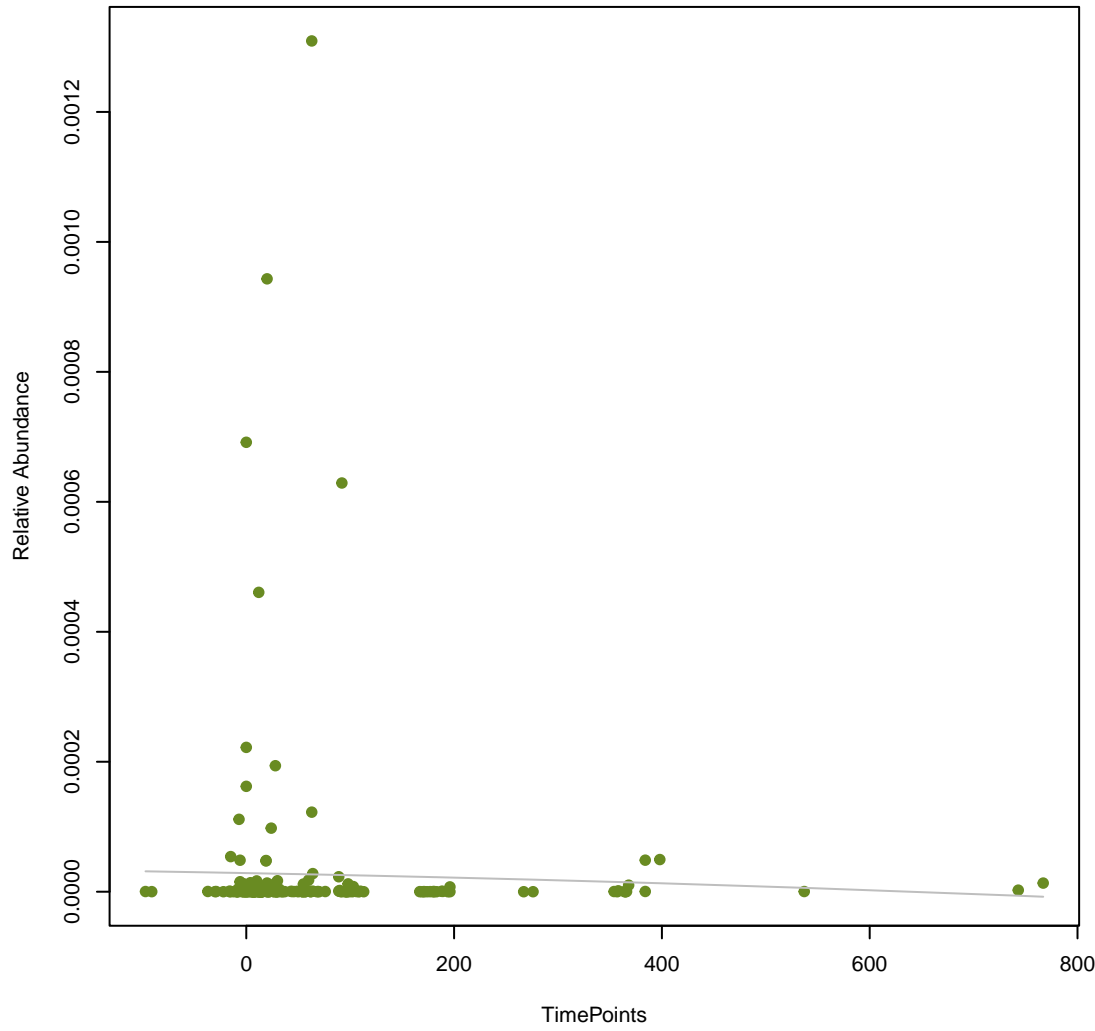
vsearch
tet(K)
ANOVA Pval: 0.773



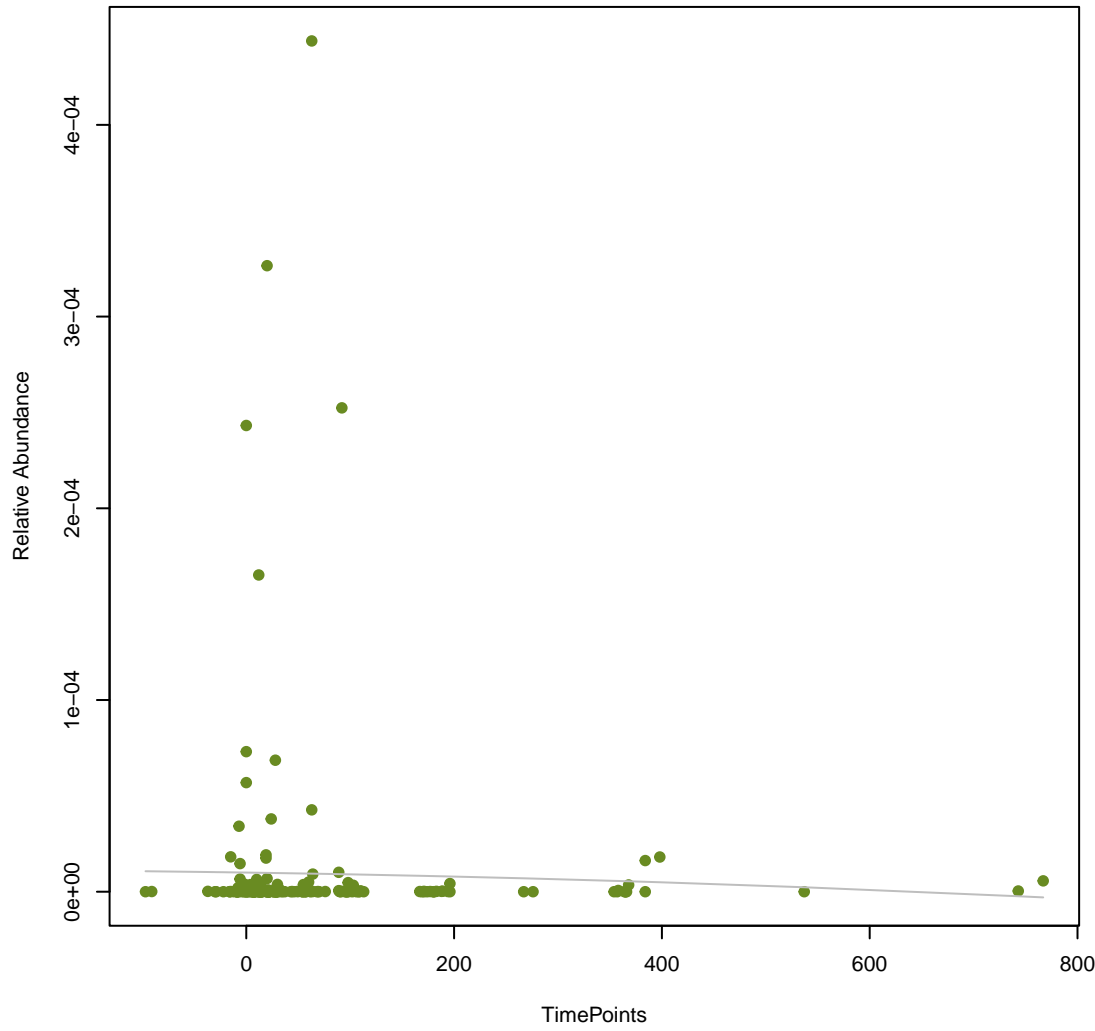
vsearch
mdtB
ANOVA Pval: 0.873



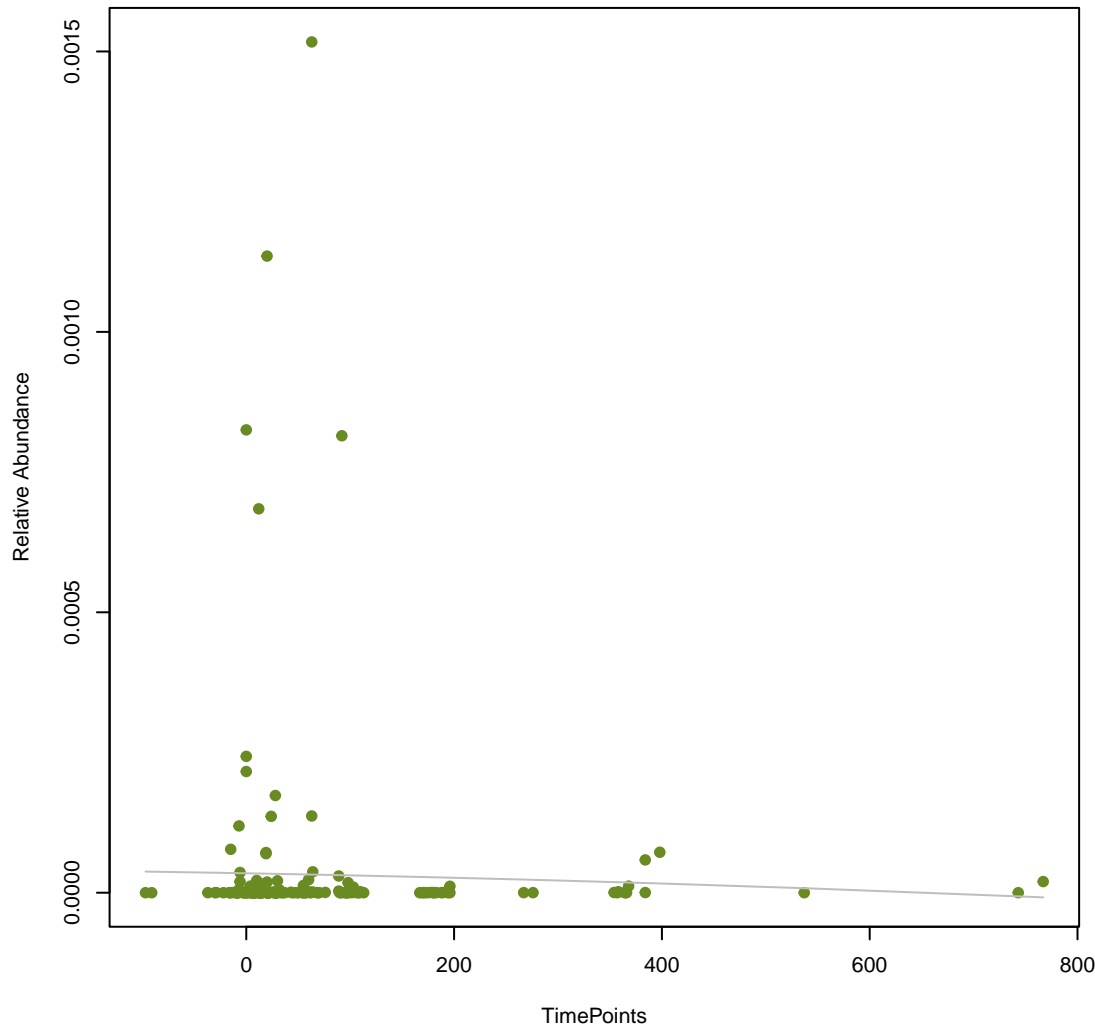
vsearch
mdtC
ANOVA Pval: 0.864



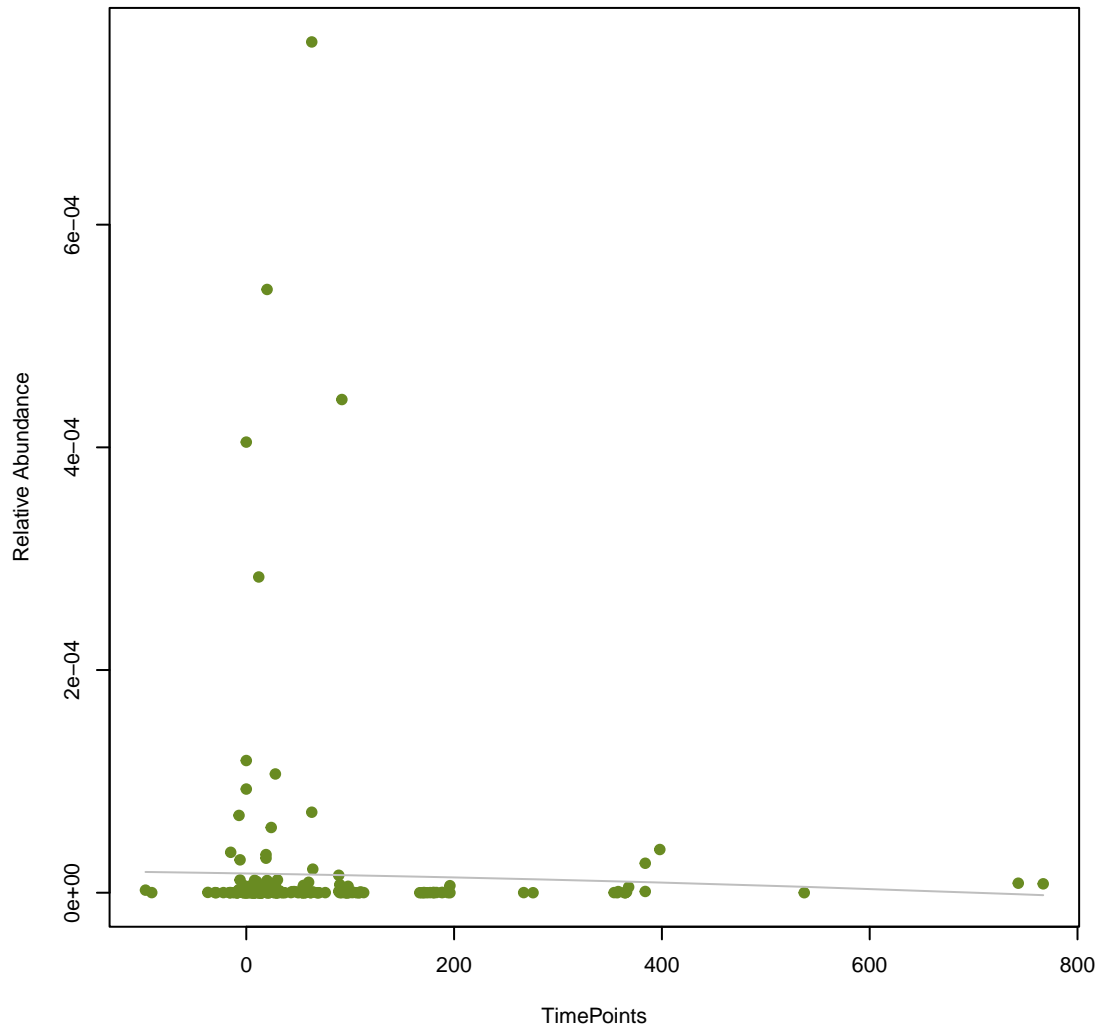
vsearch
PmrF
ANOVA Pval: 0.874



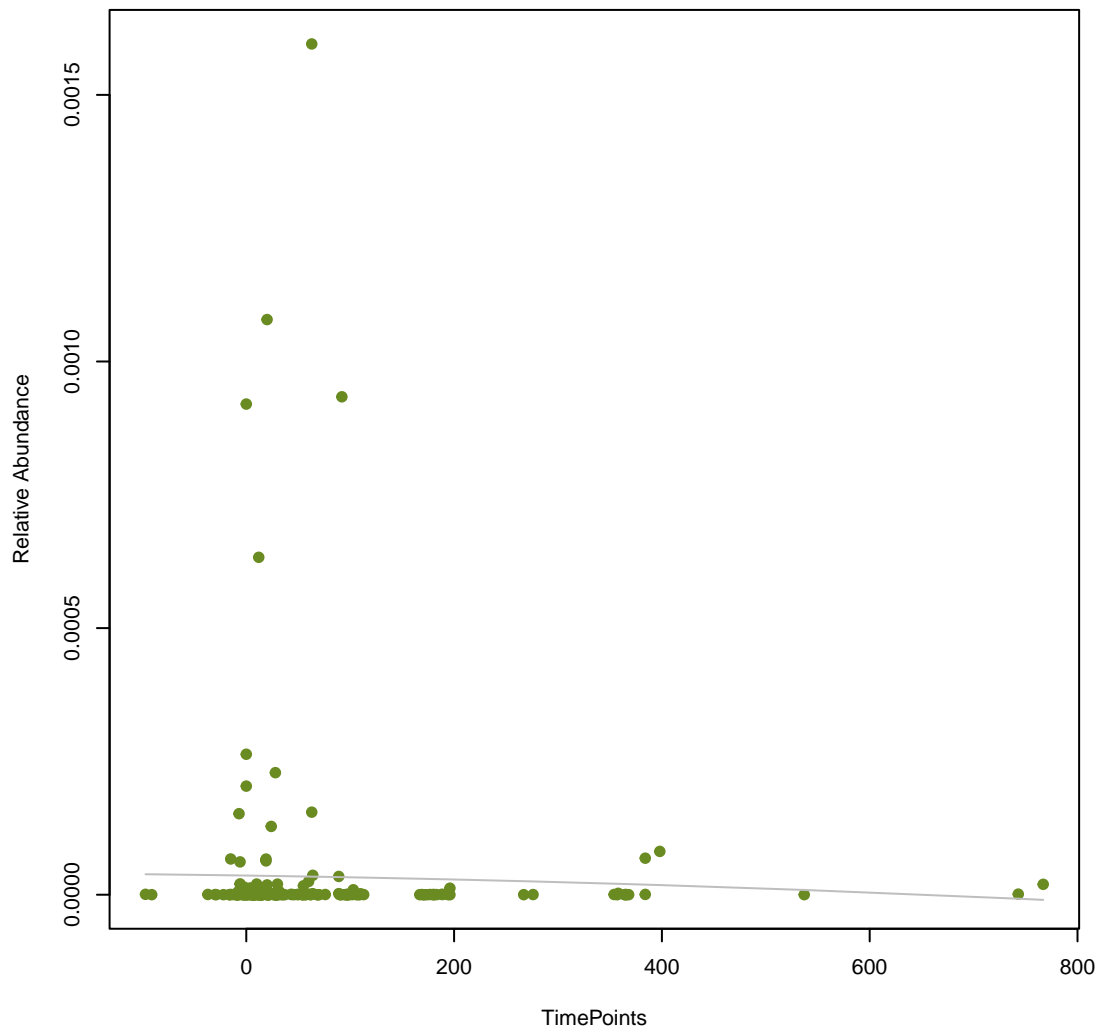
**vsearch
evgS**
ANOVA Pval: 0.872



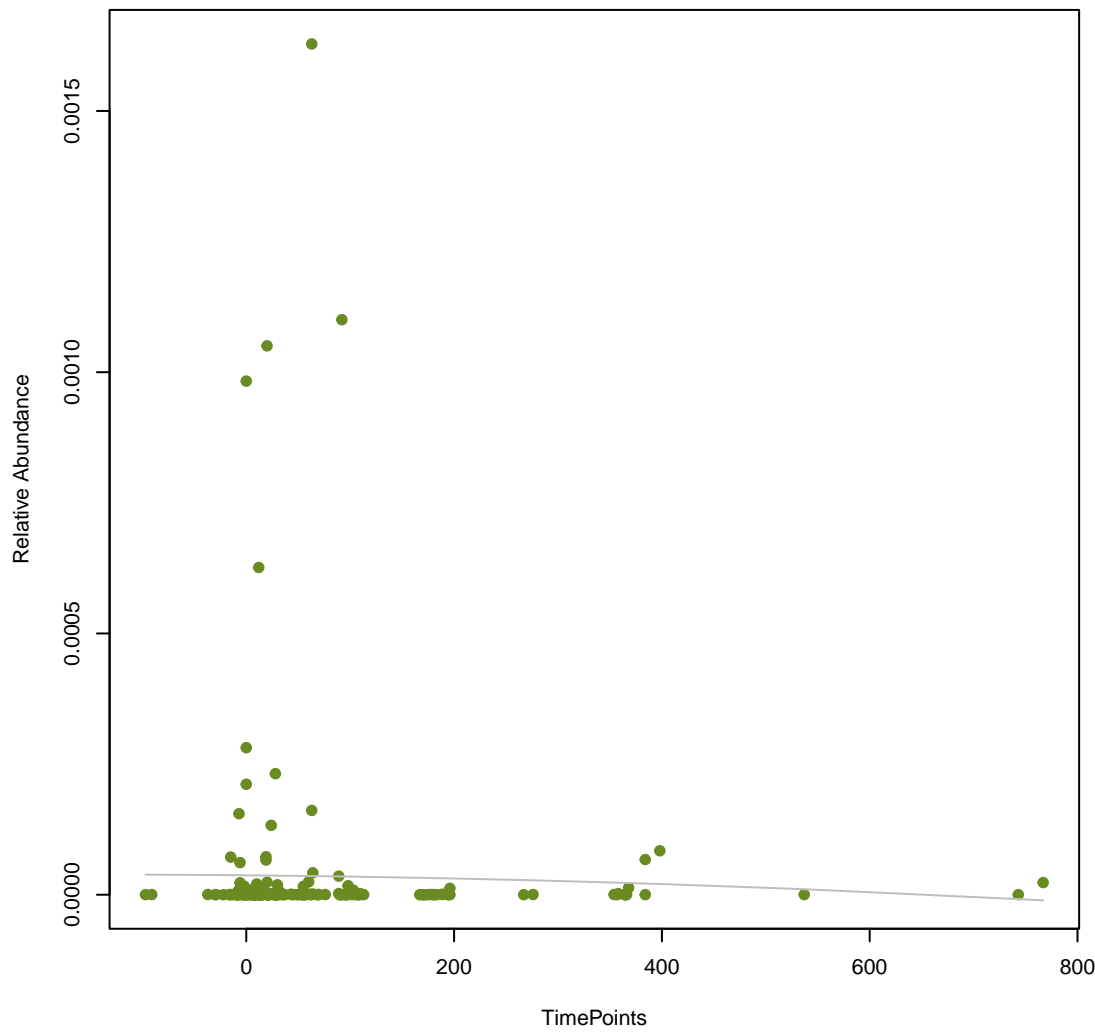
**vsearch
emrB**
ANOVA Pval: 0.892



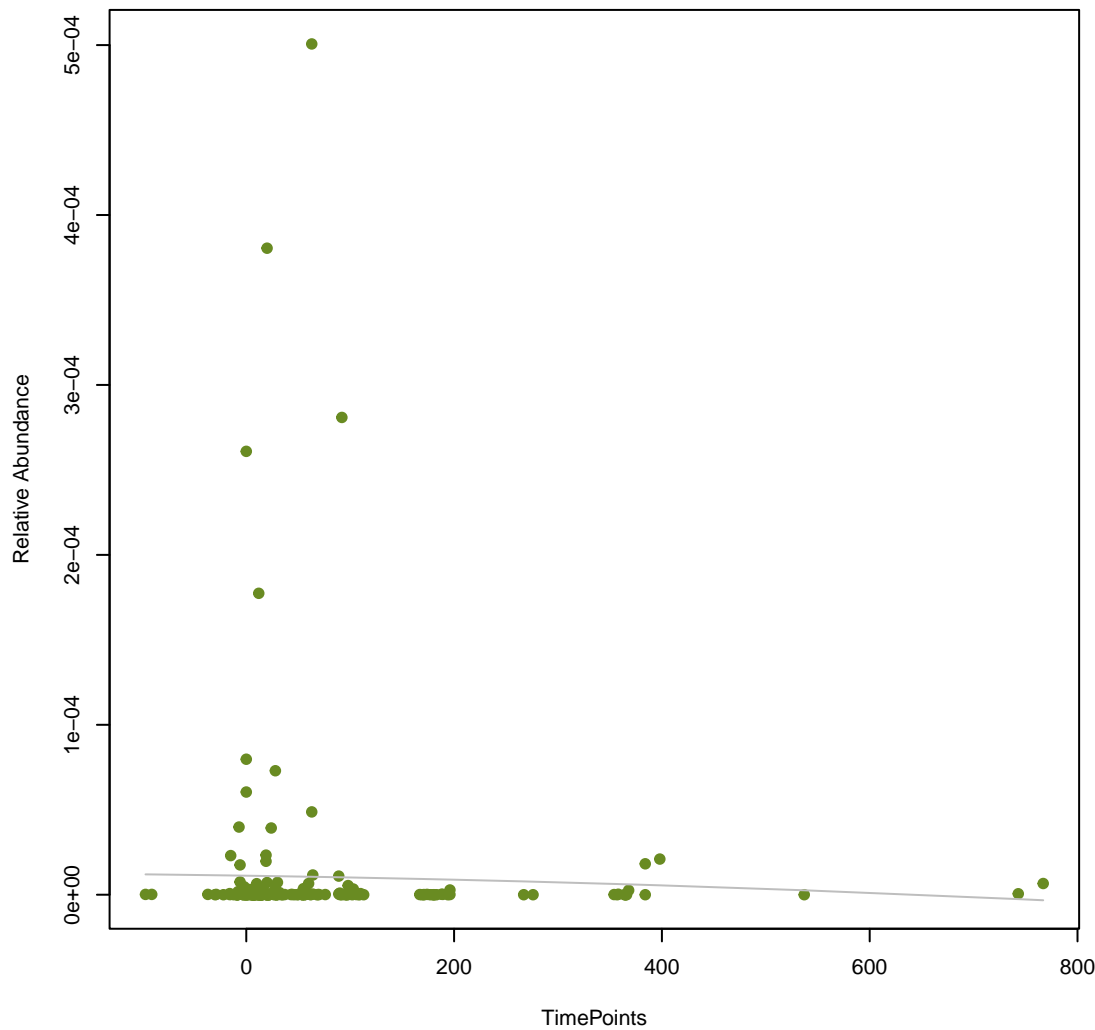
**vsearch
AcrF**
ANOVA Pval: 0.878



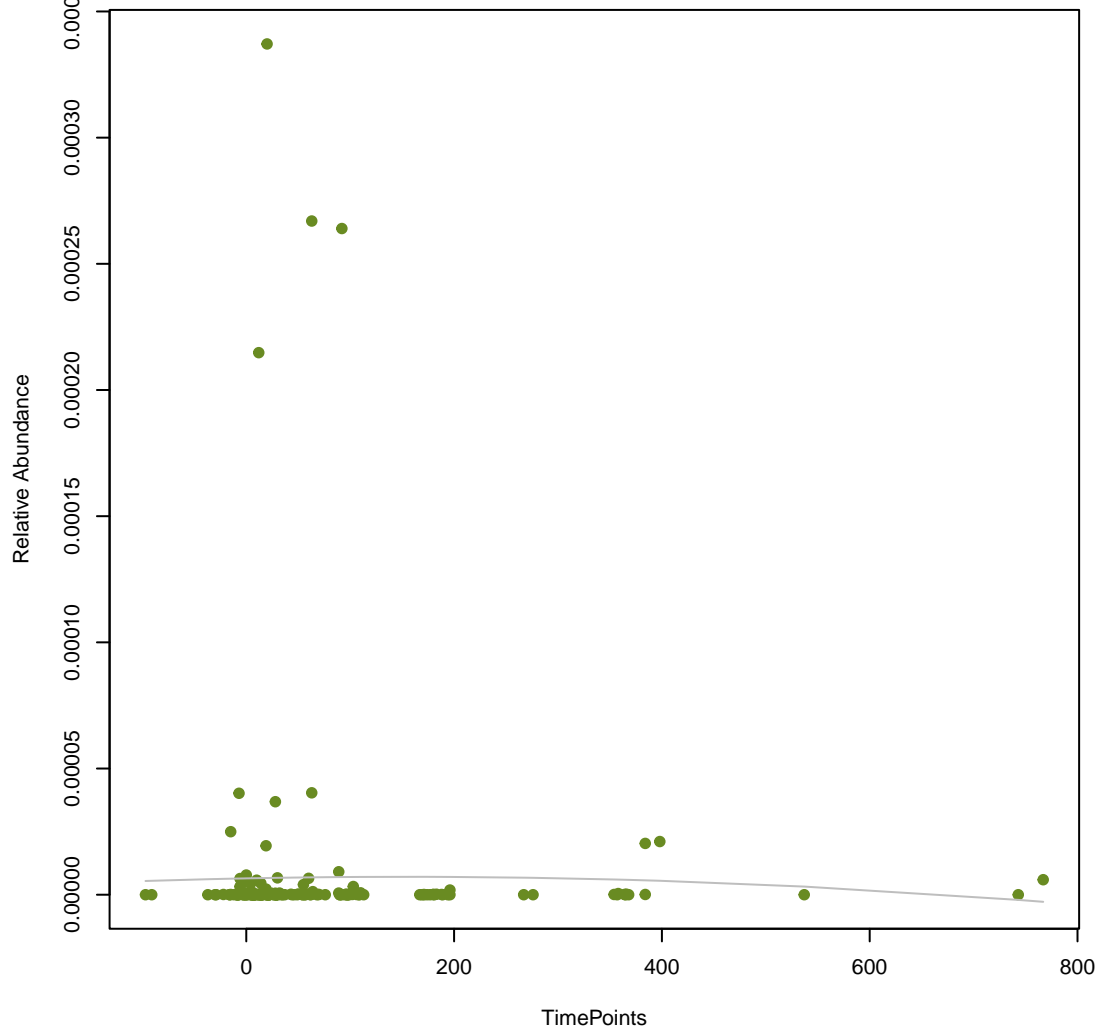
**vsearch
mdtF**
ANOVA Pval: 0.889



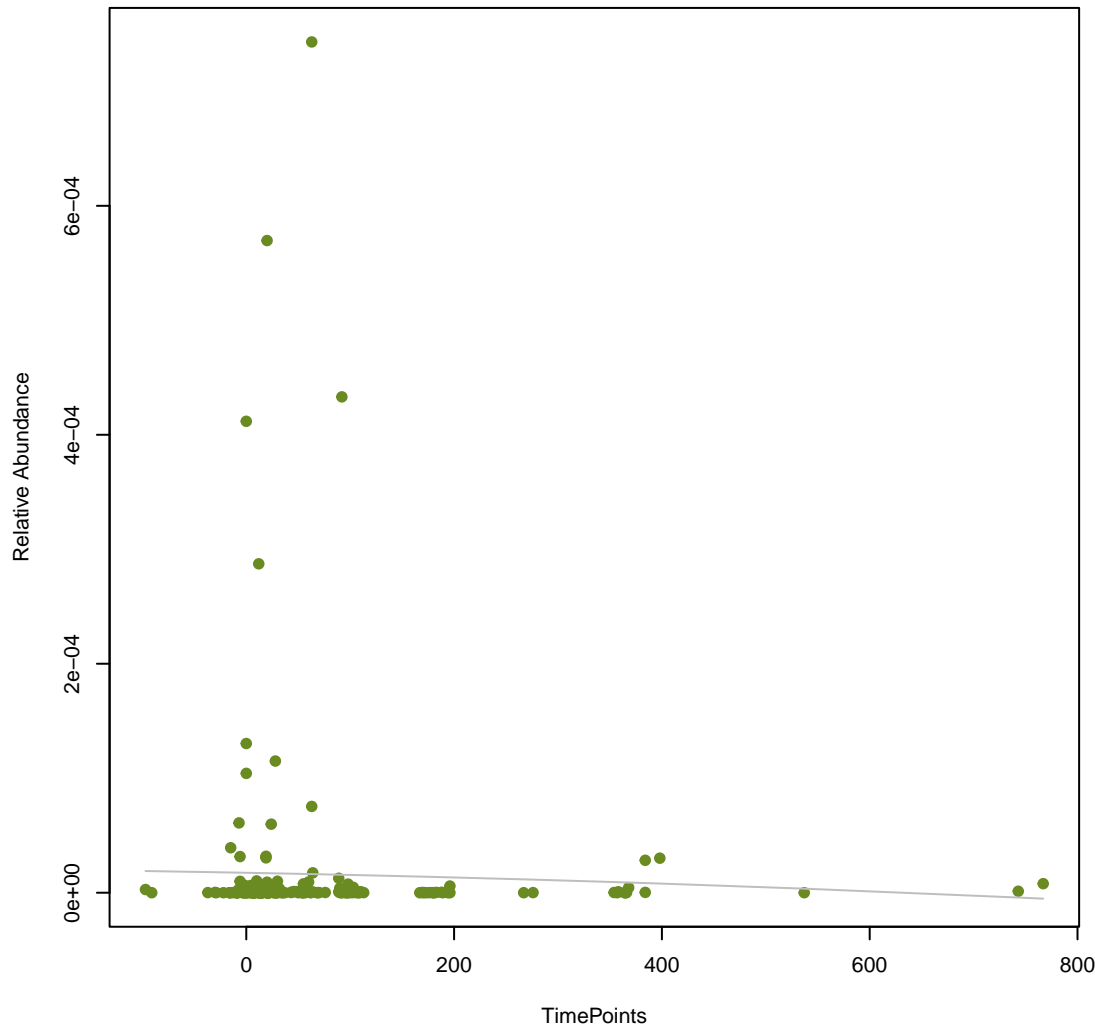
**vsearch
mdtH**
ANOVA Pval: 0.875



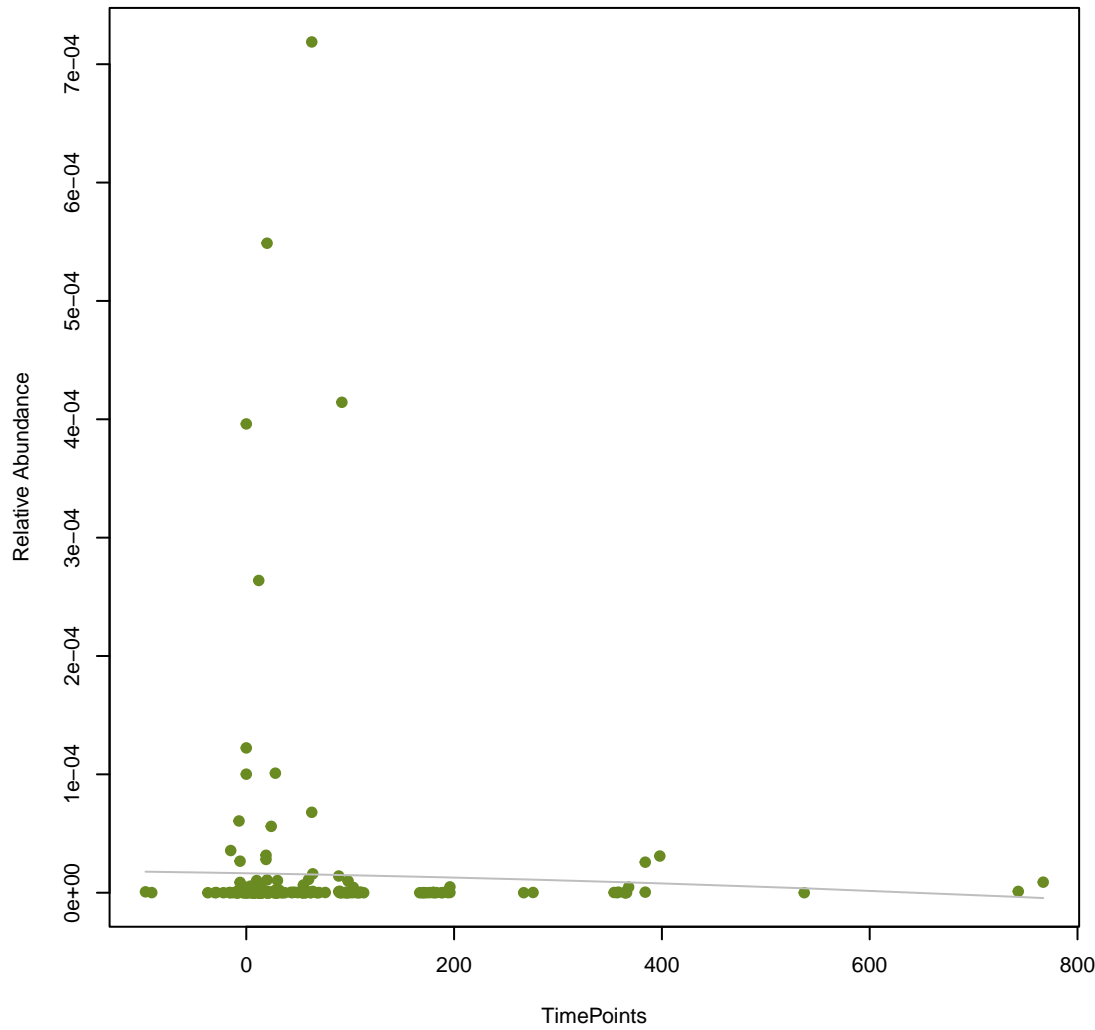
**vsearch
ugd**
ANOVA Pval: 0.934



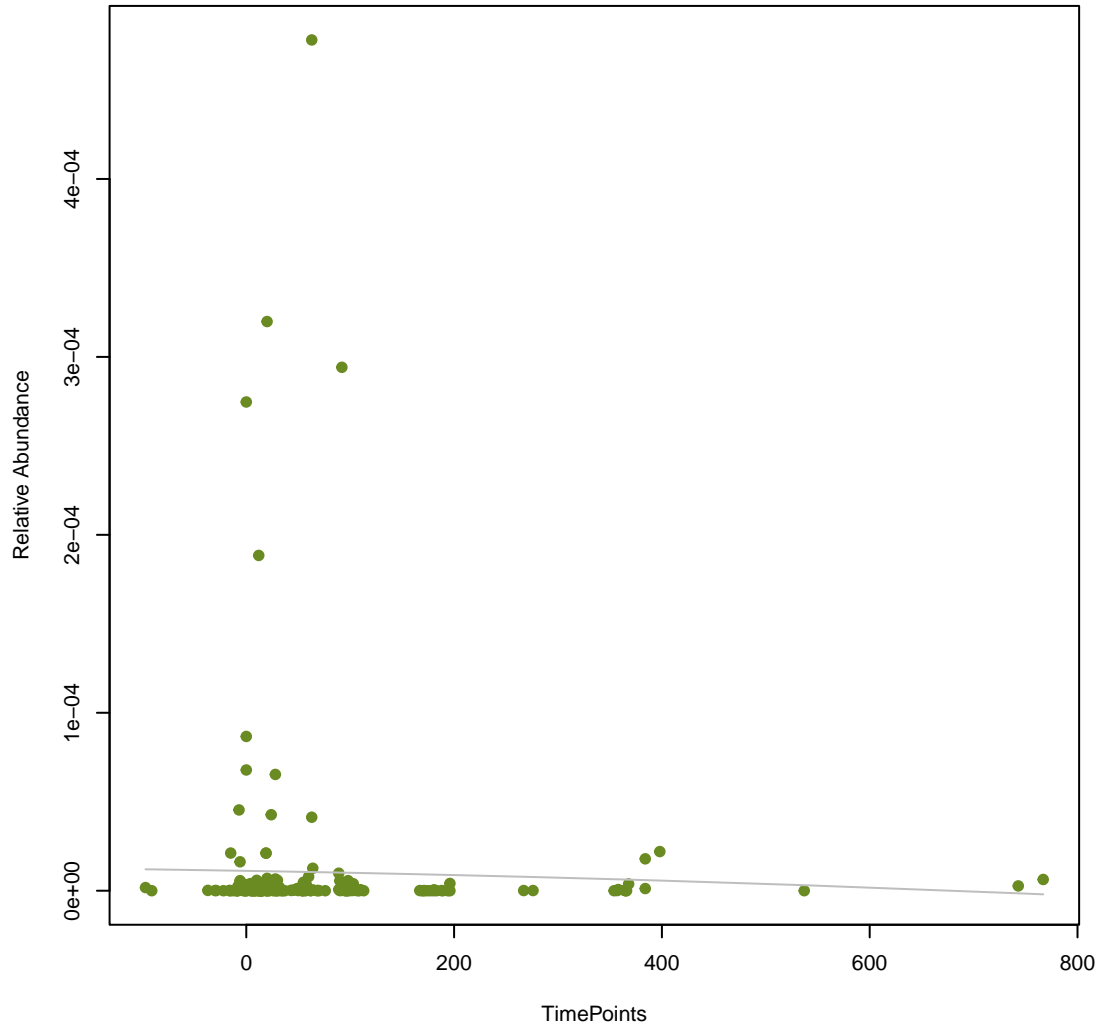
**vsearch
msbA**
ANOVA Pval: 0.859



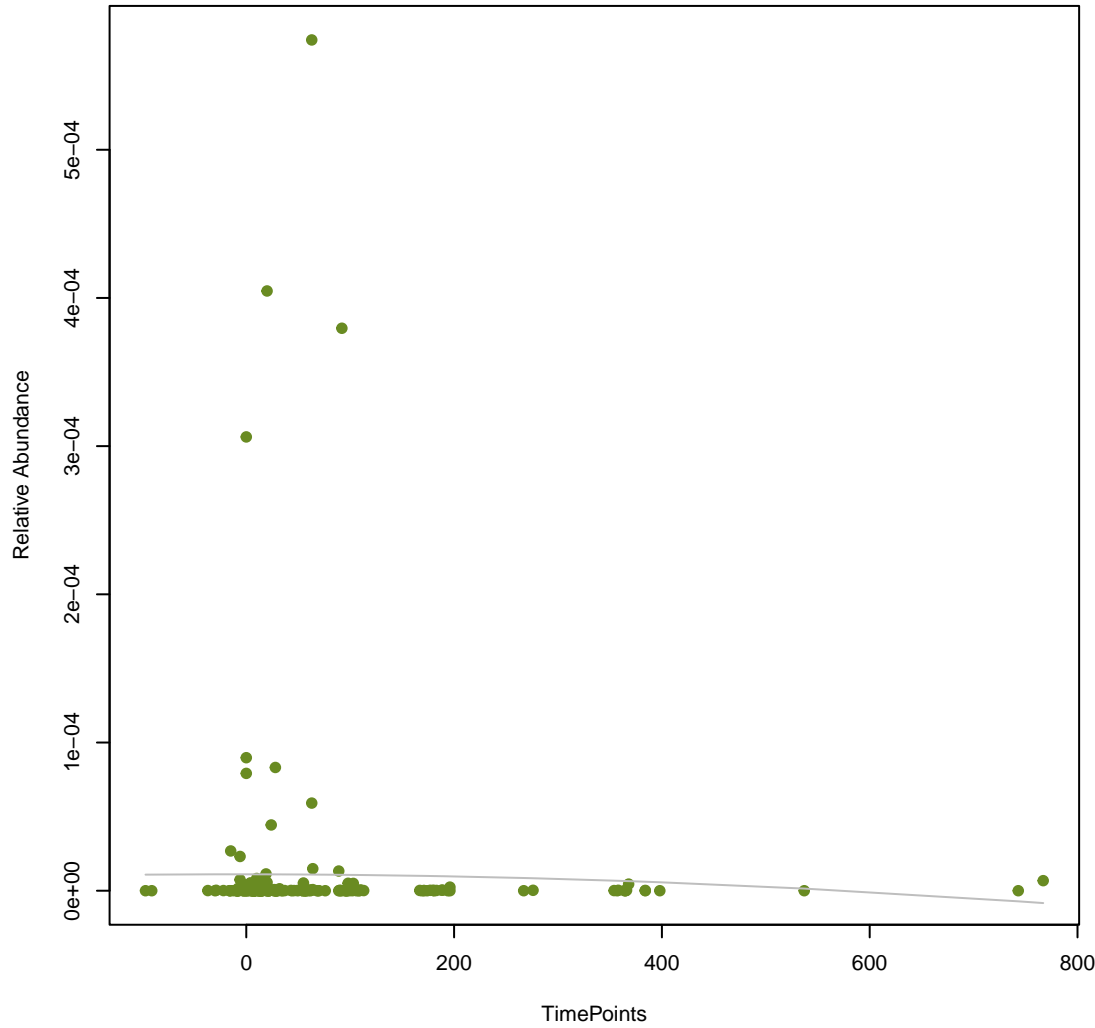
**vsearch
YojI**
ANOVA Pval: 0.871



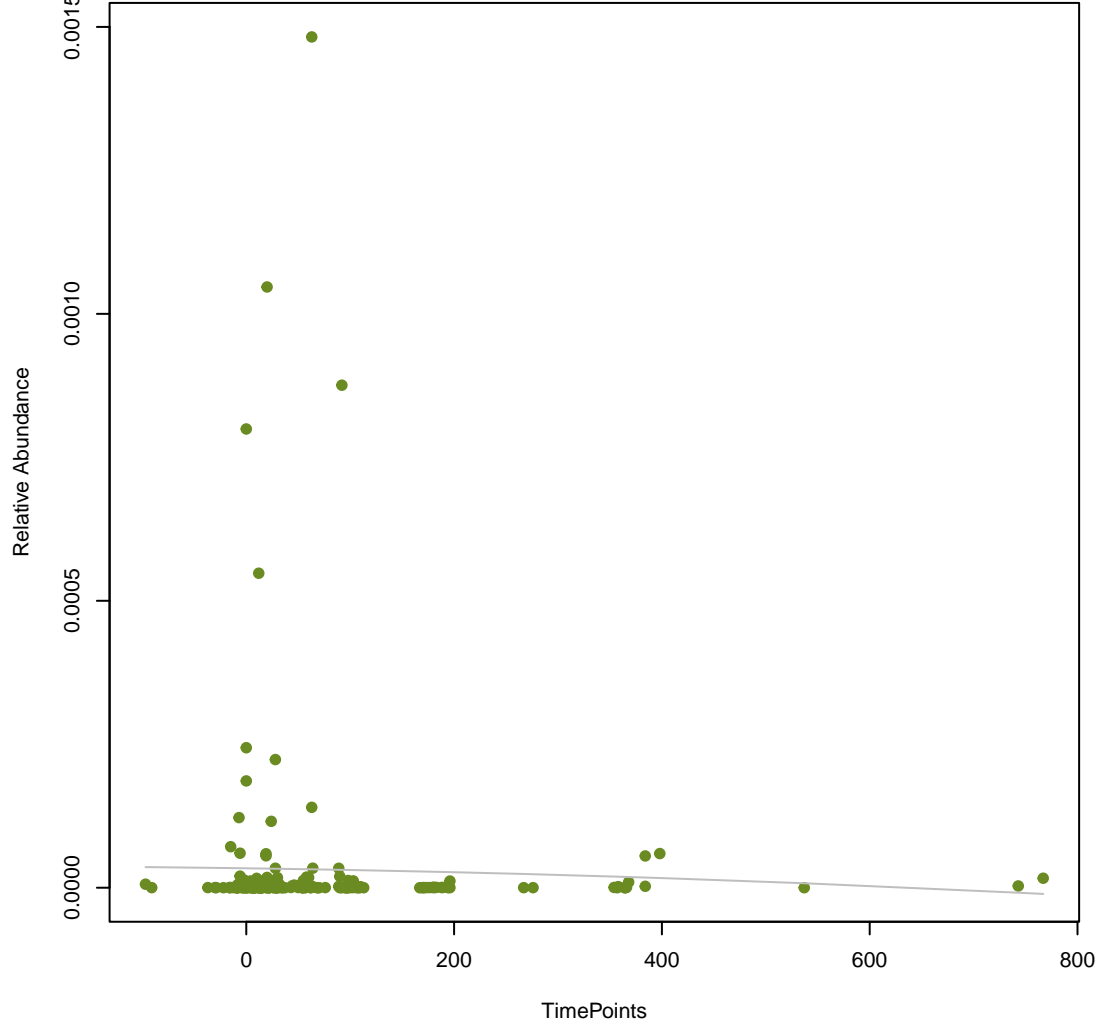
**vsearch
bacA**
ANOVA Pval: 0.88



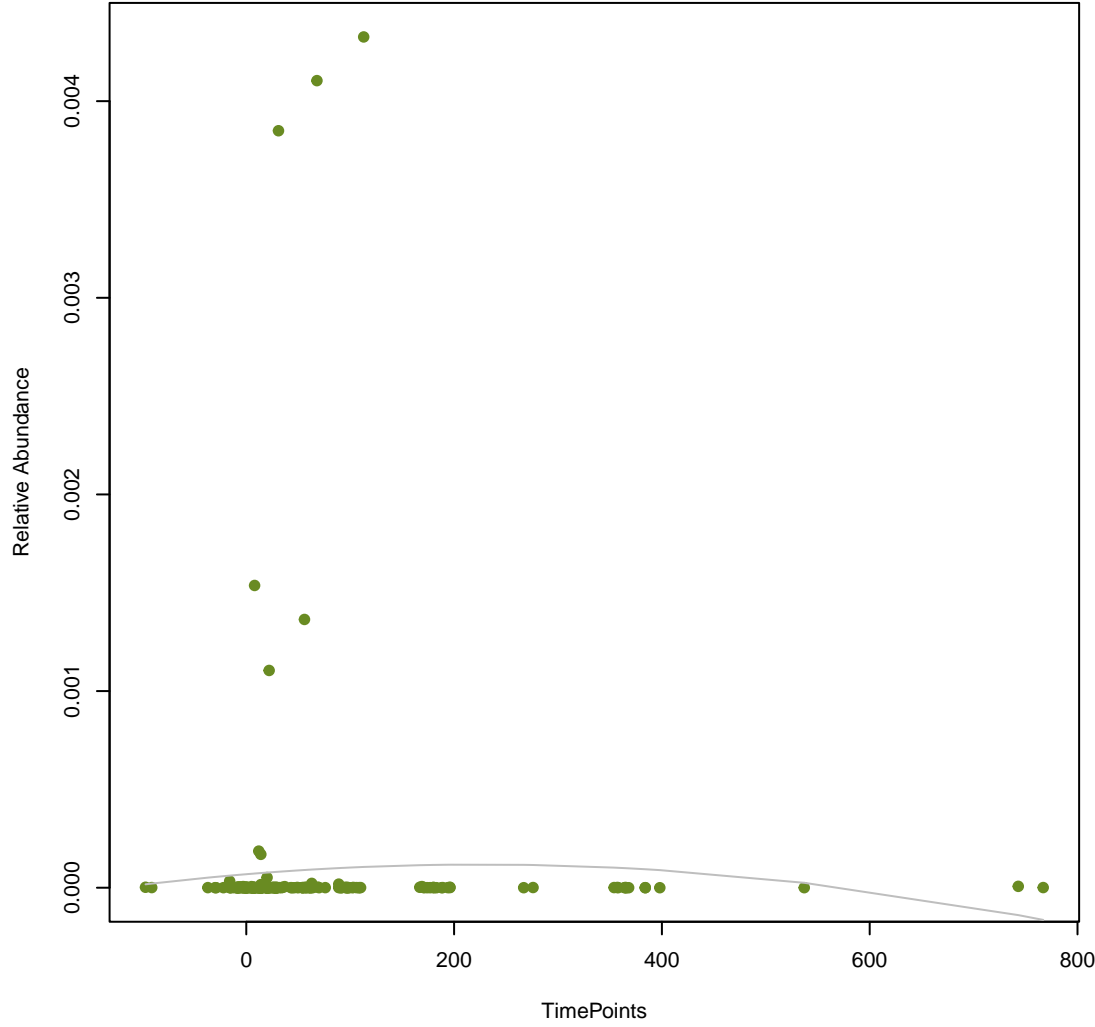
**vsearch
mdtM**
ANOVA Pval: 0.869



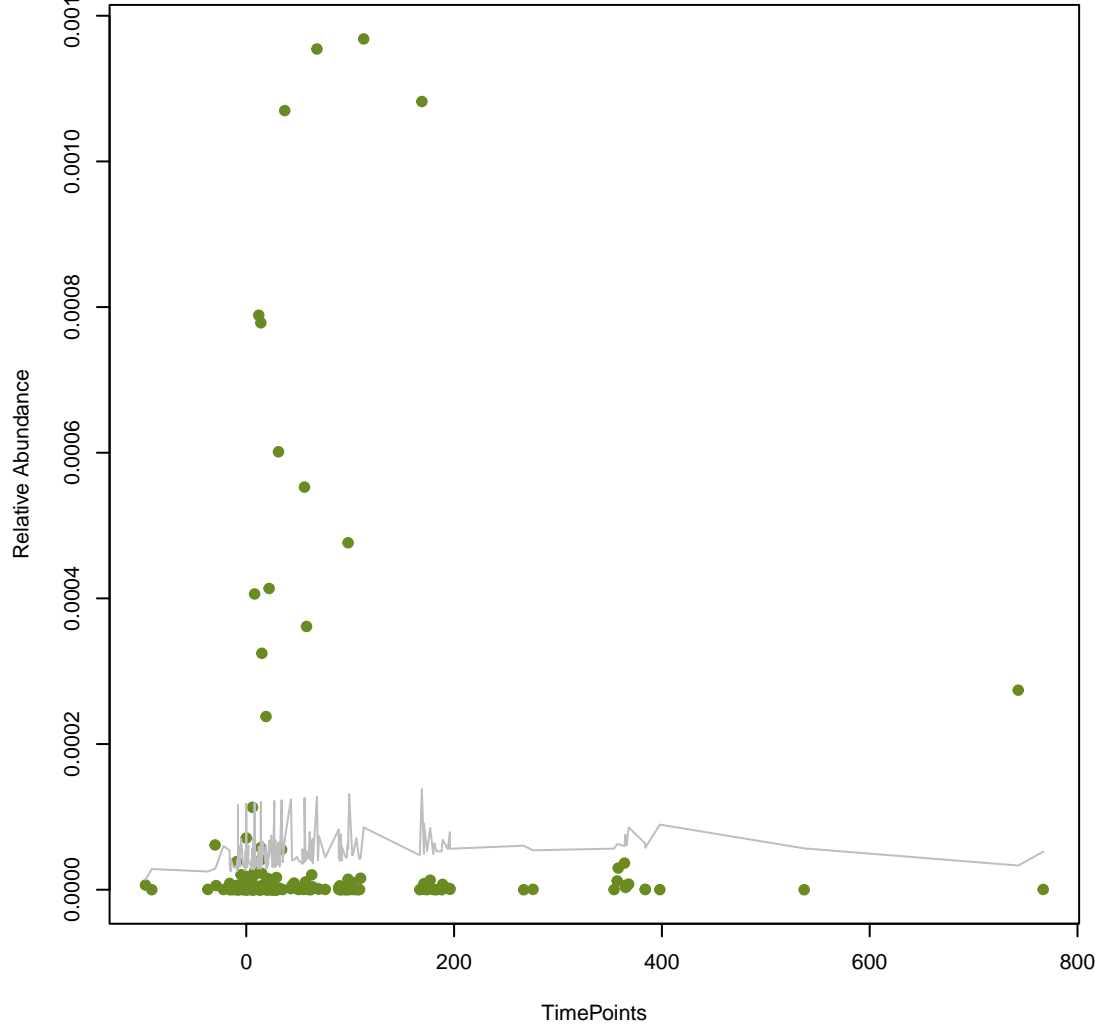
**vsearch
acrB**
ANOVA Pval: 0.868



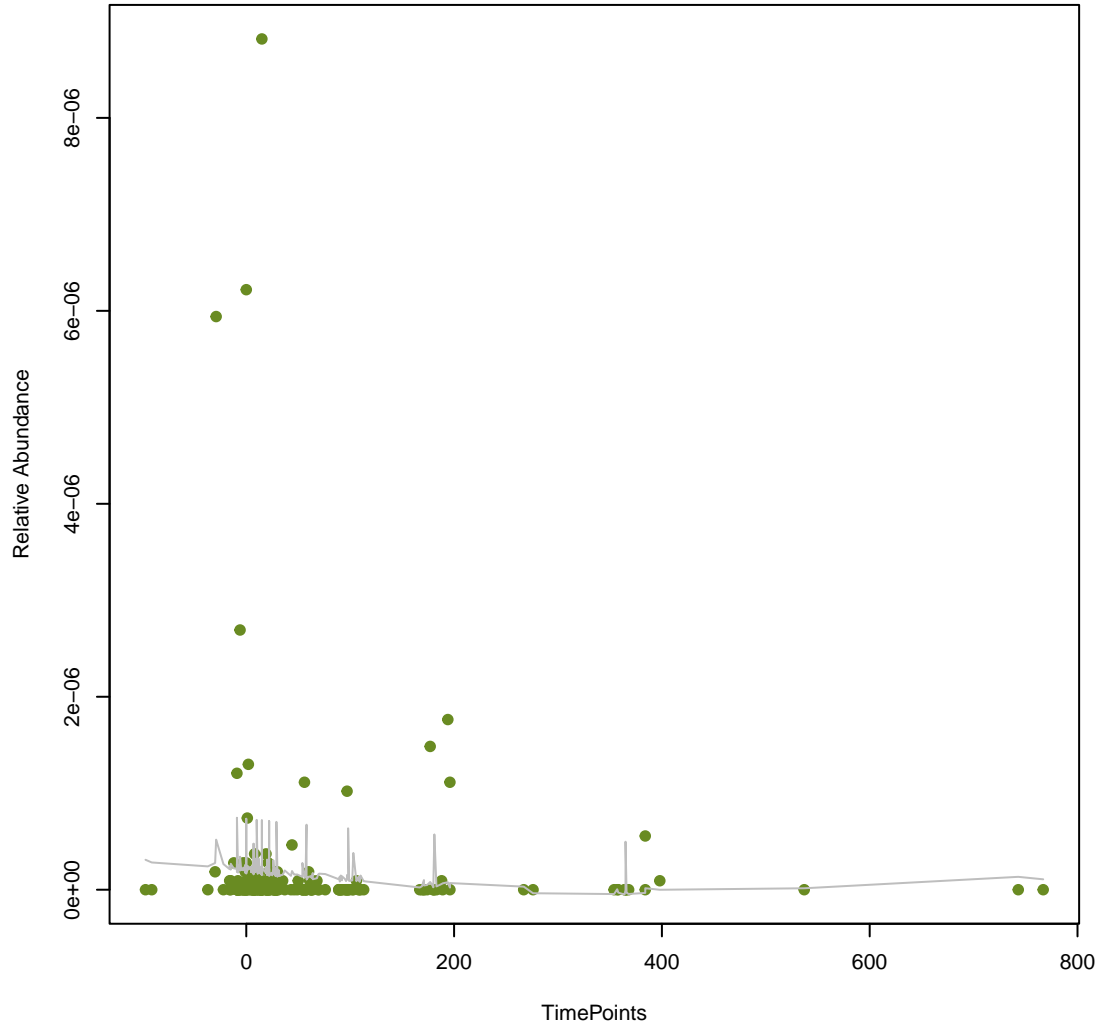
**vsearch
tetU**
ANOVA Pval: 0.722



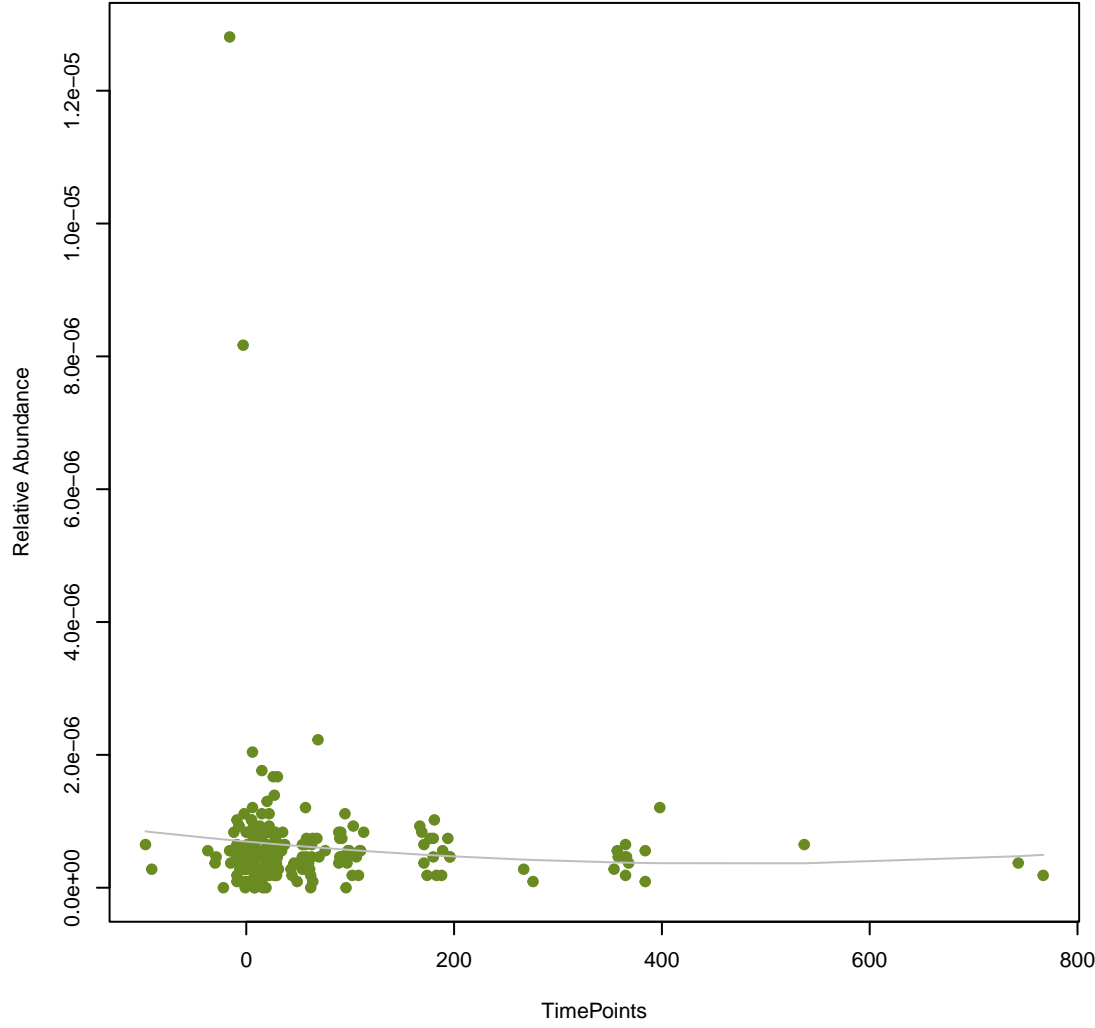
vsearch
SAT-4
ANOVA Pval: 0.788



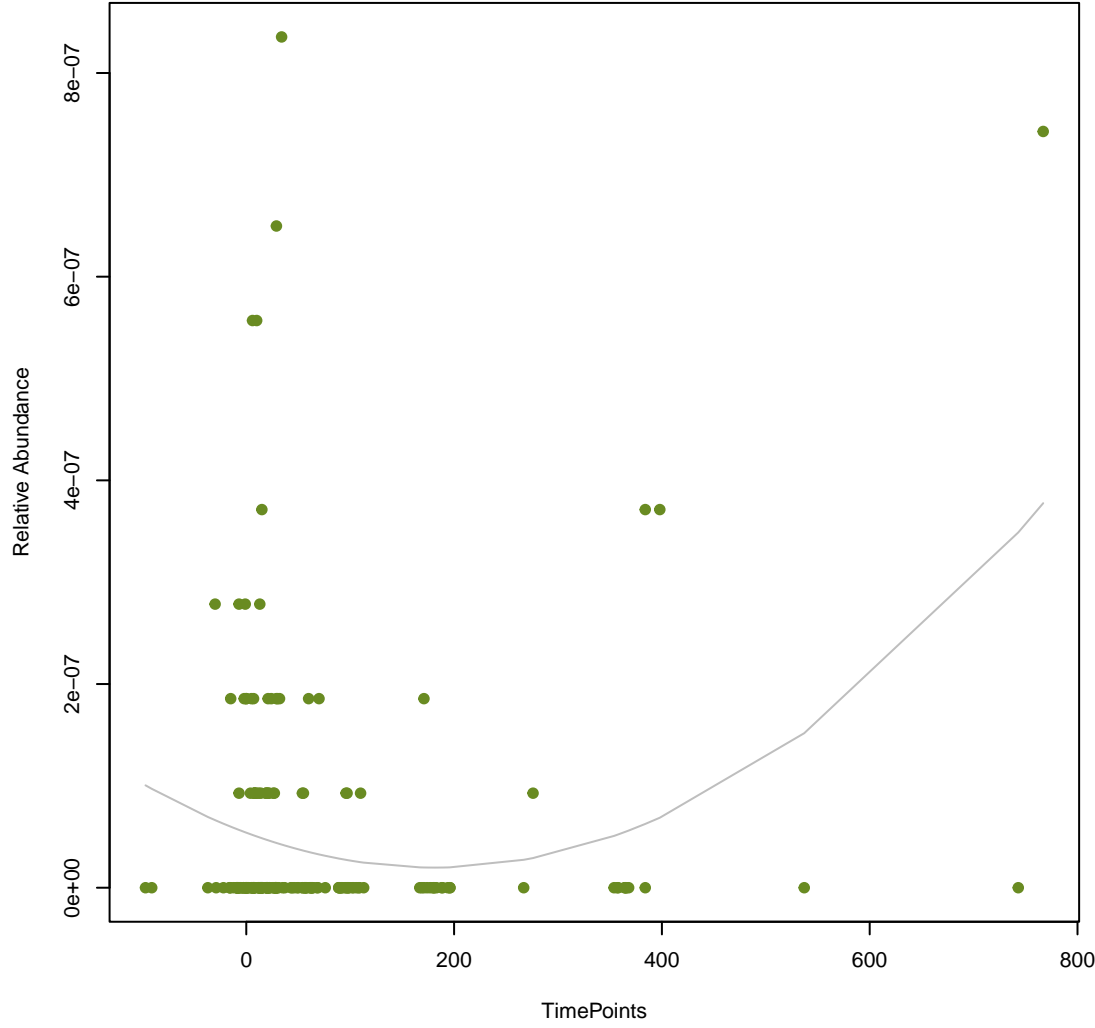
vsearch
cepA
ANOVA Pval: 0.515



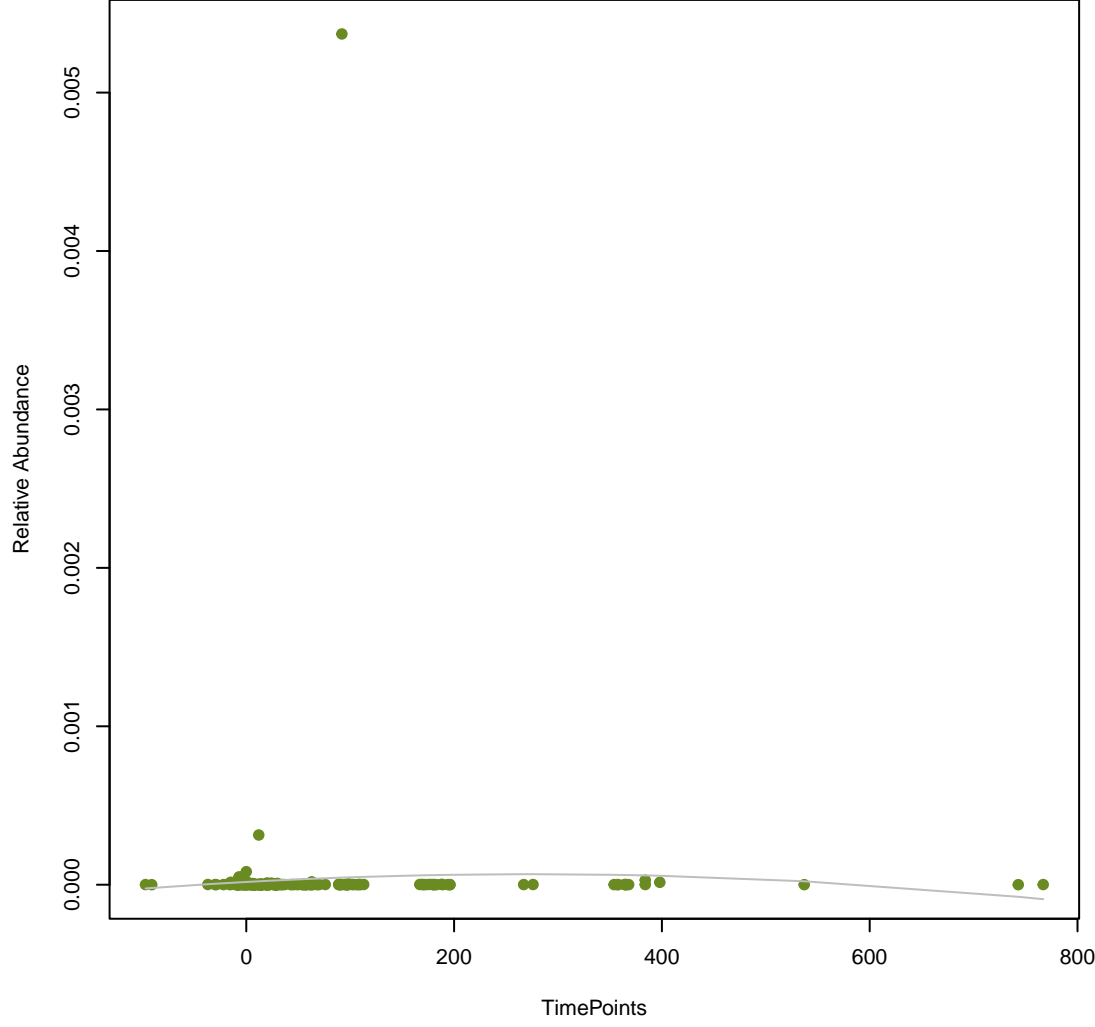
vsearch
dfrB1
ANOVA Pval: 0.446



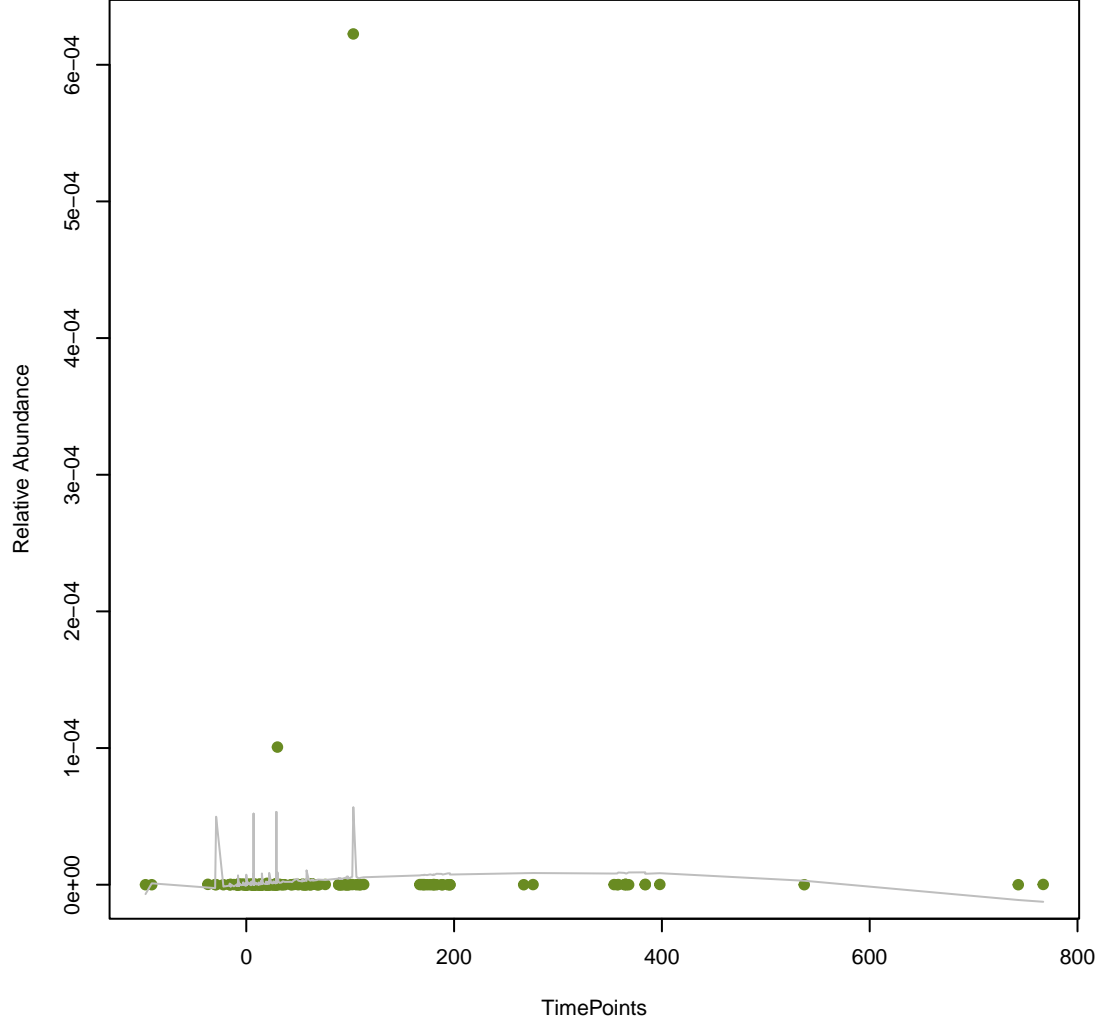
vsearch
CfxA
ANOVA Pval: 0.00023



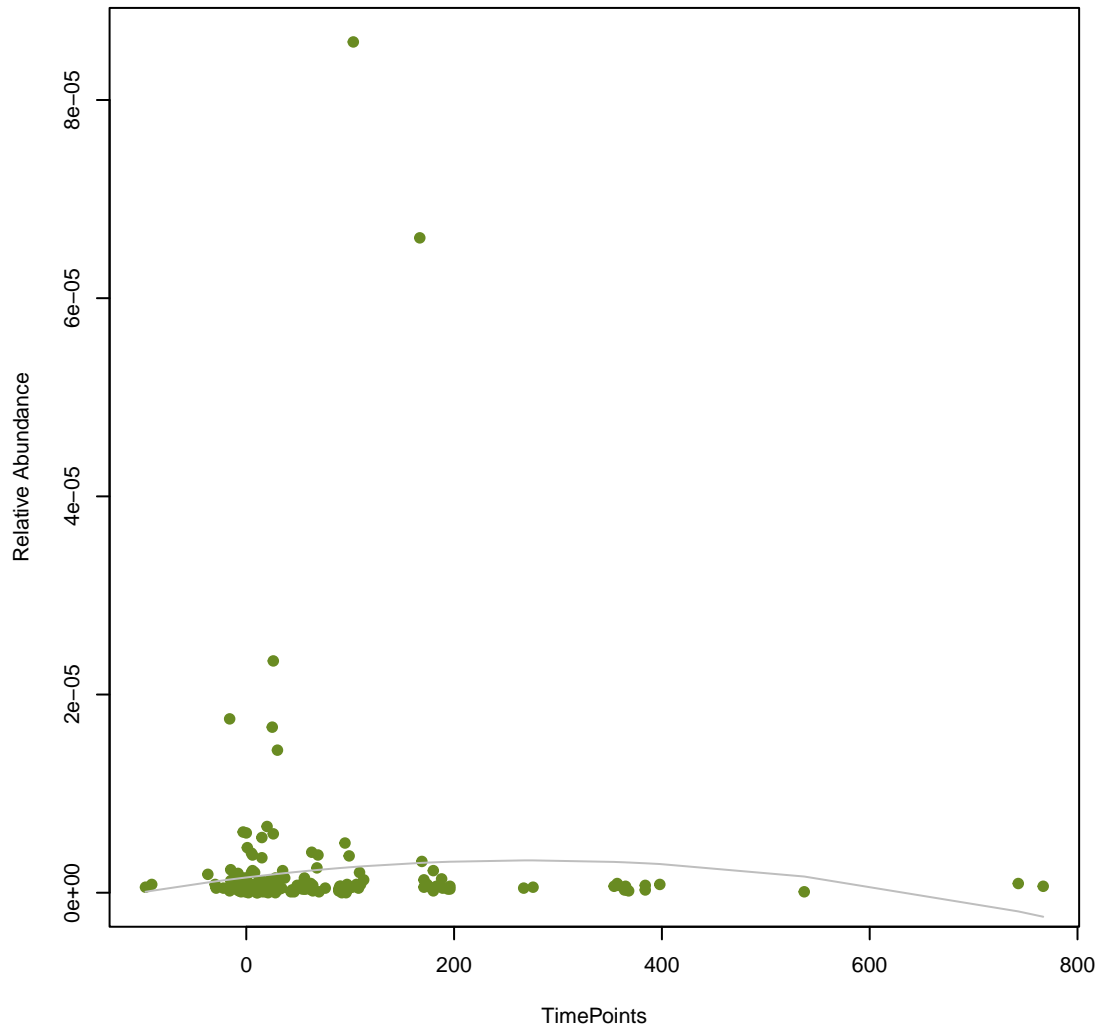
vsearch
qacEdelta1
ANOVA Pval: 0.746



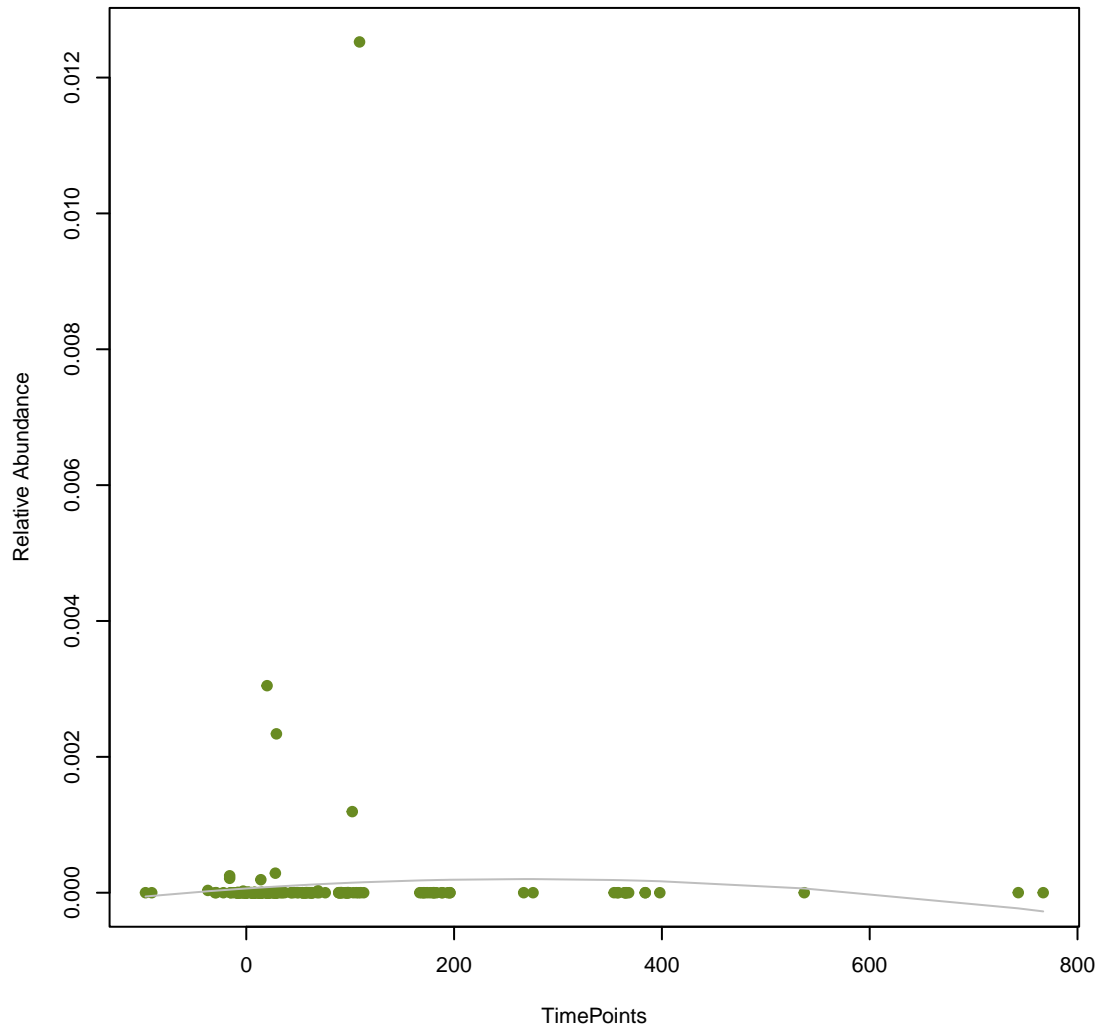
vsearch
MexD
ANOVA Pval: 0.542



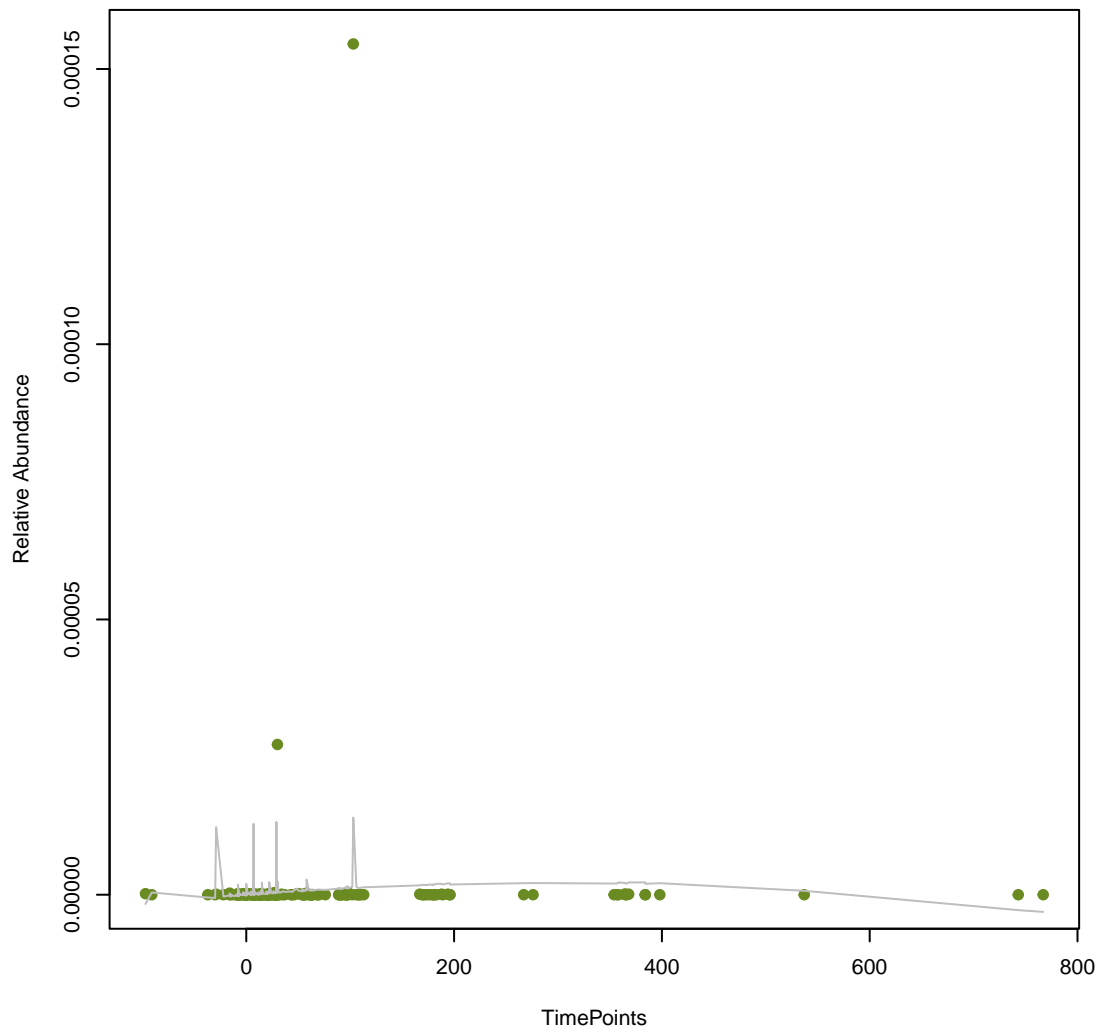
vsearch
YajC
ANOVA Pval: 0.433



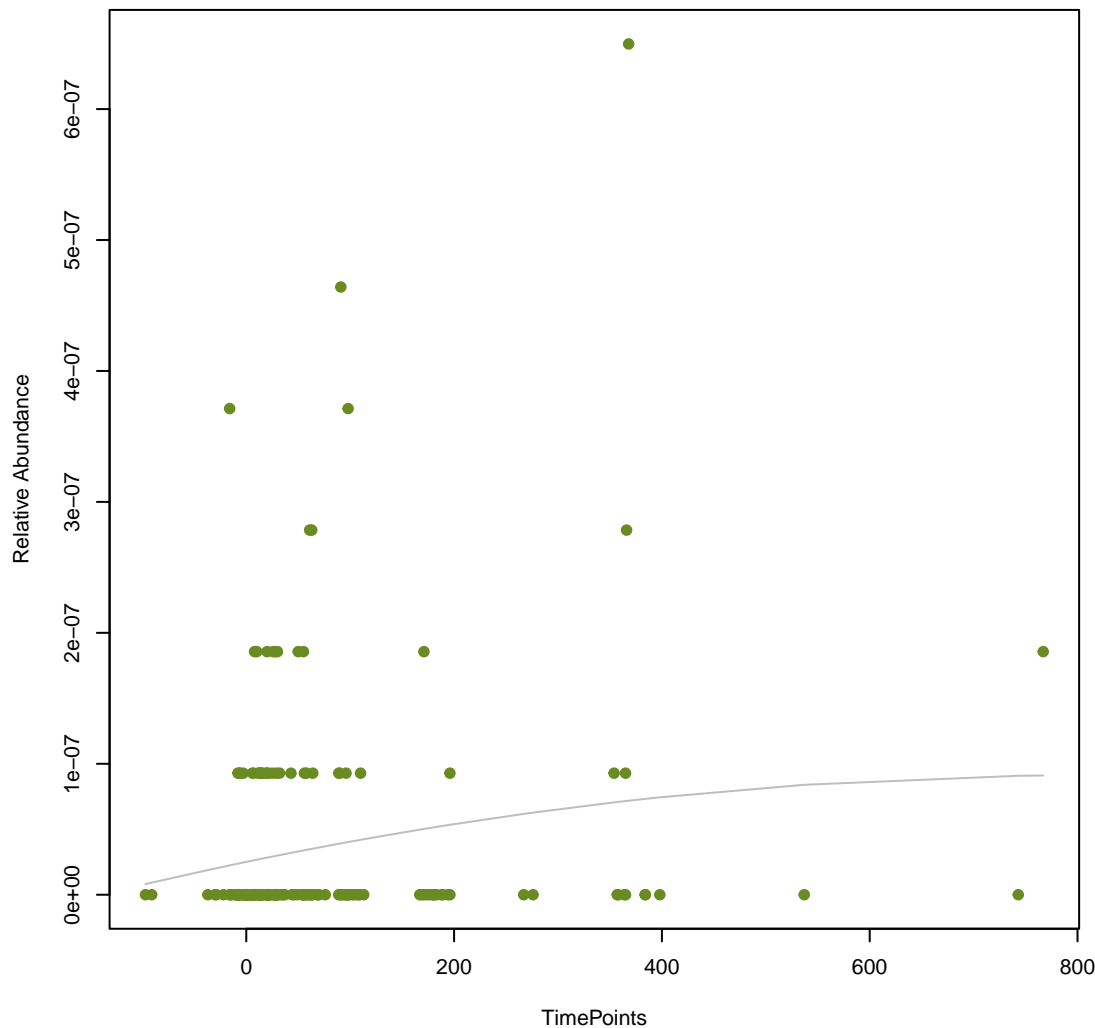
vsearch
Saur_mupA_MUP
ANOVA Pval: 0.659



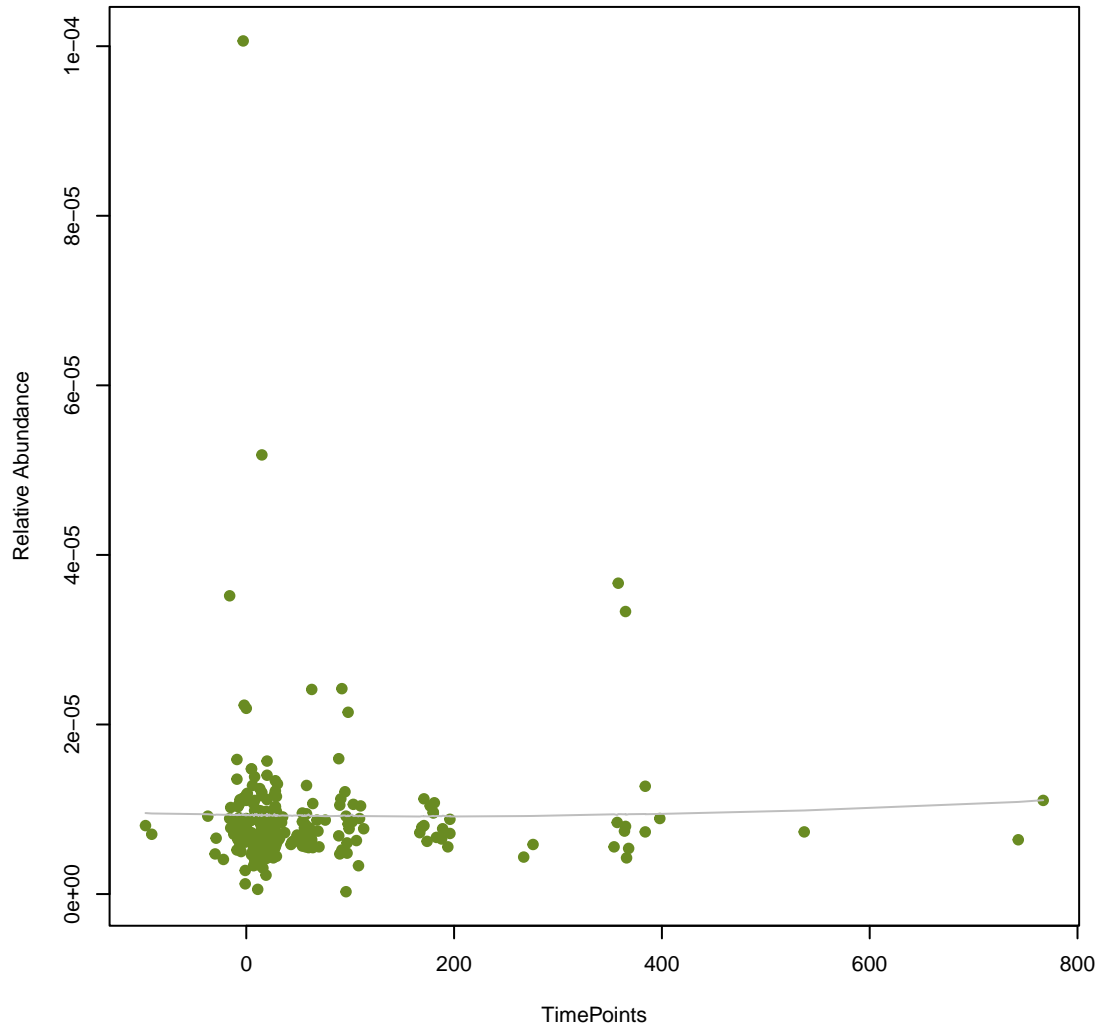
vsearch
APH(3')-IIb
ANOVA Pval: 0.546



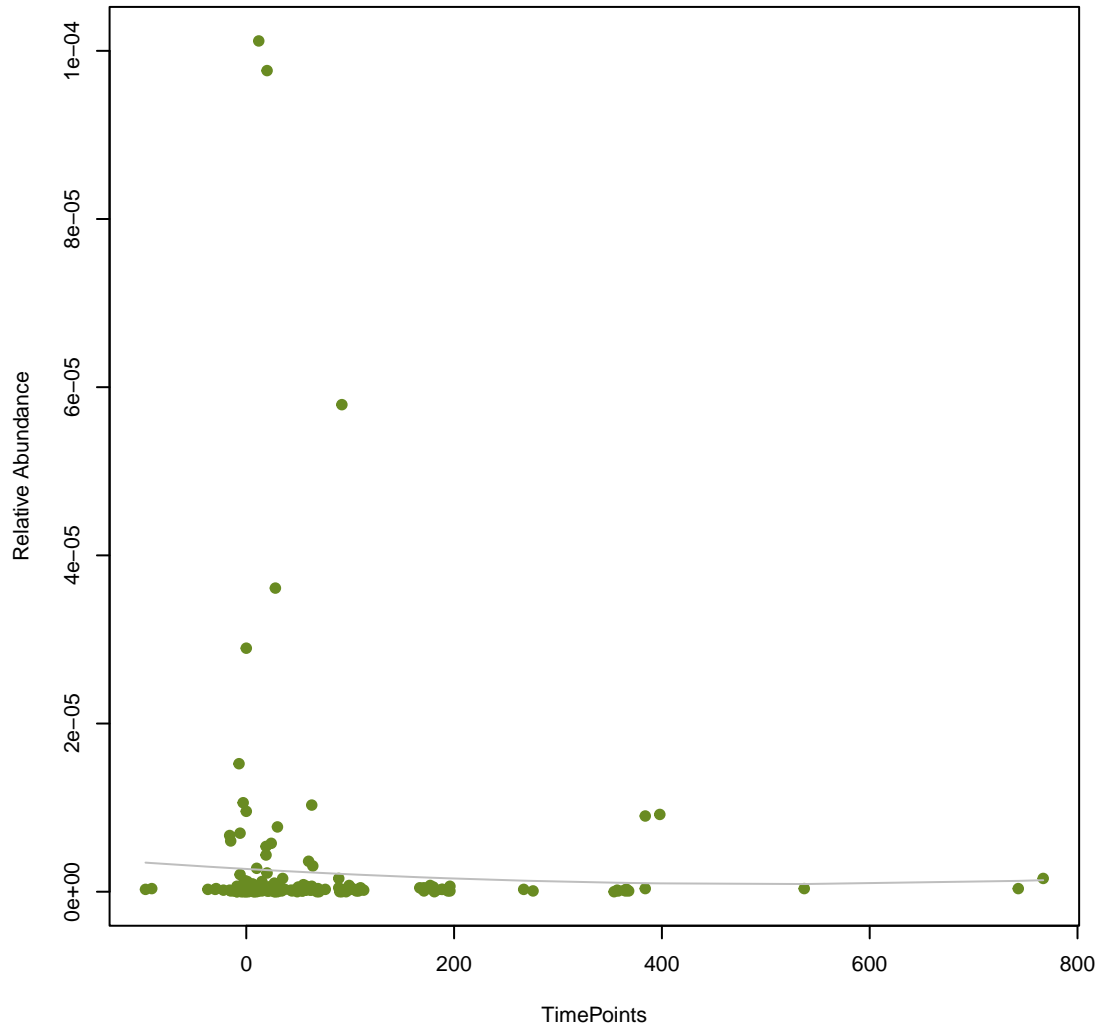
vsearch
tet(H)
ANOVA Pval: 0.0546



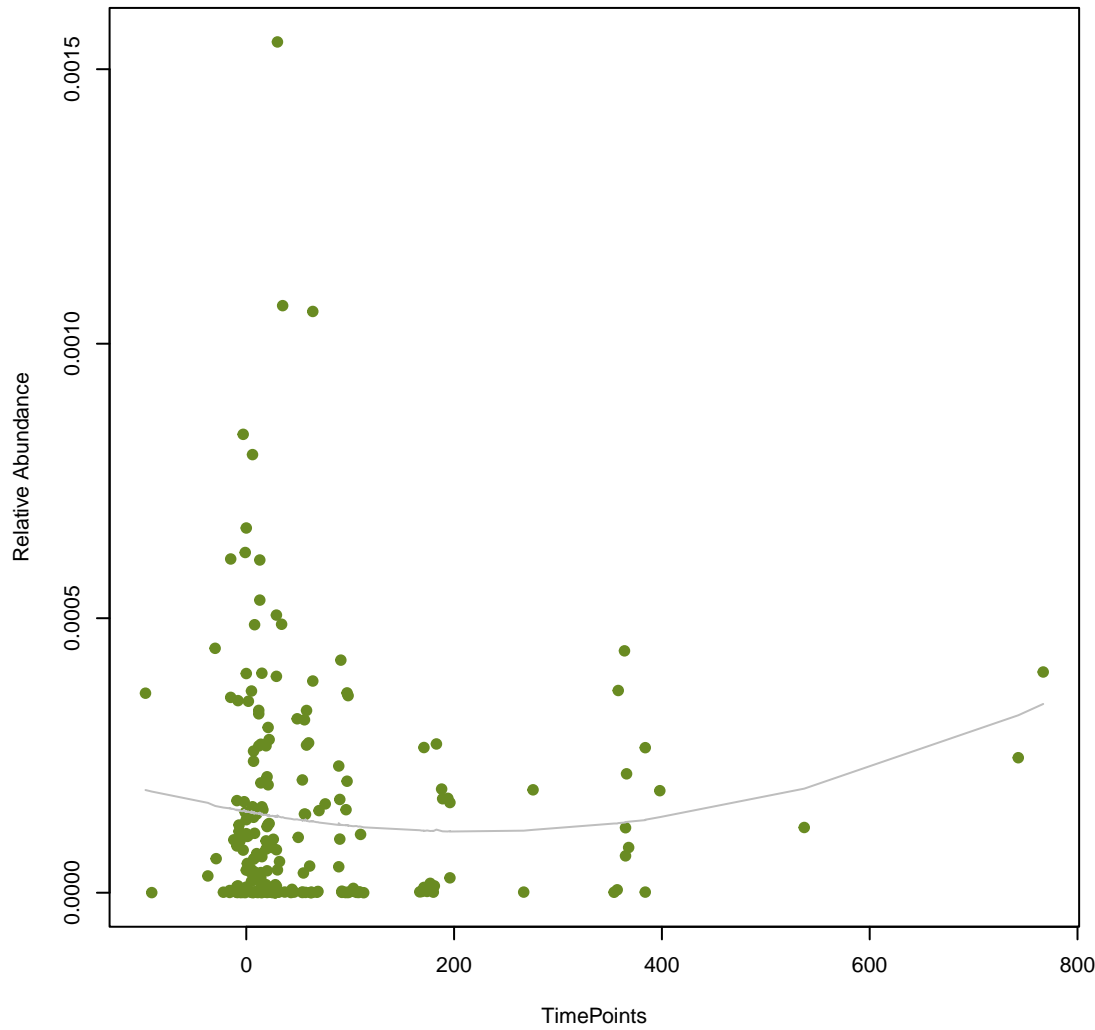
vsearch
qacH
ANOVA Pval: 0.954



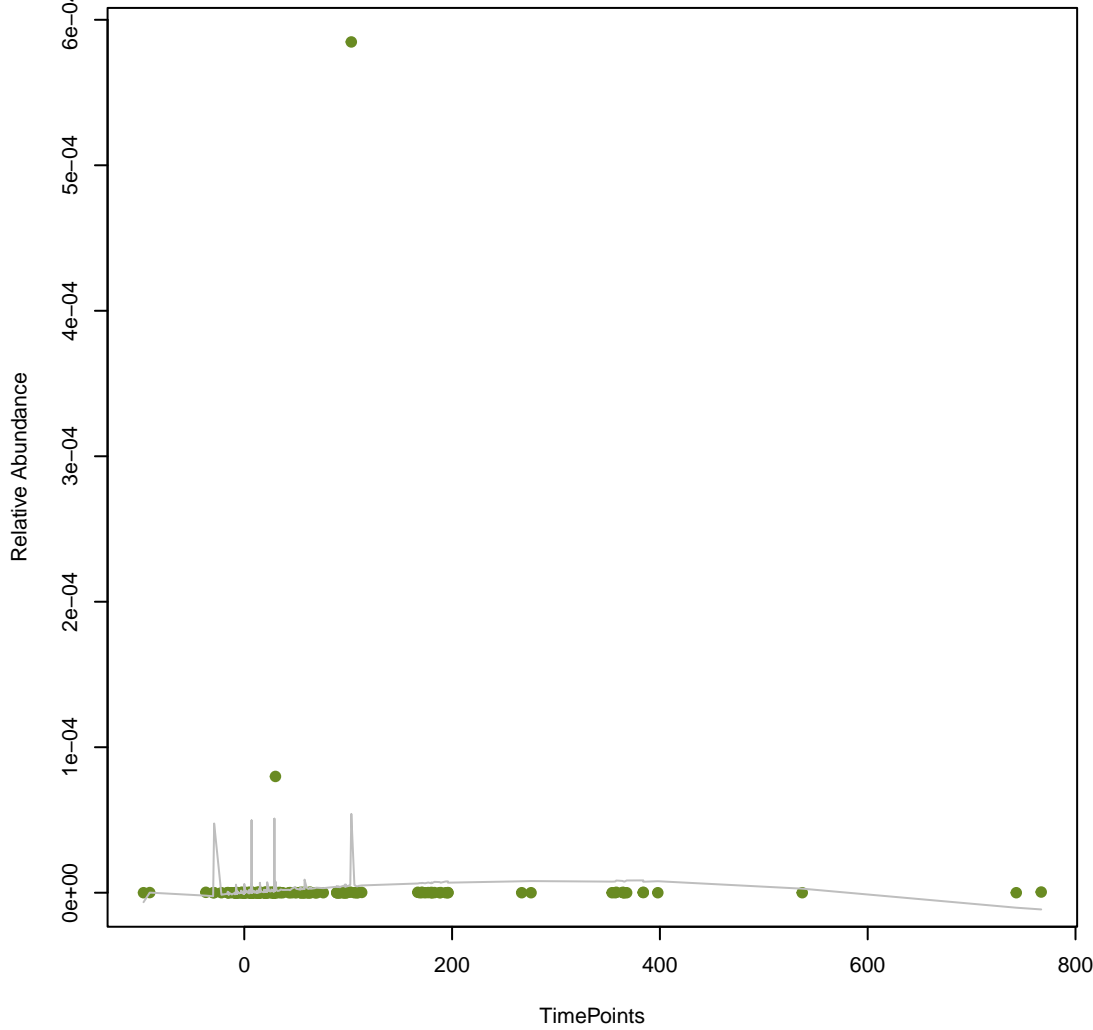
vsearch
Ecol_emrE
ANOVA Pval: 0.816



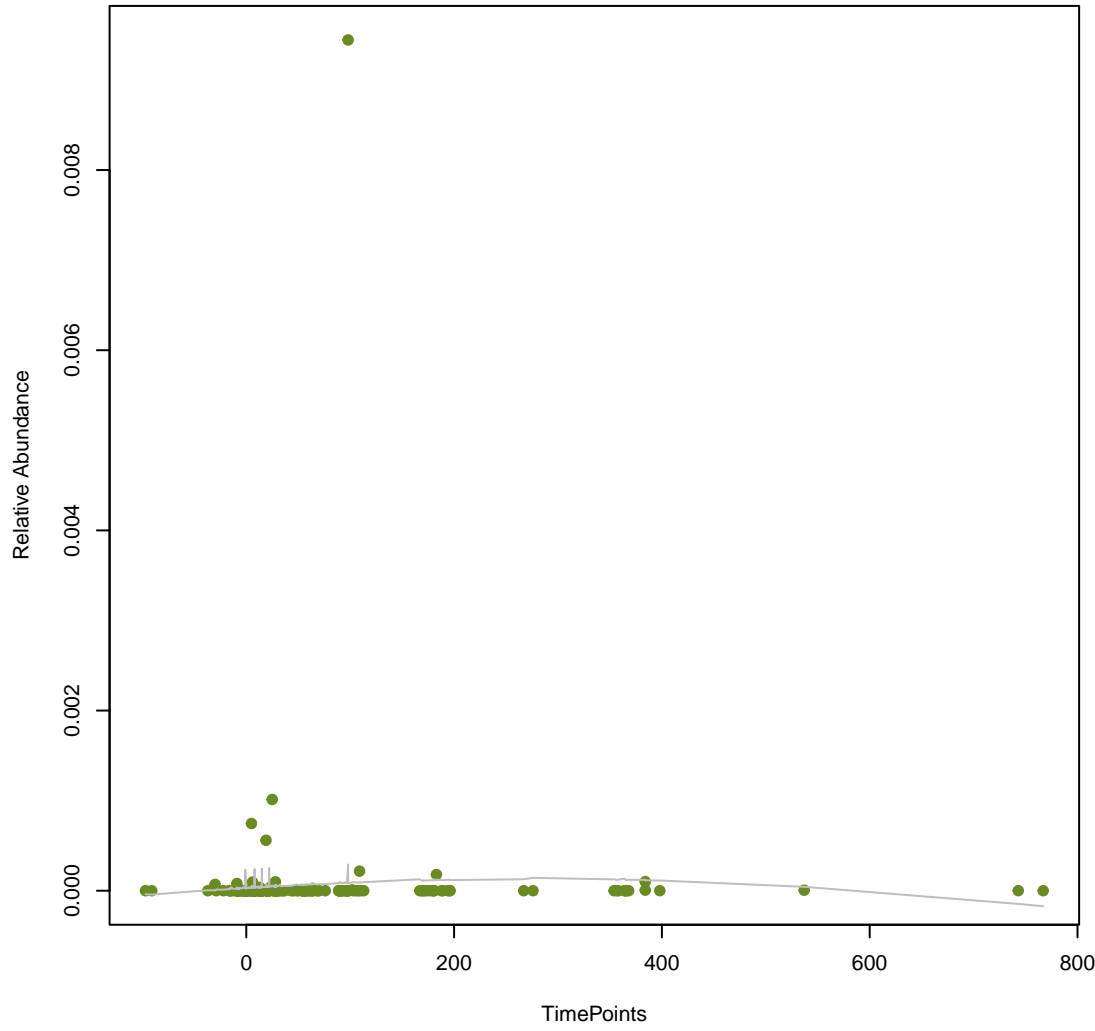
**vsearch
tetQ**
ANOVA Pval: 0.291



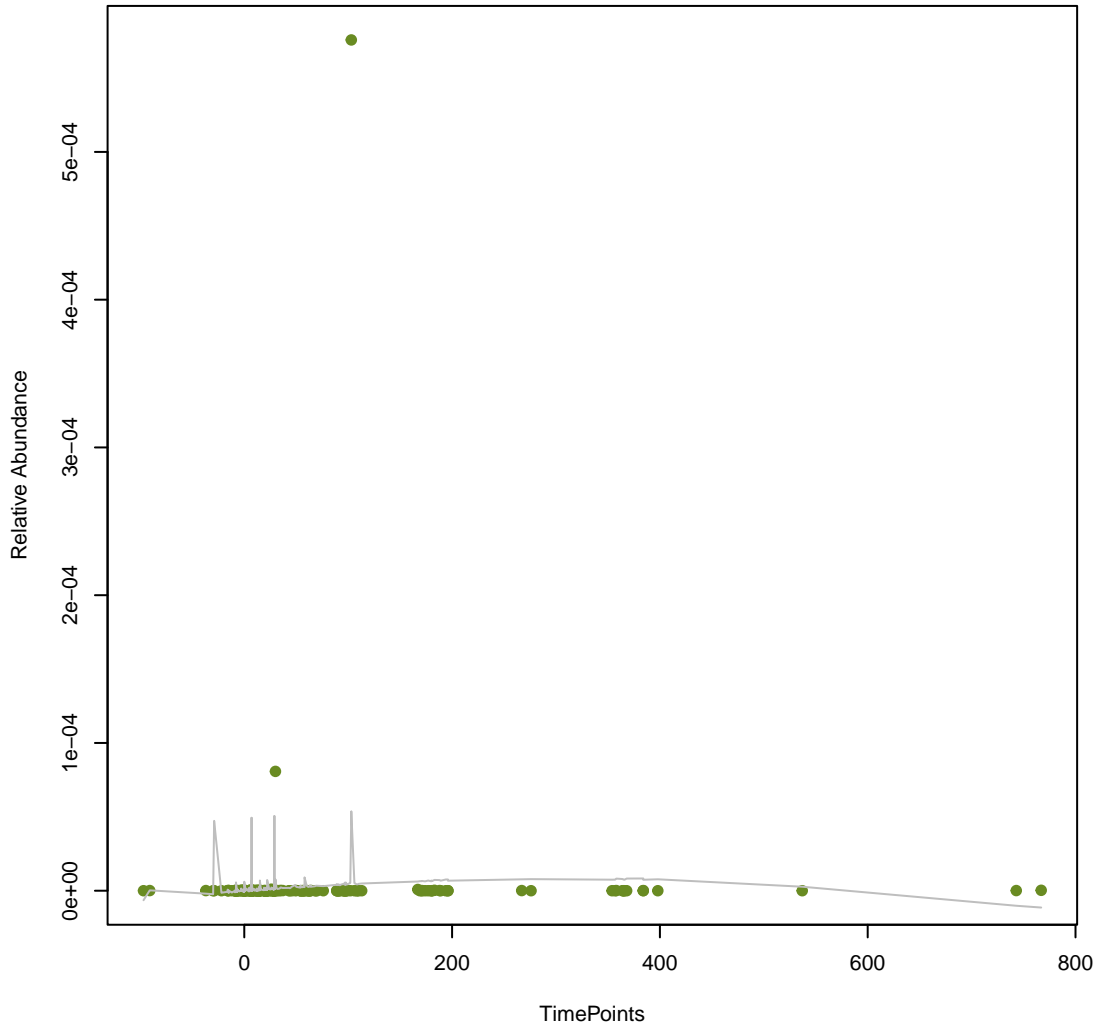
**vsearch
mexY**
ANOVA Pval: 0.54



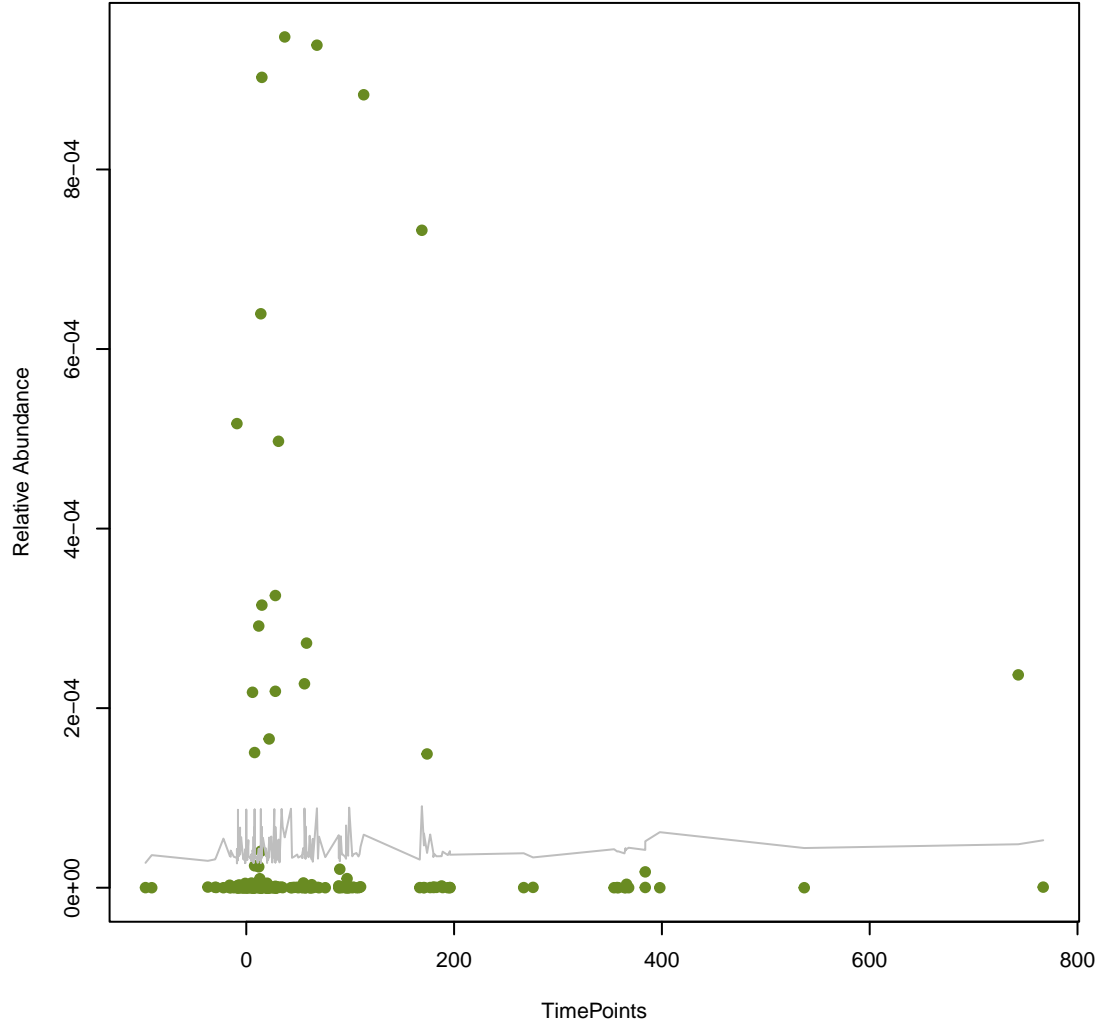
**vsearch
emeA**
ANOVA Pval: 0.688



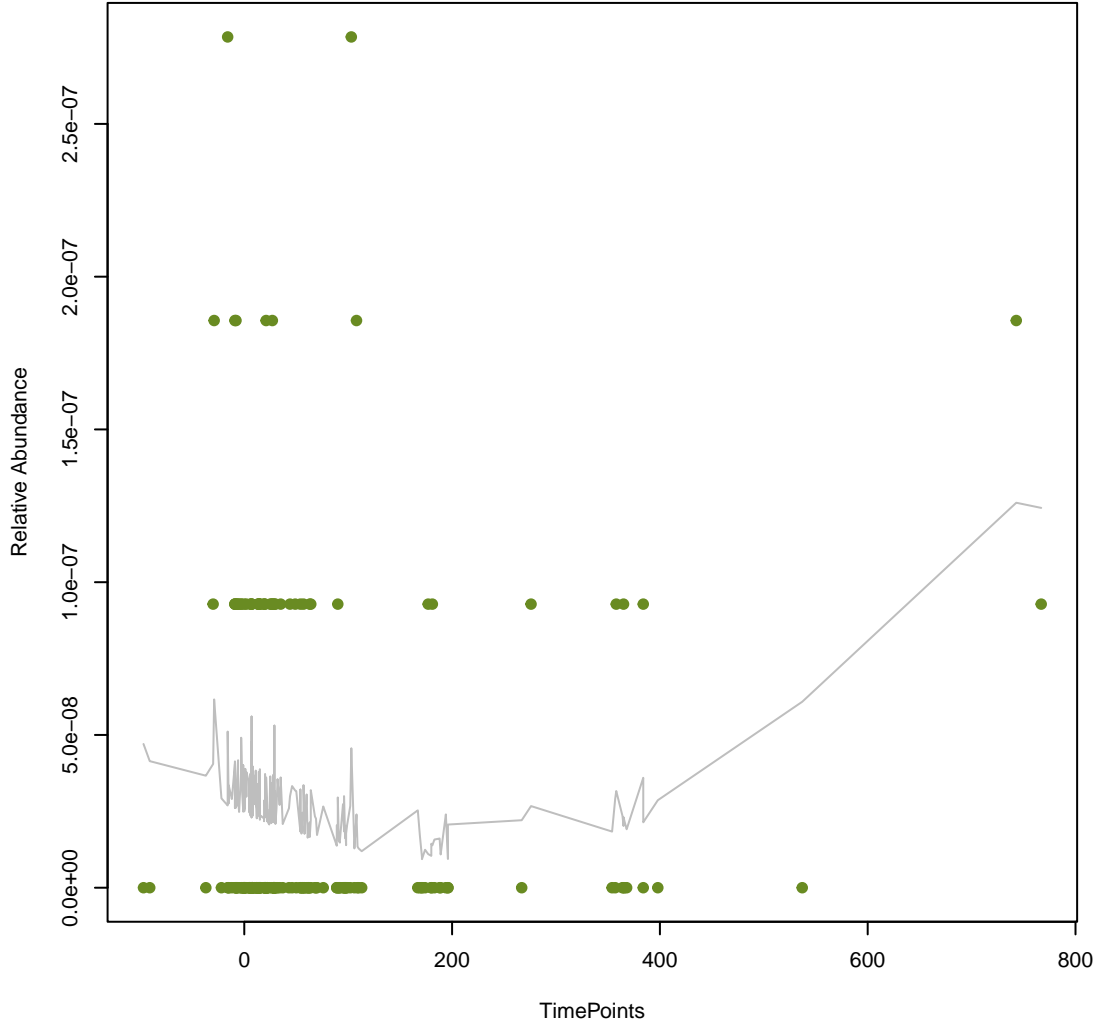
**vsearch
mexN**
ANOVA Pval: 0.542



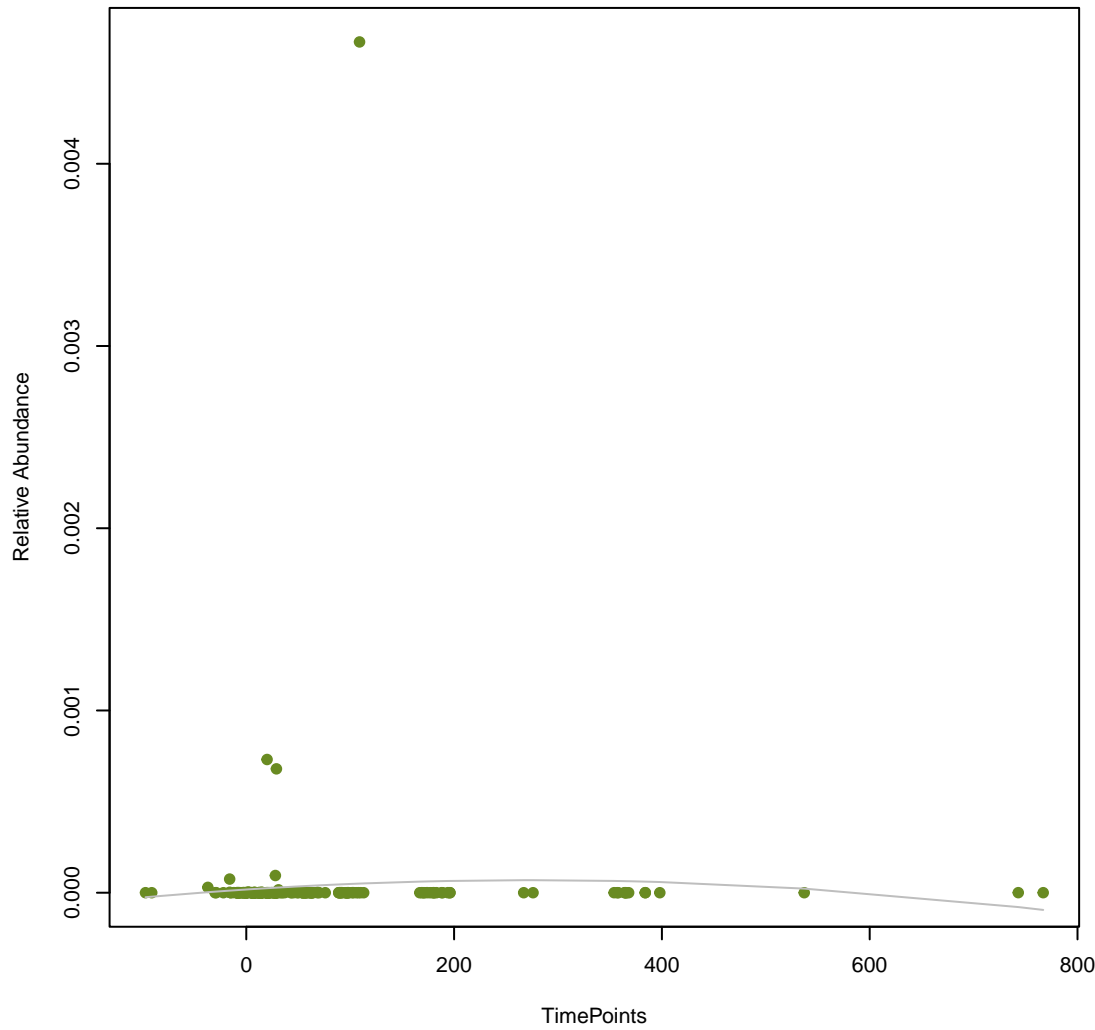
**vsearch
efmA**
ANOVA Pval: 0.97



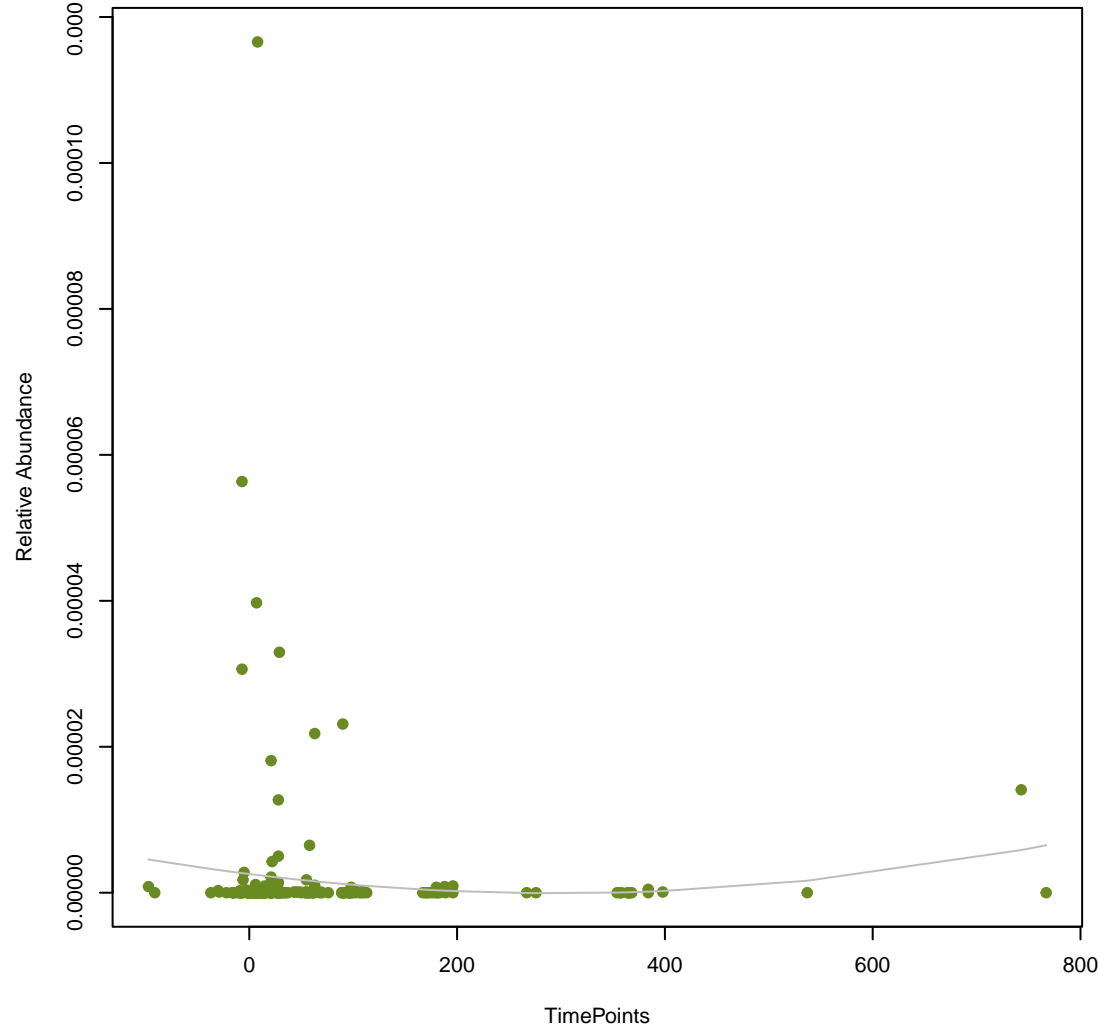
**vsearch
mecB**
ANOVA Pval: 0.0093



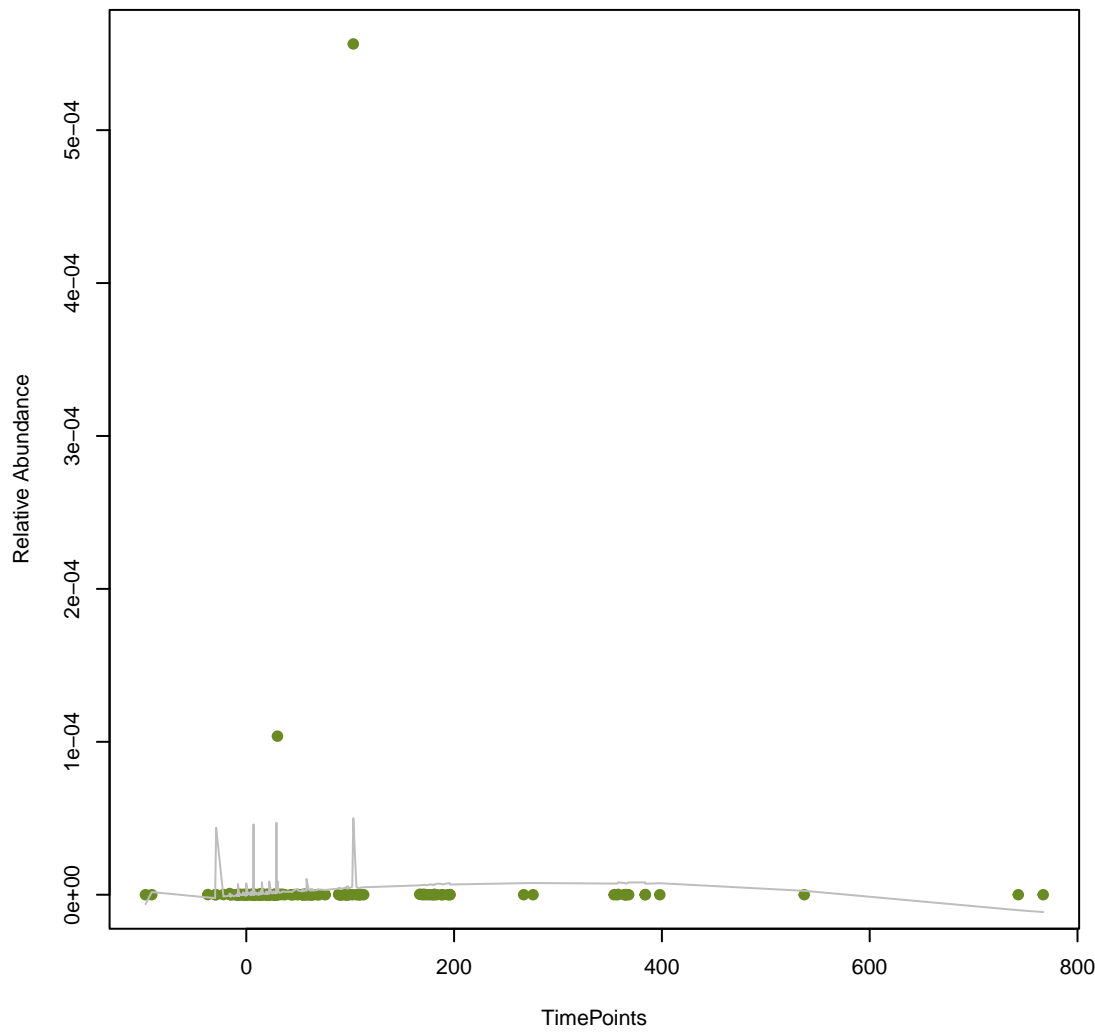
vsearch
qacA
ANOVA Pval: 0.67



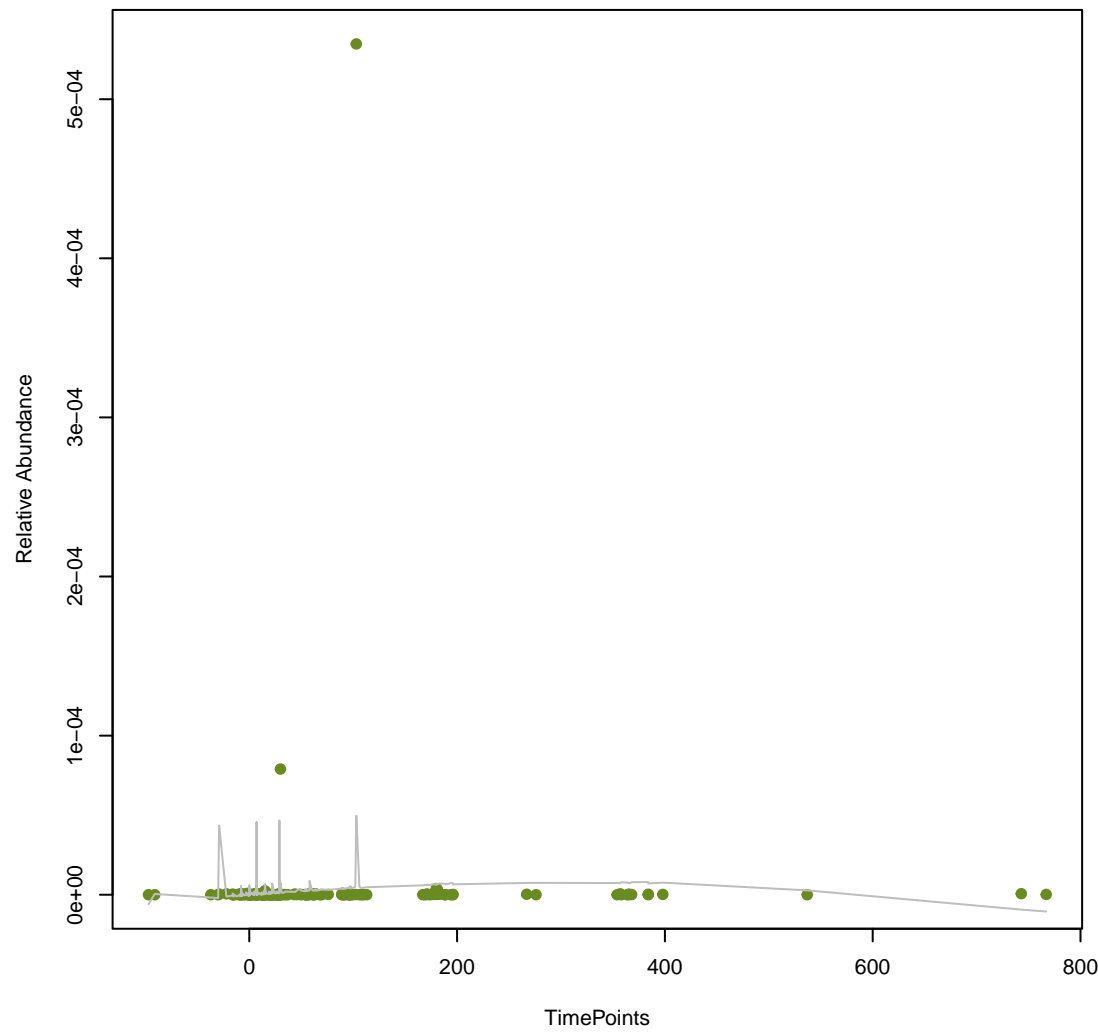
vsearch
KpnE_KpnG
ANOVA Pval: 0.398



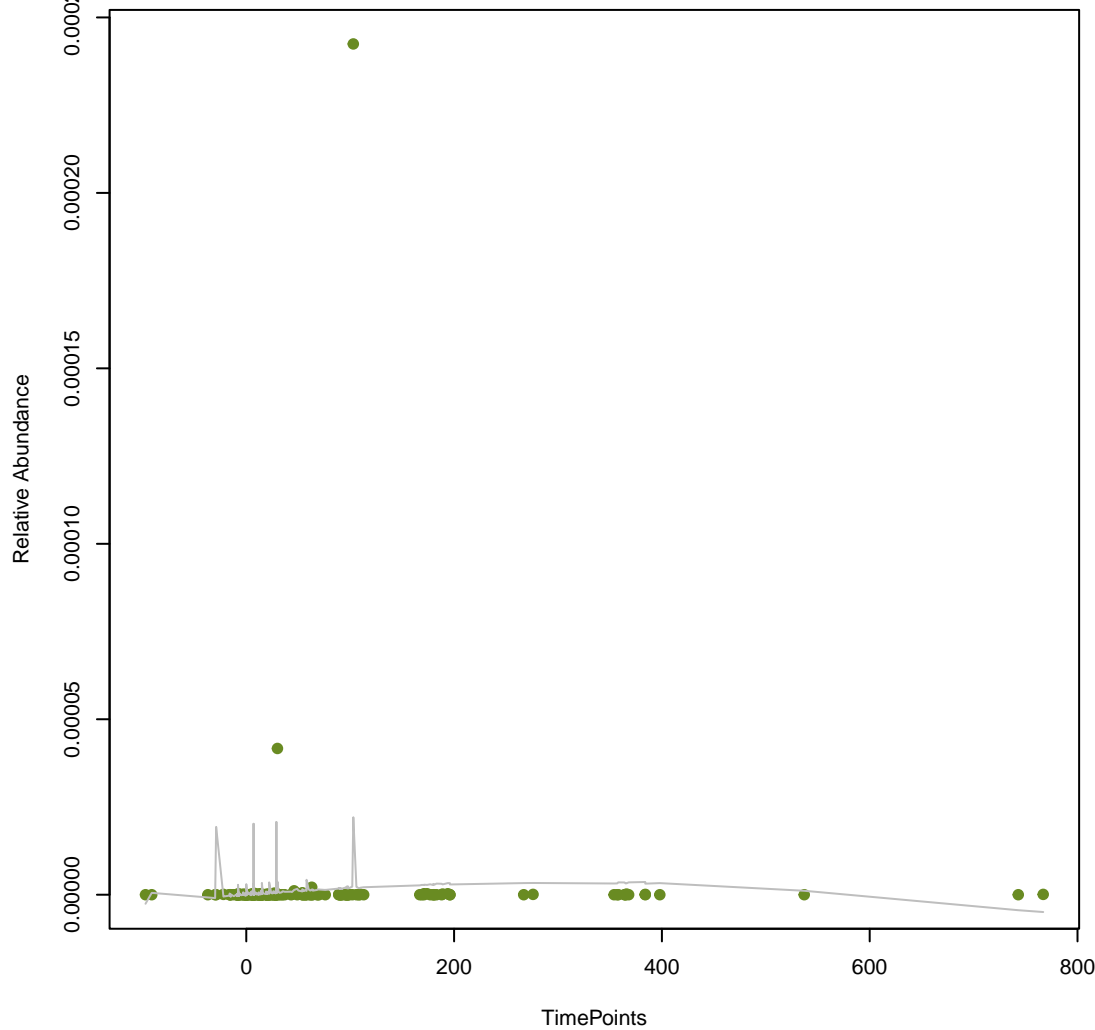
vsearch
TriC
ANOVA Pval: 0.544



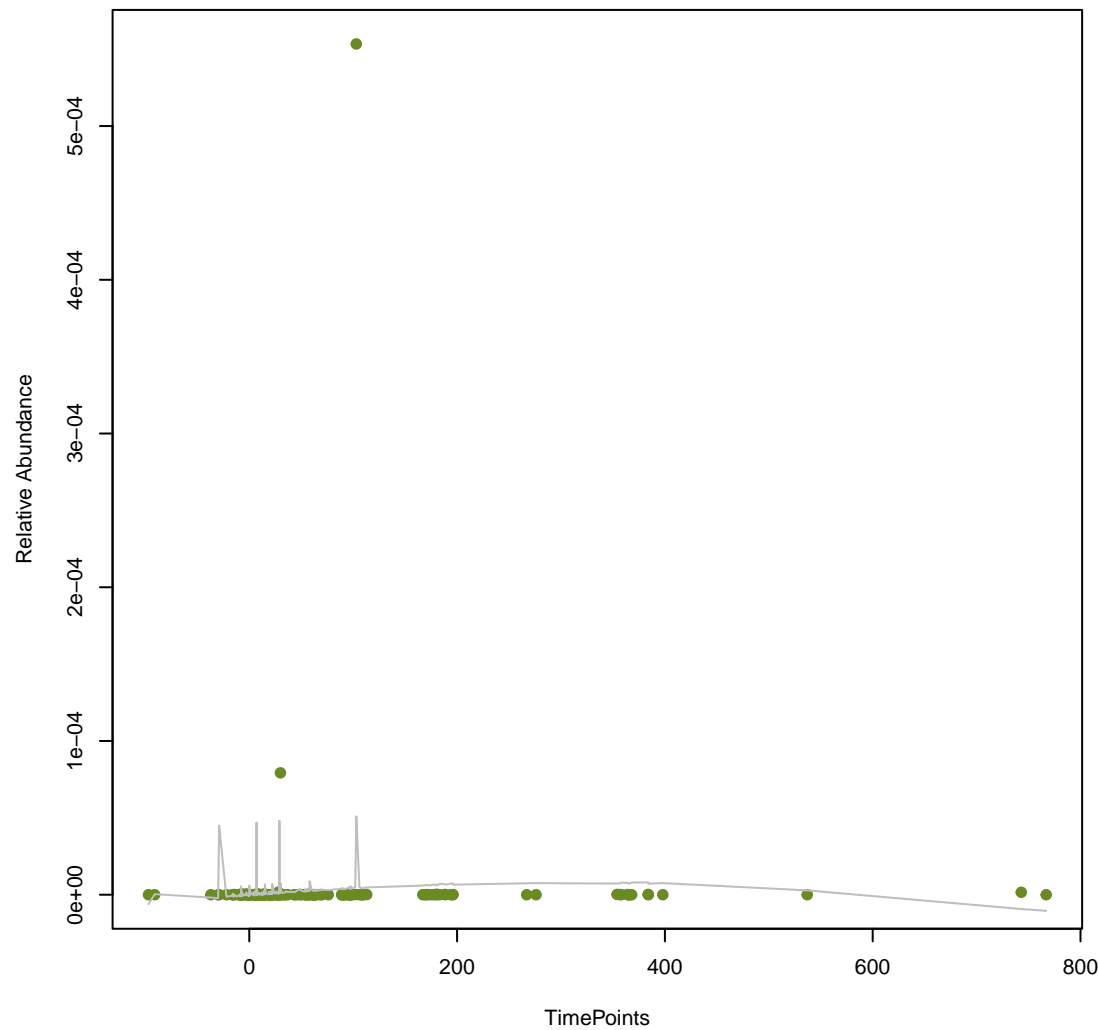
vsearch
MexF
ANOVA Pval: 0.531



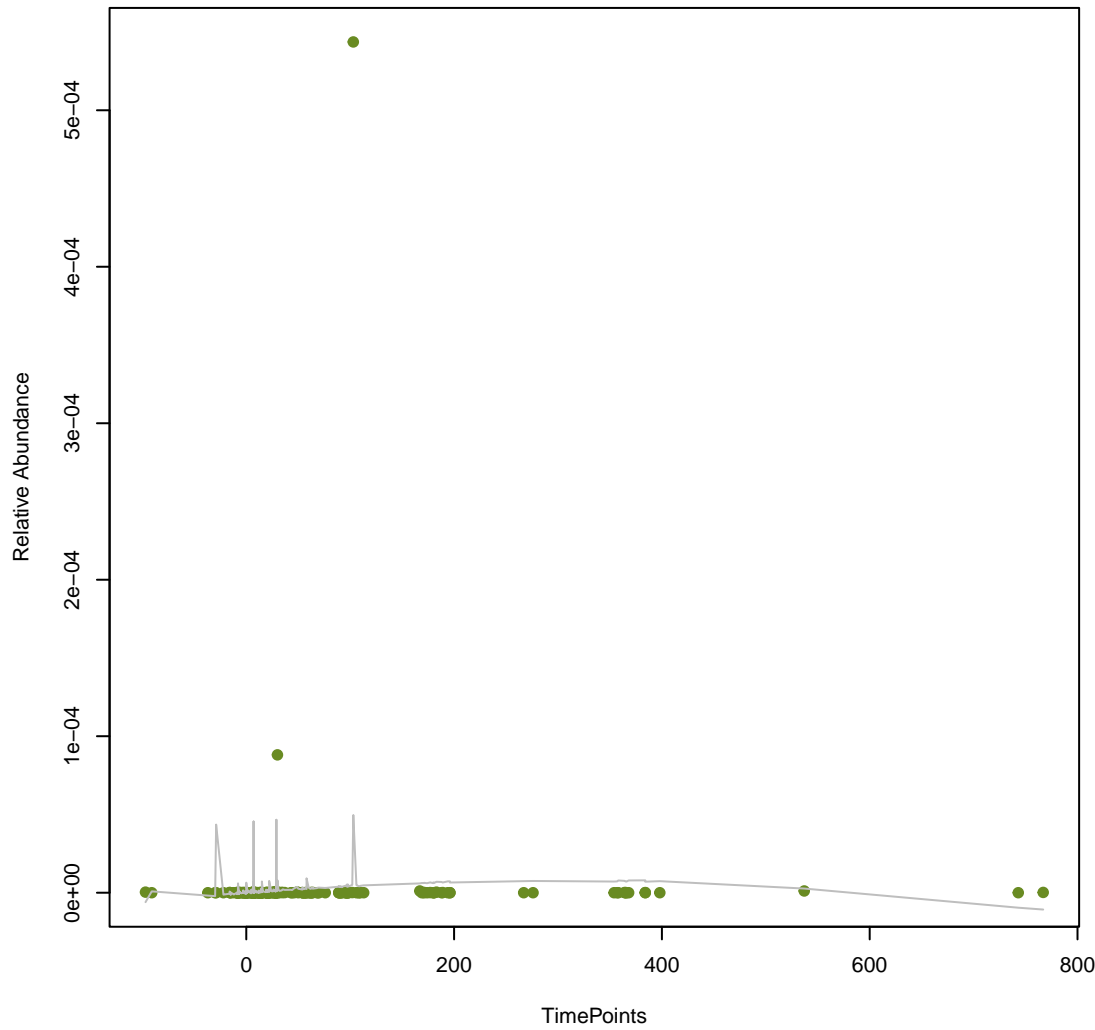
vsearch
OprM
ANOVA Pval: 0.539



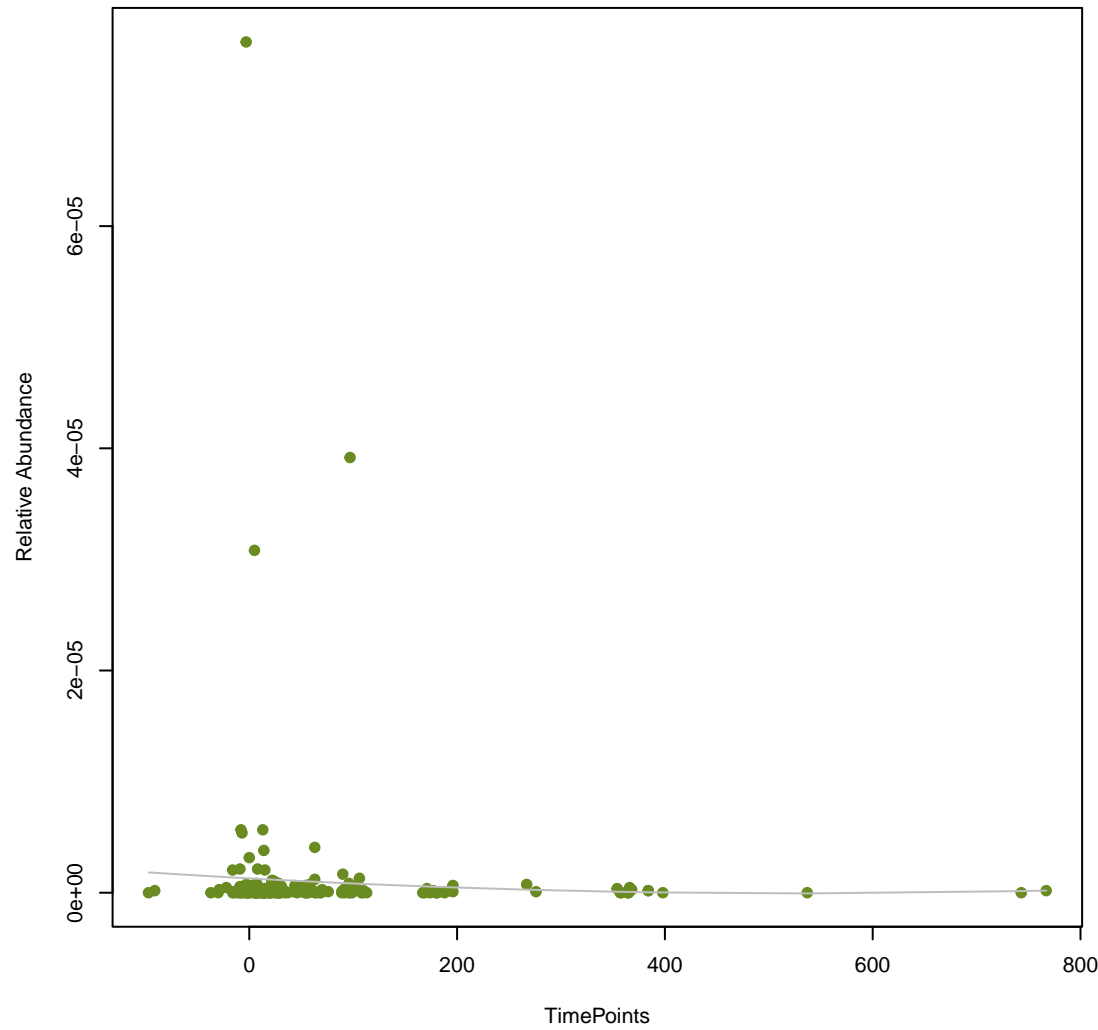
vsearch
MuxB
ANOVA Pval: 0.548



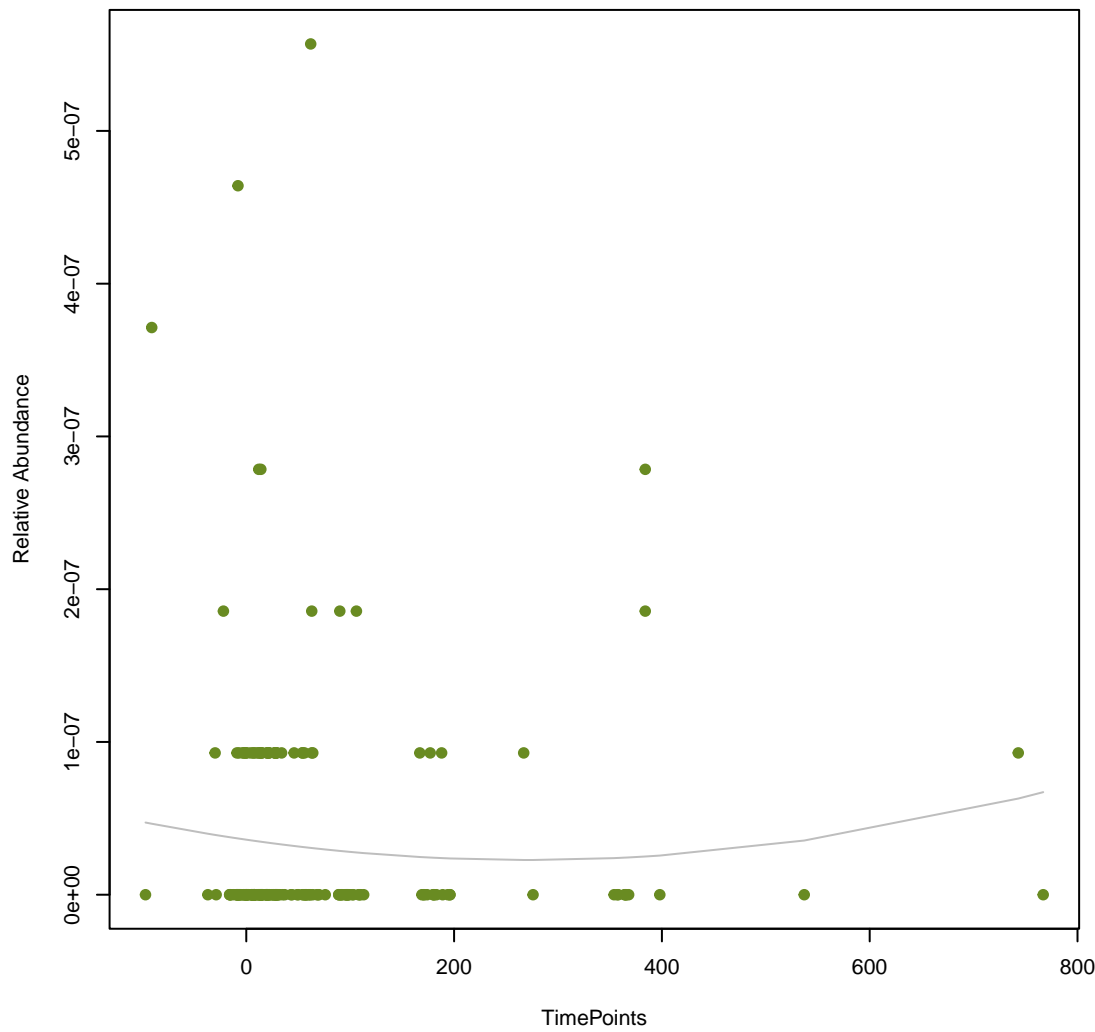
vsearch
MexK
ANOVA Pval: 0.541



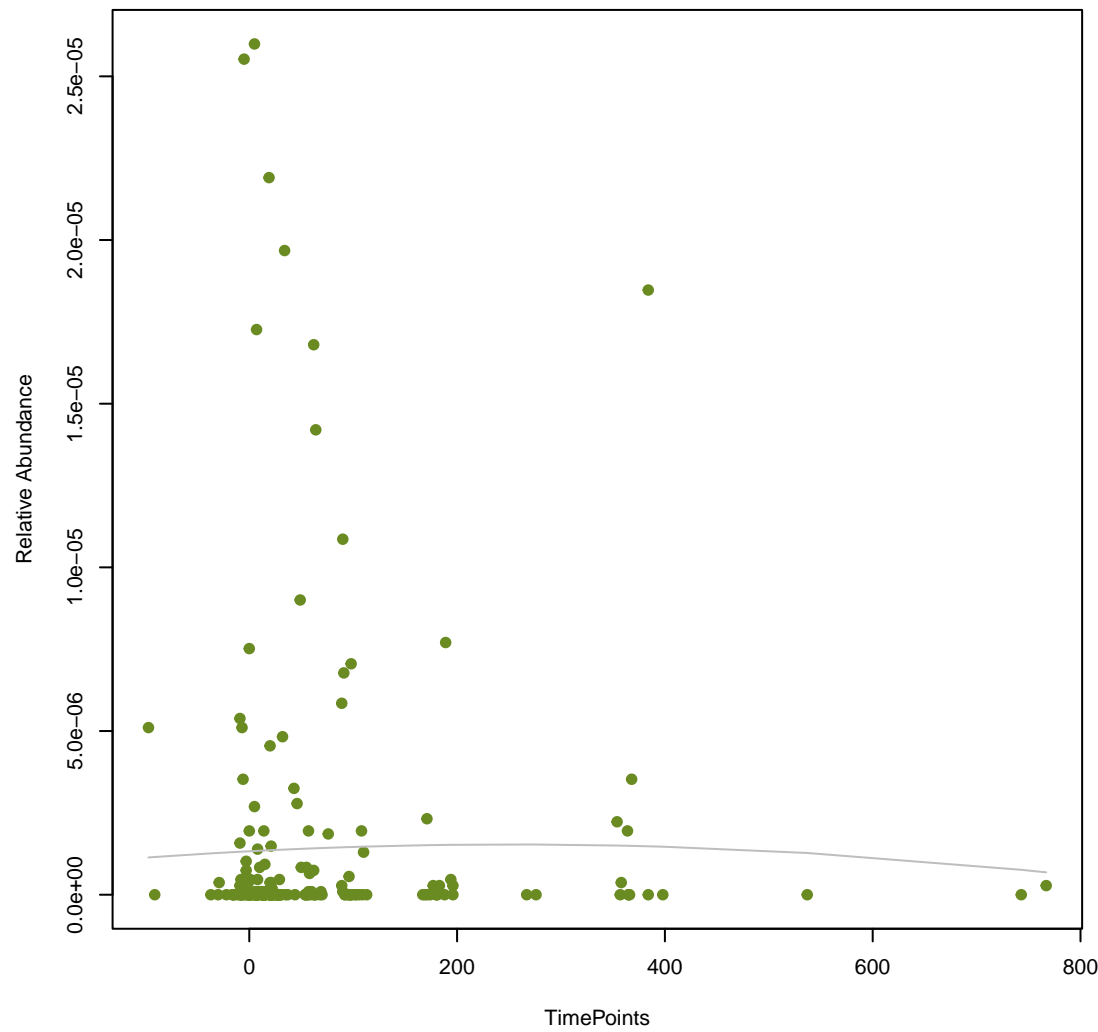
vsearch
patA
ANOVA Pval: 0.715



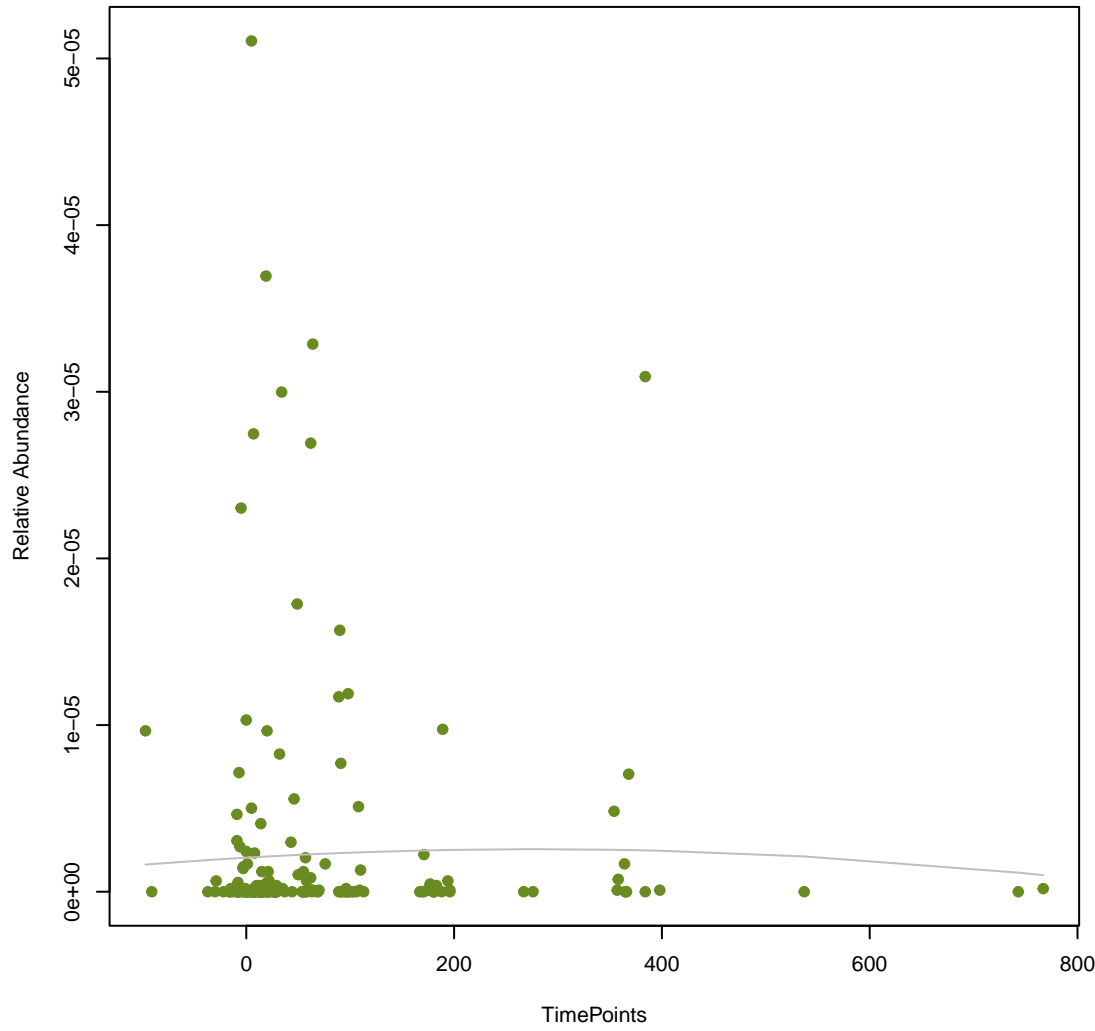
vsearch
vanR_in_vanF_cl
ANOVA Pval: 0.584



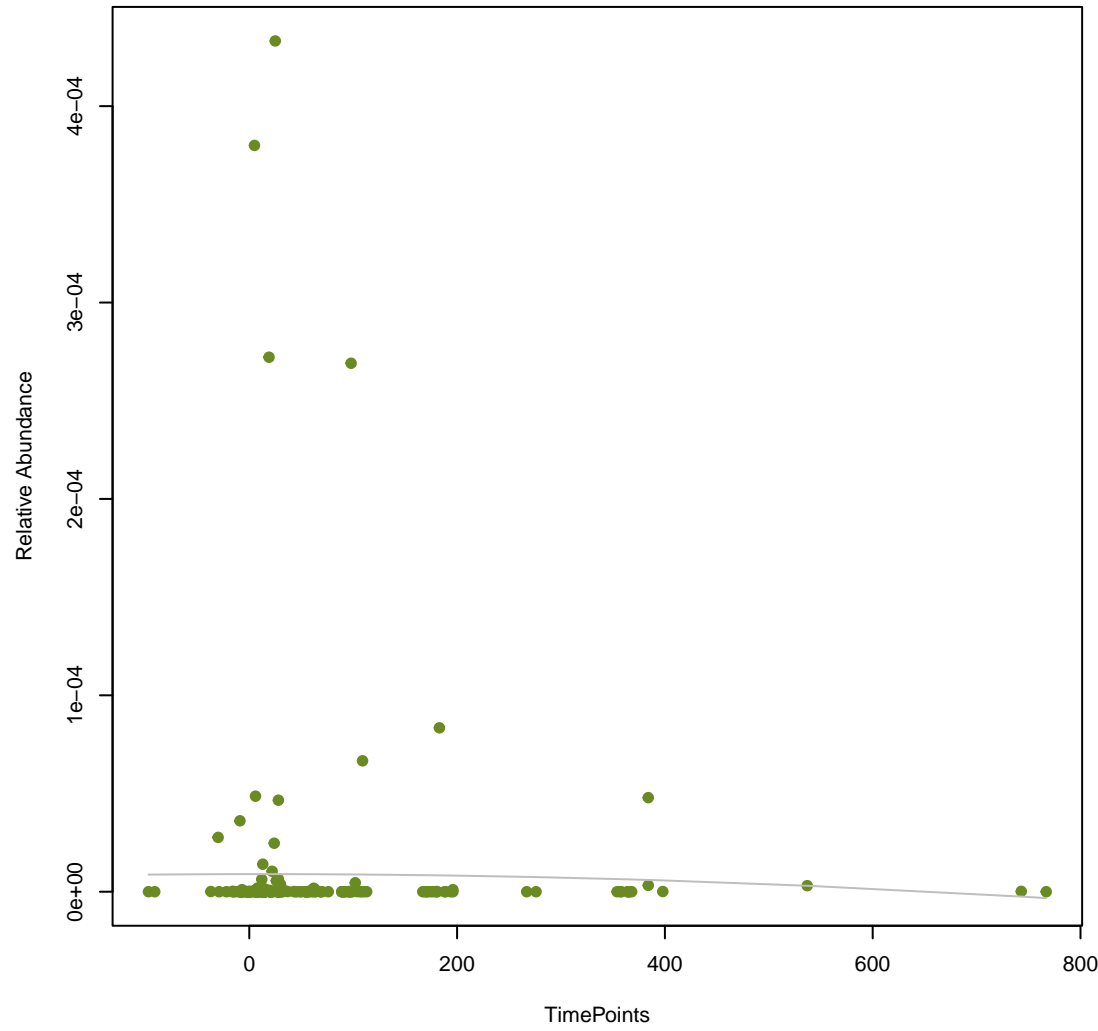
vsearch
AAC(6')-Im
ANOVA Pval: 0.947



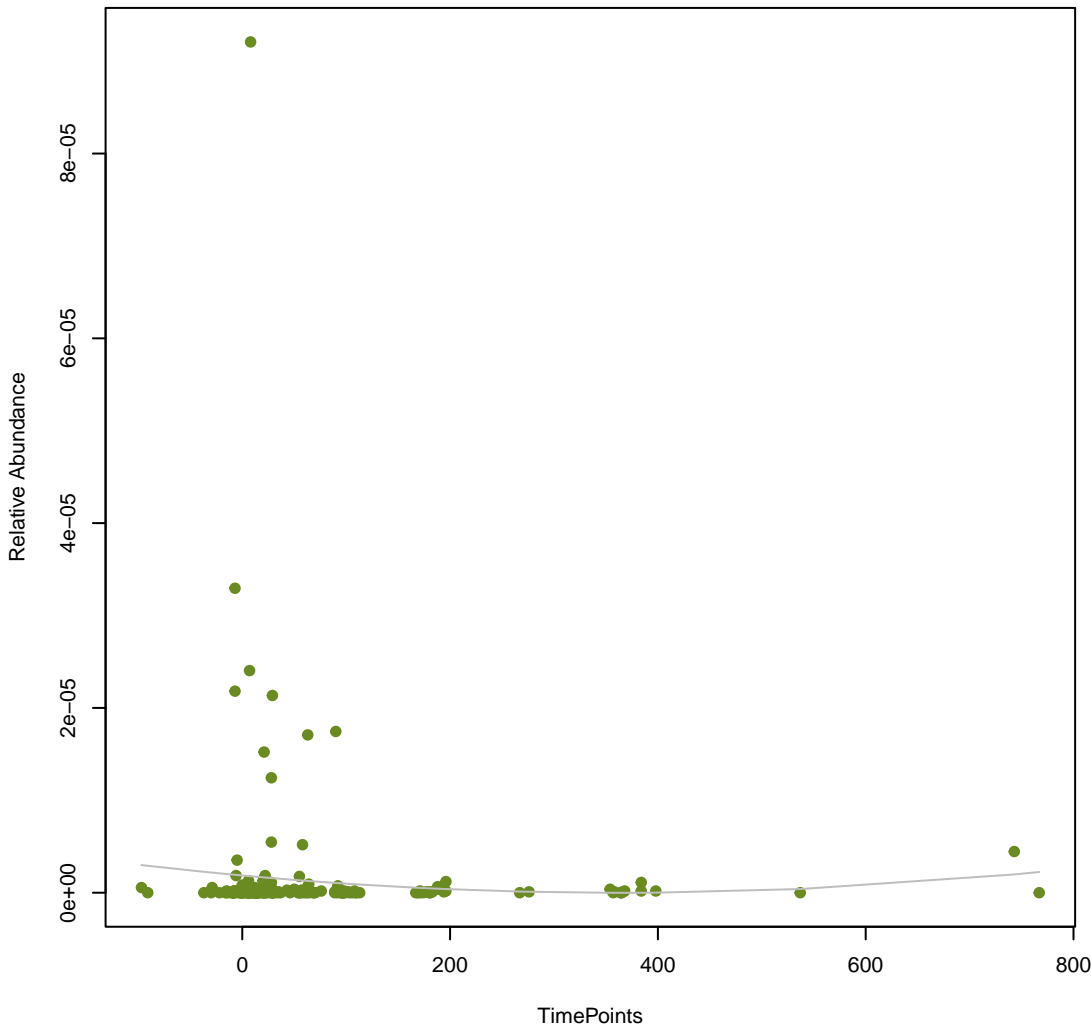
vsearch
APH(2'')-IIa
ANOVA Pval: 0.914



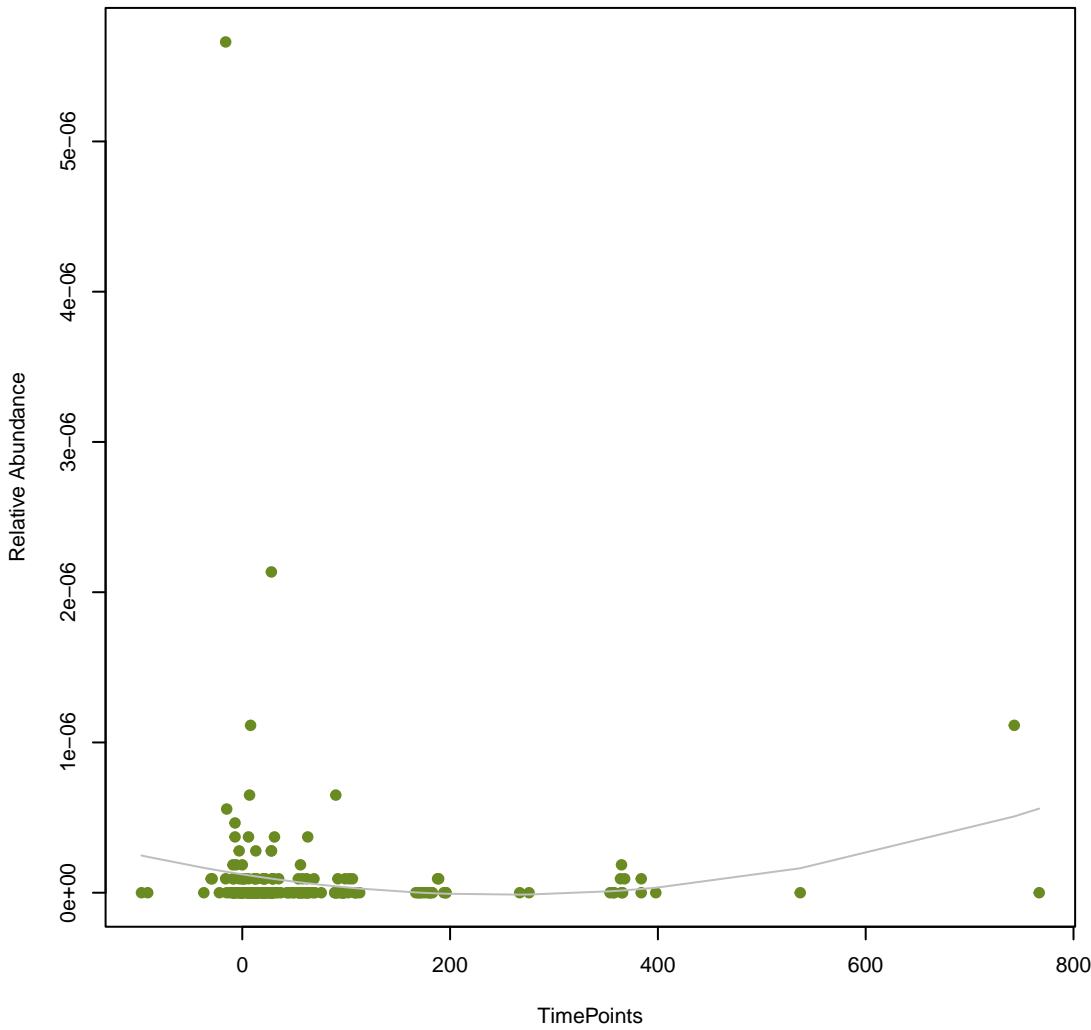
vsearch
dfrE
ANOVA Pval: 0.921



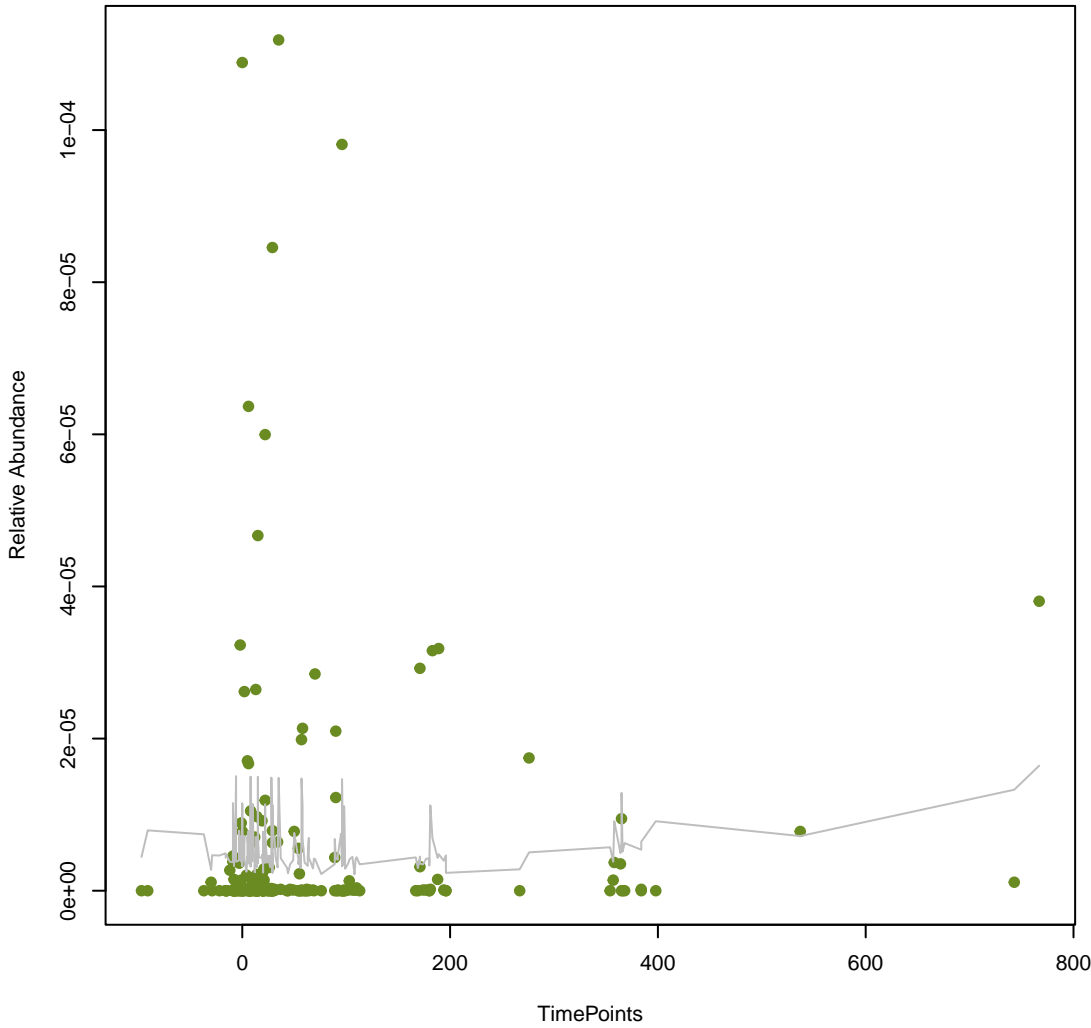
vsearch
Kpne_OmpK37
ANOVA Pval: 0.538



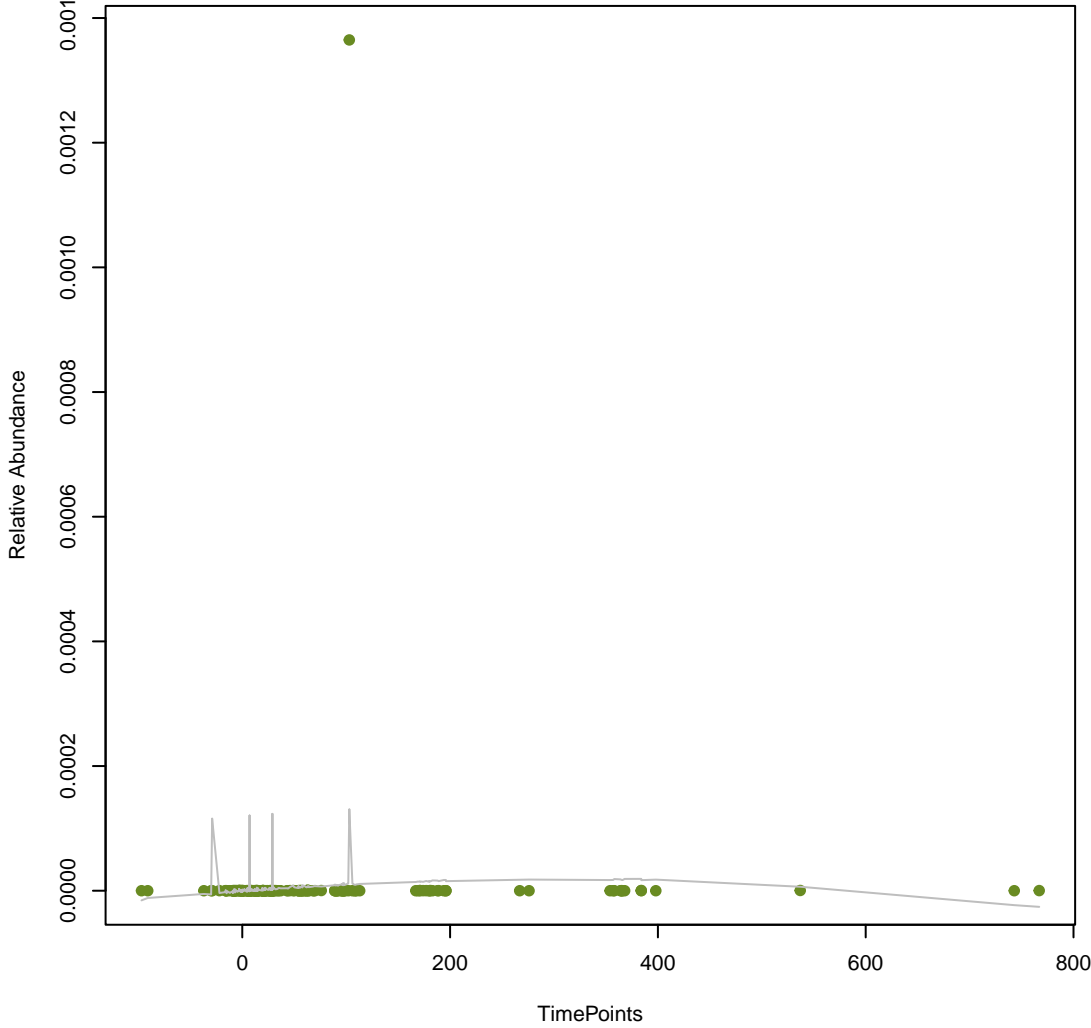
vsearch
smeE
ANOVA Pval: 0.112



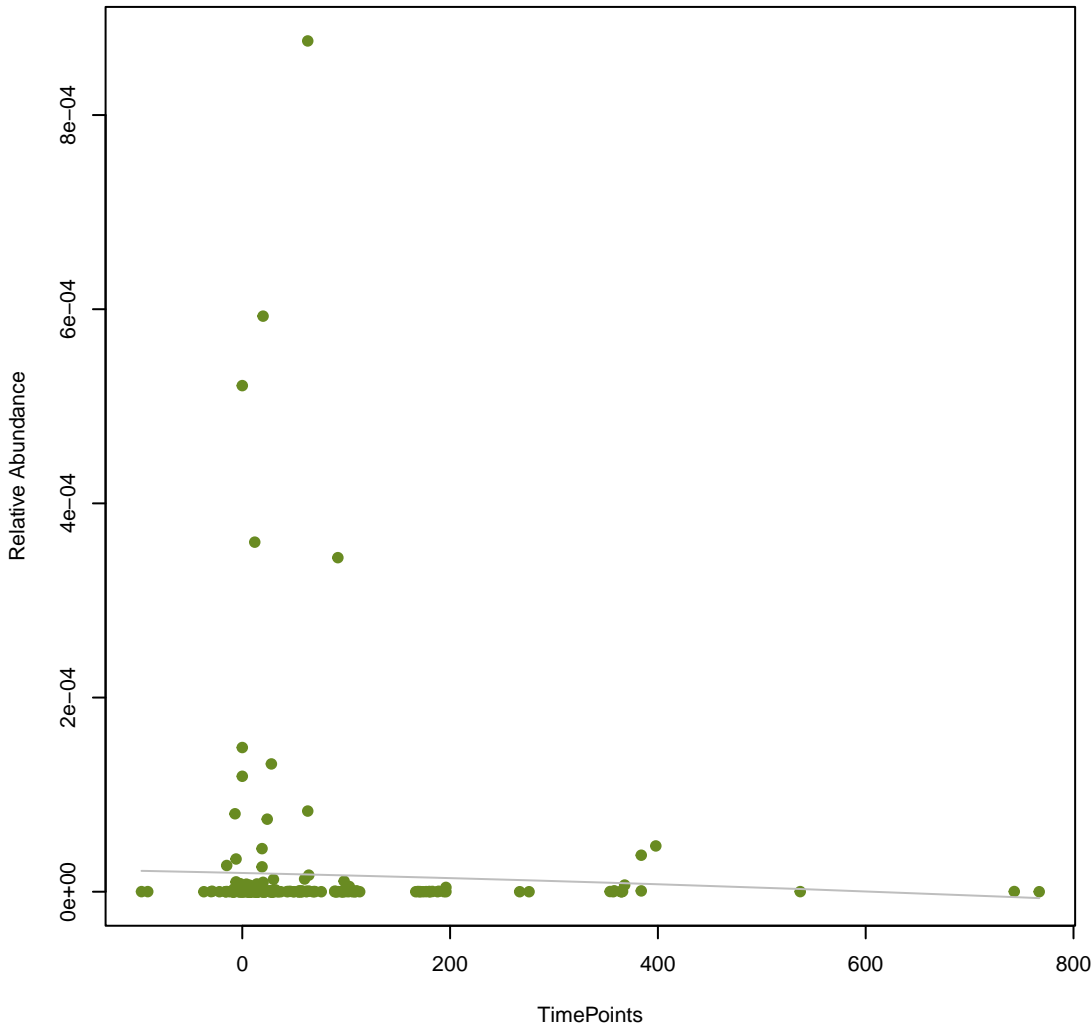
vsearch
Tet(X1)
ANOVA Pval: 0.561



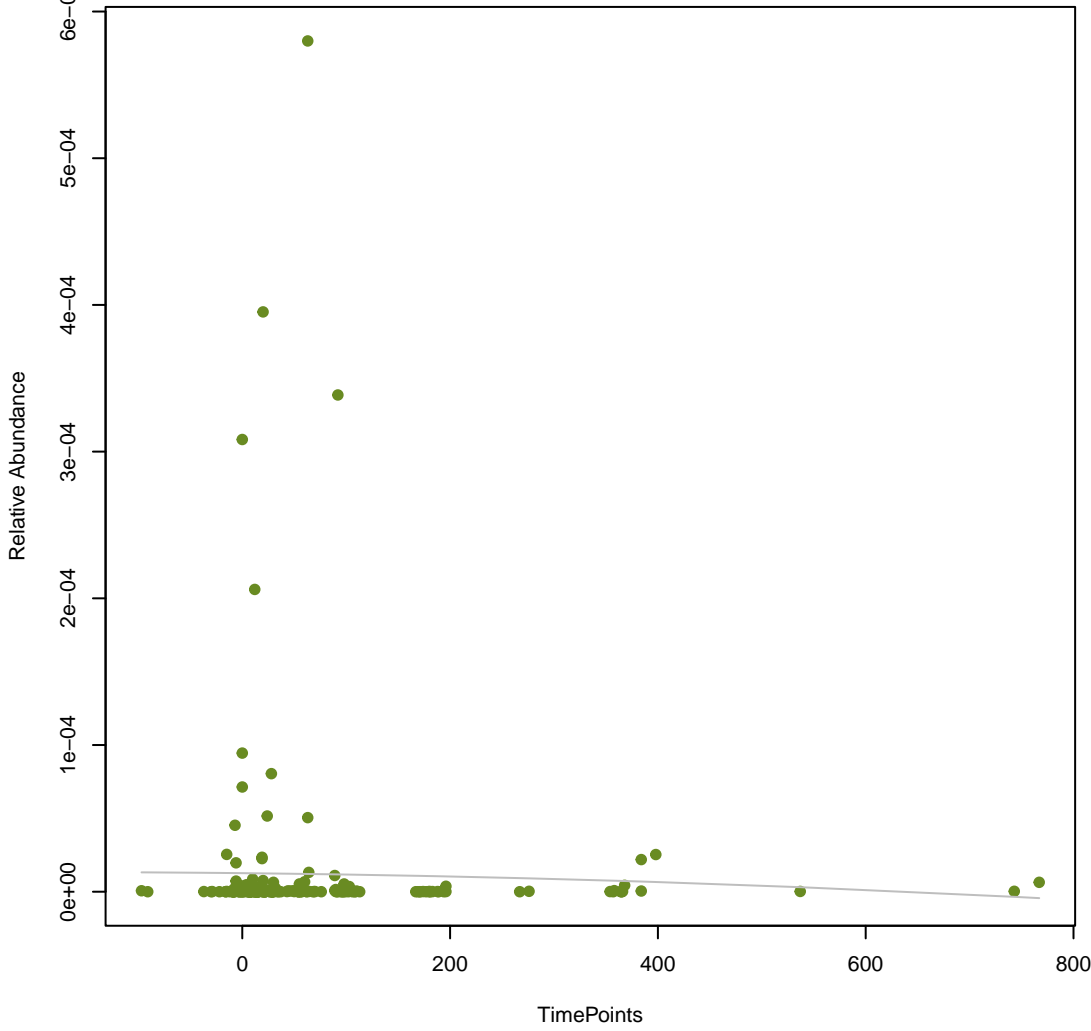
vsearch
Lmon_mprF
ANOVA Pval: 0.546



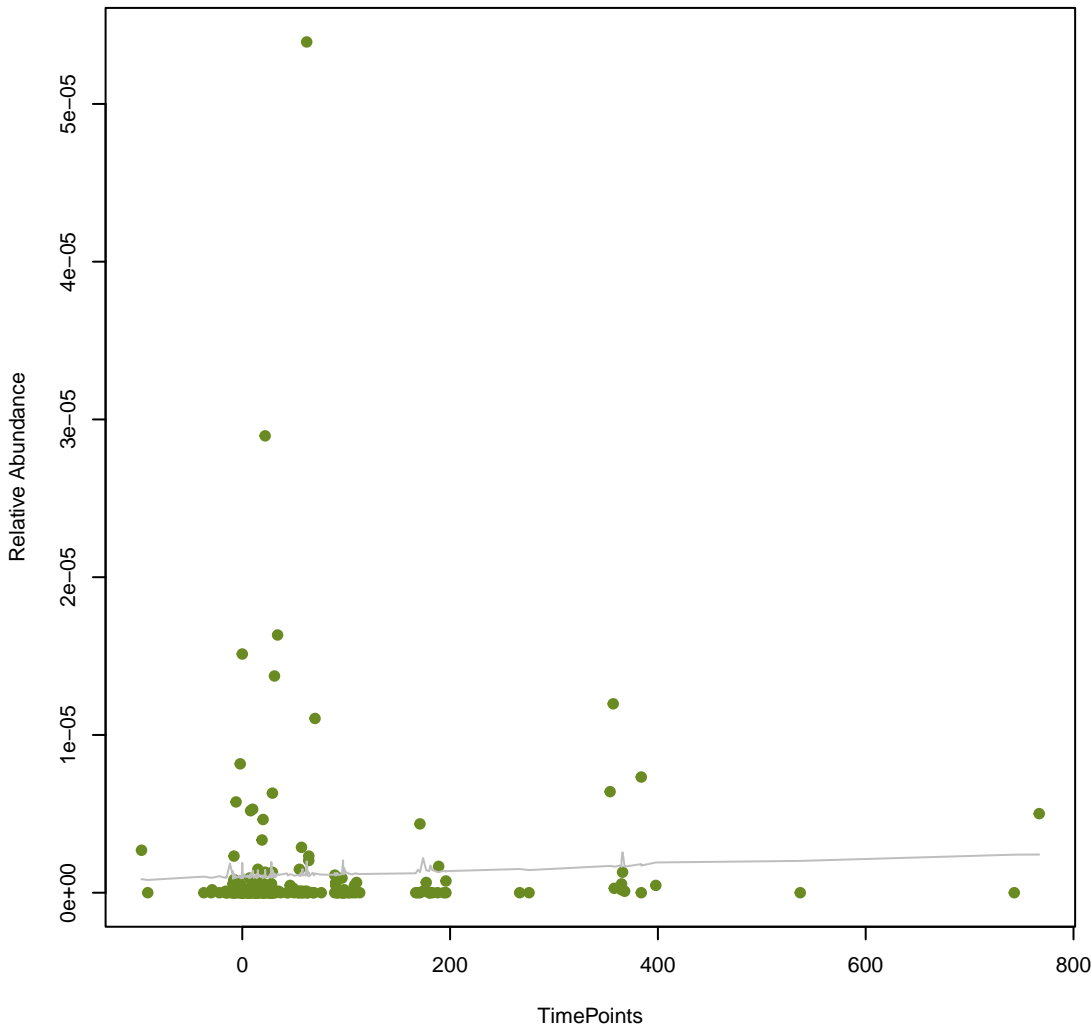
vsearch
eptA
ANOVA Pval: 0.84



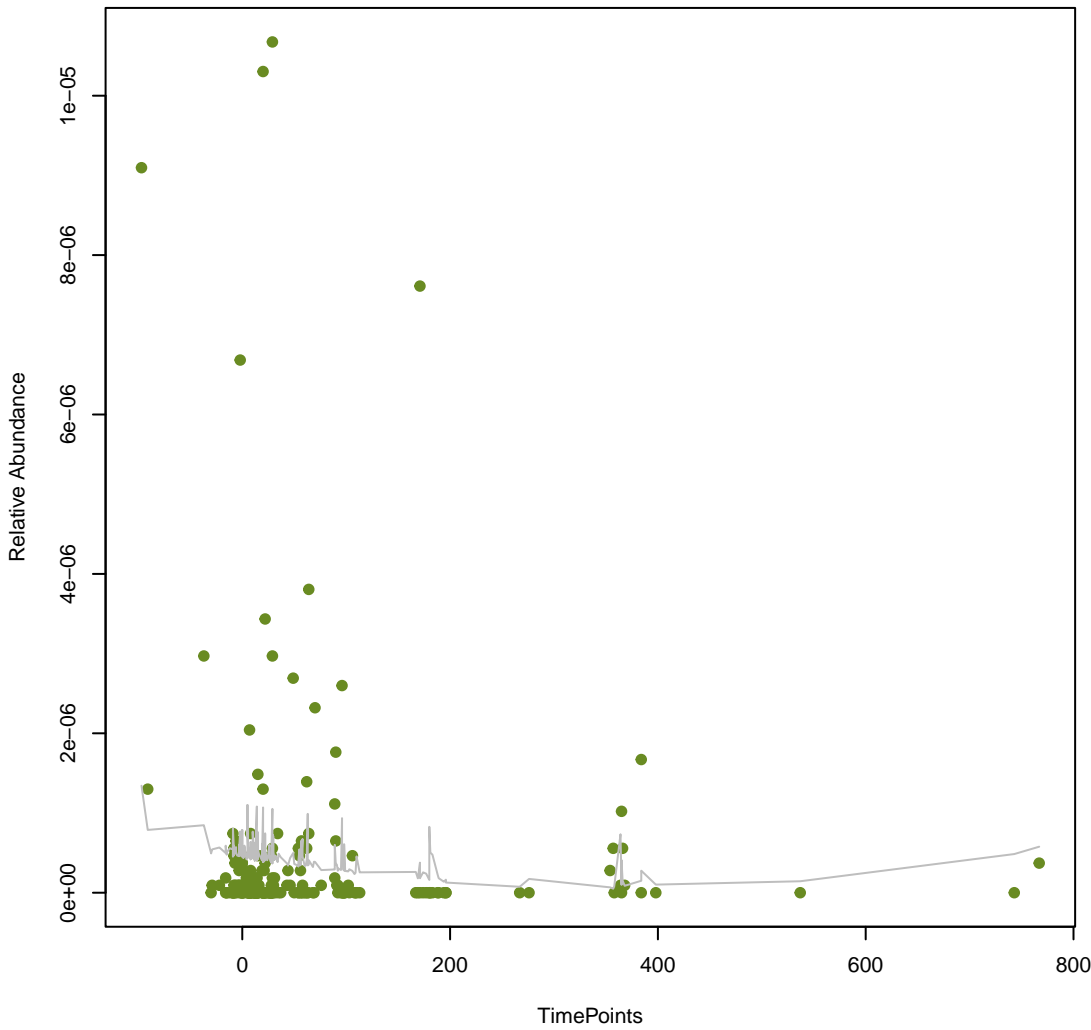
vsearch
Ecol_ampH_BLA
ANOVA Pval: 0.879



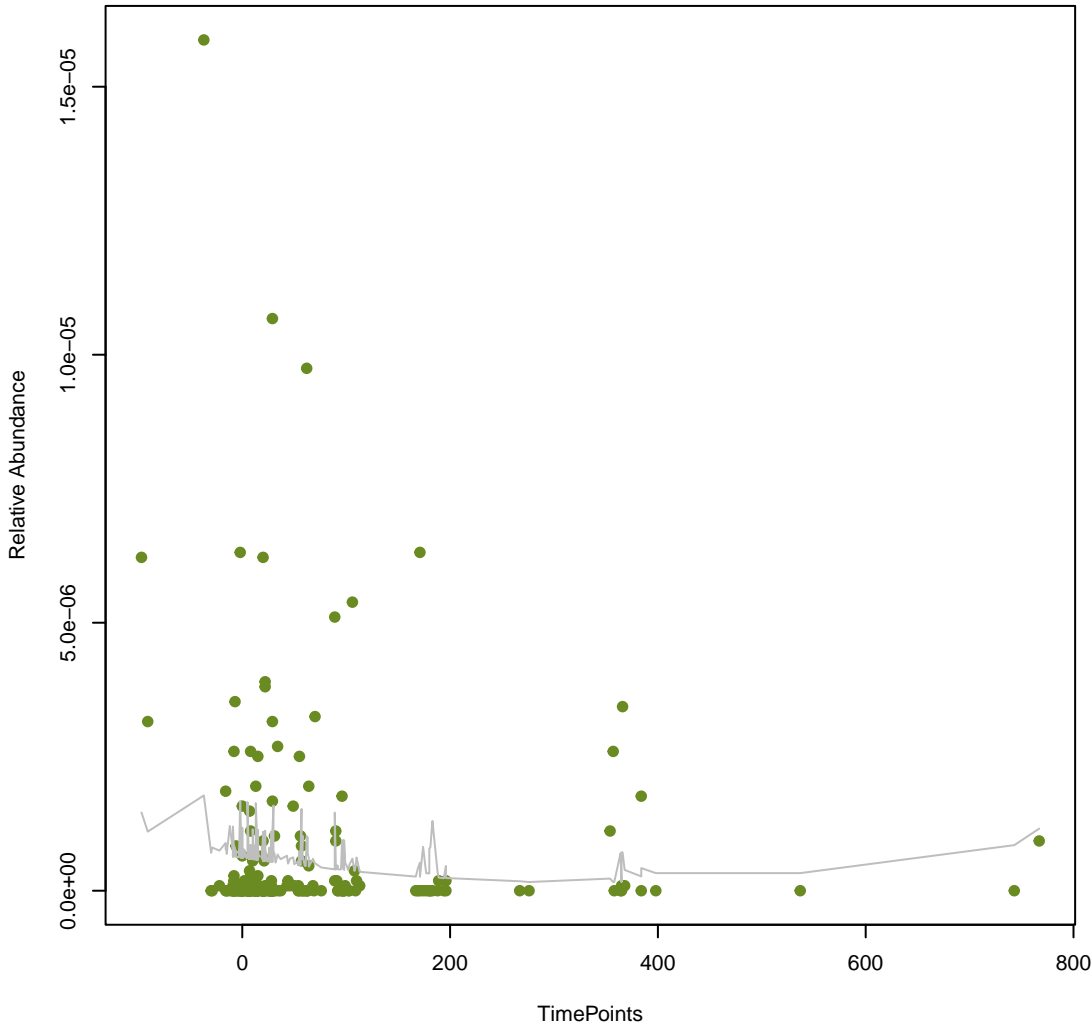
vsearch
vanY_in_vanD_cl
ANOVA Pval: 0.794



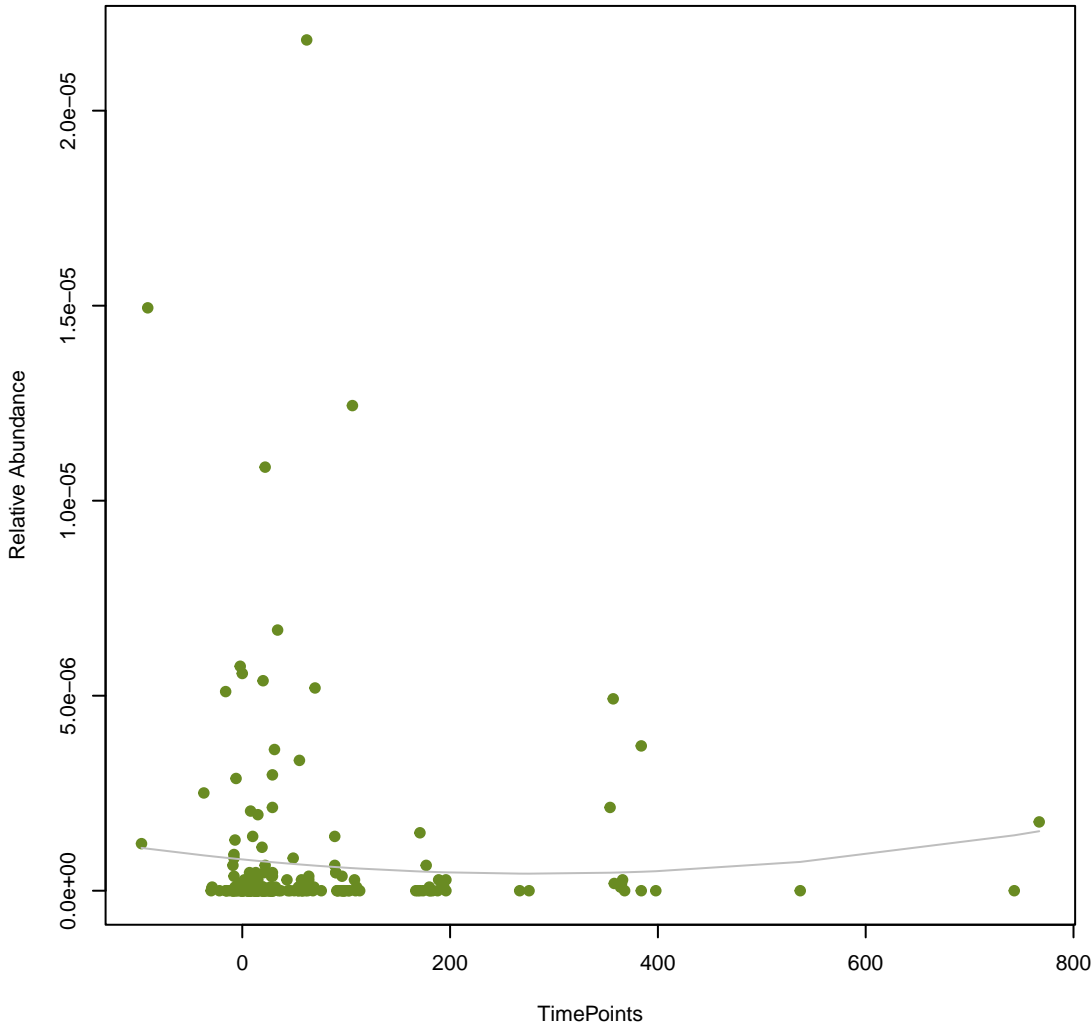
vsearch
vanH_in_vanD_cl
ANOVA Pval: 0.507



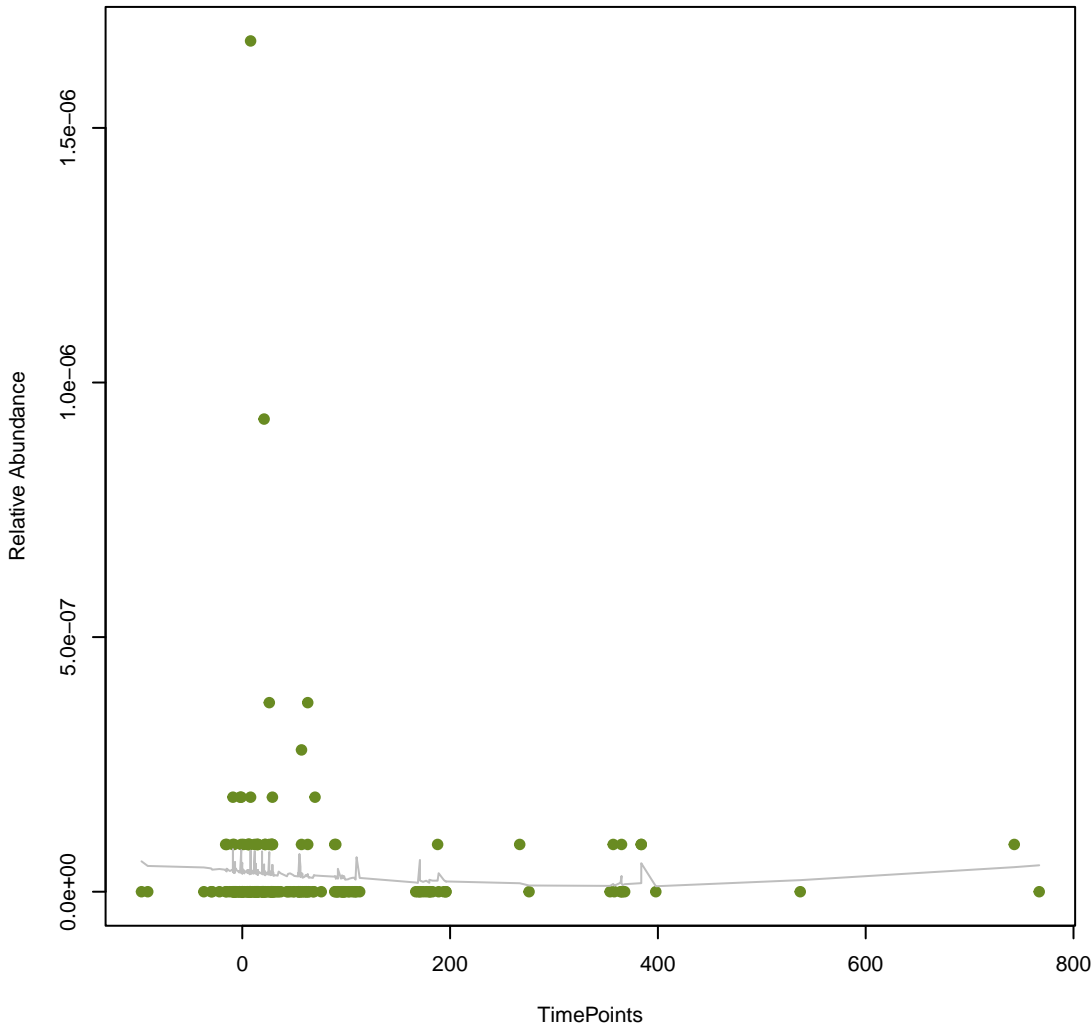
vsearch
vanD
ANOVA Pval: 0.503



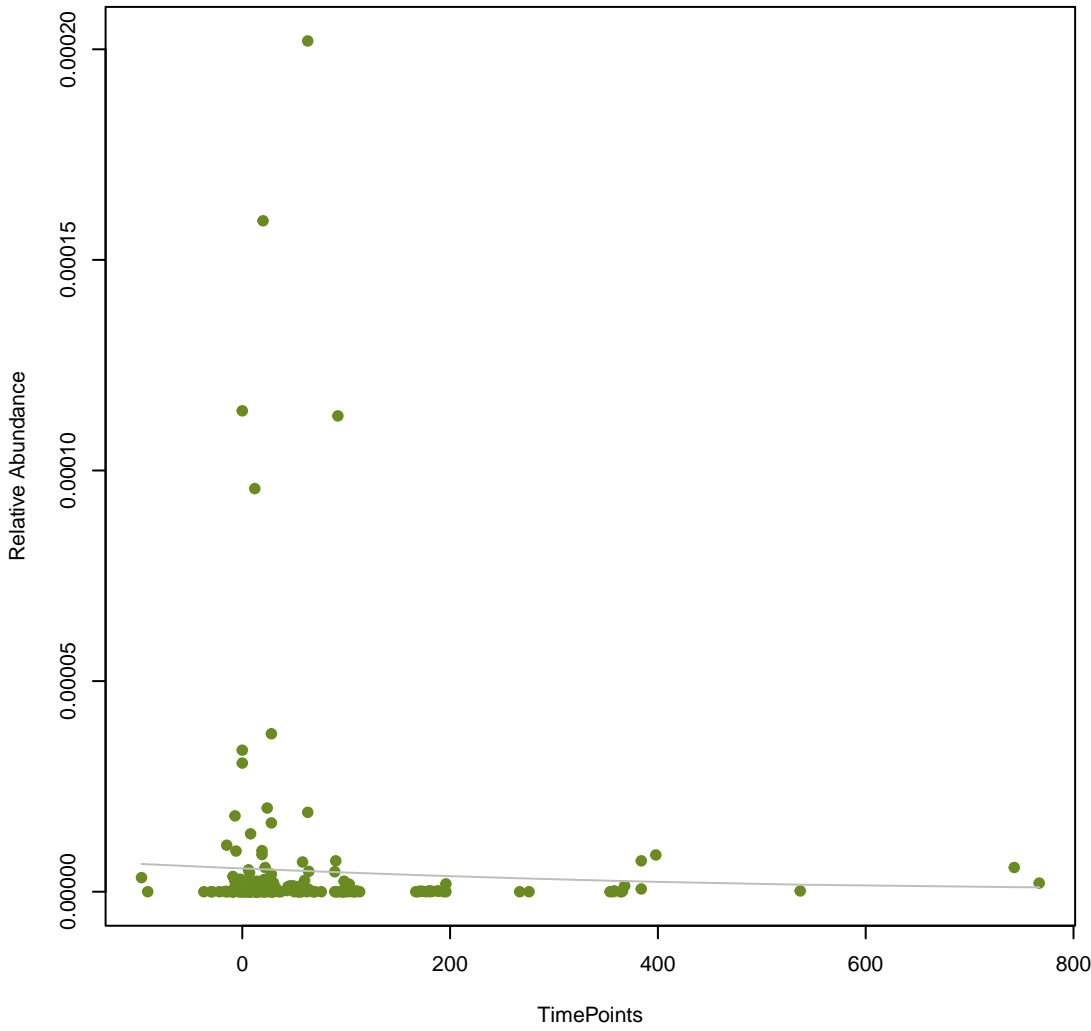
vsearch
vanX_in_vanD_cl
ANOVA Pval: 0.691



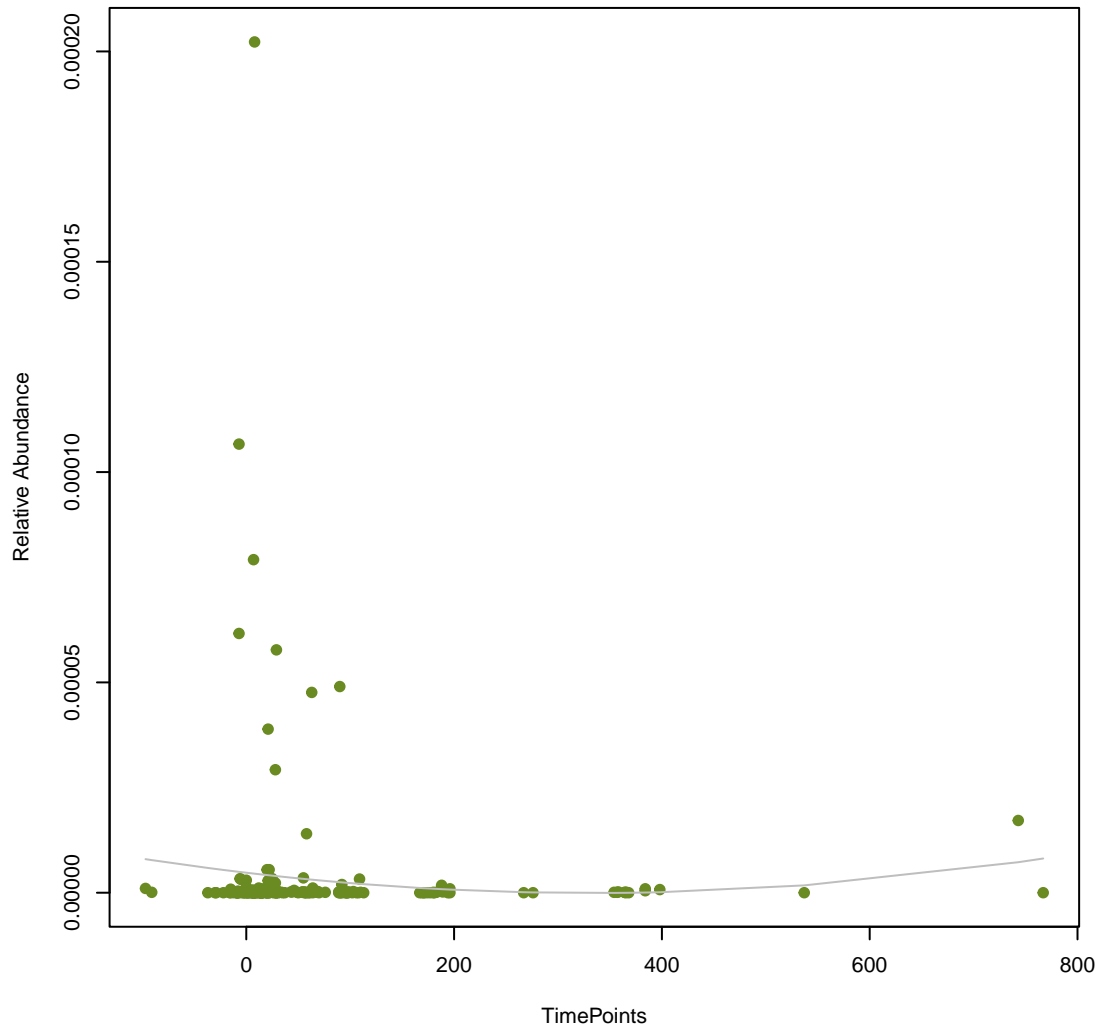
vsearch
LEN-14
ANOVA Pval: 0.704



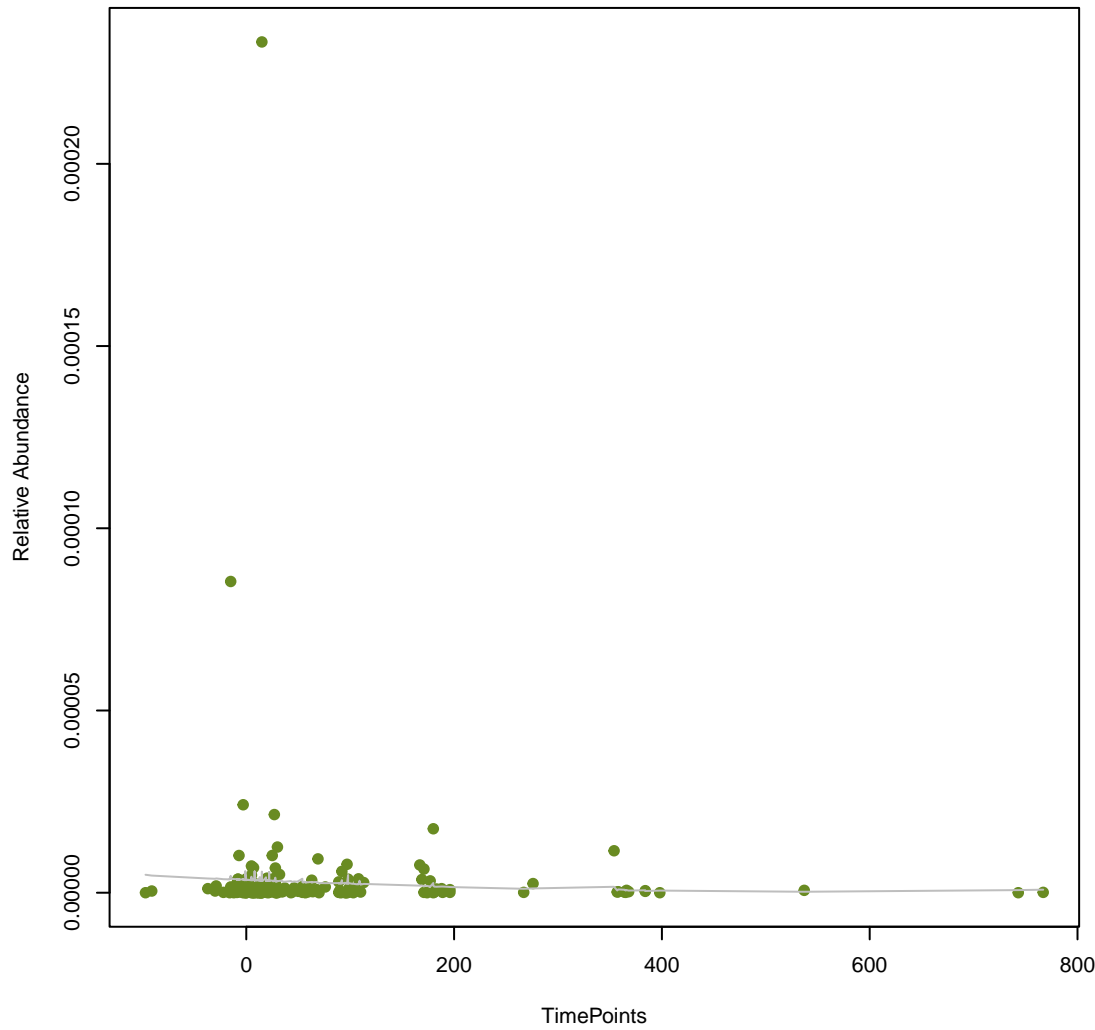
vsearch
H-NS
ANOVA Pval: 0.838



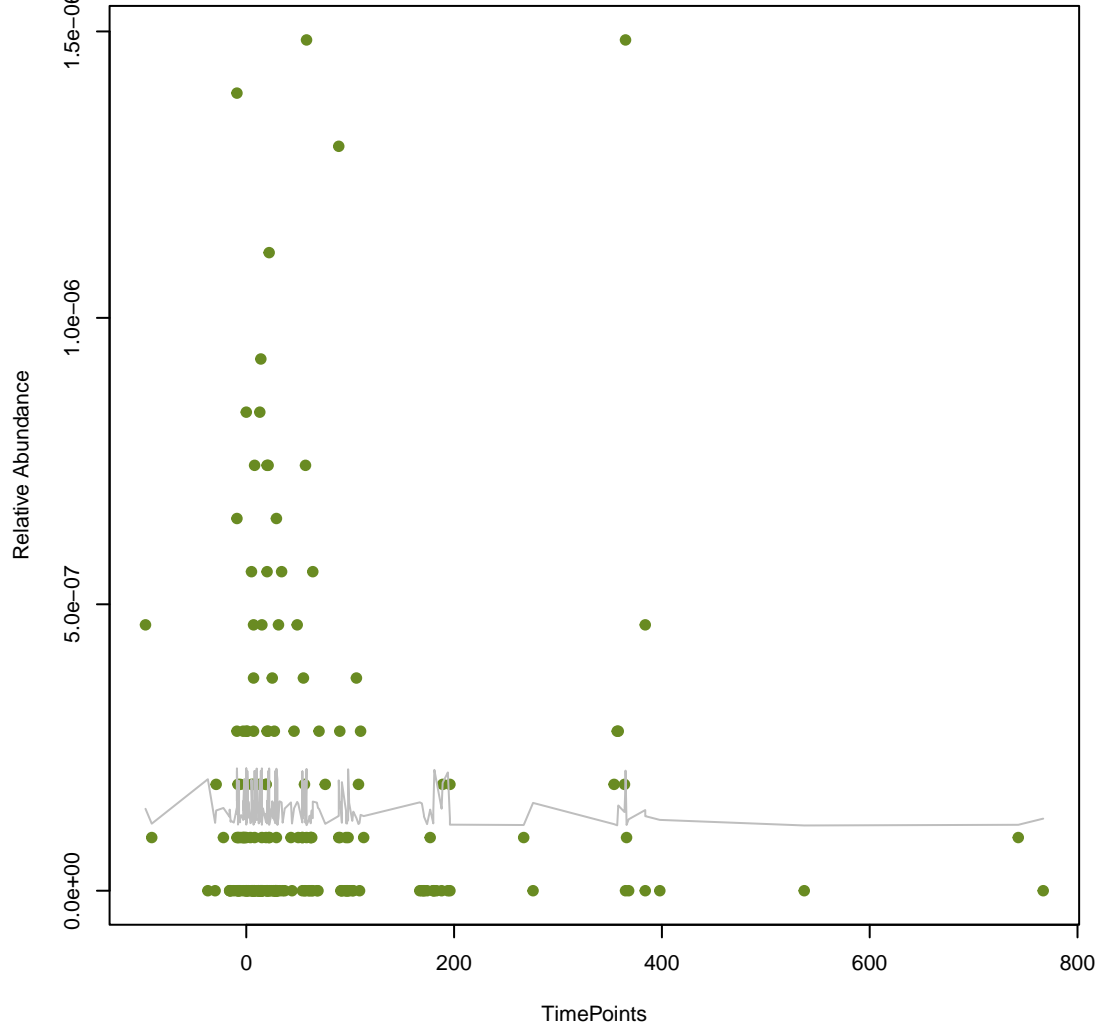
vsearch
LptD
ANOVA Pval: 0.466



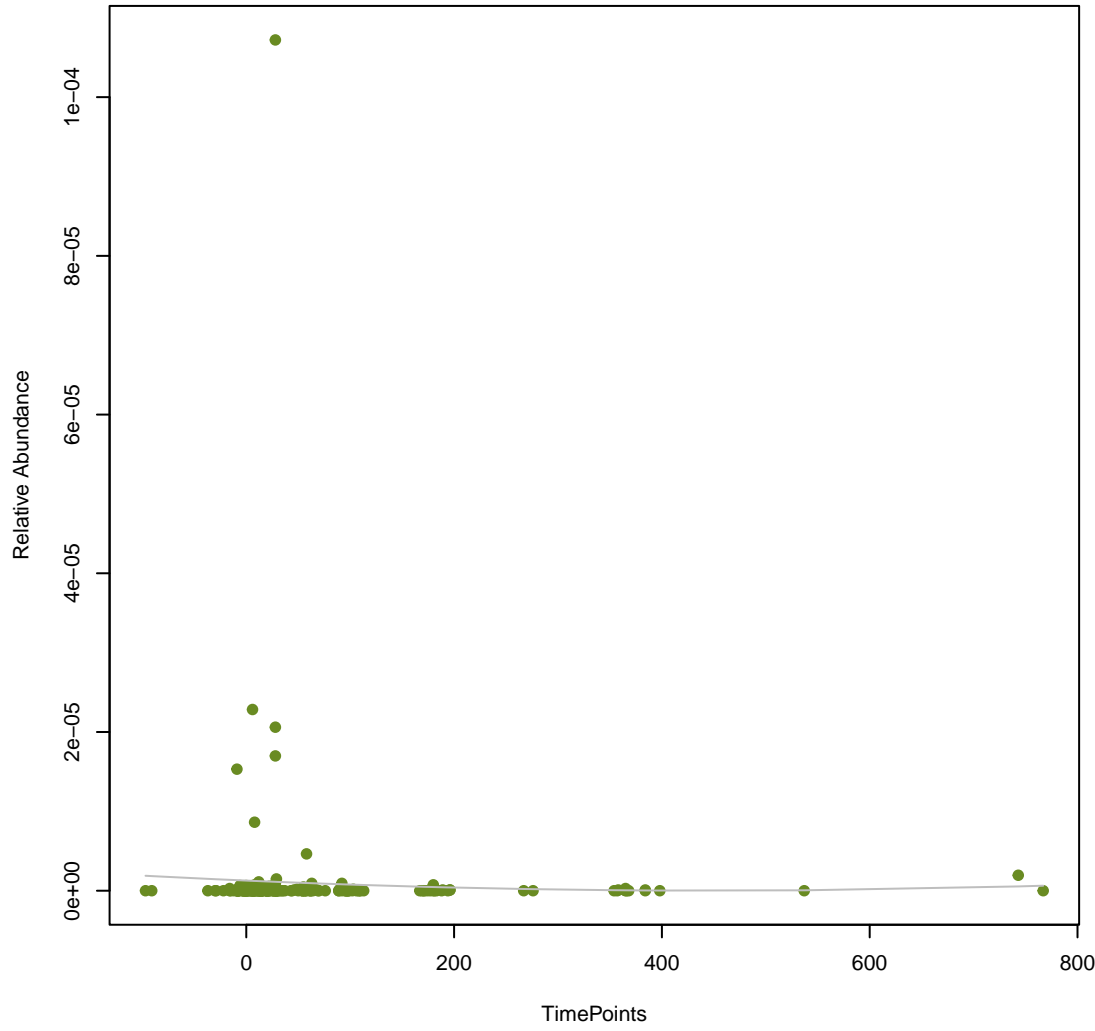
vsearch
ImrD
ANOVA Pval: 0.781



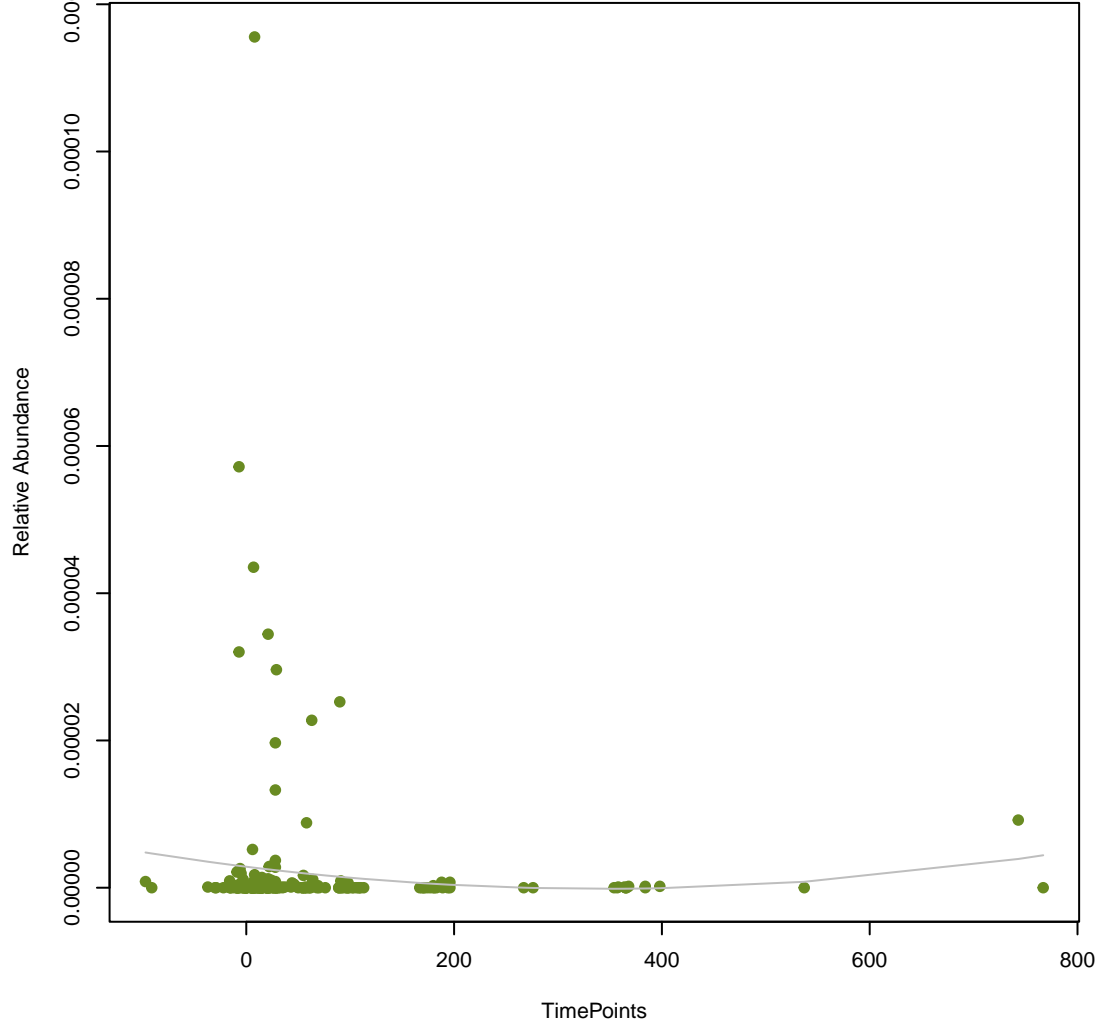
vsearch
vanR_in_vanG_cl
ANOVA Pval: 0.998



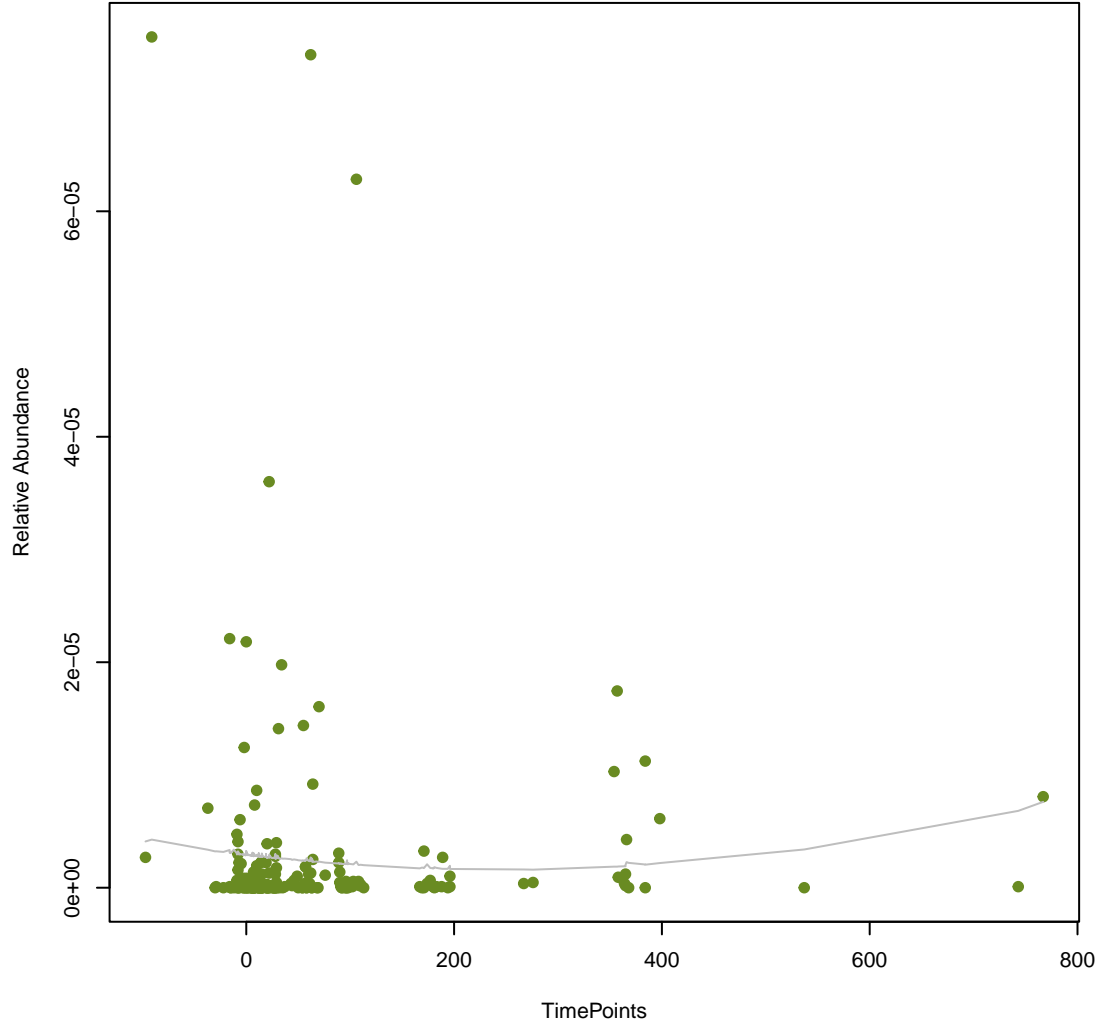
vsearch
Eclo_acrA
ANOVA Pval: 0.804



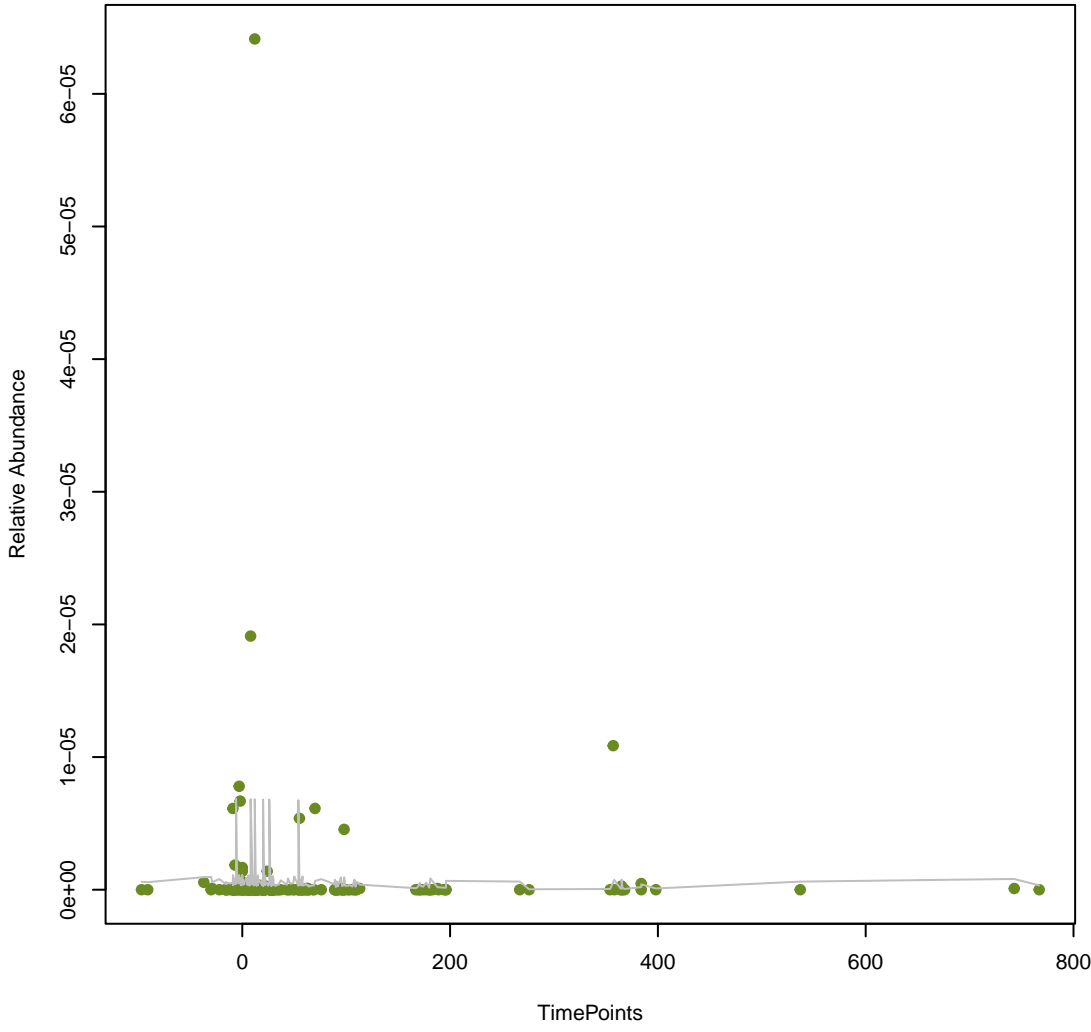
vsearch
oqxA
ANOVA Pval: 0.413



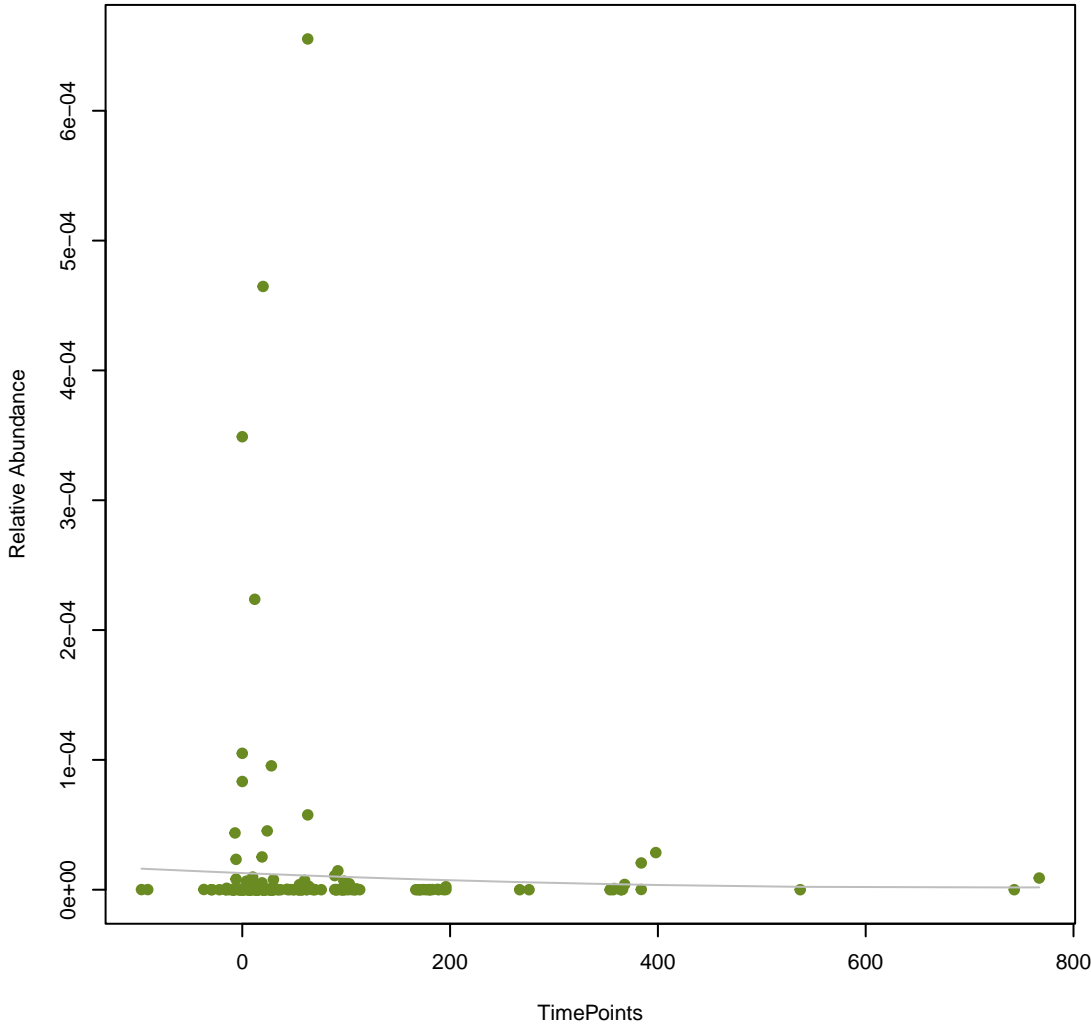
vsearch
vanS_in_vanD_cl
ANOVA Pval: 0.632



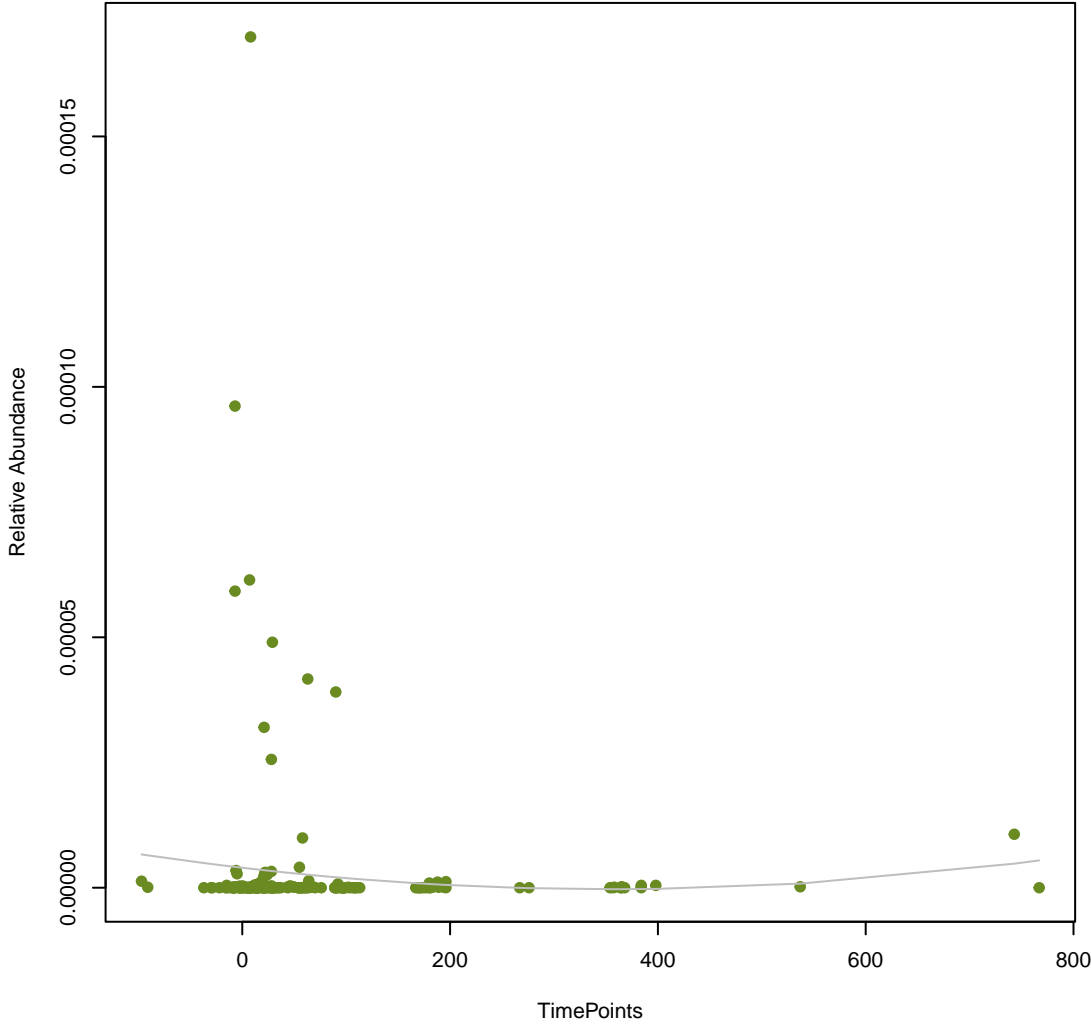
vsearch
LnuP
ANOVA Pval: 0.953



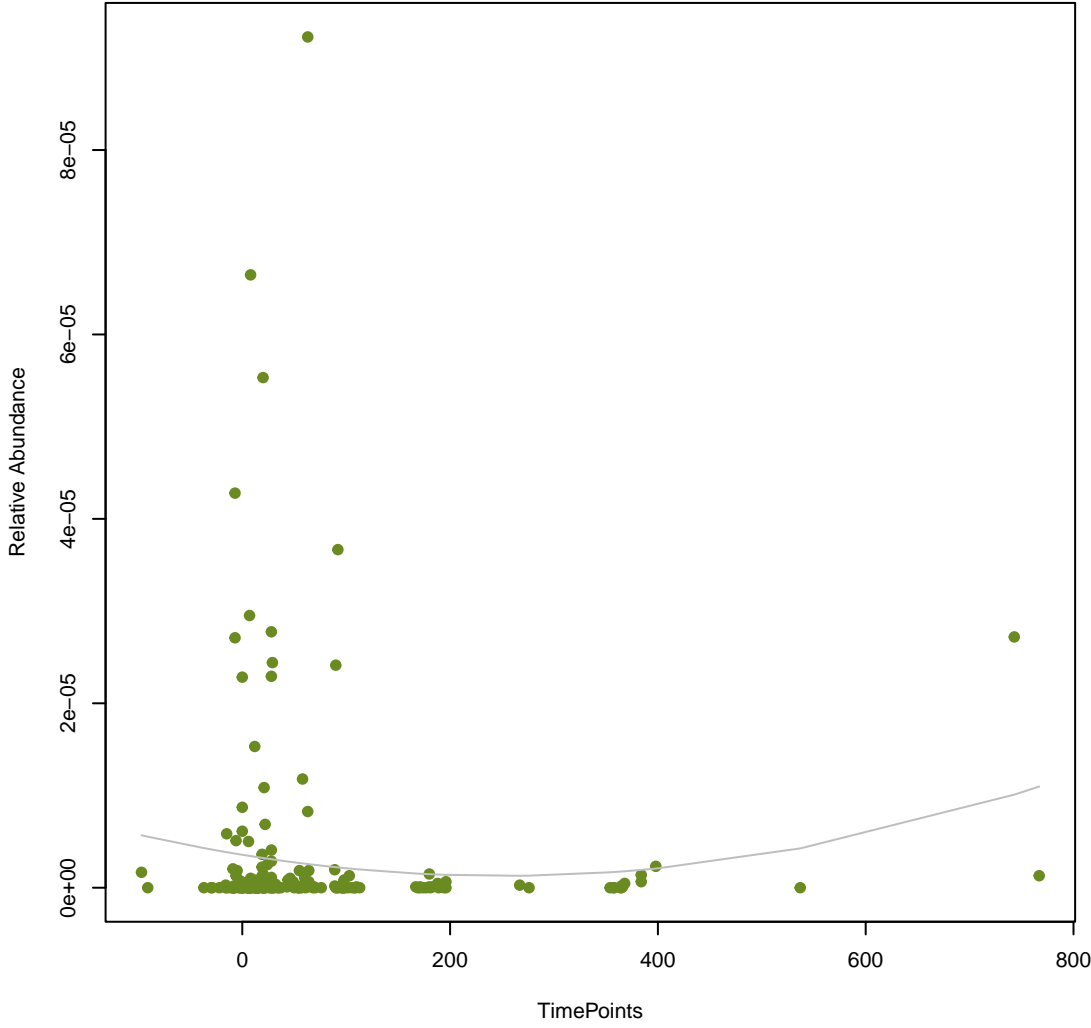
vsearch
Ecol_ampC1_BLA
ANOVA Pval: 0.838



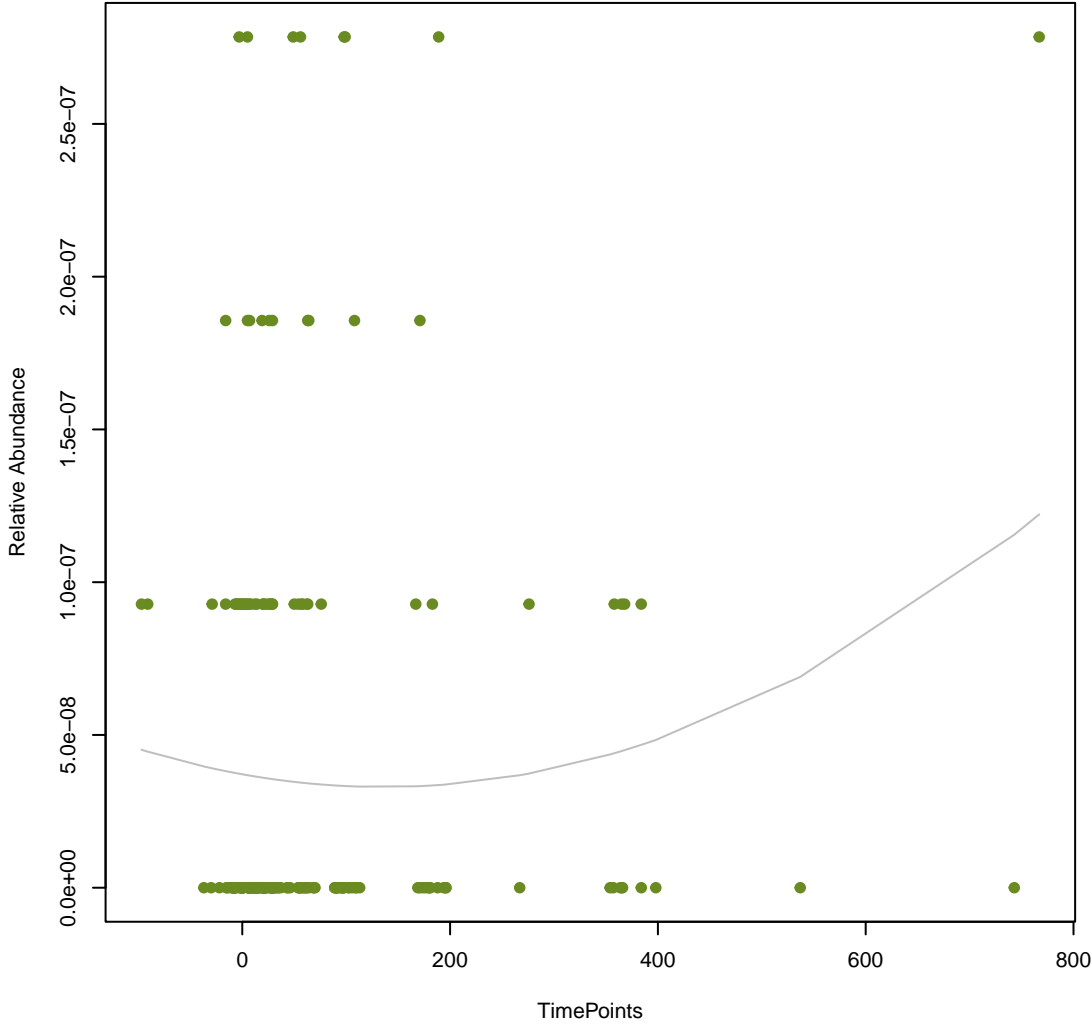
vsearch
eptB
ANOVA Pval: 0.464



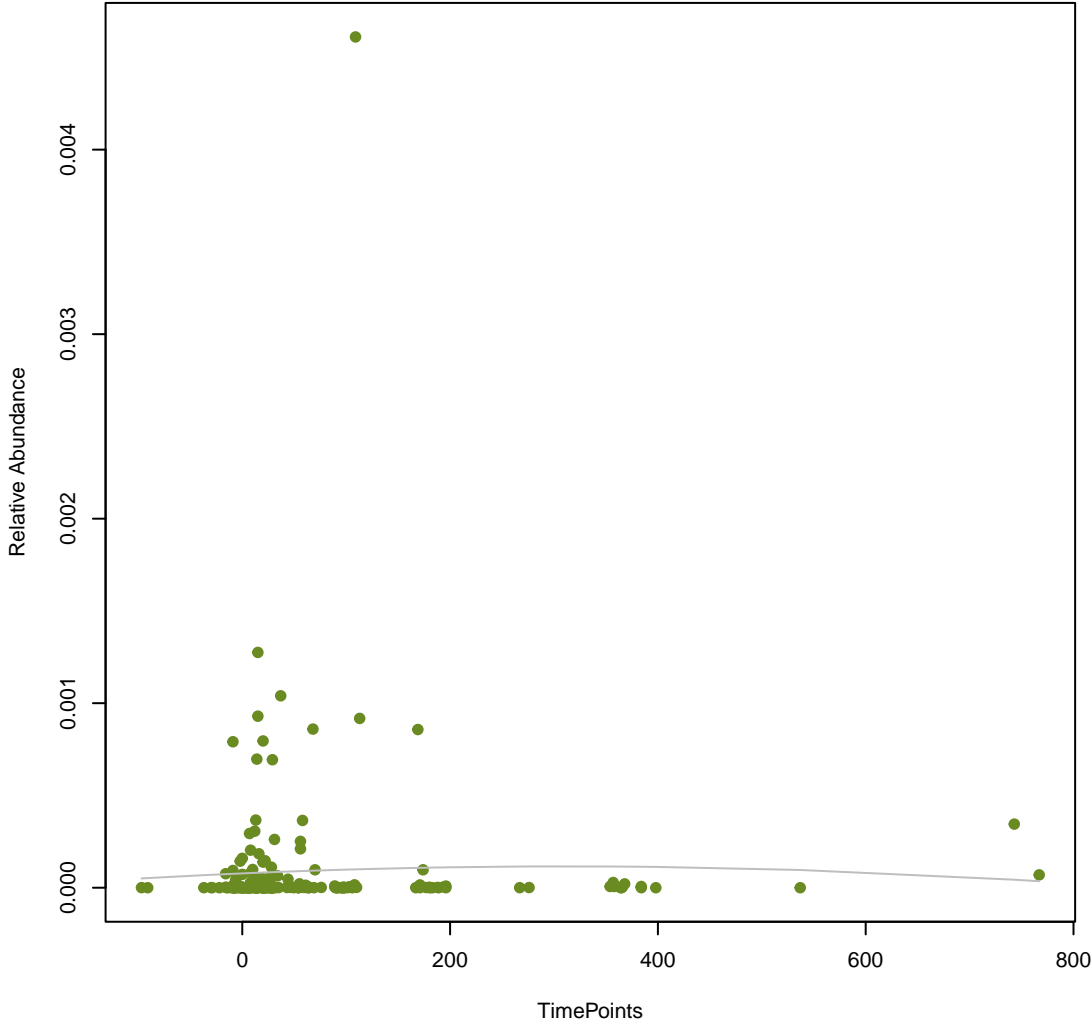
vsearch
OmpA
ANOVA Pval: 0.346



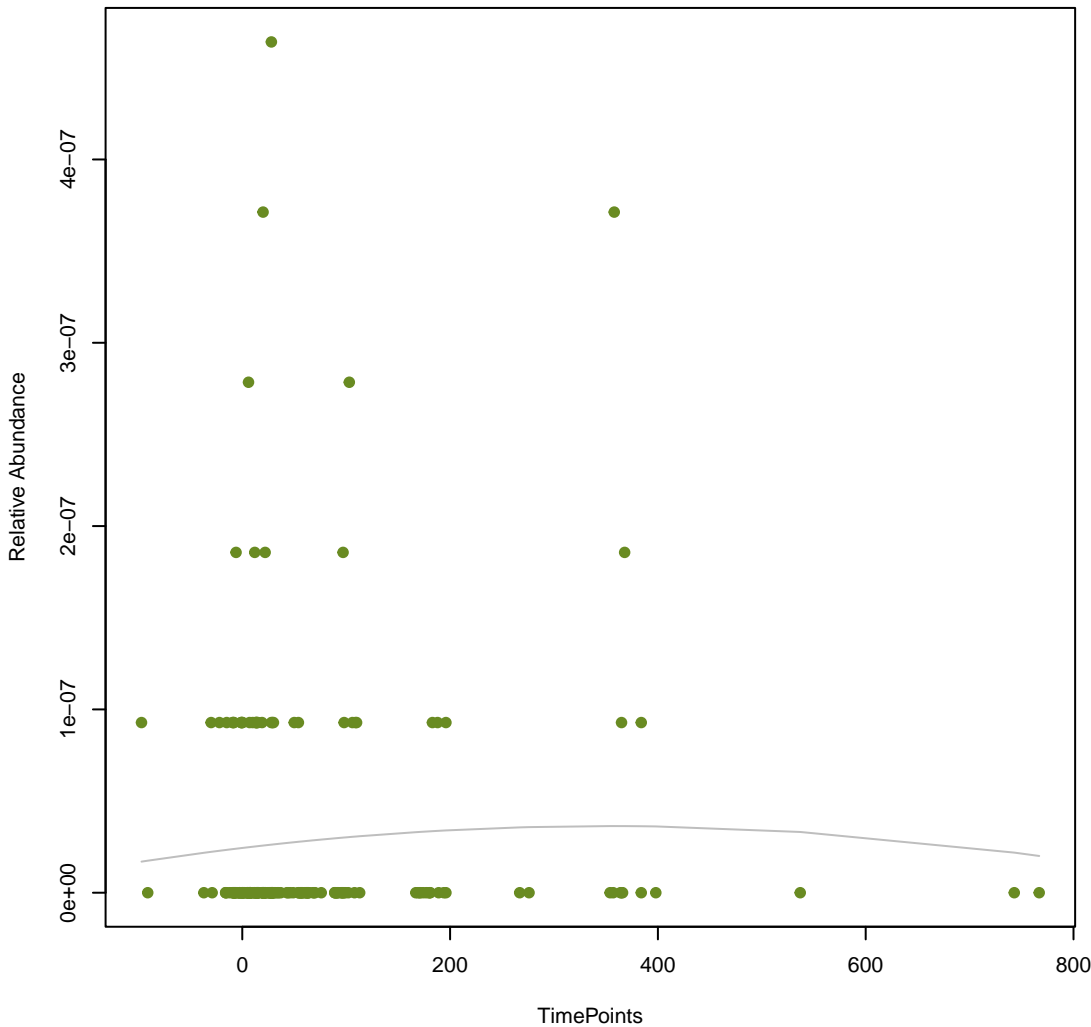
vsearch
mecC
ANOVA Pval: 0.191



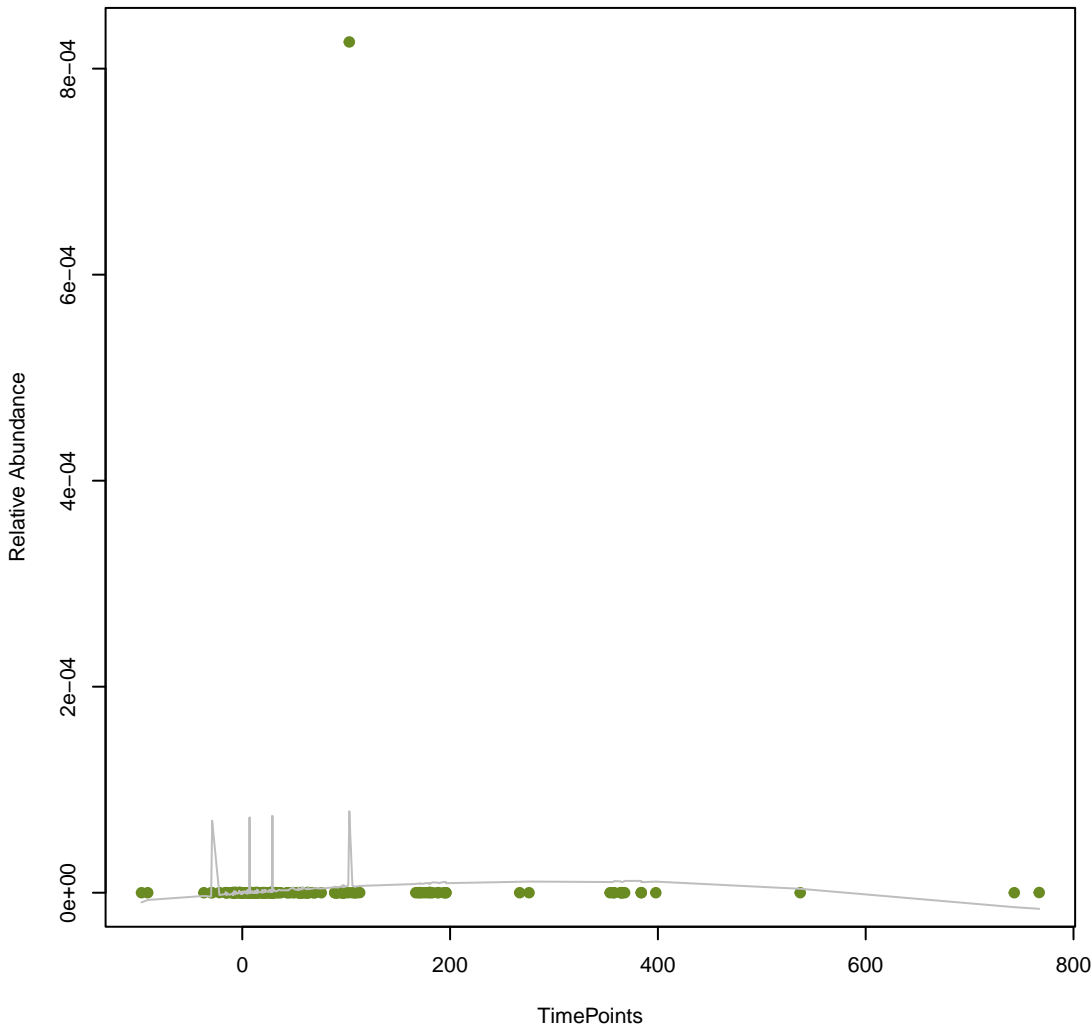
vsearch
AAC6_le_APH2_Ia
ANOVA Pval: 0.879



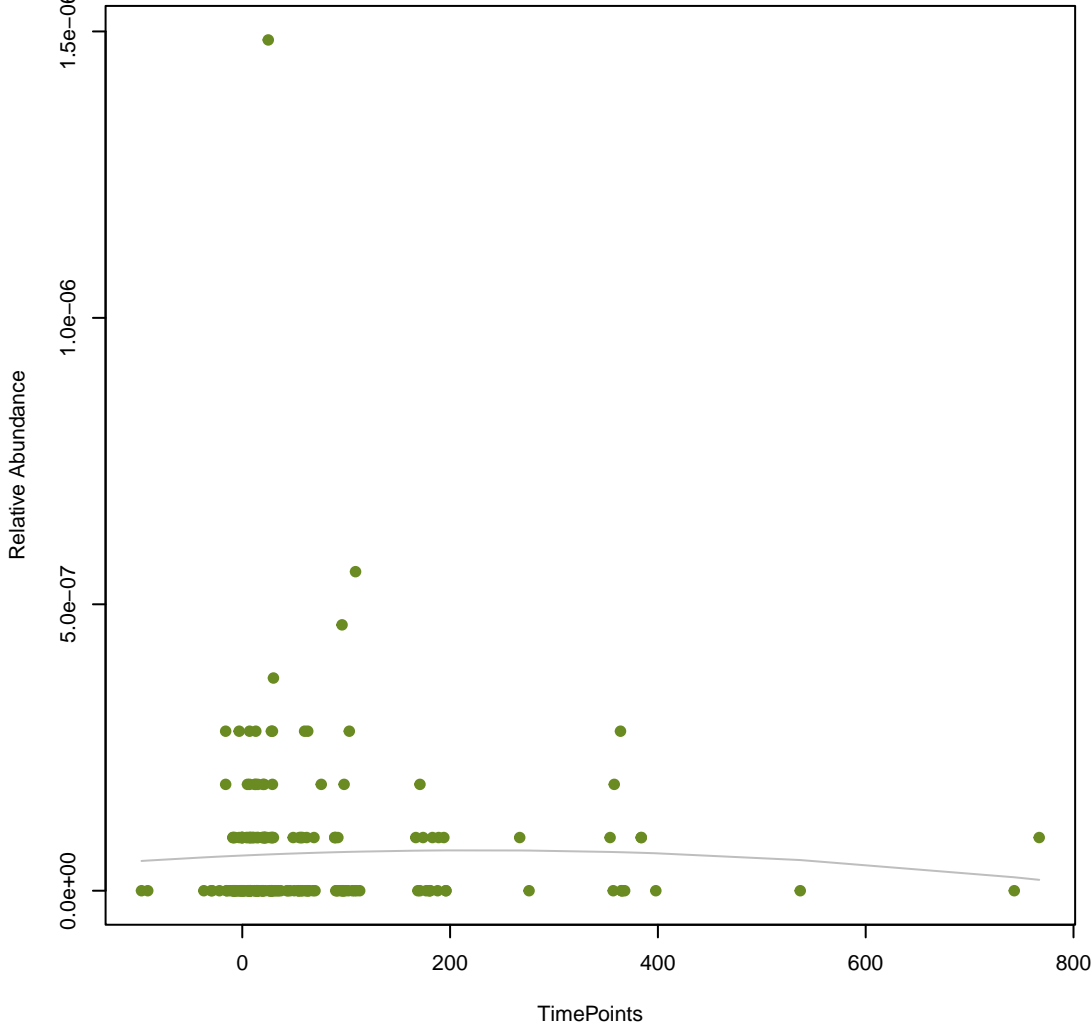
vsearch
OXA-164
ANOVA Pval: 0.724



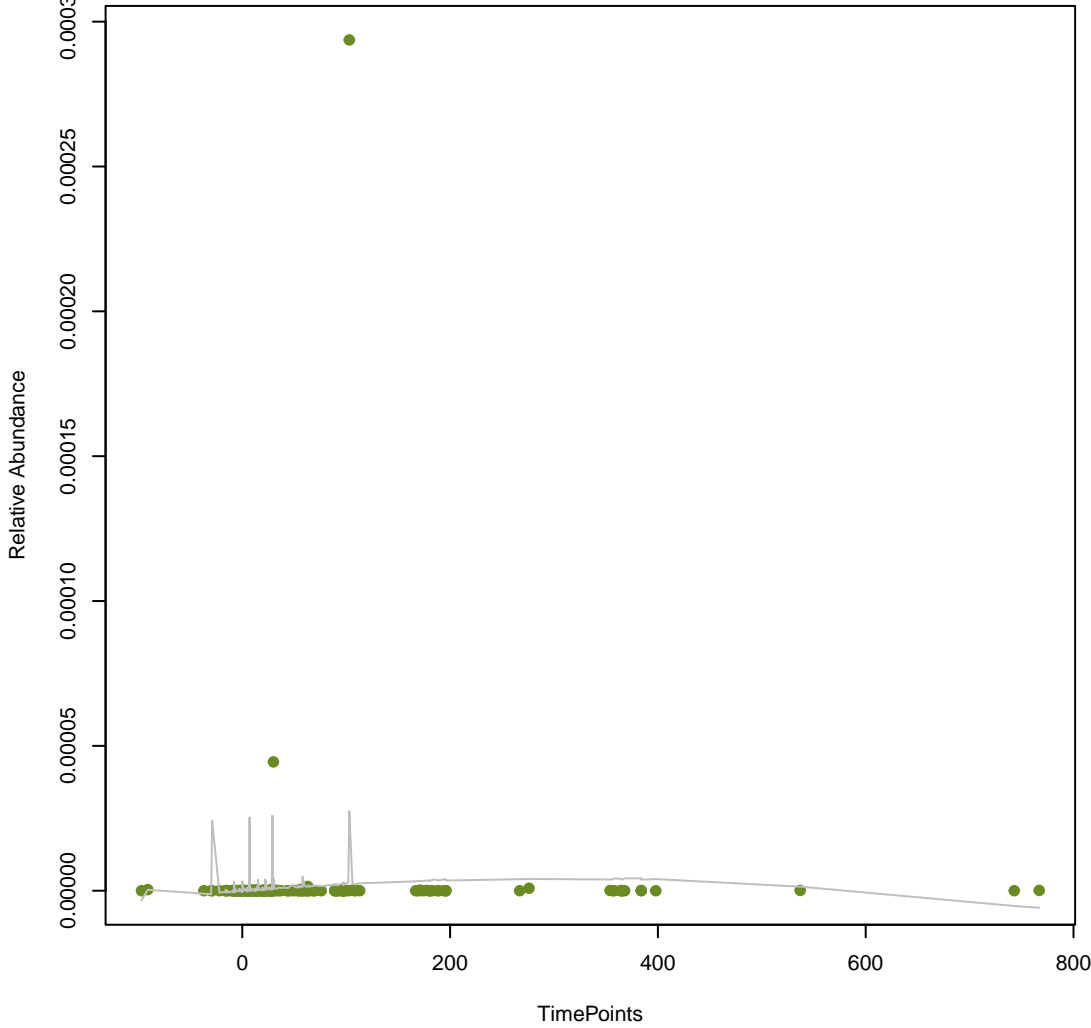
vsearch
norB
ANOVA Pval: 0.547



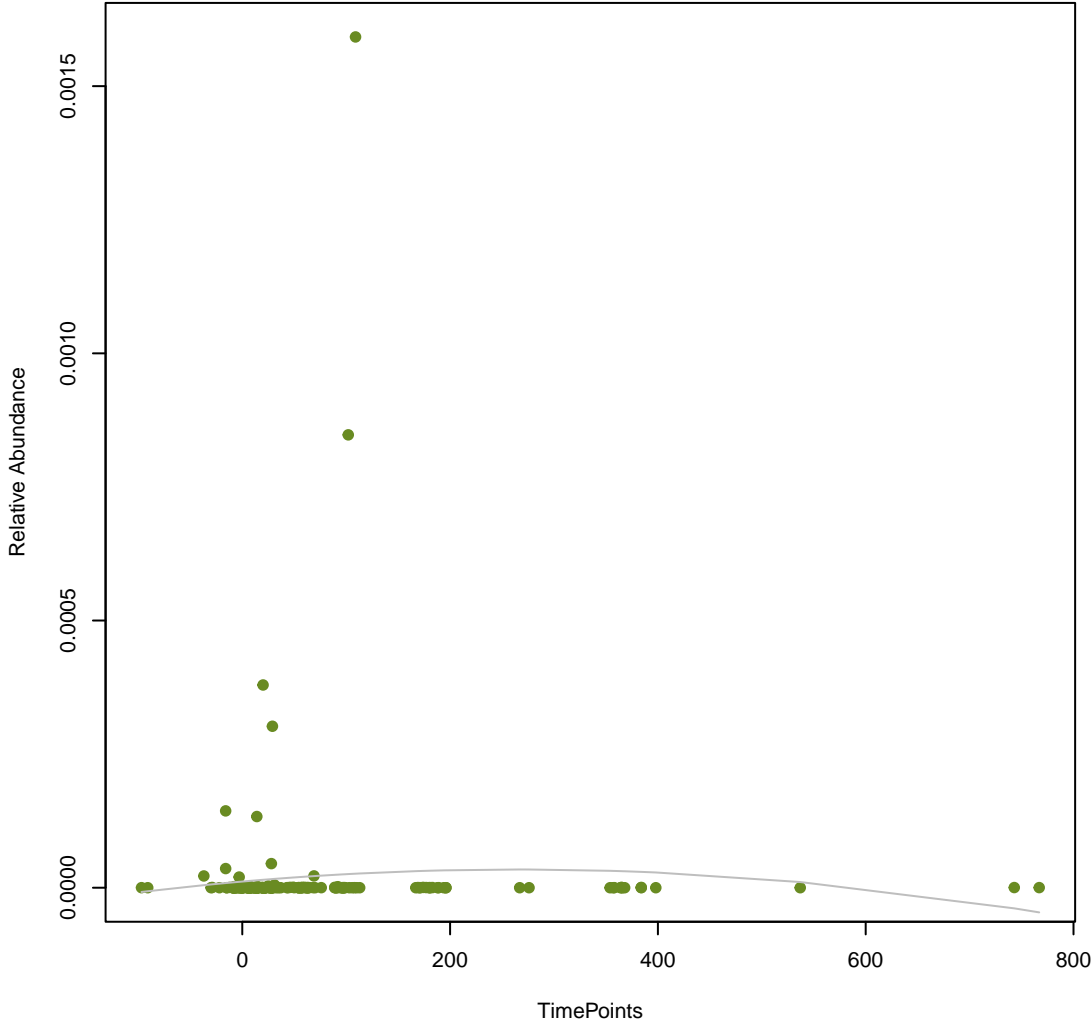
vsearch
QnrS6
ANOVA Pval: 0.852



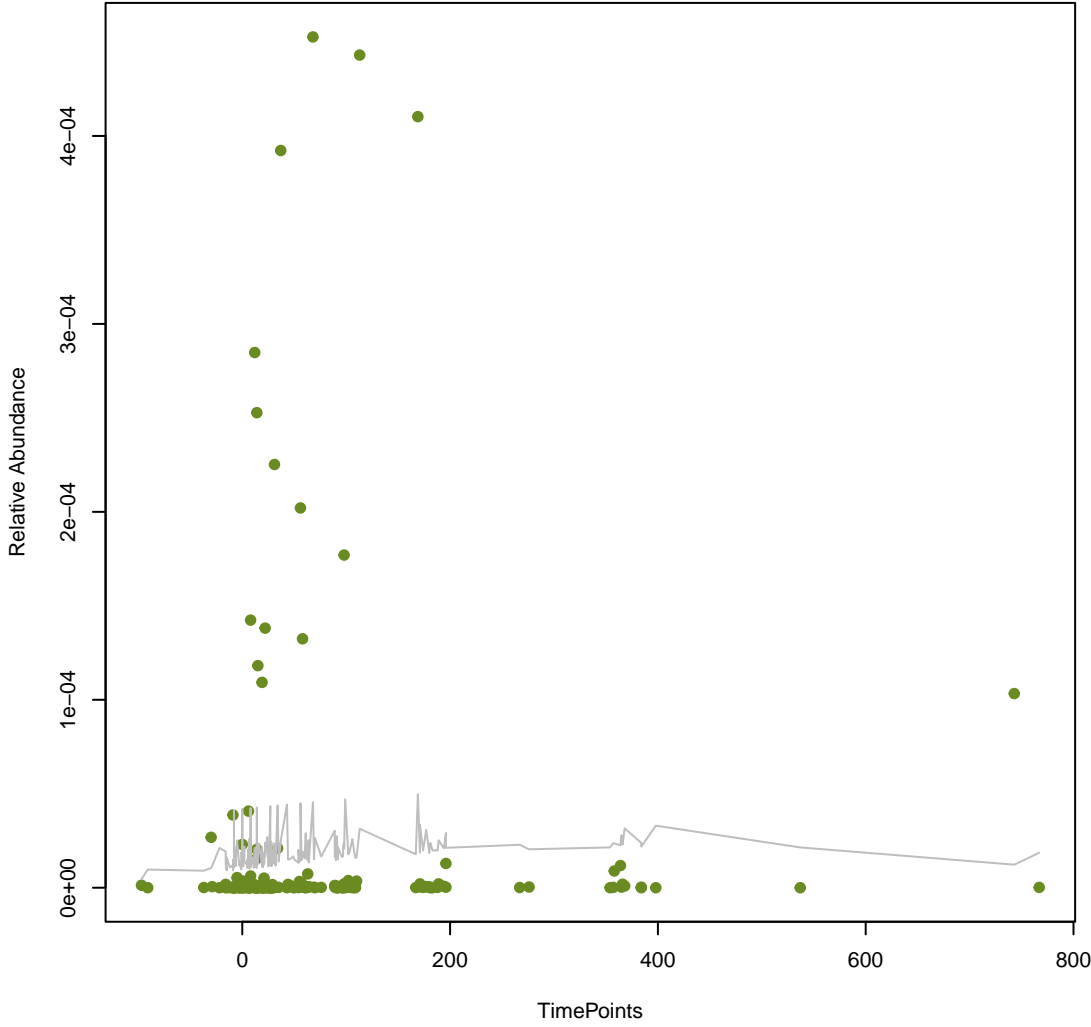
vsearch
basS
ANOVA Pval: 0.535

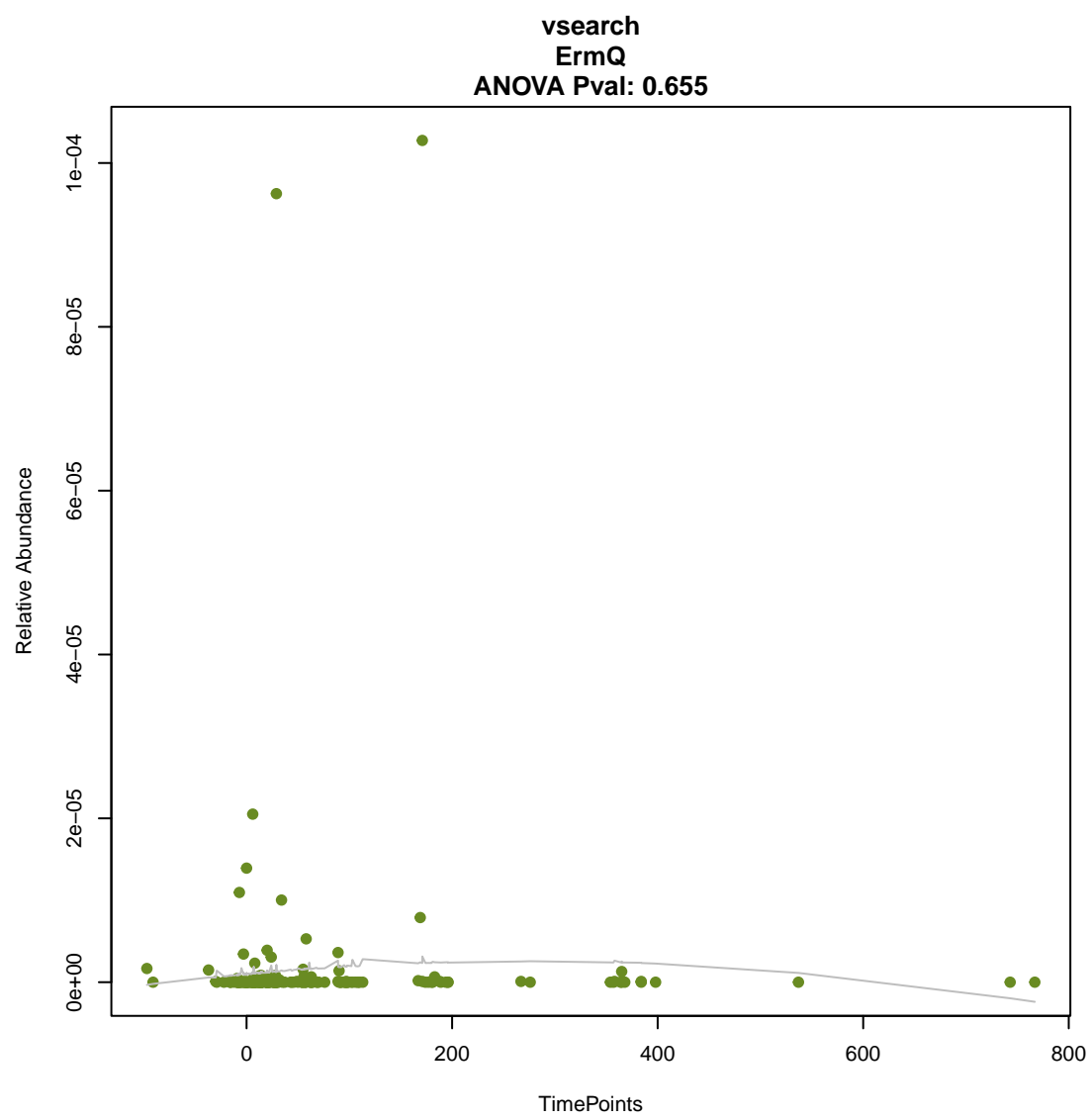
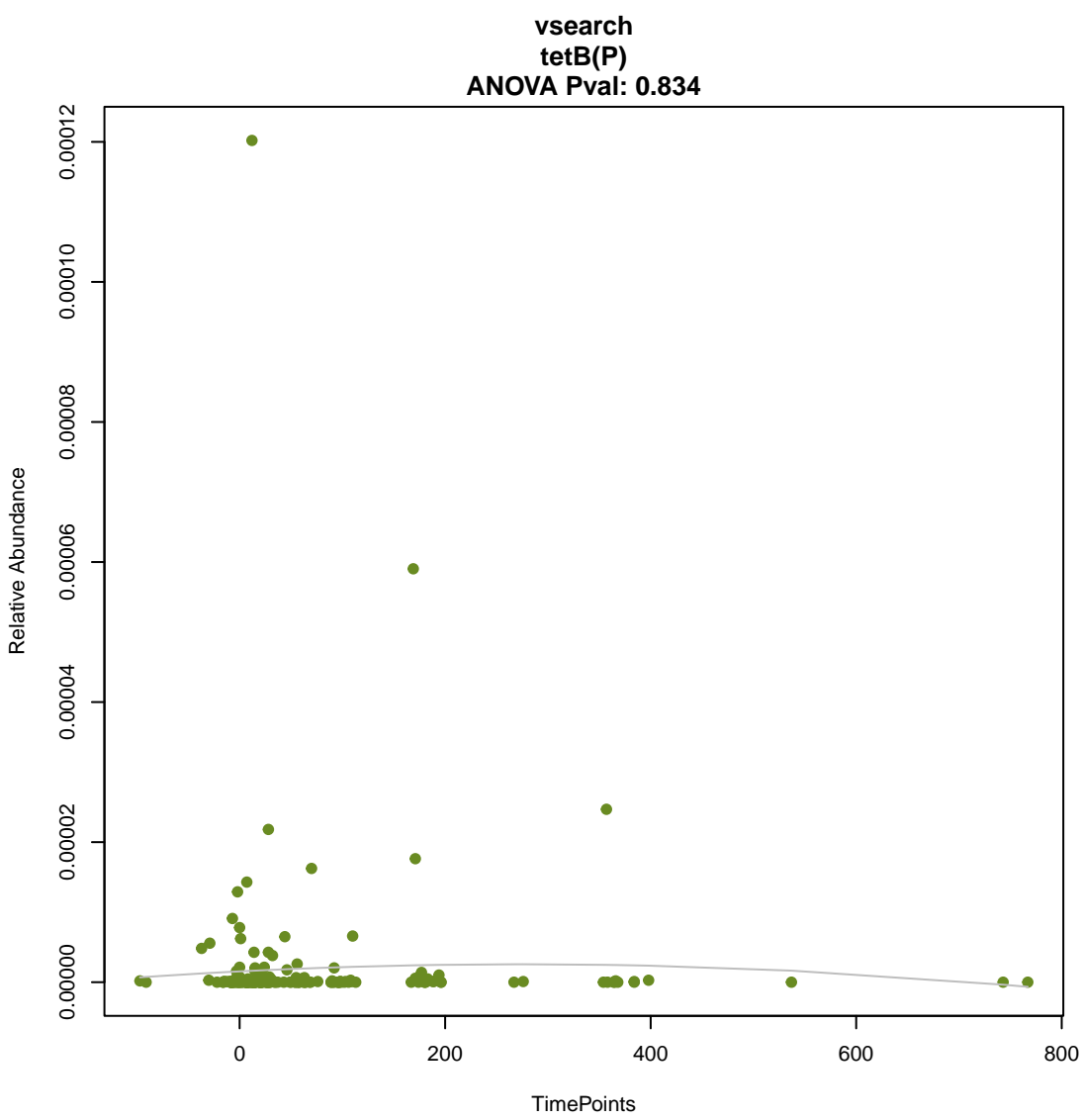
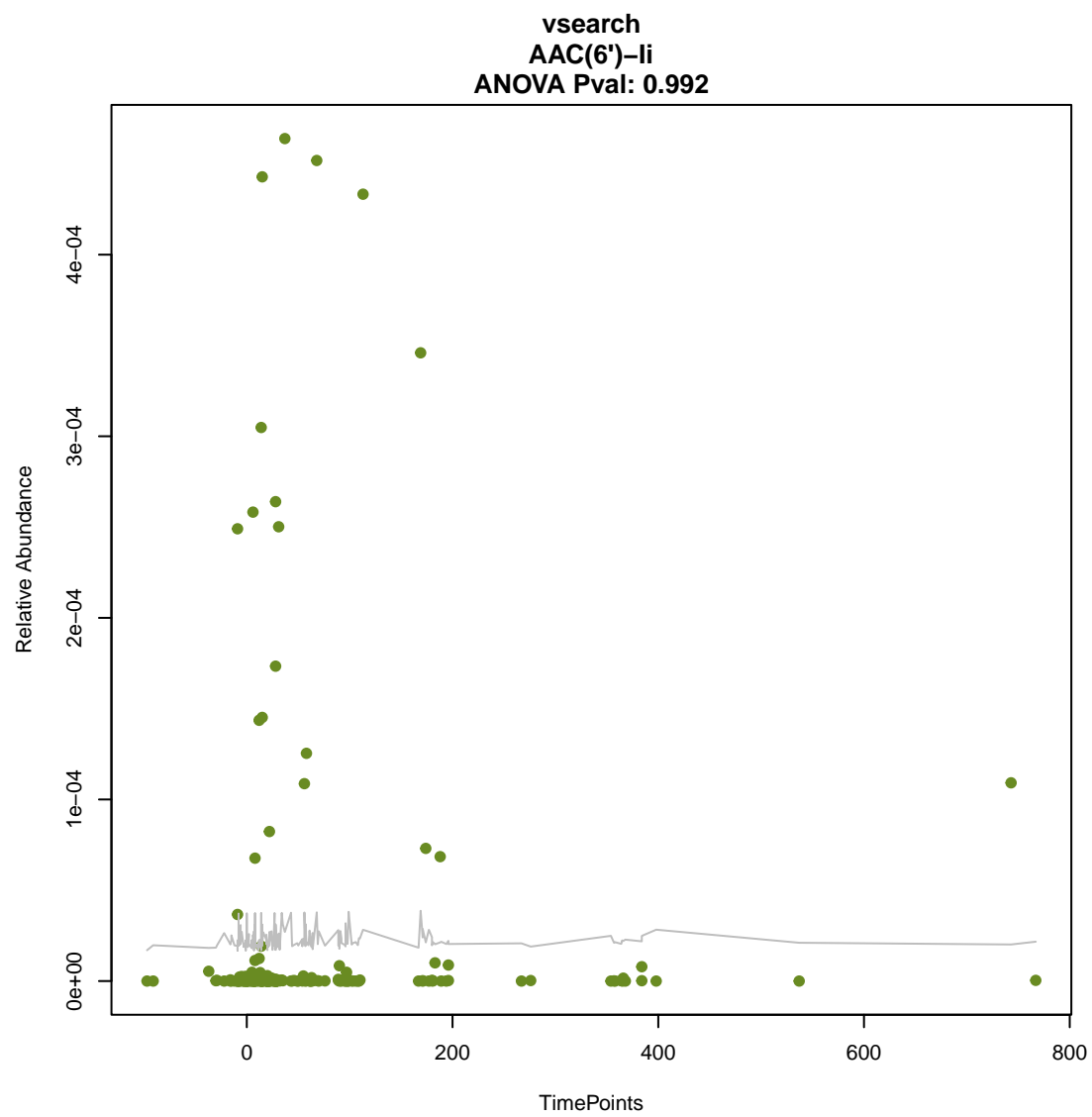
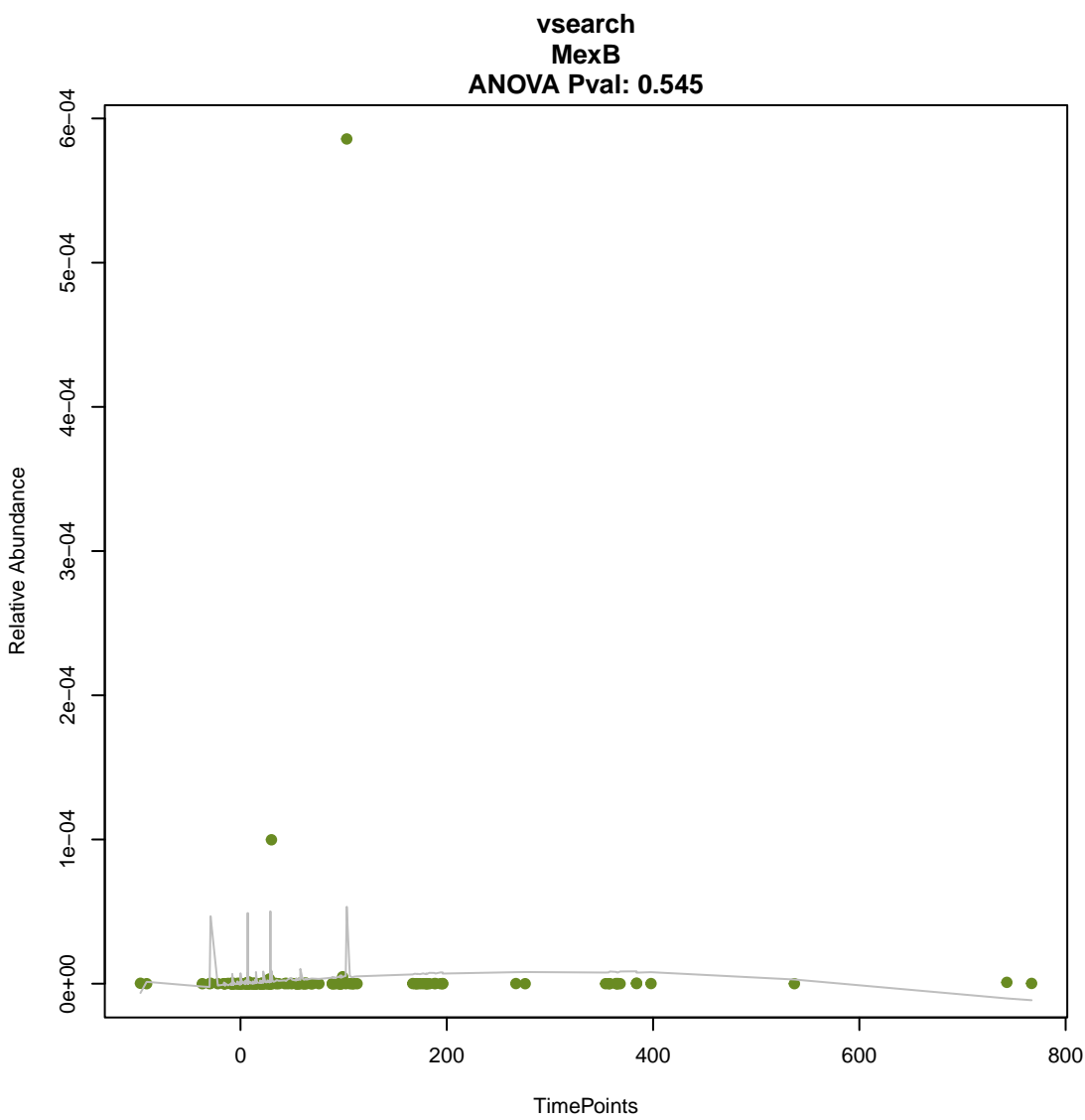
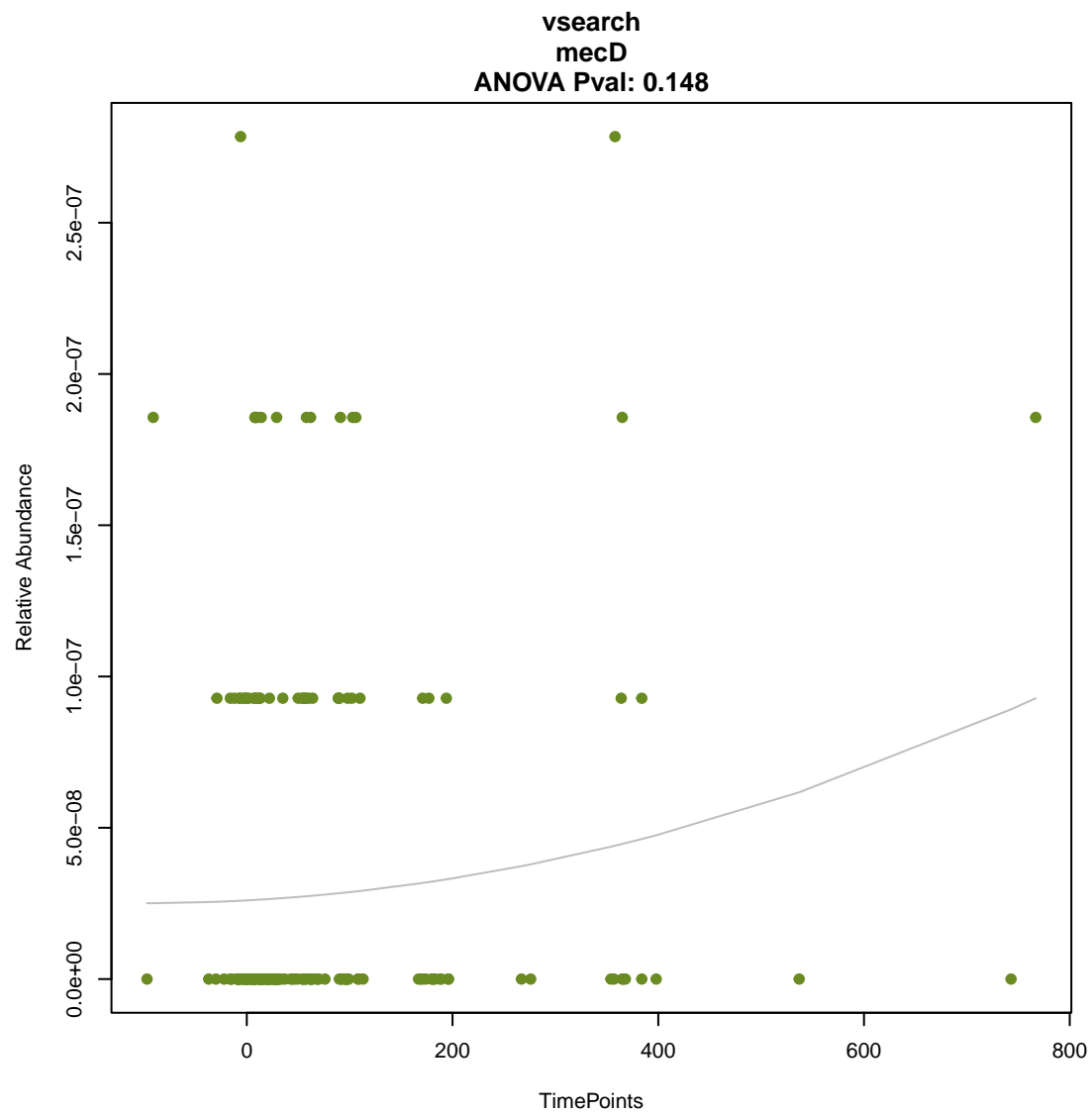
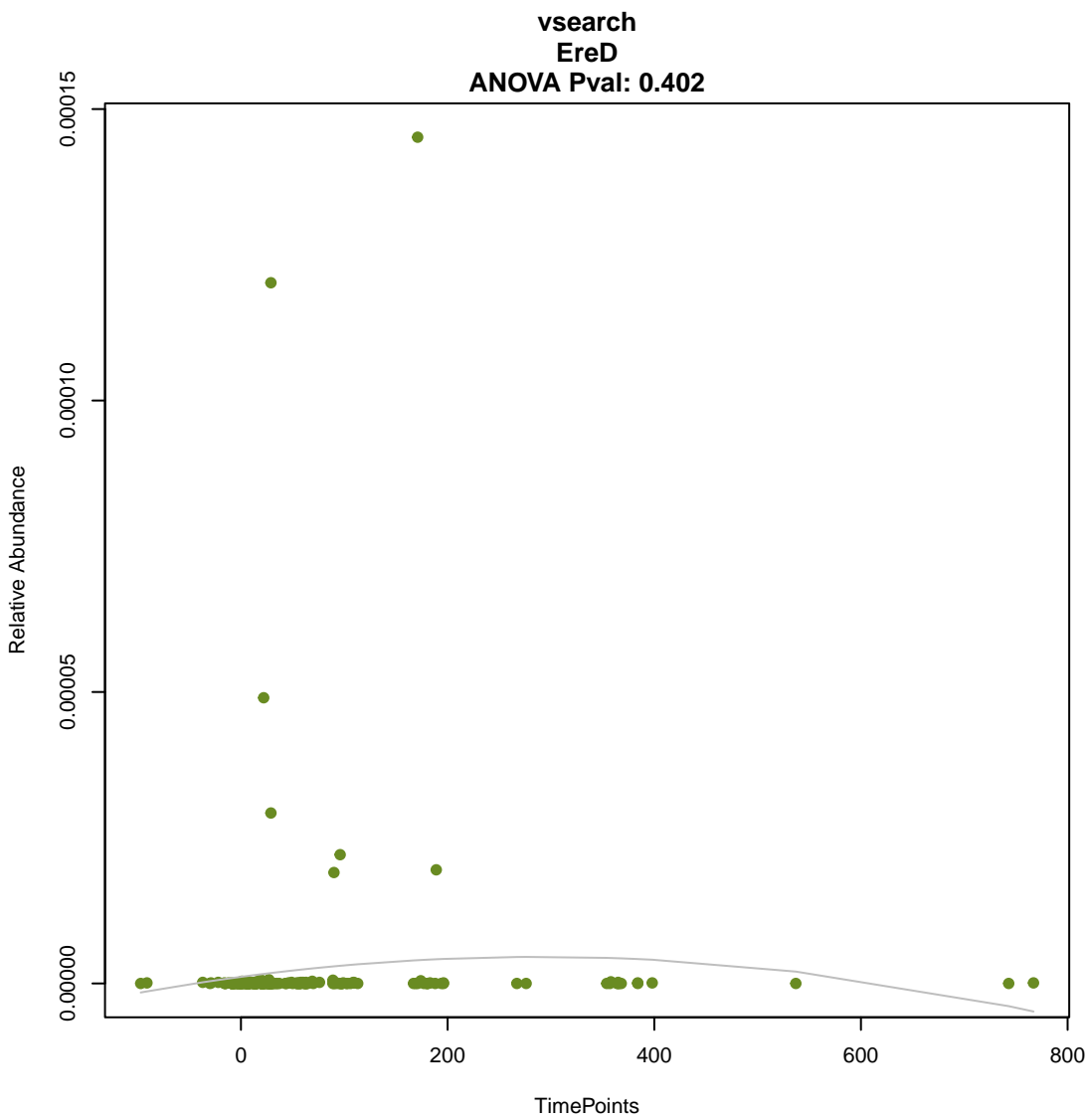


vsearch
mecA
ANOVA Pval: 0.567

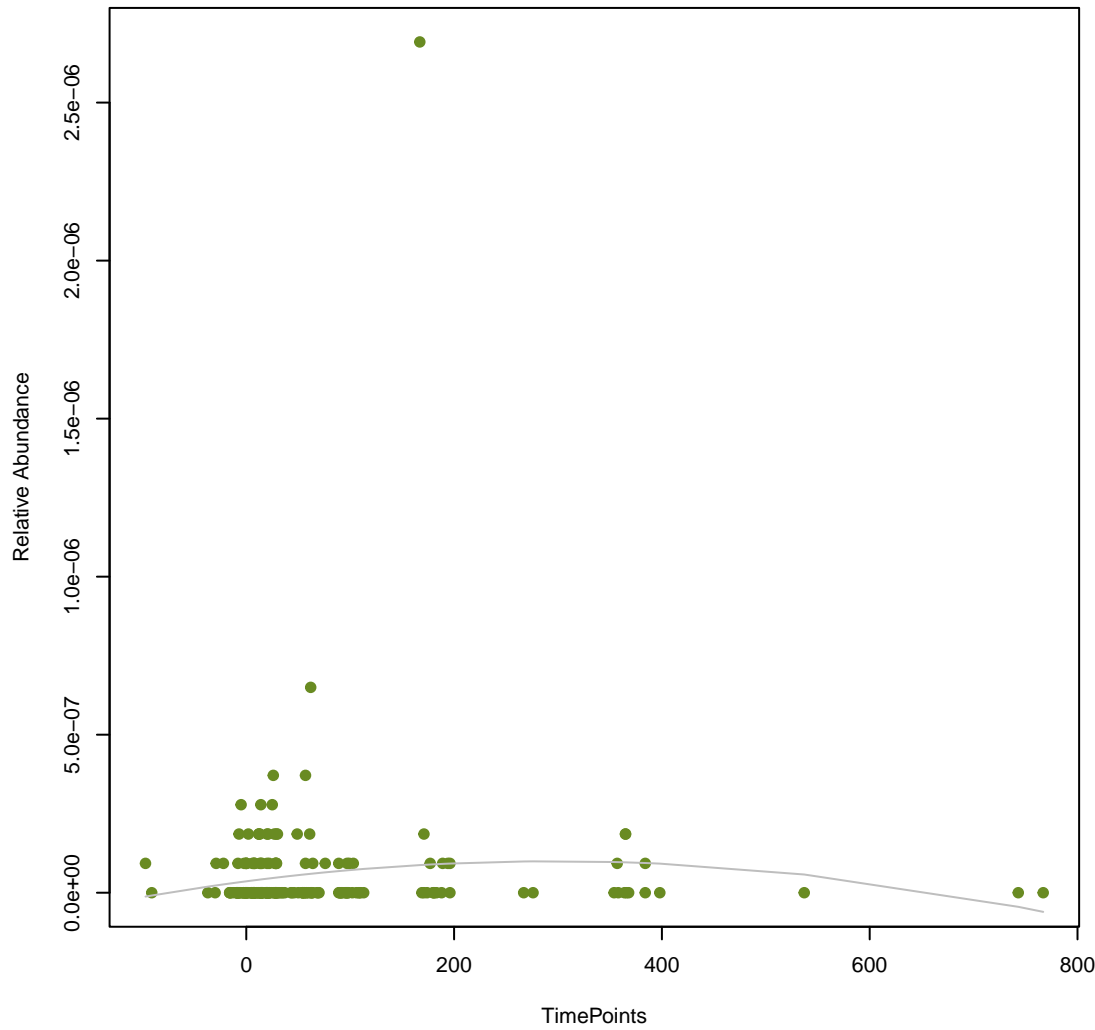


vsearch
ANT(6)-la
ANOVA Pval: 0.77

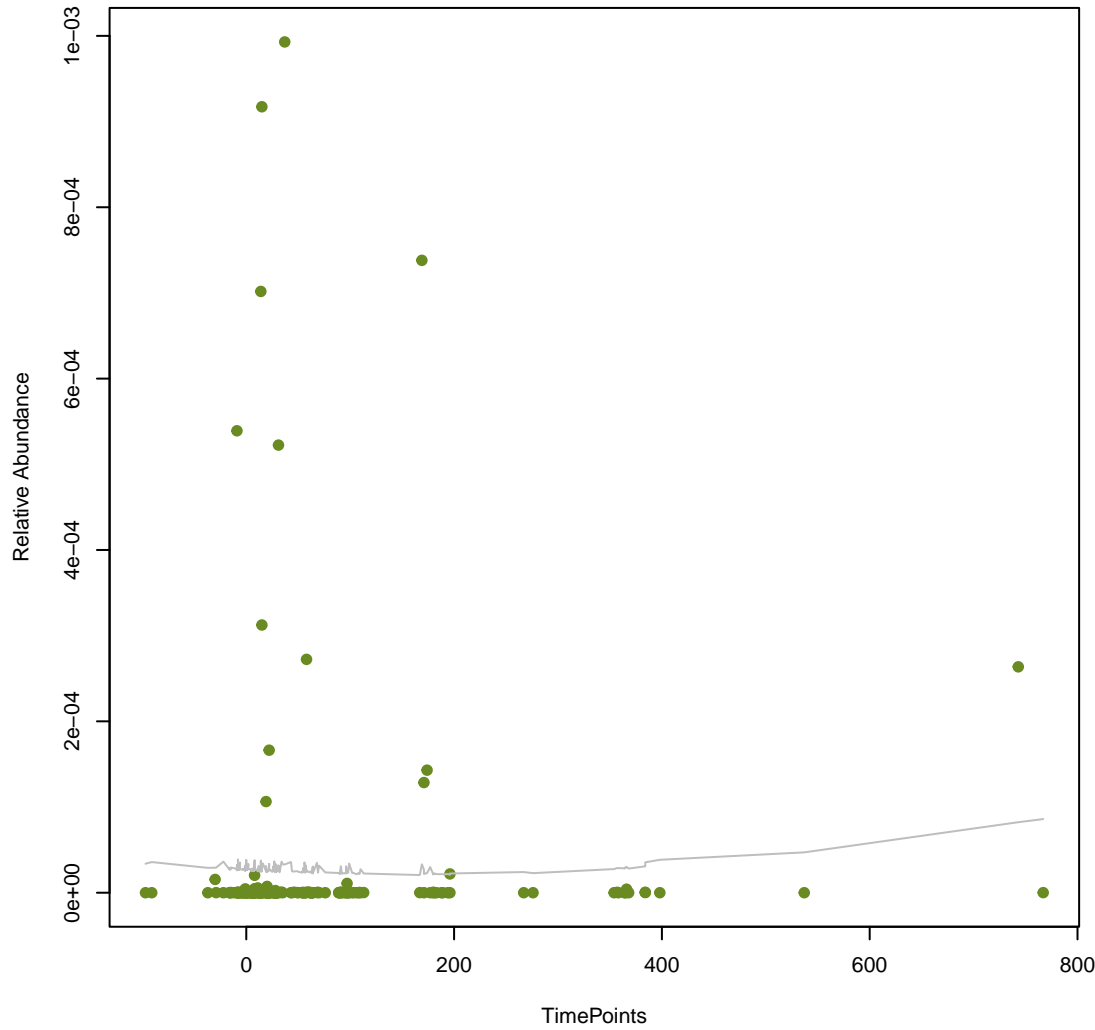




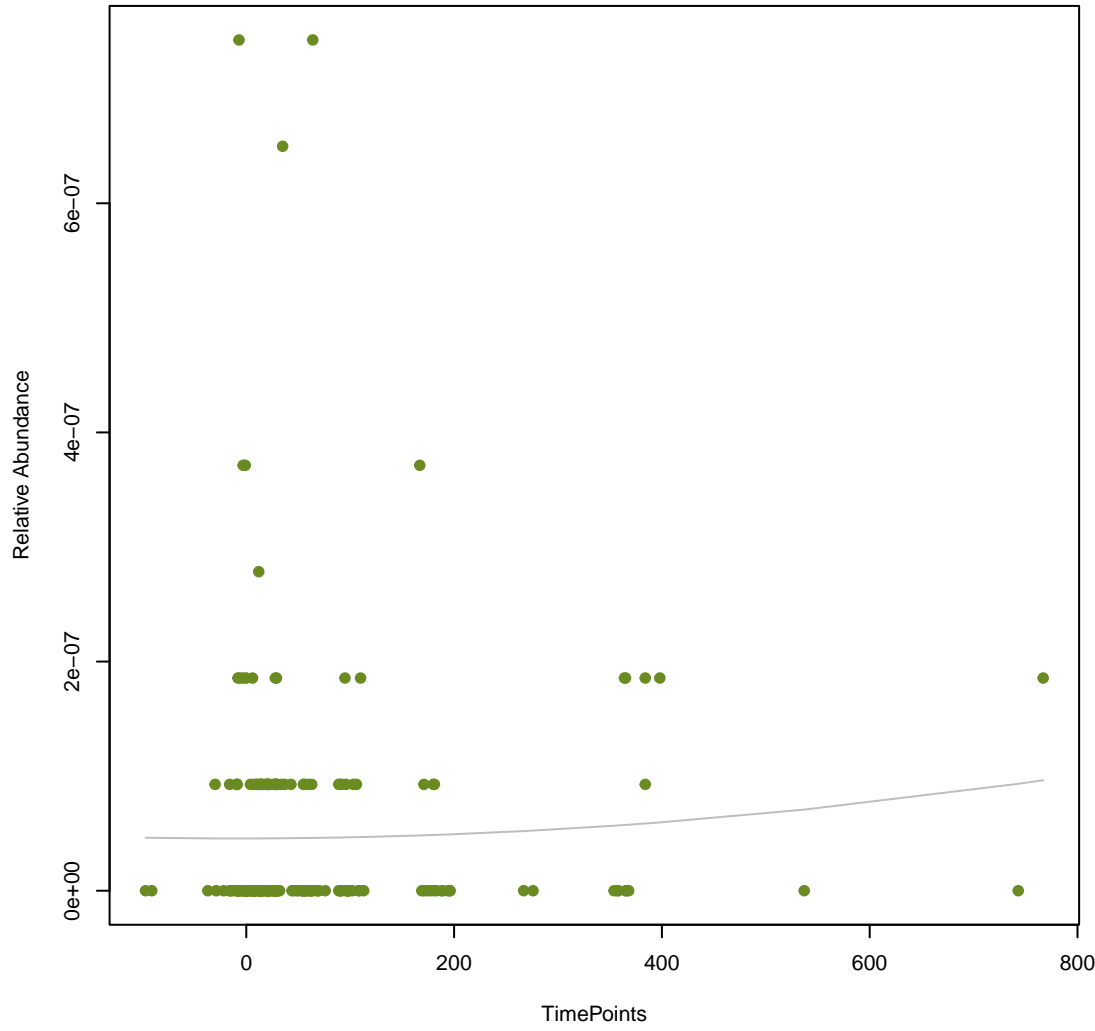
**vsearch
oleB**
ANOVA Pval: 0.254



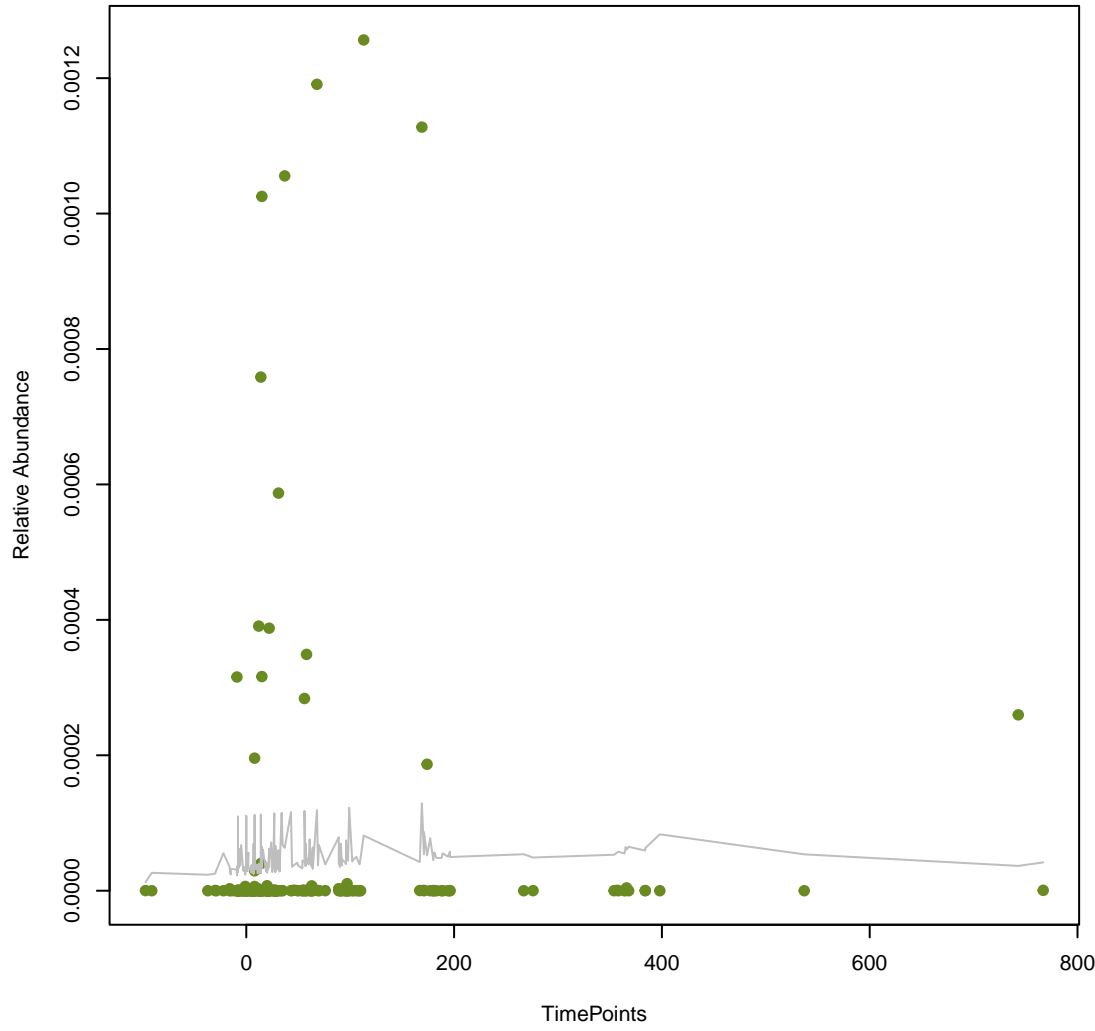
**vsearch
tet(L)**
ANOVA Pval: 0.786



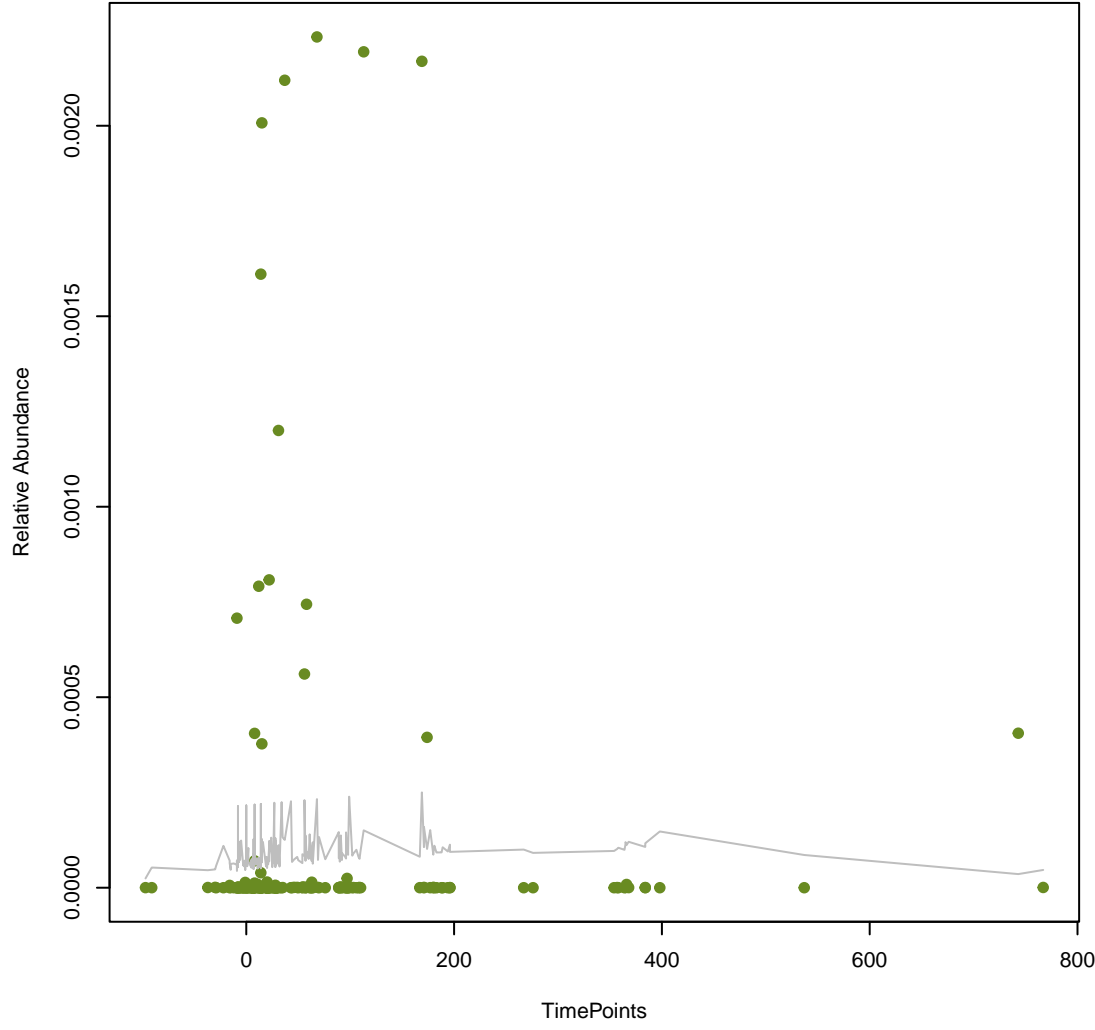
**vsearch
tlrC**
ANOVA Pval: 0.743



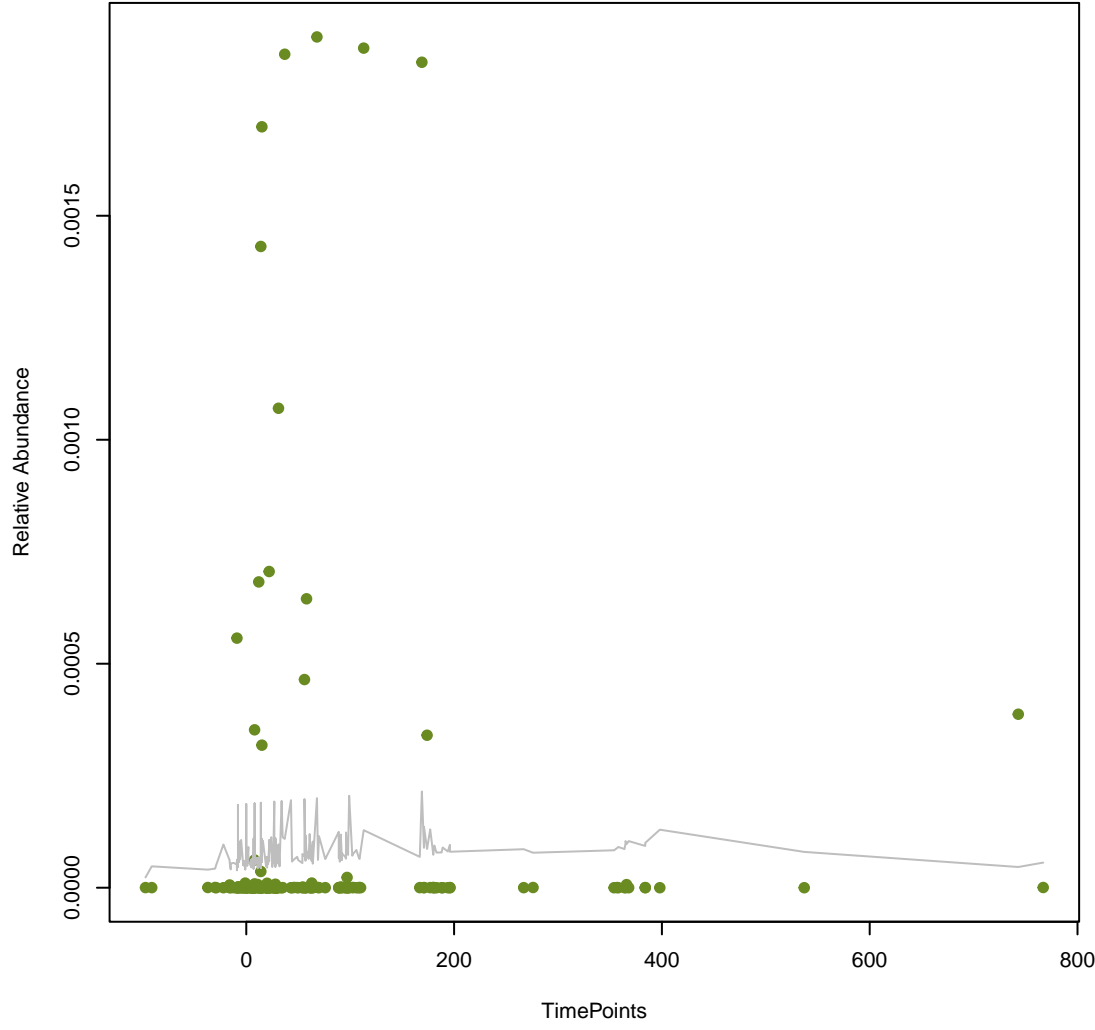
**vsearch
vanZ_in_vanA_cl**
ANOVA Pval: 0.827



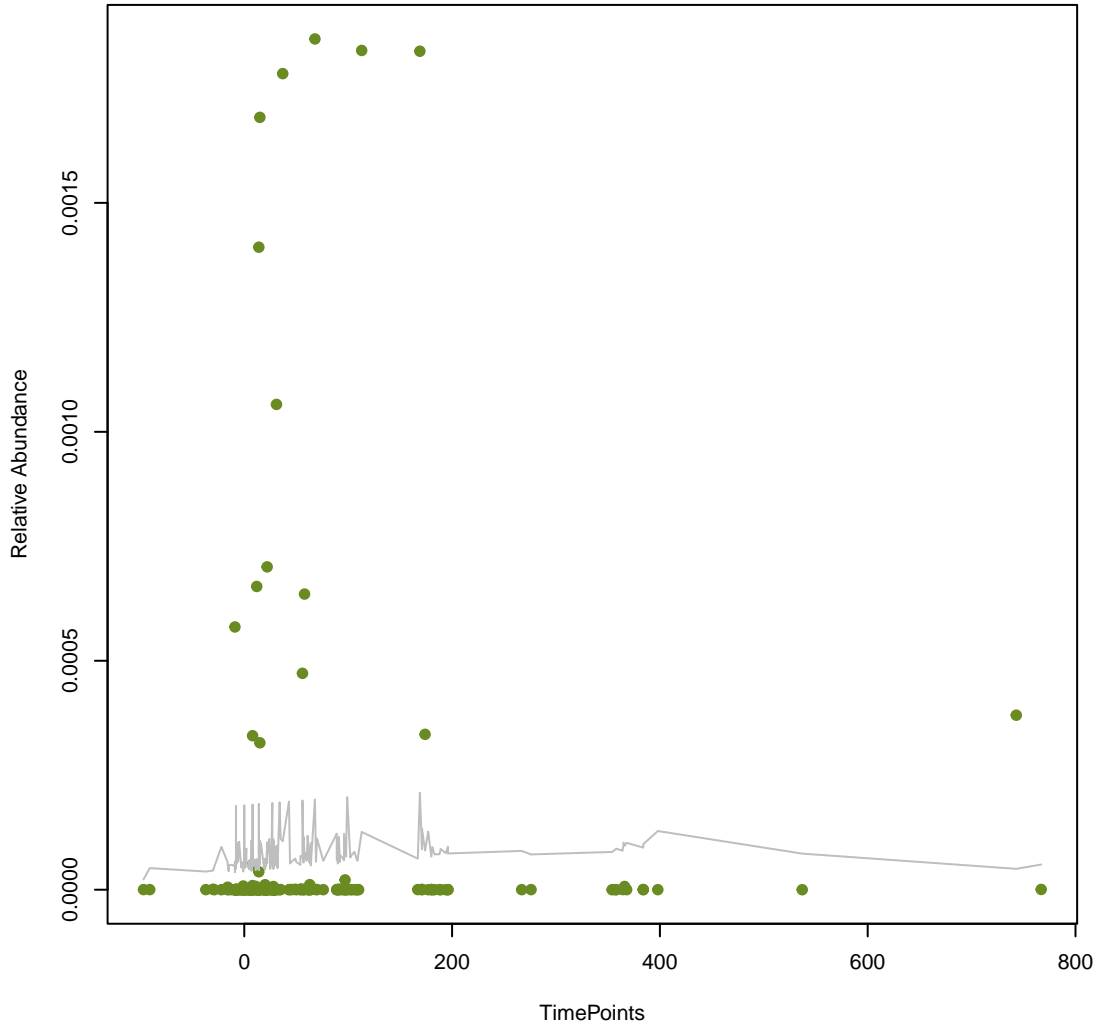
**vsearch
vanS_in_vanA_cl**
ANOVA Pval: 0.845



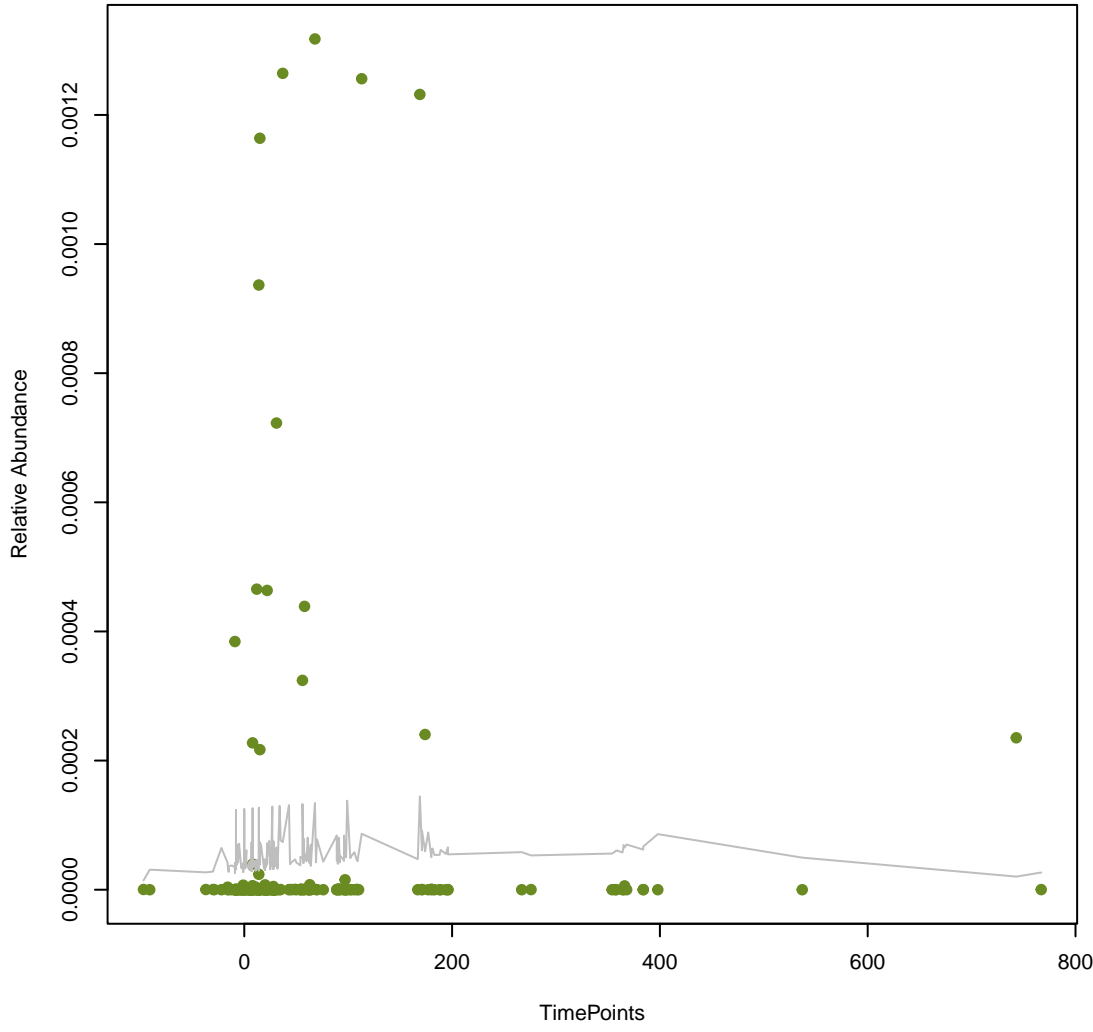
**vsearch
vanH_in_vanA_cl**
ANOVA Pval: 0.856



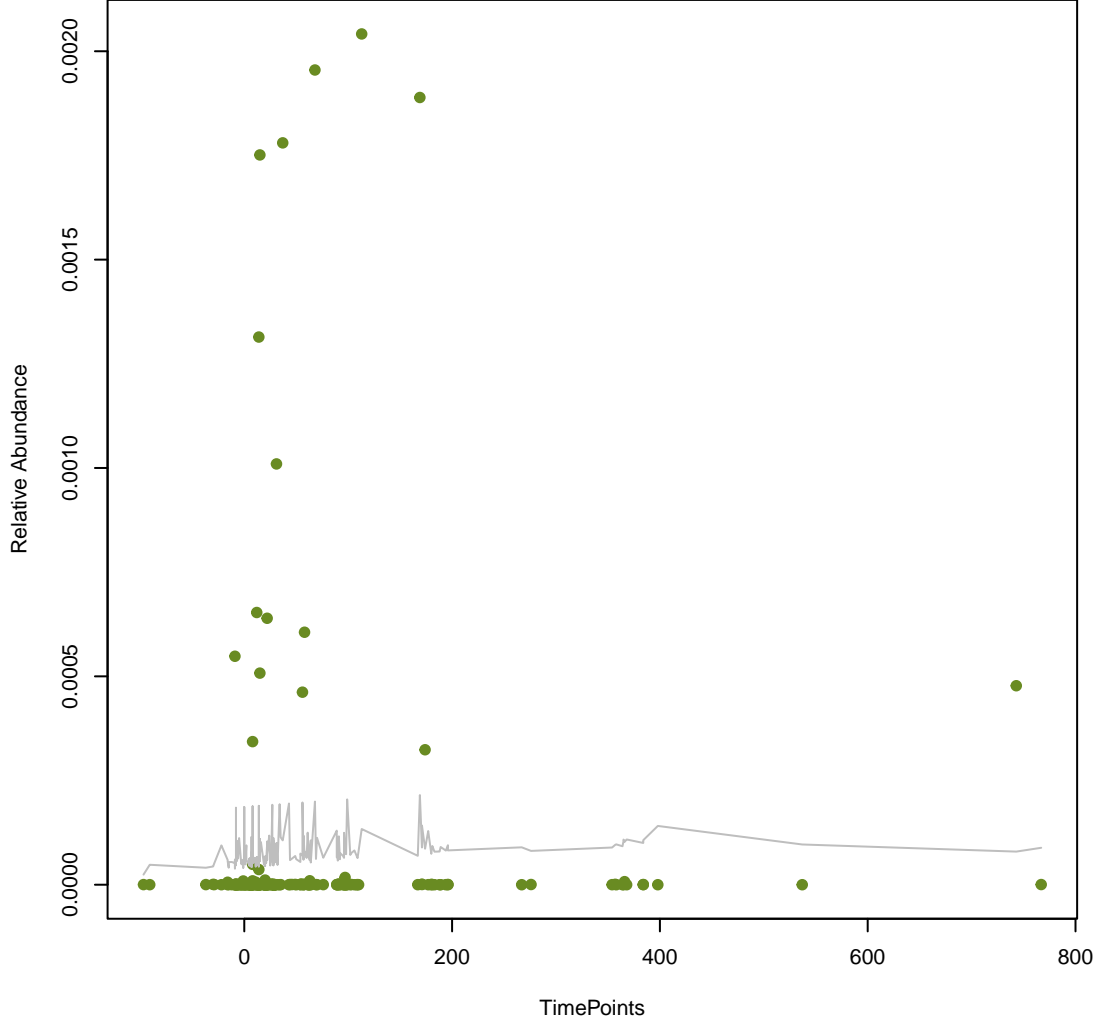
**vsearch
vanA**
ANOVA Pval: 0.854



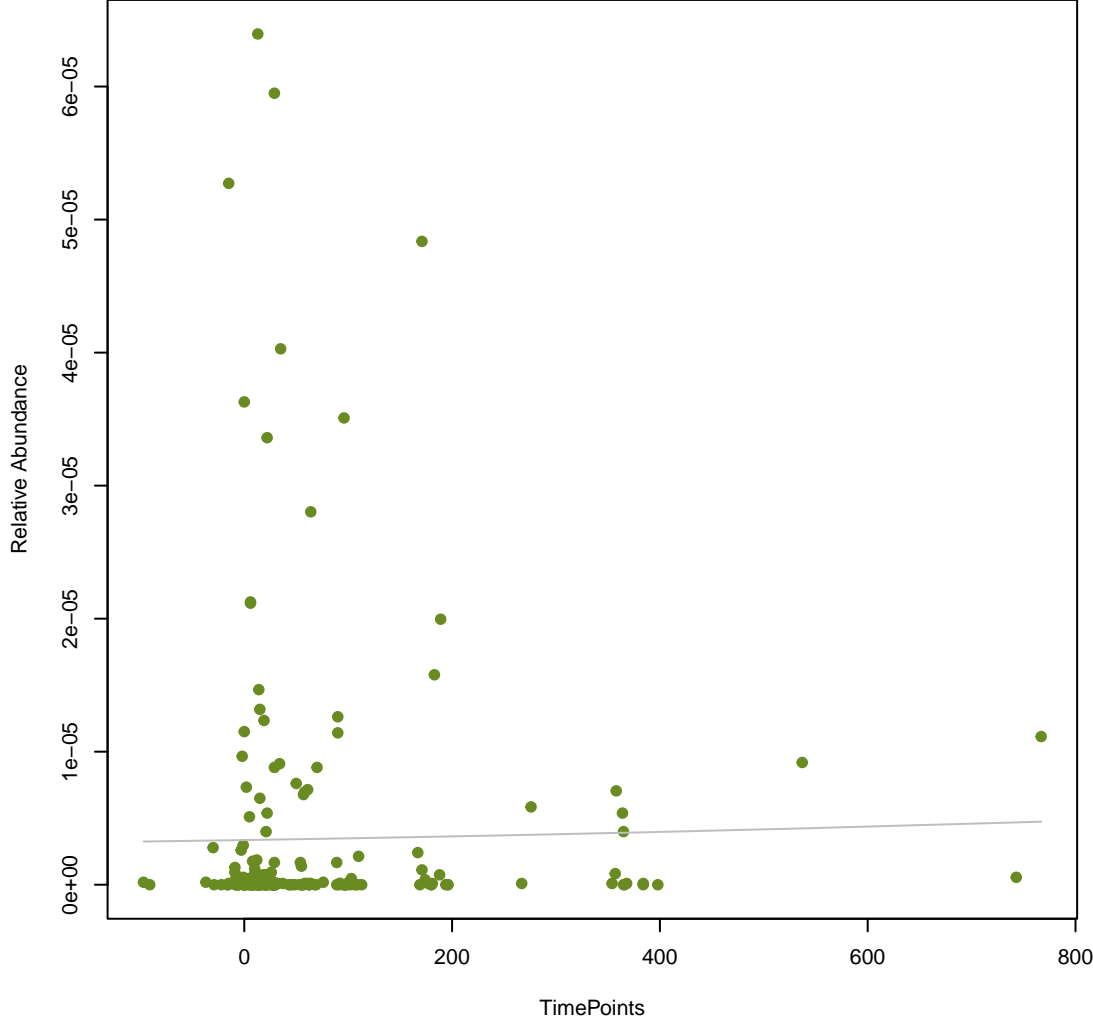
**vsearch
vanX_in_vanA_cl**
ANOVA Pval: 0.847



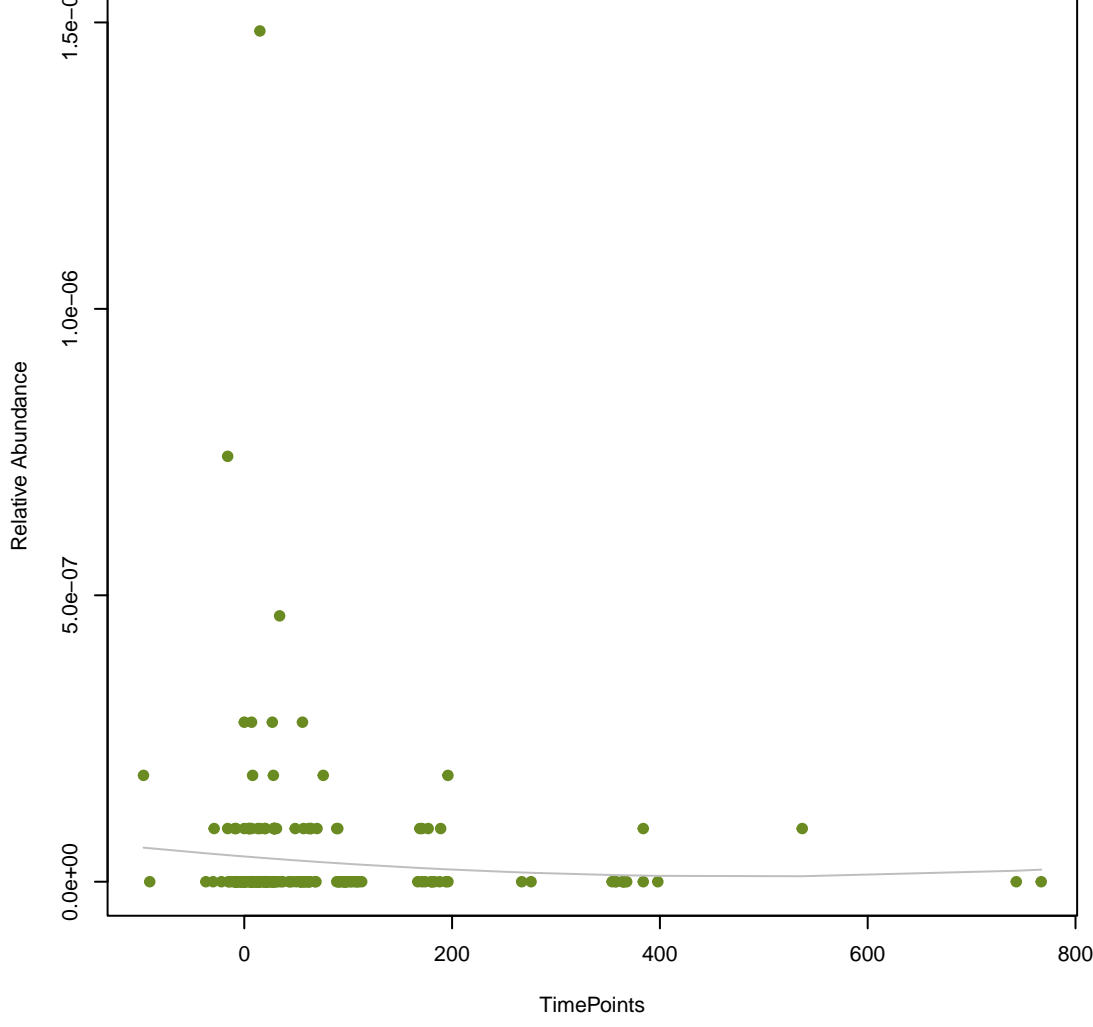
**vsearch
vanY_in_vanA_cl**
ANOVA Pval: 0.833



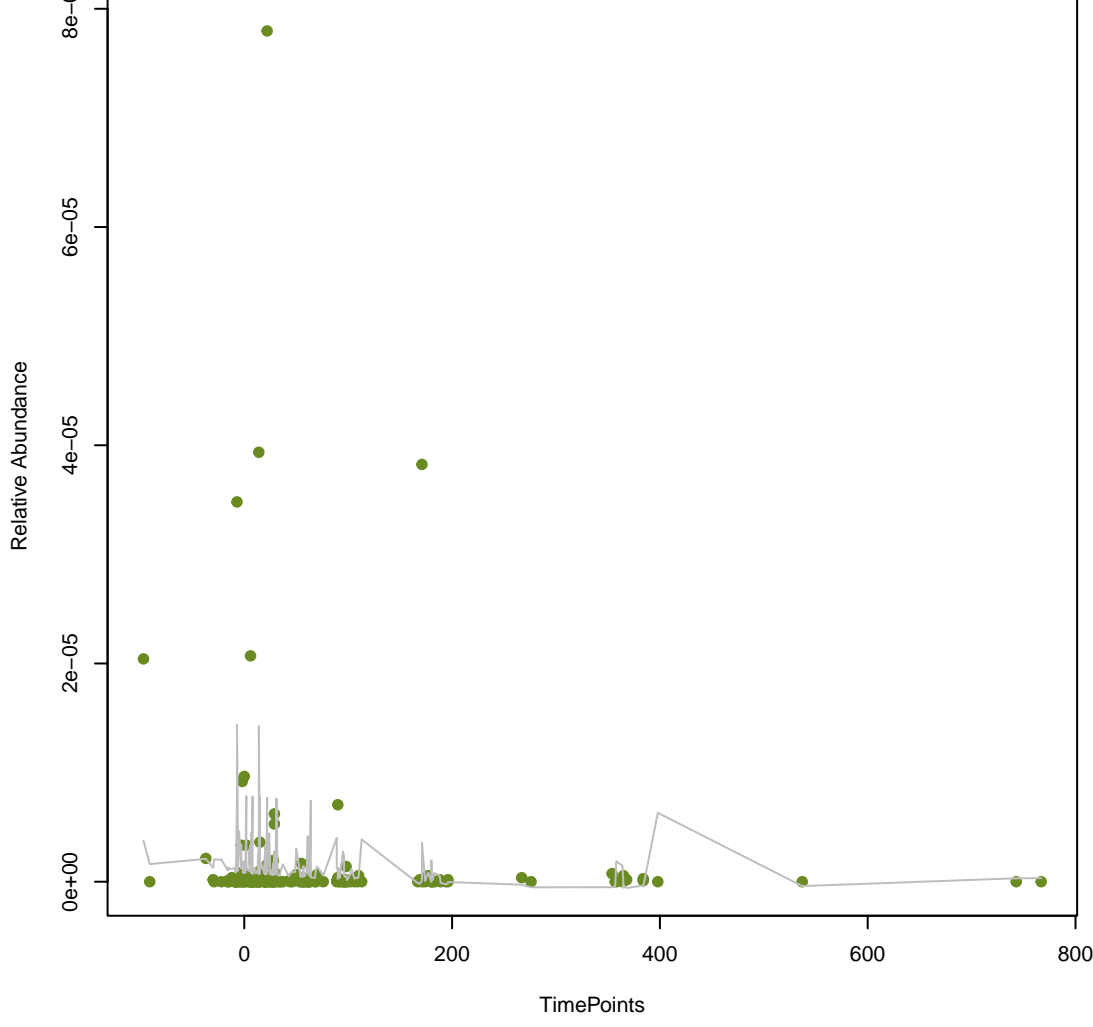
**vsearch
Tet(X4)**
ANOVA Pval: 0.96



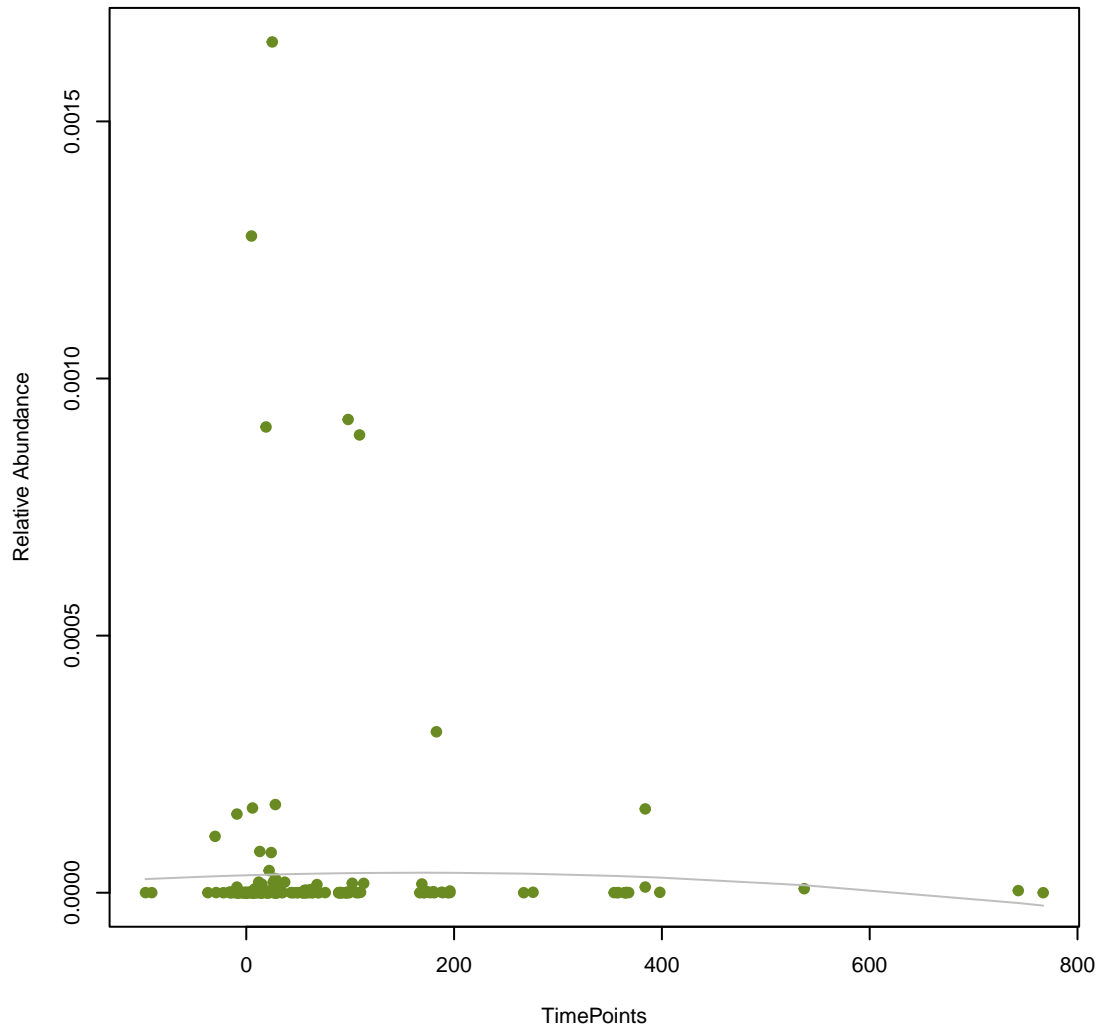
**vsearch
PME-1**
ANOVA Pval: 0.559



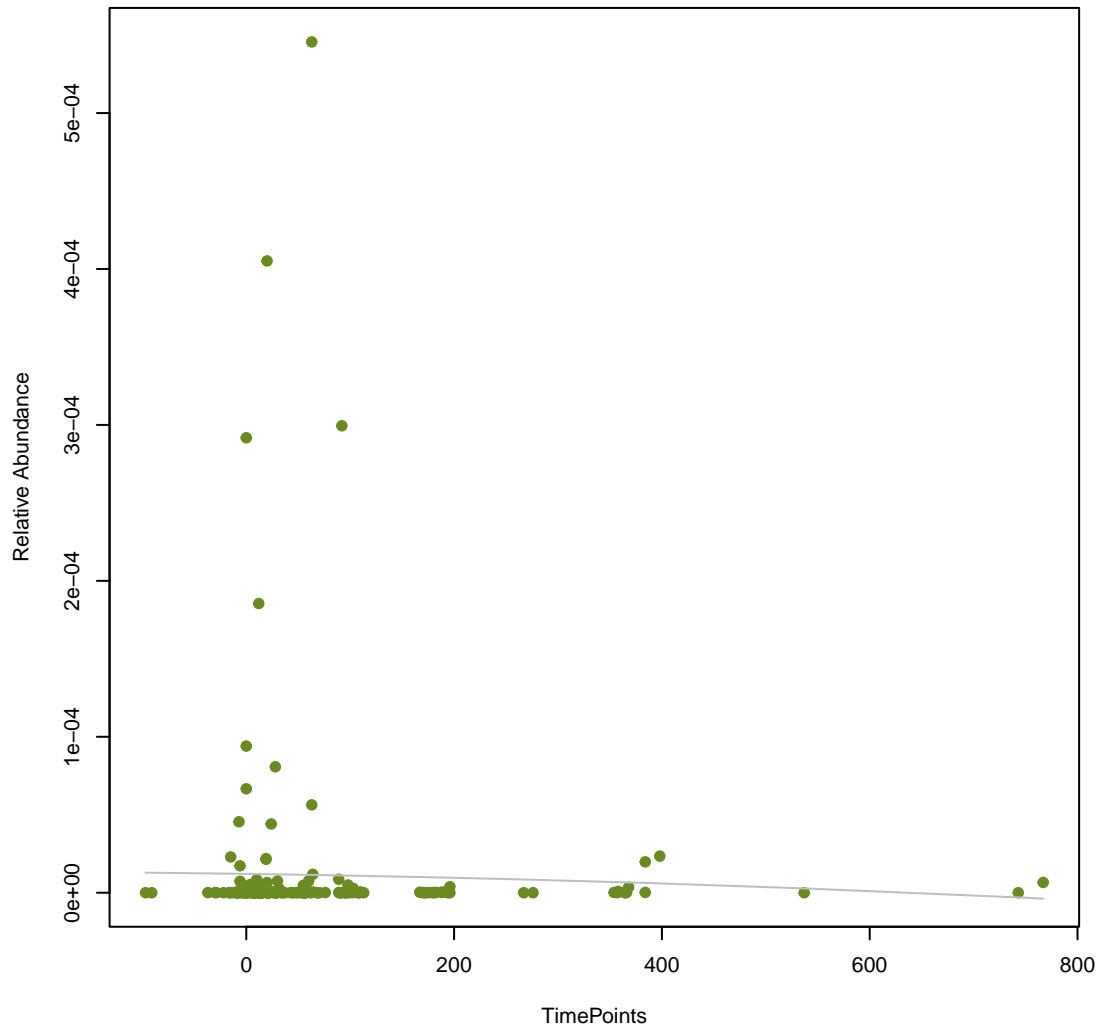
**vsearch
mdeA**
ANOVA Pval: 0.654



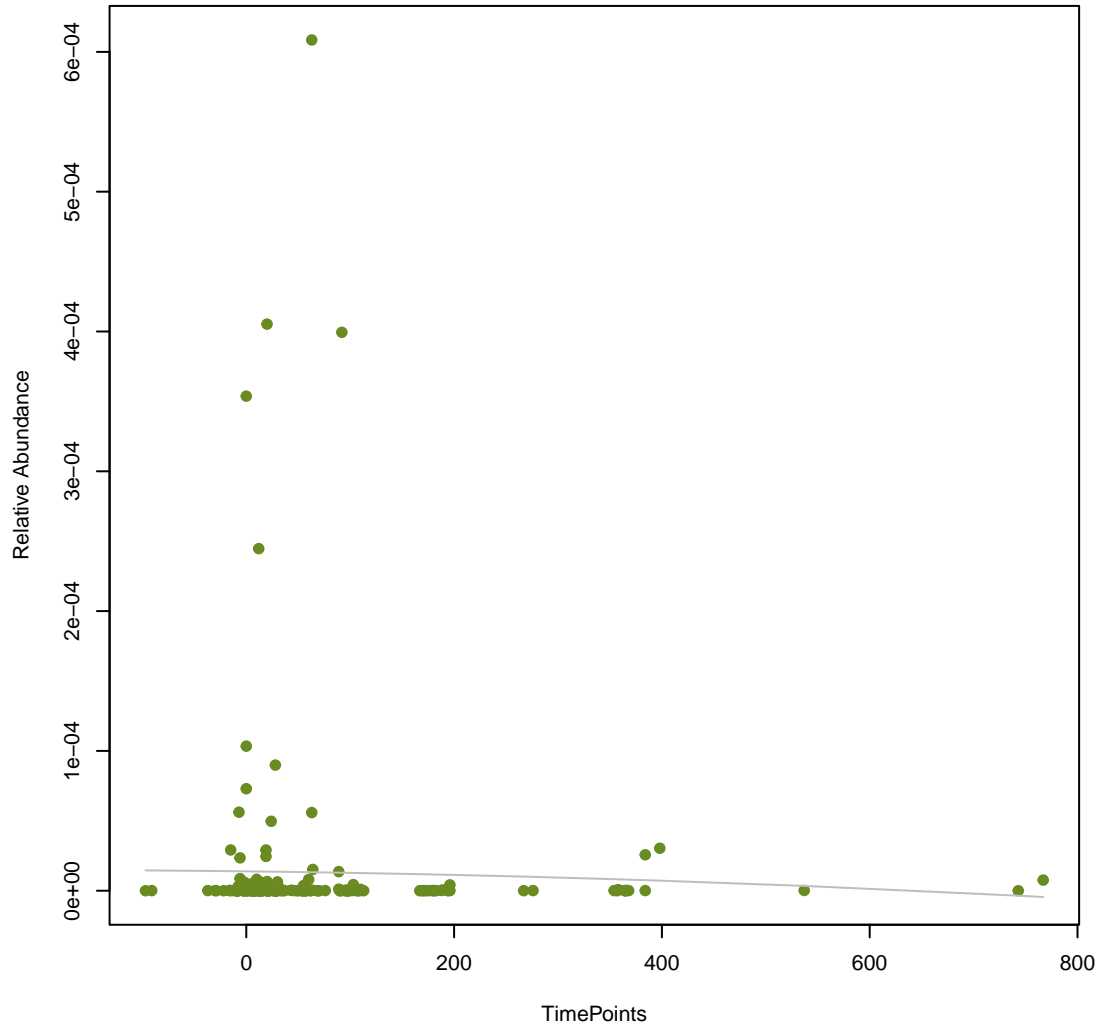
vsearch
efrA
ANOVA Pval: 0.885



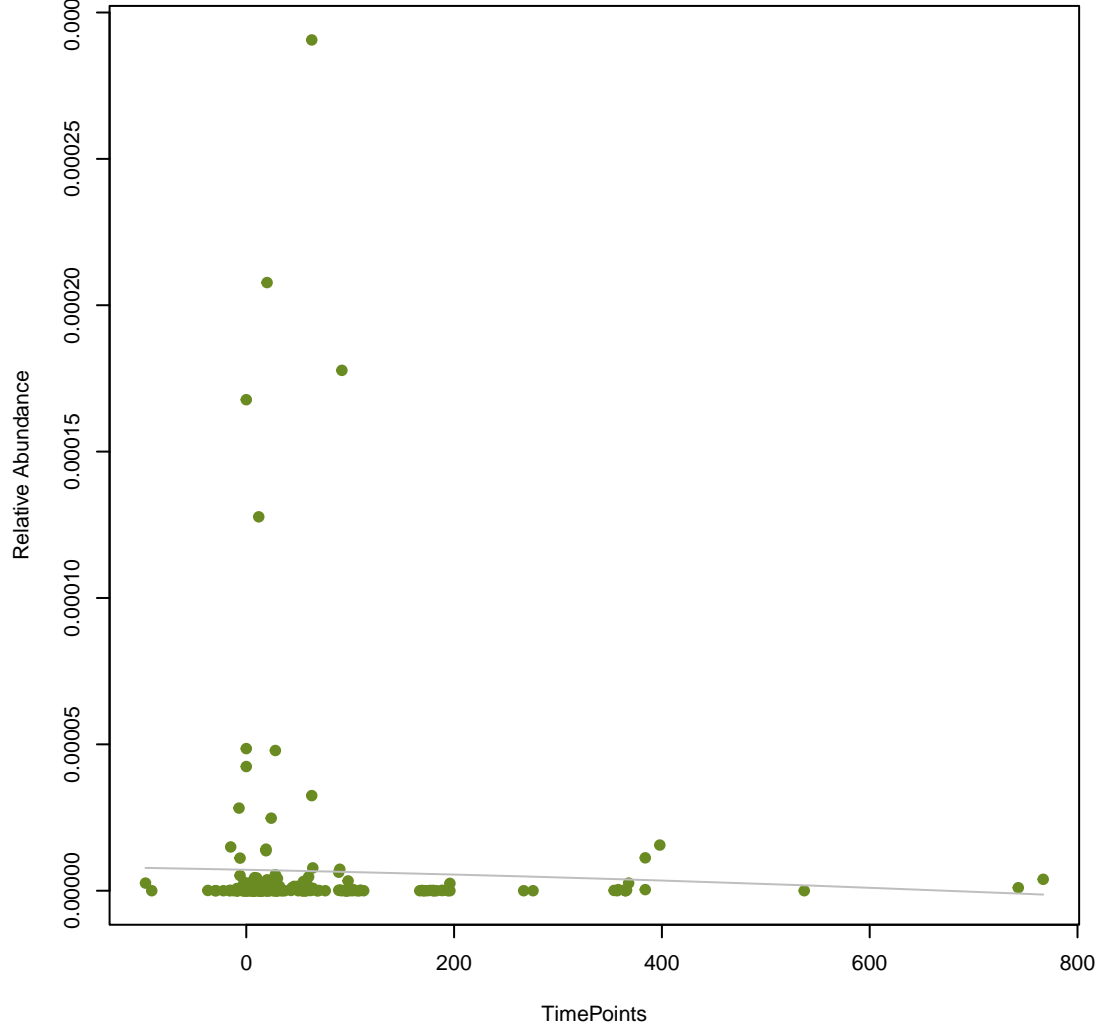
vsearch
mdtA
ANOVA Pval: 0.874



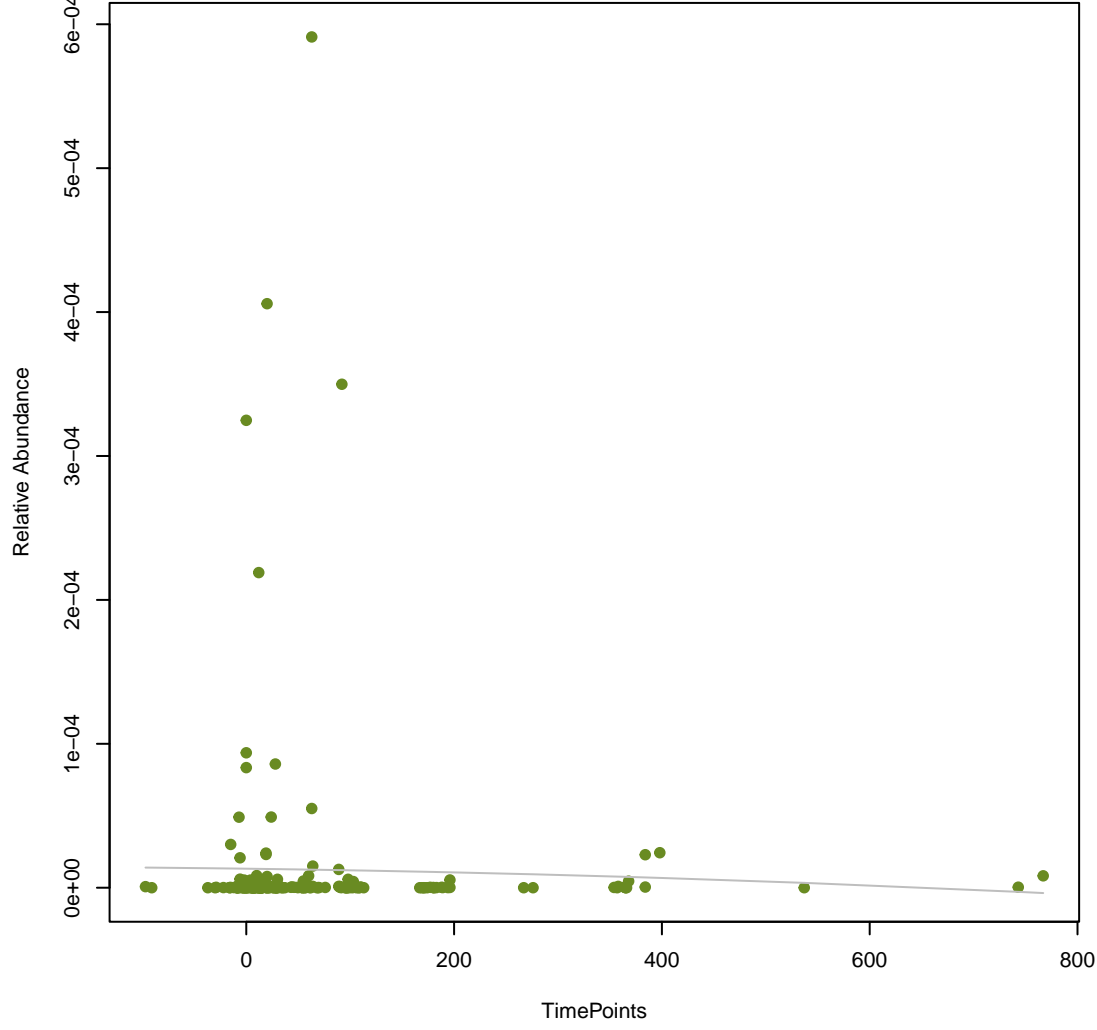
vsearch
AcrE
ANOVA Pval: 0.879



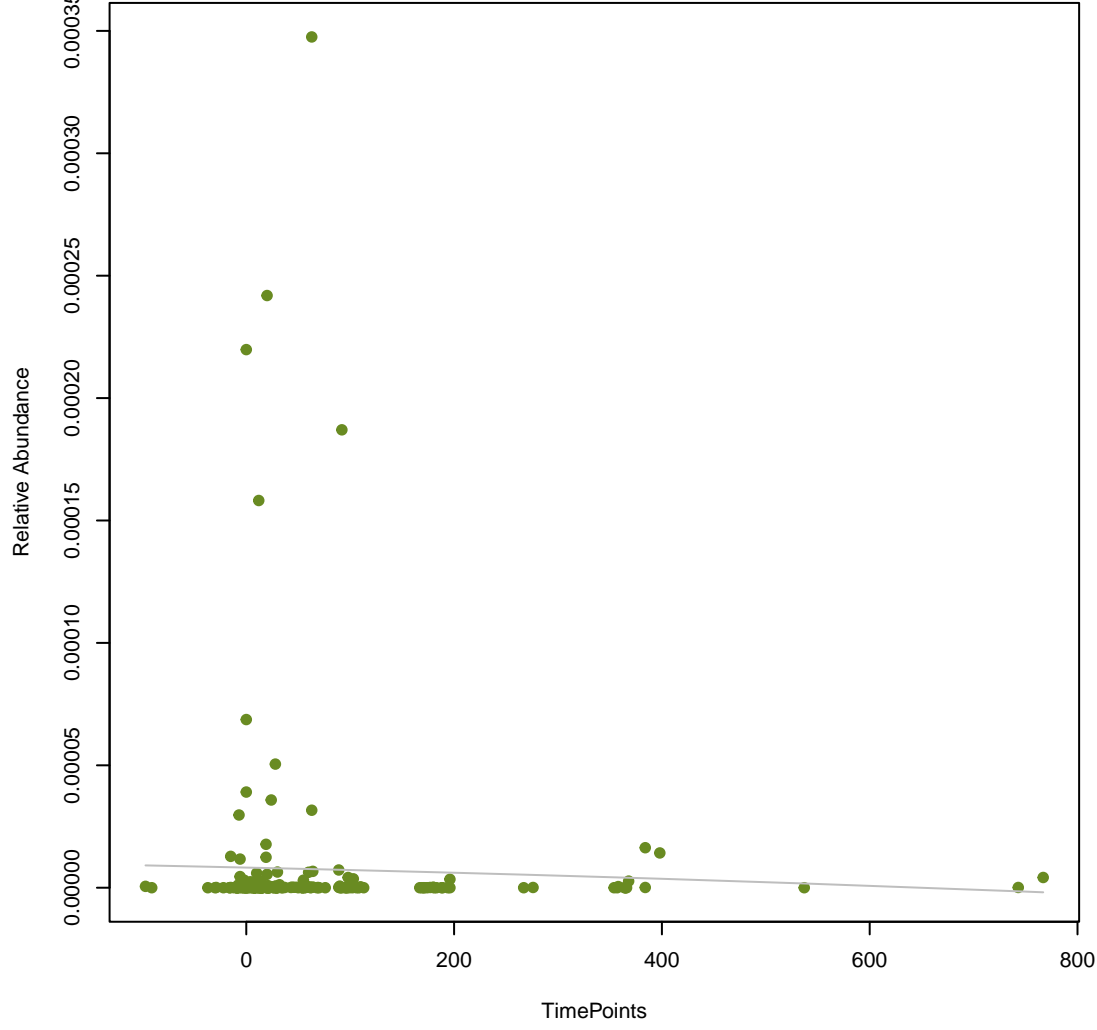
vsearch
emrR
ANOVA Pval: 0.866



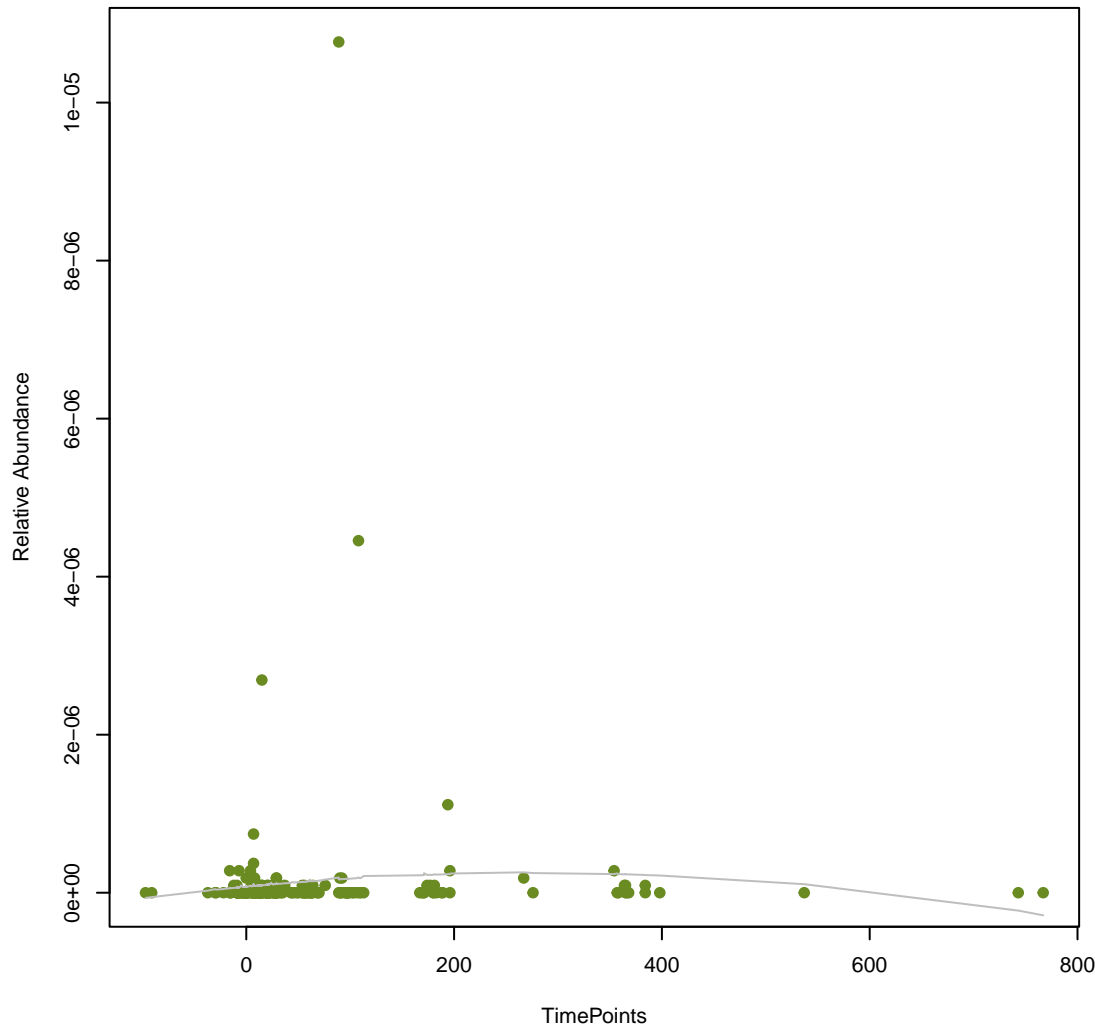
vsearch
Ecol_acrA
ANOVA Pval: 0.88



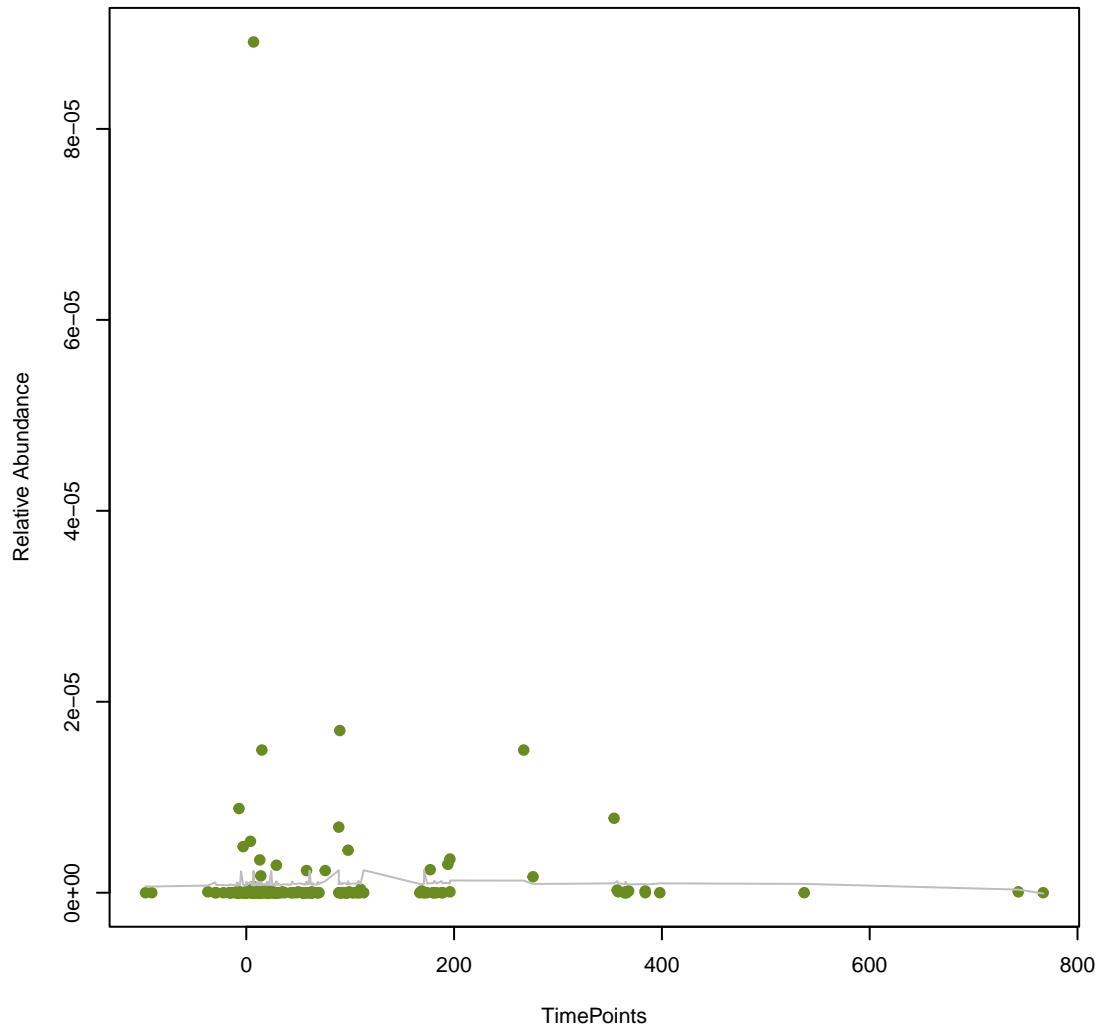
vsearch
kdpE
ANOVA Pval: 0.857



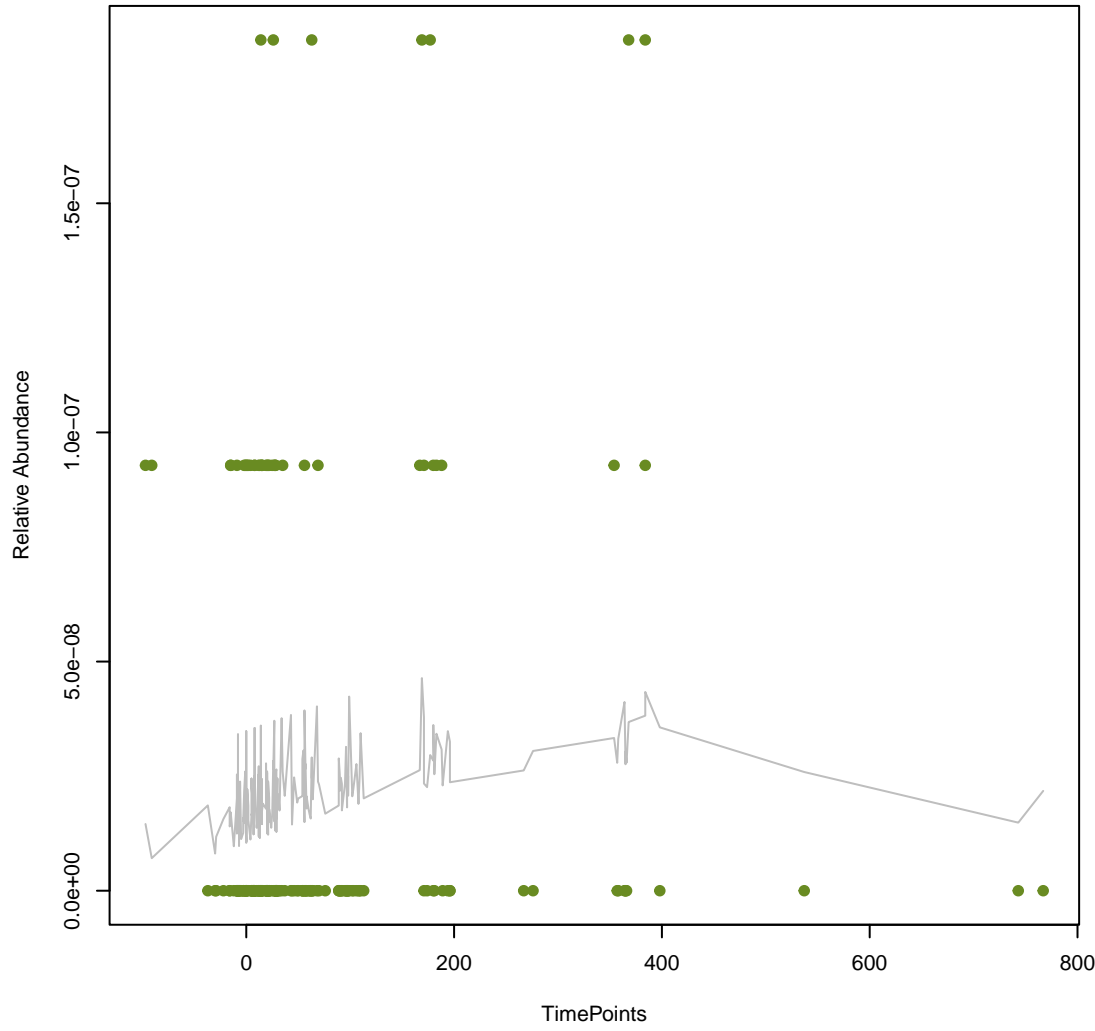
**vsearch
catP**
ANOVA Pval: 0.492



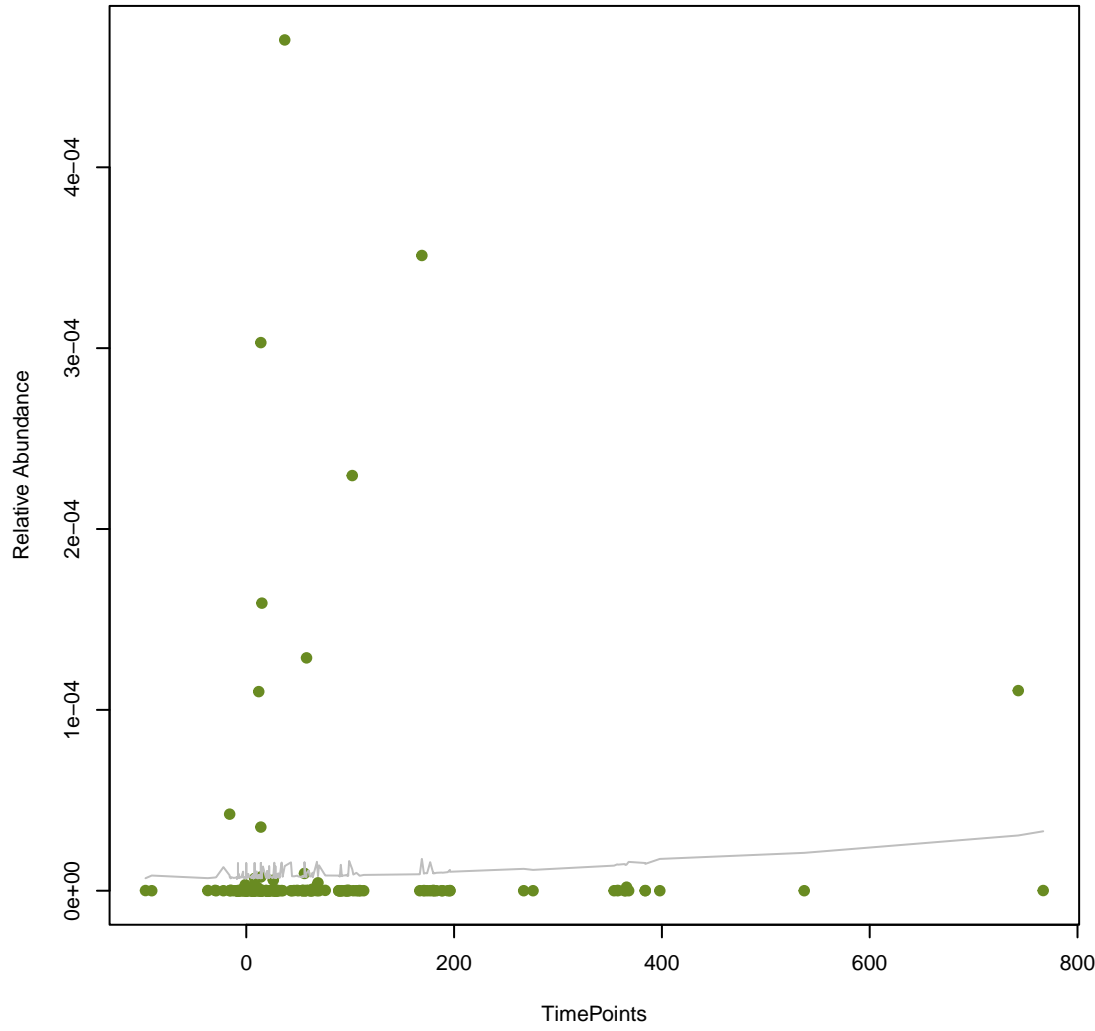
**vsearch
catS**
ANOVA Pval: 0.974



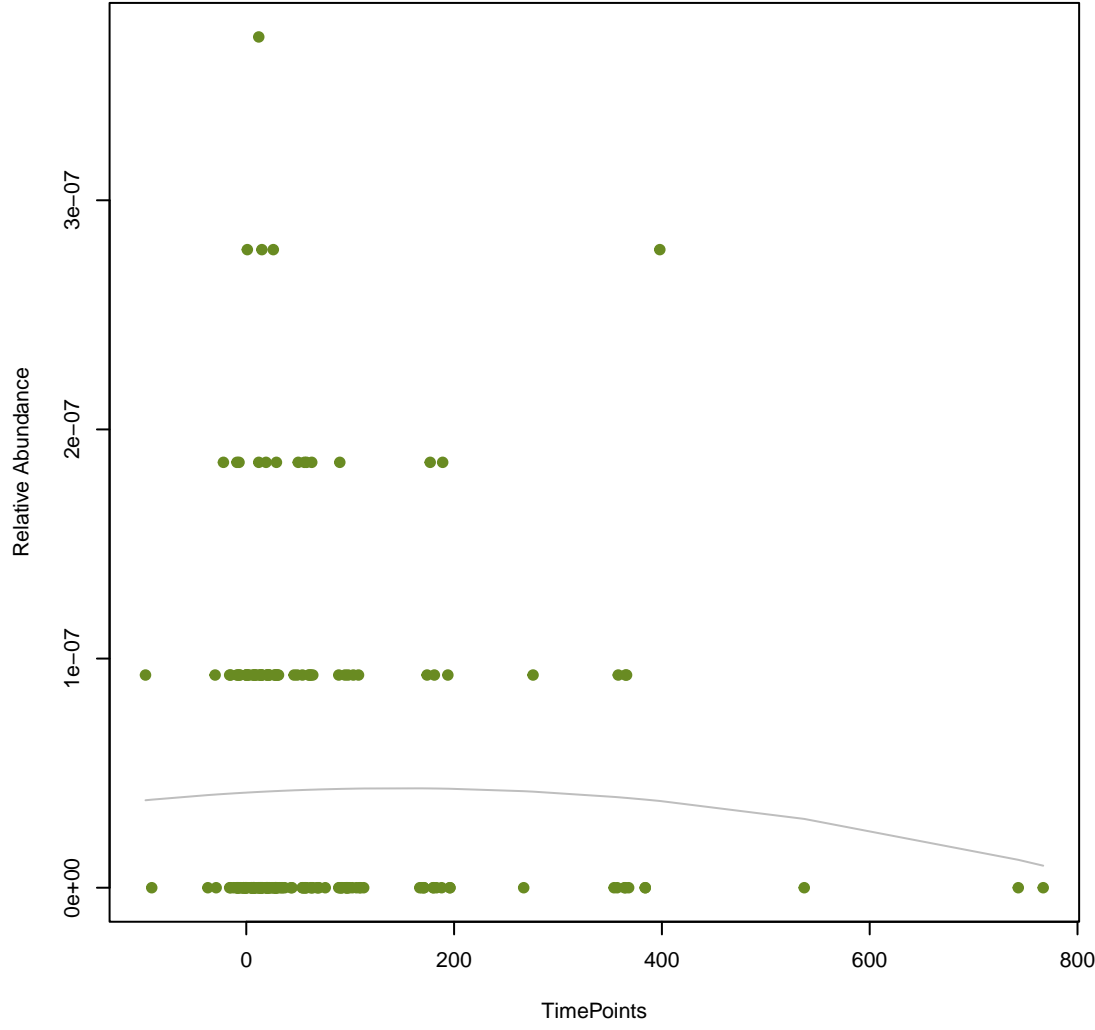
**vsearch
SAT-3**
ANOVA Pval: 0.271



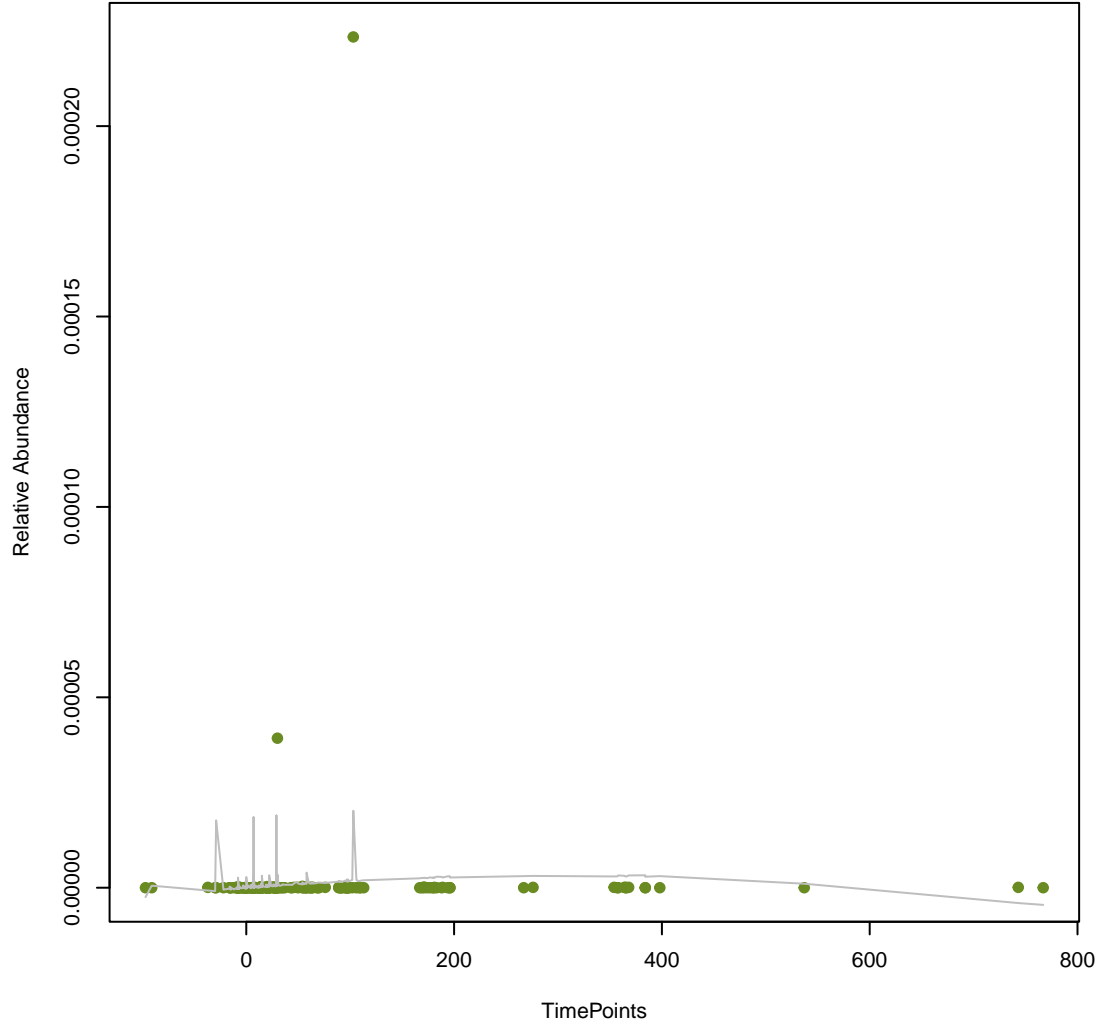
**vsearch
dfrG**
ANOVA Pval: 0.705



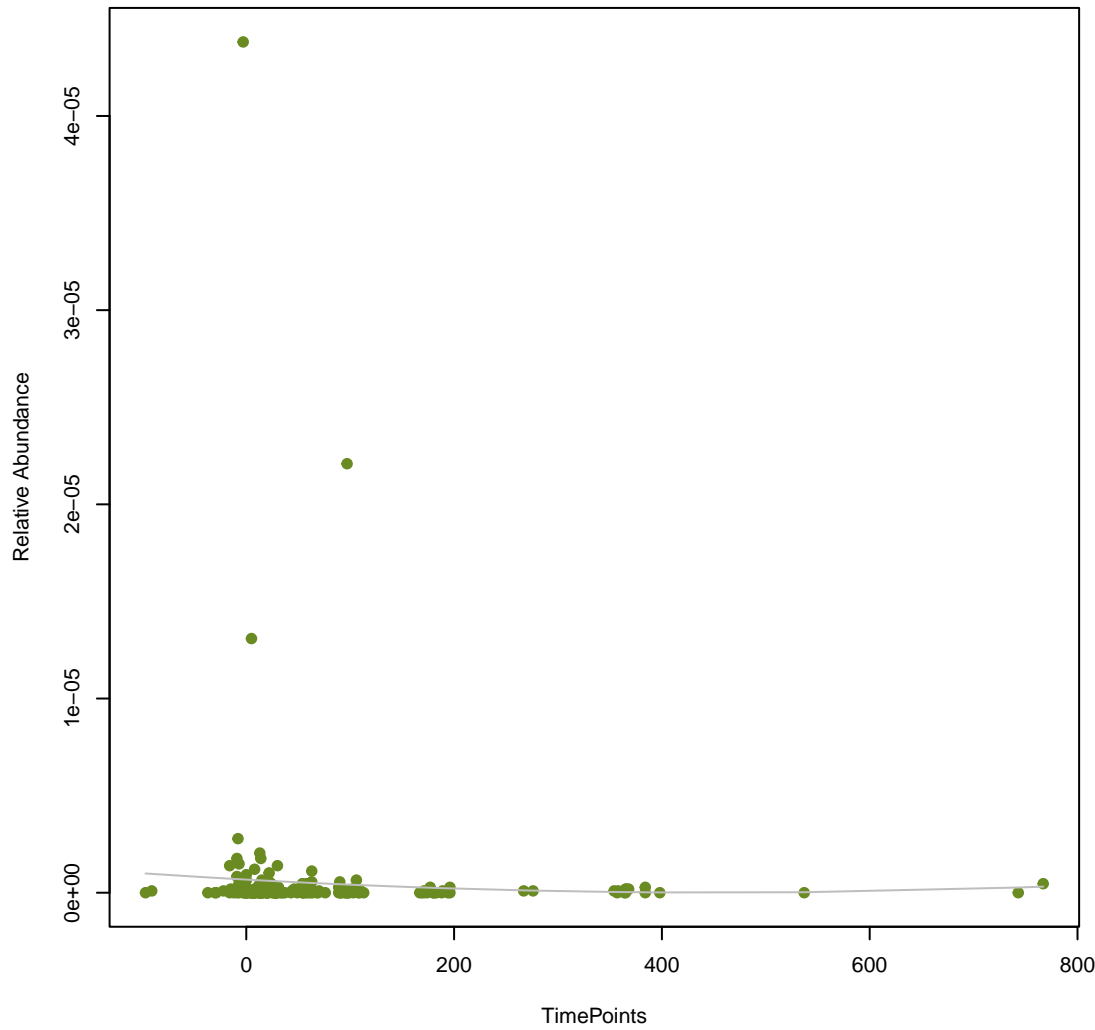
**vsearch
IND-7**
ANOVA Pval: 0.786



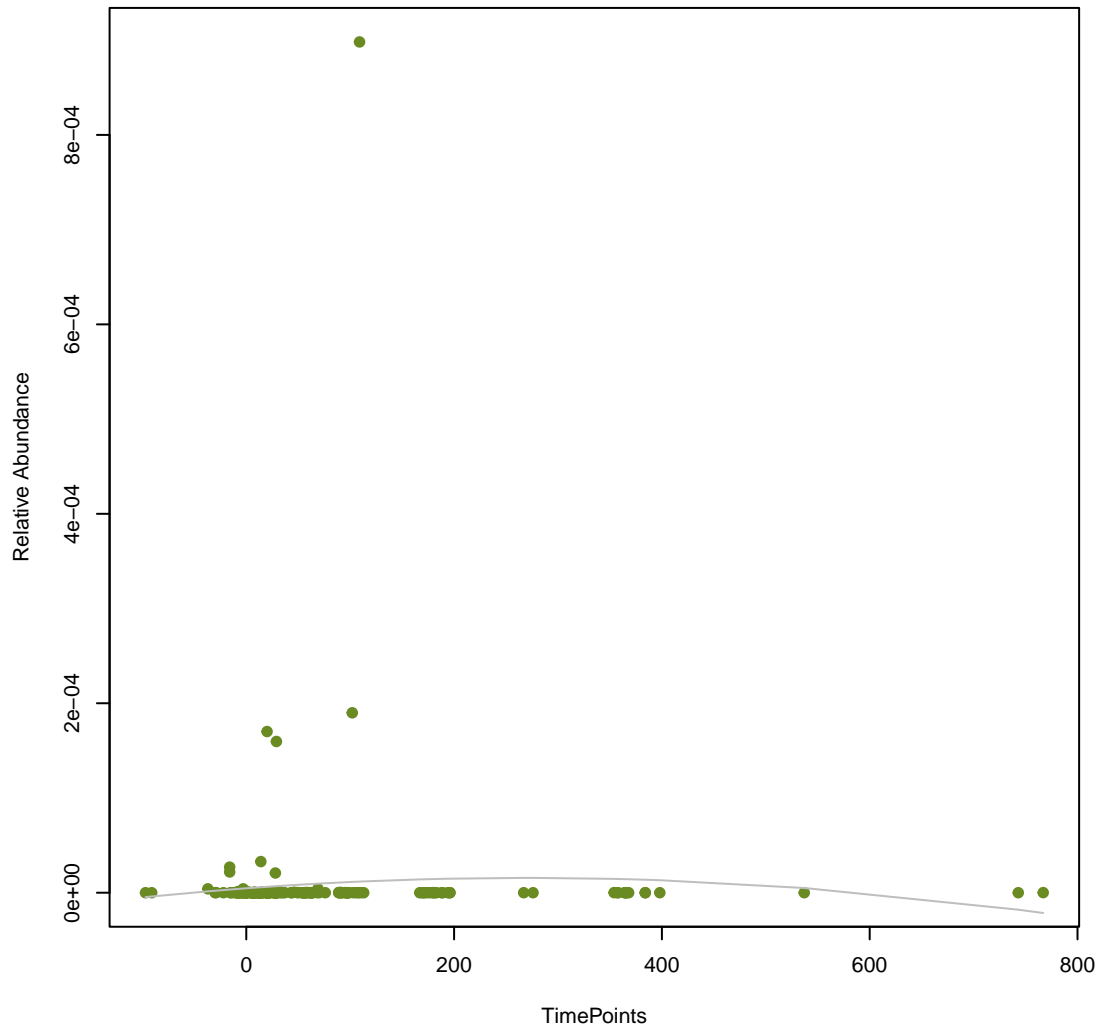
**vsearch
MexV**
ANOVA Pval: 0.541



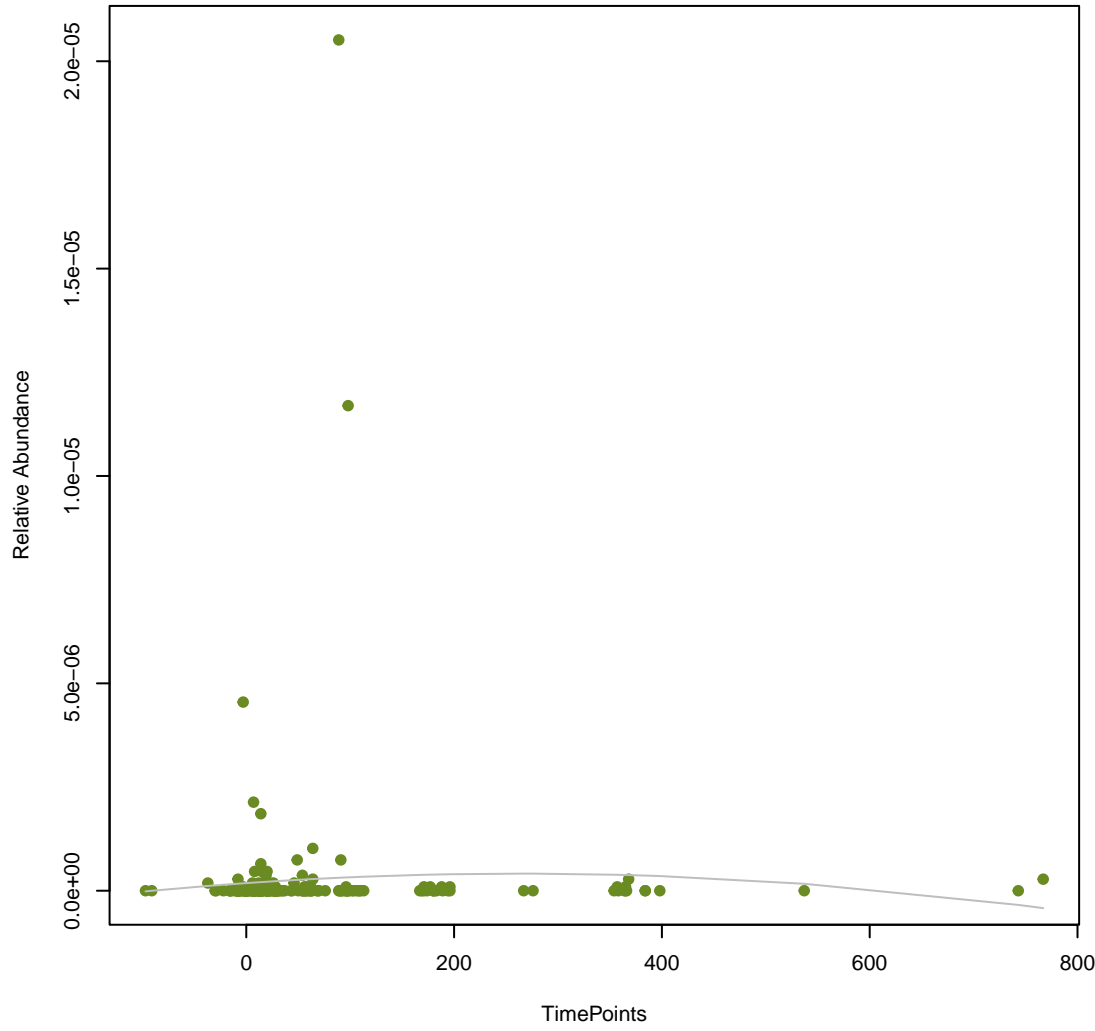
vsearch
pmrA
ANOVA Pval: 0.738



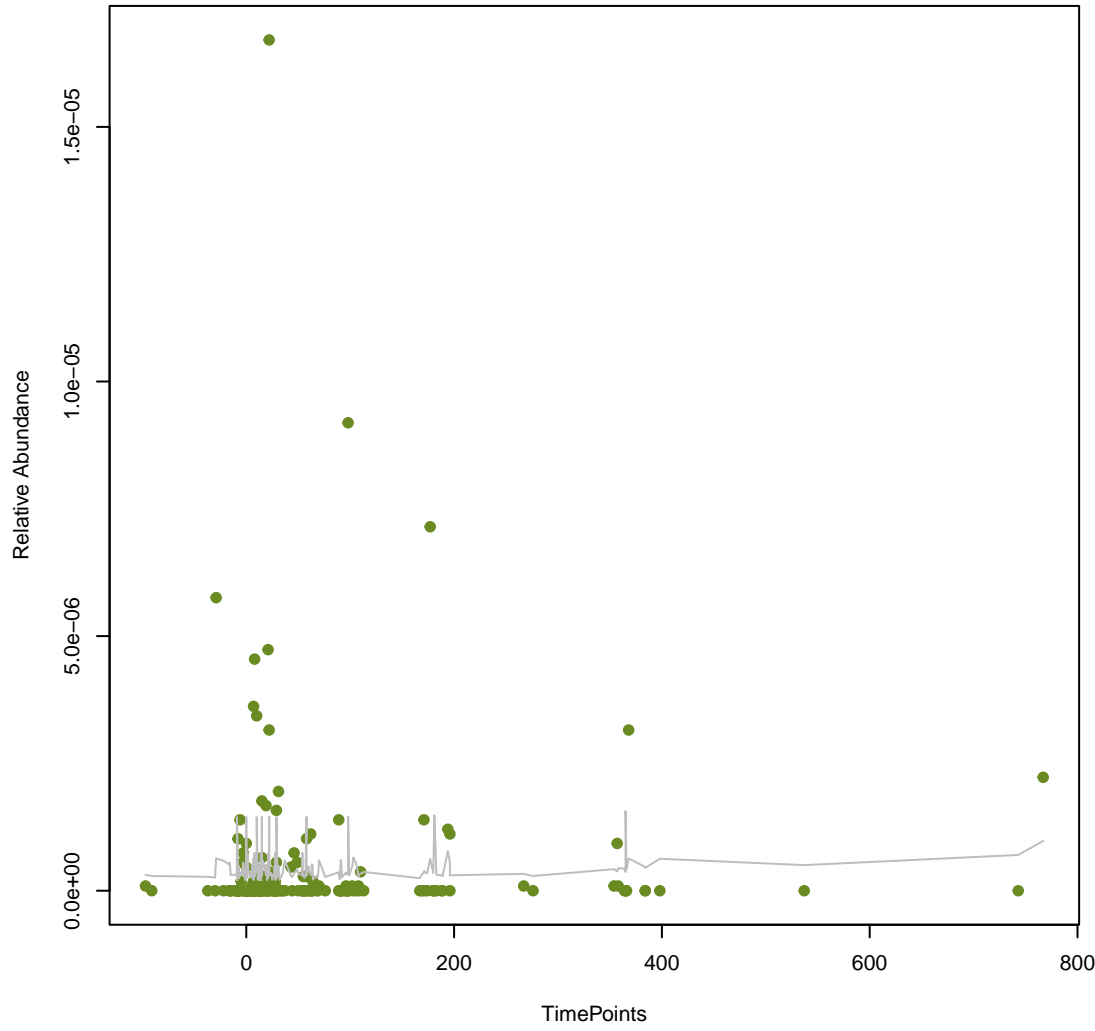
vsearch
dfrC
ANOVA Pval: 0.608



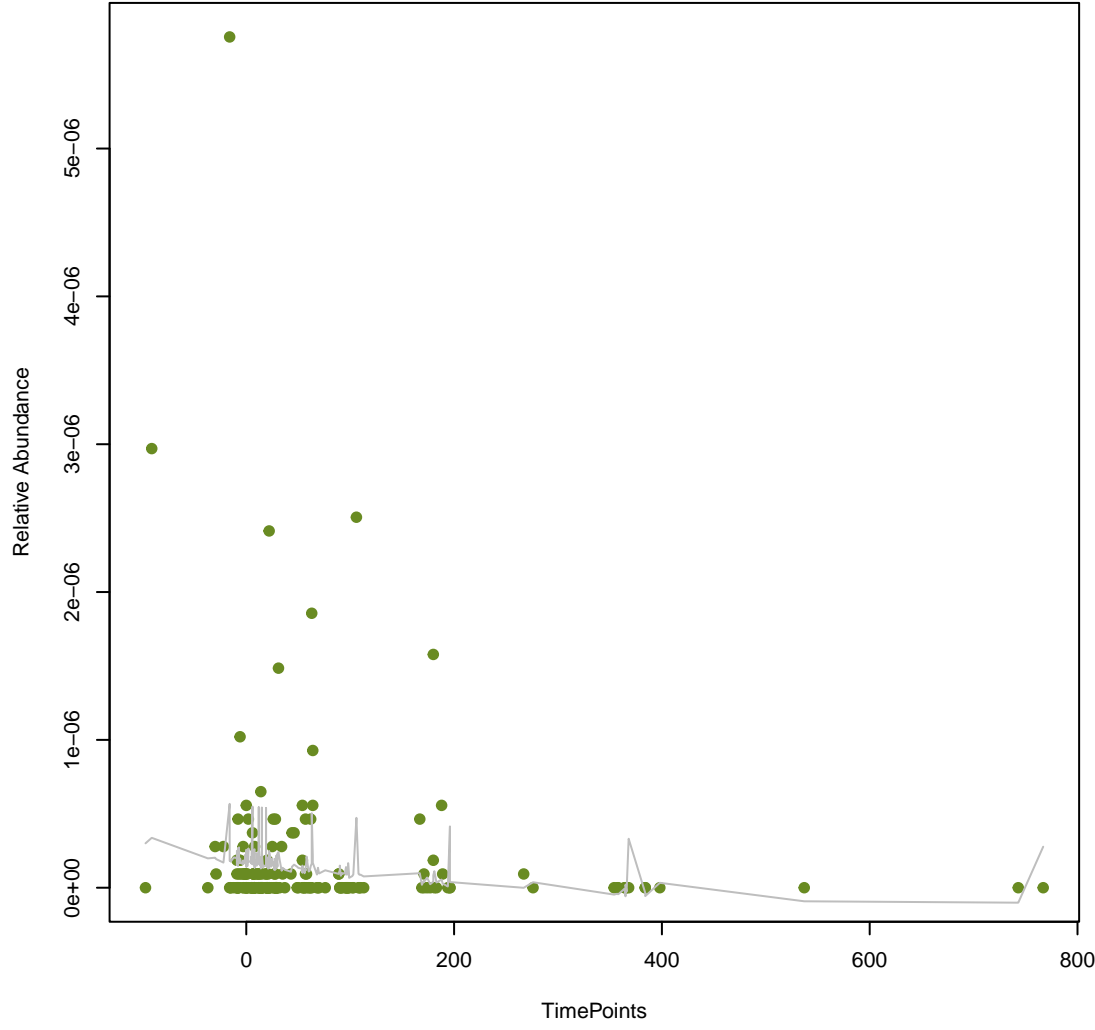
vsearch
Spyo_ErmA_MLSb
ANOVA Pval: 0.699



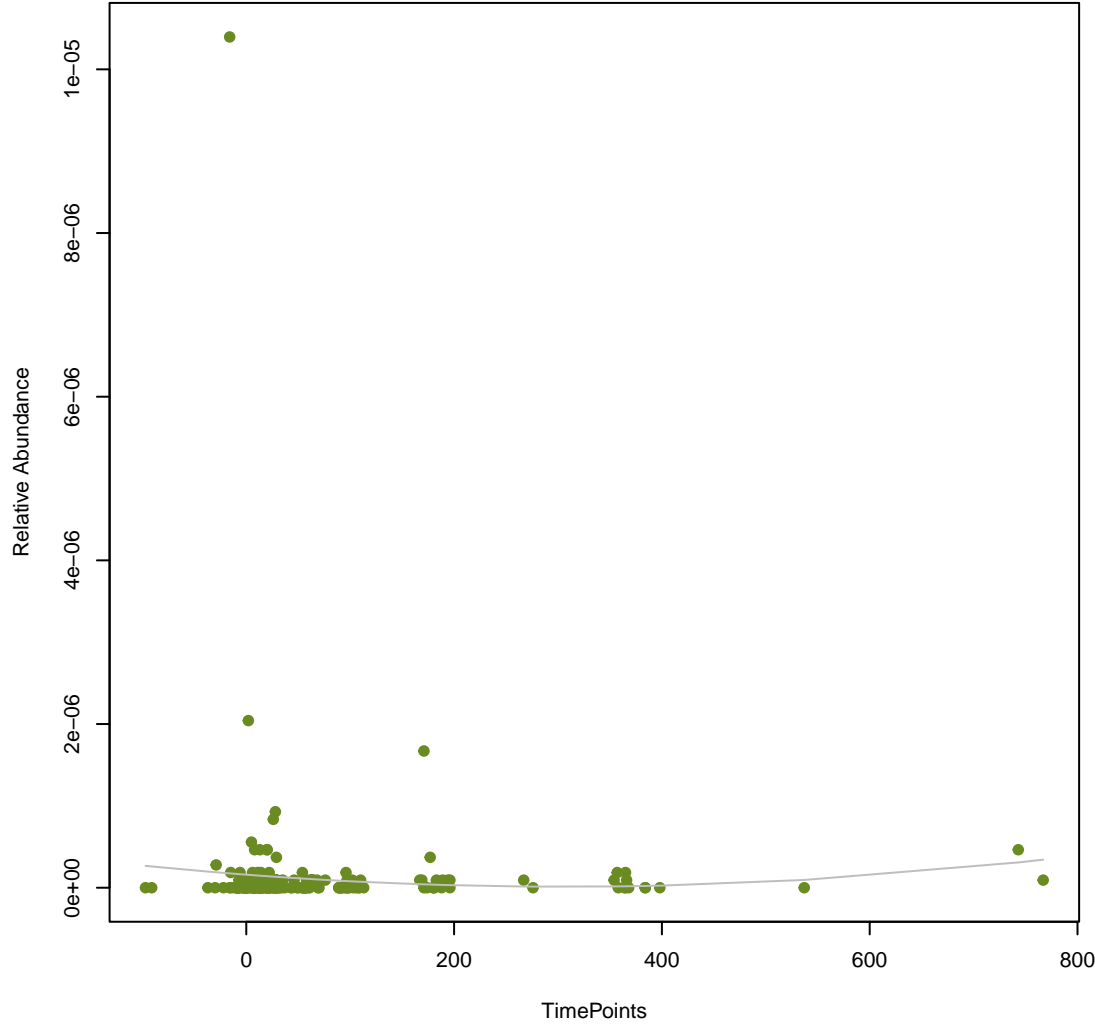
vsearch
APH(2'')-IVa
ANOVA Pval: 0.885



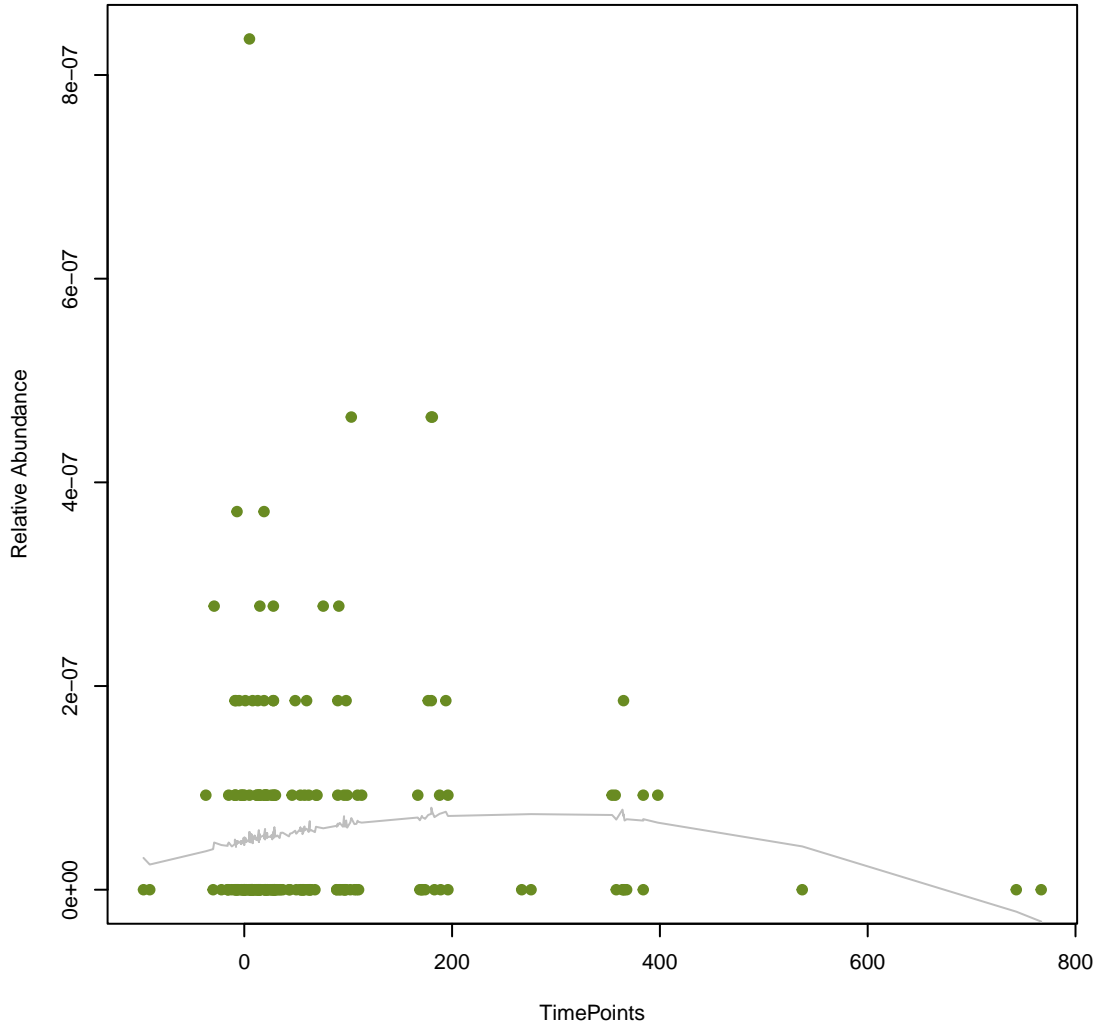
vsearch
otr(B)
ANOVA Pval: 0.216



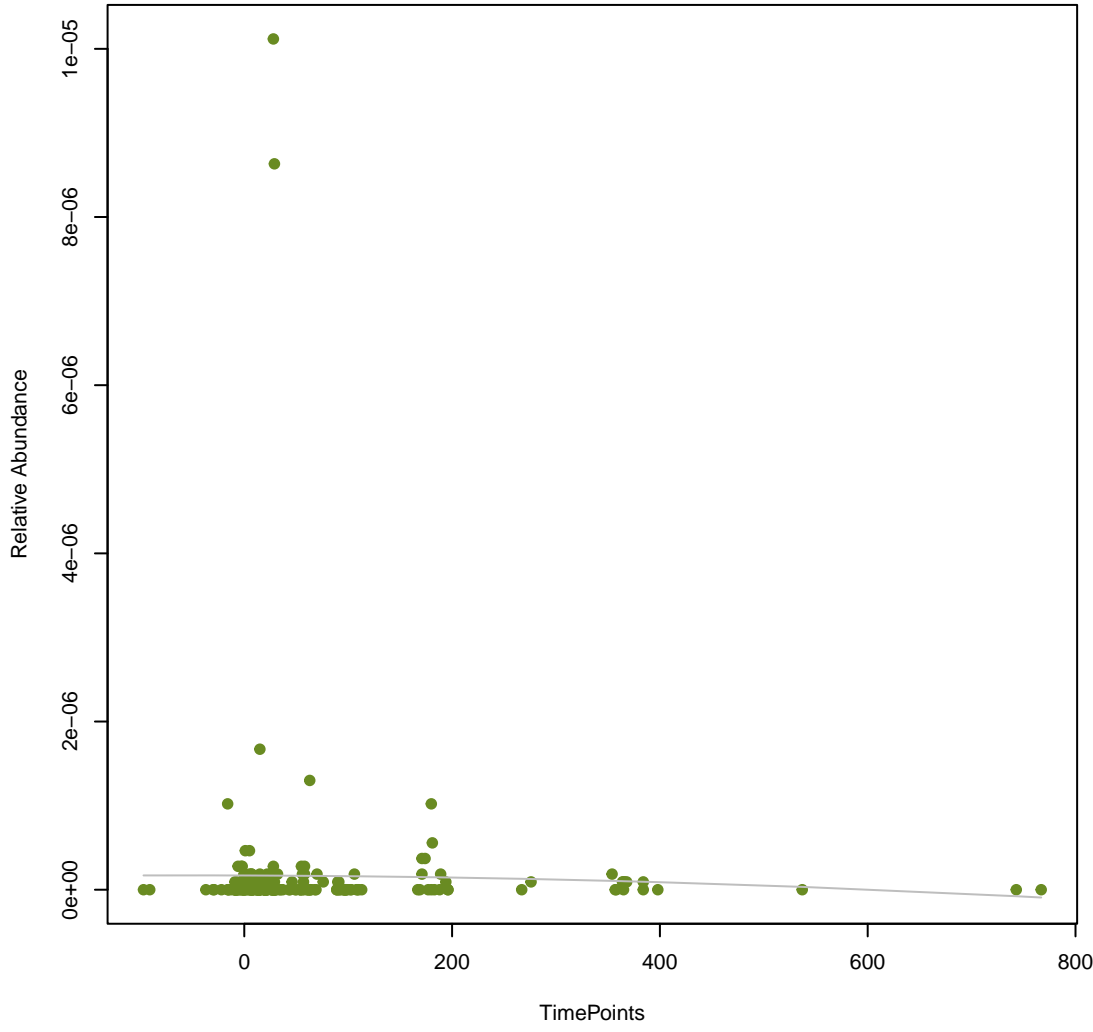
vsearch
smeB
ANOVA Pval: 0.609



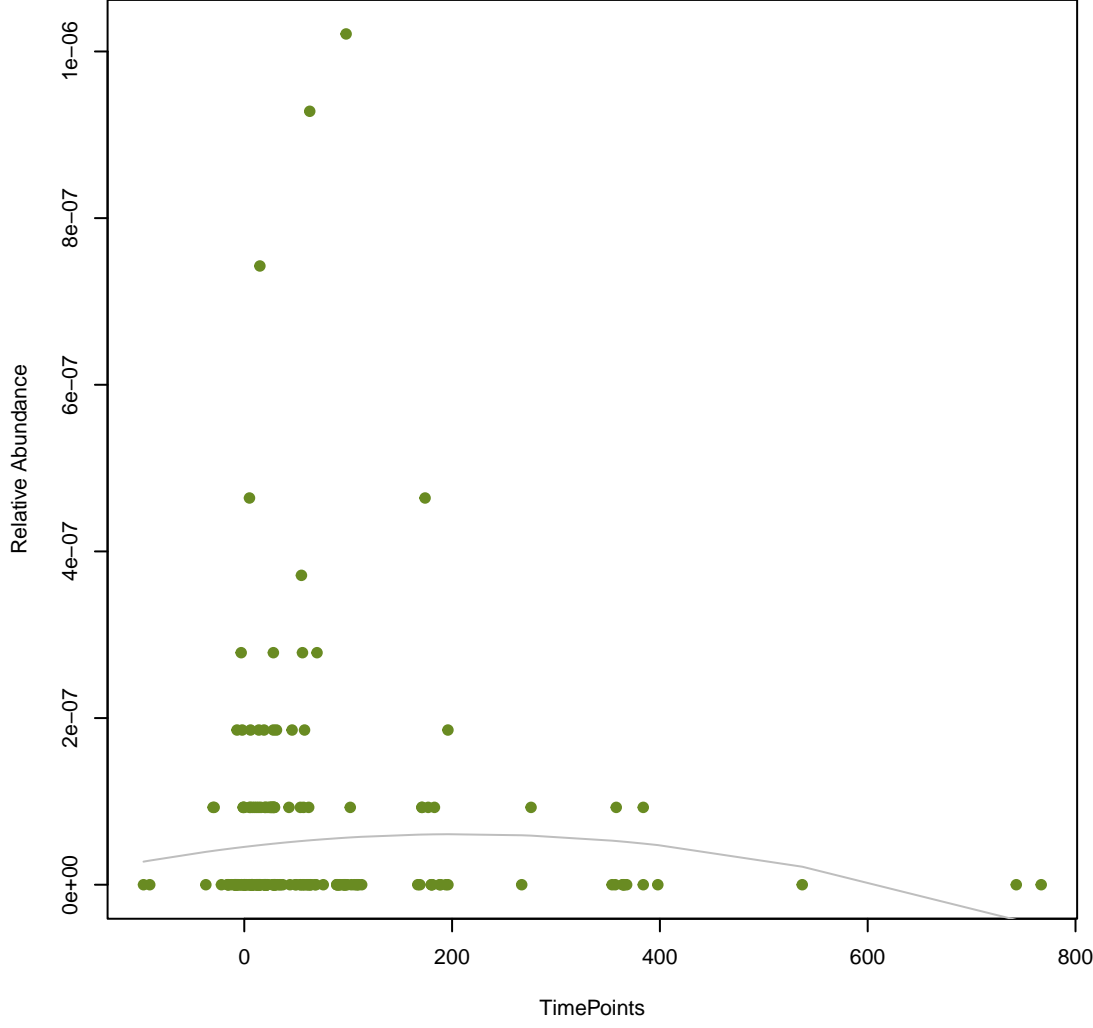
vsearch
AxyY
ANOVA Pval: 0.255



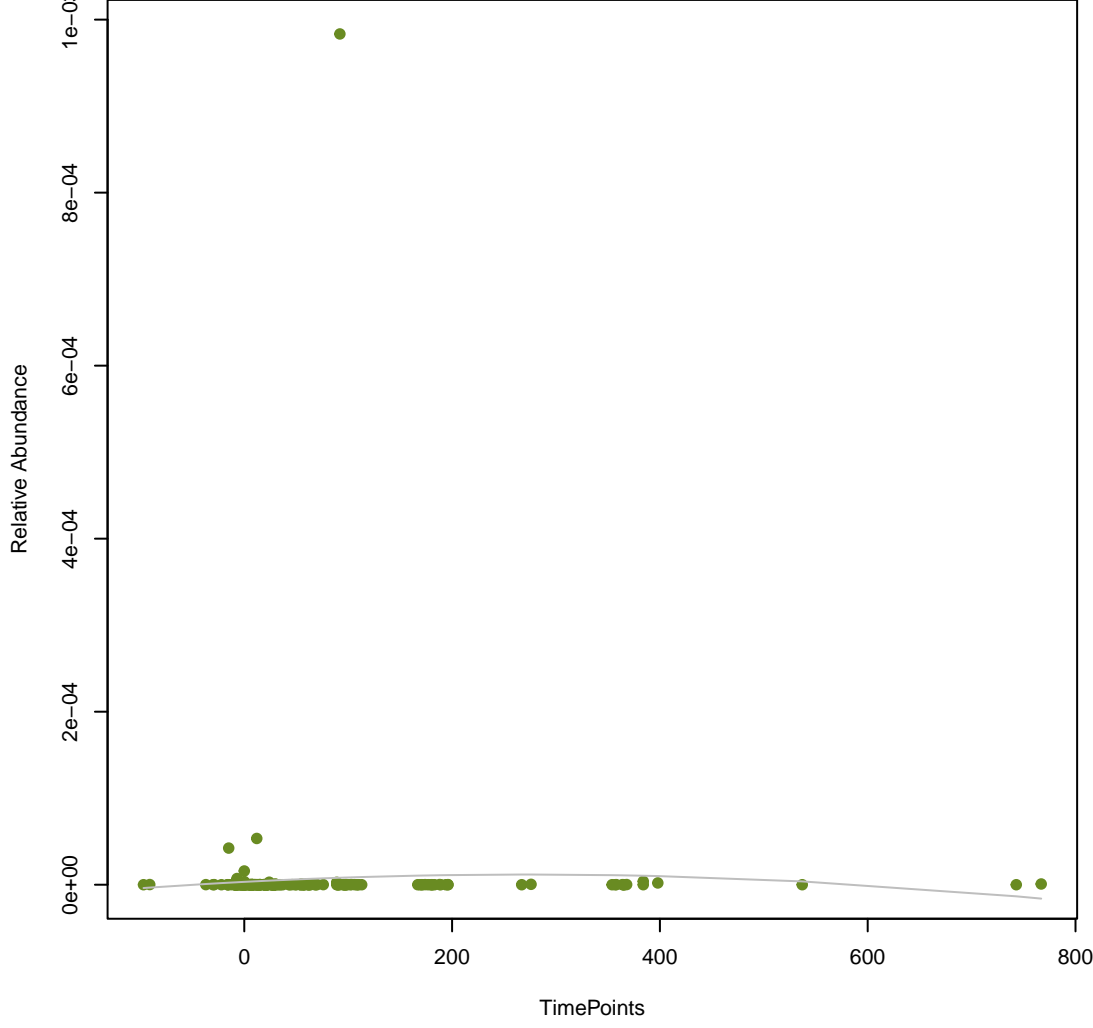
vsearch
cfrC
ANOVA Pval: 0.895



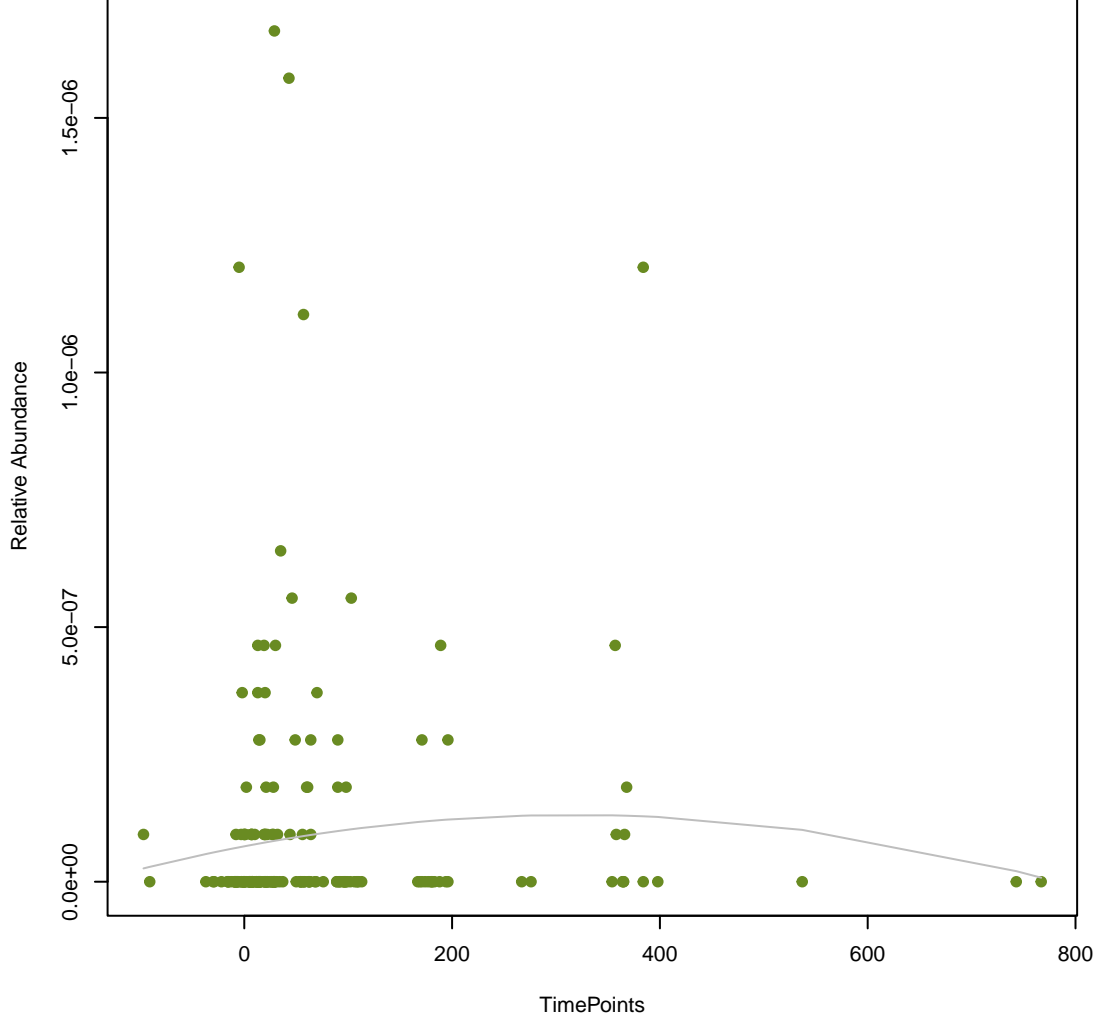
vsearch
ERP-1
ANOVA Pval: 0.47



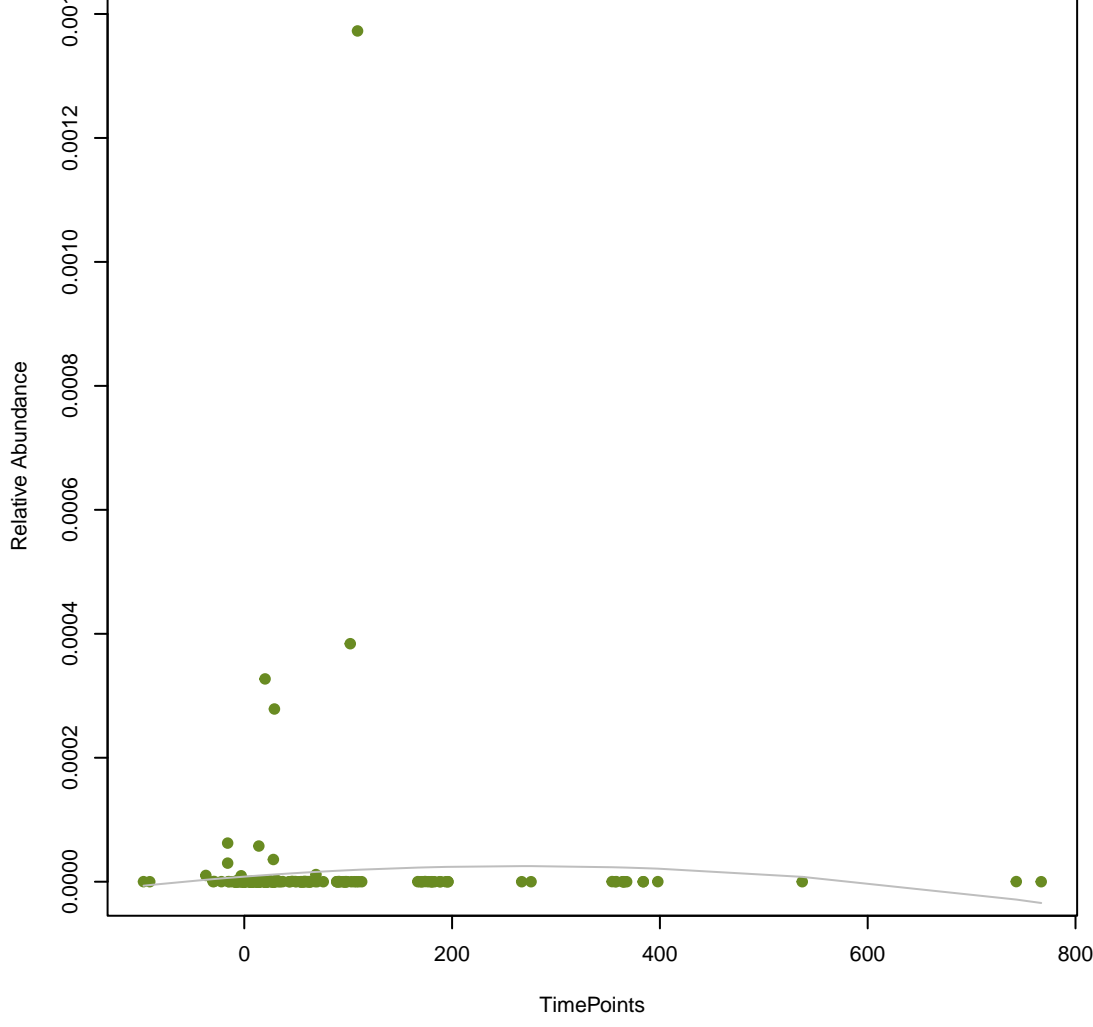
vsearch
TEM-117
ANOVA Pval: 0.767

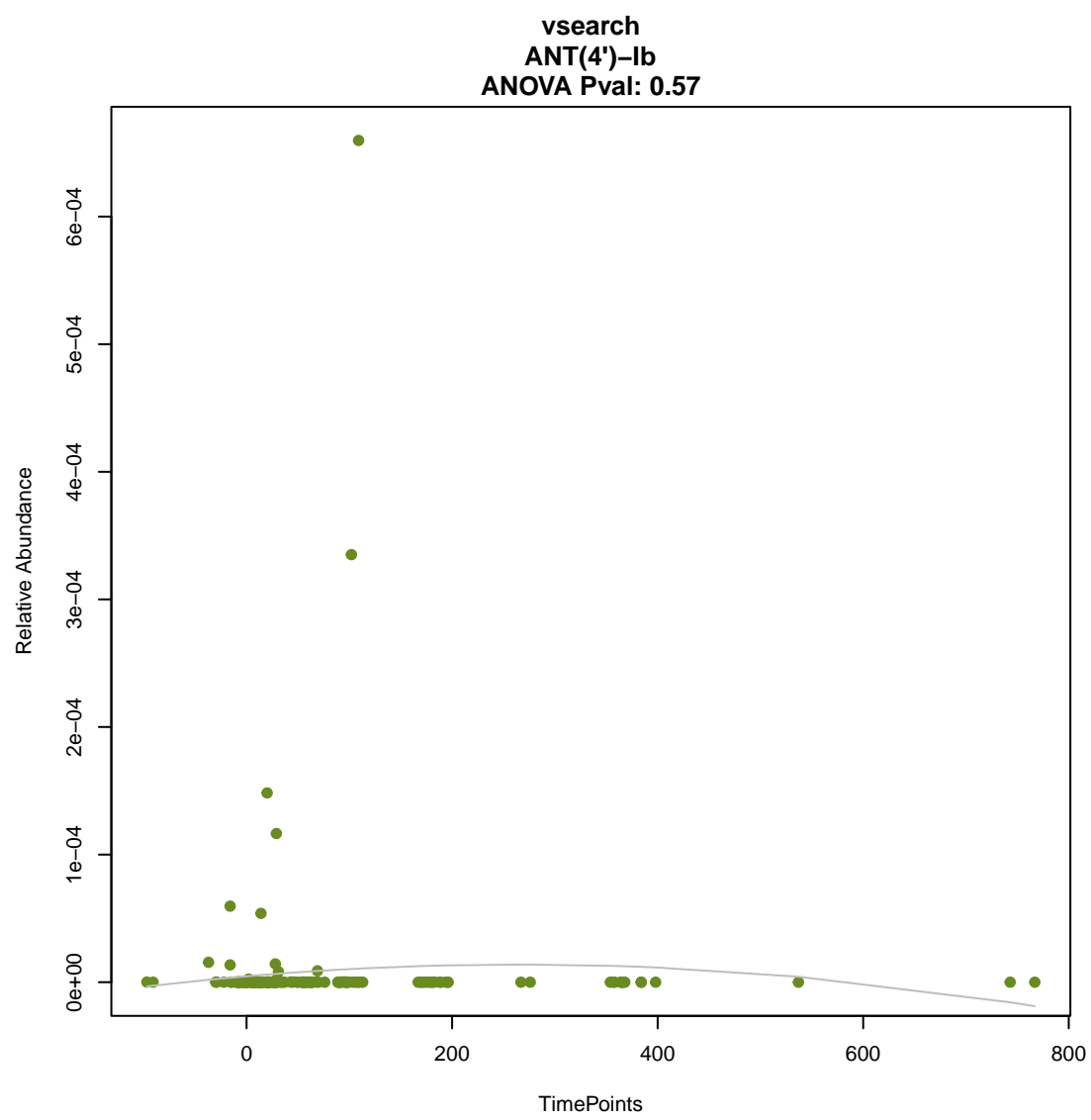
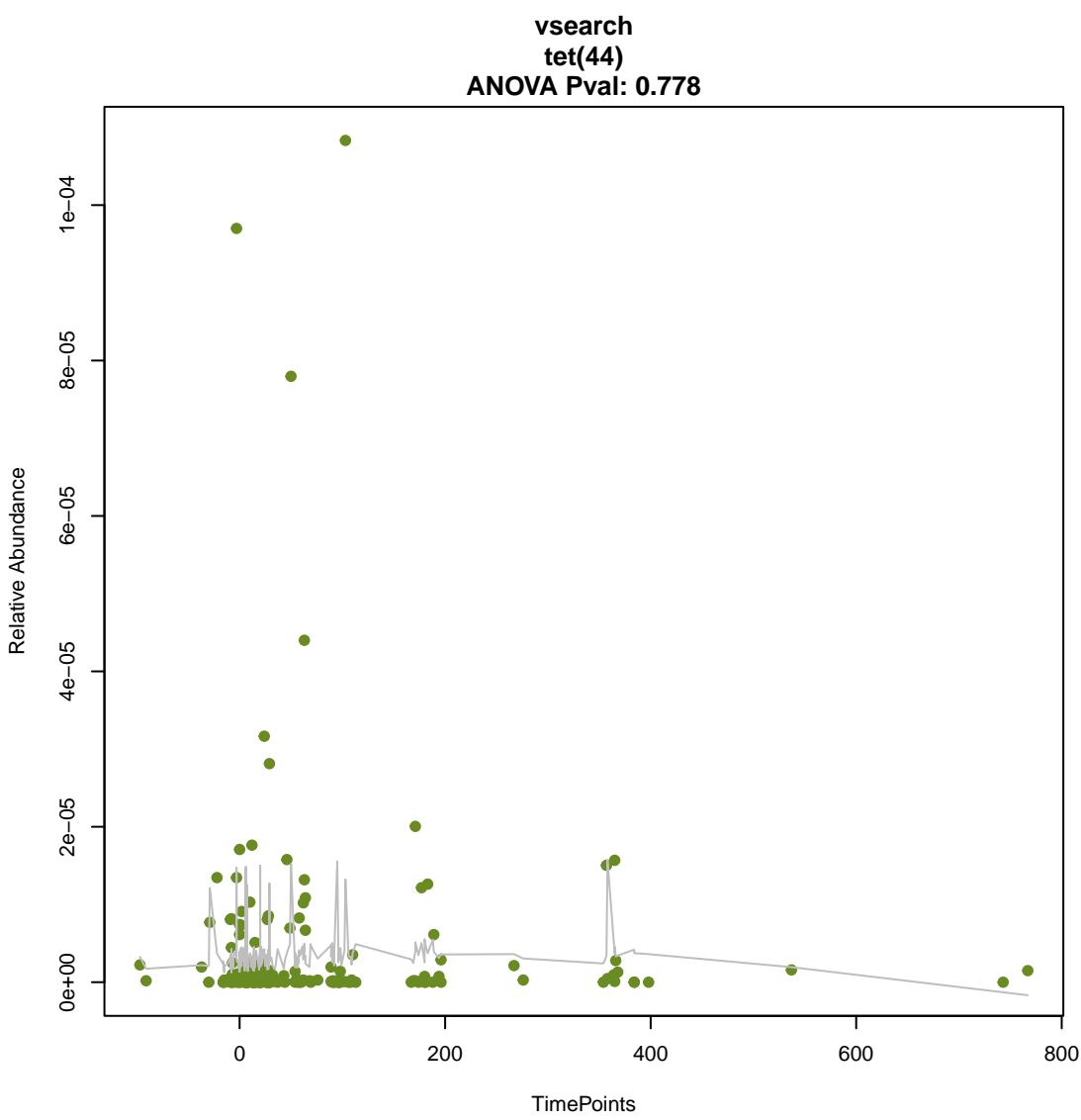
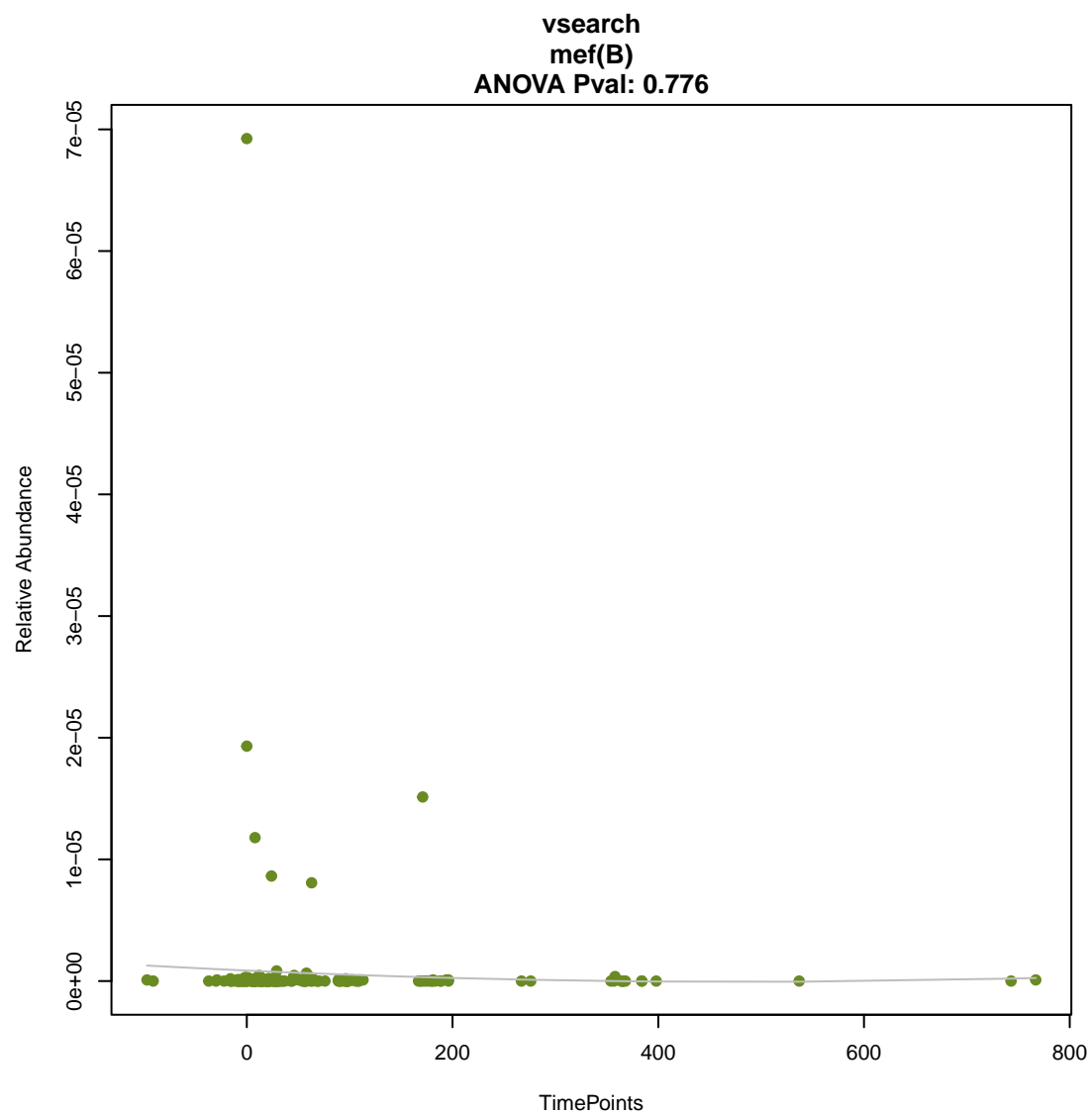
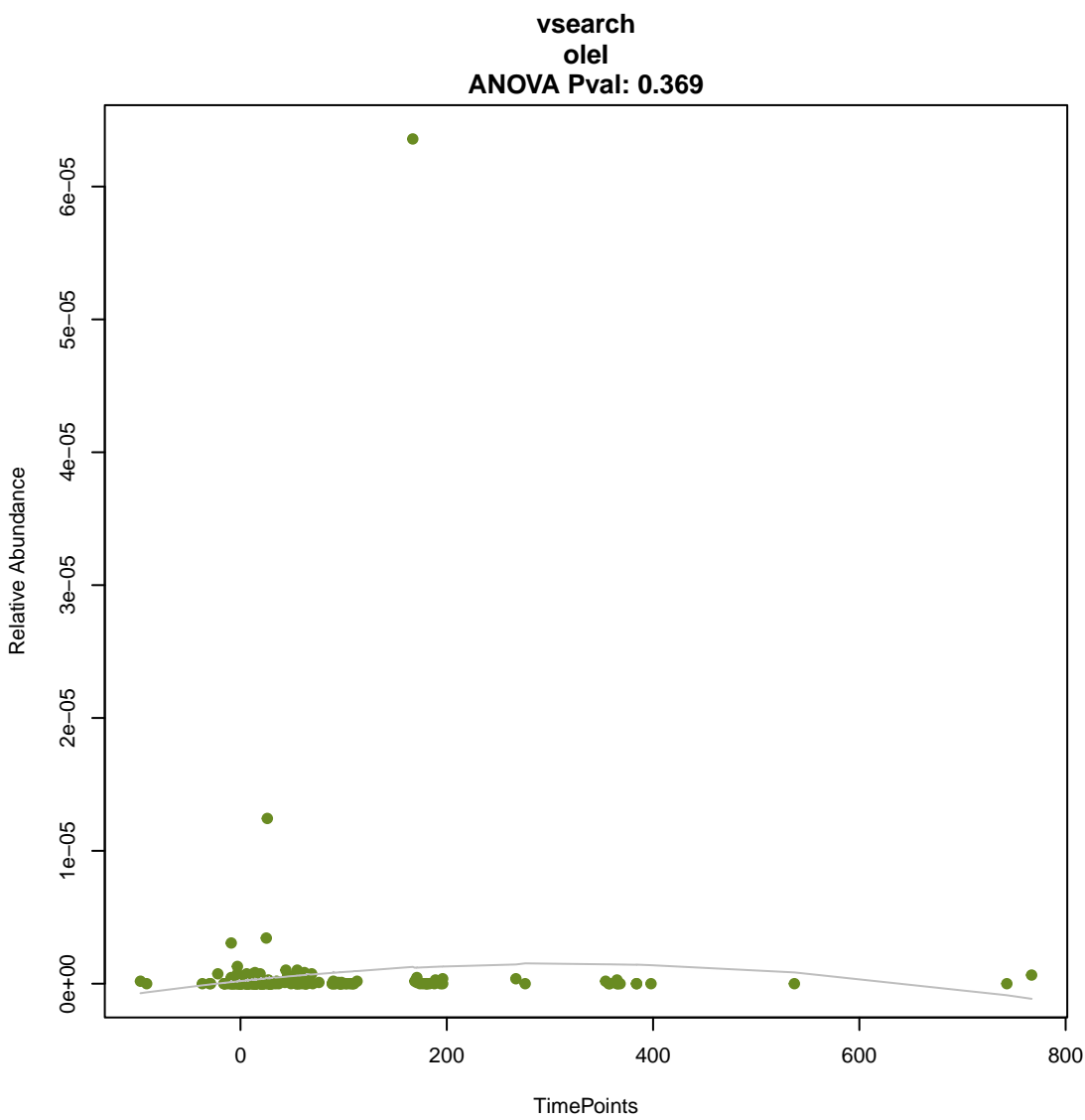
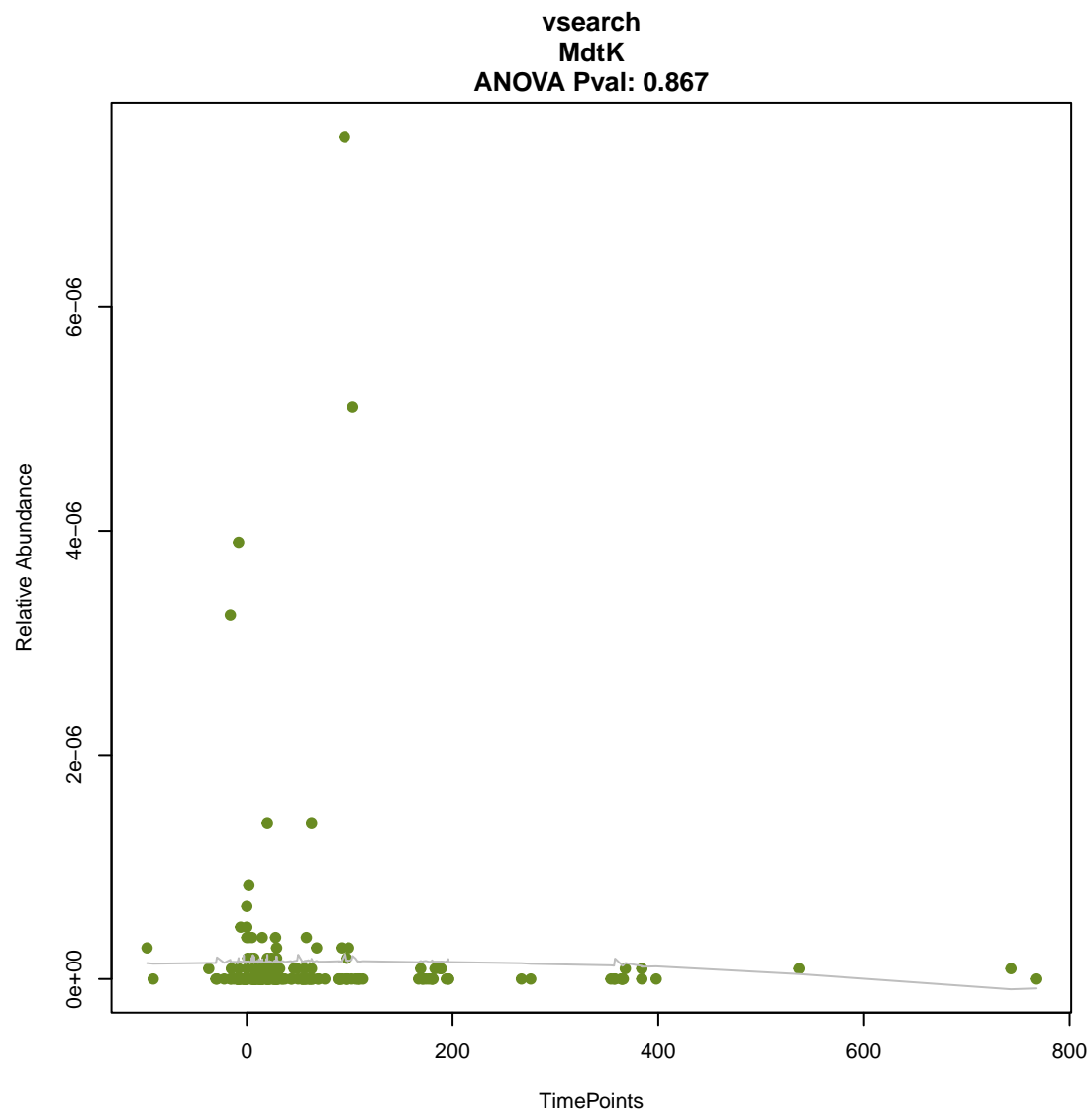
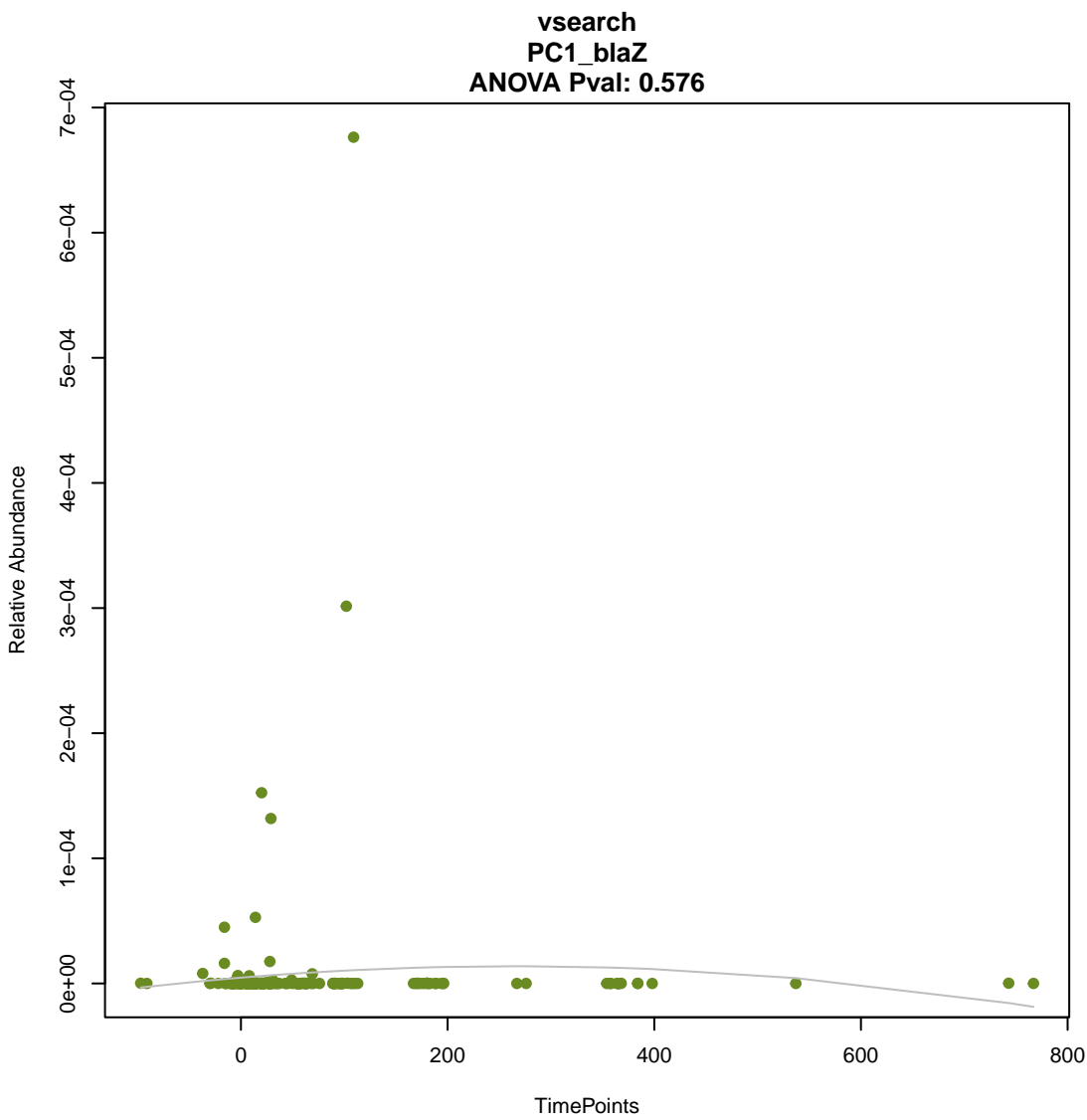


vsearch
macA
ANOVA Pval: 0.443

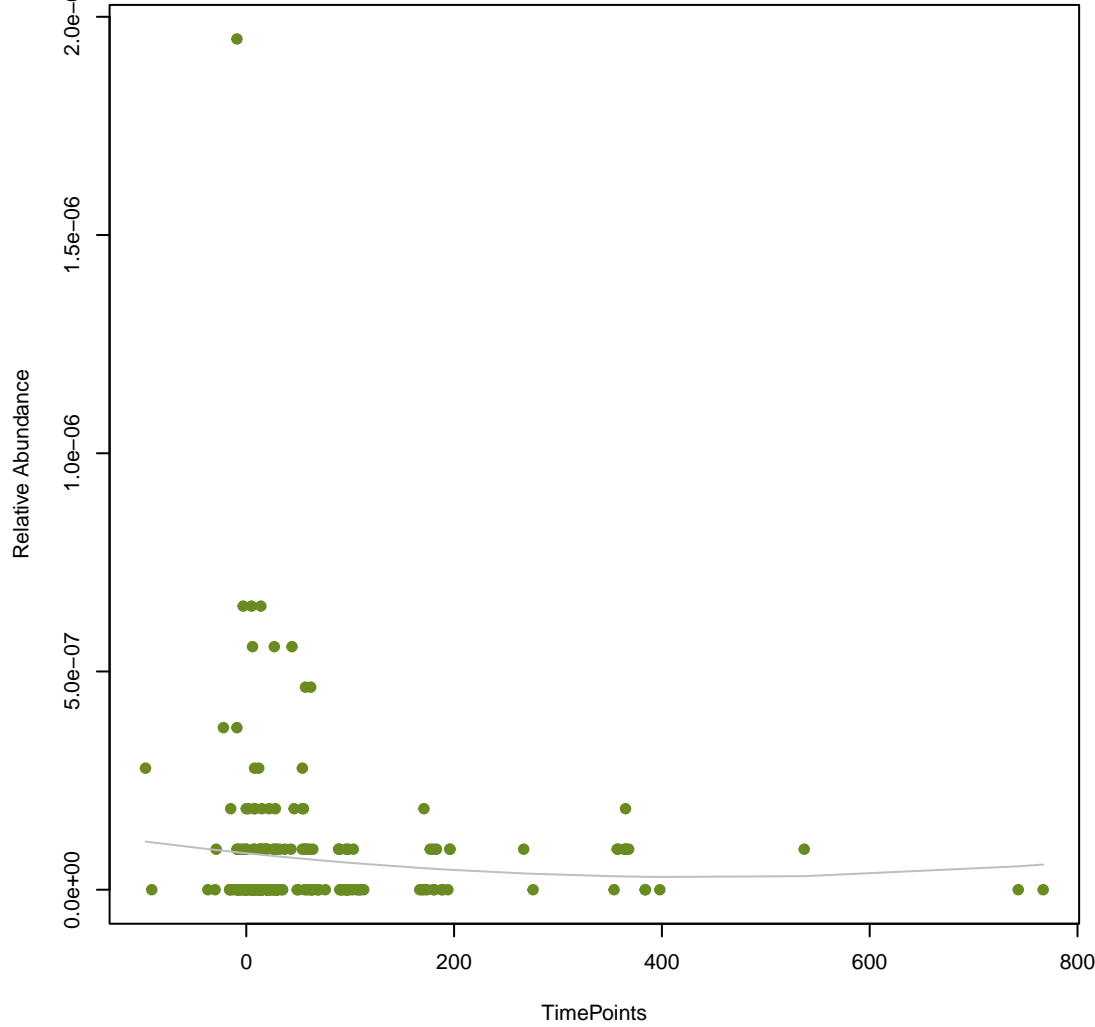


vsearch
mecR1
ANOVA Pval: 0.606

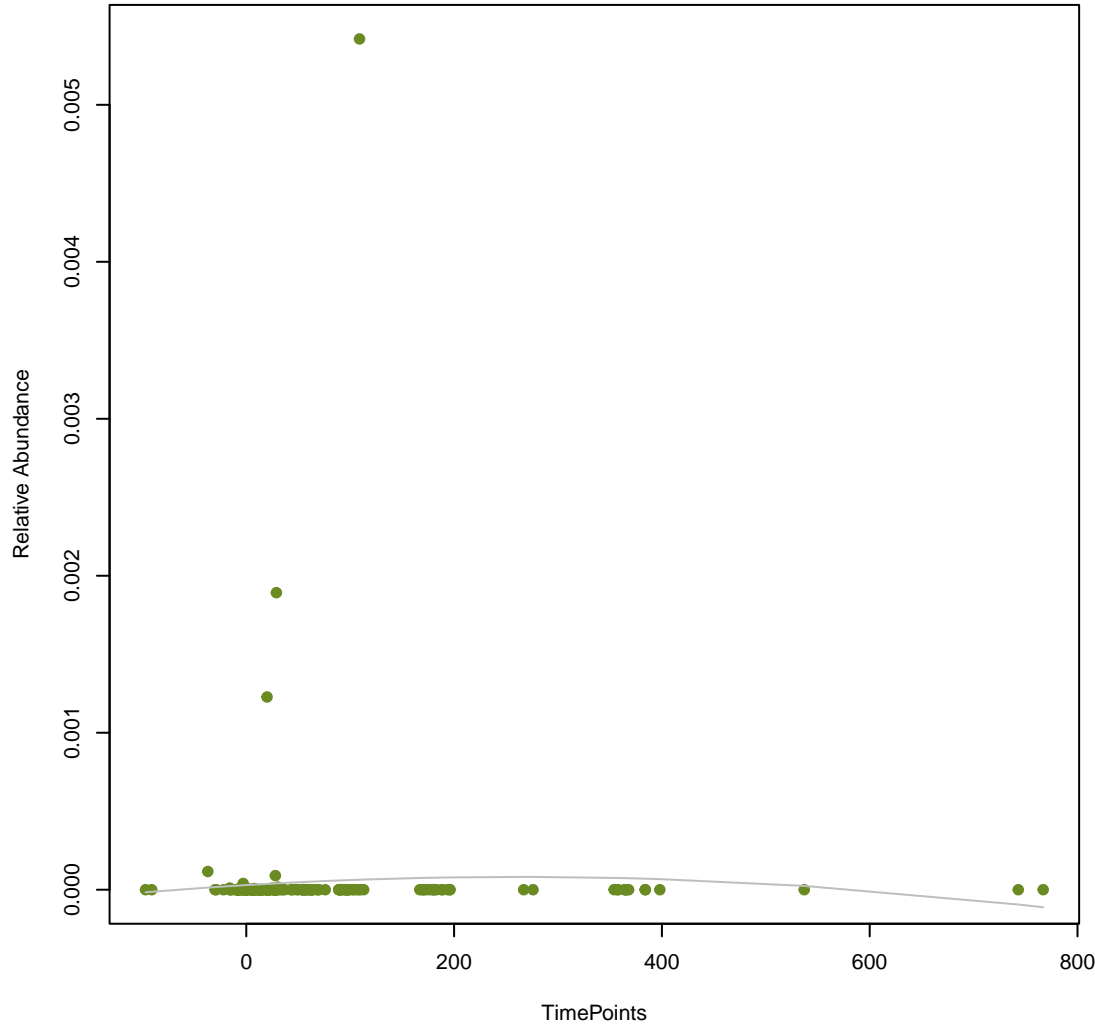




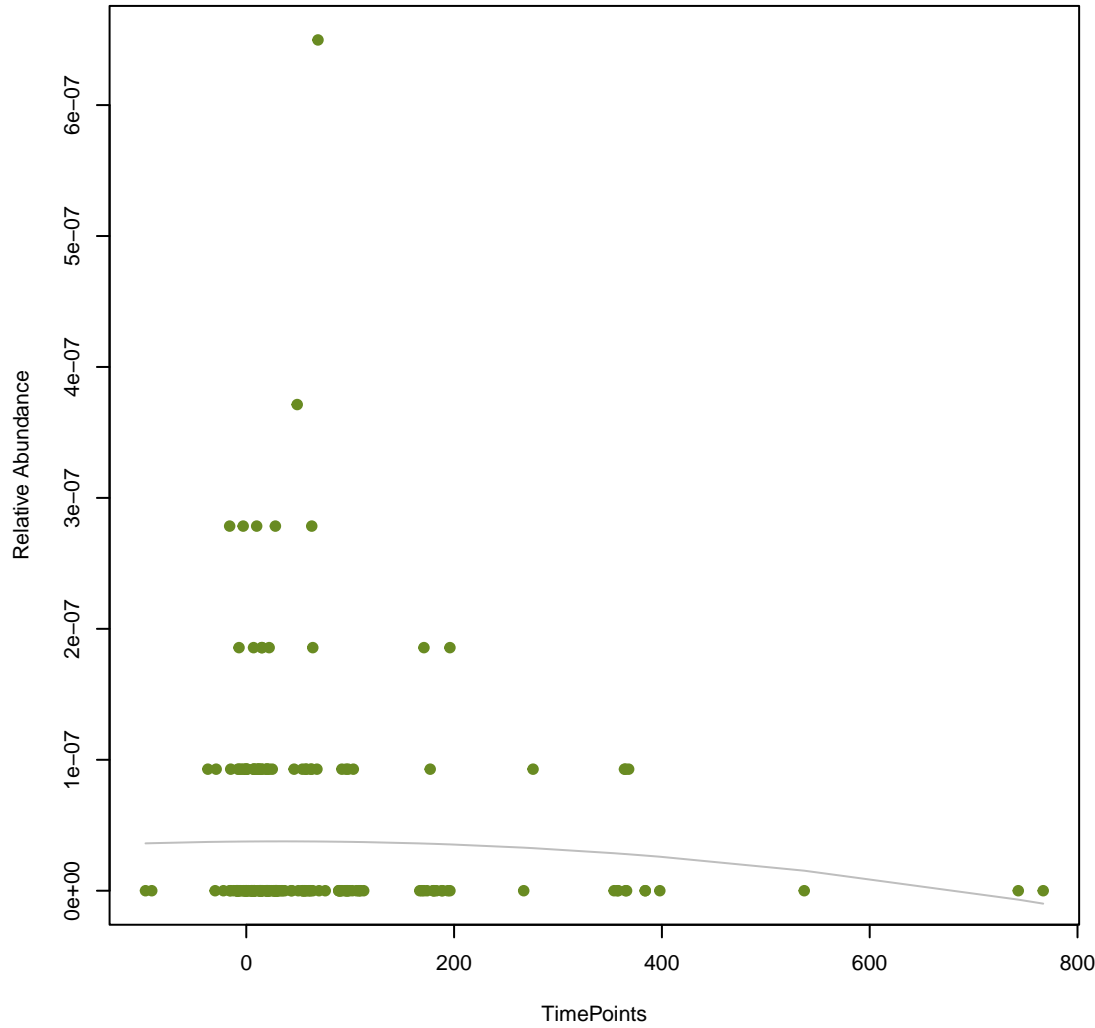
vsearch
PEDO-2
ANOVA Pval: 0.455



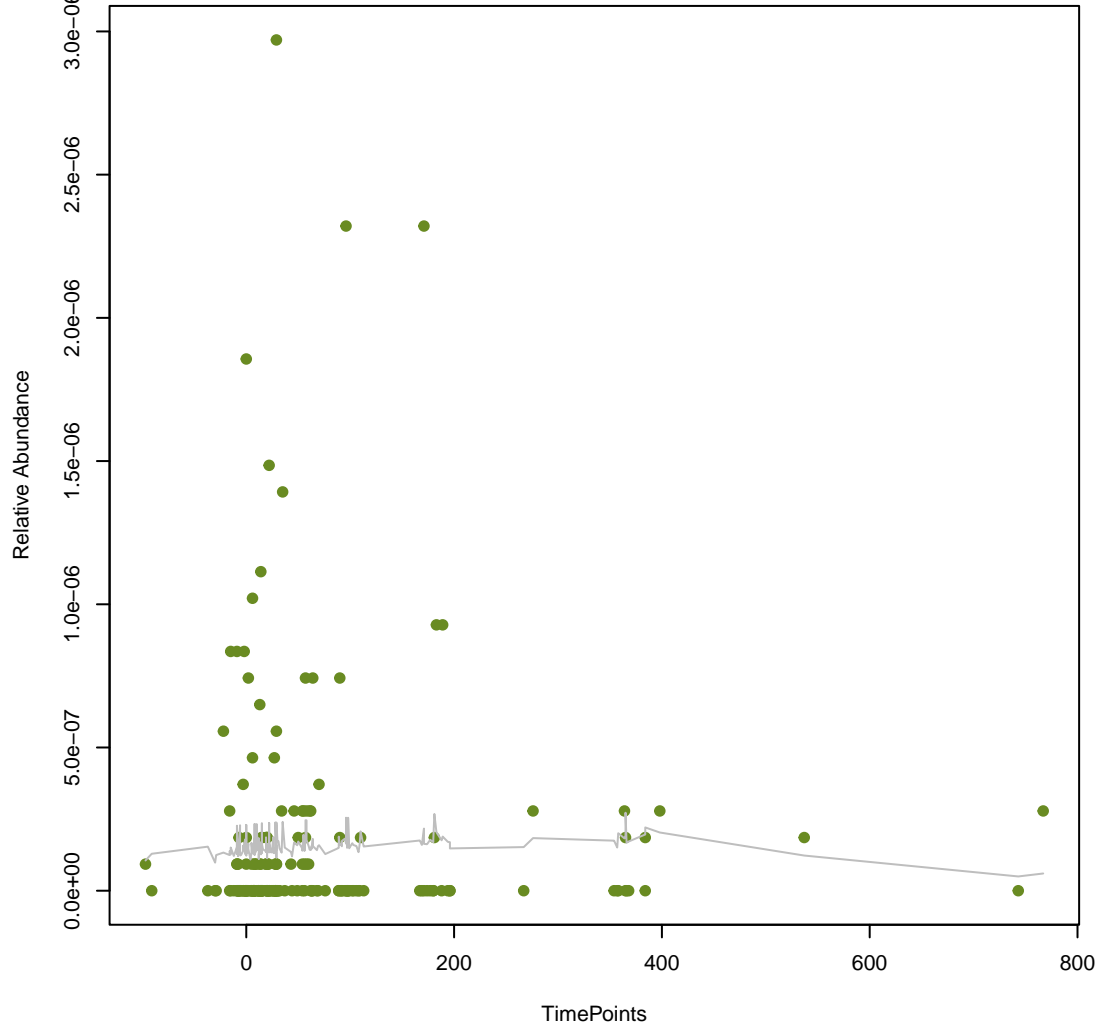
vsearch
ErmC
ANOVA Pval: 0.724



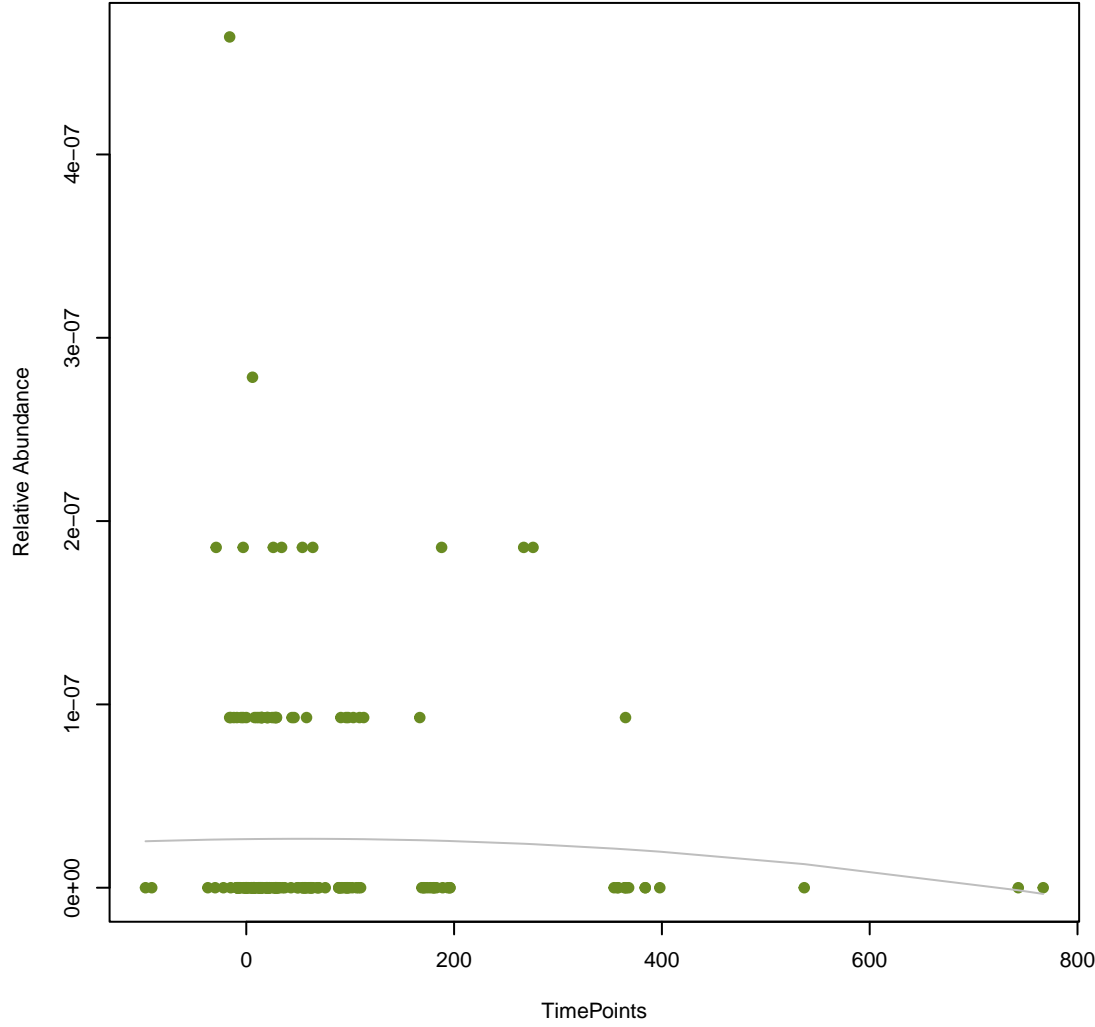
vsearch
RSA-2
ANOVA Pval: 0.638



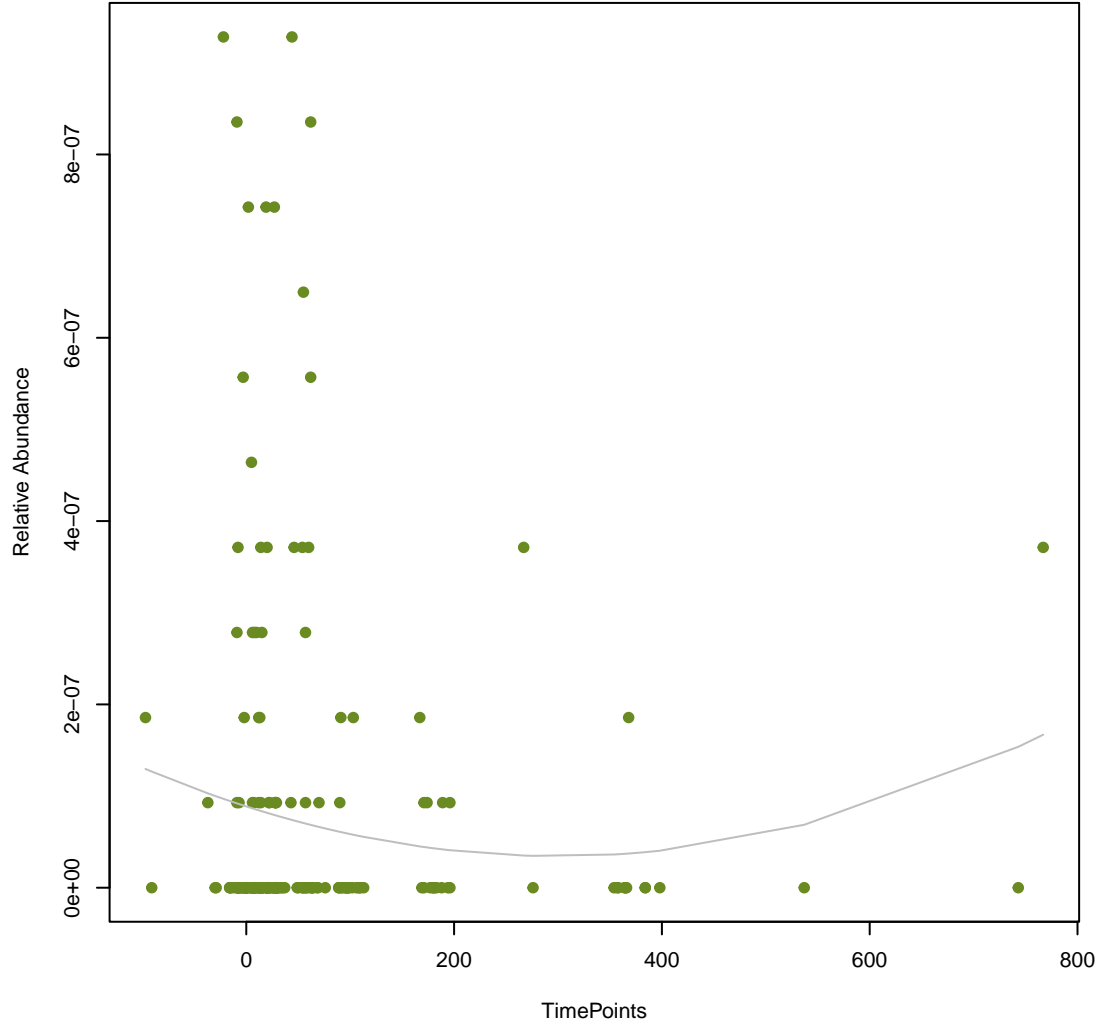
vsearch
Tet(X3)
ANOVA Pval: 0.839

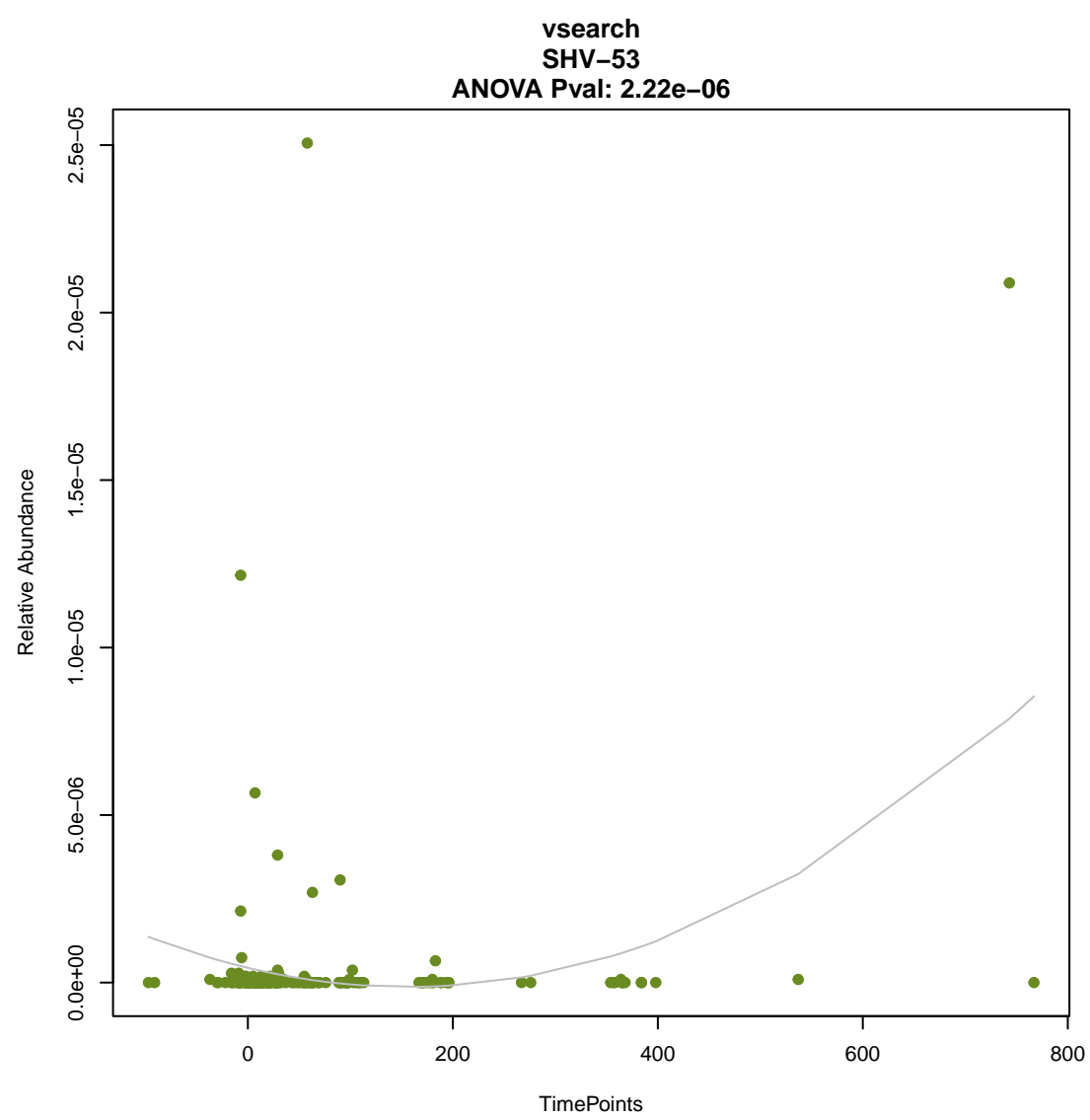
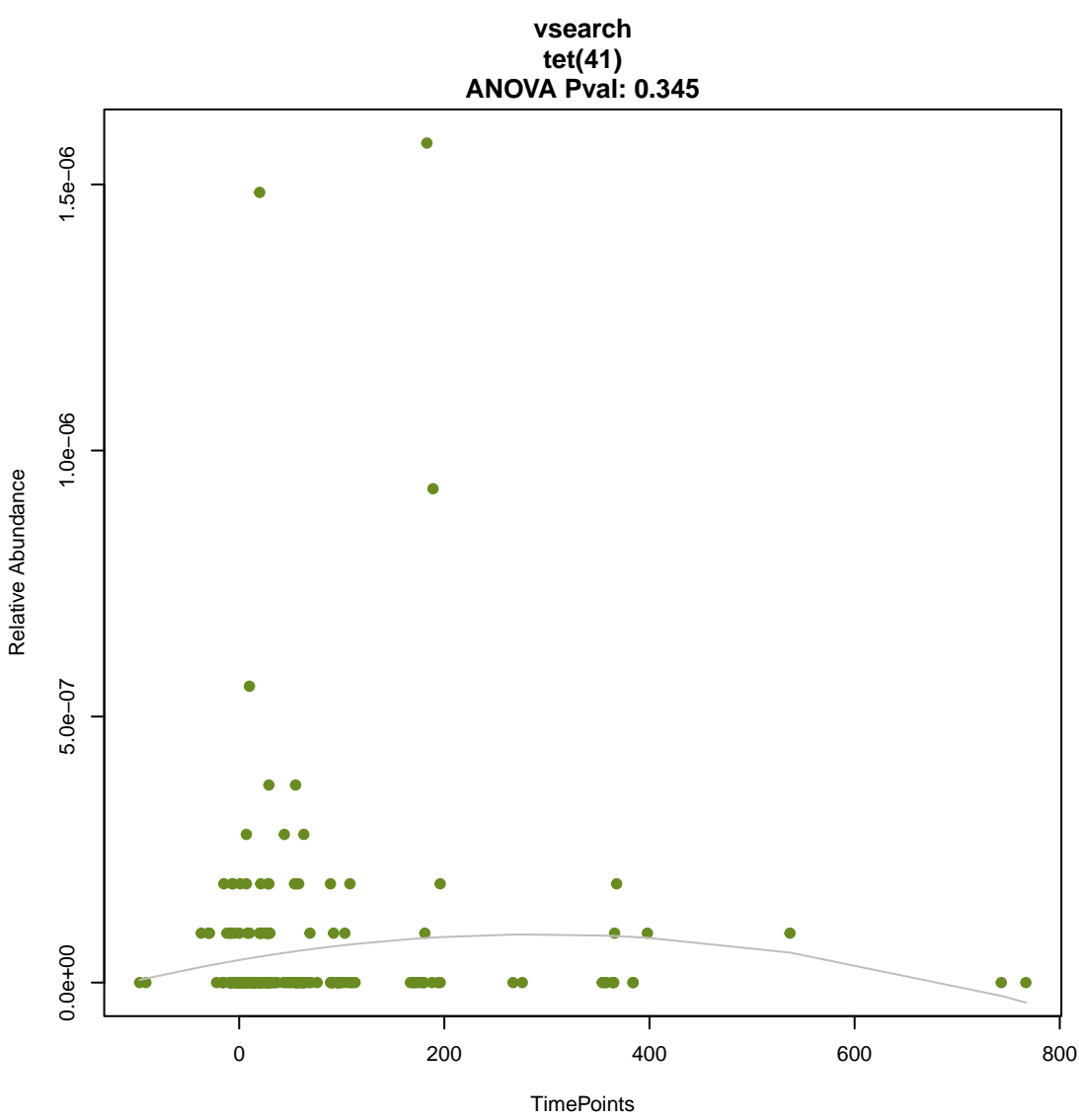
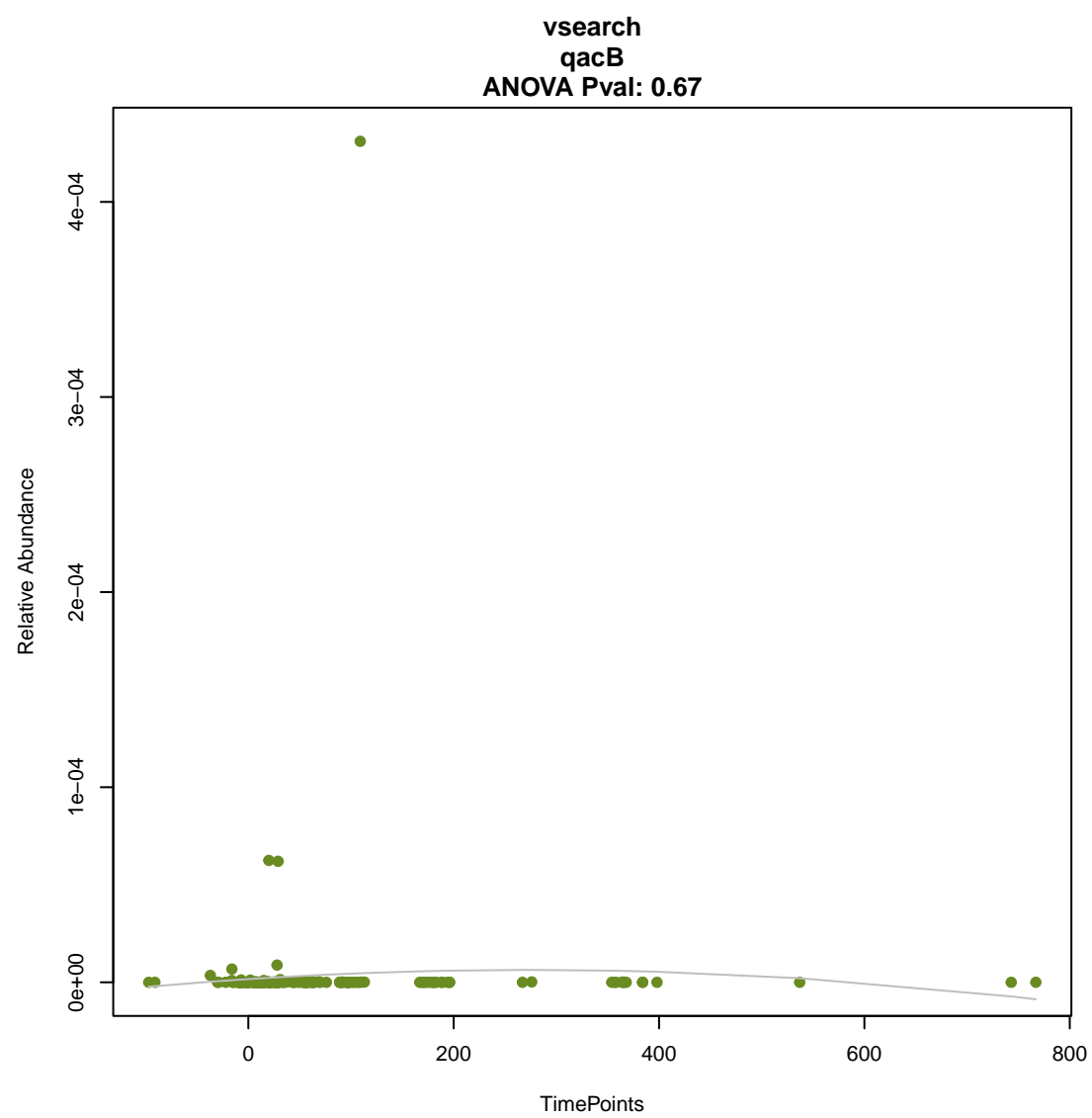
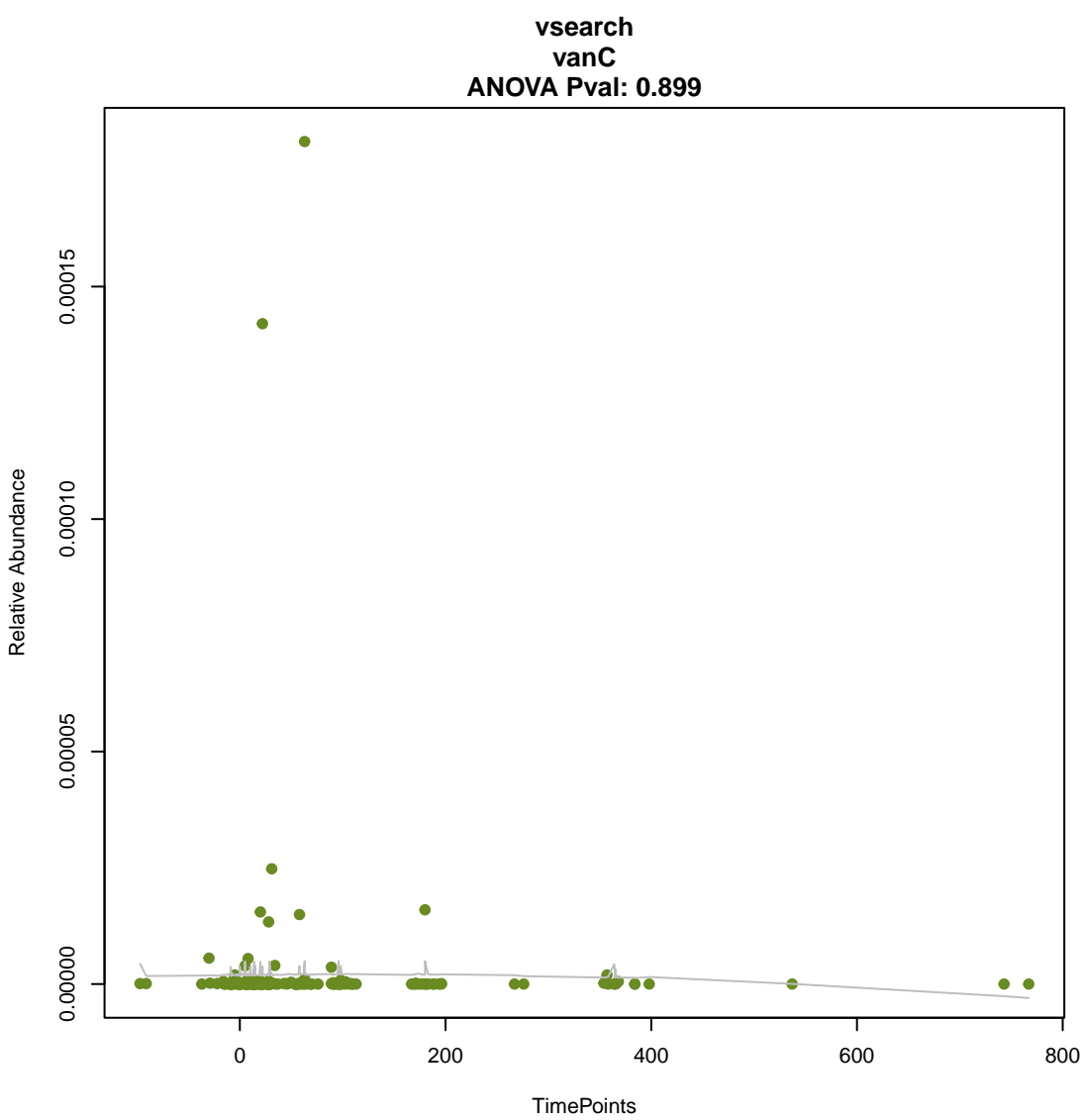
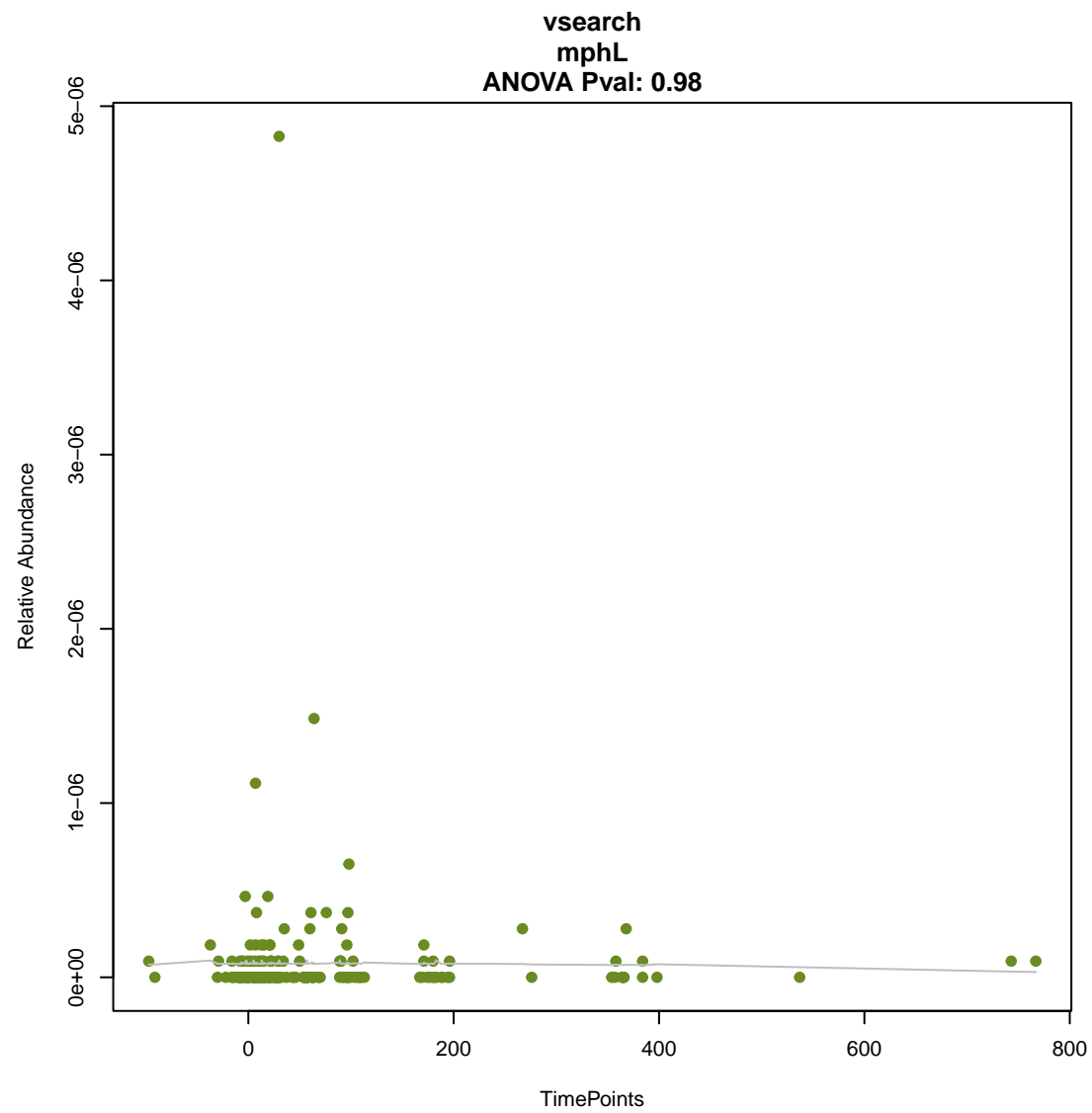
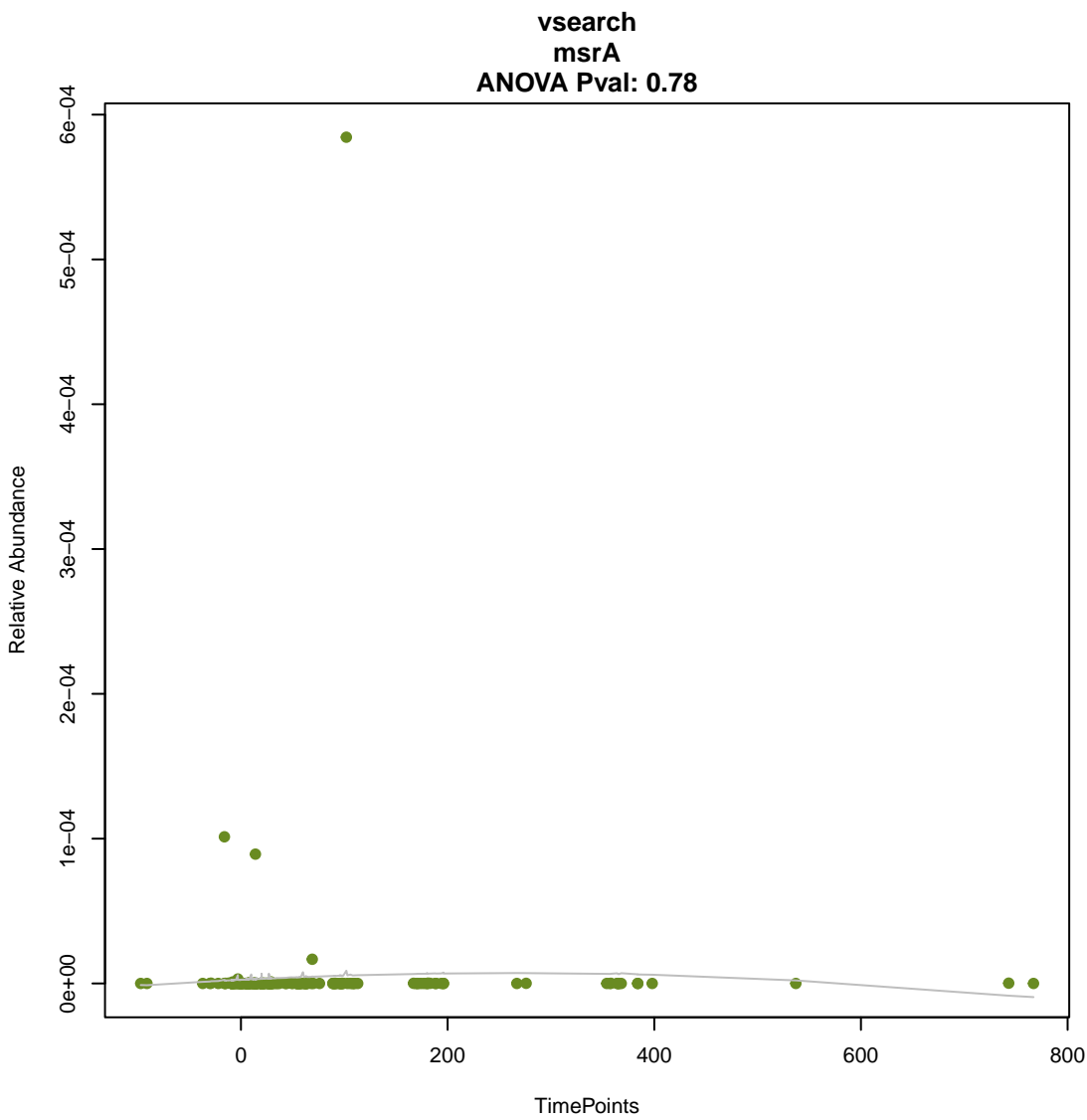


vsearch
RAHN-1
ANOVA Pval: 0.739

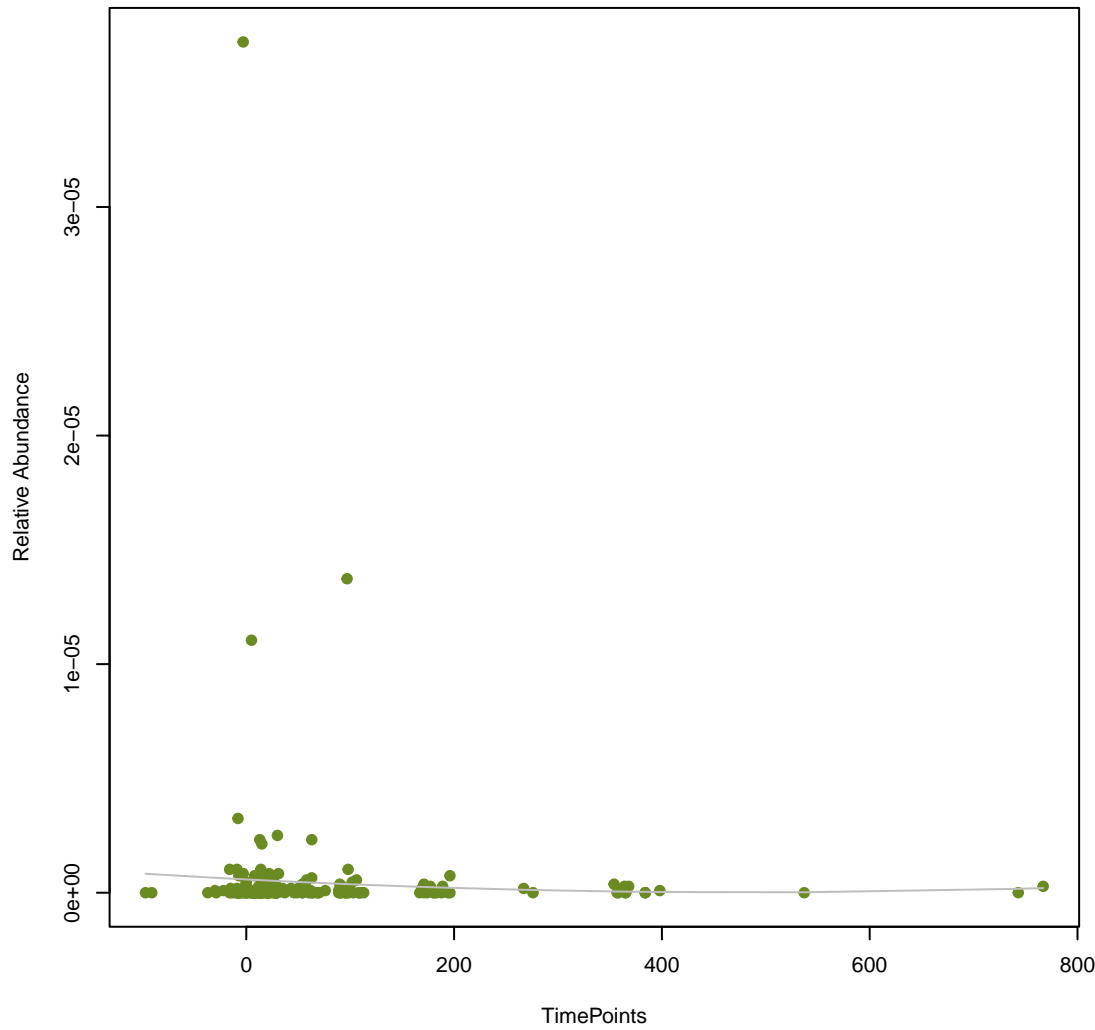


vsearch
opcM
ANOVA Pval: 0.299

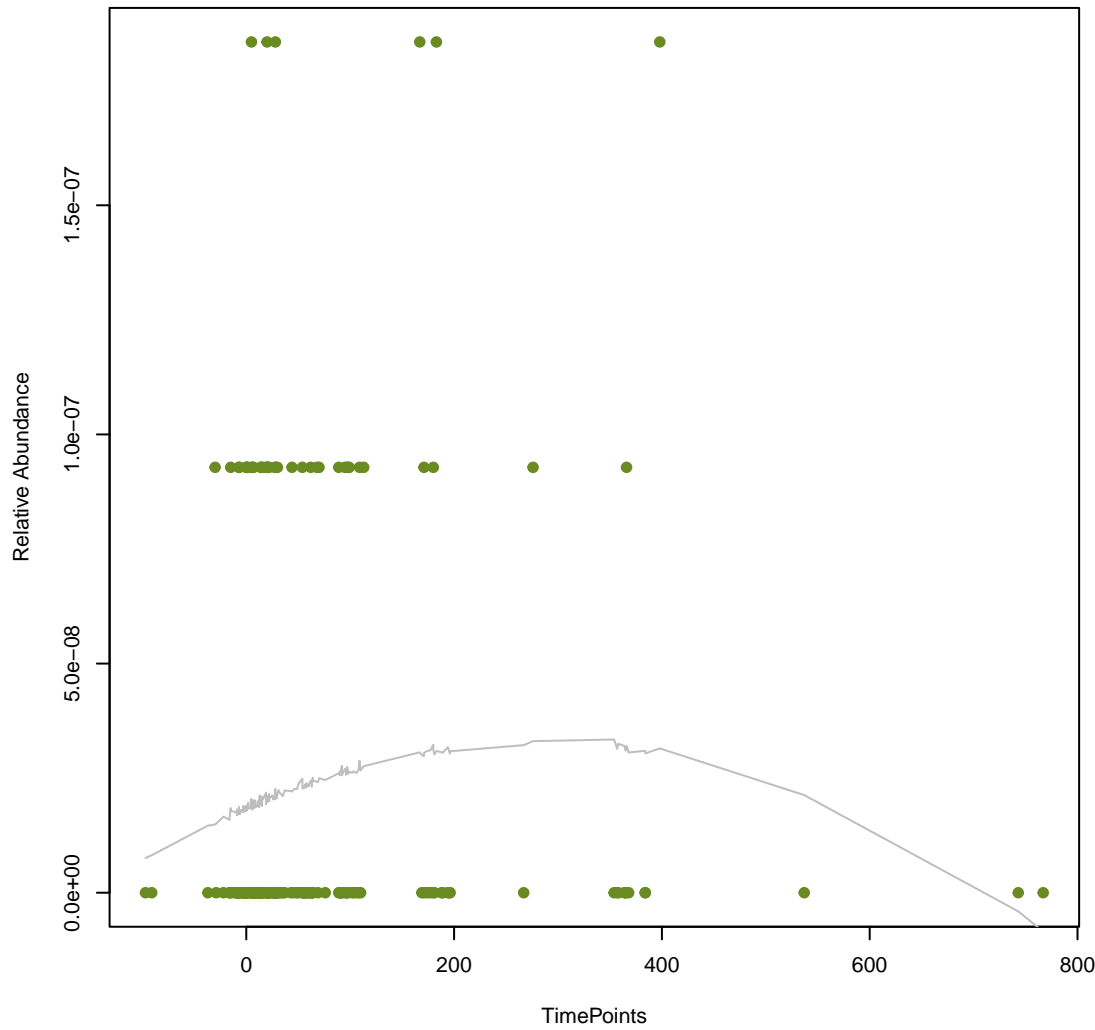




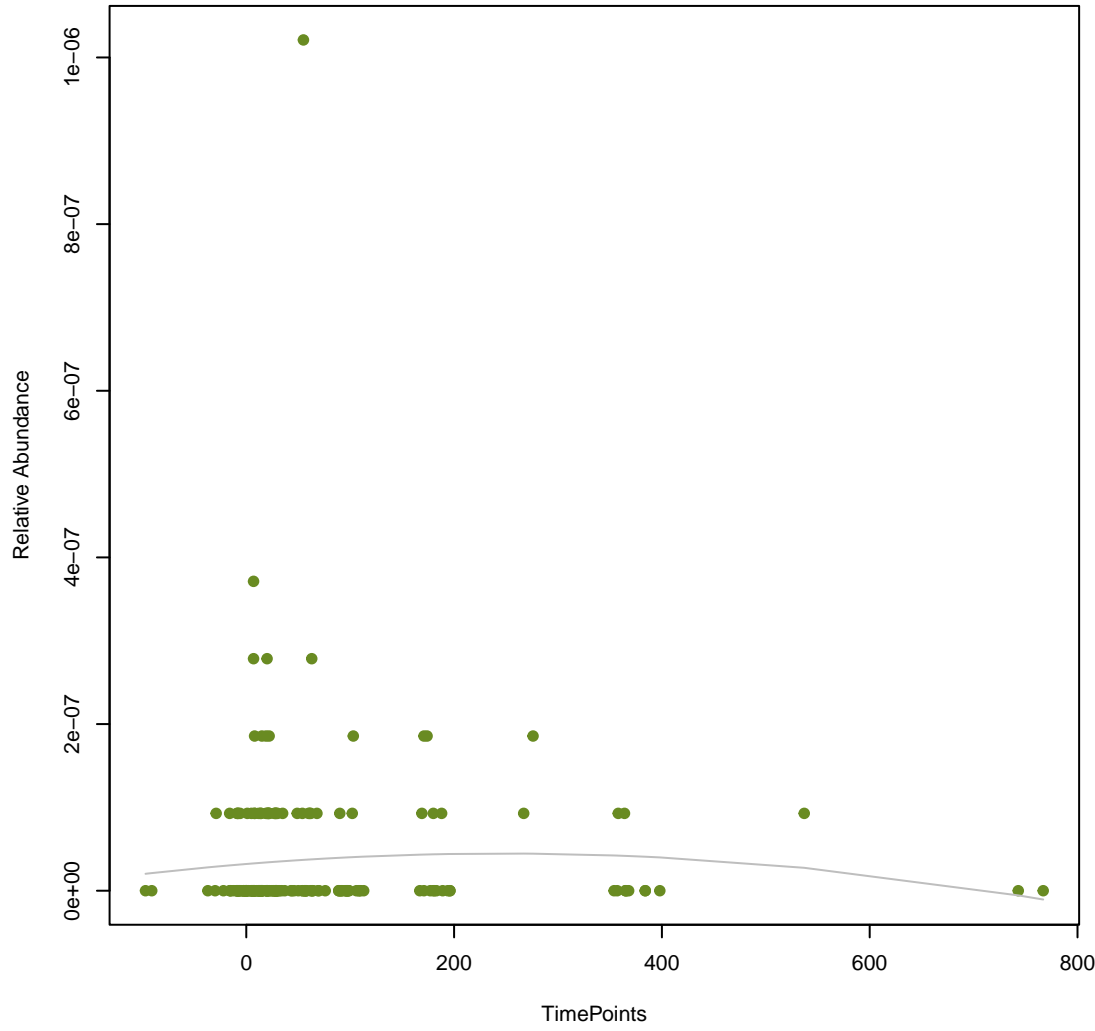
vsearch
RlmA(II)
ANOVA Pval: 0.732



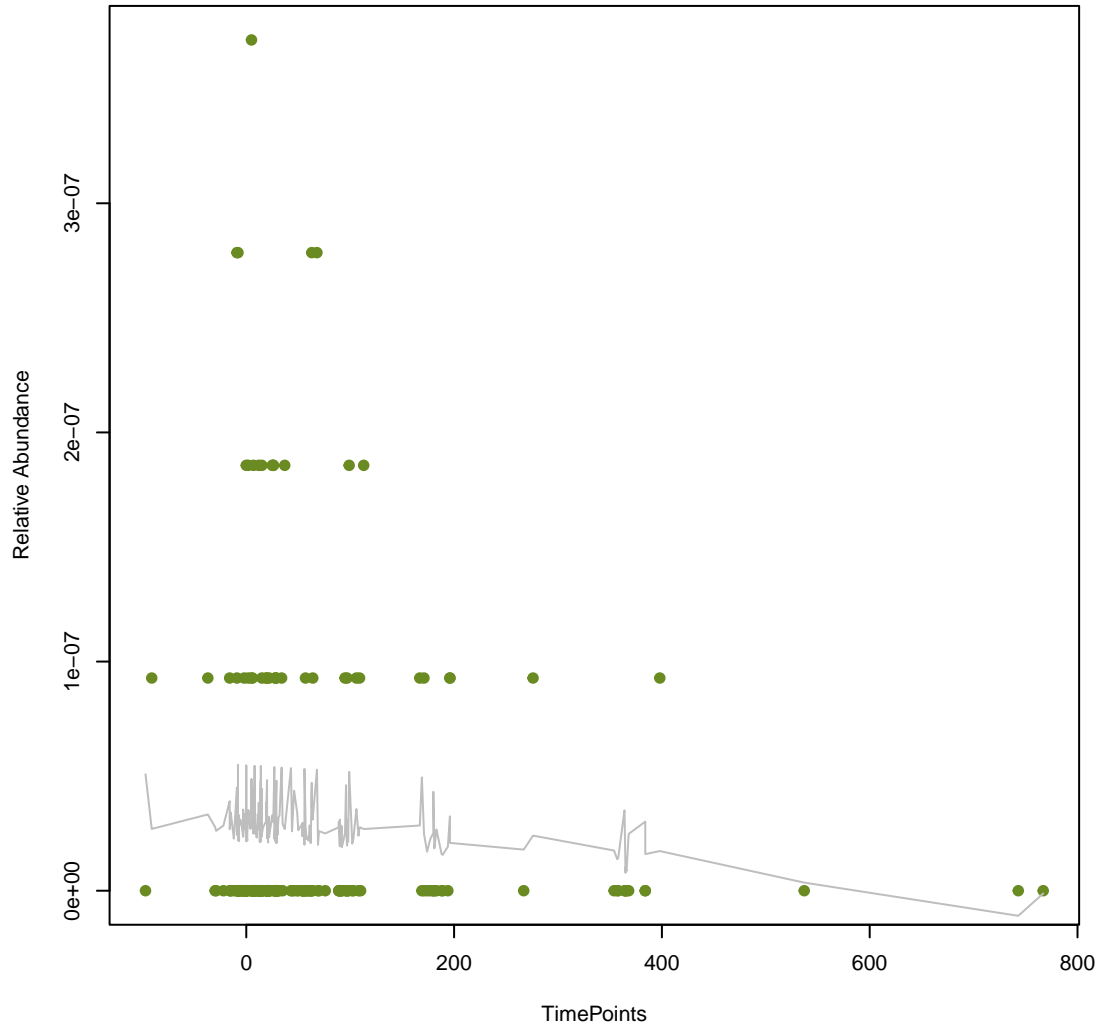
vsearch
OXA-113
ANOVA Pval: 0.23



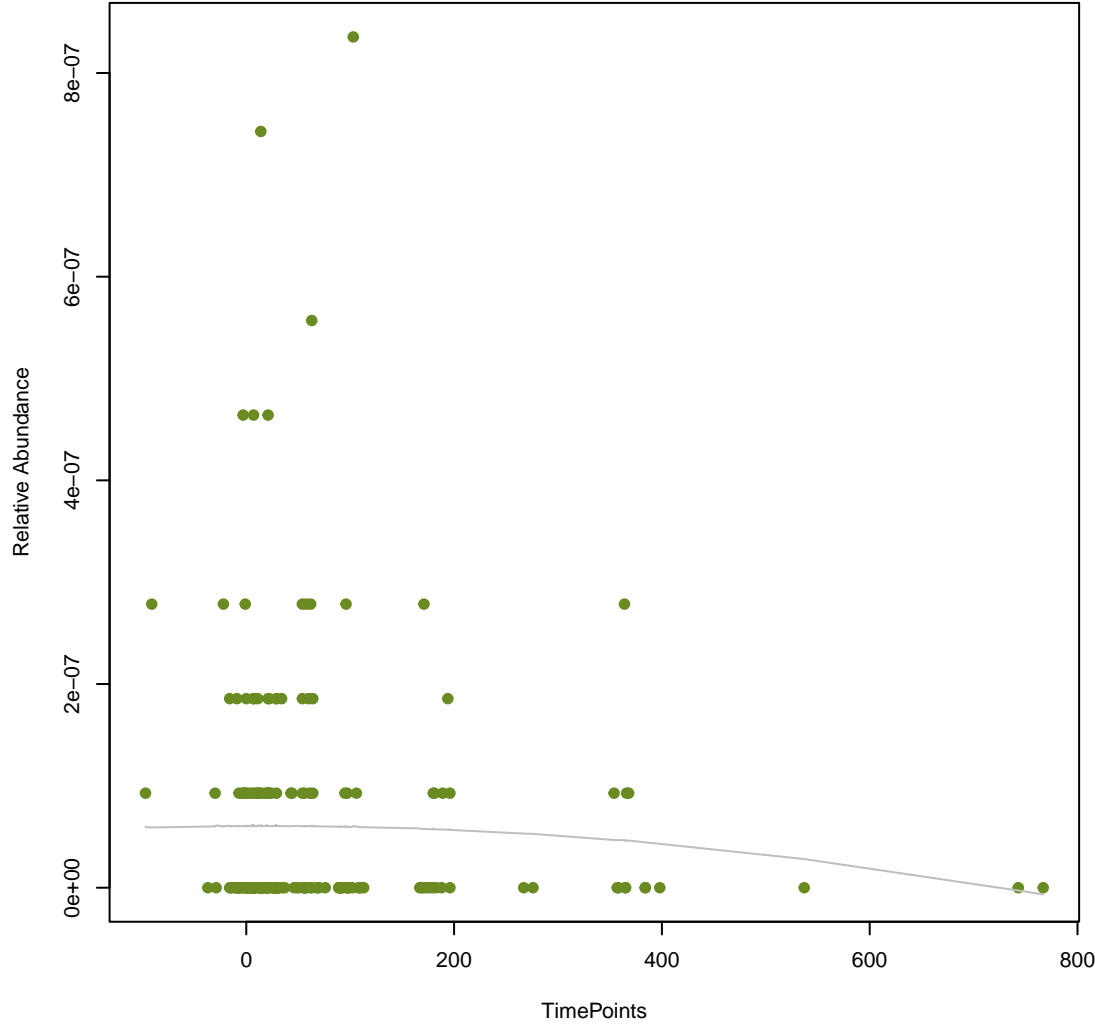
vsearch
vgaD
ANOVA Pval: 0.642



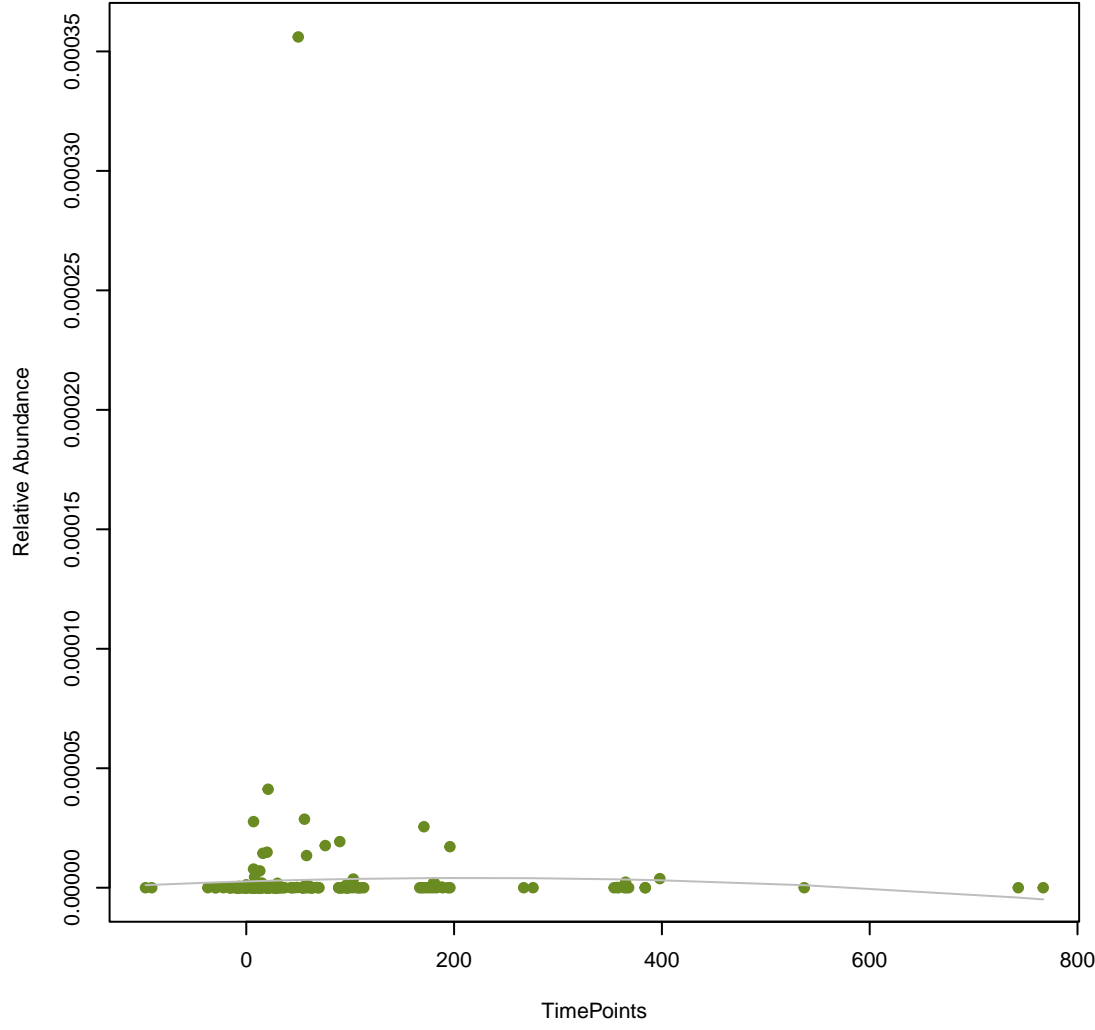
vsearch
dfrA15
ANOVA Pval: 0.521



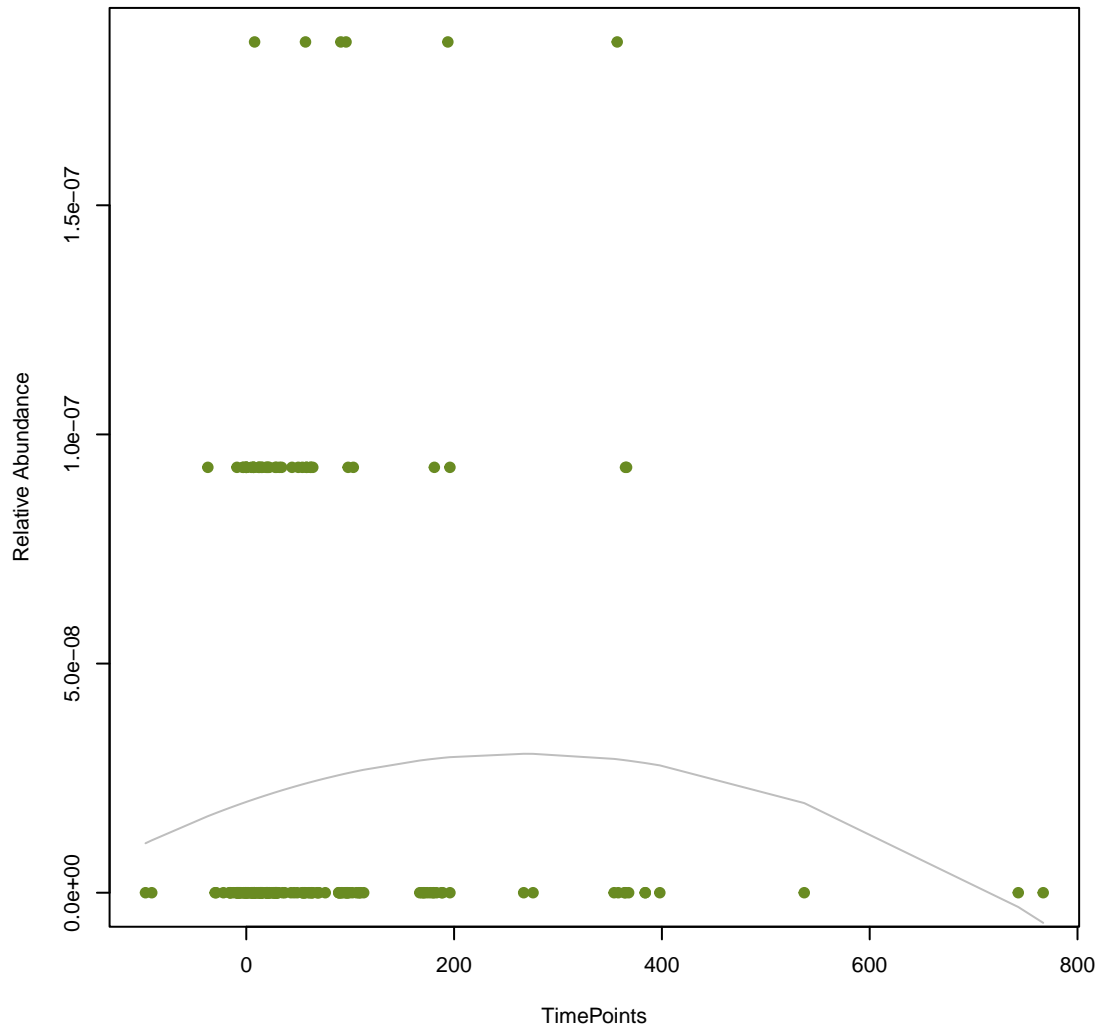
vsearch
blt
ANOVA Pval: 0.671



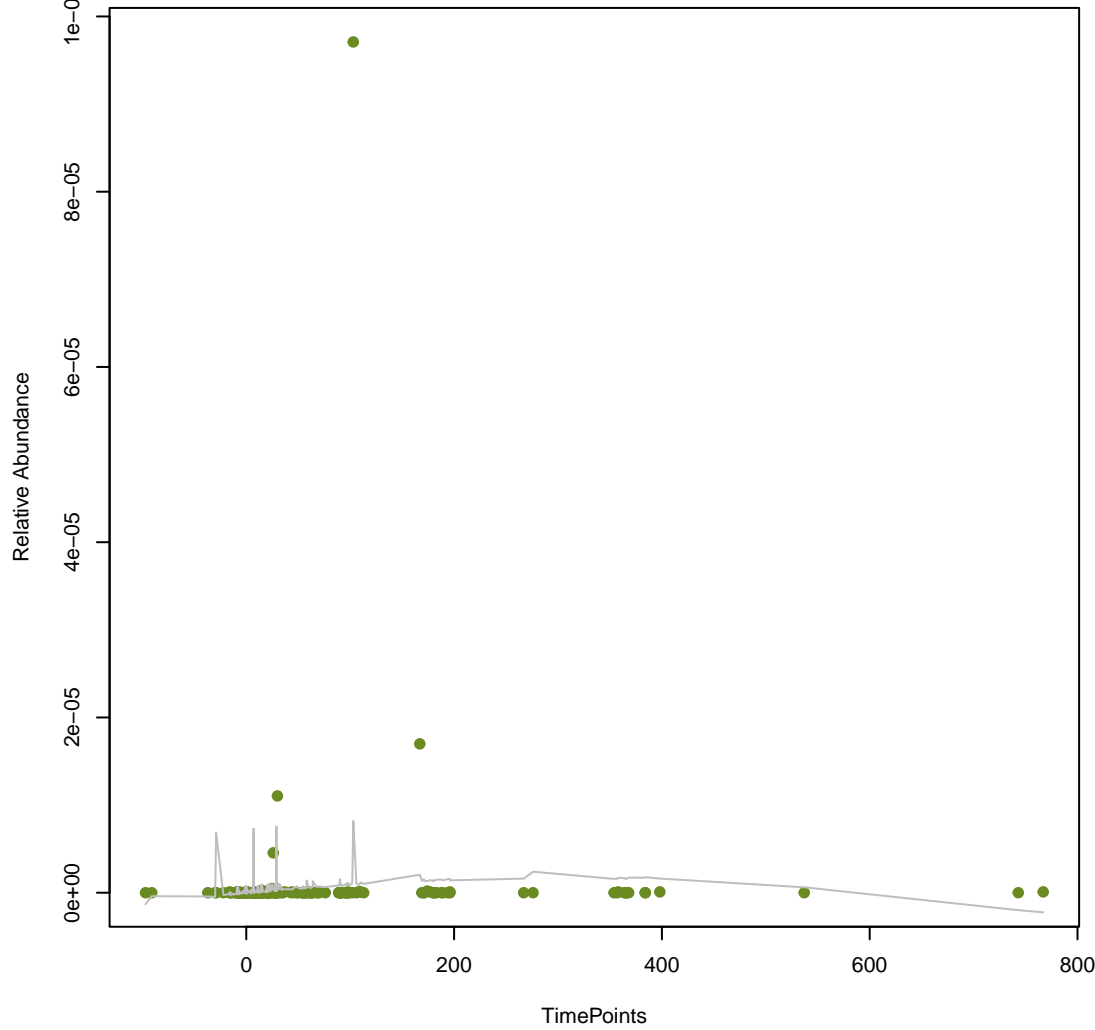
vsearch
CcoI_ACT_CHL
ANOVA Pval: 0.875



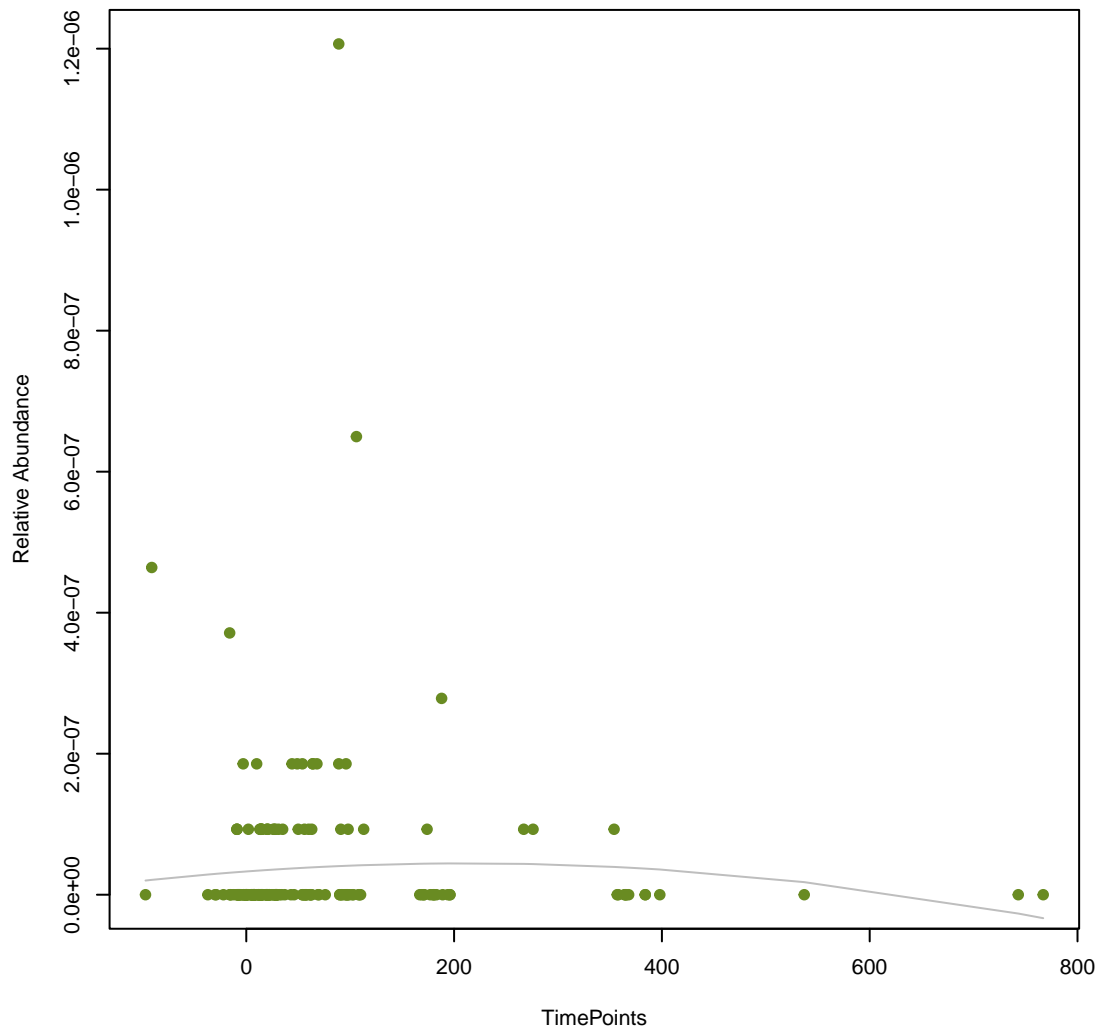
vsearch
OCH-3
ANOVA Pval: 0.381



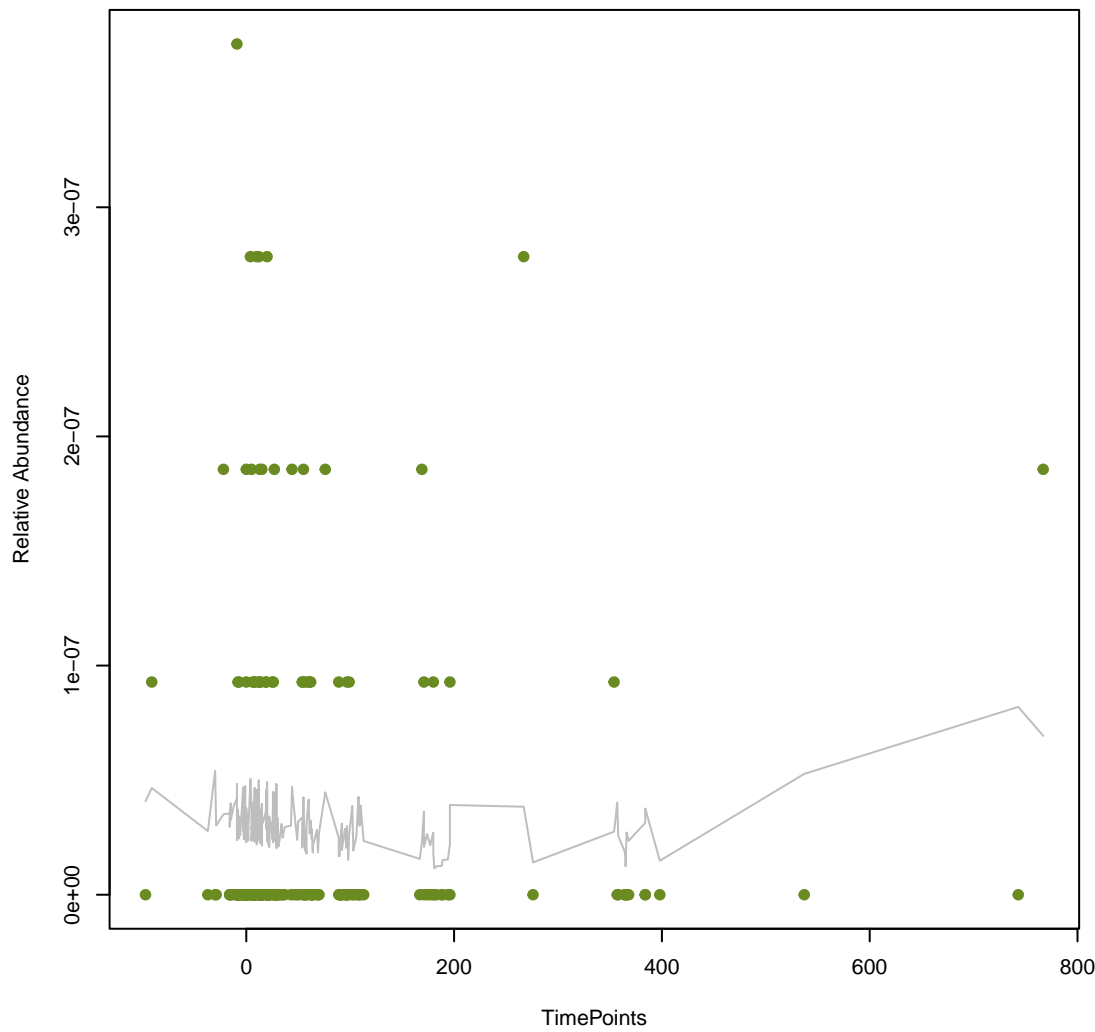
vsearch
OXA-50
ANOVA Pval: 0.412



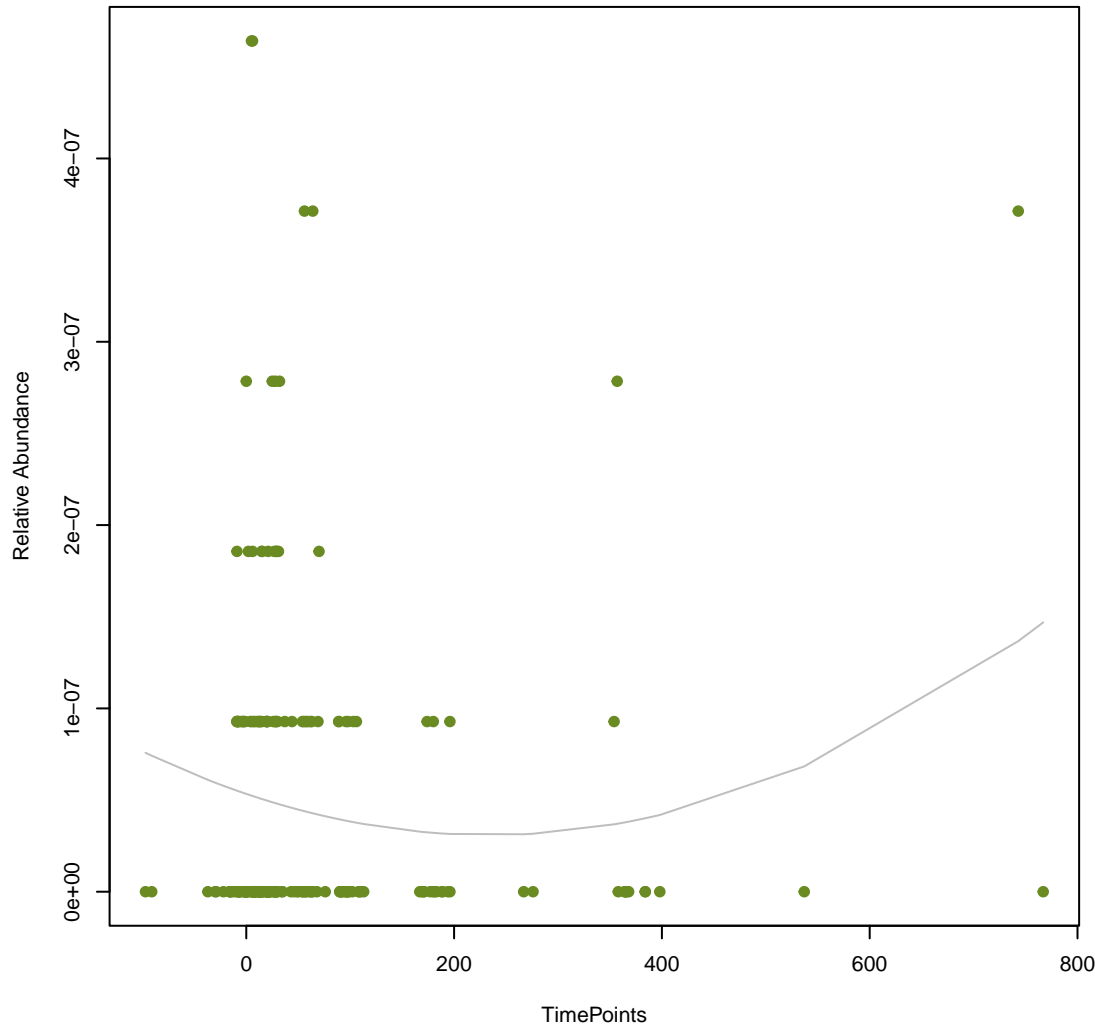
vsearch
QnrC
ANOVA Pval: 0.614



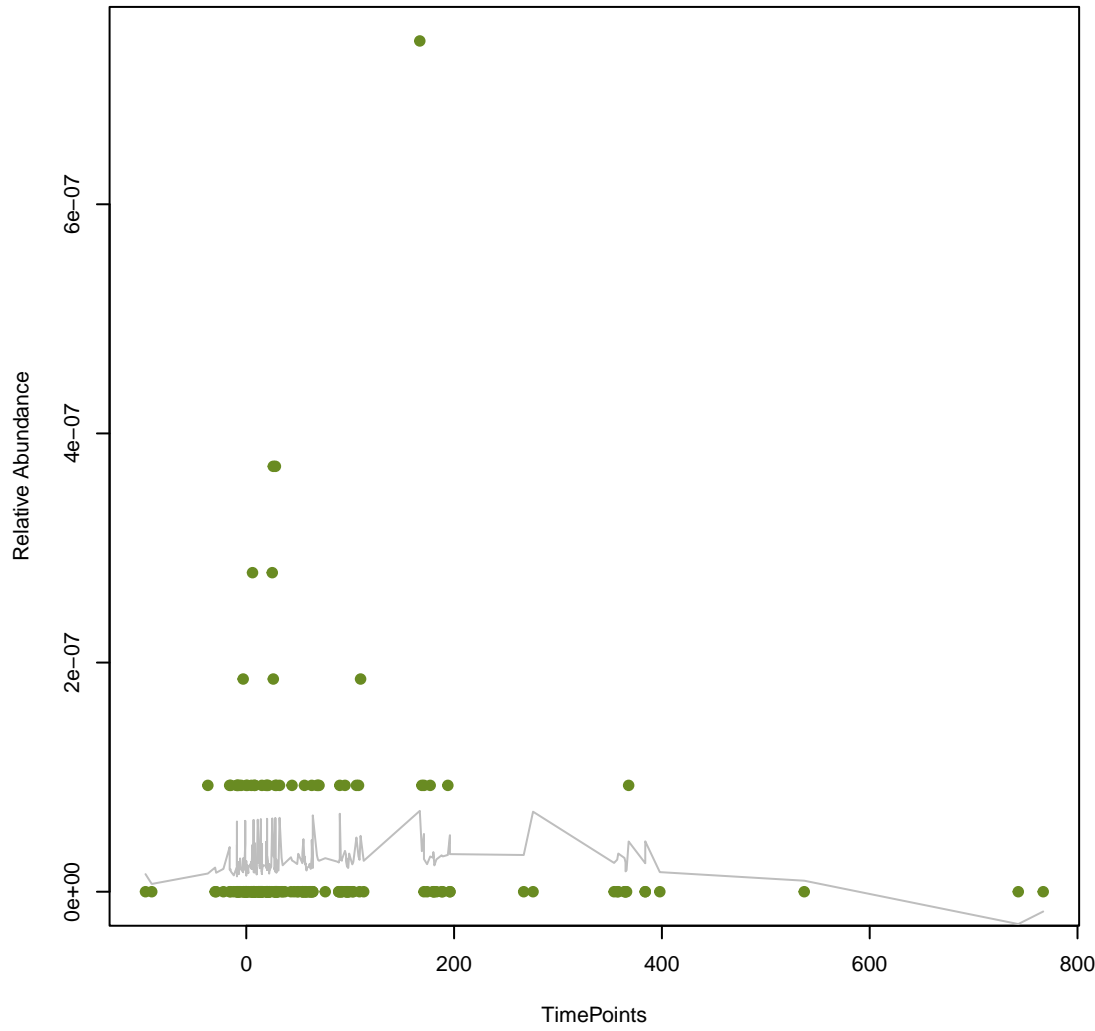
vsearch
CFE-2
ANOVA Pval: 0.487



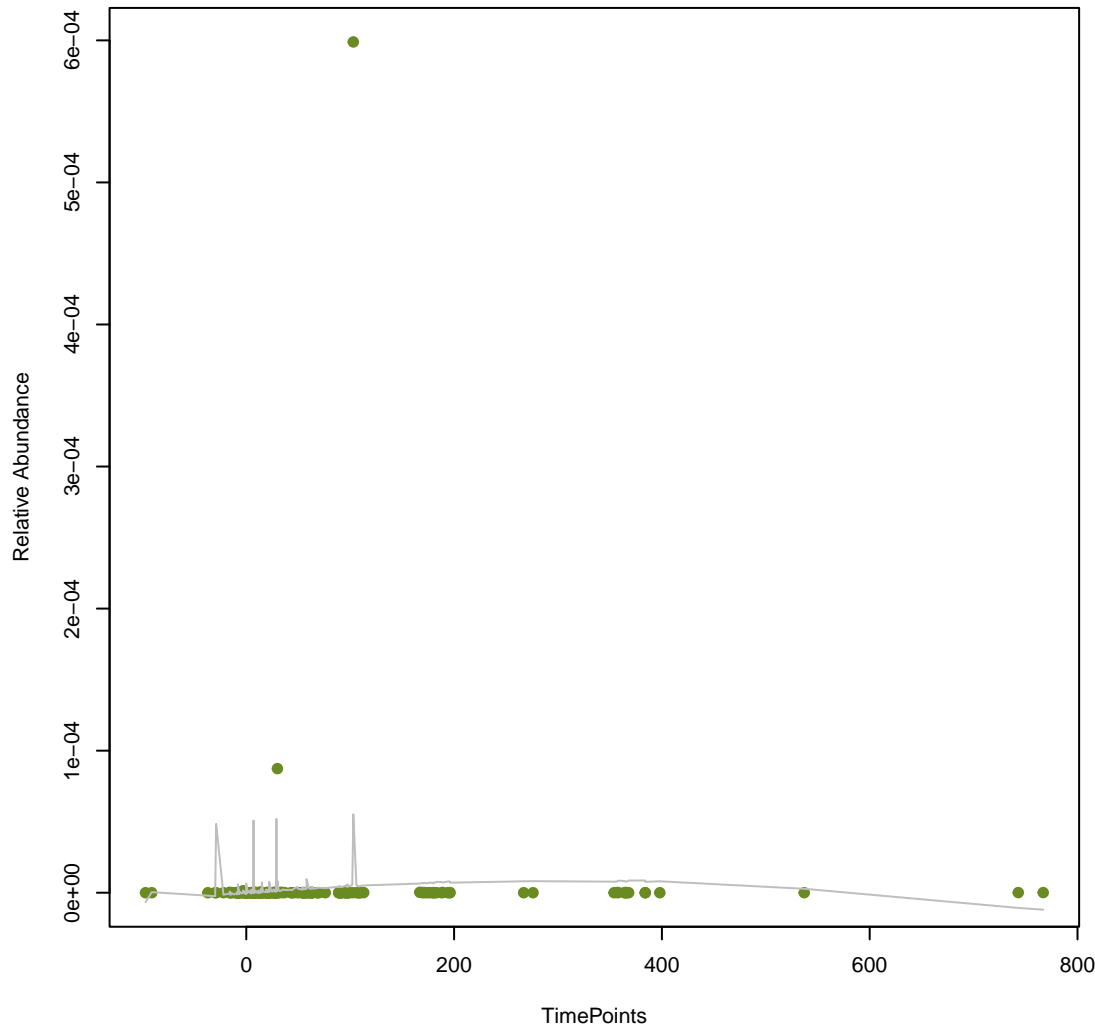
vsearch
ceoB
ANOVA Pval: 0.13



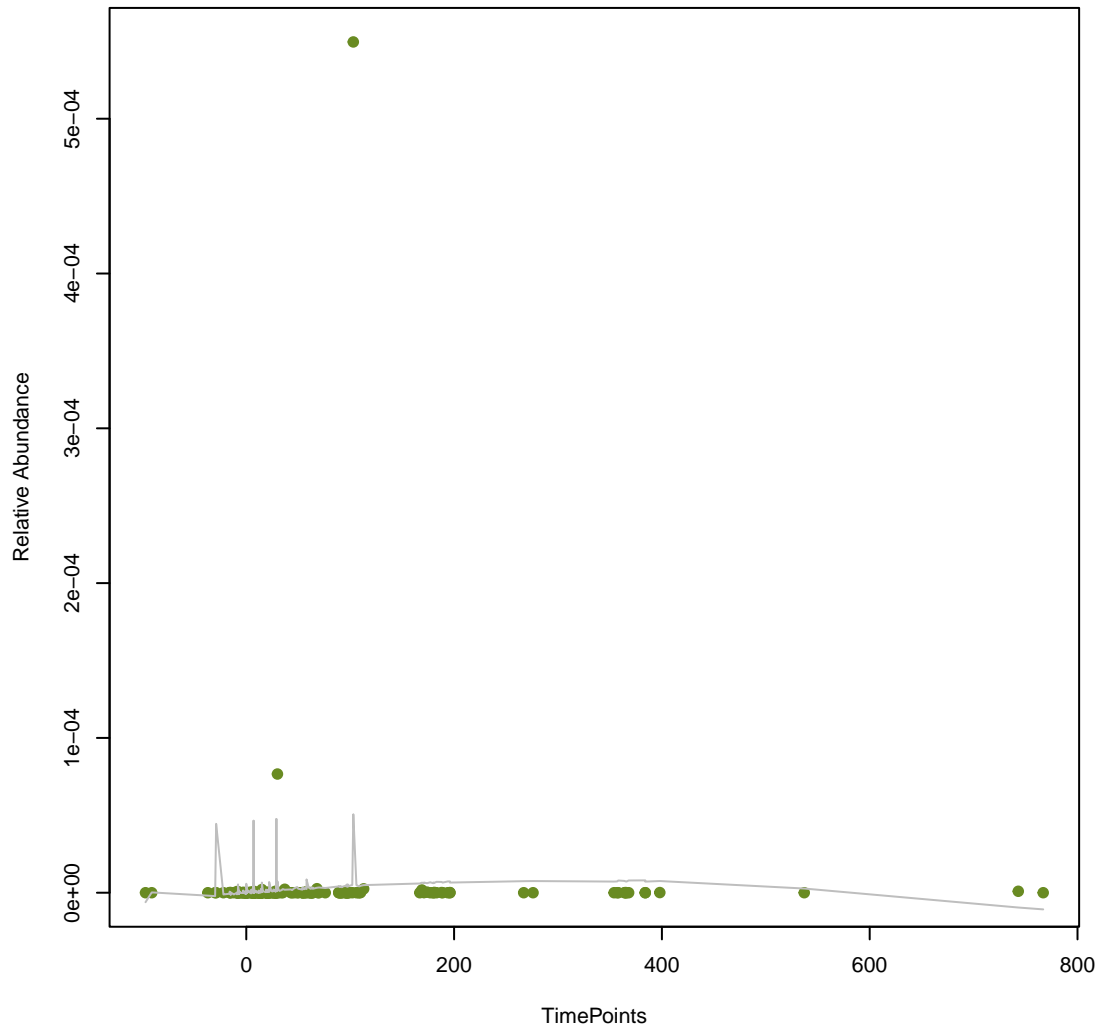
vsearch
ErmN
ANOVA Pval: 0.458



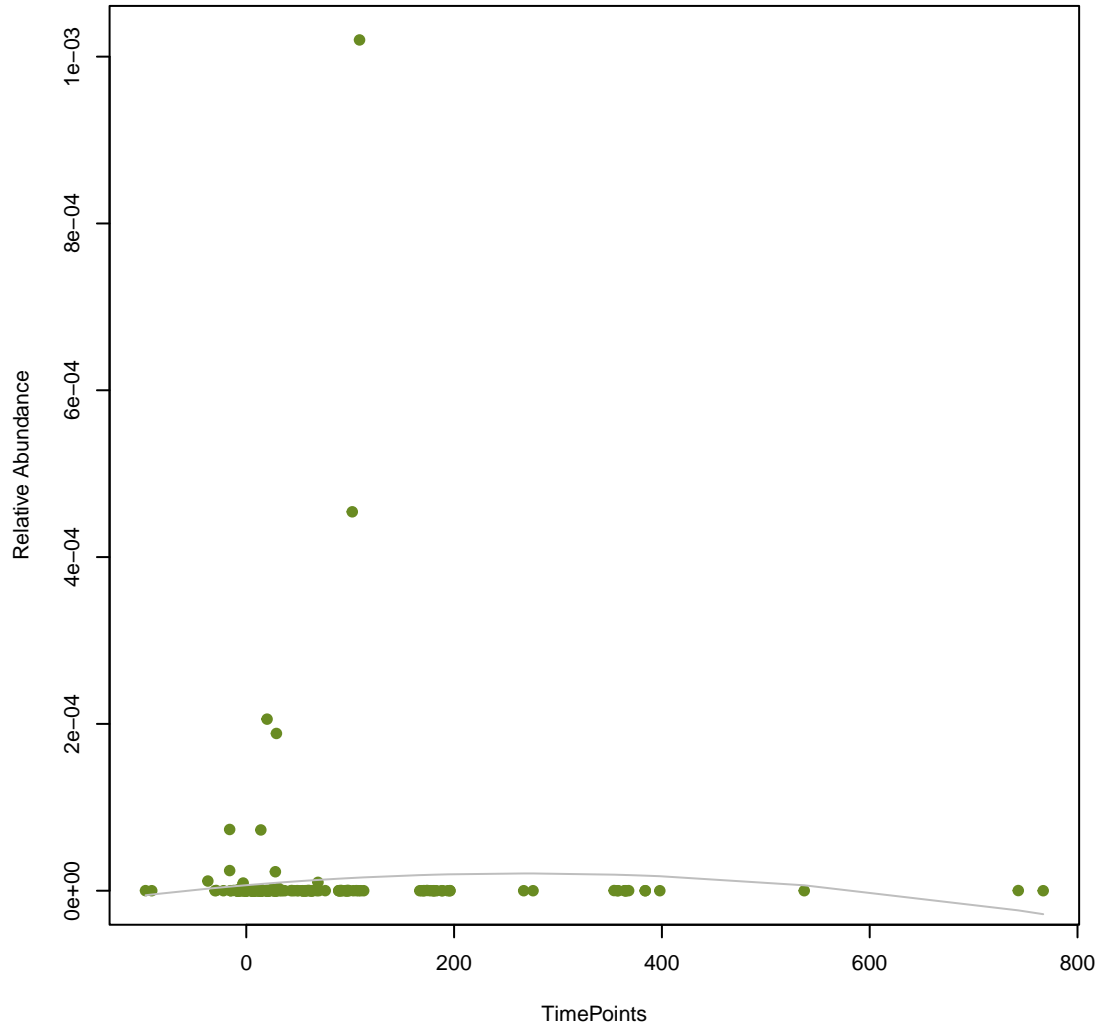
**vsearch
mexQ**
ANOVA Pval: 0.542



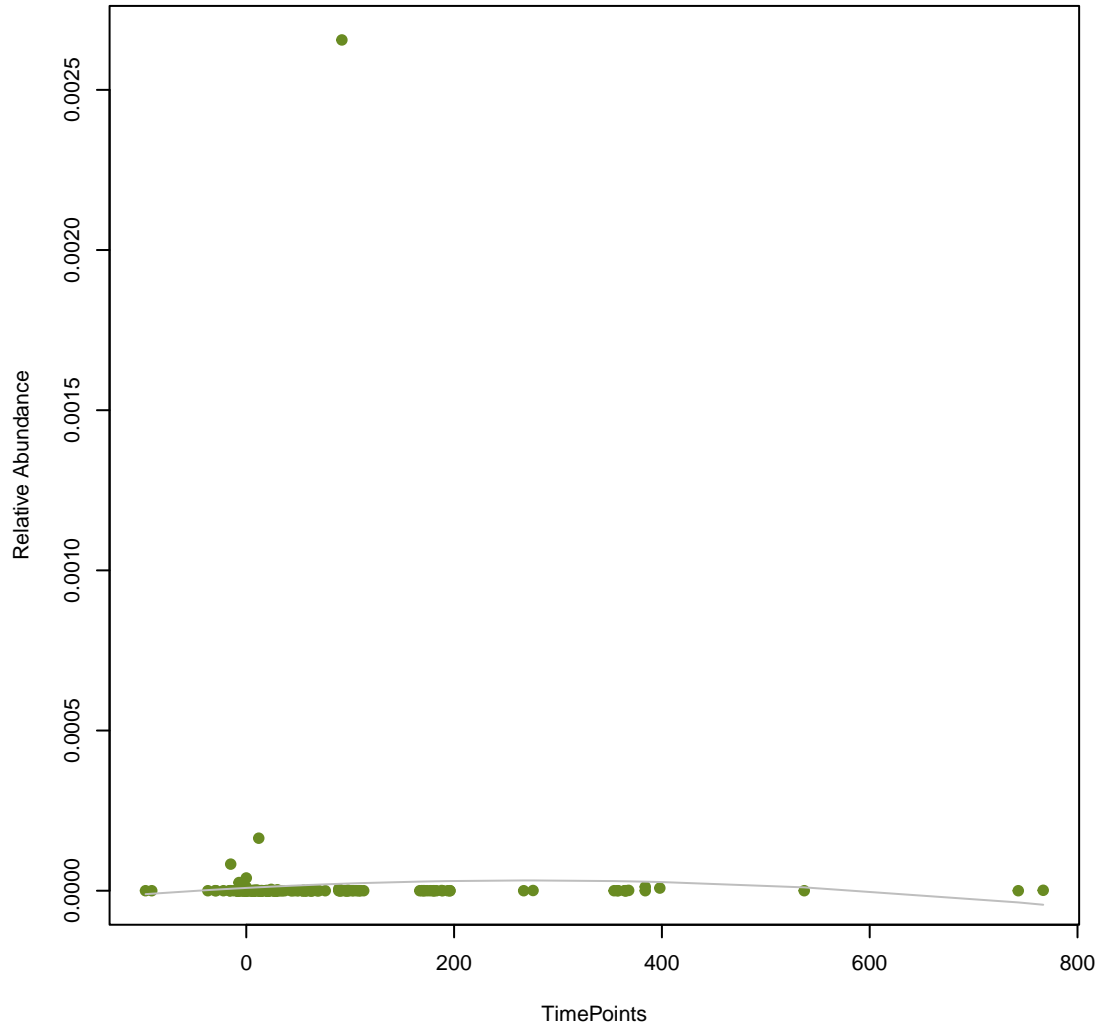
**vsearch
MuxC**
ANOVA Pval: 0.541



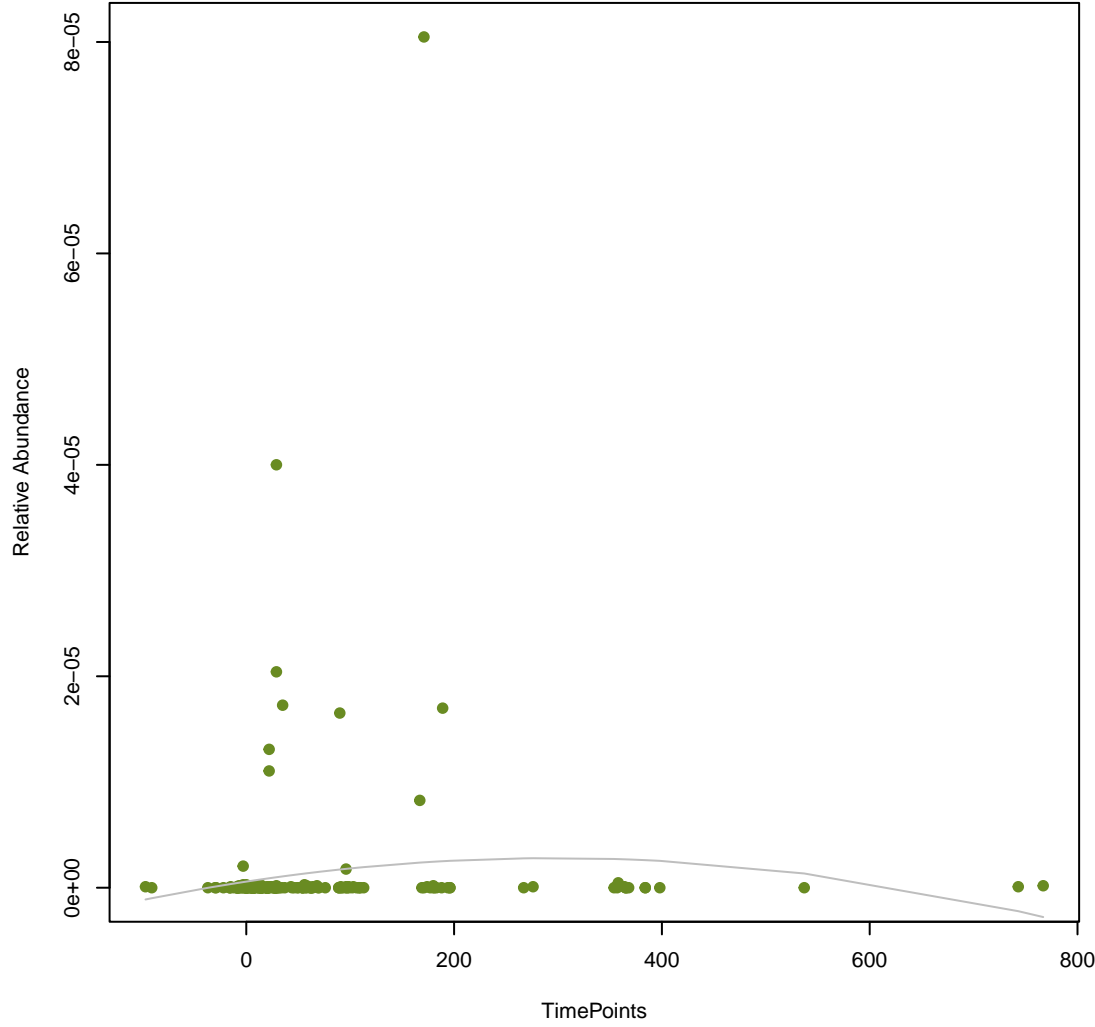
**vsearch
norA**
ANOVA Pval: 0.567



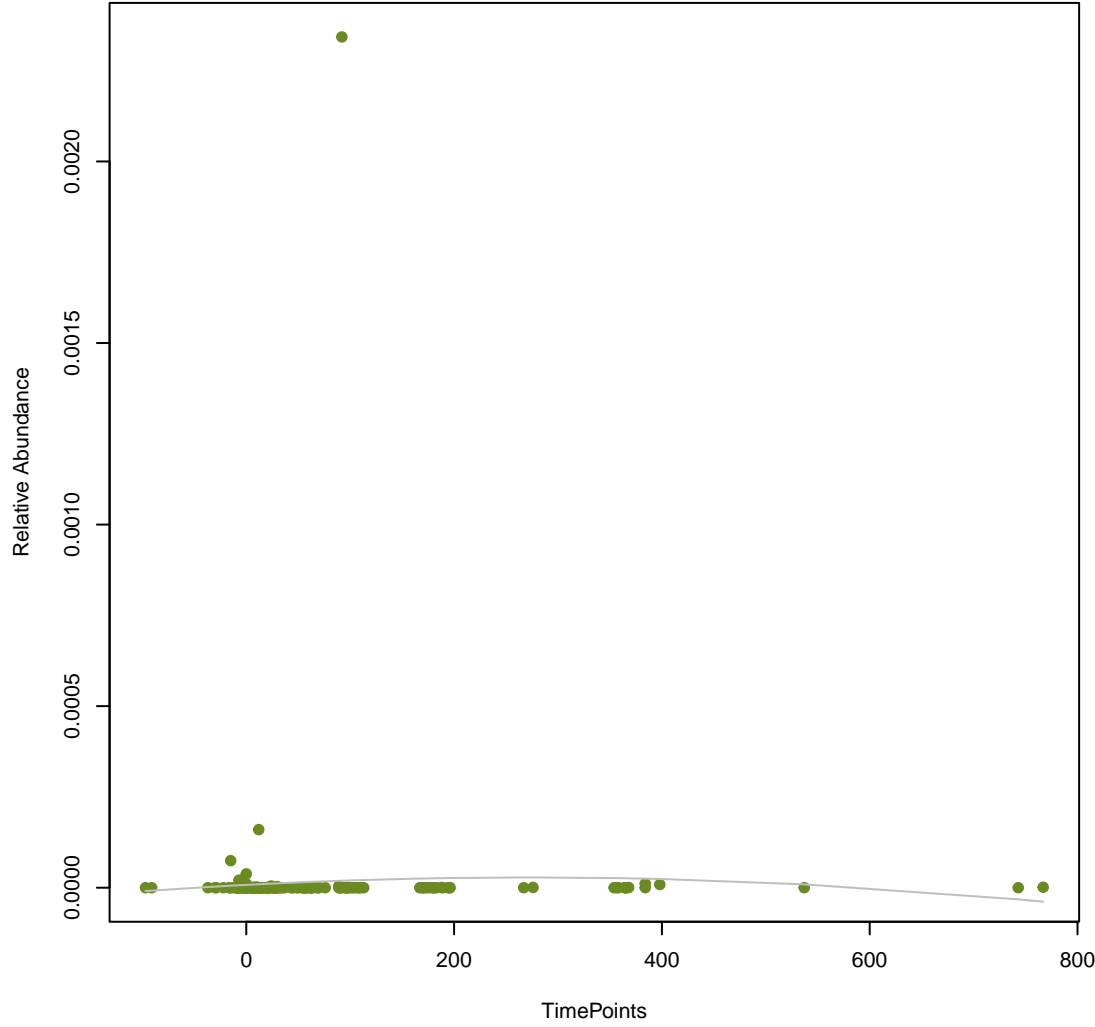
**vsearch
TEM-126**
ANOVA Pval: 0.762



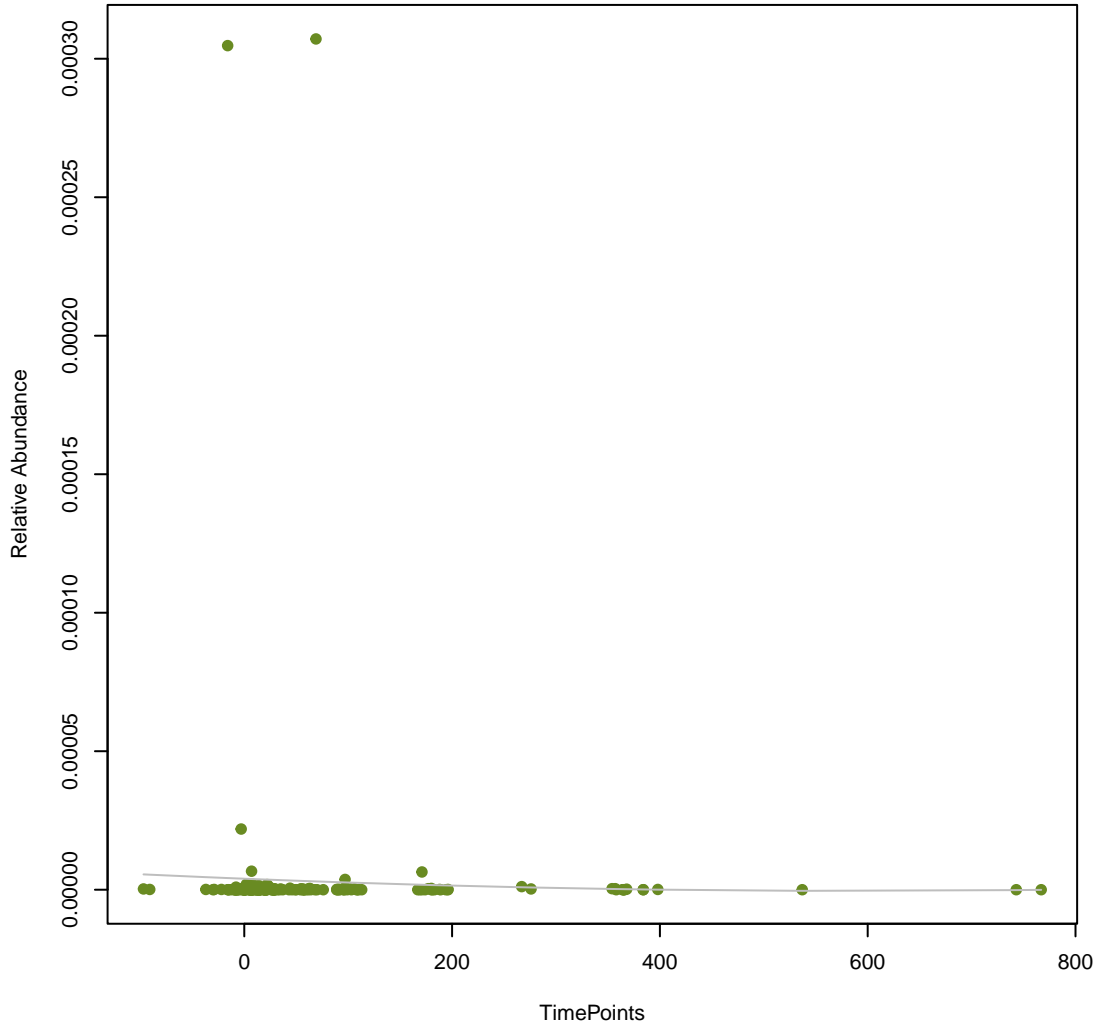
**vsearch
OXA-347**
ANOVA Pval: 0.225



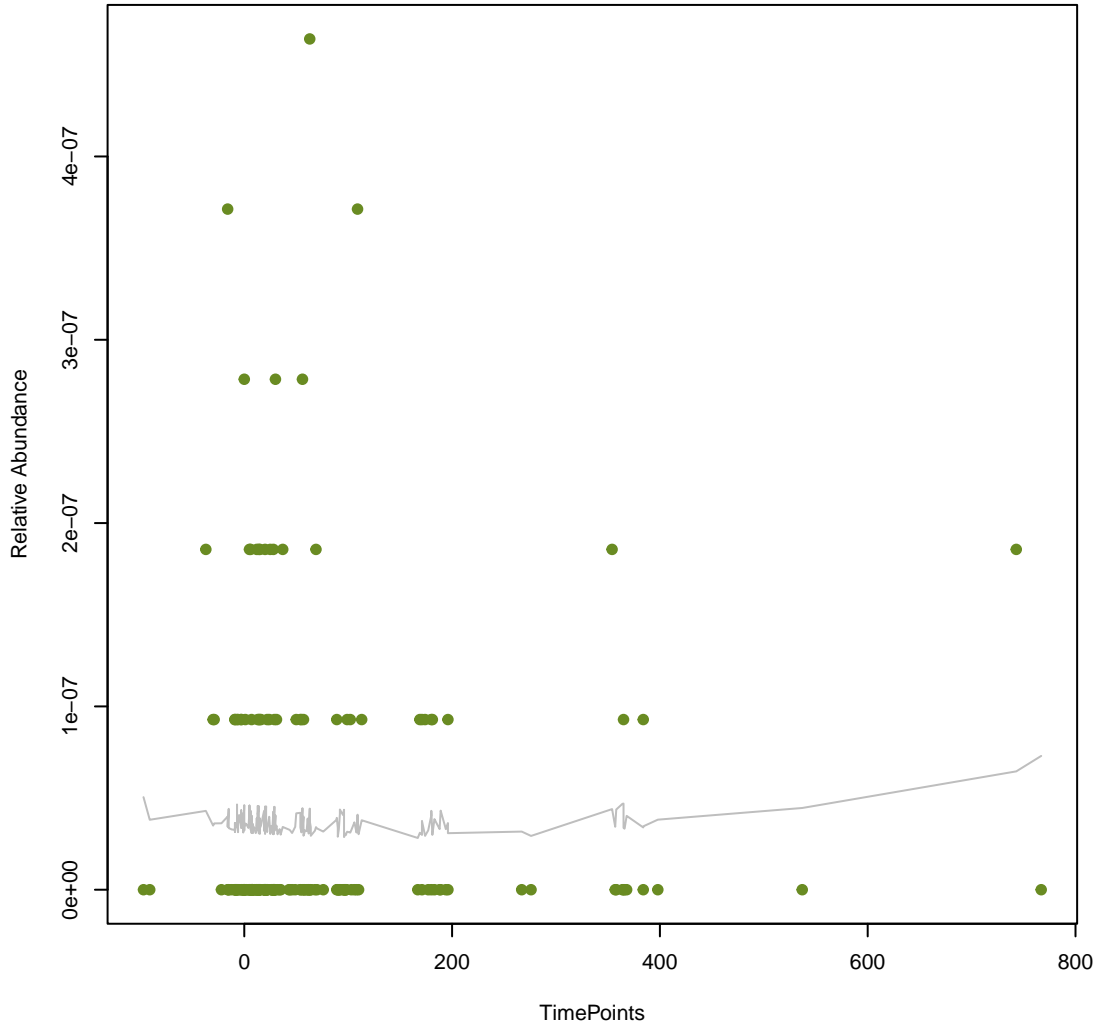
**vsearch
TEM-194**
ANOVA Pval: 0.764



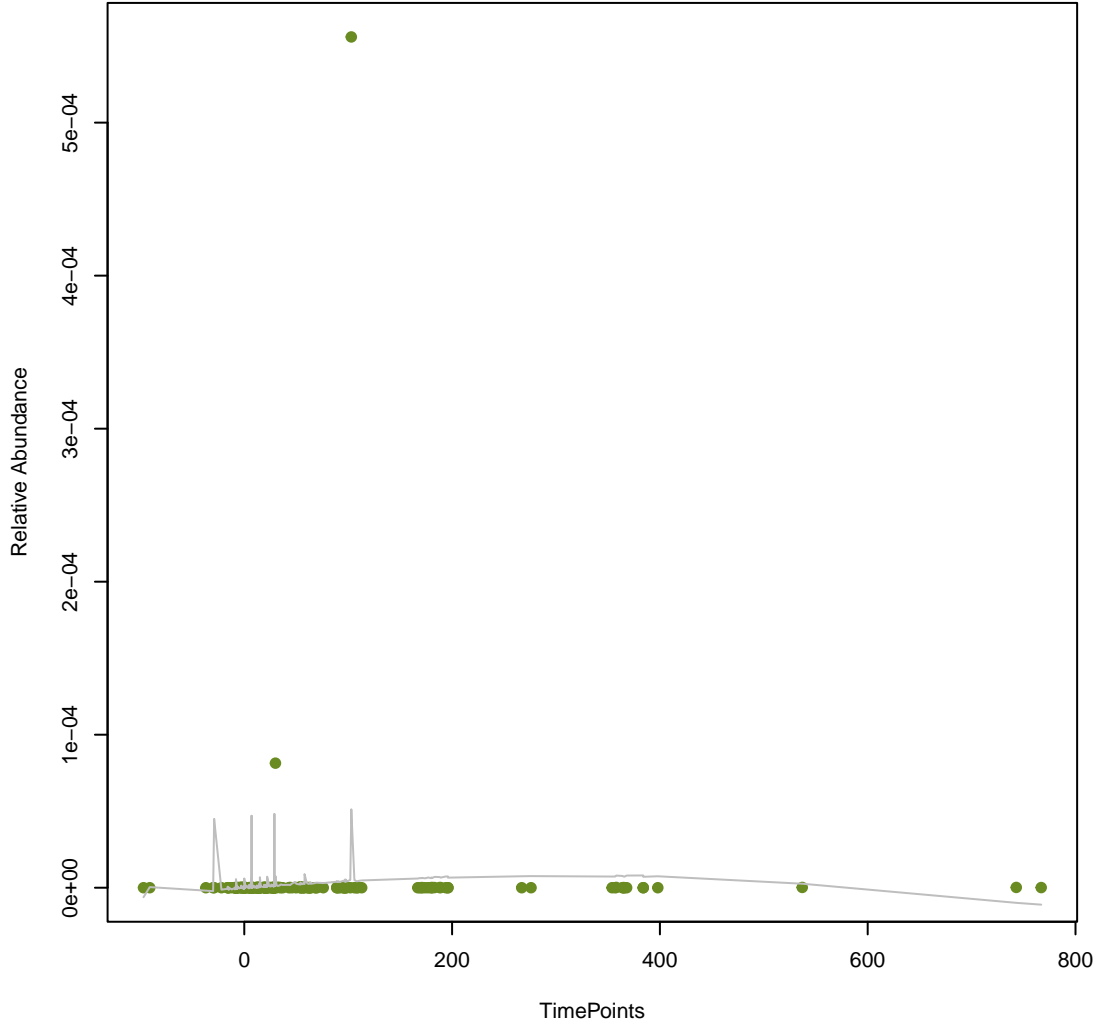
vsearch
tetB(60)
ANOVA Pval: 0.865



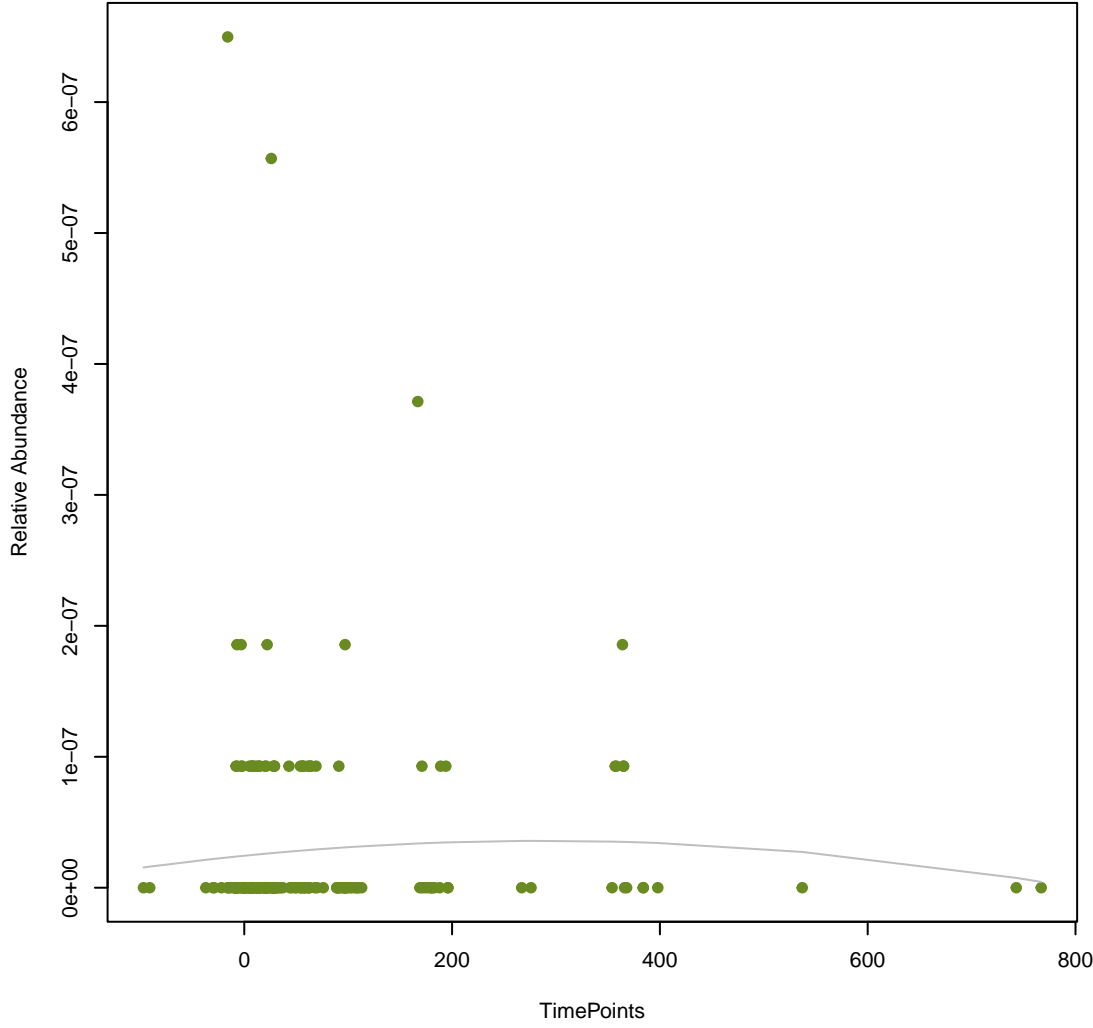
vsearch
MCR-4.2
ANOVA Pval: 0.795



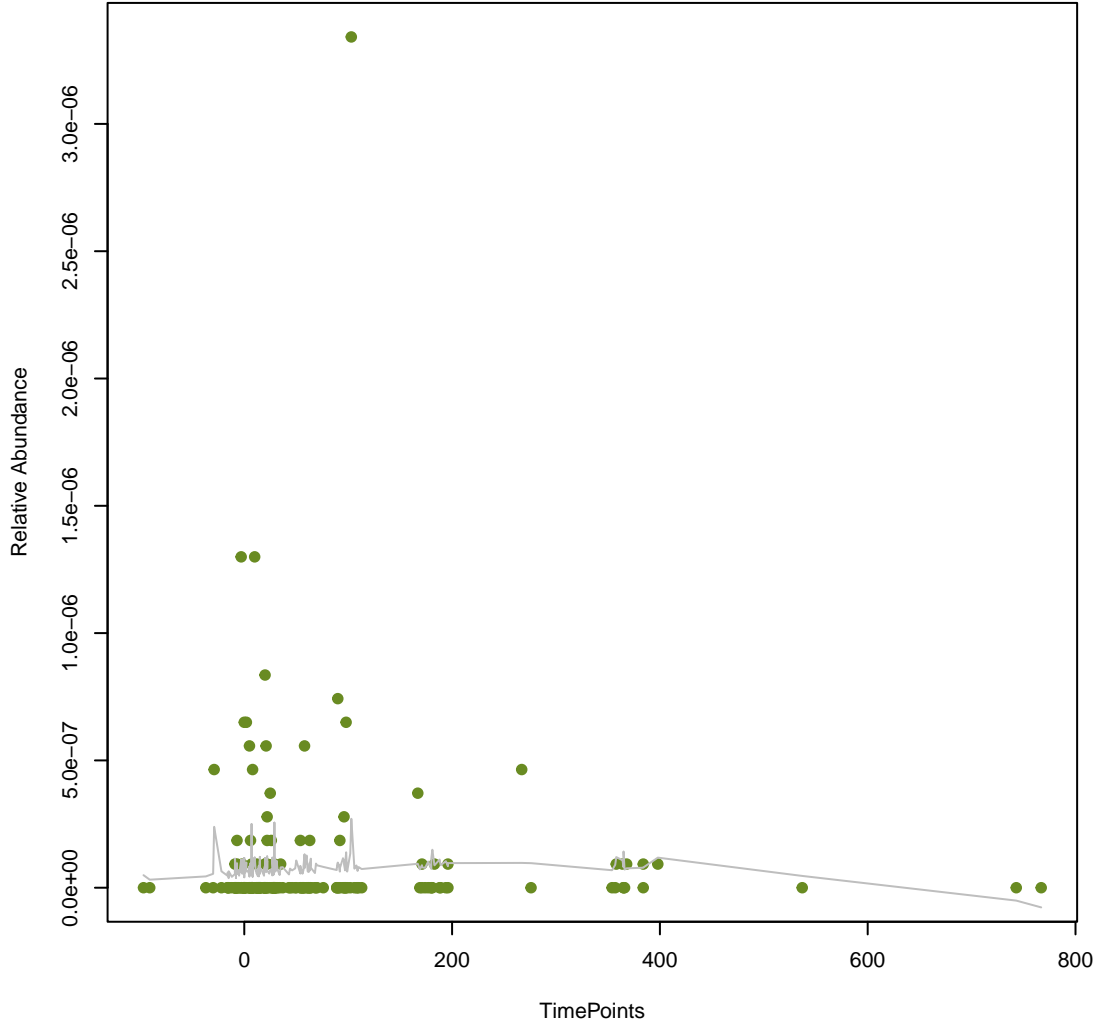
vsearch
MexW
ANOVA Pval: 0.541



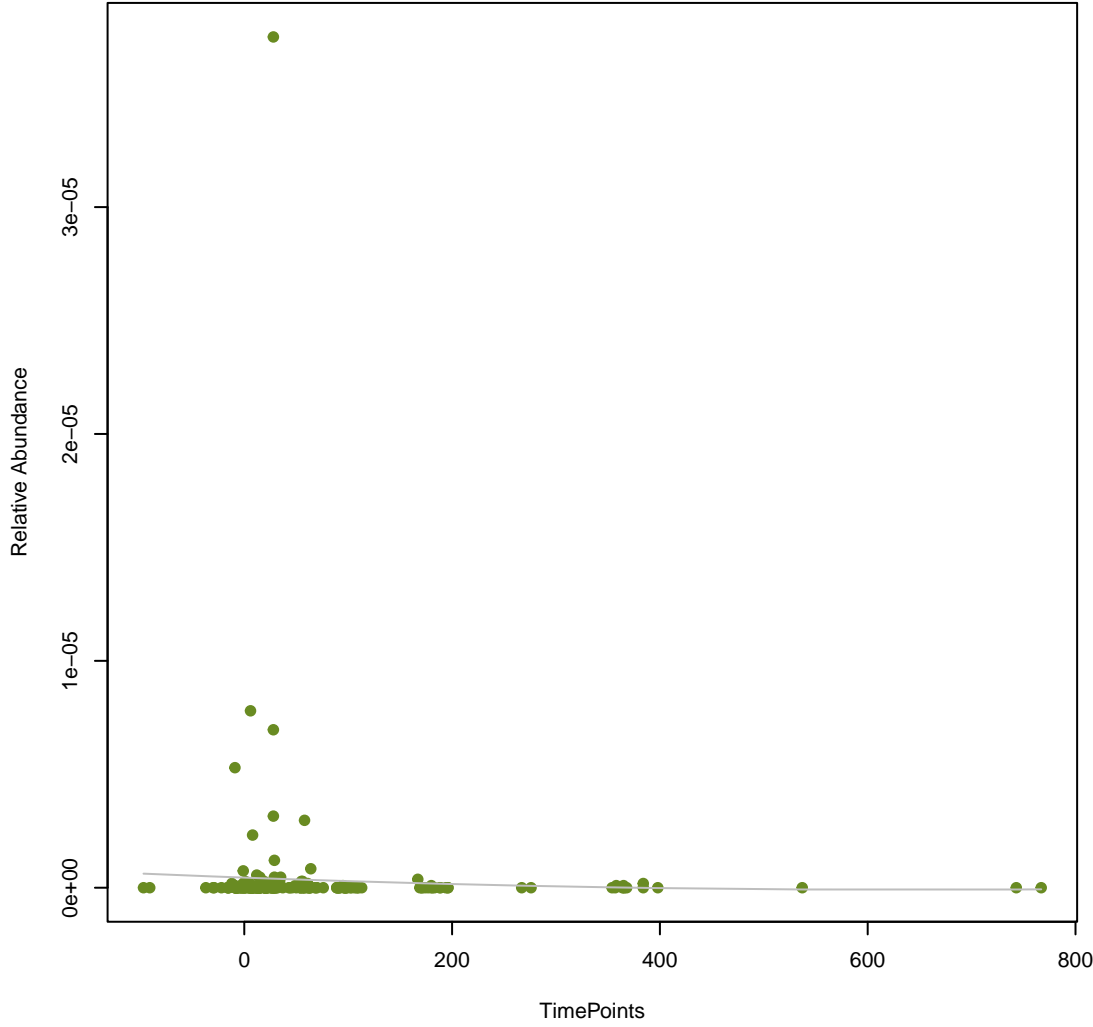
vsearch
SPN79-1
ANOVA Pval: 0.717



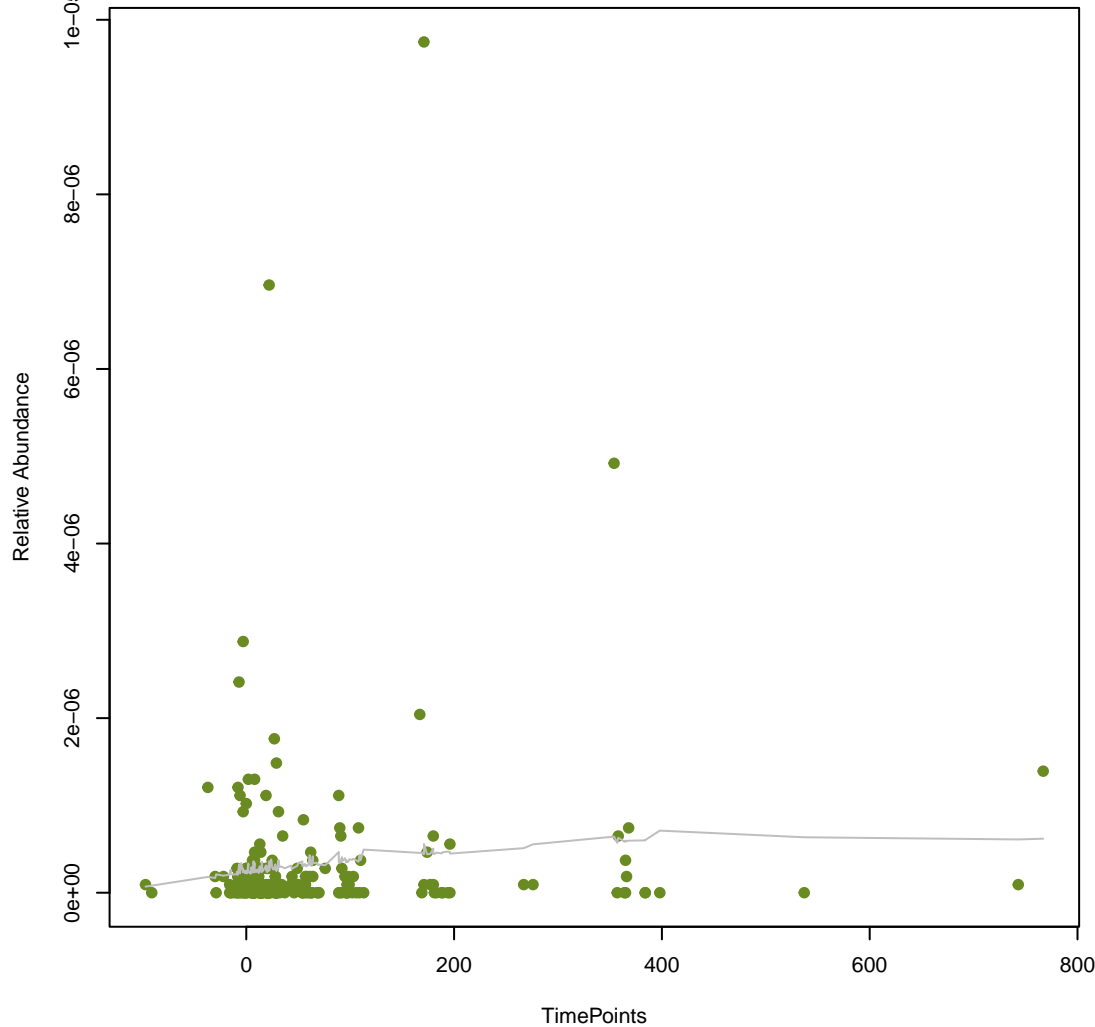
vsearch
tmrB
ANOVA Pval: 0.691



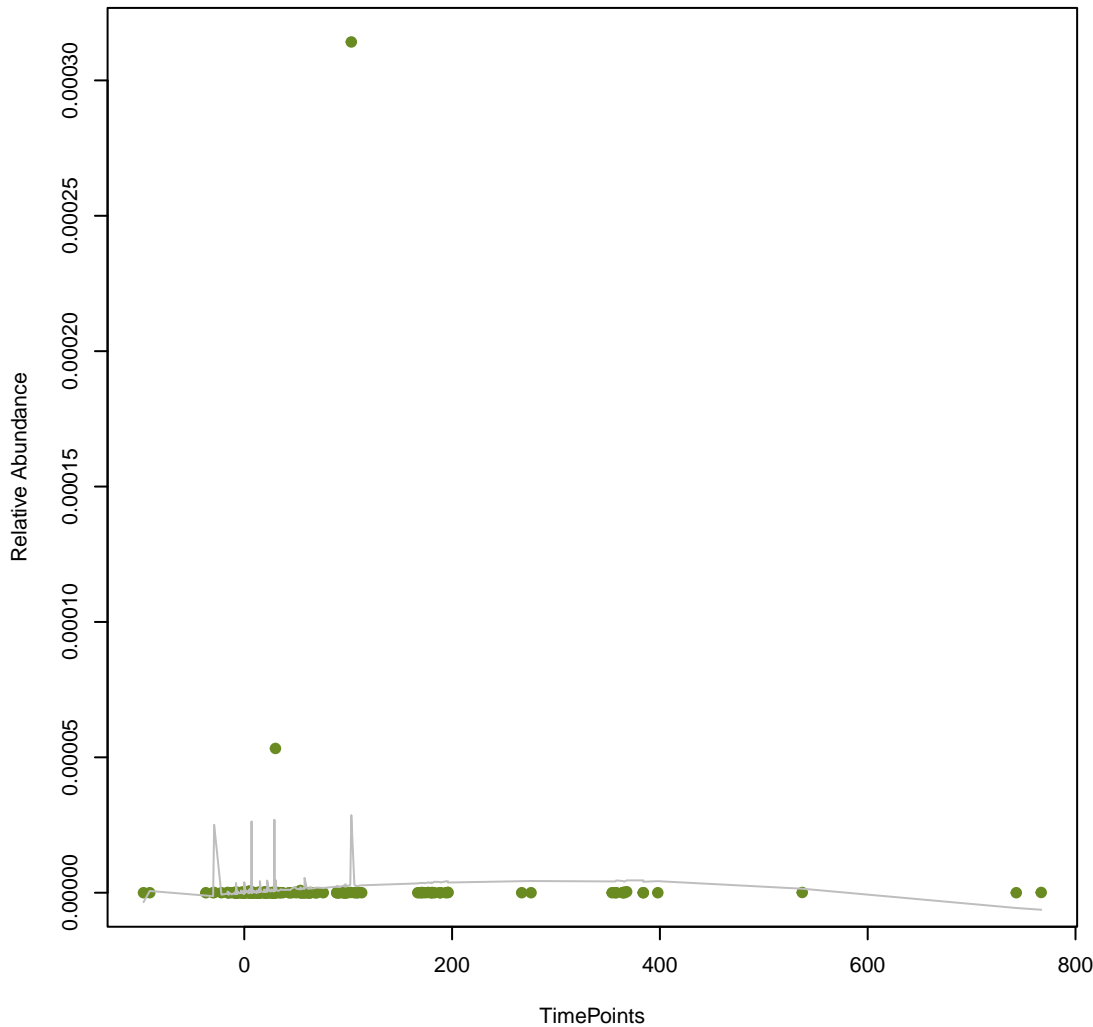
vsearch
FosA2
ANOVA Pval: 0.788



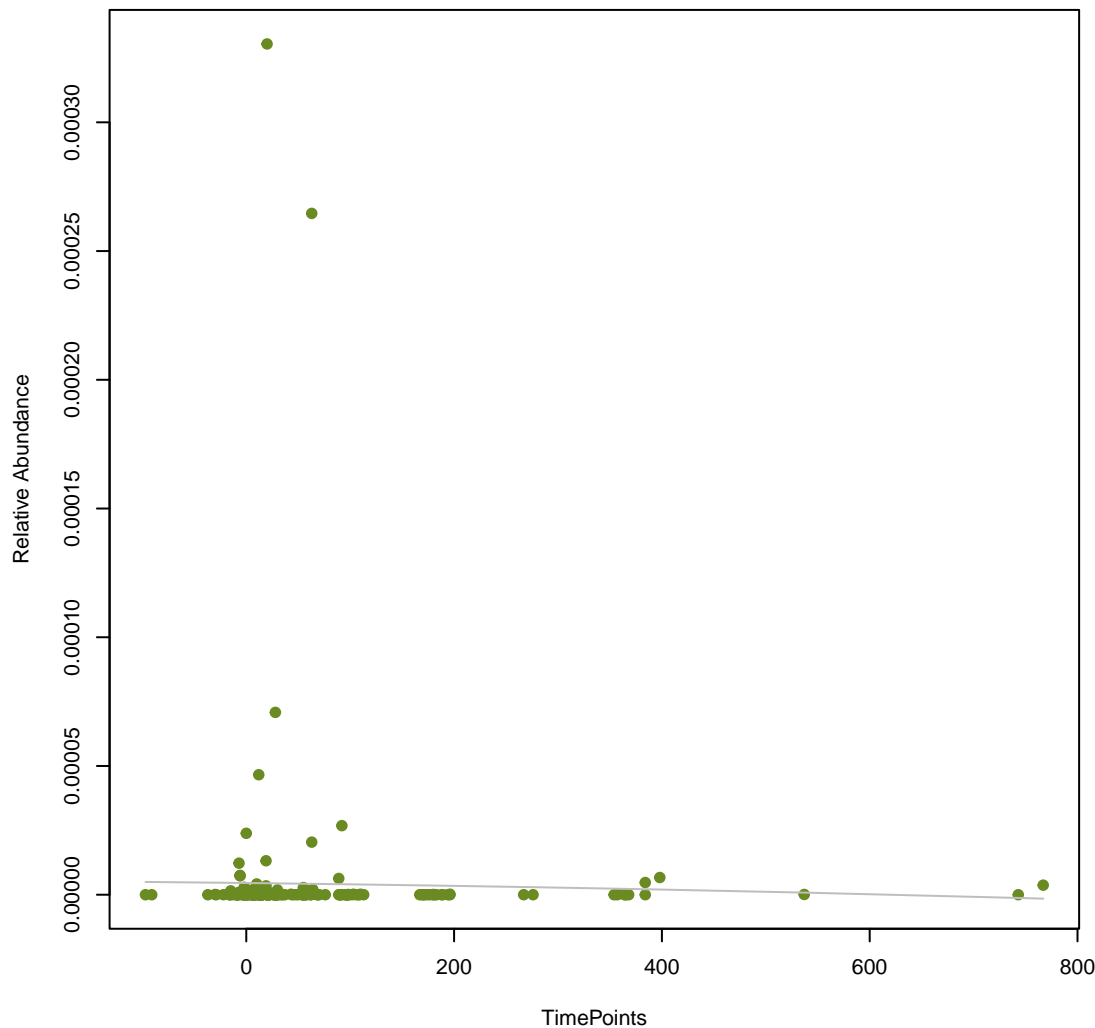
**vsearch
ErmX**
ANOVA Pval: 0.271



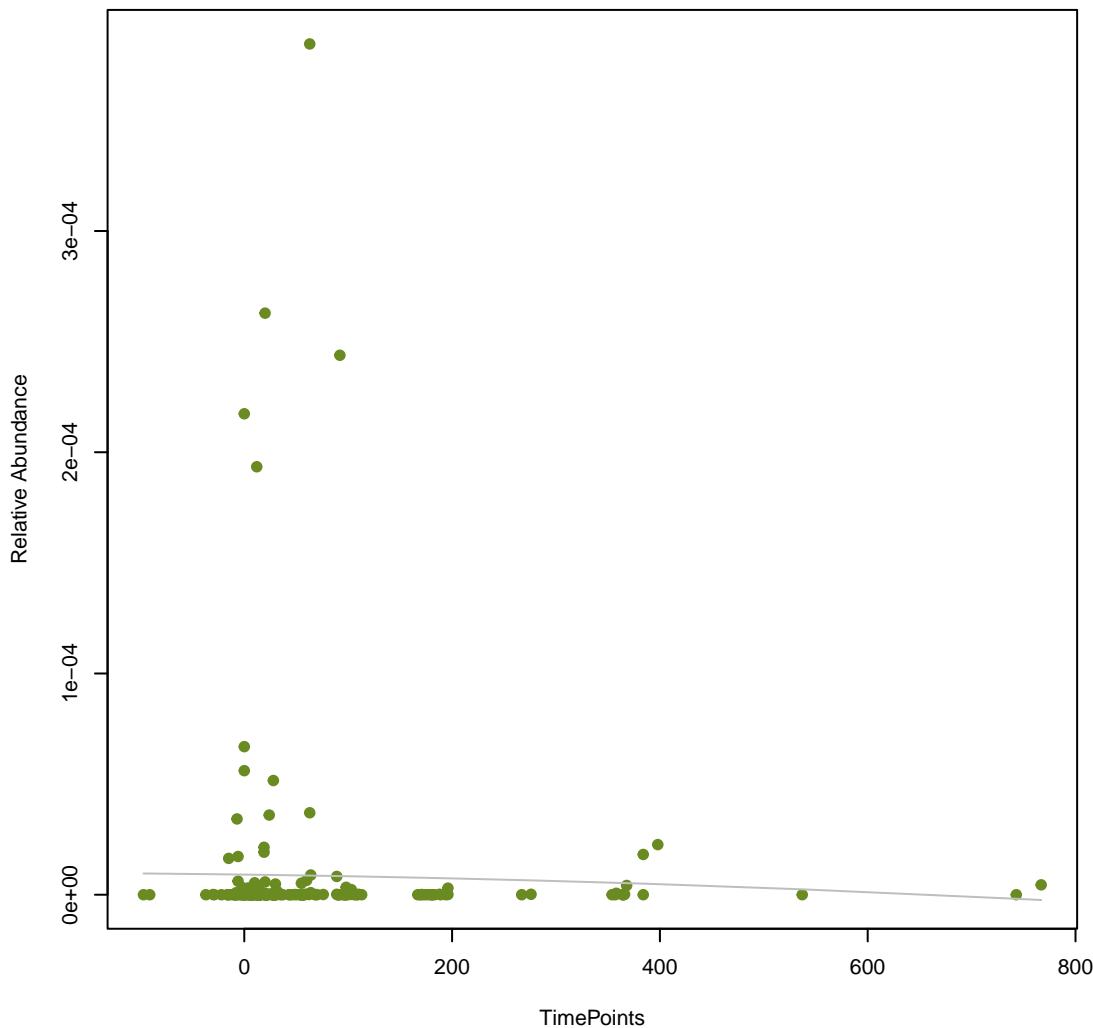
**vsearch
OpmD**
ANOVA Pval: 0.541



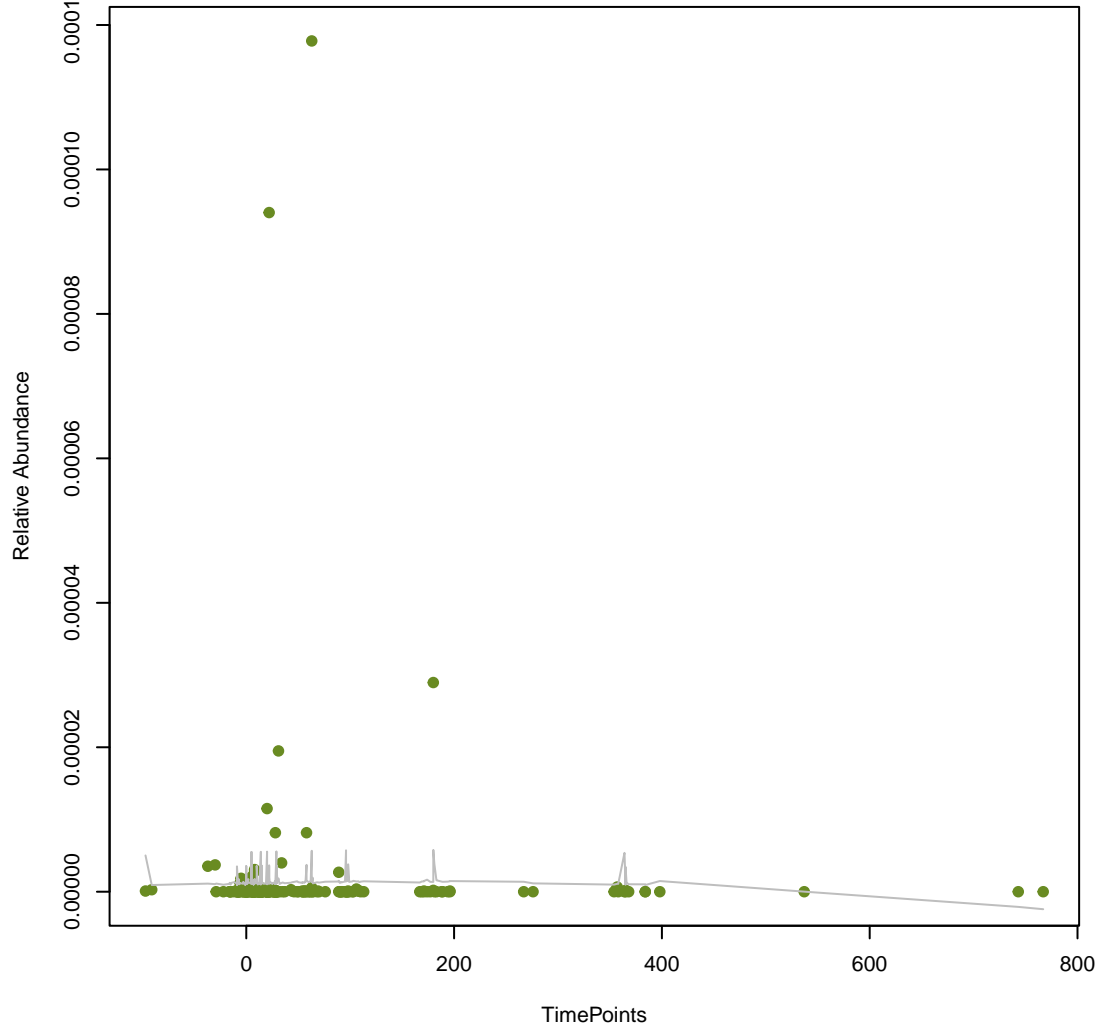
**vsearch
EC-13**
ANOVA Pval: 0.924



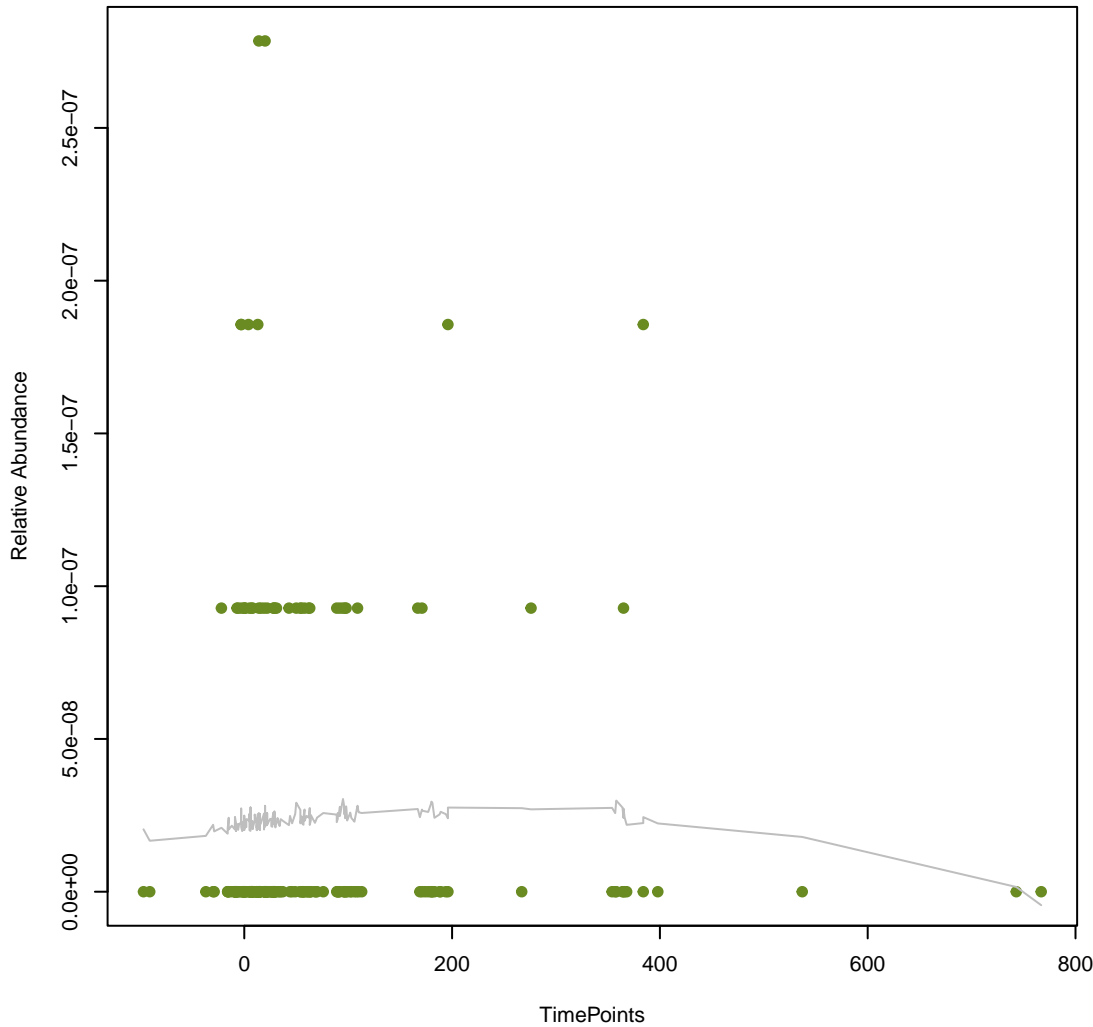
**vsearch
AcrS**
ANOVA Pval: 0.88



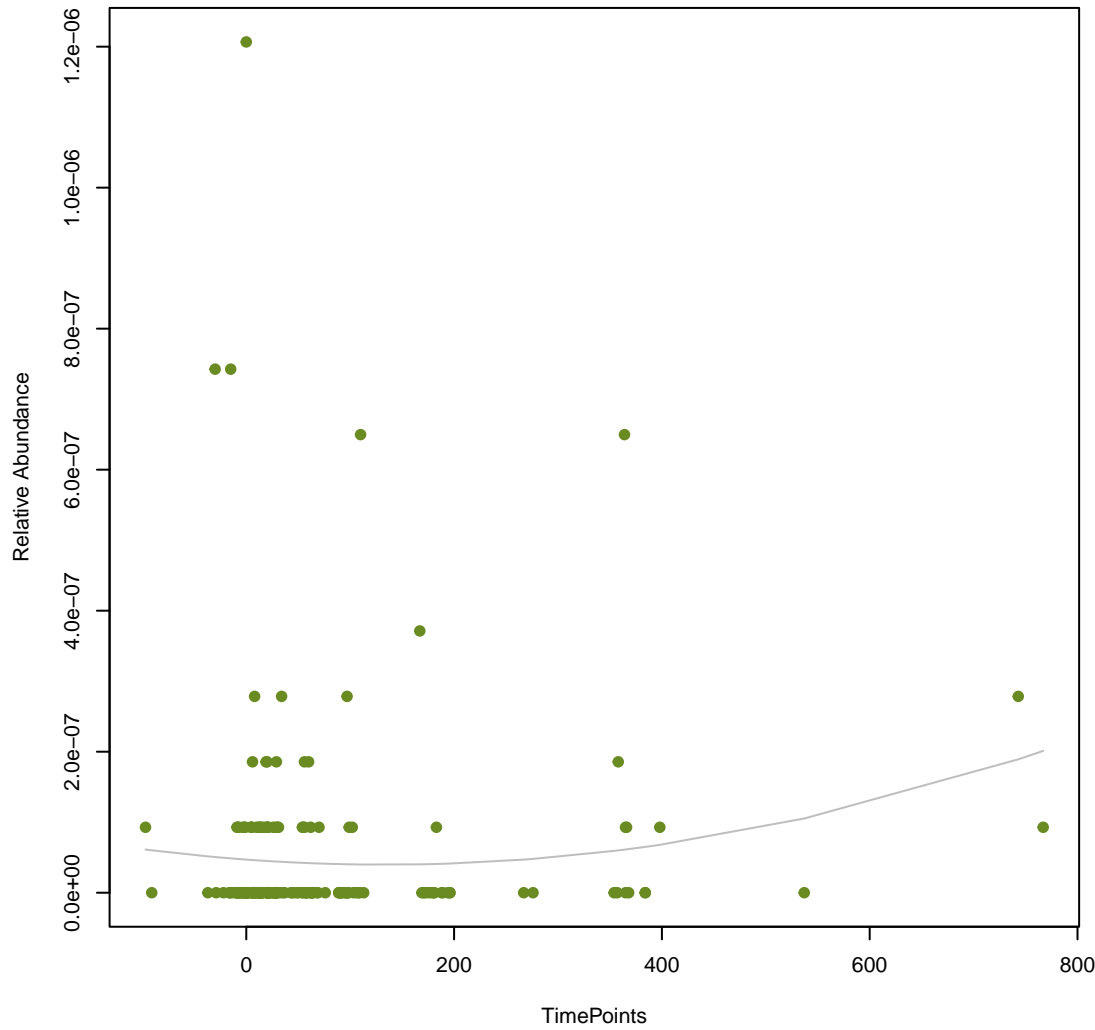
**vsearch
vanR_in_vanC_cl**
ANOVA Pval: 0.878



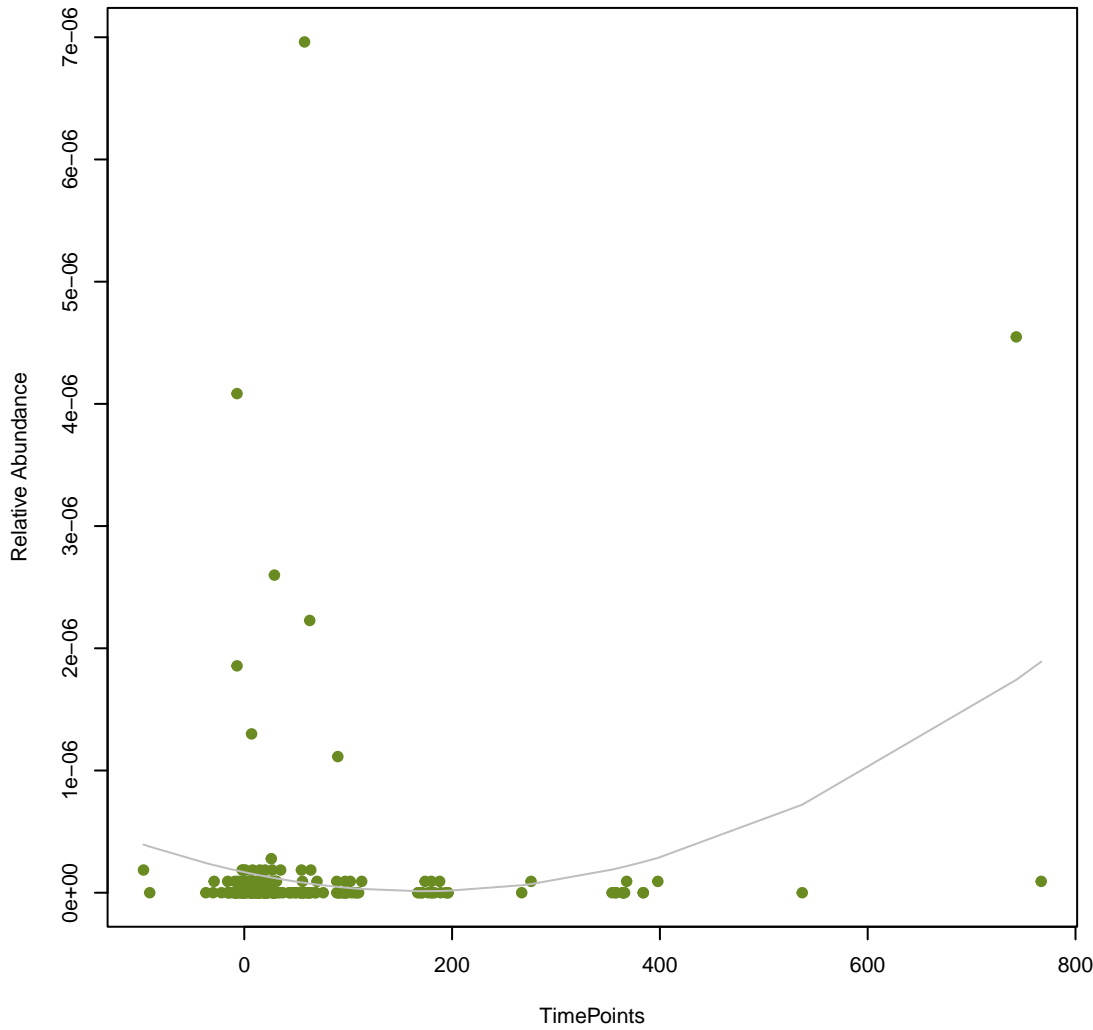
**vsearch
OXA-85**
ANOVA Pval: 0.727



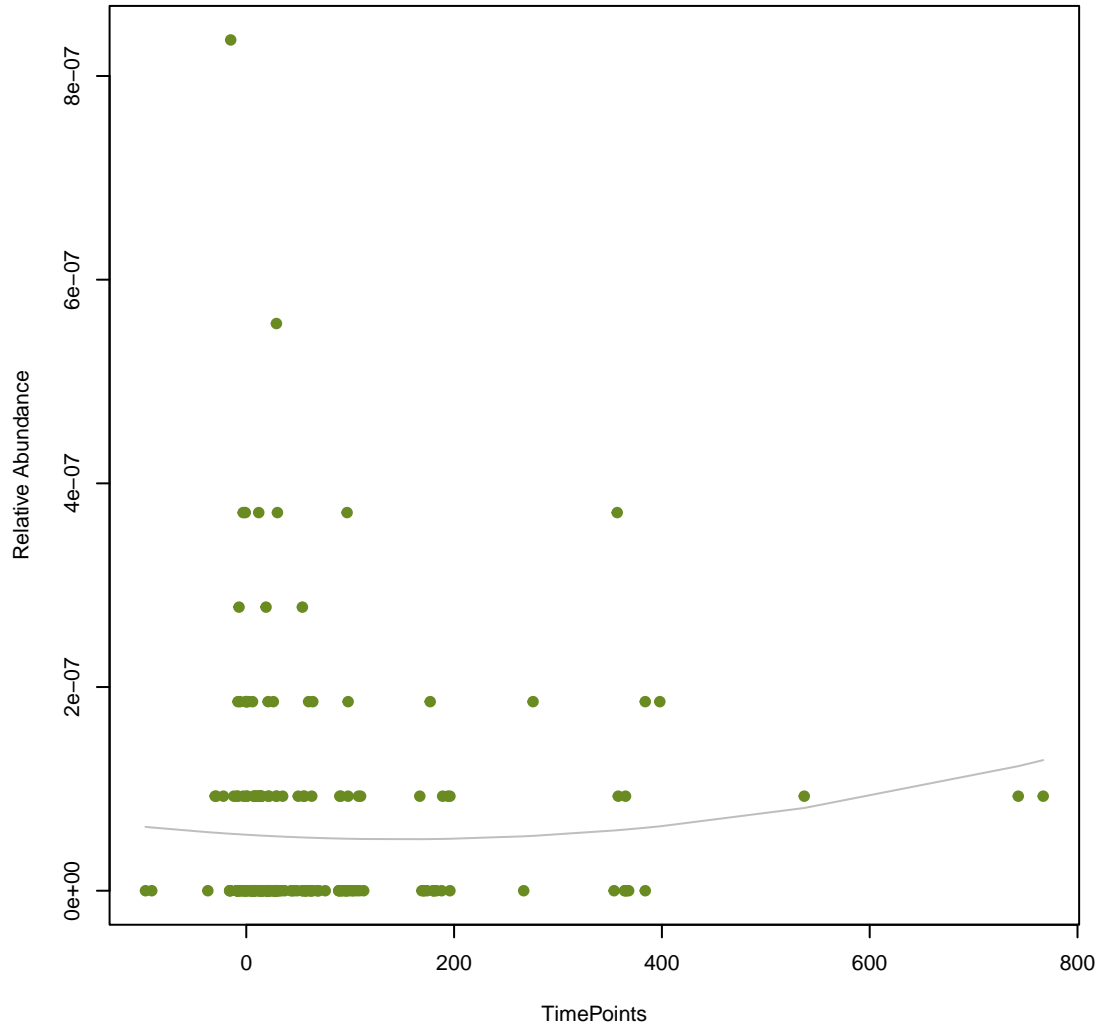
vsearch
CARB-42
ANOVA Pval: 0.242



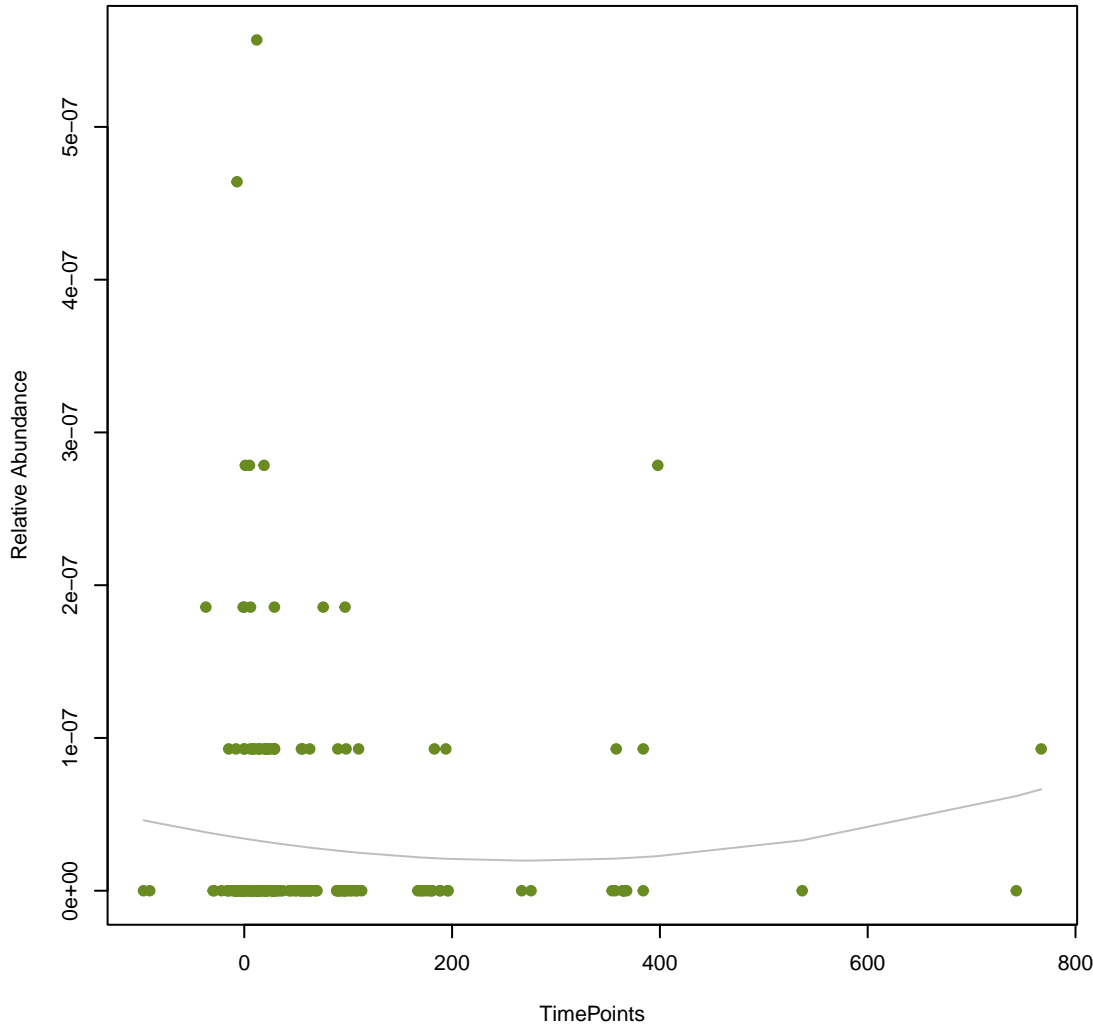
vsearch
SHV-6
ANOVA Pval: 0.000652



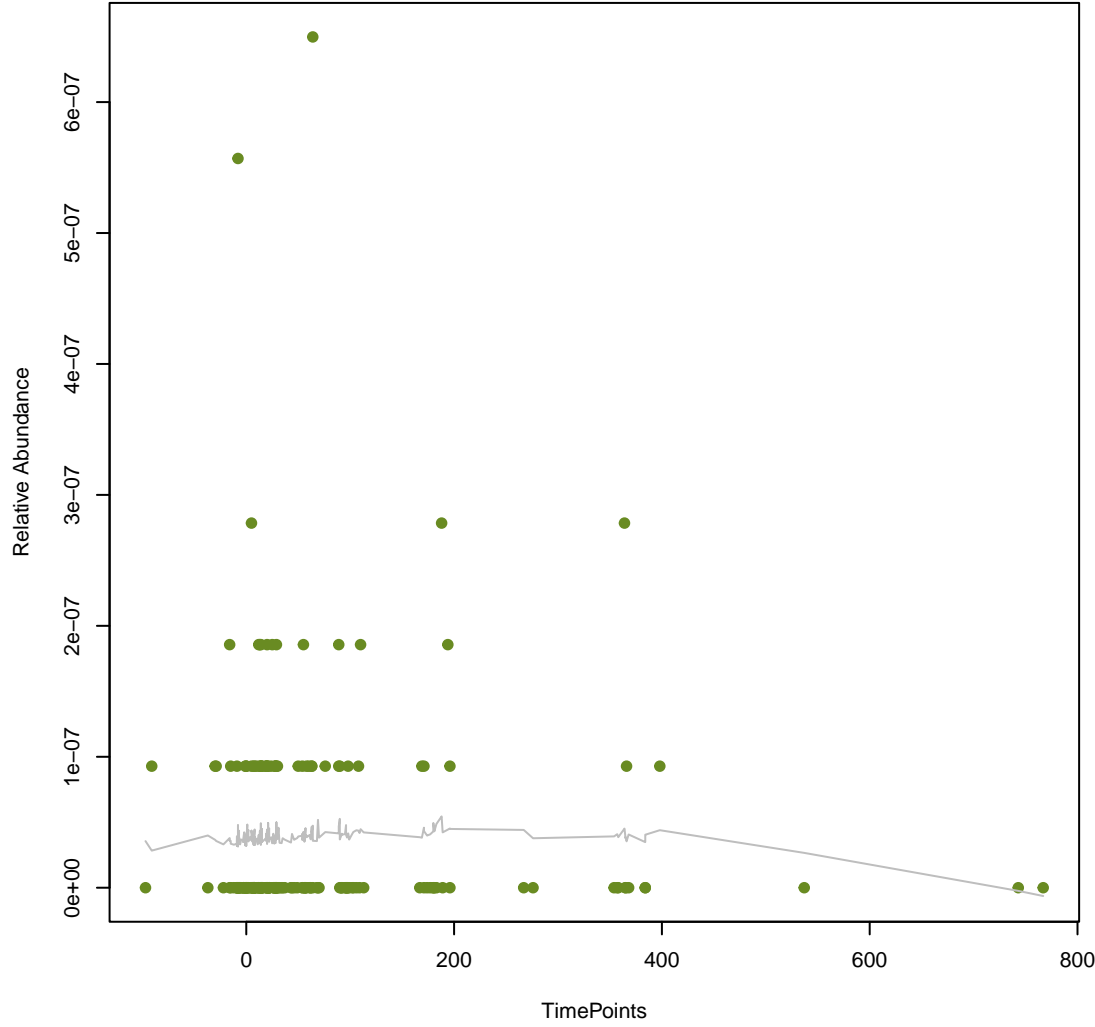
vsearch
HERA-1
ANOVA Pval: 0.589



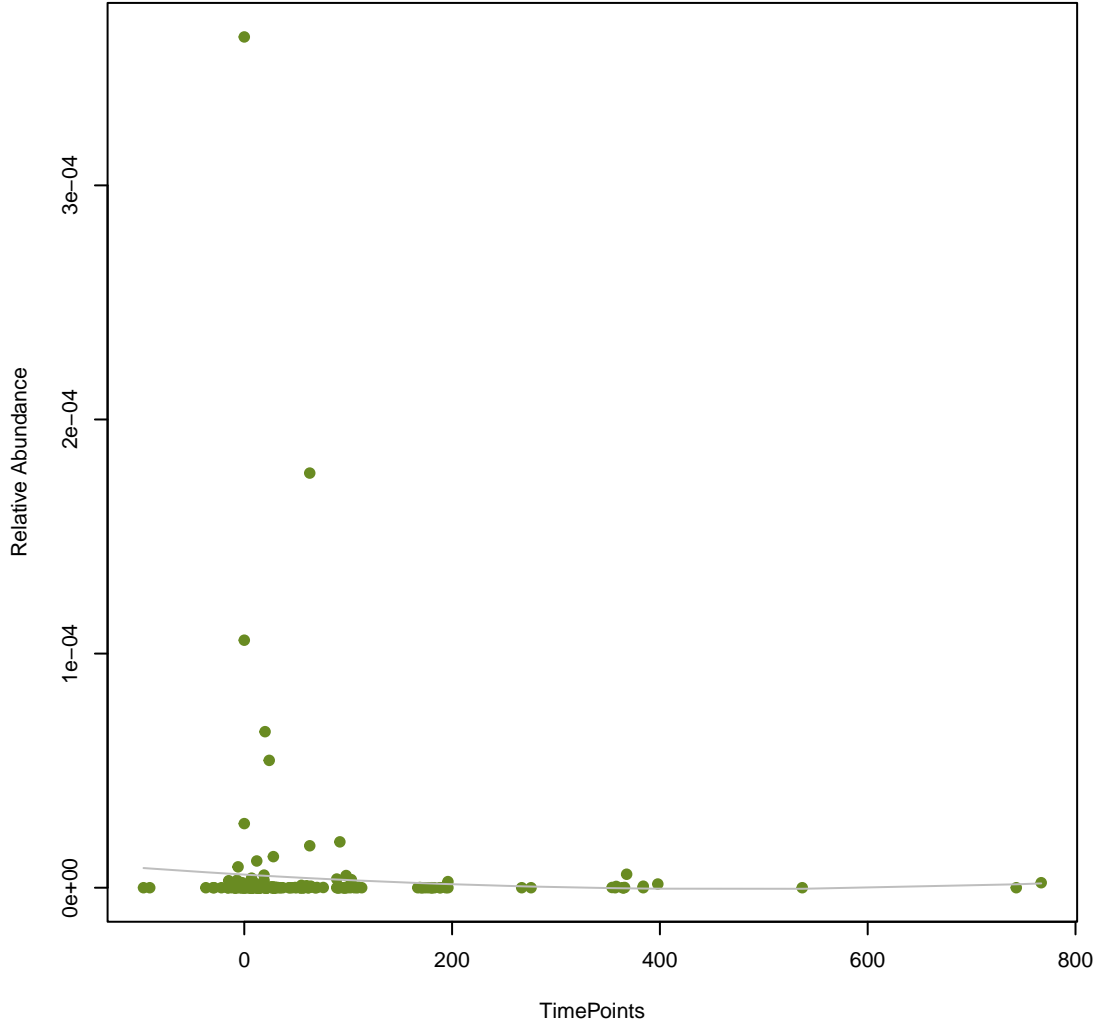
vsearch
CMY-20
ANOVA Pval: 0.534



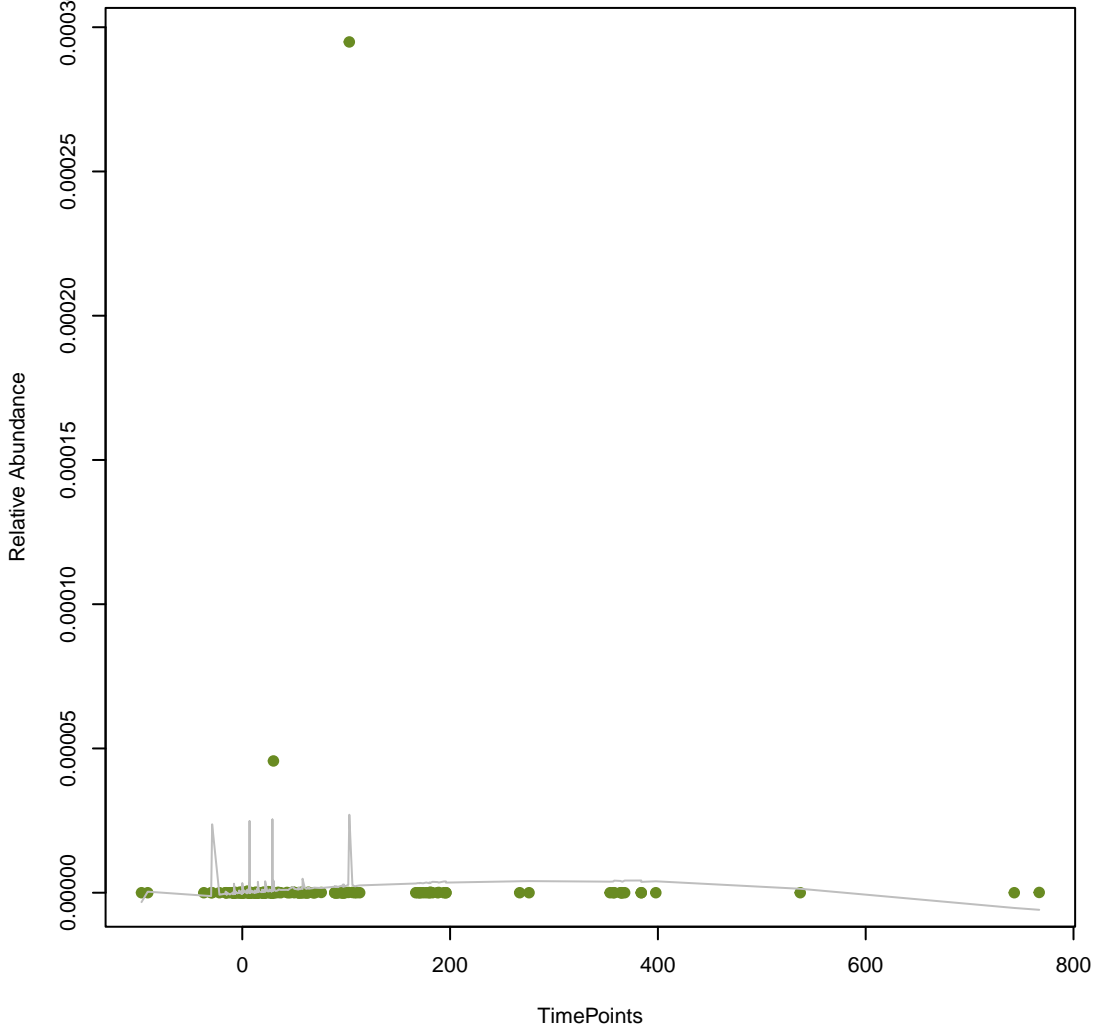
vsearch
KPC-9
ANOVA Pval: 0.678



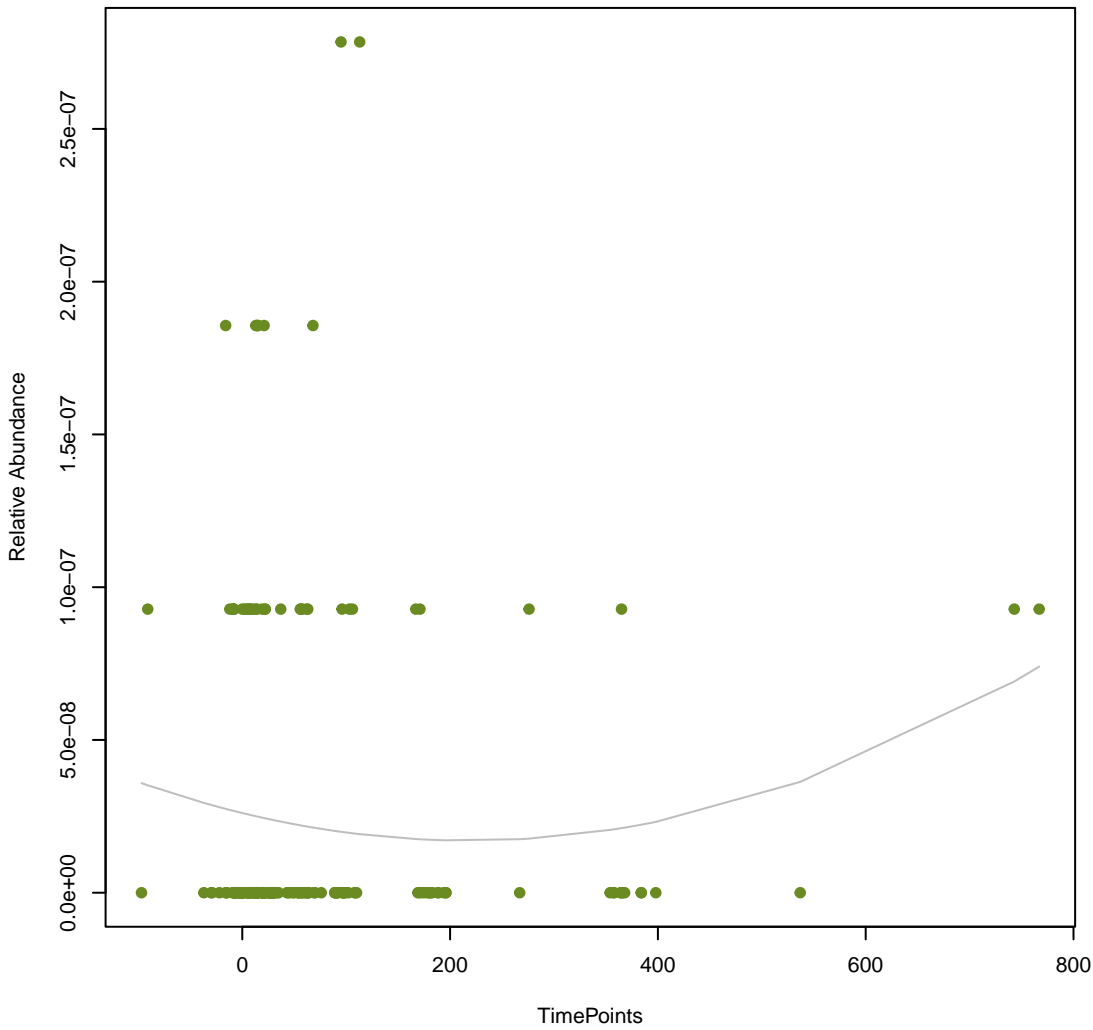
vsearch
Ecol_ampC_BLA
ANOVA Pval: 0.701



vsearch
opmE
ANOVA Pval: 0.543



vsearch
cmeB
ANOVA Pval: 0.294



vsearch
APH(2'')-Ig
ANOVA Pval: 0.748

